ESCUELA TÉCNICA SUPERIOR DE INGENIEROS INDUSTRIALES Y DE TELECOMUNICACIÓN

UNIVERSIDAD DE CANTABRIA



Proyecto Fin de Grado

DISEÑO Y CÁLCULO DEL MÓDULO DE CARGA/DESCARGA DE UN APARCAMIENTO SUBTERRANEO AUTOMATICO DE BICICLETAS

Para acceder al Título de

GRADUADO EN INGENIERÍA MECÁNICA

Autor: NICOLÁS RUIZ BESCOS

06 / 2023

RESUMEN

Este proyecto tiene como objetivo el diseño tanto del módulo de entrega/recogida de bicicletas en superficie como el módulo de transporte vertical (elevación/descenso) que llevan las bicicletas desde la zona de carga hasta la zona de almacenamiento, de un aparcamiento subterráneo automático de bicicletas. Siendo este módulo de trasporte vertical adaptable a las diferentes profundidades o niveles (y por lo tanto capacidades), a las que se instala el almacenamiento.

El Sistema tiene que ser compatible con el módulo de almacenamiento subterráneo que tiene disponible la empresa.

ABSTRACT

The objective of this project is the design of both the surface bicycle delivery/pick up module and the vertical transport module (elevation/descent) that carry bicycles from the loading area to the storage area, of an automatic underground car park for bikes. Being this vertical transport module adaptable to the different depths or levels (and therefore capacities), at which the storage is installed.

The System must be compatible with the underground storage module that the company has available.

INDICE

INTRODUCCIÓN	6
1.1 MOTIVACIÓN	7
1.1.1 NIVELES DE CONGESTION EN LAS CIUDADES ESPAÑOLAS	7
1.1.2 CARRILES BICI EN SANTANDER	9
1.1.3 USO DE LA BICICLETA EN ESPAÑA Y EUROPA	9
1.1.4 RESUMEN	14
1.2 OBJETIVO	18
MEMORIA DESCRIPTIVA	20
2.1 ANTECEDENTES	21
2.2 MERCADO ACTUAL	21
2.3 VENTAJAS DEL DISEÑO	24
2.4 DESCRIPCIONES DEL DISEÑO	24
2.4.1. MODULO DE CARGA Y DESCARGA	25
ANEXO 1: CALCULOS	41
1.1 CÁLCULOS ESTRUCTURALES	42
1.1.1 LOADING DOCK	
1.1.2 ESTRUCTURA DE ELEVACIÓN/DESCENSO	51
1.2 SELECCIÓN DE ELEMENTOS COMERCIALES	56
1.2.1 DISEÑO Y CÁLCULO DE LA CADENA DE TRANSMISIÓN DE RODILLOS	57
1.2.2 ELEMENTOS COMERCIALES DEL LOADING DOCK	63
1.2.3 ELEMENTOS COMERCIALES DEL SISTEMA DE ELEVACIÓN	75
1.3 DISEÑO DE ELEMENTOS DE MÁQUINAS	97
1.3.1 CÁLCULO DE UNIÓNES ATORNILLADAS	97
1.3.2 CÁLCULO DE UNIONES SOLDADAS	105
PLANOS	137
2.1. PLANOS DE FABRICACIÓN DE PIEZAS Y DE MONTAJE DE CONJUNTOS	138
2.1.1 PLANOS DEL LOADING DOCK	138
2.1.2 PLANOS DEL ELEVADOR	141
2.2 PLANOS DE MONTAJE DE LOADING DOCK. UNIONES CON TORNILLERIA Y SOLDADURAS	143
2.3 PLANOS DE MONTAJE DE ELEMENTOS COMERCIALES	144
PLIEGO DE CONDICIONES	338
3.1 OBJETIVO Y AMBITO DE ESTE PLIEGO DE CONDICIONES	339

3.2 VERIFICACIONES DE LOS MATERIALES	339
3.2.1 GARANTÍAS DE CALIDAD (MARCADO CE)	339
3.2.2 ACEROS DE CONSTRUCCIÓN	340
3.2.3 ALUMINIO TIPO 3003	342
3.2.4 POLI METACRILATO DE METILO (PMMA) O PLEXIGLÁS	344
3.3 UNIONES	345
3.3.1 UNIONES SOLDADAS	345
3.3.2 UNIONES ATORNILLADAS	346
3.4 PINTURA	347
RESUPUESTO	349

INTRODUCCIÓN

1.1 MOTIVACIÓN

En la actualidad la sociedad actual se enfrenta a muchos problemas entre los cuales podremos destacar la congestión por el tráfico en las grandes ciudades que además contribuyendo otro problema aun mayor, que es el cambio climático.

Fomentando un medio de movilidad saludable, como es la bicicleta, ofreciendo un sistema seguro en el cual poder aparcarla sin ningún riesgo. Dando esa seguridad a los usuarios y con la comodidad de poder desplazarse con su propia bicicleta.

La bicicleta es un medio de transporte que no contamina, es ecológica, incluso en recorridos cortos es más rápido que otros medios de transporte como el coche, más económico. Estaríamos reduciendo, aunque sea mínimamente, los problemas que citábamos antes.

Por otro lado, podemos decir también a favor del uso de la bicicleta que es saludable para el individuo, mejorando su estado físico a la vez que se está desplazando.

Podríamos estudiar donde ubicar los aparcamientos, teniendo en cuenta distintos factores como, la congestión de tráfico en las ciudades, número de kilómetros de carriles bici, ubicación (centros universitarios, estaciones intermodales...).

Con todo esto estaríamos ayudando a promover el uso de este medio de movilidad, ayudando por un lado a descongestionar un poco las ciudades del tráfico y aportando un granito de arena reduciendo los niveles de contaminación debido a los vehículos de combustión.

Otras de las ventajas que podemos encontrar es que generalmente donde pueden estacionar las bicicletas suelen estar a la vista de toda la gente, y esto crea una mala imagen, todo ese espacio al poder introducir las bicicletas en un espacio subterráneo lo podríamos utilizar para zonas ajardinadas u otros usos.

1.1.1 NIVELES DE CONGESTION EN LAS CIUDADES ESPAÑOLAS

Según un estudio de TOM TOM sobre 118 ciudades del mundo en el que analizaba el porcentaje del tiempo extra como promedio podemos extraer esa información en las 25 ciudades españolas y tenemos los siguientes datos:



FUENTE: ELABORACIÓN PROPIA

CIUDAD	NIVEL DE CONGESTIÓN	TIEMPO EXTRA ANUAL
	[%]	[MIN]
1. BARCELONA	29	8715
2. PALMA DE MALLORCA	25	7221
3. GRANADA	24	5976
4. MADRID	22	7470
5. TENERIFE	22	5229
6. SEVILLA	20	5478
7. A CORUÑA	19	3948
8. VALENCIA	19	4980
9. MÁLAGA	19	4233
10. MURCIA	18	4482

Fuente: https://motor.elpais.com/actualidad/25-ciudades-atascos-espana/

Tenemos que resaltar que nuestra idea principal es añadir esta red de parkings en la ciudad de Santander y que esta es la decimosexta ciudad de España con menor congestión de tráfico con un nivel del 19 %. Además, es una de las más descongestionadas del mundo se encuentra en el puesto 291 del ranking global.

Un conductor en Santander está atrapado en el tráfico hasta un 21 % y un 26% en las horas punta de la mañana y de la tarde respectivamente. Esto significa que se han perdido más de 54 horas de tiempo en total en trayectos.

1.1.2 CARRILES BICI EN SANTANDER

En las últimas décadas ha habido un gran impulso en las grandes ciudades para tomar como medio de desplazamiento, por un lado, el transporte público pero la movilidad por medio de las bicicletas aumentando cada vez más el número de kilómetros de carril bici.

1- SANTANDER (27KM)



FUENTE: AYUNTAMIENTO DE SANTANDER

El ayuntamiento contempla fomentar el uso de este medio de trasporte alternativo y sostenible. Prevé unir la ciudad con carriles bici, aumentando los 27 Km actuales hasta los 104 Km realizando una inversión de 14 millones de euros en los próximos 10 años.

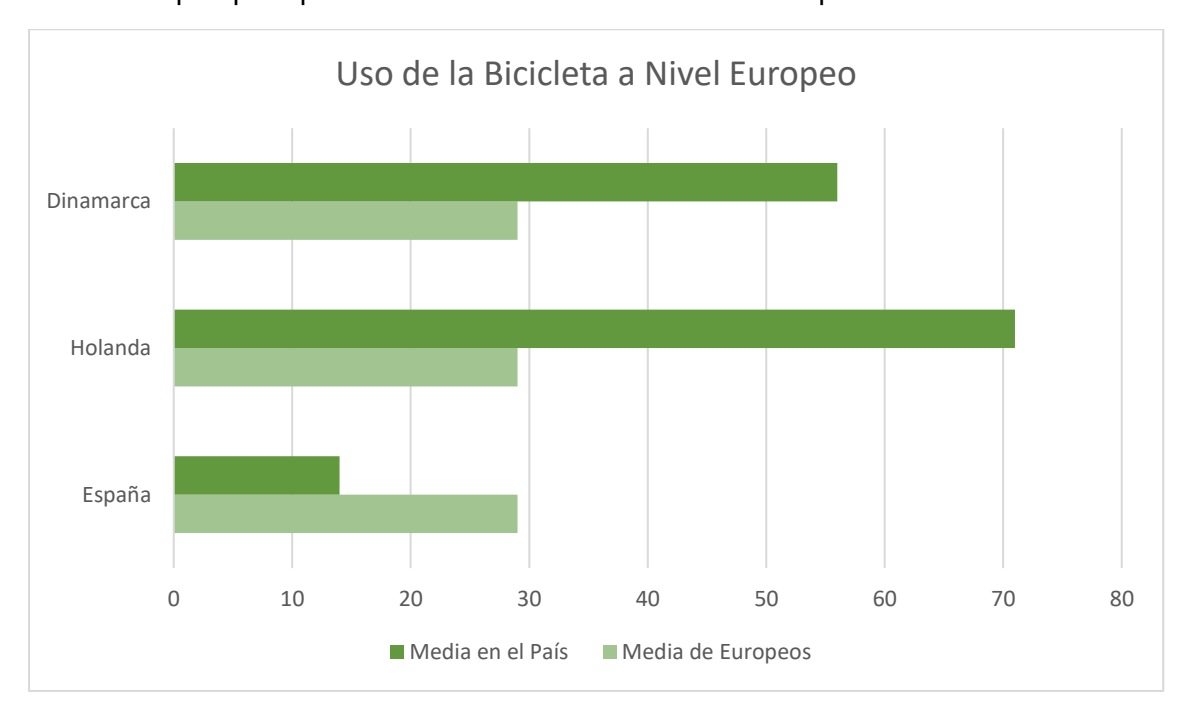
1.1.3 USO DE LA BICICLETA EN ESPAÑA Y EUROPA

Los datos más recientes a nivel europeo (de 2013 y 2014) indican que España está muy lejos del uso medio de la bici que hacen los europeos.

En 2013, un 29% de los europeos utilizaba la bicicleta a diario o varias veces a la semana, en España solo lo hacía en 14% de los ciudadanos.

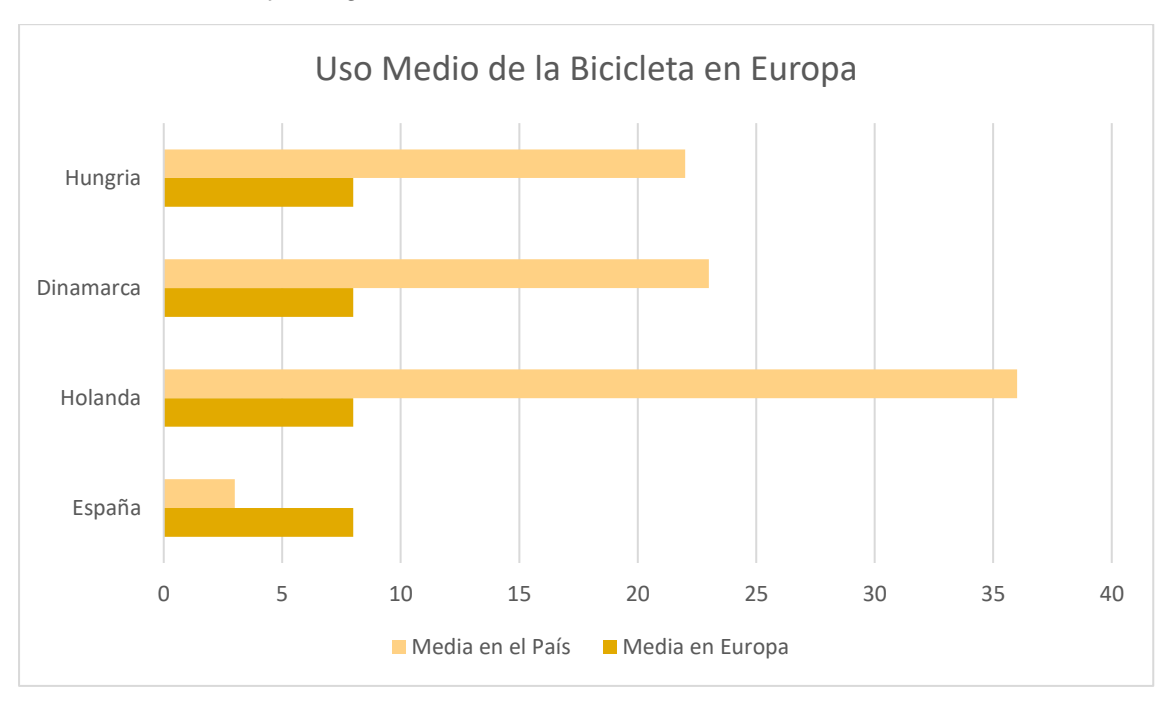
Entre los países que más usan la bicicleta a nivel europeo son: Holanda (71%), Finlandia (57%) y Dinamarca (56%) irónicamente son países no cálidos que encabezan esta

clasificación, siendo que España es uno de los países más cálidos y menos lluviosos de la Unión Europea para poder hacer uso de este medio de transporte.



FUENTE: ELABORACIÓN PROPIA

En cuanto al medio de transporte diario utilizado con más frecuencia de 2014, el 8 % afirmaba que era la bicicleta. En España esta cifra se reduce al 3%, Holanda al 36%, Dinamarca el 23% y Hungría el 22%.

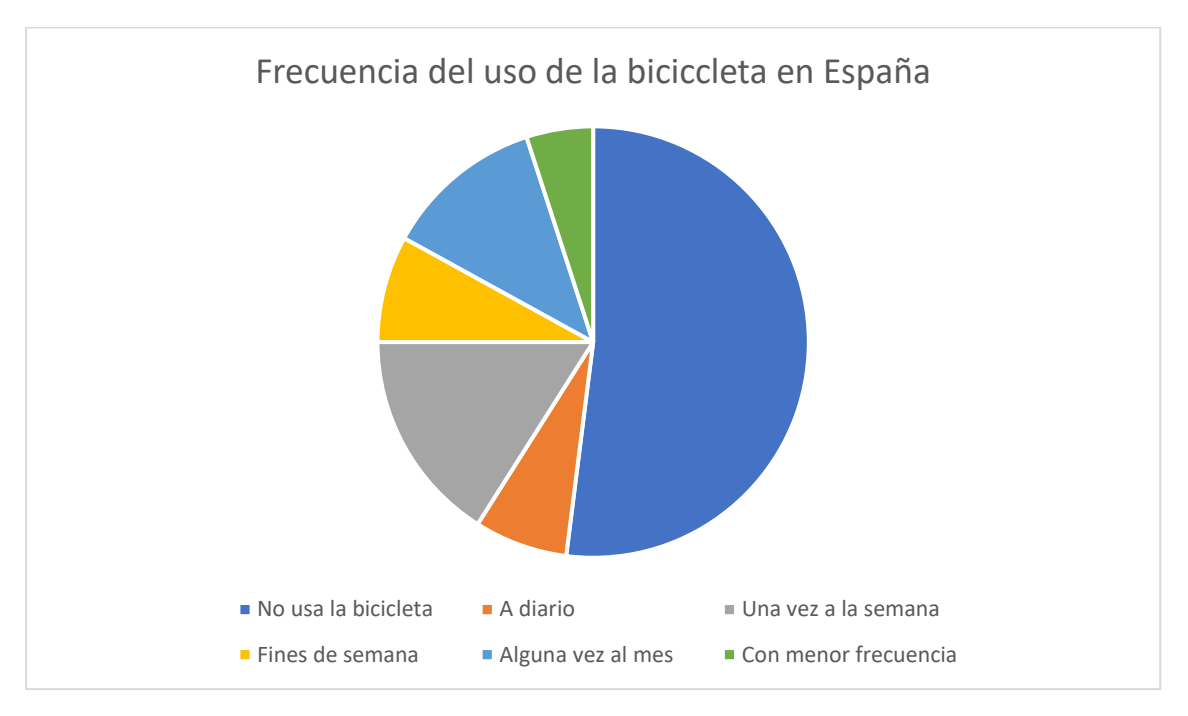


FUENTE: ELABORACIÓN PROPIA

1.1.3.1 FRECUENCIA DE USO DE LA BICICLETA EN ESPAÑA

El 48 % de la población española es usuaria de la bicicleta, pero con diferente frecuencia.

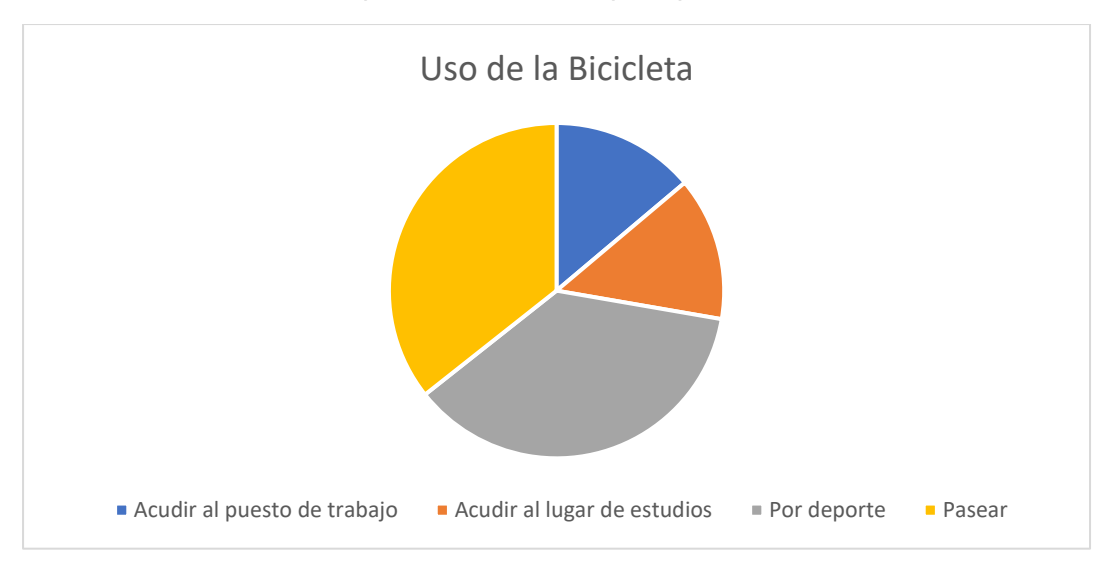
Solo el 7% la usa a diario, mientras que el 16 % lo hace al menos una vez a la semana, los fines de semana son el 8%, el 12% afirma usarla alguna vez al mes, y el 5% lo hace con menor frecuencia.



FUENTE: ELABORACIÓN PROPIA

1.1.3.2 CUAL ES EL USO DE LA BICICLETA

El 14 % de la gente que tiene empleo utiliza la bici para acudir a su puesto de trabajo de forma diaria o semanalmente. También el 14 % de los estudiantes va a su lugar de estudios en bicicleta. El 37% de los usuarios de bicicleta la utiliza para hacer deporte a diario o semanalmente, mientras que el 36% lo hace para pasear.



FUENTE: ELABORACIÓN PROPIA

1.1.3.3 RAZONES POR LA QUE SE USA LA BICICLETA

Las siguientes razones son:

Salud 30%

Deporte 27%

Medioambiente 17%

Movilidad 14%



FUENTE: ELABORACIÓN PROPIA

Por otro lado, tendremos las razones del porque no es usada la bicicleta entre los usuarios que no la usan.

No tiene Bicicleta 14%; No quiere 40%; Salud 27%; Falta de facilidades 12%;

Otros 7%



FUENTE: ELABORACIÓN PROPIA

Dentro del 7% de "Otros" declara que hay mucho tráfico y es peligroso, mientras que el 2% afirma tener miedo, destacando que solo el 1% se escuda en la meteorología para no usar la bicicleta.

1.1.3.4 PORCENTAJE DE BICICLETAS

El 75% de los hogares tiene al menos una bicicleta, siendo 1,9 bicicletas la media por casa. A pesar del incremento de ventas de bicicletas durante la última década, el 25% de los hogares continua sin disponer de ninguna bicicleta.

El 95% de estas casas tienen al menos una bicicleta. El 28% de estos hogares tiene 2 bicicletas y el 22% tiene 3.

1.1.3.5 ROBO DE LAS BICICLETAS EN ESPAÑA

El 16% de los usuarios de bicicleta ha sufrido como mínimo un robo de bicicleta en los últimos cinco años. Esta cifra se incrementa hasta el 26% en el caso de aquellos que usan la bicicleta a diario. El porcentaje de robos va en relación al tamaño del municipio; en los municipios menores de 10.000 habitantes el porcentaje es del 11% y en las poblaciones de más de 500.000 habitantes el porcentaje de robos se duplica (22%).

En cuanto a las medidas preventivas para evitar el robo, dos tercios toman alguna medida, el uso del candado es la más utilizada con un 76%.

1.1.3.6 VENTAJAS Y INCONVENIENTES DE USAR LA BICICLETA

El 40% del conjunto de la población piensa que la principal ventaja es la salud. Siguiéndole de la segunda ventaja que es que no contamina (18%), mientras que el 15% de la población cree que la principal ventaja es la movilidad.

Solo el 7% afirma que la principal ventaja es que se trata de un medio de transporte económico.

Entre los inconvenientes los principales factores que dificultan el uso de la bicicleta están relacionados con su uso.

- 1) Peligrosidad 23%
- 2) Tráfico 17%
- 3) Falta de Vías y Carriles Bicis 11%

A pesar que las grandes ciudades españolas están tomando medidas para facilitar el uso de la bicicleta, la percepción de los inconvenientes aumenta.

1.1.4 RESUMEN

Nuestro proyecto se quiere desarrollar en la ciudad tipo Santander, ya que es una de las ciudades que, aunque tenga bajos niveles de congestión de tráfico, es una de las ciudades que más quiere invertir en los próximos 10 años aumentando sus carriles bici de 27 a 104 Km.

Es una ciudad perfecta para poder utilizar este medio de transporte ya que no tiene grandes desniveles y tiene unas vistas espectaculares, como el paseo marítimo entre otras.

También se podría aprovechar este aparcamiento para que en un porcentaje de los aparcamientos disponibles se introdujeran bicicletas eléctricas de uno público y así poder alquilarlas, para turismo y otros usos

Los lugares de ubicación podrían ser cerca de las estaciones de tren y autobús, zonas cercanas a las playas, cerca de las Universidades incluso cerca del centro. Ya que la instalación no necesita una gran obra exterior (no es necesario perímetro exterior), pero dependiendo de la capacidad del aparcamiento se necesitaría realizar una obra civil con un pozo de hasta 18 m de profundidad.

A continuación, detallamos en el mapa de Santander una posible red de aparcamientos en la ciudad, aprovechando sobre todo la red de bicicletas del paseo marítimo. En este primer proyecto que podría ser extensible en un futuro, instalándolos en 6 puntos diferentes.



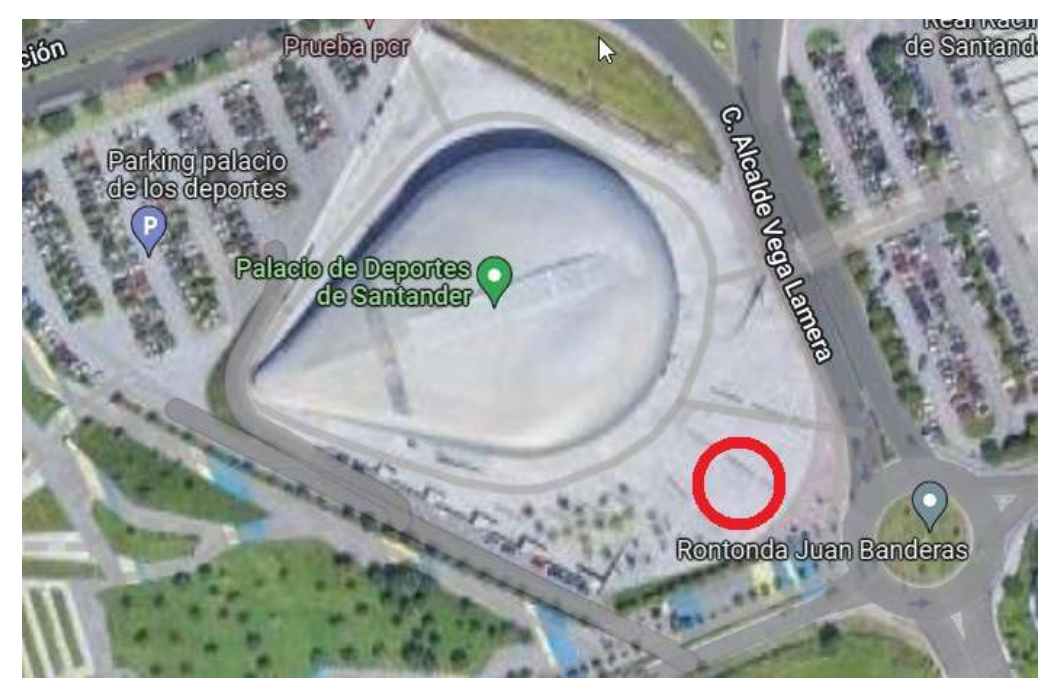
FUENTE: GOOGLE MAPS Y ELABORACIÓN PROPIA

APARCAMIENTO 1. MUSEO MARITIMO DEL CANTABRICO



FUENTE: GOOGLE MAPS Y ELABORACIÓN PROPIA

APARCAMIENTO 2: PALACIOS DE DEPORTES DE SANTANDER



FUENTE: GOOGLE MAPS Y ELABORACIÓN PROPIA

APARCAMIENTO 3: ESTACIONES DE AUTOBUSES Y TRENES



FUENTE: GOOGLE MAPS Y ELABORACIÓN PROPIA

APARCAMIENTO 4: HOSPITAL UNIVERSITARIO MARQUÉS DE VALDECILLA



FUENTE: GOOGLE MAPS Y ELABORACIÓN PROPIA

APARCAMIENTO 5: CENTRO BOTÍN



FUENTE: GOOGLE MAPS Y ELABORACIÓN PROPIA

APARCAMIENTO 6: DÁVILA PARK



FUENTE: GOOGLE MAPS Y ELABORACIÓN PROPIA

1.2 OBJETIVO

OBJETIVO PRINCIPAL

 Diseño de dos módulos uno de entrega/recogida de bicicletas y otro de trasporte vertical de elevación/descenso, de un sistema de aparcamiento subterráneo de bicicletas.

OBJETIVOS SECUNDARIOS

- El módulo de transporte vertical puede ser adaptable a diferentes profundidades (por lo tanto, capacidades), a las que se instale el almacenamiento.
- Módulo de entrega/recogida de bicicletas cumplirá los siguientes objetivos:
 - Estético y atractivo para el usuario
 - o Resistencia antivandálica
 - Interacción del usuario fácil e intuitivo
- Sistema tiene que ser compatible con el módulo de almacenamiento subterráneo que tiene disponible la empresa.

INTRODUCCIÓN PREVIA

La red de aparcamientos de bicicletas será la de permitir una gran movilidad de la ciudadanía y de los turistas que vengan a la ciudad que se desplace o quisiera desplazarse con este medio de transporte.

La puesta en marcha de este tipo de aparcamientos será en varios puntos de la ciudad, creando una red de transporte dando la posibilidad de almacenar su bicicleta a la ciudadanía. A su vez un porcentaje de los aparcamientos disponibles se podrían reservar para introducir bicicletas eléctricas públicas, con el fin de poder ser alquiladas por residentes en la ciudad o por turistas.

La propuesta que se presenta en este proyecto es para liberar el espacio urbano de Santander. Este sistema de aparcamiento automatizado subterráneo urbano integrado y distribuido en la ciudad es multifuncional, ya que el almacenamiento es realizado por debajo de la vía pública y el mobiliario urbano es de dimensiones relativamente pequeñas.

Los aparcamientos estarán distribuidos en zonas clave de la ciudad, permitiendo una gran movilidad de la gente que utilice este medio de transporte.

Una de las virtudes que cumple este tipo de aparcamientos es la seguridad que brinda frente a los posibles robos.

Otras de las grandes virtudes es que el mobiliario urbano es de fácil uso e intuitivo para el usuario, pensado para todas las edades siendo a la par que estético y compacto.

MEMORIA DESCRIPTIVA

2.1 ANTECEDENTES

Empresa Española, llamada MA-Sistemas, que desde los años 90, ha estado desarrollando los aparcamientos automáticos de bicicletas subterráneos, en España en concreto se desarrolló un sistema, sencillo, pero a la vez complejo de este tipo de instalaciones.



FUENTE: «BICEBERG», EL NOVEDOSO PARKING ESPAÑOL PARA BICICLETAS QUE ARRASA EN SINGAPUR (LARAZON.ES)

El sistema consiste en unos módulos o celdas donde el usuario puede aparcar y recoger la bicicleta a pie de calle, permitiendo guardar otros elementos más pequeños y necesarios como una mochila o un casco. El usuario realizara las operaciones mediante una tarjeta chip con un código personal secreto o PIN.

La capacidad de la máquina varía dependiendo de los niveles que tenga subterráneamente. Cada nivel podemos decir que

puede albergar unas 23/24 bicicletas, dependiendo del diámetro principal de la máquina hasta el momento con la capacidad máxima era de 92/96 bicicletas, por lo tanto, tendría 4 niveles de almacenaje.

Los diseños del Loading Dock siempre han sido muy parecidos, aunque han ido evolucionando tecnológicamente con los años, en este proyecto diseñaremos una estructura totalmente diferente a las antes creadas, dándole un punto de creatividad, imitando lo que sería una rueda de bicicleta, y dándole un aspecto "oxidado" para querer expresar la idea del reciclaje siendo más atractivo para el usuario

2.2 MERCADO ACTUAL

Actualmente en el mercado existen pocas empresas que realicen aparcamientos automáticos de bicicletas, tendremos que competir con empresas alemanas y japonesas a continuación describiremos un poco el sistema que tiene cada una de ellas.

1) GINKEN (Eco Cycle)

Empresa de ingeniería japonesa que lleva más de una década comercializando un sistema de aparcamiento para bicicletas subterráneo, almacenando de forma segura y eficiente bajo tierra.

La compañía lleva desde 1998 comercializando su tecnología llegando a construir 13 aparcamientos subterráneos, repartidas por las ciudades más importantes de Japón, las más pequeñas tienen una capacidad para unas 126 bicicletas, mientras que en la parada de metro de Suzukake, tiene un total de 8 casetas con capacidad para unas 1440 bicicletas.



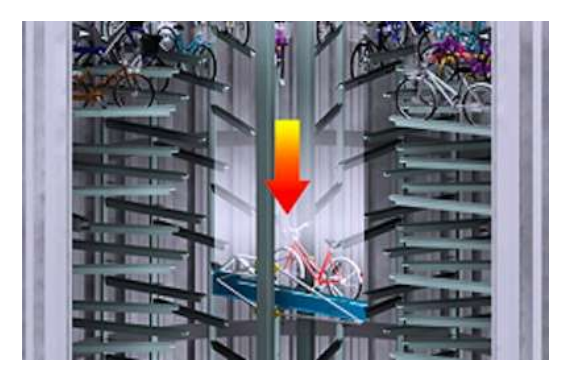
Fuente: Aparcamientos subterráneos para bicis – Yorokobu

La máquina consta de las siguientes partes:

1- Loading Dock o muelle de carga: Es donde el usuario se identifica e introduce la rueda delantera de la bicicleta en la ranura, para que posteriormente una mordaza la coja y la introduzca en el interior.



2- Elevador: Es el conjunto que se encarga de elevar y descender las bicicletas, también rotará sobre su eje para conseguir un aprovechamiento del espacio.



FUENTE: <u>APARCAMIENTOS SUBTERRÁNEOS PARA BICIS — YOROKOBU</u>



FUENTE: APARCAMIENTOS SUBTERRÁNEOS PARA BICIS — YOROKOBU

3- Lugar de aparcamiento: Es donde el elevador descargará la bicicleta, por medio de unos carriles-guía, que es por donde van las ruedas de las bicicletas.

Tratándose de Japón, el sistema está construido para resistir terremotos. También es una forma eficaz de evitar robos.

La compañía no solo se encarga de instalar el sistema. Es la responsable de proyectar y construir las instalaciones usando un método que reduce las vibraciones y el ruido al máximo.

2) WOHR BIKESAFE

Es una empresa alemana de ingeniería que, desde hace más de 60 años, desarrolla, fabrica e instala cómodos sistemas de aparcamiento para vehículos. Sus aparcamientos de bicicletas son los BIKESAFE.

En su variante en forma de torre con hasta 8 niveles se pueden estacionar más de 120 bicicletas. El diseño de este sistema para bicicletas requiere una superficie de montaje muy reducida, lo cual permite ahorrar mucho espacio. Dependiendo de las particularidades, se pueden elegir entre 3 variantes. Túnel, Torre o Mixta.



FUENTE: WÖHR BIKESAFE - WÖHR AUTOPARKSYSTEME GMBH (WOEHR.DE)

El sistema es muy parecido al Japones, con la única diferencia que este tipo de aparcamiento también existe en forma de torre, no siendo subterráneo.

2.3 VENTAJAS DEL DISEÑO

- Menor Impacto Visual: el almacenamiento de las bicicletas se realiza subterráneamente.
- Posibilidad de almacenar además de la bicicleta otros accesorios como casco, mochila...
- Posibilidad de aumentar la capacidad: Ya que Ginken es capaz de albergar hasta 126 bicicletas y Wohr bikesafe puede albergar algo más de 120 bicicletas, con la altura de nuestro elevador podríamos albergar alrededor de 200 bicicletas.
- Una Mayor Velocidad de elevación: Al colocar un Servomotor vamos a aumentar la velocidad por lo tanto reduce los tiempos de espera del usuario.
- Mayor Vida Útil: Al utilizar materiales adecuados de larga vida útil, como la nueva mejora en las piezas de la estructura del elevador que serán realizadas en acero galvanizado.
- Diseño Único: Realizado para nuestro cliente en particular, no habrá ningún Loading Dock Similar en todo el mundo
- Ahorro en Costes: Utilizando materiales comunes (aceros S275, S355 o Metacrilato entre otros) pero específicos cada uno para su función

2.4 DESCRIPCIONES DEL DISEÑO

El Diseño consta de los siguientes módulos:

1) Módulo de Carga-Descarga (Alcance de este proyecto):

En este módulo distinguiremos 2 subapartados:

1. Loading dock o muelle de carga

Este conjunto se trata del mobiliario urbano que se encuentra a nivel de calle. Es el conjunto con el que el usuario interactúa para realizar el aparcamiento y la retirada de la bicicleta.

2. Sistema de elevación/descenso

Este conjunto se encargará de ascender y descender las cargas (en este caso serán los habitáculos o celdas en donde se introducen las bicicletas).

2) Módulo de Almacenamiento (no es alcance de este proyecto):

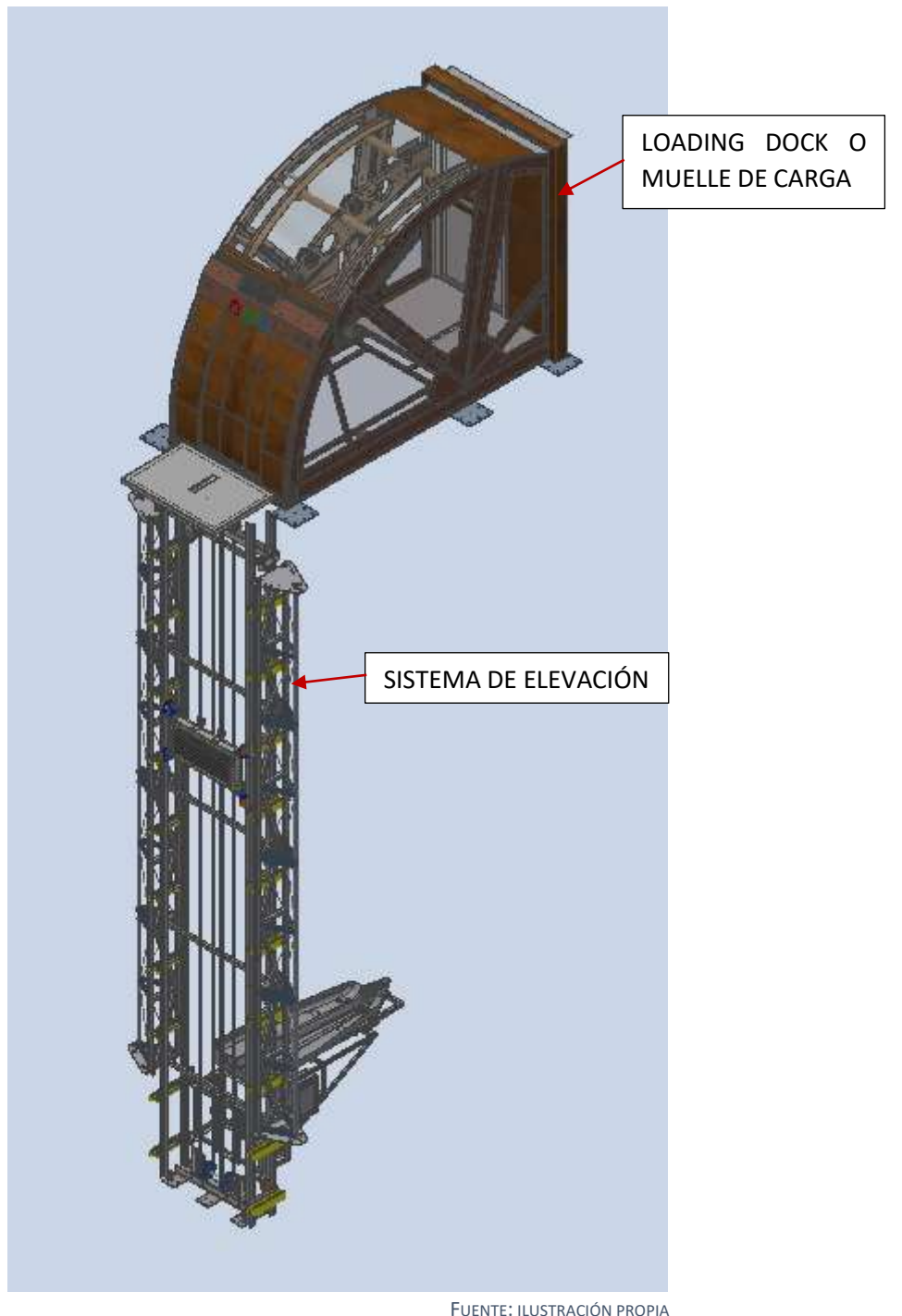
Será la parte de la máquina en la que se almacenarán las cargas o celdas.

3) Obra civil (no es alcance de este proyecto):

Esta parte tampoco será alcance de este proyecto, dependiendo de los niveles la profundidad de la obra civil o el pozo serán de diferentes dimensiones.

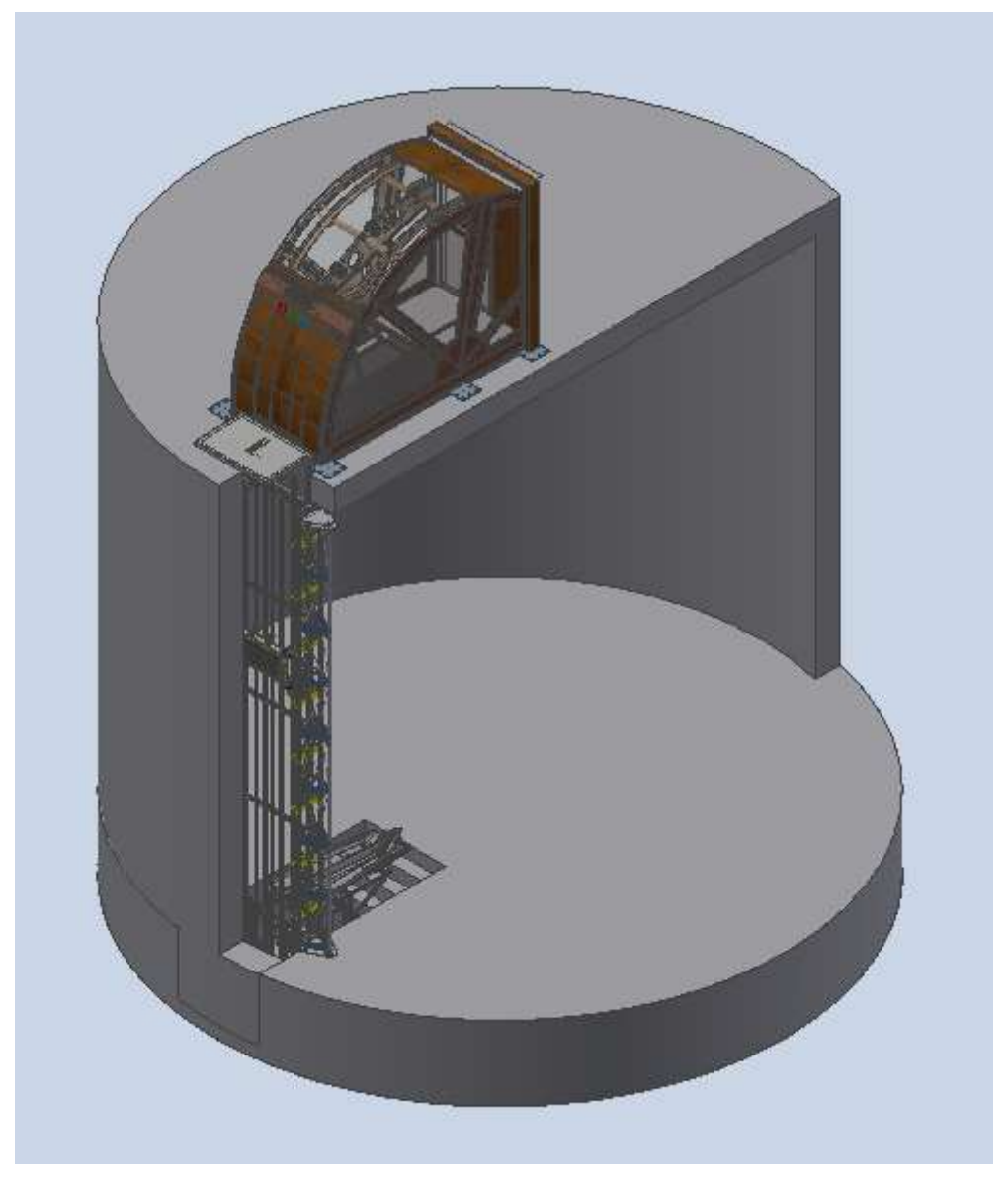
2.4.1. MODULO DE CARGA Y DESCARGA

A continuación, se muestra una imagen extraída del software de diseño del módulo de carga y descarga, diferenciando el loading dock o muelle de carga y el sistema de elevación/descenso. En este caso sería de 4 niveles, los niveles se distinguen por los módulos de torre que se instalan, cuantos más módulos de torre instalemos más capacidad tendrá. Se podrán instalar máquinas de 2, 4, 6 u 8 niveles.



FUENTE: ILUSTRACIÓN PROPIA

A continuación, se muestra otra imagen extraída del software de diseño donde se incluye la obra civil en la que tendría que estar ubicada la máquina, el espacio que se ve libre es donde se ubicaría el módulo de almacenamiento.

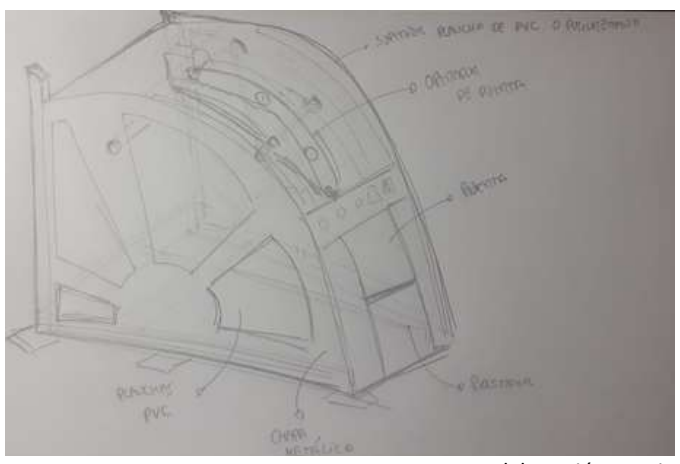


FUENTE. ILUSTRACIÓN PROPIA

2.4.1.1 DISEÑO DEL LOADING DOCK O MUELLE DE CARGA

El proceso que hemos seguido para poder realizar el diseño del loading dock, después de la experiencia obtenida en diferentes proyectos, es en un primer lugar realizar un croquis del conjunto, para obtener una idea conceptual y global de cómo podría ser, independientemente de cálculos y planos.

Mas adelante con esta *idea global* fue diseñar lo que sería la estructura y los recubrimientos (de metal y de cristal) con un *software 3D*



Fuente: Elaboración Propia

especializado en diseño, para posteriormente realizar los *cálculos estructurales, siguiendo el CBSE-AE.*

También se realizaron cálculos de las uniones soldadas.

Posteriormente se realizará un diseño y cálculo del *mecanismo* de apertura y cierre de la puerta, diseñando las piezas donde van a estar ubicados los diferentes elementos comerciales de este mecanismo, y a su vez los métodos de unión de este mecanismo a la puerta.

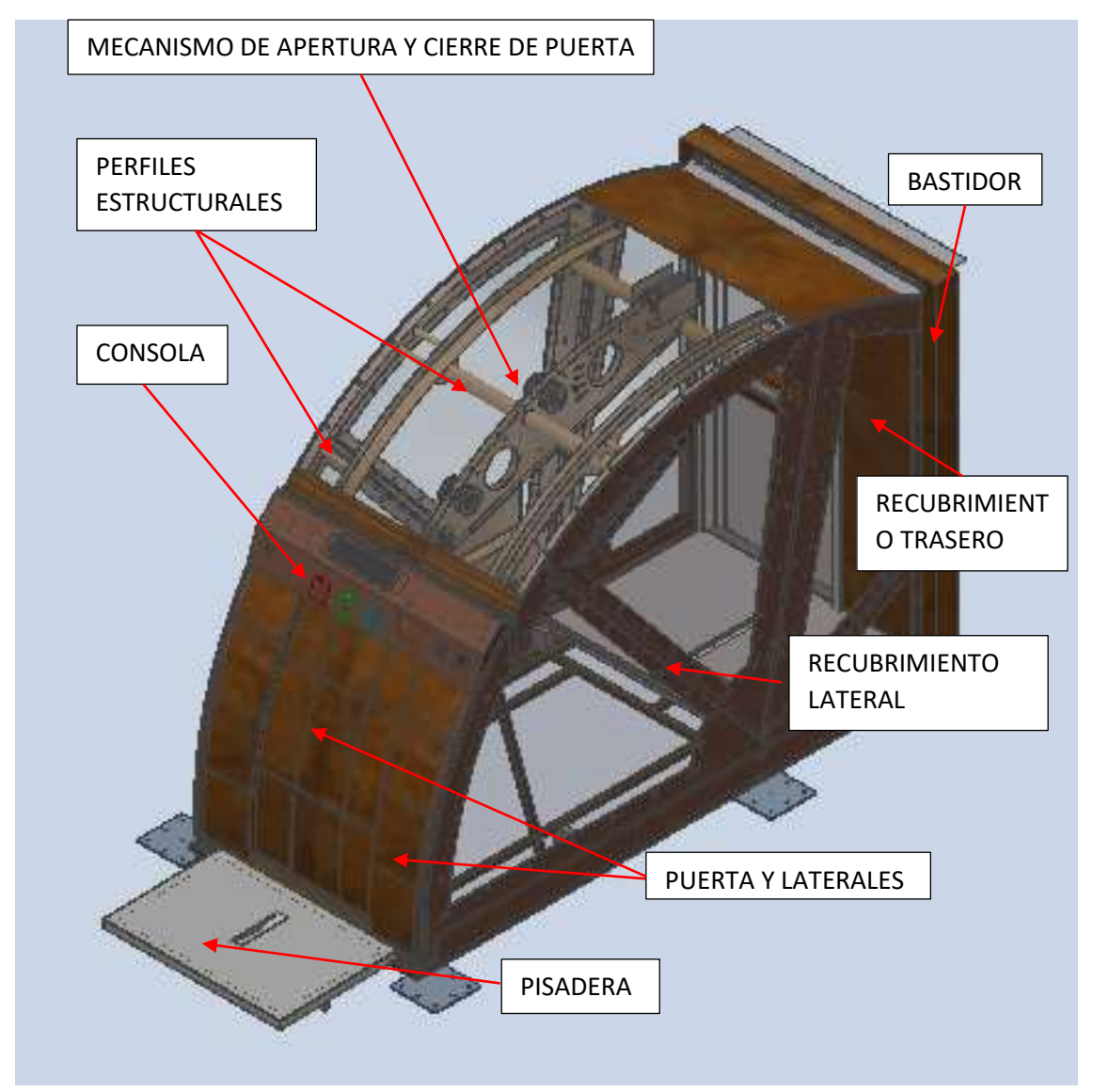
También se realizó el diseño de *los carriles de rodadura* por donde trascurrirá la puerta y la parte estructural que sostendrá estos elementos.

Por último, se realizaría el diseño de la consola, que es el elemento de interacción con el usuario con la máquina, haciéndolo sencillo e intuitivo para este.

A la mayoría de los elementos se le aplicara un recubrimiento de tipo oxidativo, dándole el aspecto final que le queremos dar al diseño, a la vez que lo protegemos de los agentes externos que producen la corrosión.

Muchos de los elementos comerciales de este conjunto serán seleccionados por la experiencia en otros diseños, avalando que son una gran elección dado su calidad y durabilidad.

En la siguiente imagen se muestran los diferentes conjuntos que conforman nuestro loading dock o muelle de carga.



LOADING DOCK O MUELLE DE CARGA. FUENTE: ILUSTRACIÓN PROPIA

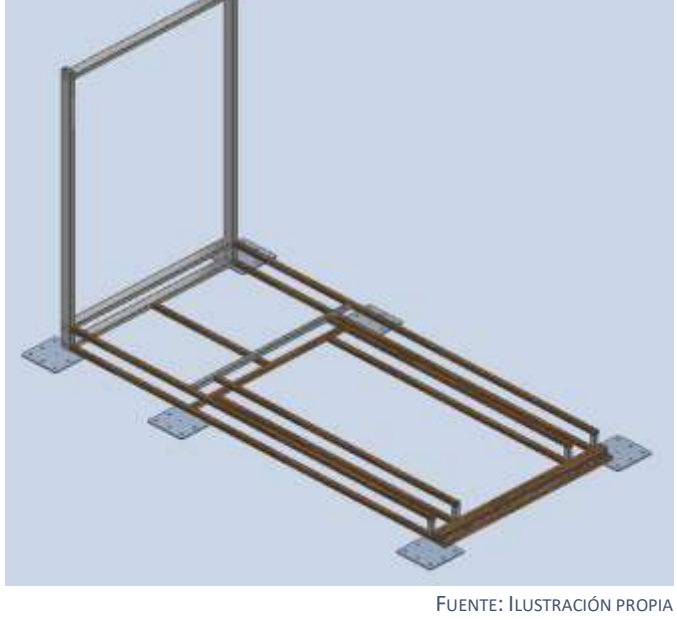
1 ESTRUCTURA

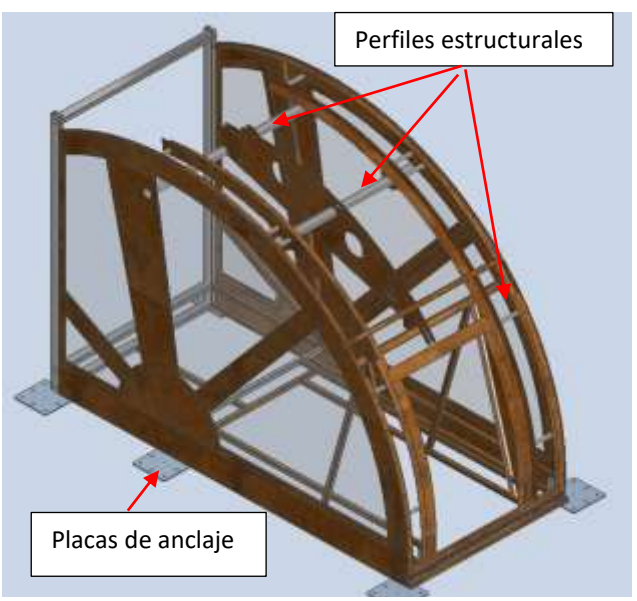
La estructura estará formada por el bastidor, que será la estructura principal y los perfiles auxiliares.

El bastidor estará formado mayoritariamente por perfiles de diferentes secciones cuadradas y rectangulares distribuidos correctamente para posteriormente soldarlos, servirán para albergar los elementos del cerramiento y a su vez soportar los esfuerzos provocados por el viento.

Los perfiles estructurales serán de sección circular de diámetros y longitudes distintos, estos se encargarán de soportar los esfuerzos provocados por cargas verticales, gravitando sobre ellos a su vez los distintos elementos, como los elementos de rodadura de la puerta y el mecanismo de apertura y cierre de puerta.

Una parte también importante de esta estructura son las placas de anclaje que serán las placas donde apoyamos el bastidor y estas serán ancladas al suelo. Posteriormente serán cubiertas por el encofrado siendo así unas uniones fijadas y empotradas. Estas placas serán realizadas mediante corte laser y de acero galvanizado.





FUENTE: ILUSTRACIÓN PROPIA

Al ser los perfiles estructurales estarán constituidos por acero S355 de alta resistencia ofreciendo una gran soldabilidad ya que las uniones entre ellos serán mediante soldadura, realizándolas un operario experimentado de taller mediante soldadura TIG.

Las diferentes longitudes serán cortadas por otro operario de taller y se realizara mediante arranque de viruta con herramienta de corte, y los planos de fabricación, y montaje serán detallados en el Documento Planos.

Tendremos finalmente una estructura compacta capaz de soportar todos los elementos y esfuerzos a los que está expuesto, se mostrarán los cálculos en el Anexo 1: Cálculos

2 SISTEMA DE APERTURA Y CIERRE DE PUERTA

El sistema de apertura y cierre de Puerta, es una de las partes más importante de nuestra máquina, ya que ha sido diseñada al milímetro, y que es el elemento que está en movimiento de nuestro loading dock o muelle de carga, teniendo que ofrecer una seguridad al usuario (con detectores como el borde sensible, con el funcionamiento similar al de la puerta de los ascensores) para que ningún usuario pueda tener ningún atrapamiento con la puerta. Otros elementos mecánicos de seguridad con el solenoide de enclavamiento para que no pueda haber una apertura de puerta manual.

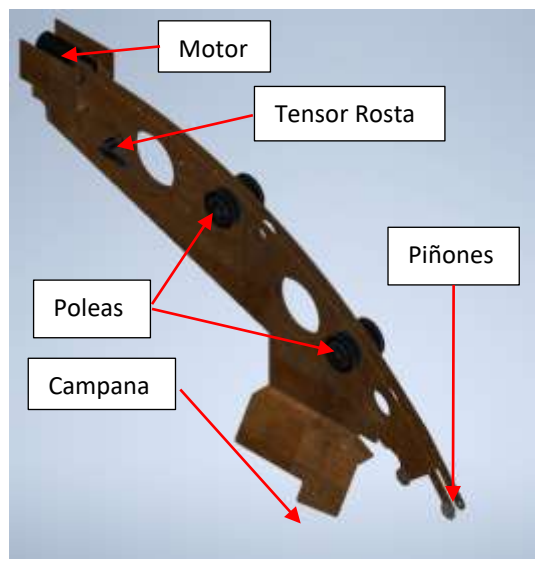
La parte principal del mecanismo de apertura y cierre de la puerta que se ubicara en la parte central de nuestro loading dock, en un elemento que llamaremos viga central (llamado así por su forma). Dentro de este mecanismo tendremos dos partes diferenciadas:

1) Mecanismo de Apertura

El mecanismo de apertura estará colocado en un lado de la viga central y este constará de los diferentes elementos comerciales donde la justificación de cada uno de ellos es detallada en el Anexo 1: Cálculos.

Los elementos comerciales son los siguientes:

- Motor reductor: que será el que accione el mecanismo de apertura v cierre de la puerta.
- Piñones y Poleas: que serán los elementos que ayuden a la transmisión
- Tensor Rosta: que será el elemento que le dará la tensión adecuada a la cadena
- 4) Cadena: Elemento de la transmisión



VIGA CENTRAL. FUENTE: ILUSTRACIÓN PROPIA

1) Viga central

La Viga central será realizada mediante corte laser y en este caso el material será de acero S275, ya que no tiene carácter estructural. También será sometido a recubrimiento antioxidante. Los diferentes elementos que componen la viga central se unirán mediante uniones atornilladas y uniones soldadas, estos montajes se encuentran detallados en Documento Planos.

Nuestra viga central también constara de otro elemento que lo denominamos "campana". En esta se introducirán elementos de detección de bicicletas.

La puerta es uno de los elementos más importantes, ya que esta continuamente abriendo y cerrando. Su composición será de una estructura mediante costillas para darle rigidez a la puerta y se cerrará con dos chapas.

Esta tendrá varios elementos de seguridad, como el borde sensible (evita atrapamientos), final de carrera con un solenoide (evita apertura manual de la puerta)

Este elemento tendrá dos tipos de ruedas diferentes:

- 1) Las ruedas de rodadura: Mediante las cuales abrirá y cerrará la puerta
- Las Ruedas tangenciales: La misión de estas será la de mantener la puerta centrada en todo su recorrido.

El material escogido para la puerta, tanto para las costillas como para las chapas de recubrimiento será de aluminio por sus propiedades mecánicas, pero sobre



FUENTE: ILUSTRACIÓN PROPIA

todo por su ligereza. También las costillas estarán distribuidas de tal manera que la puerta sea resistente ante actos vandálicos.

Las costillas se realizarán mediante corte laser y estas dimensiones serán detalladas en el Documento Planos.

La construcción de la estructura será realizada por un operario experto en soldadura de aluminio y la unión de las chapas al ser de espesor bastante inferior a las de las costillas de la estructura y la imposibilidad de soldar este tipo de elementos por su diferencia de espesor se unirá mediante remaches. Todo este montaje también se detallará en el Documento Planos.

En la parte inferior de la puerta colocaremos un detector llamado borde sensible (Elemento comercial), que lo que hará es evitar, en el momento que este cerrando, un atrapamiento de cualquier parte de la persona que pueda estar introduciendo su bicicleta, detectando un elemento y reabriendo la puerta.



FUENTE: ILUSTRACIÓN PROPIA

Otro elemento importante será el enganche de la cadena, que es la que estará unida al mecanismo de apertura y cierre de puerta.

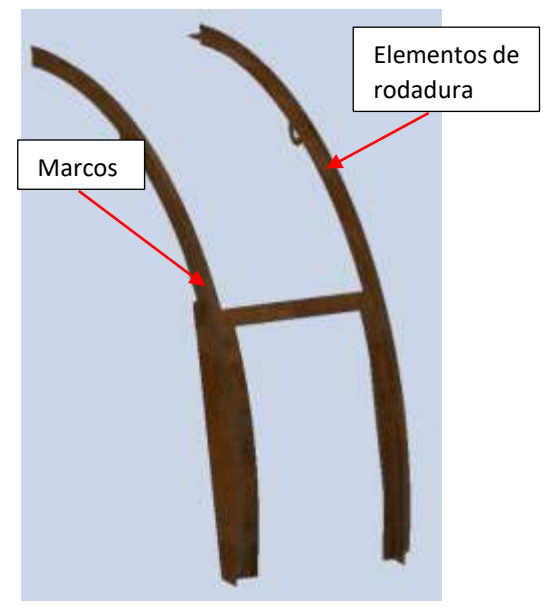
Por otro lado, tendremos los frentes o laterales teniendo el objetivo de cubrir la parte delantera de nuestro loading dock.

Estarán constituidos de igual manera que la puerta, pero con diferentes dimensiones. Costillas de aluminio cortadas con láser para la estructura interna y de chapa de aluminio para el recubrimiento, dándole rigidez y consistencia para actos vandálicos.

Detrás de la puerta tendremos los marcos, que simplemente sirven para el cerramiento de aberturas que podrían quedar entre la puerta y el interior, dando la imposibilidad de introducir elementos al interior de la máquina.

Los elementos de rodadura serán, por donde rodara la puerta para su apertura y cierre. La puerta tiene unas ruedas de rodadura y unas ruedas distanciadores tangenciales, las primeras hacen que la puerta transcurra por los elementos de rodadura y las segundas que la puerta no tuviese movimientos horizontales a la hora de accionar el mecanismo de la cadena. Todos estos elementos comerciales se justifican y muestran más al detalle en Anexo 1: Cálculos. Los elementos de rodadura estarán soldados, realizando una función estructural, al bastidor y a algunos perfiles auxiliares, todo esto se detallará en el Documento Planos.

El sistema es compacto y está diseñado al milímetro para que no tenga ningún tipo de desviación.



FUENTE: ILUSTRACIÓN PROPIA

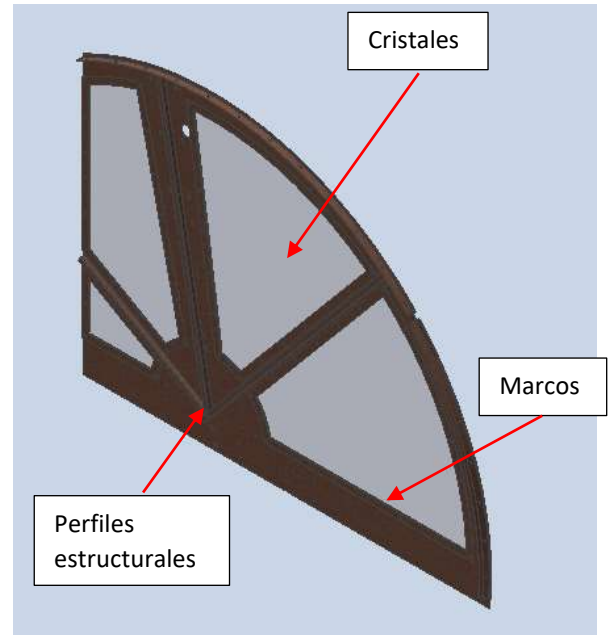
3 RECUBRIMIENTO

El Recubrimiento es el cerramiento del loading dock o muelle de carga, es la parte más vista

de nuestra máquina. Con todo esto se ha diseñado un cerramiento *original*, por su único y exclusivo diseño, *atractivo*, llamando la atención de posibles usuarios y estético por querer imitar lo que sería la rueda de una bicicleta, con partes translucidas y transparentes para poder ver el funcionamiento interno de la máquina y con su aspecto oxidado evocando un poco a las estructuras y maquinas antiguas, queriendo transmitir más profundamente el concepto de reciclaje.

En esta parte tenemos que nombrar 3 conjuntos:

- 1. Recubrimiento lateral
- 2. Recubrimiento trasero
- 3. Recubrimiento superior



FUENTE: ILUSTRACIÓN PROPIA

Recubrimiento Lateral

Consta de una plancha de acero imitando a los radios de la rueda de la bicicleta, siendo su carácter estético y estructural, ya que será la superficie donde incide el viento lateral. Tendrá unos remaches decorativos queriendo imitar los remaches que antiguamente se ponían en los barcos, para hacerlo estético y atractivo.

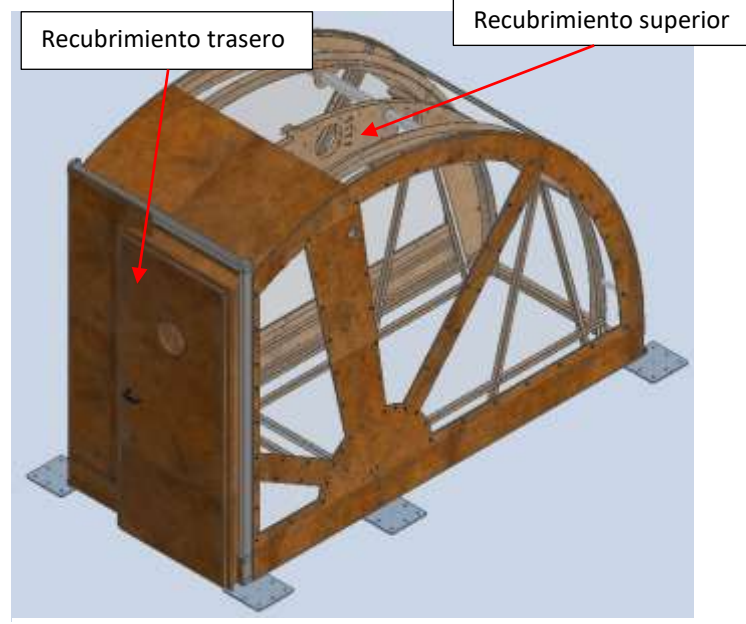
La parte translucida será de unos cristales de metacrilato o plexiglás, por su carácter estético, de poder ver en el interior el funcionamiento de la máquina, pero sobre todo también por sus características resistentes a impactos por acciones vandálicas, en el caso de que tuviese una rotura se podría sustituir fácilmente. Estos dos elementos se unirán mediante tornillería y con unos elementos llamados marcos, haciendo un sándwich, también en los bordes se introducirá un elemento adhesivo, para que encajen perfectamente y entrar hacerlo lo más estanco posible ante la entrada de humedad.

Para finalizar el conjunto y que la plancha con la forma de la rueda de la bicicleta no sea endeble se reforzara con tres perfiles estructurales soldados en lo que sería nuestros radios de bicicleta, con estos y posteriormente soldado al bastidor, nos quedara una estructura escuadrada, rígida y resistente como se mostrara en Anexo 1: Cálculos.

Las dimensiones, los montajes y las uniones de cada una de las partes se muestran en el Documento Planos.

Recubrimiento trasero: Estará compuesta por una puerta, será la entrada a la máquina del personal de mantenimiento uniendo la al bastidor. El resto de parte trasera se rematará con una plancha de acero que será soldada a los perfiles del bastidor.

Recubrimiento superior: Para el recubrimiento superior tendremos empezando desde abajo hacia arriba una plancha de metacrilato que será atornillada con unos marcos a unas pletinas que tienen los recubrimientos laterales mediante tornillería. Posteriormente se terminará el cerramiento superior con una chapa doblada.



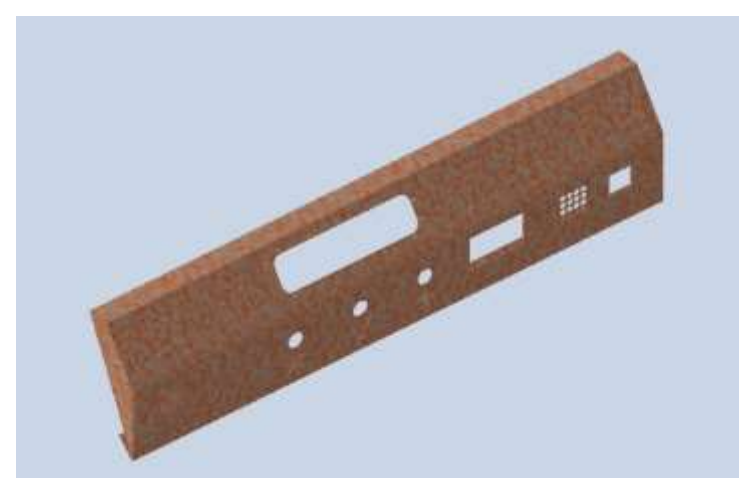
FUENTE: ILUSTRACIÓN PROPIA

Cada una de las dimensiones y de las soldaduras se detallarán en el Documento 2: Planos.

4 CONSOLA

La consola es el elemento por el cual interactuara el usuario, para ello se han usado elementos comerciales usado en anteriores maquinas teniendo buen resultado tanto por la durabilidad de los elementos como el fácil manejo y entendimiento de los usuarios. Está compuesto varias partes que explicamos a continuación.

Conjunto de sujeción: Es elemento que soporta a todos los elementos de interacción, rematándose con un diseño único y estético. Las dimensiones y características de doblado se adjuntarán en el Documento 2 Planos.



FUENTE: ILUSTRACIÓN PROPIA

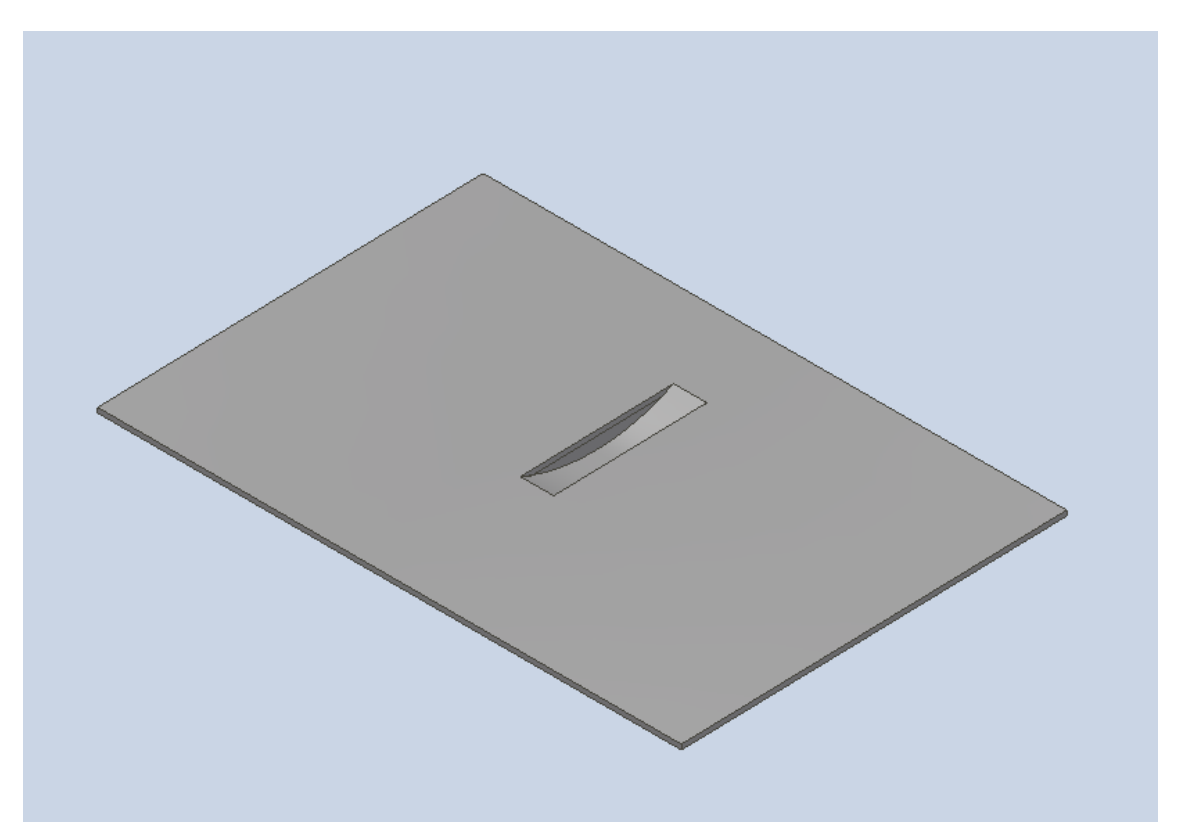
Elementos de interacción: Son

elementos con los que el usuario podrá interactuar con la máquina, dándole las órdenes precisas que necesite, aparcar, retirar, aceptar, cancelar, reabrir de puerta, introducción de dígitos... Estos elementos serán comerciales y estarán justificados y explicados en el Anexo 1: Cálculos. Son los siguientes:

- a. PC: Sera la pantalla donde se mostrarán las instrucciones que el usuario tiene que seguir en cada momento.
- Teclado: Una de las maneras que tendrá el usuario de interactuar con la máquina, de introducir números de registro o lo que se pidiese en cada momento.
- c. Pulsadores retroiluminados: esta es la segunda manera que tendrá el usuario de interactuar, son visuales y son para las opciones básicas como aceptar, cancelar o reabrir la puerta.
- d. Lector Rfid. Dispositivo para la lectura de tarjetas de usuario.

5.PISADERA

La pisadera se trata de un elemento que ira adosada a la obra civil y consiste en una plancha con una ranura centrada con el eje de la puerta en la que su función es facilitar la entrada de la bicicleta, es otro elemento más que hacen que la maquina sea de fácil uso. Sus dimensiones se mostrarán en el Documento Planos.



FUENTE: ILUSTRACIÓN PROPIA

Tenemos que comentar que la mayoría de las uniones de este conjunto se realizan por medio de soldaduras y que están calculadas en el Anexo 1: Cálculos.

Otra cosa que tenemos que comentar que la mayoría de los elementos del loading dock estarán cubiertas de una pintura de revestimiento especial que le protege de la oxidación, pero le da el aspecto naranja de oxidado, sin tener que utilizar acero corten que es un acero

que está teniendo muchos problemas en elementos constructivos. Todos estos elementos de detallan en el Documento Pliego de condiciones.

2.1.4.2 DISEÑO DEL SISTEMA DE ELEVACIÓN

El diseño del elevador dependiendo de los niveles y consecuente de la capacidad de almacenamiento que tenga la maquina será de una altura u otra, por lo tanto, tiene la capacidad de ser modular. Está compuesta con módulos de torre, pues dependiendo de las exigencias del cliente deberemos subir más o menos alturas, cada módulo de torre será un nivel, más adelante en el presupuesto lo hemos hecho en base a si nos exigen 2,4,6 u 8 niveles, que serían de menos a mayor capacidad.

El mecanismo de elevación y los elementos de elevación serán estándar independientemente del número de plazas o de alturas que tengamos. Esta diseñado con elementos estructurales rígidos, pese a que no tengamos muchos esfuerzos, pero estarán arriostrados entre torres y al suelo y al techo de la obra civil tendremos una unión de empotramiento, teniendo así la máxima precisión y las menores desviaciones como se mostrara en el Anexo 1: Cálculos.

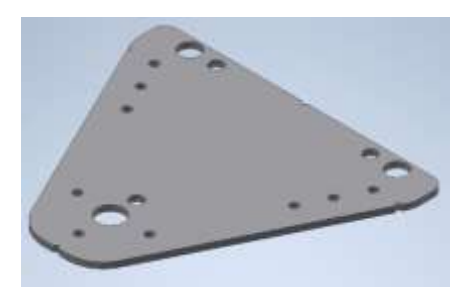
1. ESTRUCTURA

La estructura de nuestro conjunto elevador constará de dos torres y cada una de estas torres poseerá varios módulos de torre iguales entre sí con forma de celosía para darle más rigidez al conjunto, encajados unos con otros hasta conseguir la altura requerida. Los Módulos de torres serán elementos rígidos y a ellos se le atornillaras unos angulares distribuidos equitativamente en todo su vertical para ubicar posteriormente las guías de

elevación, por donde transcurrirá nuestro conjunto de elevación y el conjunto del contrapeso.

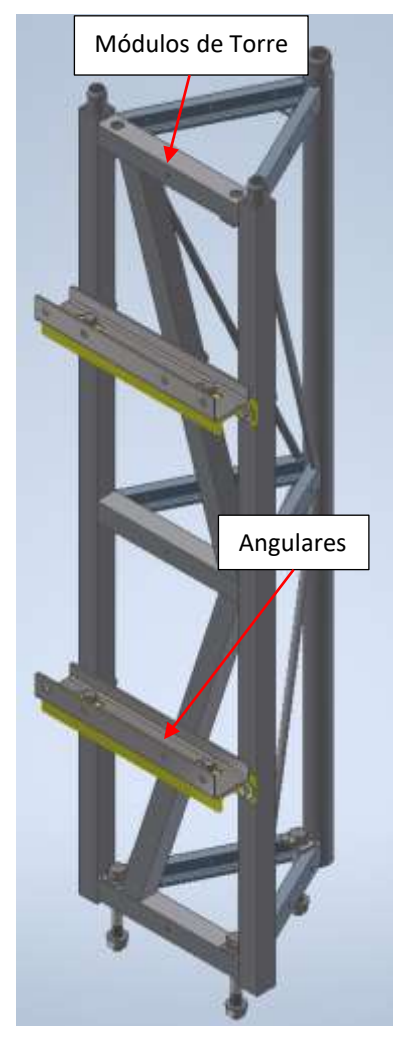
Los *módulos de torre* serán triangulares en su sección en donde tendremos *tres puntos de encaje* en cada vértice de esa sección triangular y ser irán cosiendo con la tornillería adecuada.

Para el comienzo y el final de cada torre tendremos unas placas de anclaje y coronación que estarán unidas con tornillería y estas placas son las que se anclaran al suelo y al forjado del techo para dejarlas fijas y que no tengan ninguna desviación (que estén a plomo).



FUENTE: ILUSTRACIÓN PROPIA

Las dimensiones de cada uno de los elementos del módulo de torre y su composición al igual que las dimensiones de las placas de anclaje y coronación se encuentran en el Documento Planos. Por tendremos las tornillerías de unión especificadas en el Documento 2 Planos.



FUENTE: ILUSTRACIÓN PROPIA

Las *guías de elevación* serán por donde transcurrirá el conjunto elevador y el conjunto del contrapeso. Estas serán elementos comerciales y se detallara cual ha sido la elección en el Anexo 1: Cálculos.

En cada torre tendremos las guías para el conjunto elevador, en la parte anterior y las guías para el conjunto contrapeso en la parte posterior, por lo tanto, constara de 4 líneas de guías de elevación en toda la vertical.

2. CONJUNTO DE ELEVACIÓN

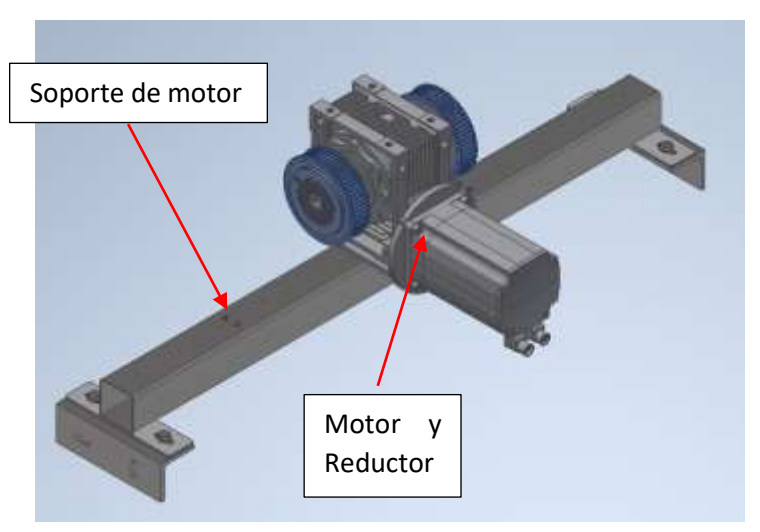
En cuanto al conjunto de elevación consta de cinco subconjuntos los cuales enumeramos y describimos a continuación:

- 1) Conjunto Tractor o conjunto motor
- 2) Conjunto tensor
- 3) Conjunto elevador
- 4) Conjunto contrapeso
- 5) Correas dentadas.

1) Conjunto Tractor o conjunto motor

Uno de los conjuntos más importantes de la maquina ya que su función es la de darle tracción al elevador, la potencia necesaria del motor para cumplir todas las especificaciones, para que este no tenga tantos esfuerzos estará ayudado por el conjunto del contrapeso.

Se instalará en la parte superior y consistirá de los siguientes elementos comerciales, un servomotor, un reductor y el soporte que los sostendrá



FUENTE: ILUSTRACIÓN PROPIA

Para la elección del motor y del reductor necesario para nuestra máquina hemos realizado los cálculos y su posterior elección en el Anexo 1: Cálculos.

Se extraerán las dimensiones del catálogo para poder diseñar el eje que posteriormente contendrá las poleas dentadas con sus taper lock, que estos también son elementos comerciales y después engranara una correa dentada. Las dimensiones de estos elementos comerciales están en el Anexo 1: Cálculos.

También se tuvo que realizar un cálculo de la correa que podríamos utilizar para nuestro sistema, que también se encuentra en el anexo anterior.

Para el soporte de motor se realiza una vez seleccionado el reductor y se diseña a medida, estas dimensiones y su montaje de encuentran en el Documento Planos.

2) Conjunto Tensor

La función de este conjunto será la de tensar las correas dentadas óptimamente con unos muelles para que el sistema de elevación funcione correctamente. Tendremos un ciclo cerrado de correas que unirán el conjunto de elevación y el de contrapeso.

Los muelles necesarios al ser un elemento comercial serán calculados para su posterior elección en el Anexo 1: Cálculos.

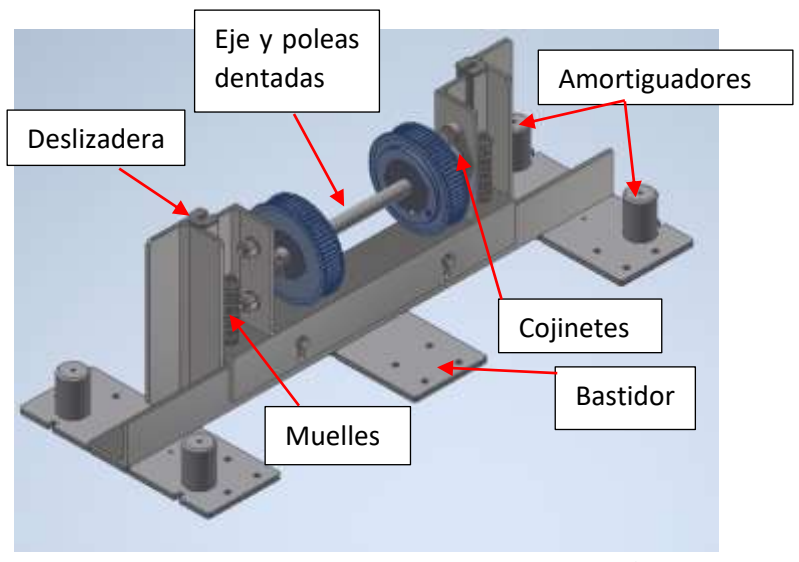
El conjunto consta de un bastidor que será anclado al suelo de la obra civil, las dimensiones y el montaje será detallado en el Documento Planos.

También se colocarán unos cojinetes (estos estarán sobre dimensionados ya que no trabajarán al máximo de su capacidad) con un eje y otro par de poleas dentadas como las que tenemos el conjunto motor, estas estarán perfectamente alineadas para que las correas

estando totalmente verticales.

Este conjunto contara también con un registro donde tendremos unas deslizaderas (comerciales) ubicadas en un elemento móvil y así pudiendo deslizar este elemento mínimamente que por medio de los muelles se pueda conseguir la tensión adecuada para que las correas funcionen correctamente

Conseguiremos esa tensión adecuada comprimiendo unos muelles colocados en una



FUENTE: ILUSTRACIÓN PROPIA

varilla a ambos lados. También tendremos unos amortiguadores de seguridad por si en algún caso (improbable) nuestro elevador descendiese más de lo establecido o programado, y así no impactase con el suelo, estos elementos de seguridad son los que se instalan también en los ascensores convencionales.

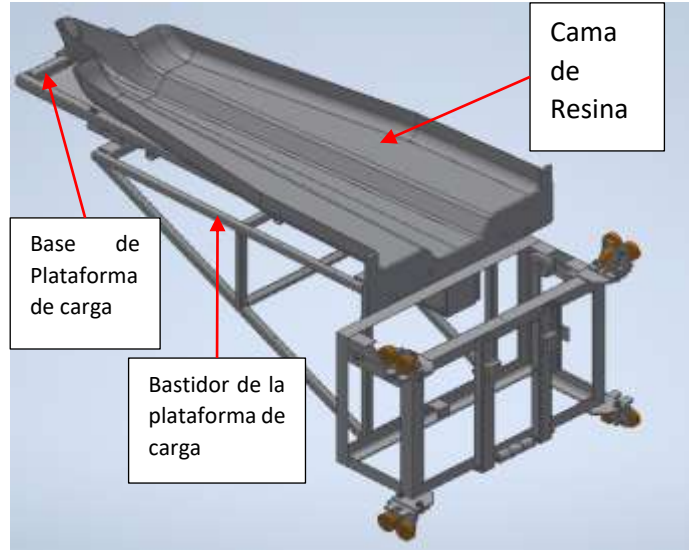
El diseño de los distintos elementos y la descripción de todos los elementos comerciales se detallarán en el Anexo 1: Cálculos y en el Documento Planos.

3) Conjunto elevador

Este es el conjunto más complejo de nuestro diseño del elevador

Este constará de 3 conjunto subconjuntos.

Por un lado, tendremos la Cama de resina de Poliéster, que será la adaptación de nuestro alcance del trabajo de fin de grado con el sistema de almacenamiento de la empresa. La función de esta cama de la de recoger a la celda en donde se introducen las cargas. Tiene aproximadamente la misma forma que la base de las celdas para que encaje cada vez que es recogida o devuelta.



FUENTE: ILUSTRACIÓN PROPIA

En segundo lugar, tendremos el bastidor de la plataforma de carga, que este a su vez de dividirá en otros dos subconjuntos. El primero es donde gravitara todos los elementos de carga y descarga.

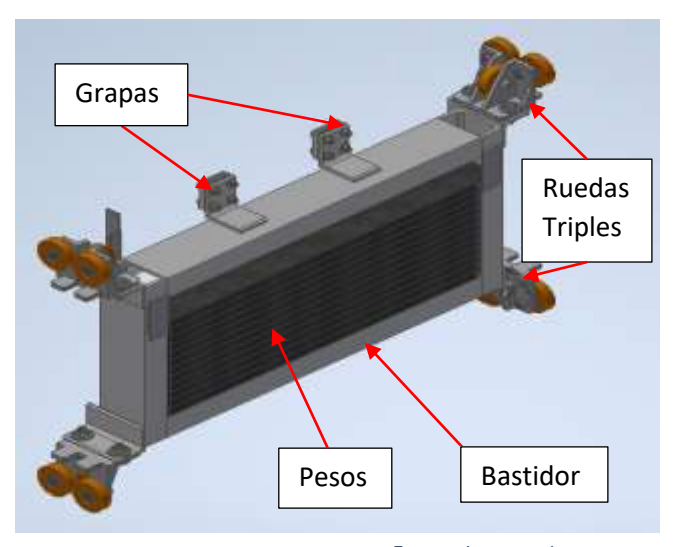
En el segundo subconjunto es donde colocaremos las ruedas triples o rodaderas, estas circularan por las guías T y otros elementos como las grapas de unión a la correa dentada y otras ruedas secundarias. Todas las dimensiones y los esquemas de montaje se encuentran en el Documento Planos.

Por último, tendremos la base de la plataforma de carga, este elemento se encuentra entre la cama de resina y el bastidor y a esta está unida por medio de cuatro células de carga que más adelante nos servirá para tener un control de los pesos que se introducen en su interior para que no se puedan introducir pesos superiores a los requisitos del fabricante. Encontraremos toda la información y dimensiones requeridas en el Anexo 1: Cálculos.

4) Conjunto contrapeso

Como su propio nombre indica hará la función de contrapeso, ayudando a que el esfuerzo que realiza el motor sea el mínimo, ascendiendo y descendiendo las cargas suavemente.

Este conjunto consiste en un bastidor, en que se albergarán todos los pesos necesarios para equilibrar las cargas, este cálculo se realizará con la carga máxima que se pueda introducir en el elevador, las dimensiones y el montaje se mostrará en el Anexo 1: Cálculos y en el Documento Planos.



FUENTE: ILUSTRACIÓN PROPIA

Se introducirán unas ruedas triples o rodaderas comerciales como las que se instalan en el elevador y son estas las que transcurrirán por las guías de elevación

Después tendremos las grapas que sirven para unir las correas dentadas a nuestro conjunto de contrapeso. El diseño de los distintos elementos y la descripción de todos los elementos comerciales se detallarán en el Anexo 1: Cálculos y en el Documento Planos.

5) Correas dentadas

Las correas dentadas serán las que unirán el conjunto del elevador con el conjunto del contrapeso y pasarán por las poleas del conjunto tractor y por el conjunto tensor cerrándolo en un ciclo. Al ser un elemento comercial se detallará todo en el Anexo 1: Cálculos.

ANEXO 1: CALCULOS

1.1 CÁLCULOS ESTRUCTURALES 1.1.1 LOADING DOCK

CALCULO ESTRUCTURAL DEL LOADING DOCK

Primero realizaremos los cálculos necesarios según el CTE-DB-SE, de las cargas a las que estará la estructura del loading dock

Segundo crearemos un modelo de nuestra estructura en Nastran – Patran, extrayendo la información necesaria y si nuestra estructura es admisible.

CALCULOS SEGÚN EL CTE-DB-SE

1. MATERIALES

Para los elementos estructurales de nuestro Loading Dock hemos utilizado Acero S355, por lo tanto, tendremos una *Tensión de Fluencia Característica de* 355 N/mm²

Por lo tanto, tendremos una tensión de fluencia de proyecto, con un coeficiente de seguridad de 1,05:

$$f_{yk} = \frac{f_{yk}}{\gamma_{mo}} = \frac{355}{1.05} = 338 \text{ N/mm}^2$$

2. ACCIONES PERMANENTES

2.1 PESO PROPIO

El peso propio se introduce con la opción de gravedad en el análisis del Software 3D.

Cerramientos y fachadas Laterales.

Estos también están incluidos cuando ponemos la opción gravedad en el software 3D

3. ACCIONES VARIABLES

3.1 SOBRECARGA DE USO

En este apartado no tendremos en cuenta ninguna carga ya que no gravitara nada por encima de nuestro Loading Dock.

3.2 VIENTO

3.2.1 GENERALIDADES

Ámbito de aplicación: Edificios situados en altitudes inferiores a 2000m, con esbeltez no superior a 6 (L/R)

Altura = 2472mm

Largo = 3470mm

Ancho = 1474mm

Esbeltez = (Ancho/Alto) = 1474/2472 = 0.596

En los edificios se comprueba la acción del viento en dos direcciones ortogonales cualesquiera. Ambos sentidos en cada dirección.

La acción del viento genera fuerzas tangenciales (Coeficiente de fricción) paralelas a la superficie. Se calculan como el producto de la expresión por el coeficiente de rozamiento, en este caso será de 0,04, por ser una superficie muy rugosa.

3.2.2 ACCIONES DEBIDAS AL VIENTO

Fuerza Perpendicular a la superficie de cada punto expuesto, o presión estática

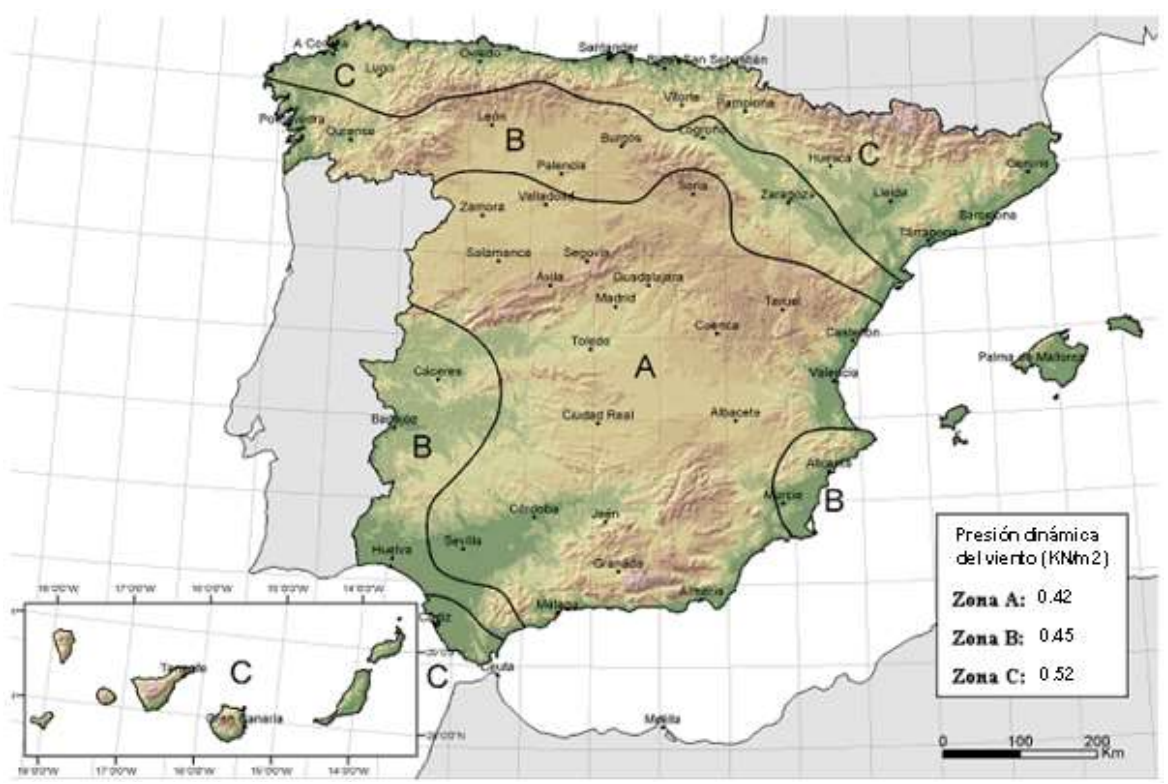
$$q(z) = q_b * C_e(z) * C_p$$

 q_b : Presión dinámica del viento, en función del emplazamiento geográfico de la obra consultaremos la Figura D1 del CTE DB SE-AE (que se muestra a continuación)

C_e: Coeficiente de exposición, función de la altura del punto considerado y del grado de aspereza del entorno, puede tomarse un valor constante de 2,0.

 C_p : Coeficiente Eolico o de presión, en función de la forma y orientación de la superficie y de la posición del punto respecto del borde de la superficie un valor negativo indica succión. Su valor se establece en 3.3.3 y 3.3.4

Del siguiente mapa extraeremos q_b la presión dinámica del viento:



FUENTE: CTE DB SE-AE

Como nuestro proyecto va a ser instalado en Santander tenemos que coger la zona C, por lo tanto $q_b=0.52\ ^{KN}\!/_{m^2}$

Para el COEFICIENTE DE EXPOSICIÓN $\mathcal{C}_e(\mathbf{Z})$ Acudiremos a la Tabla D2 del CTE DB SEAF

Sacaremos los coeficientes para cada tipo de entorno: en este caso tendremos que extraer los datos de la Zona IV

D.2 Coeficiente de exposición

1 El coeficiente de exposición c_e para alturas sobre el terreno, z, no mayores de 200 m, puede determinarse con la expresión:

$$c_e = F \cdot (F + 7 k)$$
 (D.2)
 $F = k \ln (\max (z,Z) / L)$ (D.3)

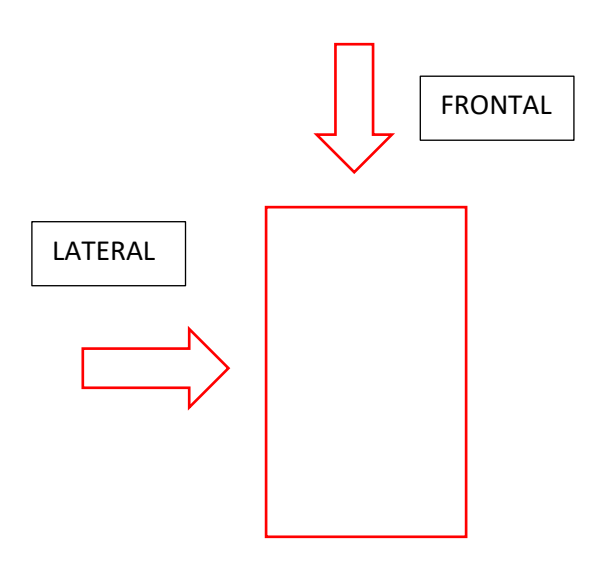
siendo k, L, Z parámetros característicos de cada tipo de entorno, según la tabla D.2

Tabla D.2 Coeficientes para tipo de entorno

	Coulds do assessment del colores		Parámetro		
	Grado de aspereza del entorno	k	L (m)	Z (m)	
t	Borde del mar o de un lago, con una superficie de agua en la dirección del viento de al menos 5 km de longitud	0,156	0,003	1,0	
II	Terreno rural Ilano sin obstáculos ni arbolado de importancia	0,17	0,01	1,0	
ш	Zona rural accidentada o llana con algunos obstáculos aislados, como árboles o construcciones pequeñas	0,19	0,05	2,0	
IV	Zona urbana en general, industrial o forestal	0,22	0,3	5,0	
v	Centro de negocios de grandes ciudades, con profusión de edificios en altura	0,24	1,0	10,0	

FUENTE: CTE DB SE-AE

Para el COEFICIENTE DE PRESIÓN (C_p) analizaremos el viento lateral y el viento frontal.



3.2.2.1 VIENTO LATERAL – PARAMENTOS VERTICALES (TABLA D3)

*En este caso no distinguiremos entre zonas A, B, C, D o E cogeremos las más desfavorables tanto de presión como de succión.

Área de Estructura = $3,470 * 1,474 = 5,11 m^2$

$$h/d = 2472/1474 = 1,677$$

Por lo tanto, entraremos a la tabla con A = 5 y con 1,677, cogeremos los datos de las zonas A y D.

D será la zona donde golpea el viento y la zona A será en el resto.

$$c_{P_A} = -1.3$$

 $c_{P_D} = 0.9$

CARGA DEBIDO AL VIENTO LATERAL

$$q_{V_L} = q_b * C_e * C_p$$

$$q_{V_L} = 0.52 \frac{KN}{m^2} * 1.336 * C_p = 0.69472C_p$$

$$q_{V_{L_A}} = 0.69472 * (-1.3) = -0.90 \frac{KN}{m^2}$$

$$q_{V_{L_D}} = 0.69472 * (0.625) = 0.625 \frac{KN}{m^2}$$

ZONAS	Α	D
CARGA q_{V_L}	- 0,90	0,625

$$q_{V_{L_A}} = -0.90 \frac{KN}{m^2} * \frac{1000N}{1KN} * \frac{1m^2}{1000 \text{ mm}^2} = -0.0009 \frac{N}{\text{mm}^2}$$

$$q_{V_{L_D}} = 0.625 \; \frac{KN}{m^2} * \; \frac{1000N}{1KN} * \; \frac{1m^2}{1000 \; mm^2} = \; 0.000635 \; \frac{N}{mm^2}$$

3.2.2.2 VIENTO LATERAL - EN CUBIERTA

$$\begin{aligned} q_{V_L} &= 0.52 \frac{\text{KN}}{\text{m}^2} * 1.336 * C_p = 0.69472 C_p \\ c_{P_A} &= -1.3 \\ q_{V_{L_{AC}}} &= 0.69472 * (-1.3) = -0.90 \frac{\text{KN}}{\text{m}^2} \end{aligned}$$

ZONAS	A
CARGA $q_{V_{Lc}}$	- 0,90

$$q_{V_{L_{AC}}} = -0.90 \frac{KN}{m^2} * \frac{1000N}{1KN} * \frac{1m^2}{1000 \text{ mm}^2} = -0.0009 \frac{N}{\text{mm}^2}$$

3.2.2.3 VIENTO FRONTAL - EN PARAMENTOS VERTICALES

*En este caso no distinguiremos entre zonas A, B, C, D o E cogeremos las más desfavorables tanto de presión como de succión.

Área de Estructura = $3,470 * 1,474 = 5,11 m^2$

h/d = 2472/3470 = 0.712

ZONAS	Α	D
CARGA q_{V_F}	-0,90	0,625

$$\begin{split} q_{V_{F_A}} &= -0.90 \; \frac{KN}{m^2} * \; \frac{1000N}{1KN} * \; \frac{1m^2}{1000 \; mm^2} = \; -0.0009 \; \frac{N}{mm^2} \\ q_{V_{F_D}} &= 0.625 \; \frac{KN}{m^2} * \; \frac{1000N}{1KN} * \; \frac{1m^2}{1000 \; mm^2} = \; 0.000625 \; \frac{N}{mm^2} \end{split}$$

3.2.2.4 VIENTO FRONTAL - EN CUBIERTA

La acción del viento frontal en la cubierta será la misma que el viento lateral

$$\begin{aligned} q_{V_L} &= 0.52 \frac{\text{KN}}{\text{m}^2} * 1.336 * C_p = 0.69472 C_p \\ c_{P_A} &= -1.3 \\ q_{V_{L_{AC}}} &= 0.69472 * (-1.3) = -0.90 \frac{\text{KN}}{\text{m}^2} \end{aligned}$$

ZONAS	A
CARGA $q_{V_{Fc}}$	- 0,90

$$q_{V_{FAC}} = -0.90 \frac{KN}{m^2} * \frac{1000N}{1KN} * \frac{1m^2}{1000 \text{ mm}^2} = -0.0009 \frac{N}{\text{mm}^2}$$

4 ACCIONES DEBIDAS A LA NIEVE

$$q_N = \mu * S_k$$

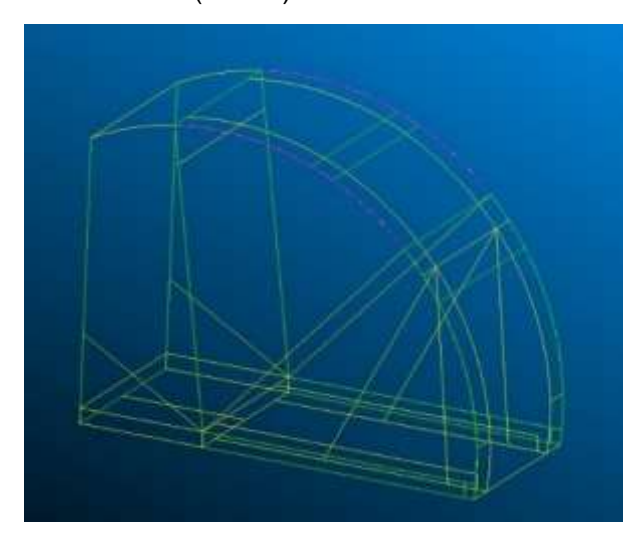
μ: Coeficiente de Forma (Según 3.5.3)

S_k: Valor Caracteristico de carga (Segun 3.5.2)

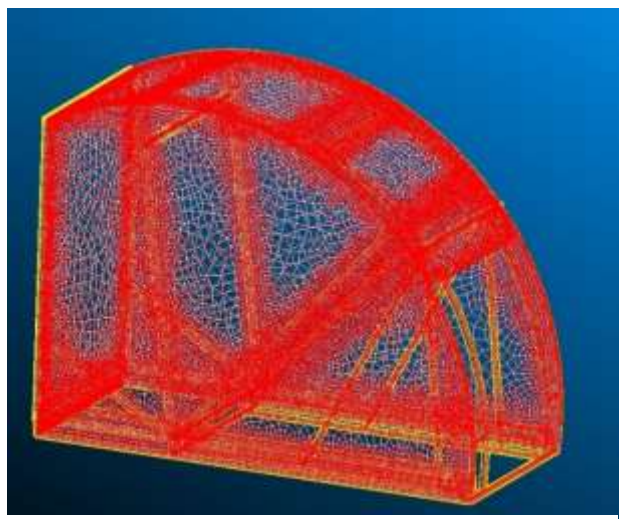
$$\begin{split} \mu &= 1 \\ S_k &= 0.3 \; \frac{KN}{m^2} \\ q_N &= \; 1*0.3 \; \frac{KN}{m^2} = \; 0.3 \; \frac{KN}{m^2} \\ q_N &= \; 0.3 \; \frac{KN}{m^2} * \frac{1000N}{1KN} * \; \frac{1m^2}{1000 \; mm^2} = \; 0.0003 \; \frac{N}{mm^2} \end{split}$$

CREACIÓN DEL MODELO EN NASTRAN

Realizando simplificaciones diseñamos la geometría de la estructura con elementos
 (beams) y elementos 2D (Shells)



2) Mallamos la geometría



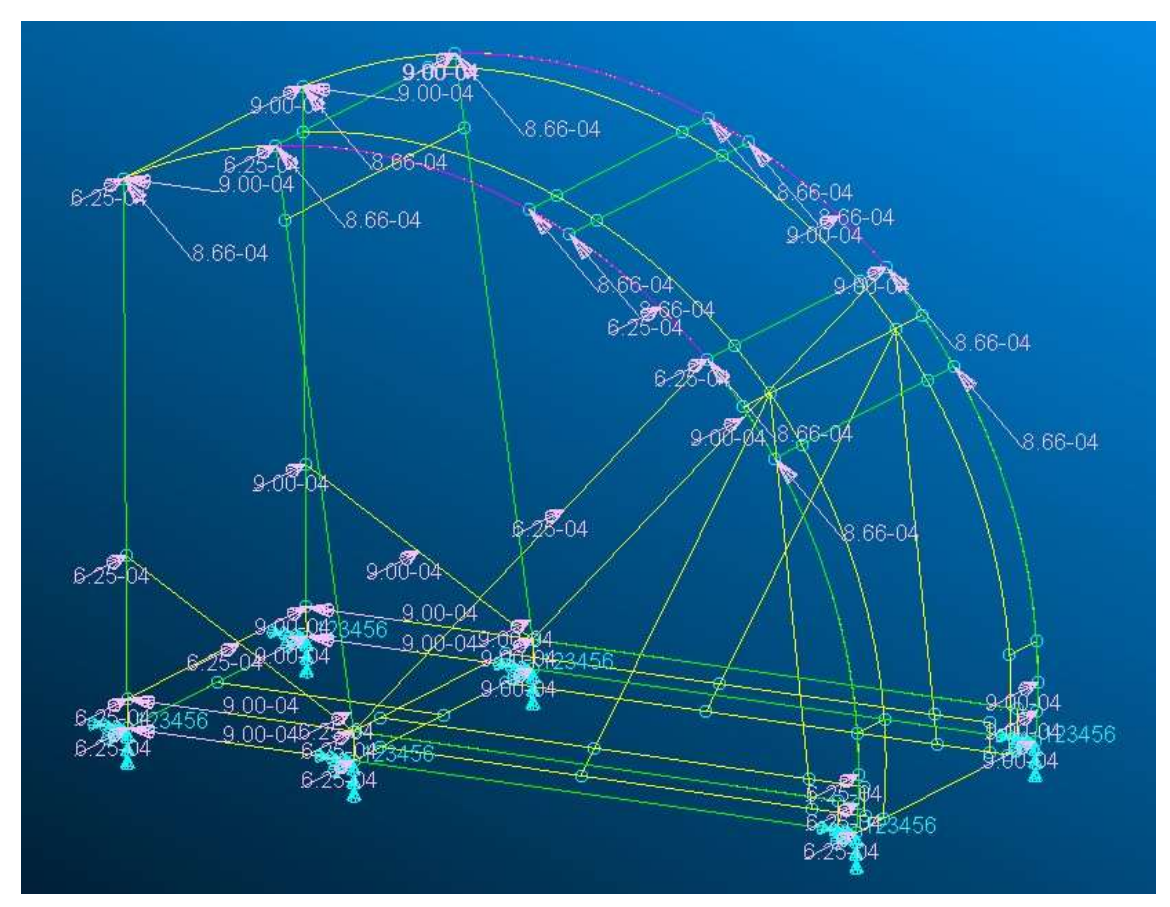
FUENTE: ILUSTRACIÓN PROPIA

3) Introducimos los materiales y las propiedades de cada elemento. Beams and shells.



FUENTE: ILUSTRACIÓN PROPIA

4) Añadimos las restricciones de desplazamiento y las cargas por viento y por nieve. También introducimos el peso propio.



FUENTE: ILUSTRACIÓN PROPIA

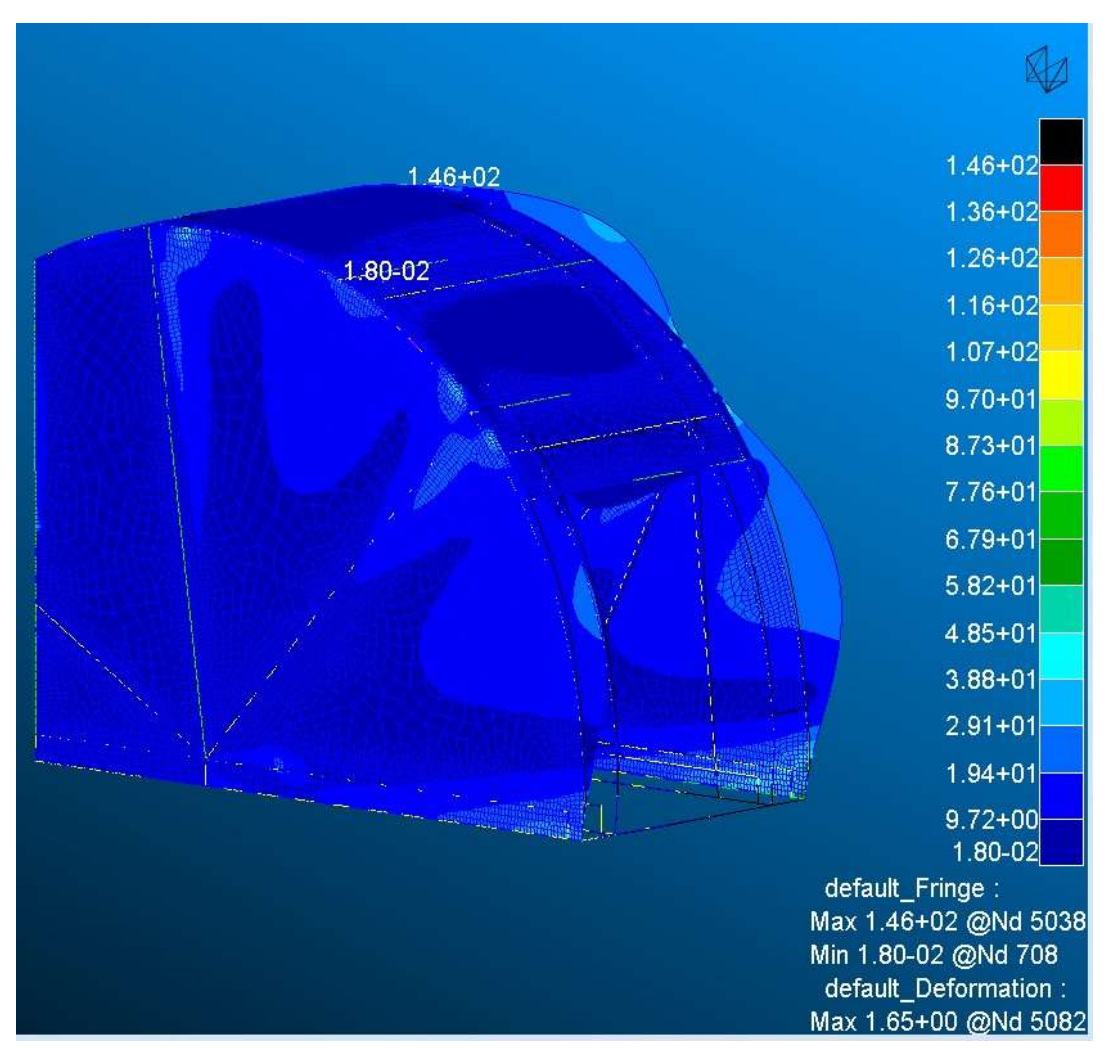
5) Realizamos el análisis y obtenemos los siguientes resultados. Por un lado, tendremos los resultados del tensor de tensiones, según Von Misess. Estableceremos un coeficiente de seguridad de 1,5 que es lo que se suele establecer para este tipo de estructuras tan pequeñas.

En este montaje tenemos acero S275 y acero S355, por lo tanto, las tensiones admisibles para cada uno de estos aceros con un coeficiente de seguridad de 1,5 serán los siguientes:

$$\begin{aligned} &\text{Acero S355} \ \rightarrow \sigma_{adm} = \frac{\sigma_{limite\ elastico}}{C_s} = \frac{355}{1.5} = 236.67\ \text{N/}_{mm^2} \\ &\text{Acero S275} \ \rightarrow \sigma_{adm} = \frac{\sigma_{limite\ elastico}}{C_s} = \frac{275}{1.5} = 183.33\ \text{N/}_{mm^2} \end{aligned}$$

Los cálculos nos muestran que la tensión máxima en nuestra estructura según el análisis de Von Misess es de 146 $^{
m N}/_{
m mm^2}$

Por lo tanto, el coeficiente de seguridad final será:



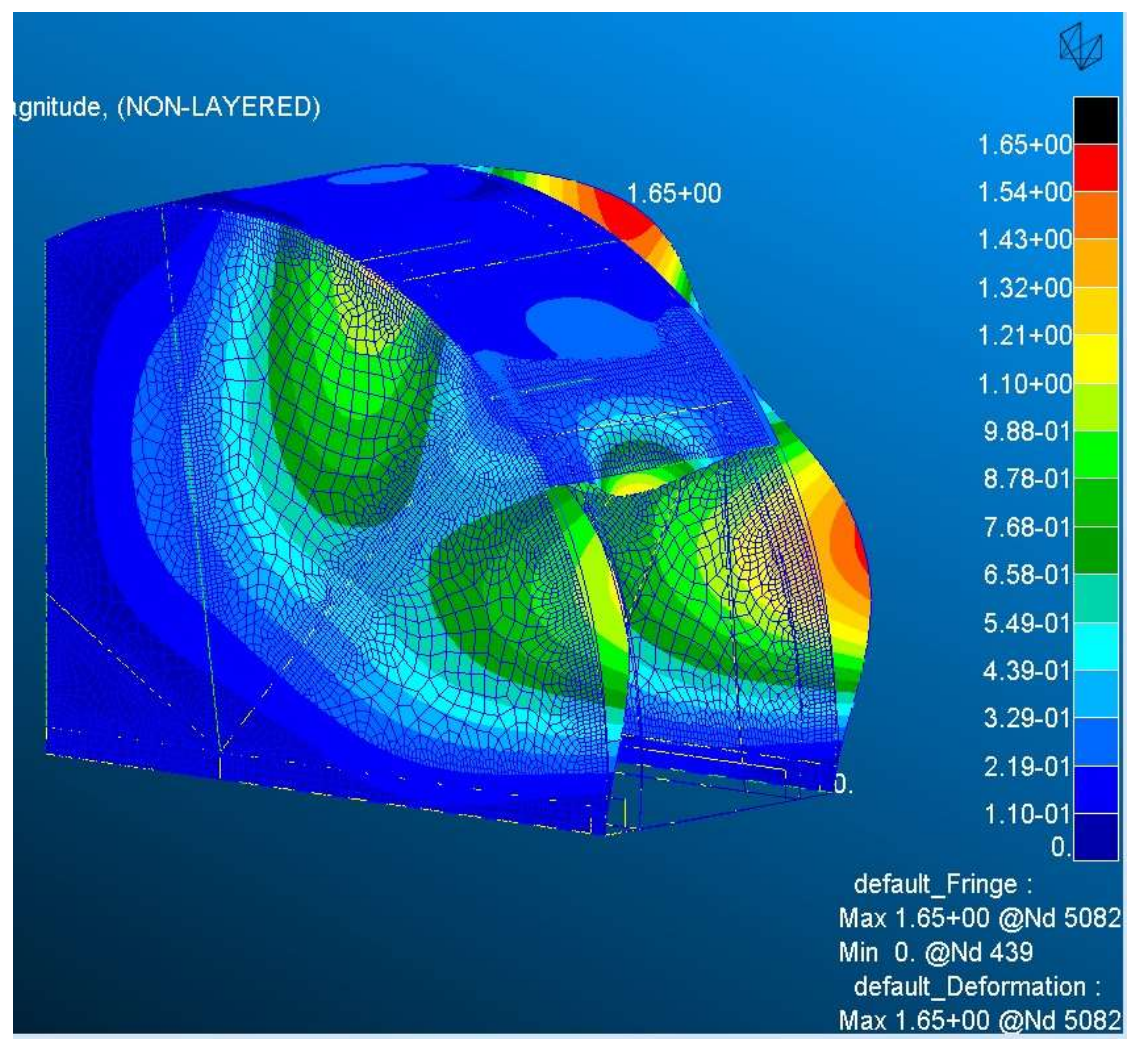
FUENTE: ILUSTRACIÓN PROPIA

Acero S355
$$\rightarrow$$
 C_{s Final} $=$ $\frac{\sigma_{plasticidad}}{\sigma_{max}} = \frac{355}{146} = 2.4$
Acero S275 \rightarrow C_{s Final} $=$ $\frac{\sigma_{plasticidad}}{\sigma_{max}} = \frac{275}{146} = 1.88$

Con todos estos datos podemos decir que con un coeficiente de seguridad de 1.5:

$$\sigma_{adm} > \sigma_{max}$$

6) Extraeremos los desplazamientos máximos



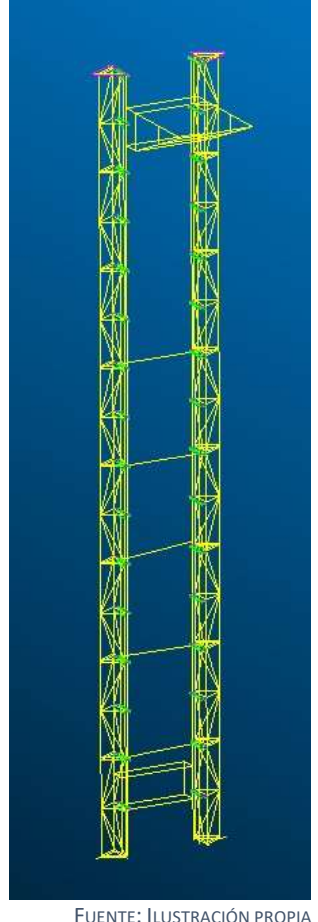
FUENTE: ILUSTRACIÓN PROPIA

Del anterior diagrama en el peor de los casos analizado el desplazamiento máximo será de **1.65 mm** siendo este desplazamiento infimo.

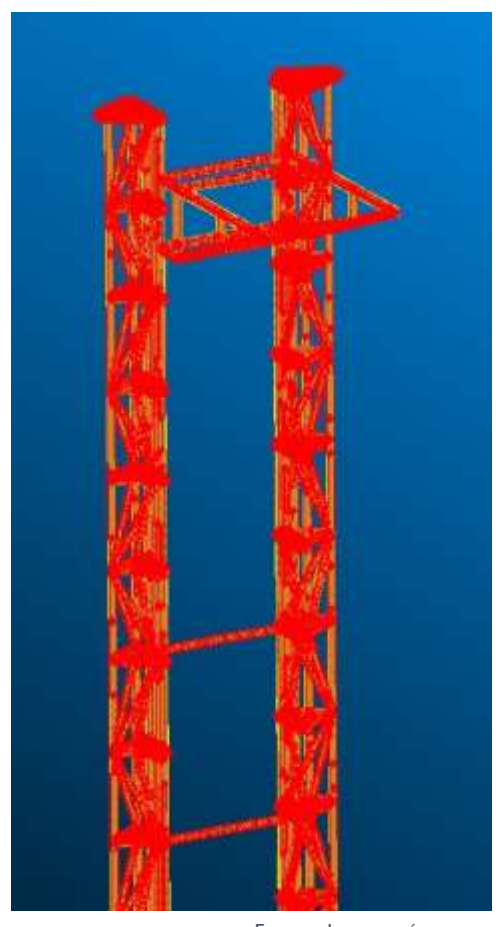
1.1.2 ESTRUCTURA DE ELEVACIÓN/DESCENSO

Crearemos un modelo de nuestra estructura en Nastran – Patran, extrayendo la información necesaria y si nuestra estructura es admisible.

Realizando simplificaciones diseñamos la geometría de la estructura con elementos
 (beams) y elementos 2D (Shells). A continuación, mallaremos nuestra geometría.







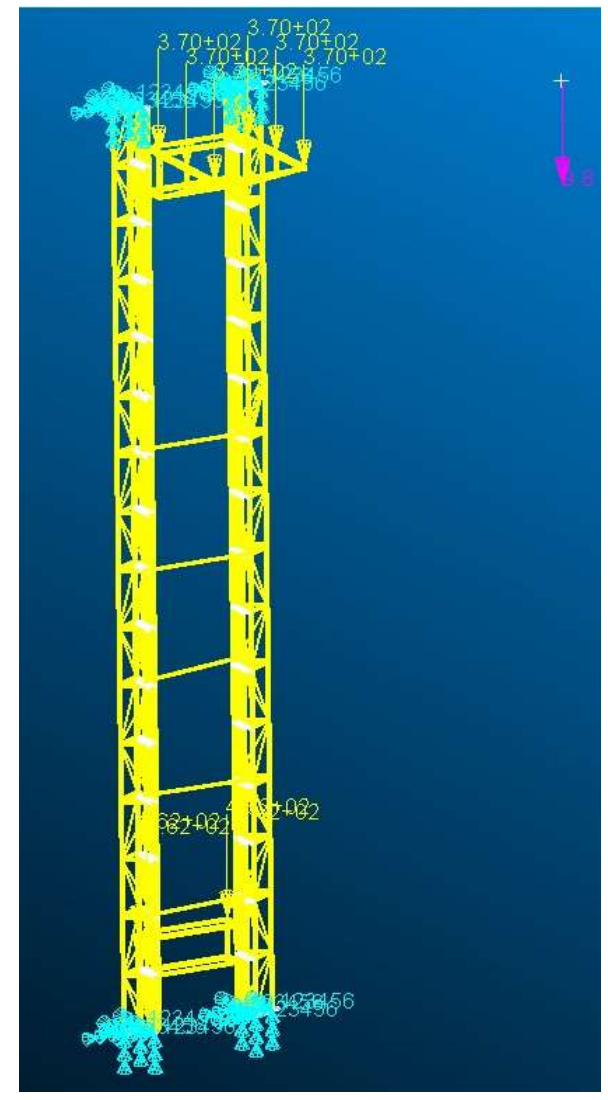
FUENTE: ILUSTRACIÓN PROPIA

2) Introducimos los materiales y las propiedades de cada elemento. Beams and shells.



FUENTE: ILUSTRACIÓN PROPIA

3) Añadimos las restricciones de desplazamiento y las fuerzas más desfavorables correspondientes. También introducimos el peso propio.



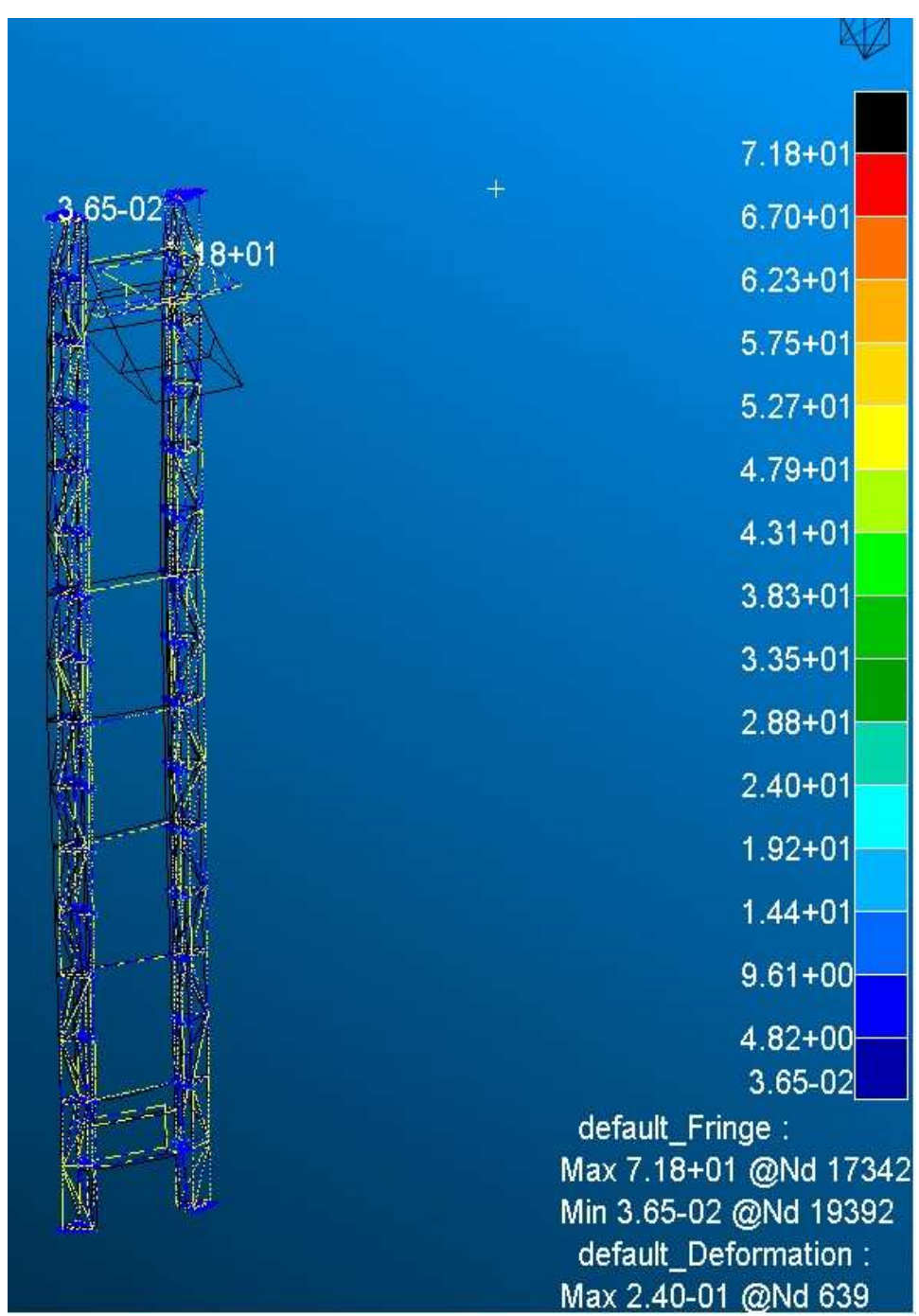
FUENTE: ILUSTRACIÓN PROPIA



FUENTE: ILUSTRACIÓN PROPIA

4) Realizamos el análisis y obtenemos los siguientes resultados.

Por un lado, tendremos los resultados del tensor de tensiones.



FUENTE: ILUSTRACIÓN PROPIA

Estableceremos un coeficiente de seguridad de 1,2 ya que esta estructura no está sometida a grandes cargas

En este montaje tenemos acero S275, por lo tanto, las tensiones admisibles para cada uno de estos aceros con un coeficiente de seguridad de 1,2 serán los siguientes:

Acero S275
$$\rightarrow \sigma_{adm} = \frac{\sigma_{limite\;elastico}}{C_s} = \frac{275}{1.2} = 229.16 \text{ N/mm}^2$$

Los cálculos nos muestran que la tensión máxima en nuestra estructura según el análisis de Von Misess es de 71.8 $^{
m N}/_{
m mm^2}$

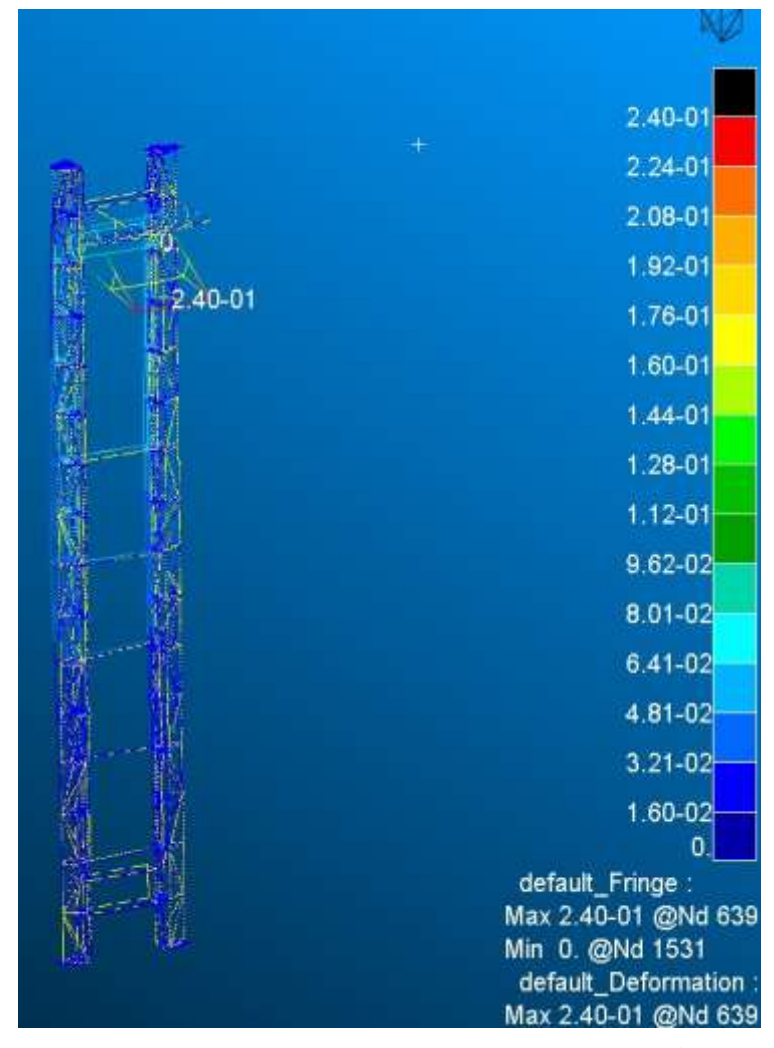
Por lo tanto, el coeficiente de seguridad final será:

Acero S275
$$\rightarrow C_{s \; Final} = \frac{\sigma_{plasticidad}}{\sigma_{max}} = \frac{275}{71.8} = 3.83$$

Con todos estos datos podemos decir que, con un coeficiente de seguridad de 1.2:

$$\sigma_{adm} > \sigma_{max}$$

5) Extraeremos los desplazamientos máximos



FUENTE: ILUSTRACIÓN PROPIA

Del anterior diagrama en el peor de los casos analizado el desplazamiento máximo será de **0.24 mm** siendo este desplazamiento mínimo.

1.2 SELECCIÓN DE ELEMENTOS COMERCIALES

A continuación, mostraremos una tabla de todos los elementos comerciales que tenemos en nuestra máquina, su conjunto y su subconjunto e iremos detallando la justificación y los cálculos pertinentes si fuese el caso, de cada uno de ellos.

CONJUNTO	SUBCONJUNTO	ELEMENTO	Orden de
		COMERCIAL	Selección
LOADING	Sistema de apertura	Motor de puerta	1.1
DOCK	y cierre de la puerta	Piñones	1.2
		Poleas	1.3
		Tensor Rosta	1.4
		Cadena de	1.5
		transmisión	
	Puerta	Final de carrera de	2.1
		llave	
		Solenoide	2.2
		Ruedas de	2.3
		rodadura	
		Ruedas	2.4
		Tangenciales	
		Borde sensible	2.5
	Recubrimiento	Puerta de	3.1
	trasero	mantenimiento	
	Consola	PC User	4.1
		Teclado	4.2
		Pulsadores	4.3
		retroiluminados	
		Lector Rfid	4.4
SISTEMA DE	Conjunto Tractor	Servo motor	1.1
ELEVACIÓN		Reductor	1.2
		Correa dentada	1.3
		Poleas dentadas	1.4
		Tuper Lock	1.5
	Conjunto Tensor	Poleas	2.1
		Tuper lock	2.1
		Cojinetes	2.2
		Deslizaderas	2.3
		Muelles	2.4
		Amortiguadores	2.5
	Estructura	Guías T	3.1
	Conjunto elevador	Ruedas triples o	4.1
		rodaderas	
		Células de carga	4.2
	Conjunto contrapeso	Ruedas triples y	5.1
		rodaderas	

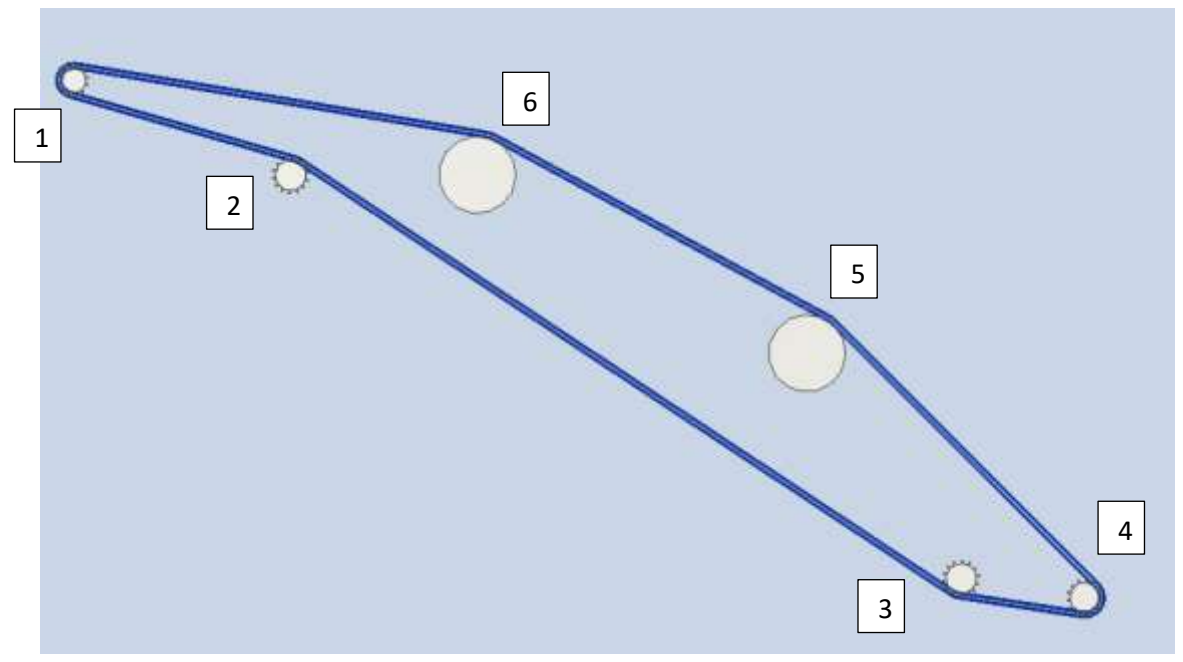
1.2.1 DISEÑO Y CÁLCULO DE LA CADENA DE TRANSMISIÓN DE RODILLOS.

Para la selección de los distintos elementos del sistema de apertura y cierre de la puerta hemos tenido que realizar previamente un diseño y cálculo de la cadena de transmisión de rodillos.

Para el diseño de cadena cinemática de rodillos de transmisión, su verificación y posterior selección de elementos, hemos introducido los datos en un software de diseño y análisis.

1) Diseño de la cadena de rodillos de transmisión en el software.

Hemos diseñado la siguiente cadena cinemática, con las dimensiones en las que ira instalado posteriormente, en este caso no hemos introducido la puerta deberemos de verificar que la resistencia a tracción de la cadena sea muy superior a la tensión que le puede provocar la puerta. Que sería despreciable.



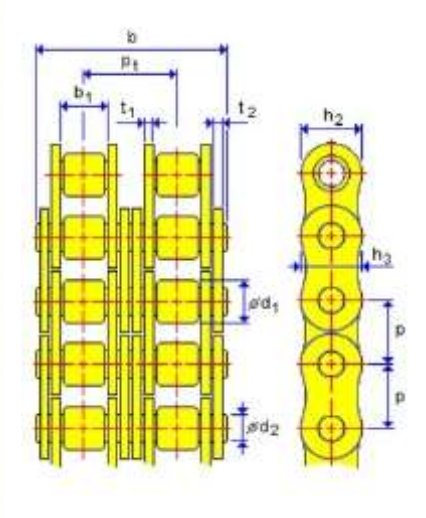
FUENTE: ILUSTRACIÓN PROPIA

2) Una vez introducidos los datos del piñón motor, piñones conducidos y poleas planas realizamos los cálculos obteniendo los siguientes datos y resultados:

Una vez realizado el dimensionamiento y habiendo hecho los cálculos obtenemos los siguientes datos, tanto de los elementos que tendremos que utilizar como de las condiciones de trabajo y de los resultados.

Propiedades de la cadena

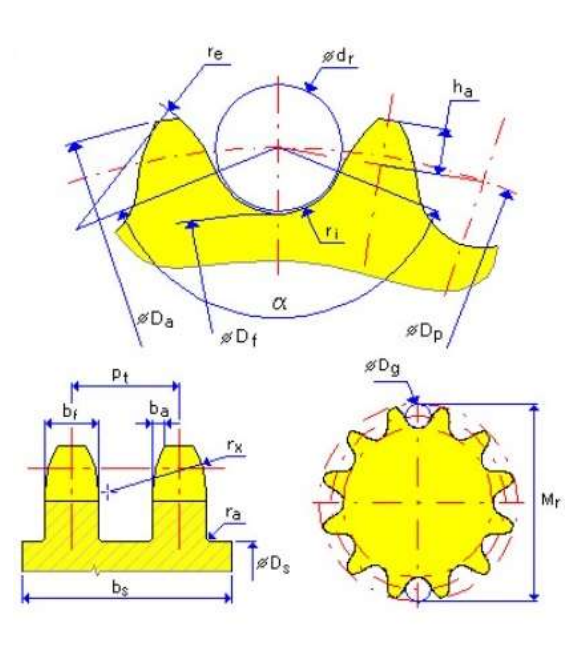
Cadena : ISO 606:2004 - Cadenas de rodillo de precisión corto (UE)	de trans	misión de paso
Designación de tamaño de cadena		08B-1-322
Separación	р	12,700 mm
Número de eslabones de cadena	×	322,000 su
Número de tramos de cadena	k	1,000 su
Anchura mínima entre placas interiores	bi	7,750 mm
Diámetro máximo de rodillo	di.	8,510 mm
Diámetro máximo de cuerpo de pasador	d ₂	4,450 mm
Profundidad máxima de placa interior	ha	11,810 mm
Profundidad máxima de placa exterior o intermedia	h	10,920 mm
Anchura máxima sobre pasadores de rodamiento	ь	17,000 mm
Anchura máxima de placa interior	Ť:	1,500 mm
Anchura máxima de placa intermedia o exterior	to	1,500 mm
Área de contacto de la cadena	A	50,000 mm^2
Resistencia a tracción	Fu	17800,000 N
Masa específica de cadena	m	0,700 kg/m
Factor de construcción de cadena	Φ	1,000 su



FUENTE: ILUSTRACIÓN PROPIA

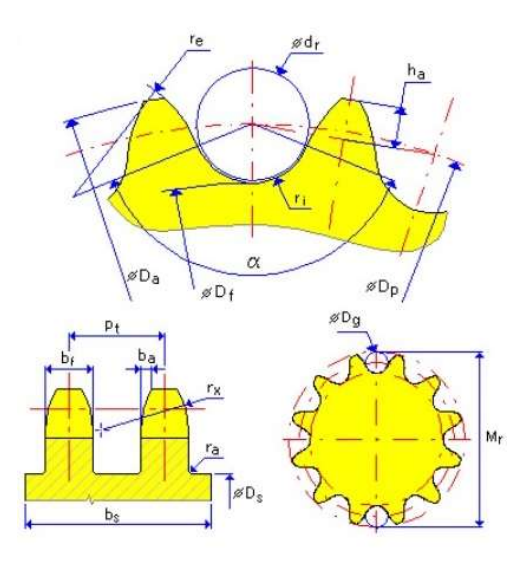
Propiedades de la rueda dentada 1: rueda dentada

Тіро	Rueda dentada motri.	
Número de dientes	z	12,000 su
Número de dientes en contacto	Zc	6,000 su
Diámetro de separación	Dp	49,069 mm
Número de tramos	k	1,000 su
Juego de asentamiento	SC	0,043 mm
Anchura de diente	bf	7,208 mm
Desahogo del lado del diente	b _a	1,651 mm
Radio del lado del diente	r _x	12,700 mm
Diámetro de la cubierta	D _s	26,499 mm
Anchura de la cubierta de la rueda dentada	b _s	7,208 mm
Altura del diente sobre el polígono de paso	h.	3,810 mm
Radio del asentamiento del rodillo	r,	4,298 mm
Radio del flanco del diente	r _e	14,297 mm
Ángulo del asentamiento del rodillo	а	132,50 gr
Radio del empalme de la cubierta	r _a	0,508 mm
Diámetro de la cabeza de la rueda dentada	D _a	55,017 mm
Diámetro de la raíz de la rueda dentada	Dr	40,474 mm
Medición del diámetro del pasador	D _o	8,510 mm
Medición sobre pasadores	Ma	57,579 mm
Coordenada X	x	0,014 mm
Coordenada Y	У	4,471 mm
Longitud de intervalo	Li	698,967 mm
Coeficiente de potencia	P _x	1,000 su
Potencia	Р	0,270 kW
Par de torsión	Т	18,417 N m
Velocidad	n	140,000 rpm
Momento de inercia	I	0,000 kg m^2
Arco de contacto	β	173,49 gr
Fuerza en entrada	F ₁	750,727 N
Fuerza en salida	F ₂	0,091 N
Carga axial	F,	750,817 N



Propiedades de la rueda dentada 2: rueda dentada

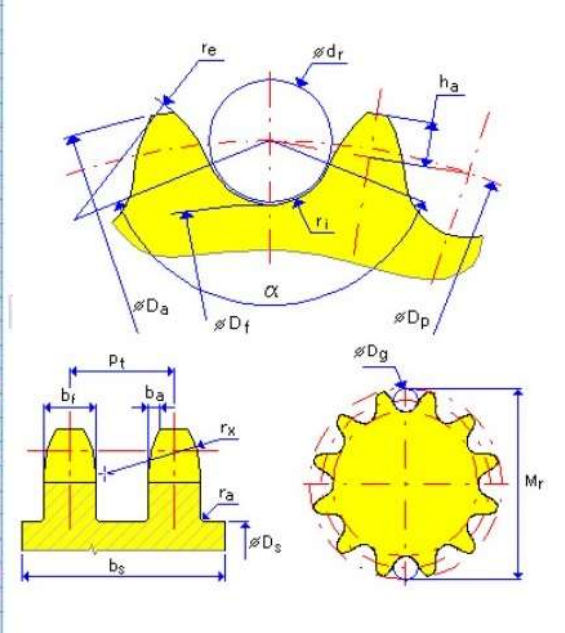
Tipo		Rueda dentada conduc		
Número de dientes	Z	14,000 su		
Número de dientes en contacto	2,	1,000 su		
Diámetro de separación	D,	57,073 mm		
Número de tramos	k.	1,000 su		
Juego de asentamiento	SC	0,043 mm		
Anchura de diente	b _e	7,208 mm		
Desahogo del lado del diente	b.	1,651 mm		
Radio del lado del diente	f.	12,700 mm		
Diámetro de la cubierta	D,	34,744 mm		
Anchura de la cubierta de la rueda dentada	b.	7,208 mm		
Altura del diente sobre el polígono de paso	h.	3,810 mm		
Radio del asentamiento del rodillo	E	4,298 mm		
Radio del flanco del diente	E.	16,339 mm		
Ángulo del asentamiento del rodillo	a	133,57 gr		
Radio del empalme de la cubierta	E.	0,508 mm		
Diámetro de la cabeza de la rueda dentada	D,	63,262 mm		
Diámetro de la raíz de la rueda dentada	D.	48,478 mm		
Medición del diámetro del pasador	D,	8,510 mm		
Medición sobre pasadores	M.	65,583 mm		
Coordenada X	X	367,000 mm		
Coordenada Y	y.	165,000 mm		
Distancia al centro	C	400,560 mm		
Longitud de intervalo	L.	397,029 mm		
Coeficiente de potencia	P.	1,000 su		
Potencia	p	0,265 kW		
Par de torsión	T	21,056 N m		
Velocidad	n	120,000 rpm		
Momento de inercia	I .	0,000 kg mn		
Coeficiente de transmisión	1	1,167 su		
Arco de contacto	β	17,48 gr		
Fuerza en entrada	F.	0,091 N		
Fuerza en salida	F,	750,727 N		
Carga axial	E-	750,641 N		



FUENTE: ILUSTRACIÓN PROPIA

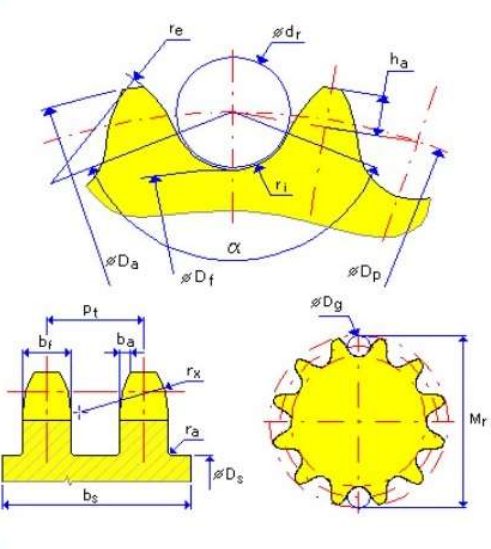
Propiedades de la rueda dentada 3: rueda dentada

Tipo	4	Polea	
Número de dientes	ż	14,000 %	
Número de dientes en contacto	Z,	1,000 su	
Diámetro de separación	D,	57,073 mm	
Número de tramos	k,	1,000 su	
Juego de asentamiento	SC	0,043 mm	
Anchura de diente	b,	7,200 mm	
Desahogo del lado del diente	b,	1,651 mm	
Radio del lado del diente	r,	12,700 mm	
Diámetro de la cubierta	D,	34,744 mm	
Anchura de la cubierta de la rueda dentada	b,	7,208 mm	
Altura del diente sobre el polígono de paso	h	3,810 mm	
Radio del asentamiento del rodillo	E,	4,298 mm	
Radio del flanco del diente	ī,	16,339 mm	
Ángulo del asentamiento del rodillo	0	133,57 gr	
Radio del empalme de la cubierta	ī,	0,508 mm	
Diámetro de la cabeza de la rueda dentada	D,	63,262 mm	
Diámetro de la raíz de la rueda dentada	D.	48,478 mm	
Medición del diámetro del pasador	D,	8,510 mm	
Medición subre pasadores	M.	65,583 mm	
Coordenada X	×	1498,000 mm	
Coordenada Y	Y	845,000 mm	
Distancia al centro	C	1717,688 mm	
Longitud de intervalo	L	1318,447 mm	
Coeficiente de potencia	P,	0,000 su	
Potencia	p	0,000 kW	
Par de torsión	T	0,000 N m	
Velocidad	n	120,000 rpm	
Momento de inercia	I	0,000 kg m^2	
Coeficiente de transmisión	i	1,167 su	
Arco de contacto	В	24,79 gr	
Fuerza en entrada	Fi:	0,091 N	
Fuerza en salida	F)	0,091 N	
Carga axial	F.	0,039 N	



Propiedades de la rueda dentada 4: rueda dentada

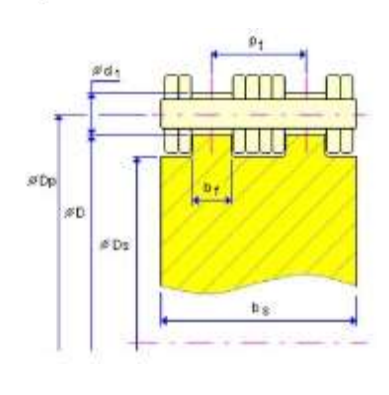
Tipo		Polea		
Número de dientes	ž?	14,000 nu		
Número de dientes en contacto	Z,	6,000 su		
Diámetro de separación	Ď,	57,073 mm		
Número de tramos	k	1,000 su		
Juego de asentamiento	SC	0,043 mm		
Anchura de diente	b	7,208 mm		
Desahogo del lado del diente	b.	1,651 mm		
Radio del lado del diente	t.	12,700 mm		
Diámetro de la cubierta	Đ,	34,744 mm		
Anchura de la cubierta de la rueda dentada	Ь,	7,208 mm		
Altura del diente sobre el poligono de paso	h,	3,810 mm		
Radio del asientamiento del rodillo	t/	4,296 mm		
Radio del flanco del diente	f.	15,339 mm		
Ángulo del asentamiento del rodillo	a	133,57 gr		
Radio del empalme de la cubierta	ŧ,	0,508 mm		
Diámetro de la cabeza de la rueda dentada	D,	63,262 mm		
Diámetro de la raiz de la rueda dentada	D,	48,478 mm		
Medición del diámetro del pasador	D,	6,510 mm		
Medición sobre pasadores	M.	65,583 mm		
Coordenada X	X	1707,000 mm		
Coordenada Y	y.	877,000 mm		
Distancia al centro	c	1917,057 mm		
Longitud de intervalo	L.	211,436 mm		
Coeficiente de potencia	p,	0,000 su		
Potencia	P	0,900 kW		
Par de torsión	T	0,000 N m		
Velocidad	n	120,000 rpm		
Momento de inercia	1	0,000 kg m^2		
Coeficiente de transmisión	i	1,367.90		
Arco de contacto	ß	143,67 gr		
Fuerza en entrada	Fr.	0,091 N		
Fuerza en salida	F)	0,091 N		
Carga axial	F.	0,172 N		



FUENTE: ILUSTRACIÓN PROPIA

Propiedades de la rueda dentada 5: polea plana

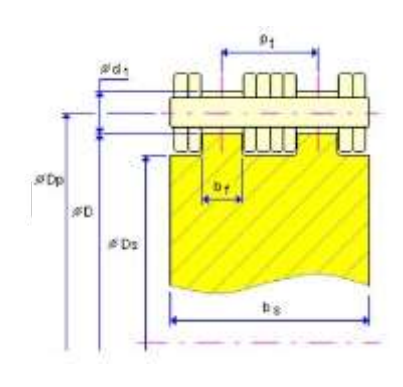
Tipo	Polea		
Diámetro nominal	D	130,000 mm	
Diámetro de separación	D _p	138,510 mm	
Anchura de tramo	b	7,208 mm	
Diámetro de la cubierta	D,	124,117 mm	
Coordenada X	х	1238,000 mm	
Coordenada Y	у	465,000 mm	
Distancia al centro	С	1320,869 mm	
Longitud de intervalo	L	622,934 mm	
Arco de contacto	β	16,61 gr	
Velocidad	n	49,597 rpm	
Coeficiente de transmisión	i	2,823 su	
Fuerza en entrada	F.	0,091 N	
Fuerza en salida	F ₂	0,091 N	
Carga axial	F,	0,026 N	



FUENTE: ILUSTRACIÓN PROPIA

Propiedades de la rueda dentada 6: polea plana

Tipo	Polea					
Diámetro nominal	D	130,000 mm				
Diámetro de separación	D,	138,510 mm				
Anchura de tramo	b	7,208 mm				
Diámetro de la cubierta	D,	124,117 mm				
Coordenada X	x	682,000 mm				
Coordenada Y	у	164,000 mm				
Distancia al centro	C	700,396 mm				
Longitud de intervalo	L	632,248 mm				
Arco de contacto	β	18,92 gr				
Velocidad	n	49,597 rpm				
Coeficiente de transmisión	i	2,823 su				
Fuerza en entrada	F,	0,091 N				
Fuerza en salida	F ₂	0,091 N				
Carga axial	F,	0,030 N				



60

Condiciones de trabajo

Potencia	P	0,270 kW				
Par de torsión	Т	18,417 N m				
Velocidad	n	140,000 rpm				
Eficiencia	η	0,980 su				
Vida útil requerida	L,	15000,000 h				
Alargamiento máximo de la cadena	ΔL_{mix}	0,030 su				
Aplicación	Funciona	miento correcto				
Entorno	Limpio					
Lubricación	Recomendada (ver notas abaj					

FUENTE: ILUSTRACIÓN PROPIA

Factores de corrección de potencia

Factor de impacto	Y	1,000 su
Factor de servicio	f,	1,000 su
Factor de tamaño de rueda dentada	f2	1,000 su
Factor de tramos	f ₃	1,000 su
Factor de lubricación	f,	1,000 su
Factor de distancia entre ejes/centros	f,	0,674 su
Factor de coeficiente	f	1,183 su
Factor de vida útil	f,	1,000 su

FUENTE: ILUSTRACIÓN PROPIA

Resultados

Velocidad de la cadena	V	0,360 mps
Desmoldeo efectivo	F,	750,636 N
Fuerza centrífuga	Fc	0,091 N
Tensión máxima en intervalo de cadena	Free	750,727 N
Factor de seguridad estática	$S_s > S_{smin}$	23,710 su > 7,000 su
Factor de seguridad dinámica	$S_{\text{D}} > S_{\text{Drein}}$	23,710 su > 5,000 su
Presión del rodamiento	$p_{\scriptscriptstyle B} < p_{\scriptscriptstyle 0} * \lambda$	15,015 MPa
Presión del rodamiento admisible	p _o	27,513 MPa
Factor específico de fricción	λ	1,254 su
Potencia de diseño	$P_D < P_R$	0,215 kW
Potencia de la cadena	Pa	0,484 kW
Vida útil de la cadena para un alargamiento especificado	t, > L,	888319 h
Vida útil de las placas de eslabón de la cadena	$t_{\rm hL} > L_{\rm h}$	2777778 h
Vida útil del casquillo y rodillo	$t_{ir} > L_i$	2777778 h

FUENTE: ILUSTRACIÓN PROPIA

Resumen de mensajes

13:00:40 Cálculo: Lubricación recomendada: Lubricación manual

13:00:40 Cálculo: La potencia máxima de la cadena está limitada por la fatiga de las placas

13:00:40 Cálculo: El cálculo indica la compatibilidad del diseño.

FUENTE: ILUSTRACIÓN PROPIA

3) Comprobaremos por último una simulación dinámica en el software, de que nuestro conjunto funciona correctamente.

CONCLUSIÓN

La cadena cinemática es válida, porque el cálculo indica compatibilidad del diseño y extraemos los datos para la selección de los elementos comerciales y también los datos más importantes de los resultados obtenidos:

En el siguiente apartado detallaremos las características y dimensiones de los elementos comerciales que escogeremos.

ELEMENTO COMERCIAL ESCOGIDO	CARACTERISTICAS IMPORTANTES
PIÑON TRACTOR	$Z = 12$; $D_P = 49.069$ mm
PIÑON CONDUCIDO	$Z = 14$; $D_P = 57.073$ mm
POLEA PLANA	D=130 mm
MOTOR - REDUCTOR	P = 270W a 140rpm

El número de eslabones de la cadena será de 322.

De las condiciones de trabajo extraemos que la **potencia del motor reductor** tiene que ser de **270 W** a una **velocidad de 140 rpm**.

En cuanto a los resultados cabe destacar que la **velocidad de la cadena será de 0.360 m/s**, por lo tanto, es bastante aceptable.

Resistencia a la tracción de la cadena serán de 17800 N, por lo tanto, el peso de la puerta se puede considerar despreciable.

Otro dato importante para el mantenimiento seria que la **lubricación se realizará** manualmente.

1.2.2 ELEMENTOS COMERCIALES DEL LOADING DOCK

1. SISTEMA DE APERTURA Y CIERRE DE LA PUERTA

1.1 MOTOR DE PUERTA

Según el análisis realizado anteriormente necesitaremos un motor de 270W a una velocidad de 140 rpm, escogemos del catálogo de RS el motorreductor AC de inducción *PC 530M4T 20 B3*.

En el que se le introducirá el eje con los piñones motores.

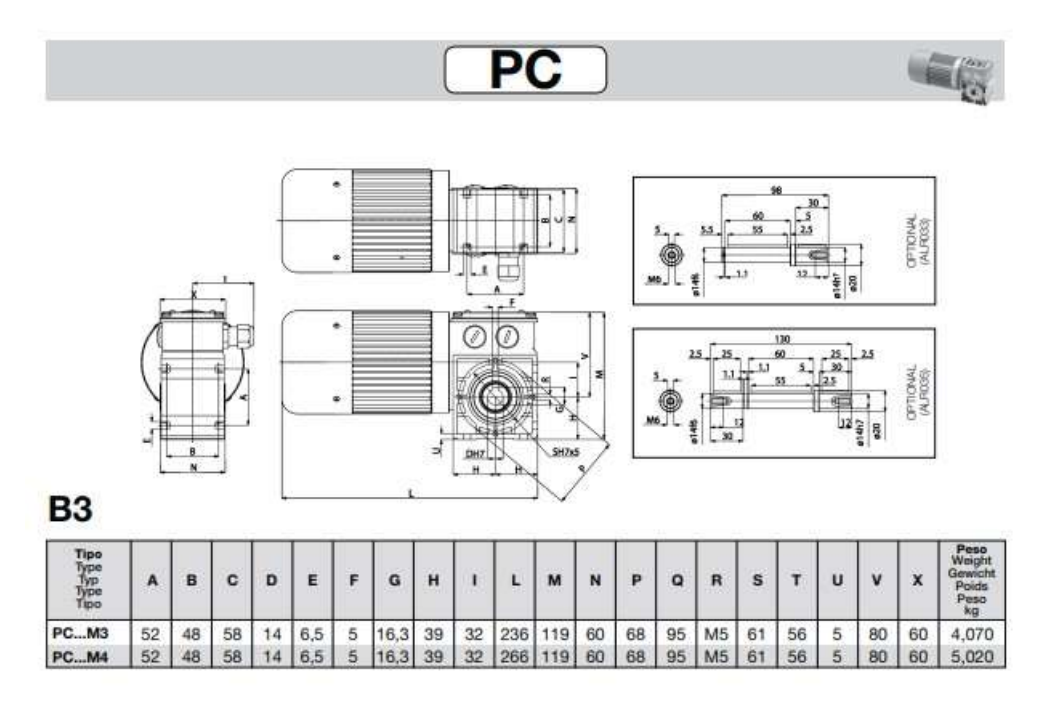
A continuación, mostramos la tabla de características y las dimensiones del motor.



FUENTE: CATALOGO RS MINIMOTOR

Type Tipo	Rapport Relación	Potencia entregada	Revoluciones entrada sin carga	Revoluciones salida sin carga	Par nominal	Tensión	Intensidad	Condensator
	1	w	rpm	rpm	Nm	Vac - 50 Hz	A	μF
PC 240M3	5	140	2800	560	2,2	230	1,03	8
PC 330M4	5	210	2800	560	3	230	1,5	10
PC 165M3	5	44	1400	280	1,5	230	0,53	4
PC 220M4	5	70	1400	280	2,2	230	0,70	5
PC 440M3T	5	180	2800	560	2,8	230A 400Y	0,90A 0,52Y	
PC 530M4T	5	270	2800	560	4,1	230A 400Y	\$	
PC 230M3T	766		280	2,2	230A 400Y	0,58A 0,34Y	20	
PC 310M4T	310M4T 5 91 1400		280	3	230A 400Y	0.78A 0,45Y		
PC 240M3	7	140	2800	400	3,3	230	1.03	8
PC 330M4	7	210	2800	400	4,6	230	1,5	10
PC 165M3	7	44	1400	200	2,3	230	0.53	4
PC 220M4	7	70	1400	200	3,3	230	0.70	5
PC 440M3T	7	180	2800	400	4,2	230A 400Y	0.90A 0.52Y	
PC 530M4T	7	270	2800	400	6,2	230A 400Y	1,40A 0,81Y	*
PC 230M3T	7	63	1400	200	3,3	230A 400Y	0,58A 0,34Y	
PC 310M4T	7	91	1400	200	4,6	230A 400Y	0.78A 0.45Y	2
PC 240M3	10	140	2800	280	4,5	230	1.03	8
PC 330M4	10	210	2800	280	6.3	230	1,5	10
PC 165M3	10	44	1400	140	3,1	230	0.53	4
PC 220M4	10	70	1400	140	4,5	230	0.70	5
PC 440M3T	10	180	2800	280	5,8	230△ 400℃	0.90A 0.52Y	
PC 530M4T	10	270	2800	280	8,5	230A 400Y	1,40A 0,81Y	-
PC 230M3T	10	63	1400	140	4.4	230A 400Y	0.58A 0.34Y	
PC 310M4T	10	91	1400	140	6,3	230A 400Y	0.78A 0.45Y	*
PC 240M3	20	140	2800	140	8	230	1.03	8
PC 330M4	20	210	2800	140	11,4	230	1.5	10
PC 165M3	20	44	1400	70	5,6	230	0.53	4
PC 220M4	20	70	1400	70	8	230	0.70	5
PC 440M3T	20	180	2800	140	10.4	230 A 400 Y	n 90 Alo 52 Y	
PC 530M4T	20	270	2800	140	15,4	230A 400Y	1,40 \(0,81 \)	
PC 230M3T	20	63	1400	/0	8	[230A] 400Y	U,58∆JU,34Y	
PC 310M4T	20	91	1400	70	11.2	230A 400Y	0.78A 0.45Y	- 8
PC 240M3	30	140	2800	93	11	230	1,03	8
PC 330M4	30	210	2800	93	15,5	230	1.5	10
PC 165M3	30	44	1400	46,5	7,7	230	0.53	4
PC 220M4	30	70	1400	46,5	11	230	0.70	5
PC 440M3T	30	180	2800	93	14,2		0,90A 0,52Y	1 2
PC 530M4T	30	270	2800	93	*20	230A 400Y	1. The state of th	
PC 230M3T	30	63	1400	46,5	11	230A 400Y	0.58A 0.34Y	
PC 310M4T	30	91	1400	46.5	15.3	230A 400Y	0.78A 0.45Y	

FUENTE: CATÁLOGO RS MINIMOTOR



FUENTE: CATÁLOGO RS MINIMOTOR

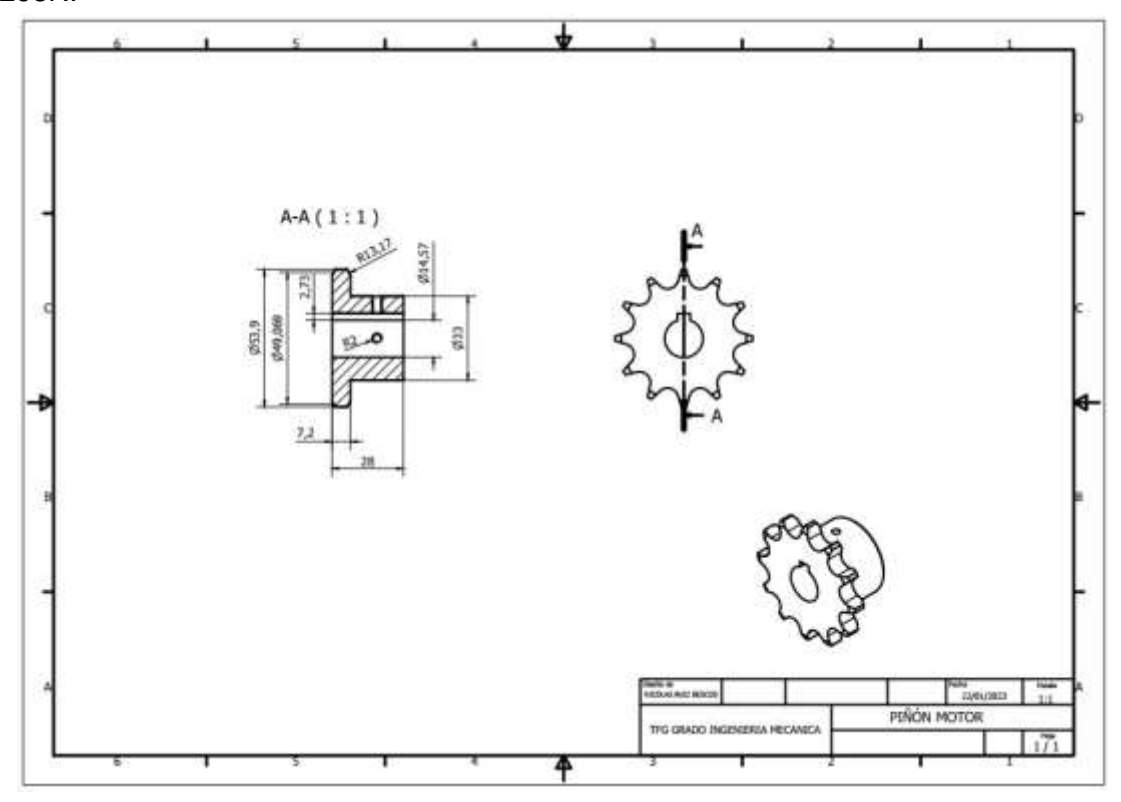
1.2 PIÑONES

Tras realizar el diseño y el cálculo anteriormente en el punto "1.2.1 Diseño y cálculo de la cadena de transmisión de rodillo. Apertura y cierre de puerta", tenemos que distinguir entre dos tipos de piñones. Los piñones tractores que son los que se montarán en el motor reductor y los piñones conducidos, que serán el resto. Uno de estos piñones conducidos se montará en el tensor rosta, por si tuviésemos que dar una tensión especifica a la cadena.

Se diseñaron con el software y con las dimensiones obtenidas se acudirá al catálogo para su compra, se realizó un plano con las siguientes dimensiones. Las dimensiones de los dientes se muestran en el apartado de diseño y cálculo. El siguiente plano es del piñón tractor que ira acoplada al motor reductor, se acoplará y se fijará con prisioneros de M4.

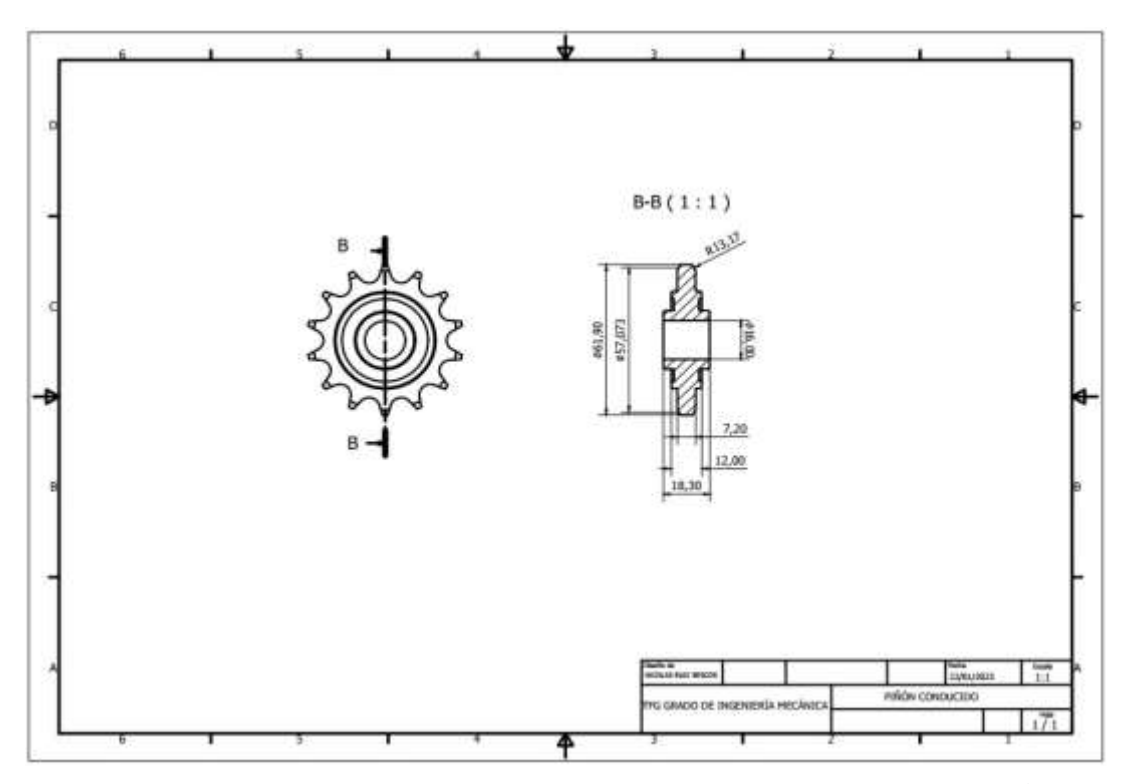
A continuación, mostramos el plano de los piñones conducidos.

Uno de estos piñones conducidos estará en el tensor rosta, para dar la tensión adecuada a la cadena. Esta tensión será sacada del cálculo anterior y la fuerza necesaria será de 1298N.



FUENTE: ILUSTRACIÓN PROPIA

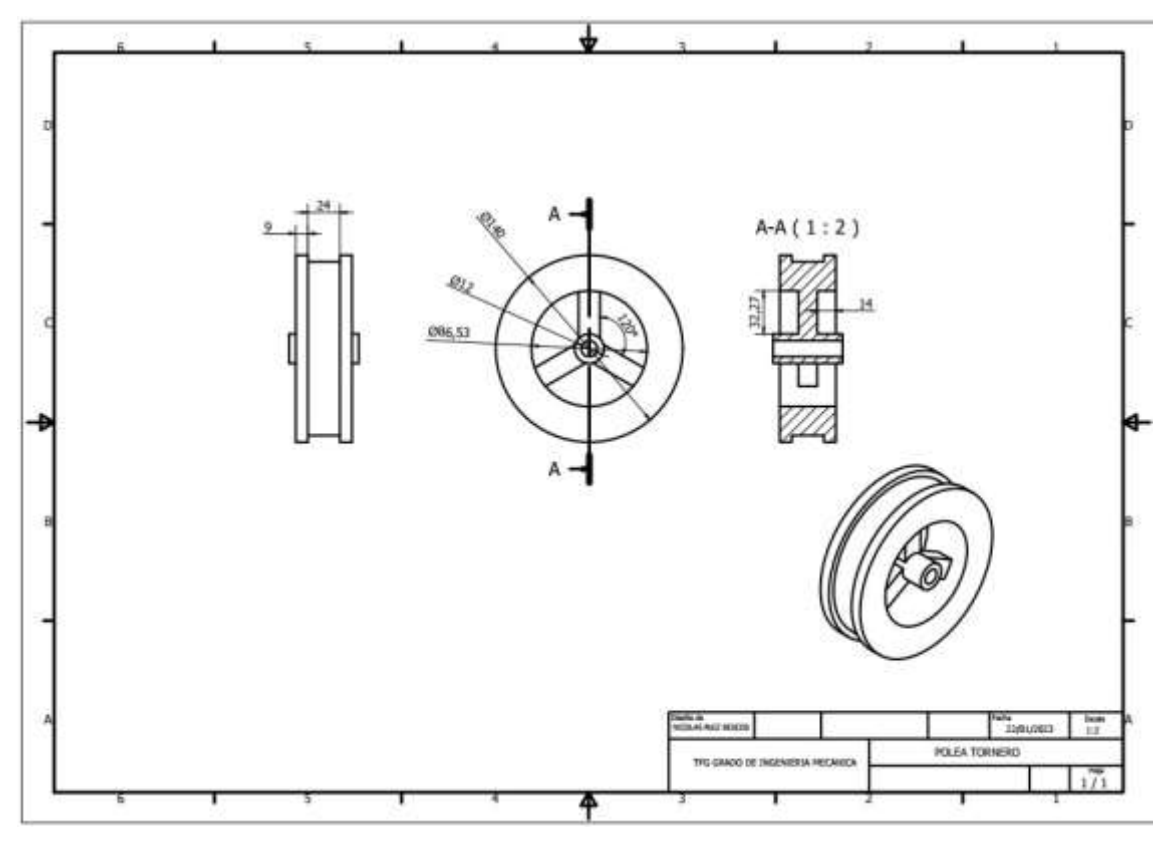
A continuación, se muestra un plano de los piñones conducidos



FUENTE: ILUSTRACIÓN PROPIA

1.3 POLEAS PLANAS

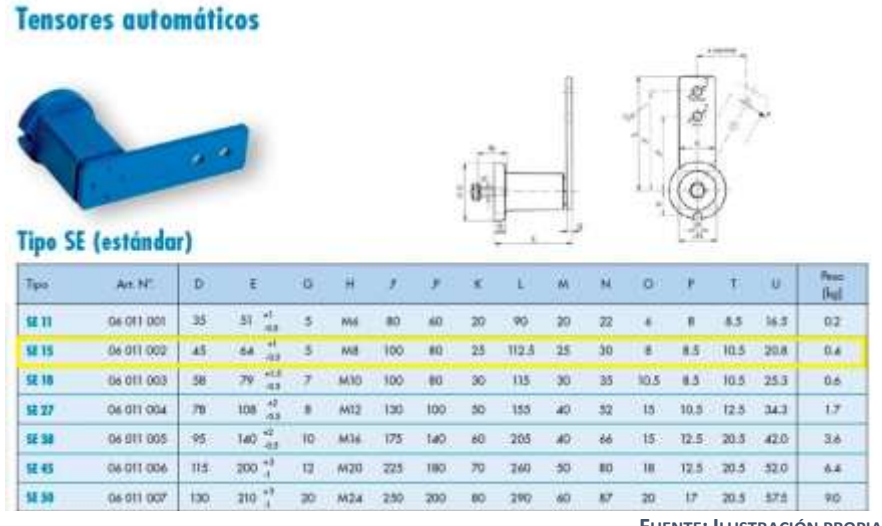
Se diseñaron son software y con las dimensiones obtenidas se acudirá al catálogo para su compra, se realizó un plano con las siguientes dimensiones:



FUENTE: ILUSTRACIÓN PROPIA

1.4 TENSOR AUTOMÁTICO (ROSTA)

Para la elección de este iremos al catálogo "Corefluid" y seleccionamos el tensor automático *tipo SE 15.* A continuación mostramos las dimensiones.



FUENTE: ILUSTRACIÓN PROPIA

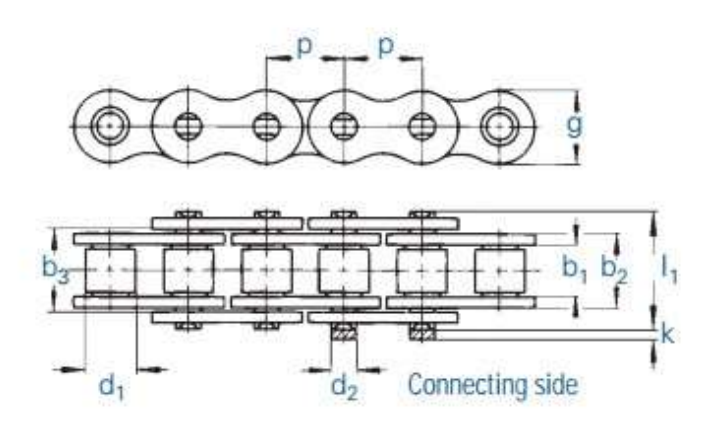
1.5 CADENA DE TRANSMISIÓN

Tras realizar el diseño y el cálculo anteriormente en el punto "1.2.1 Diseño y cálculo de la cadena de transmisión de rodillo. Apertura y cierre de puerta", y teniendo en cuenta los piñones escogidos anteriormente, que tenga que aguantar la tensión que tiene que soportar para la apertura de la puerta fue escogida la cadena de transmisión con ref.: *ISO nº 08B-1*. El tipo de cadena es cadena por rodillos simple.

A continuación, mostramos las dimensiones y características extraídas del catálogo "Cadenas norma europea Wipperman":



FUENTE: CATALOGO DE NORMA EUROPEA WIPPERMAN



FUENTE: CATÁLOGO DE NORMA EUROPEA WIPPERMAN

Chai	n	DIN	Pix		width by	line line width	Outer plate width b ₂	Rober (1 d ₁	Pin III	Plate beight	Projec- tion over connec- ting link	Width over pin	Brasing	Meinum tonsile strength DIN F _B	Minimum tensile strength G	Weight	Connecting links
			- 1		trán.	más	min	mai.	mar.	mer	max.	mar.		min.	min	72	
No	Ind.	No.	min	inch	min	2900	(mee	mm	mm	mm	mm	mm	cm²	374	AN	ka/m	No.
440		03	5,0	+-	2,50	4,15	4,25	3.20	1,49	4.1	2,5	7,4	0,06	2.2	2,2	0,08	11,15
445		04	6,0	-	2,80	4,10	4,20	4.00	1.85	5.0	2,9	7,4	0,08	3,9	3,0	0,15	11,35
450		05 8-1	8,0	-	3,00	4.77	4,90	5,00	2,31	7,1	2.1	8.6	0.11	5,0	5.5	0,18	11.15
453		*	9,505	36	2.30	5,65	5,58	6,00	2,78	9,0	2,1	9,6	0,15	8,0	8.2	0,26	11,15,111
454			9,525	16	2,94	6,70	6,83	8,35	3,20	9,0	3,3	11,6	0,22	9,0	9,4	0,36	11,12,15
455	(3)	06 B-1	9,575	36	5,72	8,53	8,46	4,35	3.78	8,2	3.3	13,5	0.78	11,0	9,6	0,41	11,12,15
331		180	12,7	19	3,35	5,80	5,93	7,75	3,66	0,9	1,5	10,2	0,21	8.2	9,1	0.28	11,12,15
332		1	12,7	10	4.80	7,20	7,33	7,75	3,66	9.9	1.5	11,2	0,26	8,2	9,1	0,33	11,12,15
110		082	12,7	15	2,38	4,60	4,73	7.75	3,66	9,0	9.1	8,2	0,17	10,0	10,0	0,26	15,111
17		OHT	32,7	55	4.88	7,95	10,00	7,75	4,09	10,3	1,5	12,9	0,32	12,0	13,2	0,0	11,12,15
385		-	12,7	95	6,40	9,78	9,91	7,75	3,97	11.5	3,9	15,4	0.38	16,0	17,1	0,50	11,12,15
461			17.7	16	6-40	9.91	70.06	8.61	2.45	11.6	10	75.8	0.44	18.0	18.6	0.66	11.12.15
46Z:		06 B-1	12,7	19:	7,75	11,30	11,43	8.51	4,45	11.6	3,9	17,0	0,50	16,0	18,6	0,70	11,12,15
500		1.5	150075	79	2/10	POJUM	10,21	10.1e	5,09	160	10.61	8608	0,51	44.6	47.0	9.78	Harate
501		10 8-1	15,875	56	9,65	13,26	13,41	10,16	5,08	14,7	4,1	19,6	0,67	22,4	37,0	0,91	11,12,15
513		12.8-1	19,06	34	1138	15,67	15.75	12,07	5,72	16.1	4.6	22,7	0,89	29,8	31,0	1,18	11,12,15
548		16 B-1	25,4	T	17,00	25,40	25,60	15,88	8.29	25,0	5,4	36.1	2,10	60.0	72,0	2,68	11,111,12
552			30,0		17,60	25.40	25,60	15,88	8.28	71.0	5.6	36,1	2,10	60,0	72,0	7,50	11,111,12
563		20 8-1	31,75	134	19,56	29,00	29,20	19,05	10,19	26,4	6,1	43,2	2,96	95,0	105,0	3,50	31,111,12
596		24 8-1	183	11/2	25,40	37,90	38,20	25,40	14,A3	33,4	6,6	53,4	5,54	160,0	180,0	8,80	111,12
613		28 B-1	44,45	1.16	30,99	66,50	45,80	27,94	15,90	37.0	7,4	65.1	7,39	200.0	230,0	9.50	111.12
657		32 B-T	50,0	2	30,99	45.50	45,80	29,21	17,01	42.2	7,9	67,4	8,10	250,0	276,0	10.50	111,12
671		40 8-1	63,5	2 %	38,10	55,70	56,00	39,37	22,89	52.9	10,0	87,6	12.75	355,0	405,0	16,40	111,32
679		1884	76.2	1	45.72	70.50	71.00	48.26	29.24	63.8	10.0	99.1	20.61	560.0	A30.0	25.00	333

³ with straight side plates

FUENTE: CATÁLOGO DE NORMA EUROPEA WIPPERMAN

2 PUERTA

2.1 FINAL DE CARRERA DE LLAVE

Este es un elemento de seguridad de la puerta que consiste en un final de carrera de llave. Cuando la llave entra en el final de carrera junto con el solenoide bloque la puerta,

dejándola cerrada para que no se pueda hacer la apertura manualmente. Como todos estos dispositivos o finales de carrera se han escogido de modelos de máquinas anteriores, al obtener buenos resultados.

El final de carrera escogido es el *Schneider electric XCSTA792* y su llave correspondiente será *Schneider electric XCSZ11*



FUENTE: CATÁLOGO DE SCHNEIDER

2.2 SOLENOIDE Y LLAVE DE ENCLAVAMIENTO

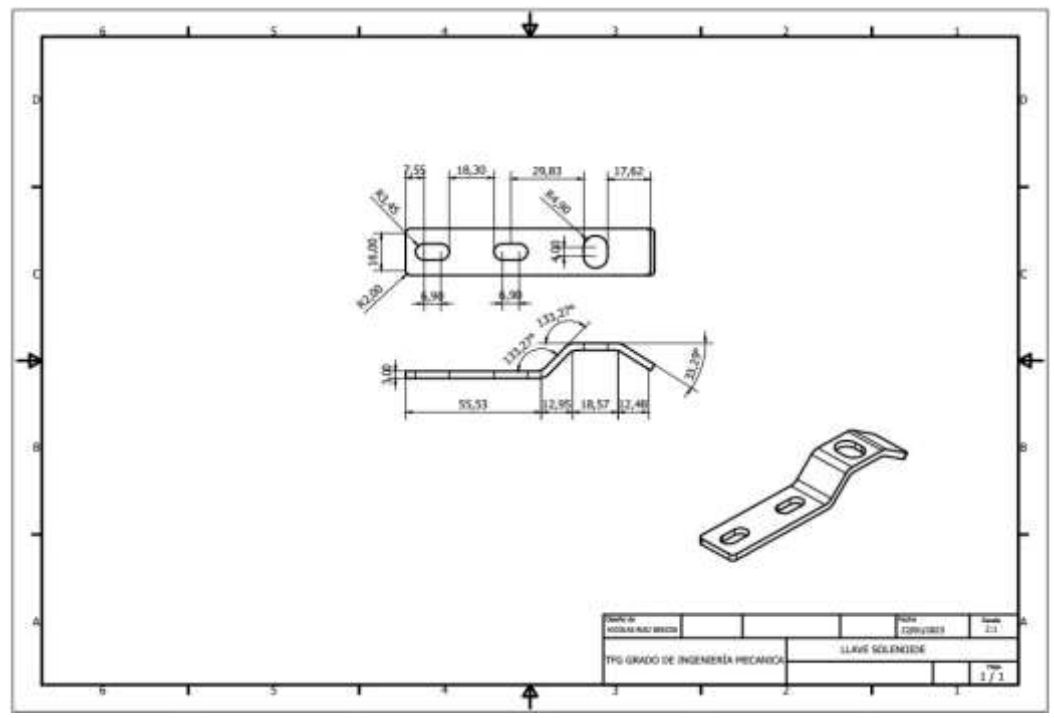
El solenoide es otro elemento de seguridad que mantendremos de modelos anteriores el tipo de solenoide escogido es el *ADS4142 Ditec Valor Solenoid Assembly for lock device*, de la empresa Ditec.



FUENTE: CATALOGO DE DITEC

La llave de enclavamiento será el elemento que estará en la puerta y cuando se cierre la puerta hará que el solenoide se active impidiendo que la puerta se pueda abrir manualmente.

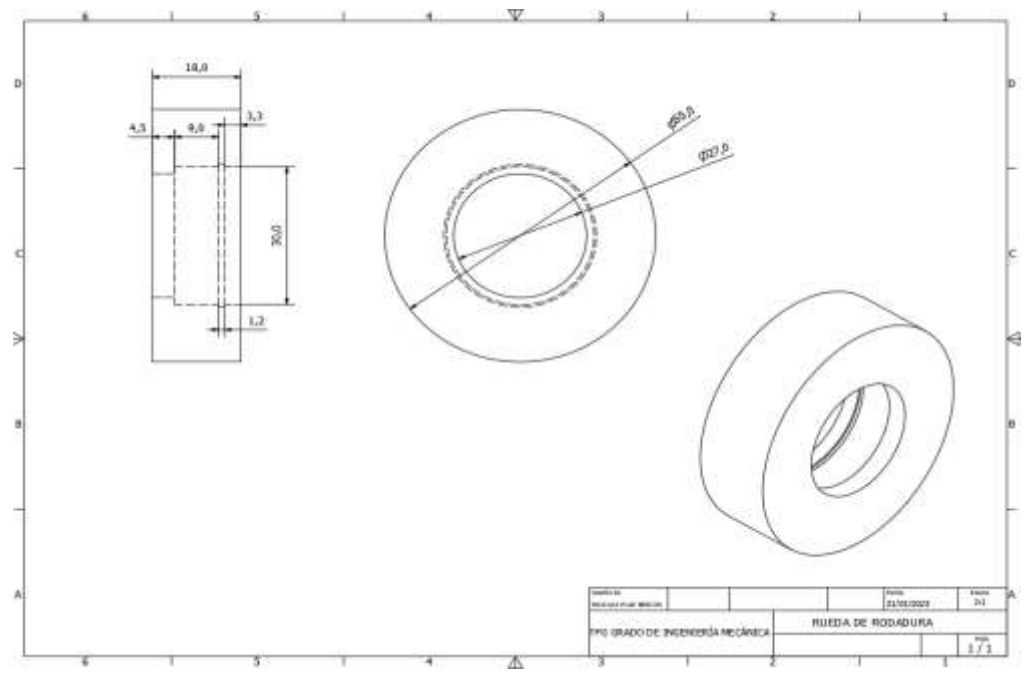
Las dimensiones de la llave de enclavamiento se muestran en el siguiente plano:



FUENTE: ILUSTRACIÓN PROPIA

2.3 RUEDAS DE RODADURA

Estas ruedas serán elegidas de algún catalogo comercial, necesitando 4 unidades, con las siguientes dimensiones que fueron diseñadas, mostrándolas a continuación:

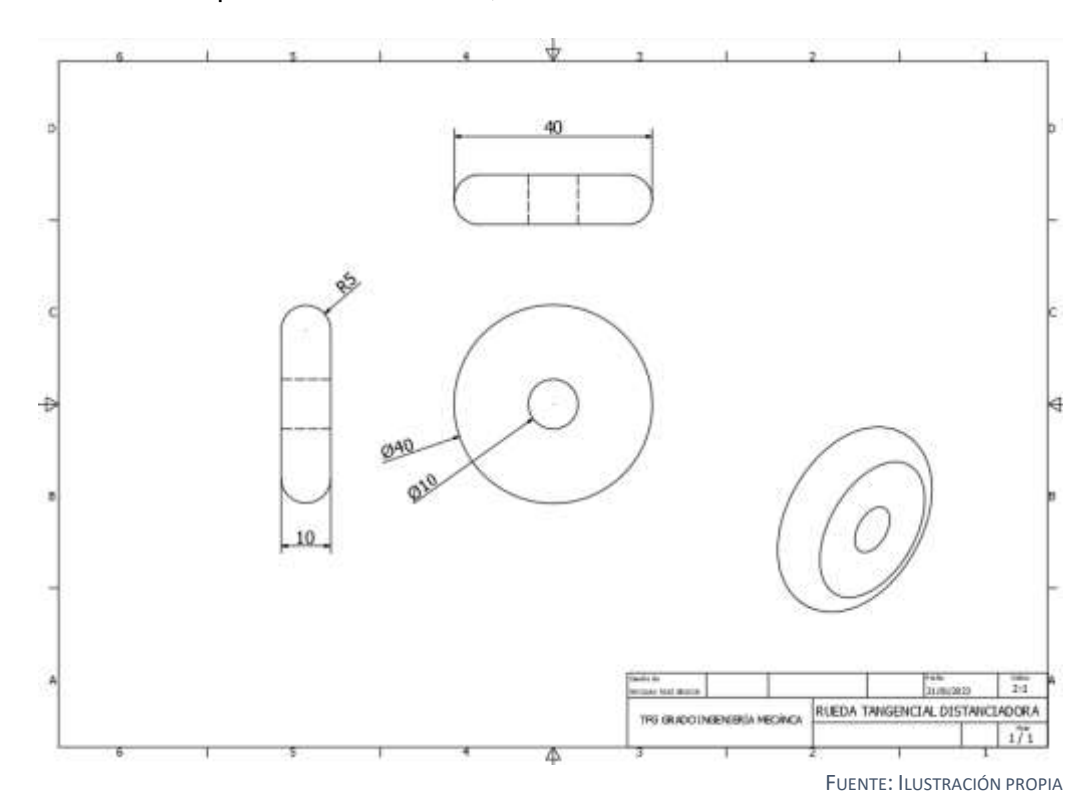


FUENTE: ILUSTRACIÓN PROPIA

El montaje de estas ruedas se mostrará en el Documento Planos.

2.4 RUEDAS TANGENCIALES DISTANCIADORAS

Estas ruedas serán elegidas de algún catalogo comercial, necesitando 6 unidades, con las siguientes dimensiones que fueron diseñadas, mostrándolas a continuación:



Irán insertadas en los agujeros correspondientes de las costillas laterales de la puerta descrito en el Documento Planos.

2.5 BORDE ANTI-ATRAPAMIENTOS

La función de este elemento es de seguridad y evita que se produzcan atrapamientos cuando la puerta se esté cerrando. Es un elemento de seguridad que se instala en la parte inferior de la puerta.

Lo único que tendremos que tener en cuenta es la sensibilidad, y este actúa cuando se ejerce una fuerza superior a **66N**

El escogido es el mismo que en máquinas anteriores a continuación se muestran las características y las dimensiones:

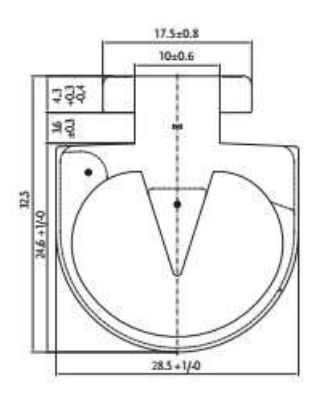


FUENTE: CATALOGO DE WIDE AUTOMATION

Article no.	3100.01101
Material	EPDM
Weight	0.501 kg/m
Shore handness	Conductive mixture: 65 +/-5 Shore A
	Non-conductive mixture: 60 +/-5 Shore A
nterconnection	Series connection efects max. 10 switching strips
Min. and max. length of the	0.1 m to 100 m
witching strip	
Storage temperature	-10°C to +15°C respectively +25°C (DIN 7716)
Delivery length	20 m
Response time of the evaluation electronics	< 12 ms
Certified characteristic data	
Certified characteristic data	
Actuation force	66N at 200 mm/s
Actuation angle (n)	+/-20*
neffective border area	0 mm (left/right), 30 mm (left/right) with finger safety
Finger safety	yes.
Max. operating speed	200 mm/s
Dimatic conditions	-10°C to +55°C
evel of protection	IP67
Number of switching cycles	> 10,000 switching cycles
Deformation travels	
Test temperature	20°C
peed	200 mm/s
Actuation force	66 N
re-travel at max, operating speed	7.4 mm
Working travel 600N	13.3 mm
ompensation travel at 250N	2.5 mm*
	4mm*

FUENTE: CATALOGO DE WIDE AUTOMATION

Profile cross-section Contact-Duo 3100.0110l



FUENTE: CATÁLOGO DE WIDE AUTOMATION

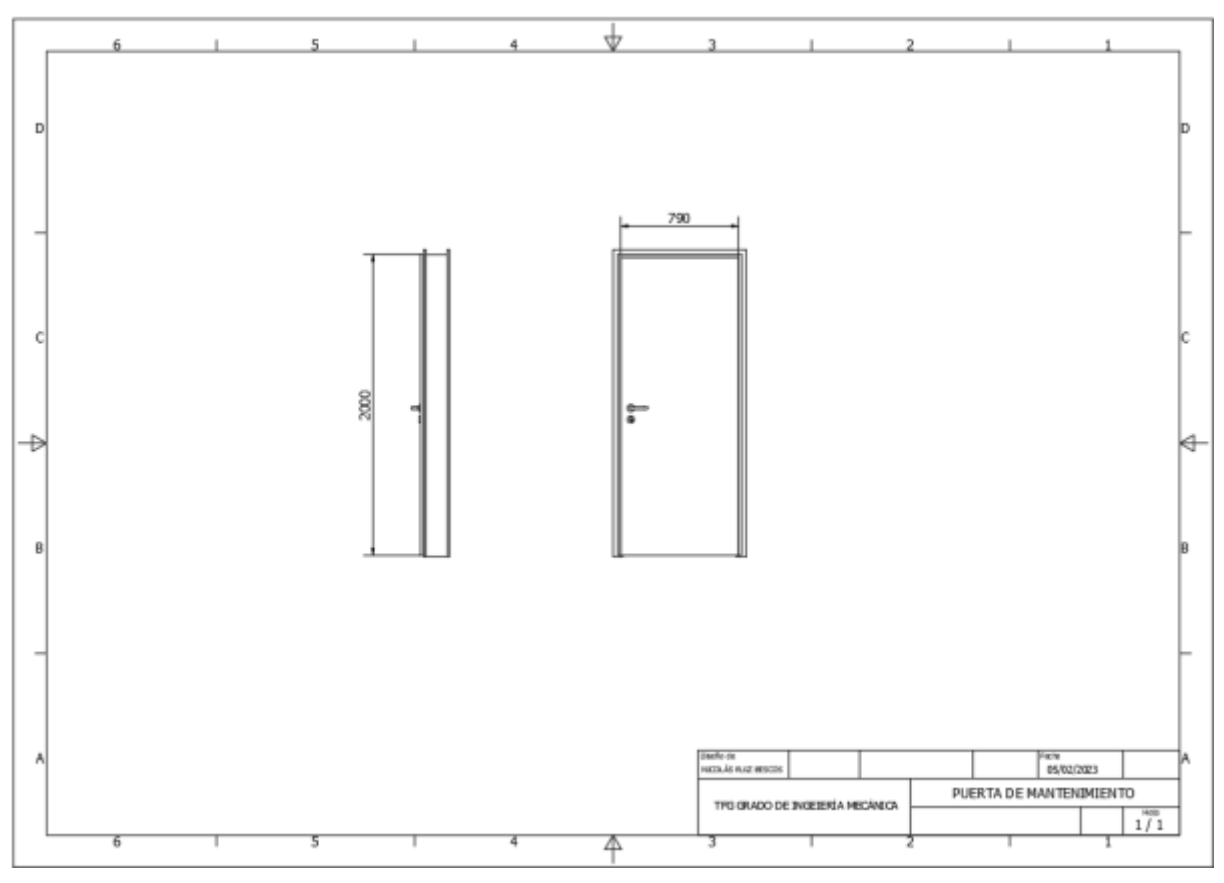
3. RECUBRIMIENTO TRASERO 3.1 PUERTA DE MANTENIMIENTO

La puerta de mantenimiento hemos tenido que seleccionarla con unas dimensiones específicas para adaptarla a nuestro loading dock. En este caso hemos escogido una *puerta de servicio de acero galvanizado de 200x79 cm*. Es escogida del catálogo de Leroy Merlín y la manera de hacer el montaje será por medio de remaches a los perfiles traseros.

A continuación, también mostraremos un plano con las dimensiones extraídas del software de diseño:



FUENTE: CATÁLOGO DE LEROY Y MERLÍN



FUENTE: ILUSTRACIÓN PROPIA

4. CONSOLA

Todos los elementos que nombramos a continuación y que pertenecen a la consola son elegidos de modelos anteriores de loading dock o muelle de carga, debido a los buenos resultados obtenidos anteriormente, entonces para el diseño de la consola tendremos en cuentas las dimensiones de cada uno de los elementos.

4.1 PC USER

El PC que se instalará para mostrar la información necesaria y para la interacción del usuario con la maquina será un PIPO X8 PRO MINI PC 7 INCH TOUCH SCREEN INTEL Z8350 WIN10 2GB 23GB.

Sus dimensiones serán de 17.8 x 11.8 x 5 cm y el peso de 810 gramos



FUENTE: AMAZON

4.2 TECLADO



El teclado numérico que se utilizara es el *TECLADO DS16T FRONTAL A2 USB.*Teclado de acero inoxidable antivandálico, de robustez y excelente sensación táctil.

FUENTE: INGENIERÍA ELECTRÓNICA

4.3 PULSADORES RETROILUMINADOS

Los pulsadores retroiluminados servirán para realizar las 3 operaciones más sencillas, para una rápida acción, cada una de las opciones tendrán un color diferente, para que sea más intuitivo. Las funciones con respecto a su color serán los siguientes.

ACCIÓN	COLOR
ACEPTAR	VERDE
CANCELAR	ROJO
REABRIR	AZUL

Estos pulsadores tendrán la siguiente referencia BUTTON DU40F-22E/B/12V/STAINLESS STEEL, MOMENTARY. Serán táctiles y los que nos brindará es realizar esas tres operaciones de realizarlas desde dos elementos diferentes.



FUENTE: ALIBABA

A continuación, se muestran las dimensiones para poder realizar el diseño donde irán ubicados en la consola.



FUENTE: ALIBABA

4.4 LECTOR RFID



FUENTE: CATALOGO DE OMNIKEY

Este lector servirá para poder identificarse y acceder a los servicios de aparcamiento/retirada de la bicicleta a los usuarios mediante una tarjeta personal e intransferible. Es interoperable con tecnologías y etiquetas de tarjeta inteligente y con dispositivos inteligentes habilitados para NFC. Se conectará por medio de USB al PC User. Este producto tendrá la siguiente referencia: LECTOR 5022CL MULTI ISO SOBREMESA USB.

Su dimensión será de 59x59 mm

1.2.3 ELEMENTOS COMERCIALES DEL SISTEMA DE ELEVACIÓN

Para la elección y justificación del motor y del reductor hemos realizado los siguientes cálculos.

1. CONJUNTO TRACTOR

1.1 SERVOMOTOR

Para la selección del Servo Motor hemos realizado los siguientes cálculos de la potencia necesaria:

DATOS:

- 1) Peso del Elevador = 120 Kg
- 2) Peso del habitáculo = 30 Kg
- 3) Peso máximo en el interior del habitáculo (Bicicleta y otros accesorios) = 35 Kg Máximo permitido, porque si no el sistema lo rechaza

$$m_{ELE} = 120 + 30 + 35 = 185 \text{ Kg}$$

- 4) Peso del Bastidor del Contrapeso = 34 Kg
- 5) Pesos = 12 Kg
- 6) N.º de pesos introducidos = 10

$$m_C = 34 + (12 * 10) = 154 \text{ Kg}$$

Altura = h = 20m (Cogeremos esta altura, porque es la máxima que tendremos que hacer la elevación)

Tiempo = t = 8s

Aceleración = a = 1 $\frac{m}{s^2}$

Gravedad = g = g = 9,81 $^{\text{m}}/_{\text{S}^2}$

RESOLUCIÓN

Aplicaremos la Segunda ley de Newton para cada uno de los estados, como tenemos dos estados tendremos que sacar dos ecuaciones.

$$\Sigma F_{\mathbf{v}} = \mathbf{ma}_{\mathbf{v}}$$

(1)

$$F_{M} - T - P_{ELE} = m_{E} * a$$

$$P_{ELE} = m_{ELE} * g = 200 \text{Kg} * 9,81 \text{ m}/_{S^{2}} = 1962 \text{ N}$$

$$F_{M} - T - 1962 \text{ N} = 200 \text{ Kg} * 1 \text{ m}/_{S^{2}}$$

Obtenemos la primera ecuación:

$$F_{M} = 2162 N - T$$

$$P_C - T = m_c * a$$

$$P_C = m_C * g = 170 Kg * 9,81 \frac{m}{S^2} = 1667,7 N$$

$$1667,7 - T = 170 Kg * 1 \frac{m}{S^2}$$

$$T = 1497.7 N$$

Obtenemos la segunda ecuación:

(3)
$$F_{M} = 2162 \text{ N} - 1497.7 \text{ N} = 664.3 \text{ N}$$

Finalmente obtenemos la fuerza mínima necesaria que tendrá que tener el motor, en la situación más desfavorable.

(4) Calcularemos la velocidad promedio necesaria

$$V = \frac{h}{t} = \frac{14,732 \text{ m}}{7 \text{ s}} = 2,10 \text{ m/s} \approx 2 \text{ m/s}$$

(5) Con la fuerza mínima necesaria y la velocidad promedio calcularemos la potencia mínima que tendrá que tener nuestro motor.

Pot =
$$\frac{W}{t} = \frac{F * d}{t} = F * v = 664,3 \text{ N} * 2 \text{ m/}_S = 1328 \text{ W} \approx 1,32 \text{KW}$$

Nuestro Servo-Motor tendrá que tener como un mínimo de **1,32 KW** para cumplir las especificaciones dadas. Iremos al catálogo de Schneider y buscaremos un motor que tenga mínimo esta potencia, pero escogiendo el siguiente, por lo tanto, este servomotor será *Schneider BMH1403 (24 Nm – 4000rpm – Keyed Shaft – With Brake IP54)* con las siguientes características generales requeridas y dimensiones extraídas del catálogo de Schneider:

DATOS ESPECIFICOS DEL MOTOR

ВМН	1403	
Winding		Р
Technical data - general	(4)	- 50 - 100
Continuous stall torque M ₀ 1) 2)	Nm (lb·in)	22.5 (199.1)
Peak torque M _{max}	Nm (lb·in)	72.00 (637.3)
With supply voltage U _n = 115 Vac 1)		-12 -78
Nominal speed of rotation n _N	rpm	750
Nominal torque M _N	Nm (lb-in)	21.50 (190.3)
Nominal current I _N	Arms	15.70
Nominal power PN	kW	1.69
With supply voltage U _n = 230 Vac 1)		
Nominal speed of rotation n _N	rpm	1750
Nominal torque M _N	Nm (lb-in)	18.12 (160.4)
Nominal current I _N	Arms	13.51
Nominal power P _N	kW	3.32
With supply voltage Un = 400 Vac or Un =	480 Vac 1)	70
Nominal speed of rotation n _N	rpm	3000
Nominal torque M _N	Nm (lb-in)	13.92 (123.2)
Nominal current I _N	Arms	10.65
Nominal power P _N	kW	4.37

Winding		P						
Technical data - electrical								
Maximum current I _{max}	Arms	57.66						
Continuous stall current l ₁	Aces	16.20						
Voltage constant ksu-v ¹⁵	Vms	92.50						
Torque constant k _c ²⁾	Nm/A	1.39						
Winding resistance Rau-v	Ω	0.32						
Winding inductance L _e u-v	mH	4.33						
Winding inductance L _d u-v	mH	3.87						
Technical data - mechanical								
Maximum speed of rotation n _{max}	rpm	4000						
Rotor inertia without holding brake Ju	kgcm ²	47.54						
Rotor inertia with holding brake J _M	kgcm ²	50.27						
Mass without holding brake m	kg	16.00						
Mass with holding brake m	kg	18.53						

вмн...

FUENTE: CATÁLOGO DE SCHNEIDER

FUENTE: CATÁLOGO DE SCHNEIDER

1403

DIMENSIONES

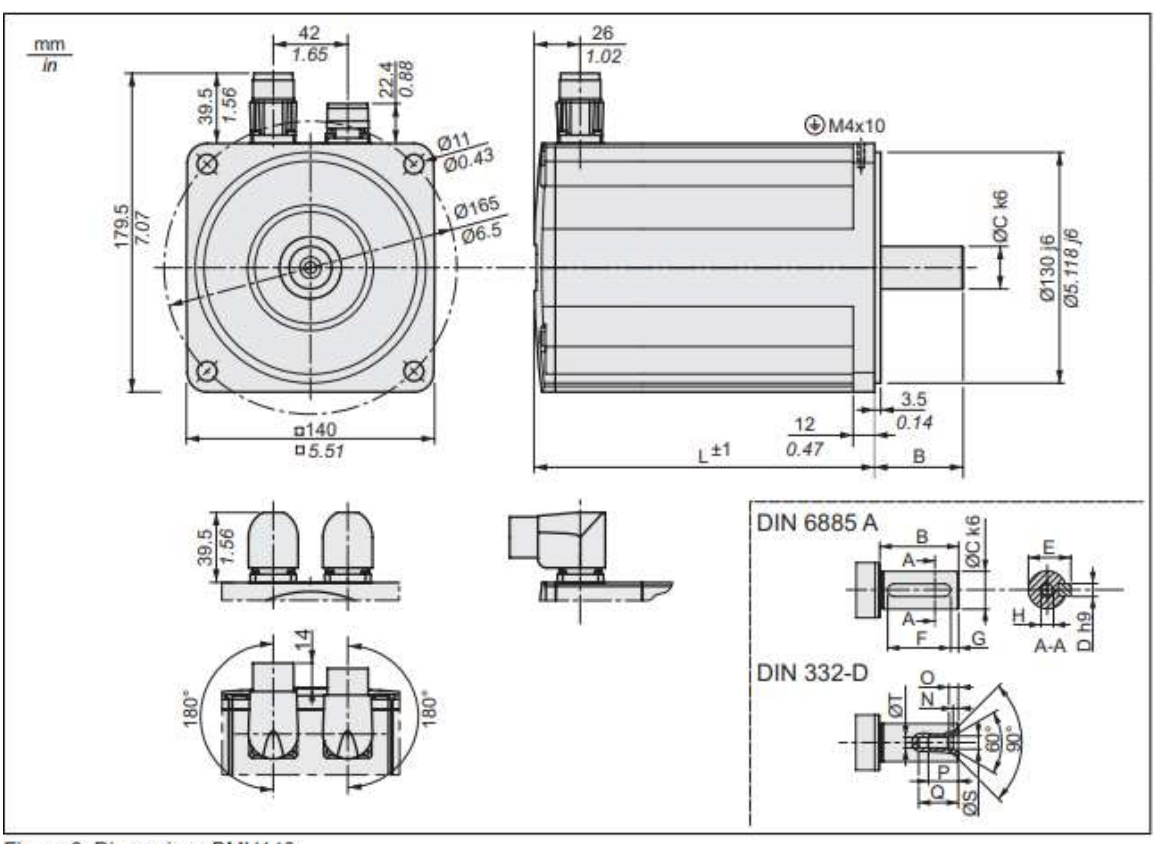


Figure 6: Dimensions BMH140

FUENTE: CATÁLOGO DE SCHNEIDER

ВМ	ent.		1403
L	Length without holding brake	mm (in)	232 (9.13)
L	Length with holding brake	mm (in)	267 (10.51)
В	Shaft length	mm (in)	50 (1.97)
С	Shaft diameter	mm (in)	24 (0.945)
D	Width of parallel key	mm (in)	8 (0.315)
E	Shaft width with parallel key	mm (in)	27 (1.06)
F	Length of parallel key	mm (in)	40 (1.57)
G	Distance parallel key to shaft end	mm (in)	5 (0.2)
	Parallel key		DIN 6885-A8x7x40
н	Female thread of shaft		M8
N		mm (in)	3.3 (0.13)
0		mm (in)	6 (0.24)
Р		mm (in)	19(0.75)
Q		mm (in)	25 (0.98)
S		mm (in)	8.4 (0.33)
Т		mm (in)	6.8 (0.27)

FUENTE: CATÁLOGO DE SCHNEIDER

De los datos técnicos y de las dimensiones extraeremos los datos más importantes para la selección del reductor:

Diámetro de eje $\emptyset_{eie} = 24mm$

Longitud de eje Longitud $_{\rm eje} = 50 \text{ mm}$

Para los tornillos de unión al reductor $\emptyset = 165 \text{ mm}$

Máxima velocidad de rotación $n_{max} = 4000 \text{ rpm}$

Potencia Nominal con V=230 $P_N = 3.32 \text{ kW}$

Par Nominal $M_N = 18,12 \text{ Nm}$

A continuación, se enumeran otras ventajas de haber escogido este tipo de motor:

- Por la alta precisión y el control que debemos tener en la elevación y descenso este tipo de motor tiene un control suave en el rango de velocidades, casi sin oscilación
- Alta eficiencia
- Baja generación de calor
- Control de alta velocidad
- Control de posición de alta precisión
- Par contante
- Baja inercia
- Bajo nivel de ruido
- Sin desgaste del cepillo y sin mantenimiento.

1.2 REDUCTOR

Para la selección del motor seguiremos las indicaciones del cálculo de la potencia según la empresa española Pujol y obtenemos los siguientes datos de potencia y la elección del reductor para nuestro servomotor:

De la tabla de especificaciones del Servo Motor que hemos seleccionado obtenemos los siguientes datos:

Potencia del Motor a 230V = 3,32 KW

Revoluciones = $n_1 = 1750 \text{ rpm}$

Por especificaciones calculadas en el apartado de selección de motor tenemos que:

Velocidad = 2 m/s

Del catálogo de Poleas dentadas obtenemos el radio de estas:

$$\emptyset = 162,98 \text{ mm} - r = 0,081 \text{ m}$$

Con estos datos obtendremos los rpm necesarios del eje de salida para poder seguir el procedimiento de elección del reductor.

$$\omega = \frac{v * 60}{2\pi r} = \frac{2 \text{ m/s} * 60}{2\pi * 0.081 \text{ m}} = 235,94 \approx 240 \text{ rpm}$$

1) Calcularemos la Potencia Corregida, para esto acudiremos a las TABLAS DE ELECCIÓN DE REDUCTOR (TABLA 4 Y TABLA 5)

TABLA 4 – MONTACARGAS – MODERADO TABLA 5 – 24 DE FUNCIONAMIENTO Por lo tanto 1,50

POTENCIA CORREGIDA = 3,32 * 1,50 = 4,98 KW

Velocidad de eje de entrada = 1750 rpm Velocidad de eje de Salida = 240 rpm

2) Calculamos la relación de reducción

Relación de reducción =
$$\frac{1750}{240}$$
 = 7,29 \approx 7,30

3) Calculamos la relación de entrada

Relación de Entrada =
$$\frac{1750}{1400}$$
 = 1,25

4) Calculamos la corrección de Potencia

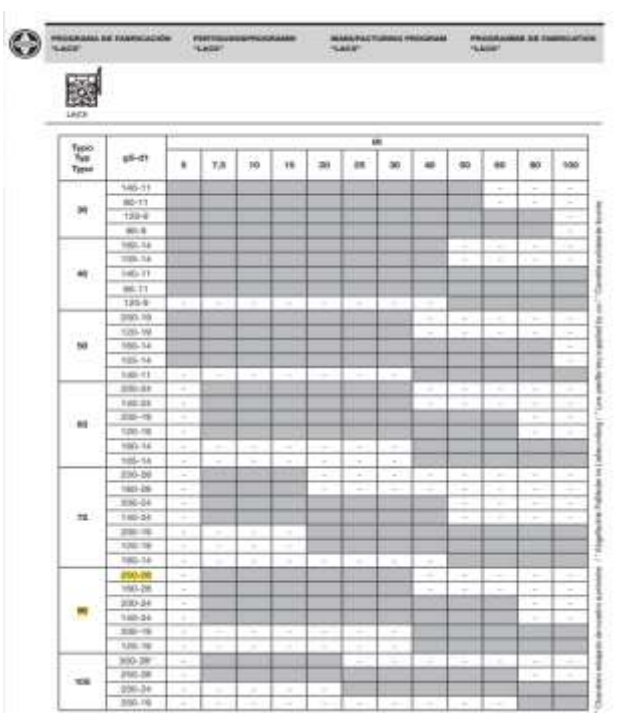
Potencia de Correción = 4.98 KW * 1.25 = 6.225 kW

Para una relación de reducción aproximada de 7,30 no figura la potencia de 6,225 kW por lo tanto tendremos que escoger el reductor que corresponda **a 6,9 KW**. De los tipos elegiremos que tiene el diámetro de brida de 250mm para que encaje con nuestro servo motor

Entre toda la variedad de los reductores de la empresa Pujol escogeremos un reductor de tornillo sin fin de la serie "LACMX-LACMFX". Concretamente el reductor será *IPC Reducer LAC 90X/7,5/250-28 D35*

Del catálogo extraeremos los datos generales y las dimensiones para posteriormente diseñar el eje y la elección de las poleas dentadas con su túper lock, teniendo en cuenta también la correa que seleccionemos.

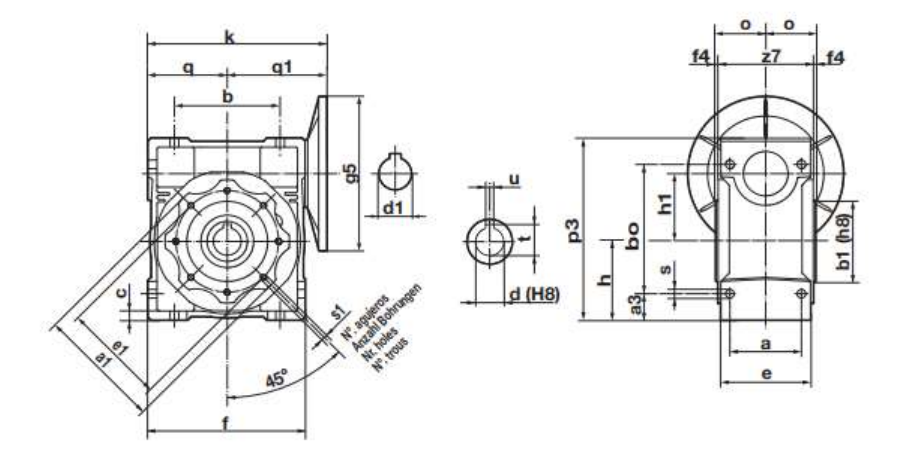
Carl



FUENTE: CATALOGO PUJOL DE REDUCTORES SERIE LACX

Acoplamiento motor Motoranbau Coupling of motor Accouplement moteur	M2 [Nm]	iR	P [kW]	n2 [1/min]	FRs [N]	FRe [N]	Tipo Typ Type	Código Referenz Ref.
Ø250-Ø28	374	25	2,6	56	4603	1270	LAC 90X/25/250-28 D35	RAX090B0W0
Ø160-Ø28	374	25	2,6	56	4603	1270	LAC 90X/25/250-28 D38	RAX090B0W1
(2,2kW-3-4W)	374	25	2,6	56	4603	1270	LAC 90X/25/160-28 D35	RAX090B0X0
	374	25	2,6	56	4603	1270	LAC 90X/25/160-28 D38	RAX090B0X1
	391	20	3,4	70	4273	1270	LAC 90X/20/250-28 D35	RAX090B0Y0
	391	20	3,4	70	4273	1270	LAC 90X/20/250-28 D38	RAX090B0Y1
	391	20	3,4	70	4273	1270	LAC 90X/20/160-28 D35	RAX090B0Z0
	391	20	3,4	70	4273	1270	LAC 90X/20/160-28 D38	RAX090B0Z1
	396	15	4,4	93,3	3882	1257	LAC 90X/15/250-28 D35	RAX090B100
	396	15	4,4	93,3	3882	1257	LAC 90X/15/250-28 D38	RAX090B101
	396	15	4,4	93,3	3882	1257	LAC 90X/15/160-28 D35	RAX090B110
	396	15	4,4	93,3	3882	1257	LAC 90X/15/160-28 D38	RAX090B111
	341	10	5,6	140	3391	1082	LAC 90X/10/250-28 D35	RAX090B120
	341	10	5,6	140	3391	1082	LAC 90X/10/250-28 D38	RAX090B121
	341	10	5,6	140	3391	1082	LAC 90X/10/160-28 D35	RAX090B130
	341	10	5,6	140	3391	1082	LAC 90X/10/160-28 D38	RAX090B131
	319	7,5	6,9	186,7	3081	900	LAC 90X/7,5/250-28 D35	RAX090B140
	319	7,5	6,9	186,7	3081	900	LAC 90X/7,5/250-28 D38	RAX090B141
	319	7,5	6,9	186,7	3081	900	LAC 90X/7,5/160-28 D35	RAX090B150
	319	7,5	6,9	186,7	3081	900	LAC 90X/7,5/160-28 D38	RAX090B151
	200	15	2,3	93,3	3509	851	LAC 75X/15/250-28 D28	RAX075B100
	200	15	2.3	93,3	3509	851	LAC 75X/15/250-28 D35	RAX075B101
	200	15	2,3	93,3	3509	851	LAC 75X/15/160-28 D28	RAX075B110
	200	15	2,3	93,3	3509	851	LAC 75X/15/160-28 D35	RAX075B111
	195	10	3,2	140	3065	830	LAC 75X/10/250-28 D28	RAX075B120
	195	10	3,2	140	3065	830	LAC 75X/10/250-28 D35	RAX075B121
	195	10	3,2	140	3065	830	LAC 75X/10/160-28 D28	RAX075B130
	195	10	3,2	140	3065	830	LAC 75X/10/160-28 D35	RAX075B131
	185	7,5	4,1	186,7	2785	700	LAC 75X/7,5/250-28 D28	RAX075B140
	185	7,5	4,1	186,7	2785	700	LAC 75X/7,5/250-28 D35	RAX075B141
	185	7,5	4,1	186,7	2785	700	LAC 75X/7,5/160-28 D28	RAX075B150
	185	7,5	4.1	186,7	2785	700	LAC 75X/7,5/160-28 D35	RAX075B151

FUENTE: CATALOGO PUJOL DE REDUCTORES SERIE LACX



Para medidas g5 y d1, ver página 62 Für Abmessungen g5 und d1, siehe Seite 62. For dimensions g5 and d1 see page 62. Por dimensions g5 et d1 voir page 62.

Typo Typ Type	Peso Gew. Weight Poids (Kg.)	k	a	a1	a3	ь	ь0	b1	c	e	e1	1	f4	h	h1	0	р3	q	q1	s	s1 (N". agujer.) (Anzahl Bohrungen) (Nr. holes) (N". trous)	z7	d	t	u
30	1,2	95	44	75	13	54	71	55	5,5	56	65	80	2,5	40	30	31,5	97	40	55	6,5	M6x11 (4)	58	14	16,3	5
40	2,3	120	60	87	15	70	90	60	6,5	71	75	100	2,5	50	40	39	121,5	50	70	6,5	M6x11 (4)	73	18 (19)	20.8 (21.8)	6
50	3,5	140	70	100	20	80	104	70	7	85	85	120	2,5	60	50	46	144	60	80	8,5	M8x10 (4)	87	25 (24)	28.3 (27.3)	8
63	6,2	167	85	110	22	100	130	80	8	103	95	144	3	72	63	56	174	72	95	8,5	M8x14 (8)	108		28.3 (31.3) (33,3)	
75	9	198,5	90	140	26	120	153	95	10	112	115	172	3	86	75	60	206	86	112,5	11,5	M8x14 (8)	114	28 (35)	31.3 (38.3)	8 (10)
90	13	232,5	100	160	33	140	172	110	11	130	130	206	3	103	90	70	238	103	129,5	13	M10x18 (8)	134	35 (38)	38.3 (41.3)	10
105	21	287,5	115	200	42,5	170	210	130	16	144	165	255	3,5	127,5	110	77,5	295	127,5	160	14	M10x18	148	42	45,3	12

Dimensiones del acoplamiento para el motor en la pág. XXX Nos reservamos el derecho de modificar dimensiones sin que por ello cambie la denominación del moto-reductor. Abmessungen der Motoraufnahme auf Seite XXX. Wir behalten uns das Recht vor, die Abmessungen zu ändern, ohne die Bezeichnung des Getriebes zu verändem.

The motor coupling dimensions are on page XXX.

We reserve the rights to modify dimensions, without changing the type of gear units.

Dimensions de l'accouplement pour moteur à la page XXX. Nous nous réservons le droit de motifier les dimensions sans changer la dénomination du réducteur.

FUENTE: CATALOGO DE REDUCTORES DE LA SERIE LACX

Del catálogo de dimensiones y datos técnicos podemos extraer las características que más nos interesan: Valores para n $_{\rm 1}=$ 1400 rpm

Diámetro de eje $\emptyset_{\rm eje} = 25 {\rm mm}$

Diámetro de brida $\emptyset = 250 \text{ mm}$

Velocidad de rotación de salida $n_2 = 186,7 \text{ rpm}$

Potencia Nominal $P_N = 6.9 \text{ kW}$

Par Nominal de salida $M_N = 319 \text{ Nm}$

A continuación, enumeraremos algunos de los motivos de la elección de este tipo de reductor

- Estructura mecánica compacta, volumen ligero, pequeño y eficiente
- Buen rendimiento
- Fácil instalación, flexible y ligero, rendimiento superior, fácil de mantener y reparar
- Gran velocidad de velocidad de transmisión, gran par, alta capacidad de sobrecarga
- Bajo nivel de ruido
- Vida útil alta
- Con función de autobloqueo, apto para las operaciones de elevación.

1.3 CORREA DENTADA

Para la selección de la correa tendremos que tener en cuenta los siguientes datos según el fabricante:

- 1) Velocidad admisible de las correas
- 2) Potencia transmitible
- 3) Revoluciones admisibles

Para la selección de tipo de correa dentada realizaremos los siguientes cálculos

CÁLCULO DE ACCIONAMIENTOS POR CORREA DENTADA

Para estos cálculos vamos a seguir los pasos de la indicación técnica para correas dentadas 22062 de la empresa Norelem.

Datos de accionamiento disponibles:

Potencia de motor: $P_N = 6.69 \text{ KW a } 1400 \text{ rpm}$

Máquina de accionamiento: Motor eléctrico par de arranque y de frenado alto

Diámetro de la arandela: aprox. 160mm

Transmisión: 1:1

Distancia entre ejes aprox. 20000 mm

Duración de funcionamiento: Sin funcionamiento continuo

1. Determinación de la potencia por transmitir

La potencia por transmitir P [KW] se determinará mediante la multiplicación de la potencia nominal de la maquina motriz PM [KW] por el factor de funcionamiento total c0.

$$P = P_M * c0 [KW]$$

$$c0 = c2 + c3 + c4$$

Vamos a las tablas y extraemos los datos.

Factores de carga c ₂		Máquinas motrices	
Máquinas de trabajo	- Motores eléctricos con par de arranque bajo (hasta 1,5 x par nominal - Turbinas de agua y de vapor - Motores de combustión con 8 cilindros y más	Motores eléctricos con par de arranque medio (1,5 hasta x 2,5 par nominal) Motores de combustión con 4 a 6 cilindros	Motores eléctricos con par de arranque y de frenado alto (más de 2,5 par nominal) Motores hidráulicos Motores de combustión de hasta 4 cilindros
Equipos de oficina, escáneres, impresoras, fotocopiadoras	1,1	1,2	1,3
Aparatos de precisión, mecánica de precisión e instrumentos metrológicos	1	1,1	1,2
Electrodomésticos, centrifugadoras	1	1,1	1,2
Robots de cocina, máquinas cortadoras	1,1	1,2	1,3
Máquinas de coser, máquinas de coser para uso doméstico	1,1	1,2	1,3
Máquinas de coser industriales	1,2	1,3	1,4
Máquinas de lavandería, secadoras	1,2	1,4	1,6
Lavadoras	1,4	1,6	
Sistemas de transporte, cintas transportadoras para productos ligeros	1,1	1,2	1,3
Transportadores de cinta y de rodillos para cargas medianas	1,2	1,4	1,6
Sistemas de transporte para productos pesados, elevadores	1,4	1,6	1,8
Transportadores de sinfin, elevadores de canguillones	1,4	1,6	1,8

FUENTE: CÁLCULO POR ACCIONAMIENTO DE CORREAS DENTADAS. NORELEM

Transmisión 1/i	Factor de aceleración c ₃			
1-1,25	7.5			
> 1,25-1,75	0,1			
> 1,75-2,5	0,2			
> 2,5-3,5	0,3			
> 3,5	0,4			

FUENTE: CÁLCULO POR ACCIONAMIENTO DE CORREAS
DENTADAS. NORELEM

Tiempo de funcionamiento diario y condiciones	Factor de fatiga c4
Sin funcionamiento continuo	-0,2
10 a 16 horas	+0,2
> 16 horas	+0,4
con rodillos de tensión retráctil	+0,2

FUENTE: CÁLCULO POR ACCIONAMIENTO DE CORREAS DENTADAS.

NORELEM

Factor de carga
$$\rightarrow$$
 c2 = 1.8
Factor de aceleración \rightarrow c3 = 0
Factor de fatiga \rightarrow c4 = -0.2
P = 6.69 * (1.8 + 0 - 0.2) = 10.74 [KW]

2. Selección de la división de las correas

La división de las correas se puede seleccionar previamente mediante la integración del diámetro deseado.

Debido al diámetro del tamaño de la arandela 160mm y tomando en cuenta el número de dientes, se seleccionará una división de correas de 8mm = 8M

3. Determinación del número de dientes

Considerando las especificaciones del accionamiento y el número mínimo de dientes, se determinarán los números de dientes de la arandela de accionamiento.

La transmisión es 1:1. Con la ecuación para la circunferencia se obtiene la longitud periférica de la arandela.

$$2\pi r = 2\pi * \frac{160}{2} = 502.65 \text{ mm}$$

Se divide esta medida entre la medida de división

$$n^{\underline{o}}$$
 de dientes teórico = $\frac{502.65}{8}$ = 62.83

Por lo tanto, el número de dientes seleccionado es el siguiente superior, en este caso son 64 dientes.

Por lo tanto, el diámetro efectivo es:

$$d_w = \frac{z_1 * t}{\pi} = \frac{64 * 8}{\pi} = 162.97 \text{ mm}$$

*Este dato nos servirá para la selección de la polea dentada.

4. Determinación de la anchura de correa

El número de dientes de intervención de engranaje en este caso es evidente, porque ambas arandelas se envolverán a 180º, es decir en ambas arandelas cada un 32 diente > 6

Dientes en la intervención	>6	5	4	3	2	
Factor C1	1	0,8	0,6	0,4	0,2	

FUENTE: CÁLCULO POR ACCIONAMIENTO DE CORREAS DENTADAS. NORELEM

Por lo tanto

$$c1 = 1$$

La consulta en la tabla de capacidades indica para la división 8M nos indica que necesitamos una correa **HTD 8M 30**

5. Fuerza tangencial admisible F_{uzul}

Para la correa seleccionada se debe determinar la fuerza tangencial N máxima que se presente en funcionamiento y compararla con la fuerza tangencial máxima admisible.

$$F_u = \frac{10^3 * P}{v} = \frac{10^3 * 6.69}{11.94} = 560.30 \text{ N}$$
 ; como fuerza periferica

Donde v es la velocidad de la correa:

$$v = \frac{n * t * z1}{60000} = \frac{1400 * 8 * 64}{60000} = 11.94 \text{ m/s}$$

Para una correa HTD 8M – 30 extraemos la fuerza tangencial admisible

Fuerza tangencial admisible Fuzul

Anchura [mm]	3M HTD	5M HTD	8M HTD
9	170		ľ
15	290	535	12 4-
25		905	
20		T I	1400
30			2100
50		1	3500

FUENTE: CÁLCULO POR ACCIONAMIENTO DE CORREAS DENTADAS.

$$F_{uzul} = 2100 N$$

Como $\textbf{F}_{u\;zul} > \, \textbf{F}_{u} \,$ la correa es admisible y cumple con todas las condiciones.

Pretensado de la correa (Calculo del muelle de tensión de correas)

Este cálculo nos servirá para obtener la fuerza de pretensado que tendrán que tener las correas y esto lo conseguimos con unos muelles, esta fuerza es la que tendremos que usar para seleccionar los muelles.

El pretensado de la correa está determinado por las condiciones de funcionamiento del accionamiento. La fuerza de precarga total $F_{\rm v}$ influye en la caja de rodamientos del eje y también se denomina fuerza del eje. Como la transmisión es de 1:1

Modo de funcionamiento	Factor de tensión inicial k ₁			
Accionamiento ligero y constante	0,85			
carga mediana	1			
Alta carga cambiante	1,25			
Fuerte impacto	1,4			

Factor de tensión inicial k ₂
1,12
1,13-1,16
1,17-1,2
1,2-1,6

FUENTE: CÁLCULO POR ACCIONAMIENTO DE CORREAS DENTADAS. NORELEM

$$F_v = F_u * 1.4 * 1.6 = 577.88 * 1.4 * 1.6 = 1294.45 N$$

Buscaremos un muelle que pueda tensar con un 15 % más de la fuerza de pretensado

$$F_{\text{muelle}} = F_{\text{v}} + (F_{\text{v}} * 0.15) = 1294.45 + (1294.45 * 0.15) = 1488.55N \rightarrow 1500N$$

Por lo tanto, la selección final de la correa dentada será la siguiente:

HTD 8M 30mm de ancho

1.4 POLEAS DENTADAS Y TUPER LOCKS

1.4.1 Poleas dentadas

Para la elección de estas poleas lo único que tendremos que tener en cuenta, según el fabricante, es las características de las de la correa seleccionada anteriormente.

Vamos al catálogo de la empresa española "Norelem" de donde hemos escogido la correa dentada <u>HTD 8M 30mm</u>. La polea dentada escogida tendrá la siguiente referencia

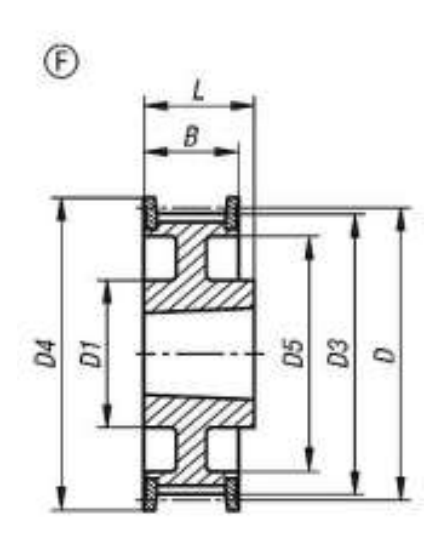
Ref.: 22005-0830064

Este tipo de polea es del material de fundición gris y es de perfil HTD estándar (compatible con la correa) con división métrica (Dentado semicircular). Perforación cónica para casquillos sujeción táper. Las poleas con perforaciones Táper tienen equilibrado estático según ISO 1940 nivel de calidad G16. Sus accesorios serán los casquillos de sujeción cónicos 23200.

Del catálogo extraemos las dimensiones y las características:



FUENTE: CATÁLOGO DE NORELEM



FUENTE: CATÁLOGO DE NORELEM

asquillos d	e sujec	ion Taper par	a anchura de correa de 30 m	m			-			Ī
estros product	(6)S									
Helimotois	Forma	Material del cuerpo	Vernous Z	Nomero de dentes		DY máx.	(10)	D4 milk	Dis	Ш
22005-0830056	В	fundición gris	p. casquillo de sujeción cónico 2012	56	142.6	-	141.23	150	118	38
22005-0830064	F	fundición gris	p. casquillo de sujeción cónico 2517	64	162,97	125	161.6	168	140	38
22005-0830072	F	fundición gris	p. casquillo de sujeción cónico 2517	72	183,35	125	181,97	192	158	38
22005-0830080		fundición gris	p. casquillo de sujeción cónico 2517	80	203,74	125	202,35	-	178	38
22005-0830090	L	fundición gris	p. casquillo de sujeción cónico 2517	90	229,18	125	227,81	-	204	38
22005-0830112	L	fundición gris	p. casquillo de sujeción cónico 2517	112	285,21	125	283,83	-0.	260	38
22005-0830144		fundición gris	p. casquillo de sujeción cónico 2517	144	366.69	125	365.32		341	90

FUENTE: CATÁLOGO DE NORELEM

Para la selección del reductor introducimos el radio de esta polea. Que será de 81,45 mm

1.4.2 Táper Lock

Para la selección de los Táper Lock seguiremos las recomendaciones del fabricante y para el tipo de Polea dentada antes seleccionada tenemos que escoger un táper lock de la gama de casquillos de sujeción cónicos 23200. Tendremos que tener en cuenta también el diámetro del agujero del reductor (Diámetro = 25mm), para el posterior diseño del eje.

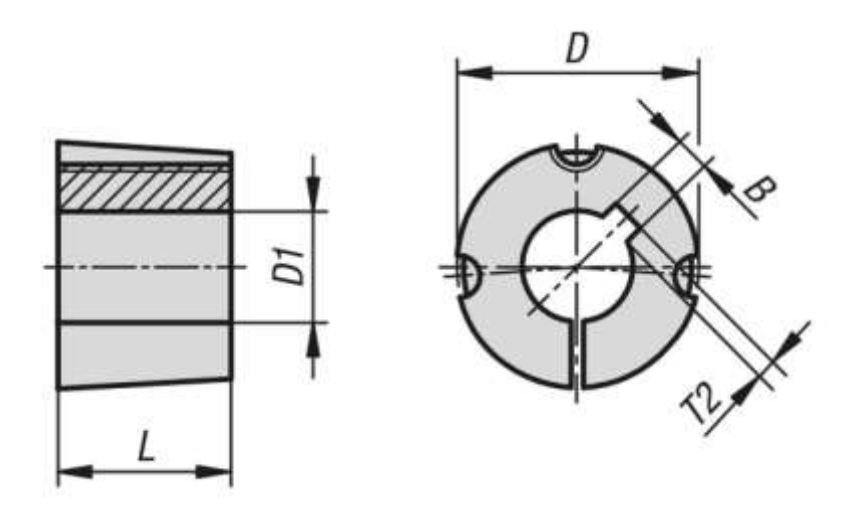


FUENTE: CATÁLOGO DE NORELEM

La referencia escogida de los Táper Lock es Ref.: 23000-0852544

El material será de fundición gris, los casquillos de sujeción táper permiten un montaje y desmontaje sin problemas de las arandelas de un tiempo mínimo. Los casquillos para los tornillos de sujeción con ranuras de chavetas según DIN 6885/1.

A continuación, extraemos las dimensiones de los casquillos escogidos:



FUENTE: CATÁLOGO DE NORELEM

Referencia	Versión	Material	L [mm]	B [mm]	D [mm]	D1 [mm]	T2 [mm]	Para tornillo	Par de apriete de los tornillos prisioneros [Nm]
23200- 0852544	Tipo 2517	Fundició n Gris	44.5	8	85	25	3.3	½ BSW	50

FUENTE: CATALOGO DE NORELEM

Para el posterior diseño del eje tendremos que tener en cuenta estas dimensiones. Los planos del eje diseñado se encontrarán en **ANEXO 2: PLANOS**

1. CONJUNTO TENSOR

2.1 POLEAS Y TAPER LOCK

Estos elementos serán completamente los mismo que se escogieron para el conjunto tractor (Ver punto "1.4 Poleas y Táper lock")

2.2 COJINETES

Para la elección de este cojinete tendremos que tener en cuenta el diámetro interior del táper locks, que en este caso es de 25mm de diámetro.

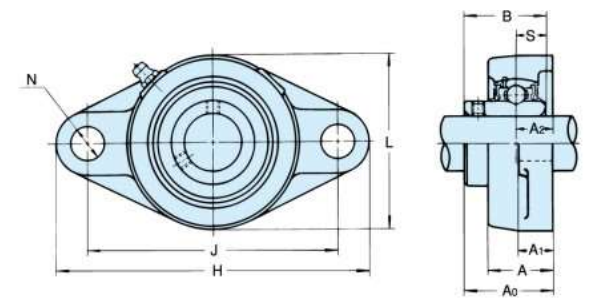
Nos iremos al catálogo de "Asahi Seiko". Escogemos de entre toda la variedad de tipos el modelo UCFL 200 y de entre todos ellos el que tiene el diámetro interior de 25mm, que es el UCFL 205.

Es escogido por su alta durabilidad y su resistencia al desgaste.

Es un rodamiento en una carcasa con pies UCFL, rodamiento en una carcasa con anillo. Rodamientos cilíndricos de una hilera con rodillos cilíndricos cortos. La carcasa del cojinete en este caso está hecha de hierro fundido.

Del catálogo extraemos las siguientes dimensiones:

UCFL 200 type



Shaft						Dimensi	ions	mm				Bolt		Bearing		Housing	Weigh
Diam. mm	Unit No.	н	J	A ₂	Aı	А	N	L	Ao	В	s	Size	No.	Basic Load Cr	Rating kN Cor	No.	kg
12 15 17	UCFL 201 UCFL 202 UCFL 203	113 113 113	90 90 90	15 15 15	12 12 12	25.5 25.5 25.5	12 12 12	60 60	33.3 33.3 33.3	31 31 31	12.7 12.7 12.7	M10 M10 M10	UC 201 UC 202 UC 203	12.8 12.8 12.8	6.6 6.6 6.6	FL 204 FL 204 FL 204	0.45 0.45 0.44
20	UCFL 204	113	90	15	12	25.5	12	60	33.3	31	12.7	M10	UC 204	12.8	6.6	FL 204	0.42
25	UCFL 205	130	99	16	14	27	16	68	35.8	34.1	14.3	M14	UC 205	14	7.9	FL 205	0.59
30	UCFL 206	148	117	18	14	31	16	80	40.2	38.1	15.9	M14	UC 206	19.6	11.3	FL 206	0.9
35	UCFL 207	161	130	19	16	34	16	90	44.4	42.9	17.5	M14	UC 207	25.9	15.4	FL 207	1.2
40	UCFL 208	175	144	21	16	36	16	100	51.2	49.2	19	M14	UC 208	29.3	17.9	FL 208	1.5
45	UCFL 209	188	148	22	18	38	19	108	52.2	49.2	19	M16	UC 209	33	20.5	FL 209	1.9
50	UCFL 210	197	157	22	18	40	19	115	54.6	51.6	19	M16	UC 210	35.5	23.2	FL 210	2.2
55	UCFL 211	224	184	25	20	43	19	130	58.4	55.6	22.2	M16	UC 211	43	29.4	FL 211	3.2
60	UCFL 212	250	202	29	20	48	23	140	68.7	65.1	25.4	M20	UC 212	52.5	36.1	FL 212	4.1
65	UCFL 213	258	210	30	24	50	23	155	69.7	65.1	25.4	M20	UC 213	57.5	40	FL 213	5.1
70	UCFL 214	265	216	31	24	54	23	160	75.4	74.6	30.2	M20	UC 214	62	44	FL 214	6.0
75	UCFL 215	275	225	34	24	56	23	165	78.5	77.8	33.3	M20	UC 215	66	48.2	FL 215	6.5
80	UCFL 216	290	233	34	24	58	25	180	83.3	82.6	33.3	M22	UC 216	72.5	53	FL 216	8.0
85	UCFL 217	305	248	36	26	63	25	190	87.6	85.7	34.1	M22	UC 217	83.5	61.8	FL 217	9.5
90	UCFL 218	320	265	40	26	68	25	205	96.3	96	39.7	M22	UC 218	95.5	71.4	FL 218	11.9

FUENTE: CATÁLOGO DE ASAHI SEIKO

De aquí extraeremos los datos dimensionales necesarios para el diseño del eje y también de la pieza en donde irán acoplados del conjunto tensor.

2.3 DESLIZADERAS

Esta deslizadera o también llamada "Guarniciones guía tipo FS Plegables" es un componente comercial escogido de la empresa Española Macla. Su única función es la que exista

rozamiento entre las partes metálicas entre la parte del conjunto tensor que esta fija y la que nos sirve para tensar las correas. El material es de Poliuretano Macatlan, tipo MAC 96 con las siguientes características más importantes para su elección:

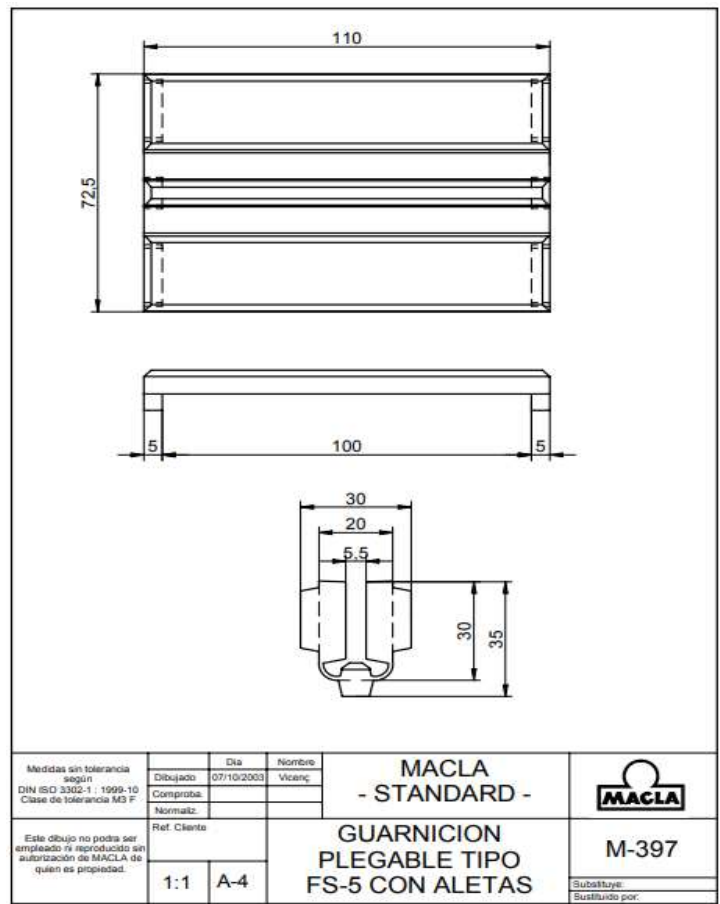
- Resistencia al desgaste
- Elevada capacidad de carga
- Resistencia a los cortes y al desgarre
- Amortiguación de vibraciones y ruidos
- Bajo coeficiente de rozamiento

Los tipos estándar se fabrican en ejecución plegable para facilitar su posterior montaje.



FUENTE: CATALOGO DE MACLA

Extraeremos del catálogo las dimensiones que posteriormente necesitaremos para diseñar los elementos del conjunto tensor donde van a ir adheridos.



FUENTE: CATÁLOGO DE MACLA

2.4 MUELLES

La función de estos muelles (muelles de compresión) es simplemente darle por medio del bastidor fijo del tensor la tensión suficiente a las correas.

Sabiendo que la longitud máxima del muelle tiene que ser de 100 mm, que es necesaria una fuerza de 1500 N (Extraída del apartado de *Cálculo de accionamientos por correa*

dentada)y como máximo tendremos que ajustar una distancia de 60 mm, calcularemos la constante elástica necesaria para la elección del muelle.

$$F = k * x$$

 $1500 = k * 60 \rightarrow k = 25 \frac{N}{mm}$

Vamos al catálogo de muelle stock y escogemos el siguiente muelle. Sera de ALAMBRE DE ACERO EN 10270-1 SH – PH (DIN 17223/84-C)

Las dimensiones y características de este serán las siguientes:

Diám. Ext.	Hilo	Largo	Diám. Int.	Espiras útiles	Paso	k (DaN/mm)	Carga	Largo	Carga	Largo	Carga	Largo	Carga	Largo	Material
26.00	4.00	100	18.00	10.00	10.00	2.5545	38.320	85.00	63.86	75.00	89.41	65.00	137.94	46.00	cp

FUENTE: CATALOGO DE MUELLESTOCK

26.00 Cidigo de maelle: 200121 Maderial: 1g: ALAMERE DE ACERO EN 10270-1 SH-PH (DM 17223/16-C) Large forat: 100 Hile: 4.00 Expiras útilise: 10.00 Diámetro estario: 28.00 Diámetro interior: 18.00 Puso: 10.00 K (DoAlvey): 2.5546

FUENTE: CATÁLOGO DE MUELLESTOCK

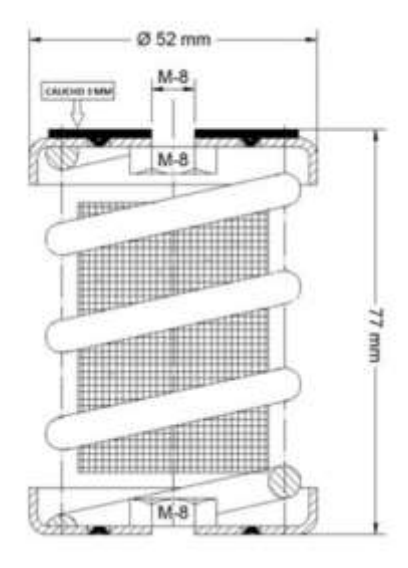
2.5 AMORTIGUADORES

La función de estos amortiguadores será de seguridad como en todos los sistemas de elevación de ascensores se colocan en la parte del foso, por si hubiese una caída del elevador amortiguase la caída, para la selección de este componente comercial nos hemos

ido a anteriores diseños de maquina por su buen funcionamiento y son amortiguadores antivibración metálico, mostraremos una imagen y sus dimensiones.







FUENTE: CATÁLOGO RATIONALSTOCK

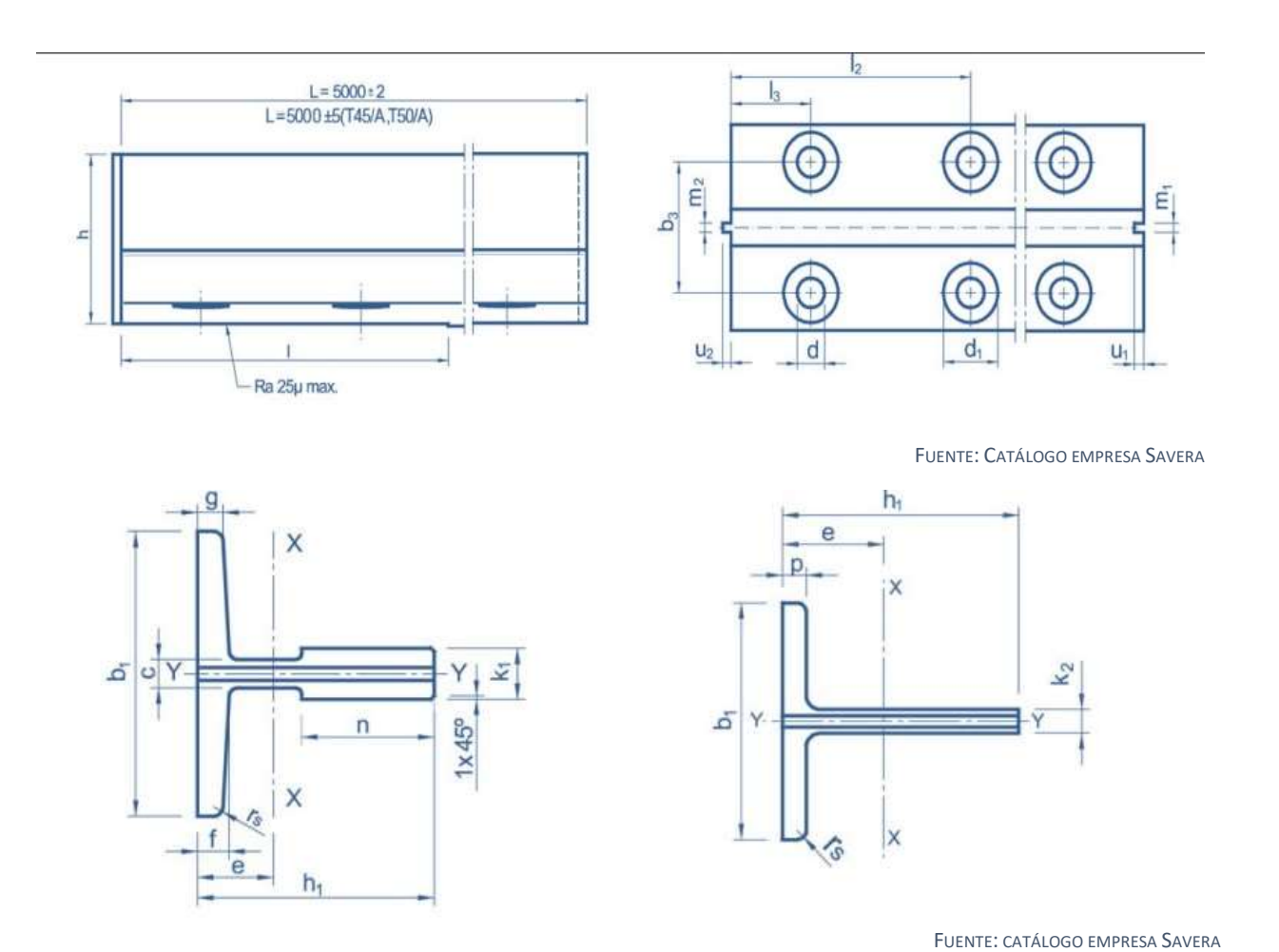
3 ESTRUCTURA 3.1 GUÍAS T DE ELEVACIÓN

Para la selección de las guías no tendremos que fijar en la **velocidad de elevación** y/o descenso. En nuestro caso la velocidad máxima no superará los 1,6 m/s. Por lo tanto, iremos al catálogo de la empresa SAVERA, especializada en guías.

Según el fabricante nos recomienda según la norma ISO 7465 de la línea super las guías calibradas en las que las velocidades pueden oscilar entre 0 m/s y 1.6 m/s. Como la altura de nuestras torres será modular siendo como máximo 20m cogeremos las guías de 5m de longitud.

Para la elección de la sección, como tenemos dos líneas de guías T, en cada torre, la del elevador y la del contrapeso, buscaremos una sección que se adapten a la anchura, con este criterio y la experiencia anterior en otras máquinas seleccionamos las guías T con la siguiente referencia: *Ride super T70/A*

Del catalogo extraemos las dimensiones de este tipo de guía para el posterior diseño de los angulares donde iran acopladas.



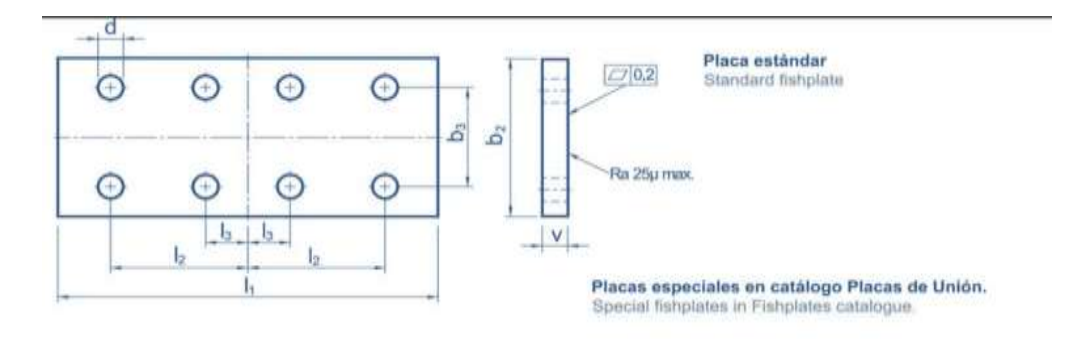
ابعاد (میلیمتر)

	100000	ST 2592	2022									p ± 0,50	200	+0,06	+0	u. ± 0,10	SCHOOL SERVICE	بالديودن	a citat as
	b ₁ ±	No. 2	0,20				h ₂ 20,15					p ± 0,30	r.	m, 4	m ₂ -0,00	u. ± 0,10	u ₂ ± 0,10	Stee man.	fire more
T45/A	45	34	15				6					- 5	1	2	1,97	2,5	2	3,5	0.7
T50/A	50	5	i0				5					- 5	1	2	1,97	2,5	2	3,5	0,7
	b, ± 1,	10 B±	0,10 0,75	h ± 0,08	1 43	k1 -0,10	k ₂ +0,10	n+3	e	g ± 0,75	f ± 0,75	p ± 0,75	r.	m, +0,00	m ₂ +0 -0,06	u ₁ ± 0,10	Hz ± 0,18		
T65/A	65	- 6	4	2		7,9	0)	20	5	4:	5,8	17	3	2	1,97	2,5	2	3,5	0,7
T70/A	70	- 6	15	150	12	9	177	34	6	6	(8)	-08	1,5	3	2.97	3,5	3	2,5	0,5
T70-70	9/A 70	7	0	**	53	9	100	35	7,9	8,5	8.5	W	3	3	2,97	3,5	3	2.5	0,5
T75/A	75	- 6	2	-5		10		30	8	7	- 95		1.5	3	2,97	3,5	.3	2,5	0.5
TB0-80-	08 AVE	8	10	-	- 2	17	9		2	- 27	020	9	3	3	2,97	3,5	3	2.5	0.5
T82/A	82	6	8	8	10	9		34	7,6	6	8,25	- 24	3	3	2,97	3,5	3	2,5	0.8
T09/A	80	6	12	E.	20	16	103	34	10	8	11	- 18	3	6.4	6,37	7,14	6,35	2,5	0.6
T90/A	90	: 7	5	F.		16	90	42	10	8	10	0.0	4	6,41	6,37	7,14	6,35	2,5	0,5
T125-L	t/A: 125	. 6	18:	E.C.	60	+51	9		100	6.	8,25	200	3	3	2.97	3.5	- 3	2,5	0.5

FUENTE: CATÁLOGO DE LA EMPRESA SAVERA

Como la longitud de las guías son de 5 metros, las tendremos que empalmar para cumplir la altura necesaria, para ello tendremos unas placas de empalme que son las que recomienda el fabricante, tendremos las siguientes (para nuestras Ride super T70/A).

A continuación extraemos las dimensiones de las placas de union del catalogo.



FUENTE: CATÁLOGO SAVERA

	đ		bz	b ₂ ± 0,20	r -0	1 ₅ ± 0,20	L ± 0,20	v +3	€w Bot	Washe
T45/A	9		50	25	160	65	15	8	M8X25	A-8
T50A	9		50	30	200	75	25	. 6	MIDC25	A-B
	đ	d ₁	by	b ₃ ± 0,20	L +3	I _f ± 0,20	1,± 0,20	A +2	₽₩ But	Washer Washer
T65/A	10,5	+	65	40	160	66	15	8	M10X25	A-10
T70/A	13	26	70	42	250	105	25	10	M12x35	A-12
T70-70-8/A	13	100	70	42	250	105	25	10	M12x35	A-12
175/A	13	26	70	42	250	105	25	10	M12x35	A-12
T00-80-9/A	10	30	80	42	250	105	25	10	M12x35	A-12
T82/A	13	26	80	50,8	216	81	27	10	M12x35	A-12
TRIVA	13	26	90	57,2	306	114,3	38,1	13	M12x35	A-12
T90/A	13	26	90	57,2	306	114,3	38,1	13	M12x35	A-12
T125-L1/A	-17	33	130	79.4	308	114,3	36.1	18	M16x50	A-16

FUENTE: CATALOGO DE SAVERA

A continuación, también extraemos del catálogo las características mecánicas de las guías T. El resultado del análisis estructural nos indica que el máximo esfuerzo que podemos tener en las guías T es de **68.4Mpa** y el límite de rotura extraído en la tabla siguiente es de 470 Mpa. Por lo tanto, es admisible.

Caracteristicas Generales de las Guias General Characteristics of the Guide

Standards		Smexing point	Visid point	کشیدگی Elorquition
ISO 7465		N/mm ²	Nimm ² min.	% min.
UNI 7465	Calibradas hongo>5mm≤8mm Cold drawn blade>5mm≤8mm	470 - 840	365	
AMSI A 17-1	(EN 10277-2)	ACCOUNTS	740.5	
BS 5655	Calibradas hongo>8mm 510mm Cold drawn triade>8mm 510mm	470 - 840	355	12
DIN 15311	(EN 10277-2)	2020/2020	7000	1000
JIS AFNOR NF P 82/251	Calibradas hongo>10mm≤16mm Colt diswn blade>10mm≤16mm (EN 10277-2)	420 - 710	300	12
AFNOR NF F 82/251	Cepilladas hongos16mm Blade 516mm	410 - 520	275	22
	Cepillades hongo>16mm Blade>16mm	410 - 520	265	72

FUENTE: CATÁLOGO DE LA EMPRESA SAVERA

Las bridas de unión para este tipo de guía T según el fabricante es la brida H2 70



FUENTE: CATALOGO DE SAVERA

4 CONJUNTO ELEVADOR

4.1 RODADERAS DE CONJUNTO ELEVADOR

Para la selección de las rodaderas del conjunto elevador tendremos que tener en cuenta 3 puntos:

Ancho del canal de rodadura de las guías anteriormente seleccionadas. En este caso son de 9mm.

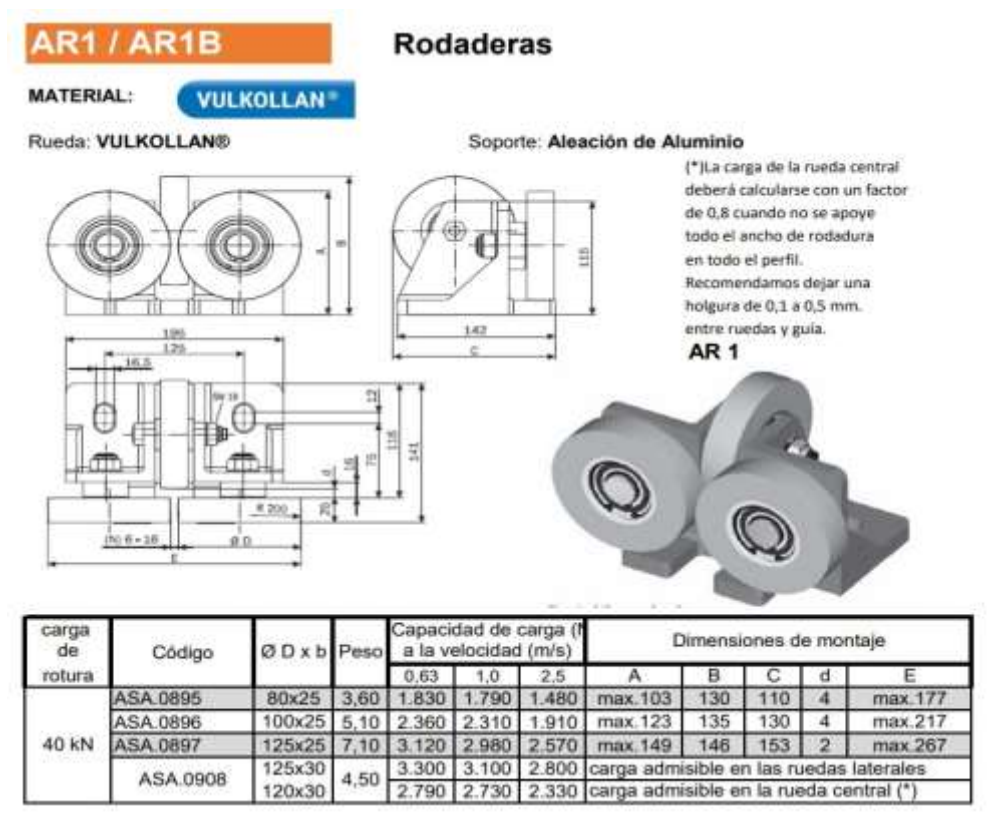
La capacidad de carga, teniendo en cuenta que nuestro elevador con carga máxima pesa 185 Kg y nuestro contrapeso pesa alrededor 154 Kg.

La velocidad de carga, que como máximo es de 1,6 m/s

Con este dato iremos al catálogo de MACLA y seleccionamos los siguientes conjuntos de rodaderas: *Rodaderas tipo AR1_*Con el código *ASA.0896*

Extraemos las dimensiones y características de este tipo de rodaderas.

Estas ruedas son las que se emplearon en modelos anteriores de elevación dando unos excelentes resultados.



FUENTE: CATÁLOGO DE LA EMPRESA MACLA

4.2 CÉLULAS DE CARGA

Para la selección de las células de carga lo único que tenemos que tener en cuenta, es que en los cuatro puntos que las vamos a colocar sean las mismas y que tengan un rango de pesado que abarque el máximo peso que vayamos a pesar. Las escogemos de la marca Ascell.

Según los datos que tenemos es que el habitáculo de almacenamiento es de 30 Kg aproximadamente

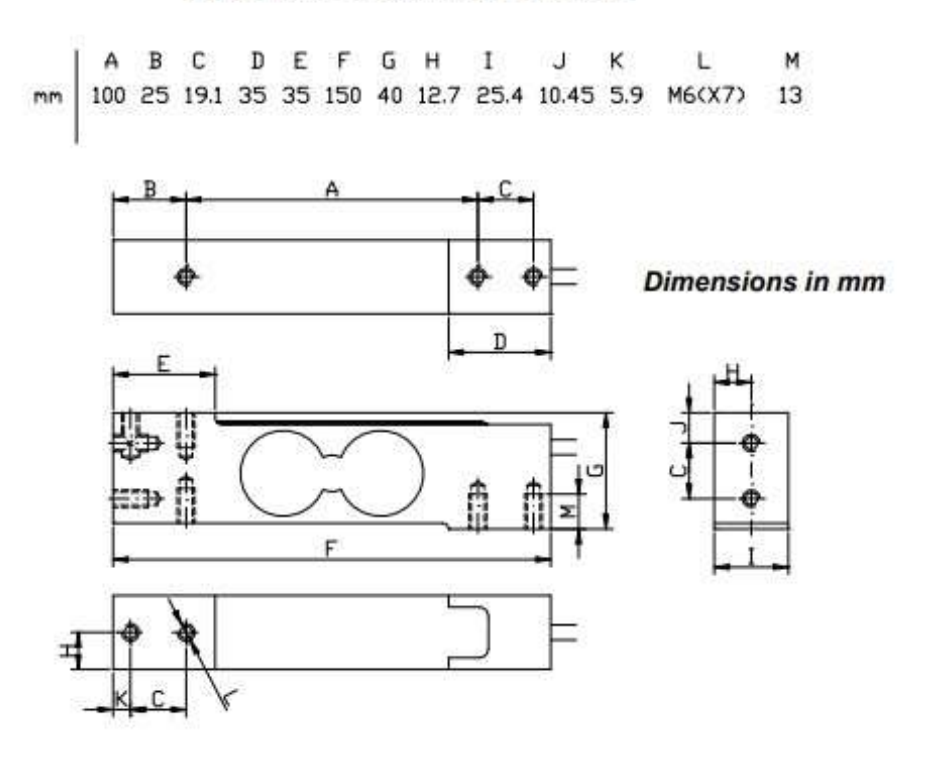
Peso máximo (o bicicleta) que se puede introducir en el interior del habitáculo es de 35 Kg

Por lo tanto, la suma de los dos elementos es de 65 Kg. Como los rangos de las células de carga son de 5-10-20-50-100-200 Kg, escogeremos las células de carga de 100Kg.

A continuación, extraemos las dimensiones de las células de carga para el posterior diseño de los elementos en los que irán situadas.



All the internal cables are protects



FUENTE: CATÁLOGO DE ASCELL

5 CONJUNTO CONTRAPESO

5.1 RODADERAS DEL CONJUNTO CONTRAPESO

Para la selección de las rodaduras del conjunto contrapeso escogeremos las mismas que las del conjunto elevador (Ver punto "4.1 Ruedas triples o rodaduras del conjunto elevador")

1.3 DISEÑO DE ELEMENTOS DE MÁQUINAS 1.3.1 CÁLCULO DE UNIÓNES ATORNILLADAS

CALCULO DE TONILLERIA DE UNION DE SOPORTE DE MOTOR ELEVADOR A PARED.

Aunque tendremos que anclar nuestras piezas a la pared por medio de tacos mecánicos lo calculamos según la EAE Uniones atornilladas.

 F_1 = Fuerza creada por el peso del motor + reductor + Poleas

 F_2 = Fuerza creada por el peso del elevador y del contrapeso

Para cada una de estas fuerzas supondremos para simplificar que están ejercidas en el centro geométrico del soporte del elevador

1) Cálculo de la F₁

Peso del motor = 20Kg

Peso del reductor = 20Kg

Peso de las poleas y resto de elementos = 10 Kg

Cada uno de estos elementos están mayorados al 20%

$$Peso_{Total1} = 20 + 20 + 10 = 50 \text{ Kg}$$

$$F_1 = 50 \text{Kg} * 9.81 = 490.5 \text{ N}$$

2) Cálculo de la F₂

Peso del elevador = 120Kg

Peso del habitáculo = 30Kg

Peso máximo de la bicicleta = 35 Kg

Peso
$$_2 = 120 + 30 + 35 = 185 \text{ Kg}$$

Peso Bastidor de contrapeso = 34 Kg

Pesos = 12 Kg

N.º de pesos = 10

Peso
$$_3 = 34 + (12 * 10) = 154 \text{ Kg}$$

Peso
$$Total_2 = 185 + 154 = 339 \text{ Kg}$$

Mayoramos el peso total 2 al 20%

Peso total
$$_2 = 339 + (0.20 * 339) = 406.8 \text{ Kg}$$

$$F_2 = 406.8 * 9.81 = 3990.7N$$

Datos de tornillería a elegir:

CATEGORIA C+E Tornillos pretensados

Calidad 8.8:
$$f_{ub} = 800 \, \text{N}/\text{mm}^2$$
; $f_{yb} = 6640 \, \text{N}/\text{mm}^2$

Acero 275

Analizaremos un extremo del soporte del elevador, que contiene 2 tornillos.

3) Calculamos la fuerza de cortadura a la que están sometidos a tornillos

$$Q_{sdtotal} = F_1 + F_2 = 3990.7 + 490.5 = 4471 \text{ N}$$

$$Q_{sd} = \frac{Q_{sdtotal}}{2} = \frac{4471}{2} = 2235.5 \text{ N}$$

Como tenemos dos extremos y en cada extremo tenemos 2 tornillos calculamos la fuerza que recibe cada tornillo $F_{v,Ed}$

$$F_{v,Ed} = \frac{Q_{sdtotal}}{4} = \frac{4471}{4} = 1117.75 \text{ N}$$

4) Calculamos el Momento que tienen que soportar los tornillos M_{sd}

Sabiendo que la distancia en donde se aplica la fuerza es L/2 (la mitad de la longitud del perfil de soporte del elevador)

$$d = \frac{L}{2} = \frac{1260}{2} = 630 \text{ mm} = 0.63 \text{m}$$

$$M_{sd} = Q_{sd} * d = 2.235 \text{ KN} * 0.63 \text{ m} = 1.40 \text{ KNm}$$

5) Con el M_{sd} calcularemos la fuerza de tracción $F_{t,Ed}$ que recibe cada tornillo. Donde d_1 es la distancia de la aplicación de la fuerza a la distancia del centro de los tornillos.

$$F_{t,Ed} = \frac{M_{sd}}{d_1} = \frac{1.40 \text{ KNm}}{60 \text{x} 10^{-3}} = 23.33 \text{ KN}$$

- 6) Seguiremos las comprobaciones según la EAE con la CATEGORIA C + E, para sacar la métrica mínima de los tornillos que tendremos que utilizar.
- Comprobación de Tracción

$$Ft_{Ed} \le Ft_{Ed} = \frac{0.9 * f_{ub} * A_s}{v_{M2}} = 23330 \le \frac{0.9 * 800 * A_s}{1.25} \rightarrow A_s = 40.50 \text{ mm}^2$$

• Tracción + Corte

$$\left(\frac{\text{Fv}_{,\text{Ed}}}{\text{Fv}_{,\text{Rd}}}\right) + \left(\frac{\text{Ft}_{,\text{Ed}}}{1.4 + \text{Ft}_{,\text{Rd}}}\right) < 1 \rightarrow \left(\frac{\frac{1117.75}{0.5 * f_{\text{ub}} * A_{\text{s}} * n}}{\gamma_{\text{M2}}}\right) + \left(\frac{23330}{1.4 + \frac{0.9 * f_{\text{ub}} * A_{\text{s}}}{1.25}}\right) < 1$$

$$\rightarrow \left(\frac{\frac{1117.75}{0.5 * 800 * A_{\text{s}} * 2}}{1.25}\right) + \left(\frac{23330}{1.4 + \frac{0.9 * 800 * A_{\text{s}}}{1.25}}\right) < 1 \rightarrow A_{\text{s}} = 41.61 \text{mm}^{2}$$

Deslizamiento

$$Fv_{,Ed} \le Fs_{,Ed} = \frac{K_s * n * \mu * (N_0 - 0.8 * Ft_{,Ed})}{\gamma_{M3}}$$

$$= \frac{1 * 1 * 0.5 ((0.7 * 1000 * A_s) - 0.8 * 23330)}{1.25} \rightarrow A_s = 30.65 \text{ mm}^2$$

Según la tabla 30 Serie 1 según DIN 13

$$\text{M10} \rightarrow \text{ A}_s = 58 \text{ mm}^2$$

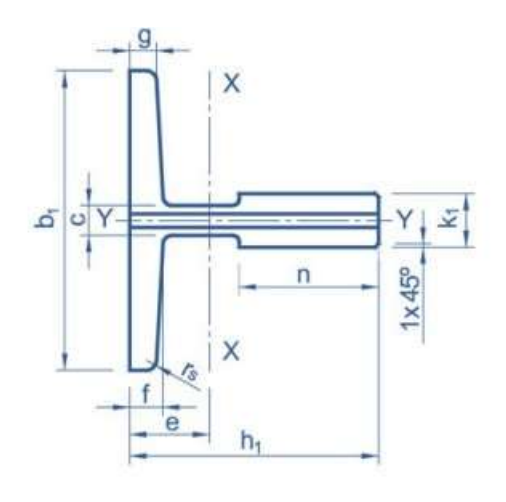
Tendremos que escoger como mínimo un tornillo de Métrica 10 con calidad 8.8

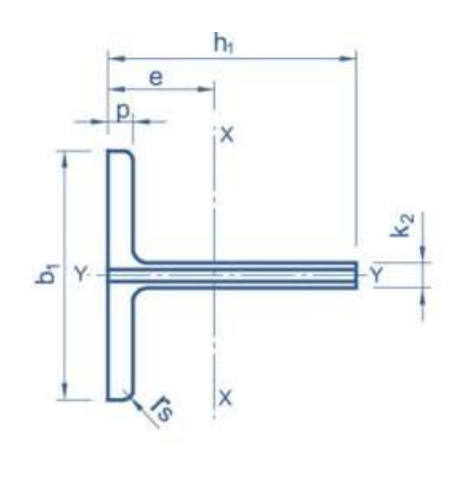
CALCULO DE TORNILLERIA DE UNION DE ANGULARES CON TORRES. CORTADURA

Consideraremos cortadura pura.

 Calcularemos el volumen de guías T que le corresponde a cada angular, y este se sujeta con tres tornillos. Las dimensiones para el cálculo de la sección las extraemos del catálogo.

Sección





FUENTE: CATALOGO DE SAVERA

	(land to the land					0.000					NORTH AND		+0,06	+0	THE WOLL			مد اعلاء م
	b, ±1	h ₁ ± 0,20				h ₂ ±0,15					p ± 0,50	r,	m, .0	m ₂ -0,06	u: ±0,10	u2 ± 0,10	Ster mas.	Ere man
T45/A	45	45				6					- 5	1	2	1,97	2,5	2	3,5	0,7
T50/A	50	50				8					- 5	1	2	1,97	2,5	2	3,5	0,7
	b ₁ ± 1,50	A±0,10 B±0,75 h ₁	h ± 0,08	1 43	k1 -0,10	k ₂ +0,10	n+3	e	g ± 0,75	f ± 0,75	p ± 0,75	r.	m, +0,00	m ₂ +0 -0,06	u ₁ ± 0,10	Hz ± 0,10		
T65/A	65	54	P.		7,9	10)	20	5	4:	5,8	1.7	3	2	1,97	2,5	.2	3,5	0,7
T70/A	70	65	15	12	9	100	34	6	6	(8)	- 02	1,5	3	2.97	3,5	3	2.5	0,5
T70-70-9/A	70	70		53	9	100	35	7,9	8,5	8,5	17	3	3	2,97	3,5	3	2,5	0,5
T75/A	75	62			10		30	8	7	9	-	1.5	3	2.97	3,5	3	2,5	0,5
T80-80-9/A	80	80			17	9		2	- 27	0.0	9	3	3	2.97	3,5	3	2.5	0.5
T82/A	82	66	8	6	9		34	7,5	6	8,25	- 24	3	3	2,97	3,5	3	2,5	0,8
T09/A	110	62	100	0	16	183	34	10	8	11	19	3	6.4	6,37	7,14	6,35	2,5	0,6
T90/A	90	75			16	200	42	10	8	10	12	4	6,4	6,37	7,14	6,35	2,5	0,5
T125-L1/A	125	.68	FC		41	9			6.	8,25	179	3	3	2.97	3,5	- 3	2,5	0,5

FUENTE: CATÁLOGO DE SAVERA

$$b_1 * f = 70 \text{mm} * 8 \text{mm} = 560 \text{mm}^2$$

 $k_1 * (h_1 - f) = 9 \text{mm} * (65 - 8) \text{mm} = 513 \text{mm}^2$
 $Area_{total} = 560 \text{mm} * 513 \text{mm} = 1073 \text{mm}^2$

La longitud total de las guías T se reparten de igual manera equitativamente por todos los angulares, por lo tanto, extraemos la longitud que equivale a cada uno de los angulares.

$$L = 1490 \text{mm}$$

La densidad del acero es de:

$$\gamma = 7.8 \frac{g}{cm^3} * \frac{100 \text{ cm}^3}{m^3} * \frac{1 \text{Kg}}{1000\text{g}} = 7800 \frac{\text{Kg}}{m^3}$$

El volumen total del tramo de una guía T será:

$$Volumen_{total1} = 1073 mm^2 * 1490 mm = 1598770 mm^3$$

El volumen total de los dos tramos de las guías T será:

$$Volumen_{total} = 1598770 \text{ mm}^3 * 2 = 3197540 \text{ mm}^3 * \frac{1 \text{m}^3}{1000 \text{mm}^3} = 0.0031 \text{m}^3$$

Con el volumen total y la densidad calcularemos el peso.

$$Peso_{total} = 0.031 \text{m}^3 * 7800 \frac{\text{Kg}}{\text{m}^3} = 24.18 \text{ Kg}$$

Calculamos la Fuerza que ejerce ese peso sobre los tornillos

$$F_{total} = 24.18 \text{ Kg} * 9.81 = 237.28 \text{ N} \rightarrow \text{Mayoramos el } 50\% = 355.92 \text{ N}$$

Para el cálculo de los tornillos seguiremos el libro de K.H Decker. Tornillos pasantes DIN 601, 912 Y 931.

Se han seleccionado tornillo M12x65 de la TABLA 30 Serie 1. Extraemos los siguientes datos

$$A_k$$
 = Sección transversal del tornillo = 76.3 mm³

$$A_s = Sección de tracción = 84.3 \text{ mm}^3$$

Los tres tornillos serán de calidad 8.8 por lo tanto:

 σ_B = Resistencia minima a la tracción = 800 Mpa

 σ_S = Limite de estricción minimo = 640 Mpa

Calcularemos la tensión de cortadura τ_a

$$F_{tornillo} = \frac{F_{total}}{3} = \frac{355.92}{3} = 118.64 \text{N Cada tornillo}$$

$$\tau_a = \frac{F_{tornillo}}{\text{Area}} = \frac{118.64}{\pi * 6^2} = 1.049 \text{Mpa}$$

2) Calcularemos la presión en las paredes del agujero σ₁

$$\sigma_l = \frac{F_{tornillo}}{d*s} = \frac{118.64}{12*4} = 2.471 \text{ Mpa}$$

d = diametro esterior de los portantes del tornillo

s = longitud minima portante o del elemento del tornillo = espesor de angular

3) Escogemos de la TABLA 35 las tensiones permisibles para construcción de máquinas para esfuerzos en reposo. $\tau_{a~adm}=0.6\sigma_{S}$ Para la tensión en las paredes internas del agujero en reposo: $\sigma_{l~adm}\approx0.75\sigma_{B}$

$$\tau_{a \text{ adm}} = 0.6 * 640 = 384 \text{ Mpa}$$
 $\sigma_{l \text{ adm}} = 0.75 * 800 = 600 \text{Mpa}$

4) Tenemos por lo tanto que las tensiones de cortadura y las tensiones de las paredes internas son muy superiores a las tensiones creadas por nuestros elementos.

$$\tau_{a \text{ adm}} > \tau_{a}$$
 $\sigma_{l \text{ adm}} > \sigma_{l}$

Como hemos podido comprobar en este último calculo la tornillería esta sobradamente dimensionada, ya que los elementos estructurales no reciben apenas esfuerzos, el resto de tornillería es simplemente de unión de elementos, y estarán sometidos a esfuerzos menores o esfuerzos que se pueden considerar despreciables.

CALCULO DE TORNILLERIA DE UNION DE BASTIDOR FRONTAL AL BASTIDOR DE LA PLATAFORMA DE CARGA

F₁ = Fuerza creada por el peso propio del bastidor de la plataforma + habitaculo + Peso de bicicleta

Para cada una de estas fuerzas supondremos para simplificar que están ejercidas en el centro geométrico del bastidor de la plataforma de carga

1º Calculo de la F₁

Peso propio de bastidor de la plataforma de carga = 85 Kg

Peso del habitáculo = 30 Kg

Peso máximo bicicleta = 35 Kg

Peso
$$_{Total} = 85 + 30 + 35 = 150 \text{ Kg} \rightarrow \text{Mayorados al } 50\% \rightarrow 150 + (150 * 0.5) = 225 \text{Kg}$$

$$F_1 = 225 \text{Kg} * 9.81 = 2207.25 \text{ N}$$

CATEGORIA C+E Tornillos pretensados

Calidad 8.8:
$$f_{ub} = 800 \, ^{N}/_{mm^2}$$
 ; $f_{yb} = 6640 \, ^{N}/_{mm^2}$

Acero 275

Analizaremos un extremo del soporte del elevador, que contiene 2 tornillos.

1) Calculamos la fuerza de cortadura a la que están sometidos a tornillos

$$Q_{sd} = F_1 = 2207.25 \text{ N}$$

Como tenemos 4 tornillos calculamos la fuerza que recibe cada tornillo F_{v.Ed}

$$F_{v,Ed} = \frac{Q_{sdtotal}}{4} = \frac{2207.25 \text{ N}}{4} = 551.81 \text{ N}$$

2) Calculamos el Momento que tienen que soportar los tornillos M_{sd}

Supondremos que el centro de gravedad de todo el peso se encuentra a 663 mm.

$$d = 665 \text{ mm} = 0.665 \text{m}$$

$$M_{sd} = Q_{sd} * d = 2.207 \text{ KN} * 0.665 \text{ m} = 1.467 \text{ KNm}$$

3) Con el M_{sd} calcularemos la fuerza de tracción $F_{t,Ed}$ que recibe cada tornillo. Donde d_1 es la distancia de la aplicación de la fuerza a la distancia del centro de los tornillos.

$$F_{t,Ed} = \frac{M_{sd}}{d_1} = \frac{1.467 \text{ KNm}}{0.736 \text{m}} = 1.99 \text{ KN}$$

- 4) Seguiremos las comprobaciones según la EAE con la CATEGORIA C + E, para sacar la métrica mínima de los tornillos que tendremos que utilizar.
- Comprobación de Tracción

$$\text{Ft,}_{\text{Ed}} \le \text{Ft,}_{\text{Ed}} = \frac{0.9 * f_{\text{ub}} * A_{\text{s}}}{\gamma_{\text{M2}}} = 23330 \le \frac{0.9 * 800 * A_{\text{s}}}{1.25} \rightarrow A_{\text{s}} = 3.45 \text{ mm}^2$$

• Tracción + Corte

$$\left(\frac{\text{Fv}_{,\text{Ed}}}{\text{Fv}_{,\text{Rd}}}\right) + \left(\frac{\text{Ft}_{,\text{Ed}}}{1.4 + \text{Ft}_{,\text{Rd}}}\right) < 1 \rightarrow \left(\frac{\frac{551.81}{0.5 * \text{f}_{\text{ub}} * \text{A}_{\text{S}} * \text{n}}}{\gamma_{\text{M2}}}\right) + \left(\frac{\frac{1990}{1.4 + \frac{0.9 * \text{f}_{\text{ub}} * \text{A}_{\text{S}}}{1.25}}}{1.25}\right) < 1$$

$$\rightarrow \left(\frac{\frac{551.81}{0.5 * 800 * \text{A}_{\text{S}} * 2}}{1.25}\right) + \left(\frac{\frac{1990}{1.4 + \frac{0.9 * 800 * \text{A}_{\text{S}}}{1.25}}}{1.25}\right) < 1 \rightarrow \text{A}_{\text{S}} = 4 \text{ mm}^{2}$$

Deslizamiento

$$Fv_{,Ed} \le Fs_{,Ed} = \frac{K_s * n * \mu * (N_0 - 0.8 * Ft_{,Ed})}{\gamma_{M3}}$$

$$= \frac{1 * 1 * 0.5 ((0.7 * 1000 * A_s) - 0.8 * 1990)}{1.25} \rightarrow A_s = 1.23 \text{ mm}^2$$

Con los valores que obtenemos tan pequeños podemos corroborar que en esos tornillos no obtendremos casi tensiones, colocaremos tornillería de M8 con calidad 8.8.

El resto de la tornillería no será objeto de análisis, ya que la función de esta es simplemente de unión, no estructural ya que no está sometida a grandes esfuerzos.

UNIÓN ENTRE TORRES

Analizaremos estas uniones en la posición más desfavorable que será cuando el elevador y el contrapeso este en la misma altura.

F₁ = Fuerza creada por el peso del elevador + el peso del habitaculo + peso maximo de bicicleta

 F_2 = Fuerza creada por peso del bastidor del contrapeso + los pesos

1) Cálculo de la F₁

Peso del elevador = 120 Kg

Peso del habitáculo = 30 Kg

Peso máximo de bicicleta = 35 Kg

Cada uno de estos elementos están mayorados al 50%

Peso
$$_{Total1} = 120 + 30 + 35 = 185 \text{ Kg} \rightarrow \text{Mayorando al } 50\% = 185 + (185 * 0.5) = 277.5 \text{ Kg}$$

$$F_1 = 277.5 \text{ Kg} * 9.81 = 2722.27 \text{ N}$$

2) Cálculo de la F₂

Peso del bastidor del contrapeso = 34 Kg

Peso de los pesos = 12 Kg

N.º de pesos a introducir = 10

Casa uno de estos elementos mayorados al 50%

Peso total 2 = 34 + (12 * 10) = 154 Kg
$$\rightarrow$$
 Mayorando al 50% = 154 + (154 * 0.5) = 231 Kg

$$F_2 = 231 \text{ Kg} * 9.81 = 2266.11 \text{ N}$$

Datos de tornillería a elegir:

CATEGORIA E Tornillos pretensados

Calidad 8.8:
$$f_{ub} = 800\,{}^{\hbox{N}}\!/_{mm^2} \; ; \quad f_{yb} = 6640\,{}^{\hbox{N}}\!/_{mm^2}$$

Acero 275

3) Obtenemos la distancia para calcular M_{sd}

$$d_1 = 1471.07 \text{ mm}$$

$$d_2 = 954.63 \text{ mm}$$

$$M_{sd1} = F_1 * d_1 = 2722.27N * 1471.07mm = 4004649.729 \text{ Nmm}$$

$$M_{sd2} = F_2 * d_2 = 2266.11N * 954.63mm = 2163296.58 \text{ Nmm}$$

4) Con el M_{sd} calcularemos la fuerza de tracción $F_{t,Ed}$ que recibe cada tornillo. Donde d_1 es la distancia de la aplicación de la fuerza a la distancia del centro de los tornillos.

$$F_{t,Ed1} = \frac{M_{sd1}}{y_1} = \frac{4004649.729 \text{ Nmm}}{1372.22 \text{ mm}} = 2918.37 \text{ N}$$

$$F_{t,Ed2} = \frac{M_{sd2}}{y_2} = \frac{2163296.58 \text{ Nmm}}{793.99 \text{ mm}} = 2754.58 \text{ N}$$

$$F_{t,Ed} = F_{t,Ed1} + F_{t,Ed2} = 5642.93 \text{ N}$$

- 5) Seguiremos las comprobaciones según la EAE con la CATEGORIA E, para sacar la métrica mínima de los tornillos que tendremos que utilizar.
- Comprobación de Tracción

$$Ft_{Ed} \le Ft_{Ed} = \frac{0.9 * f_{ub} * A_s}{\gamma_{M2}} = 5642.93 \le \frac{0.9 * 800 * A_s}{1.25} \rightarrow A_s = 22.01 \text{ mm}^2$$

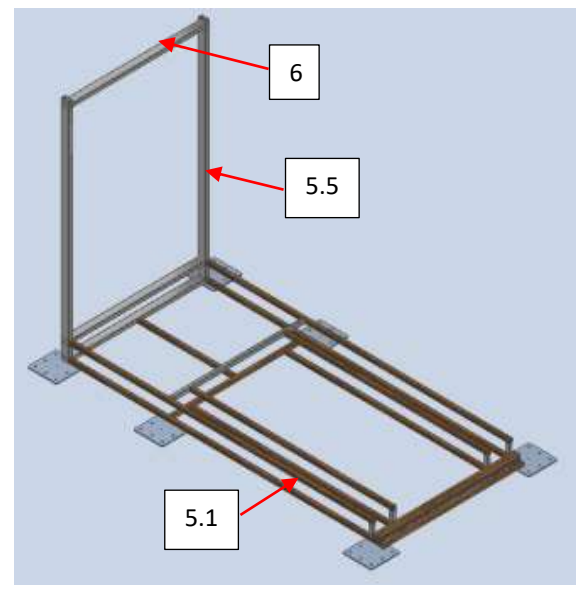
Según la tabla 30 Serie 1 según DIN 13

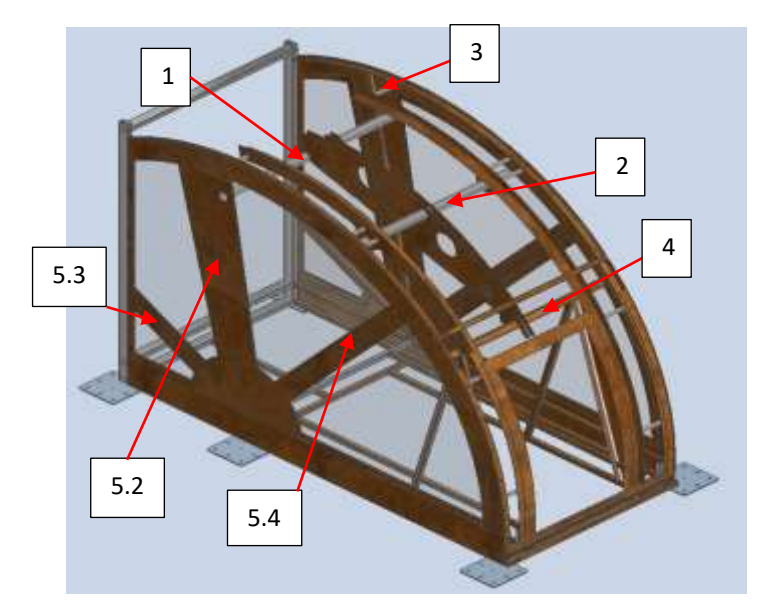
$$M8 \rightarrow A_s = 36.6 \text{mm}^2$$

Nos sale un valor muy pequeño en el que podríamos usar a partir de M8, pero decidimos sobredimensionar por facilidad.

1.3.2 CÁLCULO DE UNIONES SOLDADAS

LAS SOLDADURAS DE LOS PERFILES O BARRAS A ESTUDIO SERÁN LOS SIGUIENTES





FUENTE: ILUSTRACIÓN PROPIA

FUENTE: ILUSTRACIÓN PROPIA

N.º DE ELEMENTO	NOMBRE DEL ELEMENTO
1	TUBO TRASERO DE LA VIGA CENTRAL DE
	MECANISMOS
2	TUBO CENTRAL DE LA VIGA CENTRAL DE
	MECANISMOS
3	CASQUILLOS DE SEPARACIÓN
4	PERFIL CUADRADO HORIZONTAL (CABALLETE)
5.1	PERFIL 1 CUADRADO LATERAL
5.2	PERFIL 2 CUADRADO LATERAL
5.3	PERFIL 3 CUADRADO LATERAL
5.4	PERFIL 4 CUADRADO LATERAL
5.5	PERFIL 5 RECTANGULAR LATERAL
6	PERFIL TRASERO RECTANGULAR

1 TUBO TRASERO DE LA VIGA CENTRAL DE MECANISMOS

Calcularemos todas las fuerzas a las que está sometida el tubo central de la viga central de mecanismos (VGM) (la viga central es a la que llamamos al conjunto que tiene los mecanismos de apertura y cierre de puerta). Siendo:

 F_1 = Peso de la viga central de mecanismos + Peso propio

 F_2 = Peso de la puerta en la posicion abierta

 $F_3 = Fuerza$ resultante por las cargas del viento lateral — en cubierta

 $F_4 = Fuerza$ resultante por las cargas del viento frontal — en cubierta

 F_5 = Fuerza resultante por las cargas de nieve

 F_6 = Fuerza resultante por las cargas de viento lateral — vertical

 F_7 = Fuerza resultante por las cargas de viento frontal — vertical

1) Calculamos F₁. Peso de la viga central de mecanismos + Peso propio

Como la viga central está apoyada en tres puntos y este tubo es el apoyo central de esta suponemos que para calcular el peso que se ejerce tomaremos 1/4 de la viga central de mecanismos.

Peso de la viga central (VCM) =
$$50 \text{ Kg} \rightarrow \text{Peso} = 50 \text{ Kg} * \frac{1}{4} = 12.75 \text{ Kg}$$

Peso de (VCM) = 12.75 Kg
 $F_{1.1} = \text{Peso de (VCM)} * g = 12.75 \text{ Kg} * 9.81 \frac{\text{m}}{\text{s}^2} = 125.077 \text{N}$

Para calcular el peso propio tendremos que calcular el área y con la longitud y la densidad obtendremos el peso propio.

Calculamos el Área:

$$A = \pi * (\frac{80}{2})^2) - (\frac{74}{2})^2) = 725.71 \text{ mm}^2$$

$$\gamma_{acero} = 7.8 \frac{g}{cm^3} * \frac{1 \text{ cm}^3}{10 \text{mm}^3} * \frac{1 \text{Kg}}{1000 \text{g}} = 7.8 \text{ x} 10 - 6 \frac{\text{Kg}}{\text{mm}^3}$$

$$L = 1474 \text{ mm}$$

$$Peso de Tubo = \gamma_{acero} * A * L = 7.8 \text{ x} 10 - 6 \frac{\text{Kg}}{\text{mm}^3} * 725.71 \text{ mm}^2 * 1474 \text{ mm} = 8.34 \text{ Kg}$$

$$F_{1.2} = Peso de Tubo * g = 8.34 \text{ Kg} * 9.81 \frac{\text{m}}{\text{s}^2} = 81.81 \text{ N}$$

$$F_1 = F_{1.1} + F_{1.2} = 125.077N + 81.81 N = 206.88N$$

2) Calculamos F2. Peso de la puerta en la posicion abierta

Suponemos que el peso de la puerta que actúa sobre el tubo será de 1/3 del peso de la puerta de aluminio.

Peso de la puerta = 30 Kg
$$\rightarrow$$
 Peso = 30 Kg $*\frac{1}{3}$ = 10 Kg
 F_2 = Peso de la puerta $*g$ = 10 Kg $*$ 9.81 $\frac{m}{s^2}$ = 98.1 N

3) Calculamos F₃. Fuerza resultante por las cargas del viento lateral – en cubierta

Para calcular esta fuerza necesitamos la carga producida por el viento lateral en cubierta, que la hemos calculado en el apartado del cálculo de estructura, y el área que estimaremos donde actúa esa fuerza.

Carga de viento lateral — cubierta =
$$q_{V_{Lc}} = 0.0009 \frac{N}{mm^2}$$

Superficie de accion estimada = $A = 1813 \text{ mm} * 1466 \text{ mm} = 2657858 \text{ mm}^2$

$$F_3 = q_{V_{Lc}} * A = 0.0009 \frac{N}{mm^2} * 2657858 mm^2 = 2392.07N$$

4) Calculamos F₄. Fuerza resultante por las cargas del viento frontal – en cubierta

Para calcular esta fuerza necesitamos la carga producida por el viento frontal en cubierta, que la hemos calculado en el apartado del cálculo de estructura, y el área que estimaremos donde actúa esa fuerza.

Carga de viento frontal – cubierta =
$$q_{V_{Fc}} = 0.0009 \frac{N}{mm^2}$$

Superficie de accion estimada = $A = 1134 \text{ mm} * 1466 \text{ mm} = 1662444 \text{ mm}^2$

$$F_4 = q_{V_{Fc}} * A = 0.0009 \frac{N}{mm^2} * 1662444 mm^2 = 1494.19 N$$

5) Calculamos F₅. Fuerza resultante por las cargas de nieve

Para calcular esta fuerza necesitamos la carga producida por la nieve, que la hemos calculado en el apartado del cálculo de estructura, y el área que estimaremos donde actúa esa fuerza.

Carga de nieve =
$$q_N = 0.0003 \frac{N}{mm^2}$$

Superficie de accion estimada = $A = 1813 \text{ mm} * 1466 \text{ mm} = 2657858 \text{ mm}^2$

$$F_5 = q_N * A = 0.0003 \frac{N}{mm^2} * 2657858 mm^2 = 797.35 N$$

6) Calculamos F_6 . Fuerza resultante por las cargas del viento lateral — en chapa vertical

Para calcular esta fuerza necesitamos la carga producida por el viento lateral en paramentos verticales, que la hemos calculado en el apartado del cálculo de estructura, y el área que estimaremos donde actúa esa fuerza.

Carga de viento lateral — en paramentos verticales =
$$q_{V_{Lv}} = 0.000625 \frac{N}{mm^2}$$

Superficie de accion estimada = $A = 1813 \text{ mm} * 300 \text{ mm} = 543900 \text{ mm}^2$

$$F_6 = q_{V_{Lv}} * A = 0.000625 \frac{N}{mm^2} * 543900 \text{ mm}^2 = 339.93 \text{N}$$

7) Calculamos F₇. Fuerza resultante por las cargas del viento frontal – en chapa vertical

Para calcular esta fuerza necesitamos la carga producida por el viento frontal en paramentos verticales, que la hemos calculado en el apartado del cálculo de estructura, y el área que estimaremos donde actúa esa fuerza.

Carga de viento frontal – en paramentos verticales =
$$q_{V_{Fv}} = 0.000625 \frac{N}{mm^2}$$

Superficie de accion estimada = $A = 1813 \text{ mm} * 300 \text{ mm} = 543900 \text{ mm}^2$

$$F_7 = q_{V_{Fv}} * A = 0.000625 \frac{N}{mm^2} * 543900 \text{ mm}^2 = 339.93 \text{N}$$

8) Cálculo de las fuerzas totales

Con los resultados anteriores calcularemos las fuerzas totales.

$$F_{A,1} = F_1 + F_2 + F_3 + F_4 + F_5 = 206.88 + 98.1 + 2392.07 + 1496.19 + 797.35 = 4983.59 \text{ N}$$

Como esta fuerza se reparte en los dos apoyos soldados y es simétrico:

$$F_A = \frac{F_{A.1}}{2} = \frac{4983.59}{2} = 2491.79 \text{ N}$$

Esta fuerza provocara esfuerzos por flexión y esfuerzos tangenciales.

$$F_B = F_6 + F_7 = 339.93 + 339.93 = 679.86 \text{ N}$$

Calculamos los esfuerzos. Para esto seguiremos el libro "Elementos de máquinas" de K.H Decker

1º Calcularemos la superficie del cordón de soldadura con los siguientes datos

El espesor máximo de la soldadura en costuras angulares según la norma es de a=3mm, en este caso la soldadura será de:

$$a = 3mm$$

Superficie del cordón de soldadura = $\sum (a * l) = a(d + a)\pi = 3(80 + 3)\pi = 782.25 \text{ mm}^2$

2º Calculamos el esfuerzo a tracción o compresión

$$\sigma_{z,d} = \frac{F}{\sum (a*l)} = \frac{F_B}{782.25} = \frac{679.86}{782.25} = 0.87 \text{ Mpa}$$

3º Calculamos el esfuerzo tangencial

$$\tau = \frac{F}{\sum (a*l)} = \frac{F_A}{782.25} = \frac{2491.79}{782.25} = 3.18 \text{ Mpa}$$

4º Calculamos el esfuerzo de flexión

$$\sigma_B = \frac{M}{I_W} y$$

Siendo M el momento creado por la carga F_A , I_W el momento de inercia de la superficie del cordón de soldadura e "y" la distancia entre el esfuerzo de flexión y el eje de gravedad de la soldadura.

Para calcular el momento que se transmite a la soldadura, supondremos que es una viga biempotrada con una carga puntual en el punto medio, por lo tanto:

$$M = \frac{PL}{8} = \frac{F_AL}{8} = \frac{4983.59 \text{ N} * 1466 \text{ mm}}{8} = 913242.8675 \text{ Nmm}$$

Calculamos I_W que es el momento de inercia de la superficie del cordón de soldadura. Para su determinación usaremos la siguiente ecuación.

$$\begin{split} I_W = \frac{\pi}{4} \left(R^4 - r^4 \right) = \frac{\pi}{4} \left(\left(\frac{D + 2a}{2} \right)^4 - \left(\frac{D}{2} \right)^4 \right) = \frac{\pi}{4} \left(\left(\frac{80 + 6}{2} \right)^4 - \left(\frac{80}{2} \right)^4 \right) = 674500.72 \text{ mm}^4 \\ y = 40 \text{ mm} \\ \sigma_B = \frac{M}{I_W} y = \frac{913242.8675 \text{ Nmm}}{674500.72 \text{ mm}^4} * 40 \text{ mm} = 54.15 \text{ Mpa} \end{split}$$

Calcularemos el esfuerzo normal resultante

$$\sigma = \sigma_B + \sigma_{z,d} = 54.15 + 0.87 = 55.02 \text{ Mpa}$$

Por último, calcularemos el esfuerzo comparativo σ_V que es el que al final tendremos que compararlo con el esfuerzo admisible.

$$\sigma_V = \sqrt{\sigma^2 + 2\tau^2} = \sqrt{55.02^2 + 2(3.18)^2} = 55.20 \text{Mpa}$$

 σ_{adm} en una costura angular en la sección de la unión con esfuerzo comparativo es de 170 Mpa. Por lo tanto:

$$\sigma_{adm} > \sigma_{V}$$

170 Mpa > 55.20 Mpa

2 TUBO CENTRAL DE LA VIGA CENTRAL DE MECANISMOS

Calcularemos todas las fuerzas a las que está sometida el tubo central de la viga central de mecanismos (VGM) (la viga central es a la que llamamos al conjunto que tiene los mecanismos de apertura y cierre de puerta). Siendo:

 F_1 = Peso de la viga central + Peso propio

 F_2 = Peso de la puerta en la posicion abierta

 F_3 = Fuerza resultante por las cargas del viento lateral — en cubierta

 ${\rm F_4} = {\rm Fuerza}$ resultante por las cargas del viento frontal — en cubierta

 F_5 = Fuerza resultante por las cargas de nieve

1) Calculamos F₁

Como la viga central está apoyada en tres puntos y este tubo es el apoyo central de esta suponemos que para calcular el peso que se ejerce tomaremos ½ de la viga central.

Peso de la viga central (VCM) =
$$50 \text{ Kg} \rightarrow \text{Peso} = 50 \text{ Kg} * \frac{1}{2} = 25 \text{ Kg}$$

Peso de (VCM) = 25 Kg
 $F_{1.1} = \text{Peso de (VCM)} * g = 25 \text{ Kg} * 9.81 \frac{m}{s^2} = 245.25 \text{N}$

Para calcular el peso propio tendremos que calcular el área y con la longitud y la densidad obtendremos el peso propio.

Calculamos el Área

$$A = \frac{g}{cm^3} * \frac{1 cm^3}{10mm^3} * \frac{1Kg}{1000g} = 7.8 x10 - 6 \frac{Kg}{mm^3}$$

$$\gamma = 7.8 \frac{g}{cm^3} * \frac{1 \text{ cm}^3}{10 \text{mm}^3} * \frac{1 \text{Kg}}{1000g} = 7.8 \text{ x} 10 - 6 \frac{\text{Kg}}{\text{mm}^3}$$

$$L = 1026 \text{ mm}$$

Peso de Tubo =
$$\gamma_{acero} * A * L = 7.8 \text{ x} 10 - 6 \frac{\text{Kg}}{\text{mm}^3} * 725.71 \text{ mm}^2 * 1026 \text{ mm} = 8.34 \text{ Kg}$$

$$F_{1.2} = \text{Peso de Tubo} * g = 5.80 \text{ Kg} * 9.81 \frac{\text{m}}{\text{s}^2} = 56.97 \text{ N}$$

$$F_1 = F_{1.1} + F_{1.2} = 245.25 \text{N} + 56.97 \text{ N} = 302.22 \text{N}$$

2) Calculamos F_2 . Peso de la puerta en la posicion abierta

Suponemos que el peso de la puerta que actúa sobre el tubo será de 1/2 del peso de la puerta de aluminio.

Peso de la puerta = 30 Kg
$$\rightarrow$$
 Peso = 30 Kg $*\frac{1}{2}$ = 15 Kg
 F_2 = Peso de la puerta $*g$ = 15 Kg $*$ 9.81 $\frac{m}{s^2}$ = 147.15 N

3) Calculamos F₃. Fuerza resultante por las cargas del viento lateral – en cubierta

Para calcular esta fuerza necesitamos la carga producida por el viento lateral en cubierta, que la hemos calculado en el apartado del cálculo de estructura, y el área que estimaremos donde actúa esa fuerza.

Carga de viento lateral — cubierta =
$$q_{V_{Lc}} = 0.0009 \, \frac{N}{mm^2}$$

Superficie de accion estimada = A = 937 mm * 1466 mm = 1373642 mm²
 $F_3 = q_{V_{Lc}} * A = 0.0009 \, \frac{N}{mm^2} * 1373642 \, mm^2 = 1236.27N$

4) Calculamos F4. Fuerza resultante por las cargas del viento frontal – en cubierta

Para calcular esta fuerza necesitamos la carga producida por el viento frontal en cubierta, que la hemos calculado en el apartado del cálculo de estructura, y el área que estimaremos donde actúa esa fuerza.

Carga de viento frontal — cubierta =
$$q_{V_{Fc}} = 0.0009 \frac{N}{mm^2}$$

Superficie de accion estimada = $A = 937 \text{ mm} * 1466 \text{ mm} = 1373642 \text{ mm}^2$

$$F_4 = q_{V_{Fc}} * A = 0.0009 \frac{N}{mm^2} * 1373642 \text{ mm}^2 = 1236.27 \text{ N}$$

5) Calculamos F₅. Fuerza resultante por las cargas de nieve

Para calcular esta fuerza necesitamos la carga producida por la nieve, que la hemos calculado en el apartado del cálculo de estructura, y el área que estimaremos donde actúa esa fuerza.

Carga de nieve =
$$q_N = 0.0003 \frac{N}{mm^2}$$

Superficie de accion estimada = $A = 937 \text{ mm} * 1466 \text{ mm} = 1373642 \text{ mm}^2$

$$F_5 = q_N * A = 0.0003 \frac{N}{mm^2} * 1373642 \text{ mm}^2 = 412.09 \text{ N}$$

6) Cálculo de las fuerzas totales

Con los resultados anteriores calcularemos las fuerzas totales.

$$F_{A.1} = F_1 + F_2 + F_3 + F_4 + F_5 = 302.22 + 147.15 + 1236.27 + 1236.27 + 412.09 = 3334N$$

Como esta fuerza se reparte en los dos apoyos soldados y es simétrico:

$$F_A = \frac{F_A}{2} = \frac{3334}{2} = 1667 \text{ N}$$

Esta fuerza provocara esfuerzos por flexión y esfuerzos tangenciales.

Calculamos los esfuerzos. Para esto seguiremos el libro "Elementos de máquinas" de K.H Decker

1º Calcularemos la superficie del cordón de soldadura con los siguientes datos

El espesor máximo de la soldadura en costuras angulares según la norma es de a=3mm, en este caso la soldadura será de:

$$a = 3mm$$

$$d = diametro del tubo = 80 mm$$

Superficie del cordón de soldadura = $\sum (a * l) = a(d + a)\pi = 3(80 + 3)\pi = 782.25 \text{ mm}^2$

2º Calculamos el esfuerzo tangencial

$$\tau = \frac{F}{\Sigma(a*l)} = \frac{F_A}{782.25} = \frac{1667}{782.25} = 2.13 \text{ Mpa}$$

3º Calculamos el esfuerzo de flexión

$$\sigma_B = \frac{M}{I_W} y$$

Siendo M el momento creado por la carga F_A , I_W el momento de inercia de la superficie del cordón de soldadura e "y" la distancia entre el esfuerzo de flexión y el eje de gravedad de la soldadura.

Para calcular el momento que se transmite a la soldadura, supondremos que es una viga biempotrada con una carga puntual en el punto medio, por lo tanto:

$$M = \frac{PL}{8} = \frac{F_{A.1}L}{8} = \frac{3334 \text{ N} * 1026 \text{ mm}}{8} = 427585.5 \text{ Nmm}$$

Calculamos I_W que es el momento de inercia de la superficie del cordón de soldadura. Para su determinación usaremos la siguiente ecuación.

$$\begin{split} I_W = \frac{\pi}{4} \left(R^4 - r^4 \right) = \frac{\pi}{4} \left(\left(\frac{D + 2a}{2} \right)^4 - \left(\frac{D}{2} \right)^4 \right) = \frac{\pi}{4} \left(\left(\frac{80 + 6}{2} \right)^4 - \left(\frac{80}{2} \right)^4 \right) = 674500.72 \text{ mm}^4 \\ y = 40 \text{ mm} \\ \sigma_B = \frac{M}{I_W} y = \frac{427585.5}{674500.72} * 40 = 25.35 \text{ Mpa} \end{split}$$

Calcularemos el esfuerzo normal resultante

$$\sigma = \sigma_B = 25.35 \text{ Mpa}$$

Por último, calcularemos el esfuerzo comparativo σ_V que es el que al final tendremos que compararlo con el esfuerzo admisible.

$$\sigma_V = \sqrt{\sigma^2 + 2\tau^2} = \sqrt{25.35^2 + 2(2.13)^2} = 25.52 \text{ Mpa}$$

 σ_{adm} en una costura angular en la sección de la unión con esfuerzo comparativo es de 170 Mpa. Por lo tanto:

$$\sigma_{adm} > \sigma_{V}$$
170 Mpa > 25.52 Mpa

3 CASQUILLOS DE SEPARACIÓN

Calcularemos todas las fuerzas a las que está sometida el casquillo de separación más desfavorable, si cumpliese este casquillo lo harán el resto. Siendo:

F₁ = Peso propio (lo calculamos pero podria considerarse despreciable)

 F_2 = Fuerza resultante por las cargas del viento lateral — en cubierta

 ${\bf F}_3={\bf F}$ uerza resultante por las cargas del viento frontal — en cubierta

 F_4 = Fuerza resultante por las cargas de nieve

 F_5 = Fuerza resultante por las cargas de viento lateral — vertical

 F_6 = Fuerza resultante por las cargas de viento frontal — vertical

1) Calculamos F₁. Peso propio

Para calcular el peso propio tendremos que calcular el área y con la longitud y la densidad obtendremos el peso propio.

Calculamos el Área

$$A = \pi * \left(\left(\frac{20}{2} \right)^2 \right) - \left(\frac{14}{2} \right)^2 \right) = 160.22 \text{ mm}^2$$

$$\gamma_{acero} = 7.8 \frac{g}{cm^3} * \frac{1 \text{ cm}^3}{10 \text{mm}^3} * \frac{1 \text{Kg}}{1000\text{g}} = 7.8 \text{ x} 10 - 6 \frac{\text{Kg}}{\text{mm}^3}$$

$$L = 216 \text{ mm}$$

Peso de Casquillo =
$$\gamma_{acero} * A * L = 7.8 \times 10 - 6 \frac{Kg}{mm^3} * 160.22 \text{ mm}^2 * 216 \text{ mm} = 0.27 \text{ Kg}$$

$$F_{1.2} = \text{Peso de Casquillo } * g = 0.27 \text{ Kg} * 9.81 \frac{m}{s^2} = 2.64 \text{ N}$$

Se podría considerar despreciable.

2) Calculamos F₂. Fuerza resultante por las cargas del viento lateral – en cubierta

Para calcular esta fuerza necesitamos la carga producida por el viento lateral en cubierta, que la hemos calculado en el apartado del cálculo de estructura, y el área que estimaremos donde actúa esa fuerza, en el casquillo más desfavorable.

Carga de viento lateral – cubierta =
$$q_{V_{Lc}} = 0.0009 \frac{N}{mm^2}$$

Superficie de accion estimada en casquillo mas desfavorable = A = 470 mm * 1028 mm= 483160 mm^2

$$F_2 = q_{V_{Lc}} * A = 0.0009 \frac{N}{mm^2} * 483160 \text{ mm}^2 = 434.84 \text{N}$$

3) Calculamos F3. Fuerza resultante por las cargas del viento frontal – en cubierta

Para calcular esta fuerza necesitamos la carga producida por el viento frontal en cubierta, que la hemos calculado en el apartado del cálculo de estructura, y el área que estimaremos donde actúa esa fuerza, en el casquillo más desfavorable.

Carga de viento frontal – cubierta =
$$q_{V_{Fc}} = 0.0009 \frac{N}{mm^2}$$

Superficie de accion estimada = $A = 250 \text{ mm} * 470 \text{ mm} = 117500 \text{ mm}^2$

$$F_3 = q_{V_{Fc}} * A = 0.0009 \frac{N}{mm^2} * 117500 \text{ mm}^2 = 105.75 \text{ N}$$

4) Calculamos F₄. Fuerza resultante por las cargas de nieve

Para calcular esta fuerza necesitamos la carga producida por la nieve, que la hemos calculado en el apartado del cálculo de estructura, y el área que estimaremos donde actúa esa fuerza.

Carga de nieve =
$$q_N = 0.0003 \frac{N}{mm^2}$$

Superficie de accion estimada = $A = 250 \text{ mm} * 470 \text{ mm} = 117500 \text{ mm}^2$

$$F_5 = q_N * A = 0.0003 \frac{N}{mm^2} * 117500 \text{ mm}^2 = 35.25 \text{ N}$$

5) Calculamos F_6 . Fuerza resultante por las cargas del viento lateral – en chapa vertical

Para calcular esta fuerza necesitamos la carga producida por el viento lateral en paramentos verticales, que la hemos calculado en el apartado del cálculo de estructura, y el área que estimaremos donde actúa esa fuerza.

Carga de viento lateral — en paramentos verticales =
$$q_{V_{Lv}} = 0.000625 \frac{N}{mm^2}$$

Superficie de accion estimada en casquillo mas desfavorable = A = 470 mm * 1028 mm= 483160 mm^2

$$F_5 = q_{V_{Lv}} * A = 0.000625 \frac{N}{mm^2} * 483160 \text{ mm}^2 = 301.975 \text{ N}$$

6) Calculamos F₆. Fuerza resultante por las cargas del viento frontal – en chapa vertical

Para calcular esta fuerza necesitamos la carga producida por el viento frontal en paramentos verticales, que la hemos calculado en el apartado del cálculo de estructura, y el área que estimaremos donde actúa esa fuerza.

Carga de viento frontal — en paramentos verticales =
$$q_{V_{Fv}} = 0.000625 \frac{N}{mm^2}$$

Superficie de accion estimada = $A = 250 \text{ mm} * 470 \text{ mm} = 117500 \text{ mm}^2$

$$F_5 = q_{V_{Fv}} * A = 0.000625 \frac{N}{mm^2} * 117500 \text{ mm}^2 = 73.43 \text{N}$$

7) Cálculo de las fuerzas totales

Con los resultados anteriores calcularemos las fuerzas totales.

$$F_{A.1} = F_1 + F_2 + F_3 + F_4 = 2.64 + 434.84 + 105.75 + 35.25 = 578.28 \text{ N}$$

Como esta fuerza se reparte en los dos apoyos soldados y es simétrico:

$$F_A = \frac{F_{A.1}}{2} = \frac{578.48}{2} = 289.24 \text{ N}$$

Esta fuerza provocara esfuerzos por flexión y esfuerzos tangenciales.

$$F_B = F_5 + F_6 = 301.975 + 73.43 = 375.405 \text{ N}$$

- 8) Calculamos los esfuerzos. Para esto seguiremos el libro "Elementos de máquinas" de K.H Decker
- 1º Calcularemos la superficie del cordón de soldadura con los siguientes datos

El espesor máximo de la soldadura en costuras angulares según la norma es de a=3mm, en este caso la soldadura será de:

$$a = 3mm$$

Superficie del cordón de soldadura = $\sum (a * l) = a(d + a)\pi = 3(20 + 3)\pi = 216.76 \text{ mm}^2$

2º Calculamos el esfuerzo a tracción o compresión

$$\sigma_{z,d} = \frac{F}{\sum (a*l)} = \frac{F_B}{144.51} = \frac{375.405}{216.76} = 1.73 \text{ Mpa}$$

3º Calculamos el esfuerzo tangencial

$$\tau = \frac{F}{\Sigma(a*l)} = \frac{F_A}{216.76 \text{mm}^2} = \frac{289.2 \text{ N}}{216.76 \text{mm}^2} = 1.33 \text{ Mpa}$$

4º Calculamos el esfuerzo de flexión

$$\sigma_{\rm B} = \frac{\rm M}{\rm I_W} {\rm y}$$

Siendo M el momento creado por la carga F_A , I_W el momento de inercia de la superficie del cordón de soldadura e "y" la distancia entre el esfuerzo de flexión y el eje de gravedad de la soldadura.

Para calcular el momento que se transmite a la soldadura, supondremos que es una viga biempotrada con una carga puntual en el punto medio, por lo tanto:

$$M = \frac{PL}{8} = \frac{F_{A.1}L}{8} = \frac{578.28 \text{ N} * 216 \text{ mm}}{8} = 15613.56 \text{ Nmm}$$

Calculamos I_W que es el momento de inercia de la superficie del cordón de soldadura. Para su determinación usaremos la siguiente ecuación.

$$\begin{split} I_W &= \frac{\pi}{4} \ (R^4 - r^4) = \frac{\pi}{4} \left(\left(\frac{D + 2a}{2} \right)^4 - \left(\frac{D}{2} \right)^4 \right) = \frac{\pi}{4} \left(\left(\frac{20 + 6}{2} \right)^4 - \left(\frac{20}{2} \right)^4 \right) = 14577.77 \ \text{mm}^4 \\ y &= 10 \ \text{mm} \\ \sigma_B &= \frac{M}{I_W} y = \frac{15613.56 \ \text{Nmm}}{14577.77 \ \text{mm}^4} * 10 \ \text{mm} = 10.71 \ \text{Mpa} \end{split}$$

Calcularemos el esfuerzo normal resultante

$$\sigma = \sigma_B + \sigma_{z,d} = 10.71 + 1.73 = 12.44 \text{ Mpa}$$

Por último, calcularemos el esfuerzo comparativo σ_V que es el que al final tendremos que compararlo con el esfuerzo admisible.

$$\sigma_V = \sqrt{\sigma^2 + 2\tau^2} = \sqrt{12.44^2 + 2(1.33)^2} = 12.58 \text{ Mpa}$$

 σ_{adm} en una costura angular en la sección de la unión con esfuerzo comparativo es de 170 Mpa. Por lo tanto:

$$\sigma_{adm} > \sigma_{V}$$

170 Mpa > 12.58 Mpa

4 PERFIL RECTANGULAR HORIZONTAL (CABALLETE)

Calcularemos todas las fuerzas a las que está sometida el perfil rectangular horizontal (caballete) Siendo:

 $F_1 = Peso de la viga central de mecanismos + Peso propio$

$$F_2$$
 = Peso de la puerta

 $F_3 =$ Fuerza resultante por las cargas del viento lateral — en cubierta

 F_4 = Fuerza resultante por las cargas del viento frontal — en cubierta

 F_5 = Fuerza resultante por las cargas de nieve

 ${\rm F_6} = {\rm Fuerza}$ resultante por las cargas de viento lateral — vertical

 F_7 = Fuerza resultante por las cargas de viento frontal — vertical

1) Calculamos F_1 . Peso de la viga central de mecanismos + Peso propio

Como la viga central está apoyada en tres puntos y este perfil es el apoyo de un extremo podremos suponer que el peso que se ejerce sobre el perfil es 1/4 de la viga central de mecanismos.

Peso de la viga central (VCM) = 50 Kg
$$\rightarrow$$
 Peso = 50 Kg * $\frac{1}{4}$ = 12.75 Kg

Peso de (VCM) = 12.75 Kg

 $F_{1.1}$ = Peso de (VCM) * g = 12.75 Kg * 9.81 $\frac{m}{s^2}$ = 125.077N

Para calcular el peso propio tendremos que calcular el área y con la longitud y la densidad obtendremos el peso propio.

 $F_1 = F_{1.1} + F_{1.2} = 125.077 + 47.22 N = 172.29N$

Calculamos el Área

$$A = 421 \text{ mm}^2$$

$$\gamma_{acero} = 7.8 \frac{g}{cm^3} * \frac{1 \text{ cm}^3}{10 \text{mm}^3} * \frac{1 \text{Kg}}{1000 \text{g}} = 7.8 \text{ x} 10 - 6 \frac{\text{Kg}}{\text{mm}^3}$$

$$L = 1466 \text{ mm}$$

$$Peso del perfil = \gamma_{acero} * A * L = 7.8 \text{ x} 10 - 6 \frac{\text{Kg}}{\text{mm}^3} * 725.71 \text{ mm}^2 * 1466 \text{ mm} = 4.81 \text{ Kg}$$

$$F_{1.2} = Peso de Tubo * g = 4.81 \text{ Kg} * 9.81 \frac{\text{m}}{\text{s}^2} = 47.22 \text{ N}$$

2) Calculamos F_2 . Peso de la puerta en la posicion abierta

Suponemos que el peso de la puerta que actúa sobre el tubo será de 1/3 del peso de la puerta de aluminio.

Peso de la puerta = 30 Kg
$$\rightarrow$$
 Peso = 30 Kg $*\frac{1}{3}$ = 10 Kg

$$F_2$$
 = Peso de la puerta * g = 10 Kg * 9.81 $\frac{m}{s^2}$ = 98.1 N

3) Calculamos F₃. Fuerza resultante por las cargas del viento lateral – en cubierta

Para calcular esta fuerza necesitamos la carga producida por el viento lateral en cubierta, que la hemos calculado en el apartado del cálculo de estructura, y el área que estimaremos donde actúa esa fuerza.

Carga de viento lateral — cubierta =
$$q_{V_{Lc}} = 0.0009 \frac{N}{mm^2}$$

Superficie de accion estimada = $A = 470 * 1466 \text{ mm} = 674360 \text{ mm}^2$

$$F_3 = q_{V_{Lc}} * A = 0.0009 \frac{N}{mm^2} * 674360 \text{ mm}^2 = 606.92 \text{N}$$

4) Calculamos F₄. Fuerza resultante por las cargas del viento frontal – en cubierta

Para calcular esta fuerza necesitamos la carga producida por el viento frontal en cubierta, que la hemos calculado en el apartado del cálculo de estructura, y el área que estimaremos donde actúa esa fuerza.

Carga de viento frontal — cubierta =
$$q_{V_{Fc}} = 0.0009 \frac{N}{mm^2}$$

Superficie de accion estimada = $A = 442 \text{ mm} * 1400 \text{ mm} = 618800 \text{ mm}^2$

$$F_4 = q_{V_{Fc}} * A = 0.0009 \frac{N}{mm^2} * 618800 \text{ mm}^2 = 556.92 \text{ N}$$

5) Calculamos F₅. Fuerza resultante por las cargas de nieve

Para calcular esta fuerza necesitamos la carga producida por la nieve, que la hemos calculado en el apartado del cálculo de estructura, y el área que estimaremos donde actúa esa fuerza.

Carga de nieve =
$$q_N = 0.0003 \frac{N}{mm^2}$$

Superficie de accion estimada = $A = 470 * 1466 \text{ mm} = 674360 \text{ mm}^2$

$$F_5 = q_N * A = 0.0003 \frac{N}{mm^2} * 674360 \text{ mm}^2 = 202.30 \text{ N}$$

6) Calculamos F₆. Fuerza resultante por las cargas del viento lateral – en chapa vertical

Para calcular esta fuerza necesitamos la carga producida por el viento lateral en paramentos verticales, que la hemos calculado en el apartado del cálculo de estructura, y el área que estimaremos donde actúa esa fuerza.

Carga de viento lateral — en paramentos verticales = $q_{V_{Lv}} = 0.000625 \frac{N}{mm^2}$

Superficie de accion estimada = $A = 442 \text{ mm} * 1400 \text{ mm} = 618800 \text{ mm}^2$

$$F_6 = q_{V_{Lv}} * A = 0.000625 \frac{N}{mm^2} * 618800 \text{ mm}^2 = 386.75 \text{N}$$

7) Calculamos F₇. Fuerza resultante por las cargas del viento frontal – en chapa vertical

Para calcular esta fuerza necesitamos la carga producida por el viento frontal en paramentos verticales, que la hemos calculado en el apartado del cálculo de estructura, y el área que estimaremos donde actúa esa fuerza.

Carga de viento frontal — en paramentos verticales = $q_{V_{Fv}} = 0.000625 \frac{N}{mm^2}$

Superficie de accion estimada = $A = 442 \text{ mm} * 1400 \text{ mm} = 618800 \text{ mm}^2$

$$F_7 = q_{V_{Fv}} * A = 0.000625 \frac{N}{mm^2} * 618800 \text{ mm}^2 = 386.75 \text{ N}$$

8) Cálculo de las fuerzas totales

Con los resultados anteriores calcularemos las fuerzas totales.

$$F_{A.1} = F_1 + F_2 + F_3 + F_4 + F_5 = 172.79 + 98.1 + 606.92 + 556.92 + 202.30 = 1636.53 \text{ N}$$

Como esta fuerza se reparte en los dos apoyos soldados y es simétrico:

$$F_A = \frac{F_{A.1}}{2} = \frac{1636.53}{2} = 818.26 \text{ N}$$

Esta fuerza provocara esfuerzos por flexión y esfuerzos tangenciales.

$$F_B = F_6 + F_7 = 386.75 + 386.75 = 775.5 \text{ N}$$

Calculamos los esfuerzos. Para esto seguiremos el libro "Elementos de máquinas" de K.H Decker

1º Calcularemos la superficie del cordón de soldadura con los siguientes datos

El espesor máximo de la soldadura en costuras angulares según la norma es de a=3 mm, en este caso la soldadura será de:

$$a = 3mm$$

l = longitud de soldadura = 68 mm

Superficie del cordón de soldadura =
$$\sum (a * l) = 2l + (2(l - 2a))$$

= $2 * 68 + (2 * (68 - 2 * 3)) = 260 \text{ mm}^2$

2º Calculamos el esfuerzo a tracción o compresión

$$\sigma_{z,d} = \frac{F}{\sum (a*l)} = \frac{F_B}{260} = \frac{773.5 \text{ N}}{260 \text{ mm}^2} = 2.975 \text{ Mpa}$$

3º Calculamos el esfuerzo tangencial

$$\tau = \frac{F}{\Sigma(a*l)} = \frac{F_A}{1005.30} = \frac{818.26 \text{ N}}{260 \text{ mm}^2} = 3.14 \text{ Mpa}$$

4º Calculamos el esfuerzo de flexión

$$\sigma_{\rm B} = \frac{\rm M}{\rm I_W} {\rm y}$$

Siendo M el momento creado por la carga F_A , I_W el momento de inercia de la superficie del cordón de soldadura e "y" la distancia entre el esfuerzo de flexión y el eje de gravedad de la soldadura.

Para calcular el momento que se transmite a la soldadura, supondremos que es una viga biempotrada con una carga puntual en el punto medio, por lo tanto:

$$M = \frac{PL}{8} = \frac{F_{A.1}L}{8} = \frac{1636.53N * 1466 mm}{8} = 299894.1 Nmm$$

Calculamos I_W que es el momento de inercia de la superficie del cordón de soldadura. Para su determinación usaremos la siguiente ecuación.

$$a = 3 \text{ mm}$$

$$l = 60 + 2a = 66 \text{ mm}$$

$$y_1 = \frac{1}{2} - \frac{a}{2} = 31.5 \text{ mm}$$

$$l - 2a = 68 - 2 * 3 = 62 \text{ mm}$$

$$\begin{split} I_W = \frac{2a\,(l-2a)^3}{12} + 2aly_1{}^2 = \,\, \frac{2*3\,(66-2*3)^3}{12} + 2*3*66*31.5^2 = 500931\,\text{mm}^4 \\ y = 30\,\text{mm} \\ \sigma_B = \frac{M}{I_W}y = \frac{299894.1\,\text{Nmm}}{500931\,\text{mm}^4} * 30\,\text{mm} = 17.96\,\text{Mpa} \end{split}$$

Calcularemos el esfuerzo normal resultante

$$\sigma = \sigma_B + \sigma_{z,d} = 17.96 + 2.975 = 20.935 \text{ Mpa}$$

Por último, calcularemos el esfuerzo comparativo σ_V que es el que al final tendremos que compararlo con el esfuerzo admisible.

$$\sigma_V = \sqrt{\sigma^2 + 2\tau^2} = \sqrt{20.935^2 + 2(3.14)^2} = 21.4 \text{ Mpa}$$

 σ_{adm} en una costura angular en la sección de la unión con esfuerzo comparativo es de 170 Mpa. Por lo tanto:

$$\sigma_{adm} > \sigma_{V}$$

170 Mpa > 21.4 Mpa

5 PERFILES LATERALES SOLDADOS A LA PPLANCHA DE BICICLETA 5.1 PERFIL 1 CUADRADO LATERAL

Calcularemos todas las fuerzas a las que está sometida el perfil 1 cuadrado del lateral y serán las siguientes:

 F_1 = Fuerza resultante por las cargas de viento lateral — vertical

 F_2 = Fuerza resultante por las cargas de viento frontal — vertical

 F_3 = Fuerza resultante por las cargas de viento frontal — vertical

1) Calculamos F₁. Fuerza resultante por las cargas del viento lateral – en chapa vertical

Para calcular esta fuerza necesitamos la carga producida por el viento lateral en paramentos verticales, que la hemos calculado en el apartado del cálculo de estructura, y el área que estimaremos donde actúa esa fuerza.

Carga de viento lateral — en paramentos verticales =
$$q_{V_{Lv}} = 0.000625 \frac{N}{mm^2}$$

Superficie de accion estimada = $A = 3248 \text{ mm} * 340 \text{ mm} = 1104320 \text{ mm}^2$

$$F_1 = q_{V_{Lv}} * A = 0.000625 \frac{N}{mm^2} * 1105320 \text{ mm}^2 = 690.2N$$

2) Calculamos F₂. Fuerza resultante por las cargas del viento frontal – en chapa vertical

Para calcular esta fuerza necesitamos la carga producida por el viento frontal en paramentos verticales, que la hemos calculado en el apartado del cálculo de estructura, y el área que estimaremos donde actúa esa fuerza.

Carga de viento frontal — en paramentos verticales =
$$q_{V_{Fv}} = 0.000625 \frac{N}{mm^2}$$

Superficie de accion estimada = $A = 642 \text{ mm} * 340 \text{ mm} = 218280 \text{ mm}^2$

$$F_2 = q_{V_{Fv}} * A = 0.000625 \frac{N}{mm^2} * 218280 \text{ mm}^2 = 136.425 \text{ N}$$

3) Calculamos F₃. Peso propio de la chapa lateral

Supondremos que la F_3 la provoca el peso de toda la chapa

$$A = Area total de la chapa = 7266898 mm2$$

$$V = Volumen total = A * espesor = 7266898 * 4 = 29067592 mm3$$

Peso propio de la chapa lateral = V *
$$\gamma_{acero}$$
 = 29067592 mm³ * 7.8 x10 - 6 $\frac{Kg}{mm^3}$ = 226.7Kg

$$F_3 = Peso propio de la chapa lateral * g = 226.7 Kg * 9.81 $\frac{m}{s^2} = 2223.92 N$$$

4) Cálculo de las fuerzas totales

Con los resultados anteriores calcularemos las fuerzas totales.

$$F_A = F_1 + F_2 = 690.2 + 136.425 = 826.62 \text{ N}$$

 $F_B = F_3 = 2223.92 \text{ N}$

Calculamos los esfuerzos. Para esto seguiremos el libro "Elementos de máquinas" de K.H Decker

1º Calcularemos la superficie del cordón de soldadura con los siguientes datos

El espesor mínimo de la soldadura en costuras angulares según la norma es de $a=3 \mathrm{mm}$, en este caso la soldadura será de:

$$a = 3 \text{ mm}$$

l = longitud de soldadura = 3248 mm

Superficie del cordón de soldadura = $\sum (a * l) = al = 3 * 3248 = 9744 \text{ mm}^2$

2º Calculamos el esfuerzo a tracción o compresión

$$\sigma_{z,d} = \frac{F}{\Sigma(a*1)} = \frac{F_A}{9744} = \frac{826.62 \text{ N}}{9744 \text{ mm}^2} = 0.08 \text{ Mpa}$$

3º Calculamos el esfuerzo tangencial

$$\tau = \frac{F}{\Sigma(a*l)} = \frac{F_B}{9744} = \frac{2223.92 \text{ N}}{9744 \text{ mm}^2} = 0.22 \text{ Mpa}$$

4º Calcularemos el esfuerzo normal resultante

$$\sigma = \sigma_{z,d} = 0.08 \text{ Mpa}$$

Por último, calcularemos el esfuerzo comparativo σ_V que es el que al final tendremos que compararlo con el esfuerzo admisible.

$$\sigma_V = \sqrt{\sigma^2 + 2\tau^2} = \sqrt{0.08^2 + 2(0.22)^2} = 0.32 \text{ Mpa}$$

Es ínfimo las tensiones que recibe esta soldadura, ya que el área de acción es pequeña y la superficie de la soldadura es amplia. Tampoco recibe ningún momento flector.

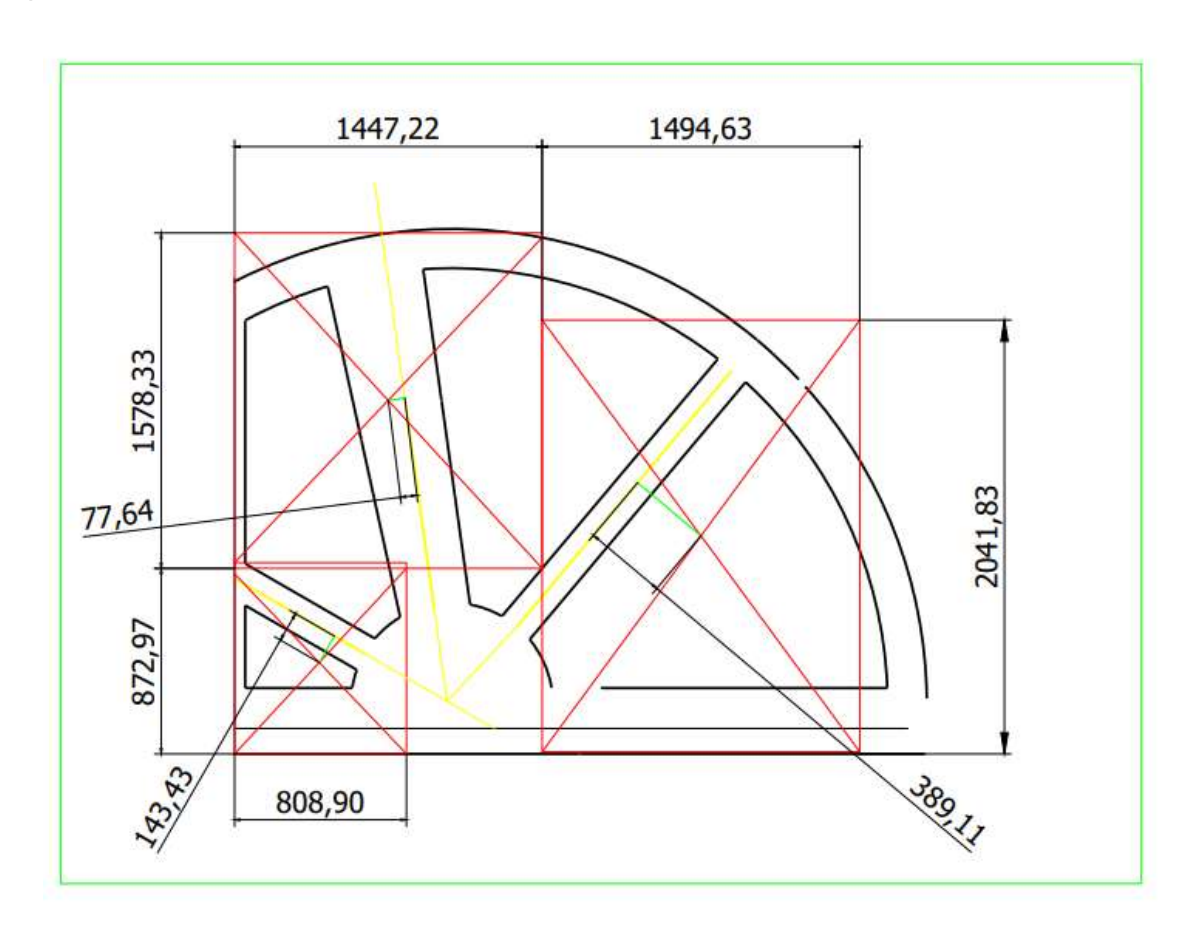
 σ_{adm} en una costura angular en la sección de la unión con esfuerzo comparativo es de 170 Mpa. Por lo tanto:

$$\sigma_{adm} > \sigma_{V}$$

170 Mpa > 0.32 Mpa

Para los siguientes 3 perfiles, que son correspondientes a los perfiles que están soldados en la plancha lateral, para calcular las fuerzas que actúan es estos perfiles estructurales supondremos que en las soldaduras de cada barra actúa la fuerza resultante de su superficie de acción. De cada superficie lateral obtendremos el centro donde se aplica la fuerza resultante provocada por las diferentes cargas de viento laterales, creando así un momento, con la fuerza por la distancia, y una fuerza de compresión (estas serán ínfimas, pero serán calculadas). Para el esfuerzo de cortadura, calcularemos con la superficie y su espesor el volumen correspondiente que actúan en cada soldadura y con la densidad calcularemos el peso.

A continuación, tendremos en la imagen las dimensiones de las superficies que hemos supuesto que le corresponde a cada barra o perfil y con la distancia de la fuerza resultante para calcular el momento.



En rojo tendremos las superficies, el centro de estas es donde actuara la fuerza resultante. En amarillo son el centro de las barras soldadas a estudiar y en verde la distancia de la fuerza resultante al centro de la barra, los datos que podemos extraer son los siguientes:

N.º de perfil	Superficie [mm x mm]	Distancia d [mm]	Longitud de barra [mm]
Perfil 2 cuadrado lateral	1578.33 x 1447.22	143.43	2066
Perfil 3 cuadrado lateral	872.97 x 808.90	78.02	1085
Perfil 4 cuadrado lateral	1494.63 x 2031.65	389.11	2160

5.2 PERFIL 2 CUADRADO LATERAL

Calcularemos todas las fuerzas a las que está sometida el perfil 1 cuadrado del lateral y serán las siguientes:

 F_1 = Fuerza resultante por las cargas de viento lateral — vertical

 F_2 = Fuerza resultante por las cargas de viento frontal — vertical

 $F_3 = Fuerza$ resultante por las cargas de viento frontal — vertical

1) Calculamos F_1 . Fuerza resultante por las cargas del viento lateral – en chapa vertical

Para calcular esta fuerza necesitamos la carga producida por el viento lateral en paramentos verticales, que la hemos calculado en el apartado del cálculo de estructura, y el área que estimaremos donde actúa esa fuerza.

Carga de viento lateral — en paramentos verticales =
$$q_{V_{Lv}} = 0.000625 \frac{N}{mm^2}$$

Superficie de accion estimada = $A = 1578 \text{ mm} * 1448 \text{ mm} = 2284944 \text{ mm}^2$

$$F_1 = q_{V_{Lv}} * A = 0.000625 \frac{N}{mm^2} * 2284944 mm^2 = 1428.09 N$$

2) Calculamos F₂. Fuerza resultante por las cargas del viento frontal – en chapa vertical

Para calcular esta fuerza necesitamos la carga producida por el viento frontal en paramentos verticales, que la hemos calculado en el apartado del cálculo de estructura, y el área que estimaremos donde actúa esa fuerza.

Carga de viento frontal — en paramentos verticales =
$$q_{V_{Fv}} = 0.000625 \frac{N}{mm^2}$$

Superficie de accion estimada = $A = 2284944 \text{ mm}^2$

$$F_2 = q_{V_{Fv}} * A = 0.000625 \frac{N}{mm^2} * 2284944 \text{ mm}^2 = 1428.09 \text{ N}$$

3) Calculamos F₃. Peso propio de la chapa lateral

Supondremos que la F_3 la provoca el peso de toda la chapa

$$A = Area total de la chapa = 2284944 mm2$$

$$V = Volumen total = A * espesor = 2284944 * 4 = 913976 mm3$$

Peso propio de la chapa lateral =
$$V * \gamma_{acero} = 913976 \text{ mm}^3 * 7.8 \text{ x} 10 - 6 \frac{\text{Kg}}{\text{mm}^3}$$

= 71.29 Kg

$$F_3 = Peso propio de la chapa lateral * g = 71.29 Kg * 9.81 $\frac{m}{s^2} = 699.35 N$$$

4) Cálculo de las fuerzas totales

Con los resultados anteriores calcularemos las fuerzas totales.

$$F_A = F_1 + F_2 = 1428.09 + 1428.09 = 2856.18 \text{ N}$$

 $F_B = F_3 = 699.35 \text{ N}$

Calculamos los esfuerzos. Para esto seguiremos el libro "Elementos de máquinas" de K.H Decker

1º Calcularemos la superficie del cordón de soldadura con los siguientes datos

El espesor máximo de la soldadura en costuras angulares según la norma es de a=3mm, en este caso la soldadura será de:

$$a = 3 \text{ mm}$$

l = longitud de soldadura = 2066 mm

Superficie del cordón de soldadura = $\sum (a * l) = al = 3 * 2066 = 12396 \text{ mm}^2$

2º Calculamos el esfuerzo a tracción o compresión

$$\sigma_{z,d} = \frac{F}{\sum (a*l)} = \frac{F_A}{12396} = \frac{2856.18 \text{ N}}{12396 \text{ mm}^2} = 0.23 \text{ Mpa}$$

3º Calculamos el esfuerzo tangencial

$$\tau = \frac{F}{\Sigma(a*l)} = \frac{F_B}{12396} = \frac{699.35 \text{ N}}{12396 \text{ mm}^2} = 0.56 \text{ Mpa}$$

4º Calculamos el esfuerzo por flexión

$$\sigma_{\rm B} = \frac{\rm M}{\rm I_W} {\rm y}$$

Siendo M el momento creado por la carga F_A , I_W el momento de inercia de la superficie del cordón de soldadura, y, que es la distancia entre el esfuerzo de flexión y el eje de gravedad de la soldadura.

Para calcular el momento que se transmite a la soldadura, tendremos que multiplicar la fuerza F_A por la distancia $d_1=143.43~\mathrm{mm}$

$$M = F_A * d_1 = 2856.18 N * 143.43 mm = 409661.89 Nmm$$

Calculamos I_W que es el momento de inercia de la superficie del cordón de soldadura. Para su determinación usaremos la siguiente ecuación.

$$a = 3 \text{ mm}$$

$$l = 2066 \, mm$$

$$y_1 = \frac{40}{2} + \frac{a}{2} = 21.5 \text{ mm}$$

$$I_W = \ 2 aly_1{}^2 = \ 2*3*2066*21.5^2 = 5730051 \ mm^4$$

$$y = 143.43 \ mm$$

$$\sigma_B = \frac{M}{I_W} y = \frac{409661.89 \ Nmm}{5730051 \ mm^4} * 143.43 \ mm = 10.25 \ Mpa$$

Calcularemos el esfuerzo normal resultante

$$\sigma = \sigma_B + \sigma_{z,d} = 10.25 + 0.23 = 10.48 \text{ Mpa}$$

4º Calcularemos el esfuerzo normal resultante

Por último, calcularemos el esfuerzo comparativo σ_V que es el que al final tendremos que compararlo con el esfuerzo admisible.

$$\sigma_V = \sqrt{\sigma^2 + 2\tau^2} = \sqrt{10.25^2 + 2(0.056)^2} = 10.48 \text{ Mpa}$$

 σ_{adm} en una costura angular en la sección de la unión con esfuerzo comparativo es de 170 Mpa. Por lo tanto:

$$\sigma_{adm} > \sigma_{V}$$
170 Mpa > 10.48 Mpa

5.3 PERFIL 3 CUADRADO LATERAL

Calcularemos todas las fuerzas a las que está sometida el perfil 1 cuadrado del lateral y serán las siguientes:

 F_1 = Fuerza resultante por las cargas de viento lateral — vertical

 F_2 = Fuerza resultante por las cargas de viento frontal — vertical

 F_3 = Fuerza resultante por las cargas de viento frontal — vertical

1) Calculamos F₁. Fuerza resultante por las cargas del viento lateral – en chapa vertical

Para calcular esta fuerza necesitamos la carga producida por el viento lateral en paramentos verticales, que la hemos calculado en el apartado del cálculo de estructura, y el área que estimaremos donde actúa esa fuerza.

Carga de viento lateral — en paramentos verticales =
$$q_{V_{Lv}} = 0.000625 \frac{N}{mm^2}$$

Superficie de accion estimada = $A = 900.14 \text{ mm} * 808.9 \text{ mm} = 728123.246 \text{ mm}^2$

$$F_1 = q_{V_{Lv}} * A = 0.000625 \frac{N}{mm^2} * 728123.246 mm^2 = 455.07 N$$

2) Calculamos F₂. Fuerza resultante por las cargas del viento frontal – en chapa vertical

Para calcular esta fuerza necesitamos la carga producida por el viento frontal en paramentos verticales, que la hemos calculado en el apartado del cálculo de estructura, y el área que estimaremos donde actúa esa fuerza.

Carga de viento frontal — en paramentos verticales =
$$\, q_{V_{Fv}} = 0.000625 \, \frac{N}{mm^2} \,$$

Superficie de accion estimada = $A = 728123.246 \text{ mm}^2$

$$F_2 = q_{V_{Fv}} * A = 0.000625 \frac{N}{mm^2} * 728123.246 \text{ mm}^2 = 455.15 \text{ N}$$

3) Calculamos F₃. Peso propio de la chapa lateral

Supondremos que la F₃ la provoca el peso de toda la chapa

$$A = Area total de la chapa = 728123.246 mm2$$

$$V = Volumen total = A * espesor = 728123.246 * 4 = 2912492.984 mm3$$

Peso propio de la chapa lateral = V *
$$\gamma_{acero}$$
 = 2912492.984 mm³ * 7.8 x10 - 6 $\frac{Kg}{mm^3}$ = 22.71 Kg

$$F_3 = Peso propio de la chapa lateral * g = 22.71 Kg * 9.81 $\frac{m}{s^2} = 222.85 N$$$

4) Cálculo de las fuerzas totales

Con los resultados anteriores calcularemos las fuerzas totales.

$$F_A = F_1 + F_2 = 455.07 + 455.07 = 910.15 \text{ N}$$

 $F_B = F_3 = 222.85 \text{ N}$

5) Calculamos los esfuerzos. Para esto seguiremos el libro "Elementos de máquinas" de K.H Decker

1º Calcularemos la superficie del cordón de soldadura con los siguientes datos

El espesor mínimo de la soldadura en costuras angulares según la norma es de a = 3mm, en este caso la soldadura será de:

$$a = 3 \text{ mm}$$

l = longitud de soldadura = 1085 mm

Superficie del cordón de soldadura = $\sum (a * l) = 2al = 2 * 3 * 1085 = 6510 \text{ mm}^2$

2º Calculamos el esfuerzo a tracción o compresión

$$\sigma_{z,d} = \frac{F}{\Sigma(a*1)} = \frac{F_A}{6510} = \frac{910.15 \text{ N}}{6510 \text{ mm}^2} = 0.14 \text{ Mpa}$$

3º Calculamos el esfuerzo tangencial

$$\tau = \frac{F}{\Sigma(a*l)} = \frac{F_B}{6510} = \frac{222.85 \text{ N}}{6510 \text{ mm}^2} = 0.03 \text{ Mpa}$$

4º Calculamos el esfuerzo por flexión

$$\sigma_B = \frac{M}{I_W} y$$

Siendo M el momento creado por la carga F_A , I_W el momento de inercia de la superficie del cordón de soldadura, y, que es la distancia entre el esfuerzo de flexión y el eje de gravedad de la soldadura.

Para calcular el momento que se transmite a la soldadura, tendremos que multiplicar la fuerza F_A por la distancia $d_2=78.02~\mathrm{mm}$

$$M = F_A * d_2 = 910.15 N * 78.02 mm = 71009.90 Nmm$$

Calculamos I_W que es el momento de inercia de la superficie del cordón de soldadura. Para su determinación usaremos la siguiente ecuación.

$$a = 3 \text{ mm}$$

$$l = 1085 \text{ mm}$$

$$y_1 = \frac{40}{2} + \frac{a}{2} = 21.5 \text{ mm}$$

$$I_W = 2\text{aly}_1{}^2 = 2*3*1085*21.5^2 = 3009247.5 \text{ mm}^4$$

$$y = 78.02 \text{ mm}$$

$$\sigma_B = \frac{M}{I_W} y = \frac{71003.90 \text{ Nmm}}{3009247.5 \text{ mm}^4} * 78.02 \text{ mm} = 1.84 \text{ Mpa}$$

Calcularemos el esfuerzo normal resultante

$$\sigma = \sigma_{\rm B} + \sigma_{\rm z,d} = 1.84 + 0.14 = 1.98 \,\text{Mpa}$$

4º Calcularemos el esfuerzo normal resultante

Por último, calcularemos el esfuerzo comparativo σ_V que es el que al final tendremos que compararlo con el esfuerzo admisible.

$$\sigma_V = \sqrt{\sigma^2 + 2\tau^2} = \sqrt{1.98^2 + 2(0.03)^2} = 1.9804 \, \text{Mpa}$$

 σ_{adm} en una costura angular en la sección de la unión con esfuerzo comparativo es de 170 Mpa. Por lo tanto:

$$\sigma_{adm} > \sigma_{V}$$

170 Mpa > 1.9804 Mpa

5.4 PERFIL 4 CUADRADO LATERAL

Calcularemos todas las fuerzas a las que está sometida el perfil 1 cuadrado del lateral y serán las siguientes:

 F_1 = Fuerza resultante por las cargas de viento lateral — vertical

 $F_2 = Fuerza$ resultante por las cargas de viento frontal — vertical

 F_3 = Fuerza resultante por las cargas de viento frontal — vertical

1) Calculamos F_1 . Fuerza resultante por las cargas del viento lateral — en chapa vertical

Para calcular esta fuerza necesitamos la carga producida por el viento lateral en paramentos verticales, que la hemos calculado en el apartado del cálculo de estructura, y el área que estimaremos donde actúa esa fuerza.

Carga de viento lateral — en paramentos verticales =
$$q_{V_{Lv}} = 0.000625 \frac{N}{mm^2}$$

Superficie de accion estimada = $A = 2031.65 \text{ mm} * 1494.63 \text{ mm} = 3036565.04 \text{ mm}^2$

$$F_1 = q_{V_{Lv}} * A = 0.000625 \frac{N}{mm^2} * 3036565.04 mm^2 = 1973.76 N$$

2) Calculamos F₂. Fuerza resultante por las cargas del viento frontal – en chapa vertical

Para calcular esta fuerza necesitamos la carga producida por el viento frontal en paramentos verticales, que la hemos calculado en el apartado del cálculo de estructura, y el área que estimaremos donde actúa esa fuerza.

Carga de viento frontal — en paramentos verticales =
$$q_{V_{Fv}} = 0.000625 \frac{N}{mm^2}$$

Superficie de accion estimada = $A = 3036565.04 \text{ mm}^2$

$$F_2 = q_{V_{FV}} * A = 0.000625 \frac{N}{mm^2} * 3036565.04 \text{ mm}^2 = 1973.76 \text{ N}$$

3) Calculamos F₃. Peso propio de la chapa lateral

Supondremos que la F₃ la provoca el peso de toda la chapa

$$A = Area total de la chapa = 3036565.04mm^2$$

$$V = Volumen total = A * espesor = 3036565.04 * 4 = 12146260.16 mm3$$

Peso propio de la chapa lateral = V *
$$\gamma_{acero}$$
 = 12146260.16 mm³ * 7.8 x10 - 6 $\frac{Kg}{mm^3}$ = 128.95 Kg

$$F_3 = Peso propio de la chapa lateral * g = 128.95 Kg * 9.81 $\frac{m}{s^2} = 1265 N$$$

4) Cálculo de las fuerzas totales

Con los resultados anteriores calcularemos las fuerzas totales.

$$F_A = F_1 + F_2 = 1973.76 + 1973.76 = 3947.53 \text{ N}$$

 $F_B = F_3 = 1265 \text{ N}$

Calculamos los esfuerzos. Para esto seguiremos el libro "Elementos de máquinas" de K.H Decker

1º Calcularemos la superficie del cordón de soldadura con los siguientes datos

El espesor mínimo de la soldadura en costuras angulares según la norma es de a=3 mm, en este caso la soldadura será de:

$$a = 3 \text{ mm}$$

l = longitud de soldadura = 2160 mm

Superficie del cordón de soldadura = $\Sigma(a * l) = 2al = 2 * 3 * 2160 = 12960 \text{ mm}^2$

2º Calculamos el esfuerzo a tracción o compresión

$$\sigma_{z,d} = \frac{F}{\Sigma(a*l)} = \frac{F_A}{12960} = \frac{3947.53 \text{ N}}{12960 \text{ mm}^2} = 0.308 \text{ Mpa}$$

3º Calculamos el esfuerzo tangencial

$$\tau = \frac{F}{\Sigma(a*l)} = \frac{F_B}{12960} = \frac{1265 \text{ N}}{12960 \text{ mm}^2} = 0.1 \text{ Mpa}$$

4º Calculamos el esfuerzo por flexión

$$\sigma_{\rm B} = \frac{\rm M}{\rm I_W} {\rm y}$$

Siendo M el momento creado por la carga F_A , I_W el momento de inercia de la superficie del cordón de soldadura, y, que es la distancia entre el esfuerzo de flexión y el eje de gravedad de la soldadura.

Para calcular el momento que se transmite a la soldadura, tendremos que multiplicar la fuerza F_A por la distancia $d_3=389.11~\mathrm{mm}$

$$M = F_A * d_3 = 3947.53 N * 389.11 mm = 1536023.39 Nmm$$

Calculamos I_W que es el momento de inercia de la superficie del cordón de soldadura. Para su determinación usaremos la siguiente ecuación.

$$a = 3 \text{ mm}$$

$$l = 2160 \text{ mm}$$

$$y_1 = \frac{40}{2} + \frac{a}{2} = 21.5 \text{ mm}$$

$$I_W = 2 a l y_3^2 = 2*3*2160*21.5^2 = 5990760 \text{ mm}^4$$

$$y = d_3 = 389.11 \text{ mm}$$

$$\sigma_B = \frac{M}{I_W} y = \frac{1536023.39 \text{ Nmm}}{5990760 \text{ mm}^4} *78.02 \text{ mm} = 99.76 \text{ Mpa}$$

Calcularemos el esfuerzo normal resultante

$$\sigma = \sigma_B + \sigma_{z,d} = 99.76 + 0.308 = 100.068 \text{ Mpa}$$

4º Calcularemos el esfuerzo normal resultante

Por último, calcularemos el esfuerzo comparativo σ_V que es el que al final tendremos que compararlo con el esfuerzo admisible.

$$\sigma_V = \sqrt{\sigma^2 + 2\tau^2} = \sqrt{100.068^2 + 2(0.1)^2} = 100.068 \text{ Mpa}$$

 σ_{adm} en una costura angular en la sección de la unión con esfuerzo comparativo es de 170 Mpa. Por lo tanto:

$$\sigma_{adm} > \sigma_{V}$$

170 Mpa > 100.068 Mpa

5.5 PERFIL 5 RECTANGULAR LATERAL

Calcularemos todas las fuerzas a las que está sometida el perfil 5 rectangular Siendo:

 $F_1 = Fuerza$ resultante por las cargas del viento lateral — en cubierta

 F_2 = Fuerza resultante por las cargas del viento frontal — en cubierta

 F_3 = Fuerza resultante por las cargas de nieve

 F_5 = Fuerza resultante por las cargas de viento lateral — vertical

 F_6 = Fuerza resultante por las cargas de viento frontal — vertical

1) Calculamos F_1 . Fuerza resultante por las cargas del viento lateral — en cubierta

Para calcular esta fuerza necesitamos la carga producida por el viento lateral en cubierta, que la hemos calculado en el apartado del cálculo de estructura, y el área que estimaremos donde actúa esa fuerza.

Carga de viento lateral – cubierta =
$$q_{V_{Lc}} = 0.0009 \frac{N}{mm^2}$$

Superficie de accion estimada = $A = 2240 * 220 \text{ mm} = 492800 \text{ mm}^2$

$$F_1 = q_{V_{Lc}} * A = 0.0009 \frac{N}{mm^2} * 492800 \text{ mm}^2 = 443.52 \text{N}$$

2) Calculamos F₂. Fuerza resultante por las cargas del viento frontal – en cubierta

Para calcular esta fuerza necesitamos la carga producida por el viento frontal en cubierta, que la hemos calculado en el apartado del cálculo de estructura, y el área que estimaremos donde actúa esa fuerza.

Carga de viento frontal — cubierta =
$$q_{V_{Fc}} = 0.0009 \frac{N}{mm^2}$$

Superficie de accion estimada = $A = 733 \text{ mm} * 716 \text{ mm} = 524828 \text{ mm}^2$

$$F_2 = q_{V_{Fc}} * A = 0.0009 \frac{N}{mm^2} * 524828 \text{ mm}^2 = 472.34 \text{ N}$$

3) Calculamos F₃. Fuerza resultante por las cargas de nieve

Para calcular esta fuerza necesitamos la carga producida por la nieve, que la hemos calculado en el apartado del cálculo de estructura, y el área que estimaremos donde actúa esa fuerza.

Carga de nieve =
$$q_N = 0.0003 \frac{N}{mm^2}$$

Superficie de accion estimada = $A = 733 \text{ mm} * 716 \text{ mm} = 524828 \text{ mm}^2$

$$F_3 = \ q_N * A = 0.0003 \ \frac{N}{mm^2} * \ 524828 \ mm^2 = 154.44 \ N$$

4) Calculamos F₄. Fuerza resultante por las cargas del viento lateral – en chapa vertical

Para calcular esta fuerza necesitamos la carga producida por el viento lateral en paramentos verticales, que la hemos calculado en el apartado del cálculo de estructura, y el área que estimaremos donde actúa esa fuerza.

Carga de viento lateral — en paramentos verticales =
$$q_{V_{Lv}} = 0.000625 \frac{N}{mm^2}$$

Superficie de accion estimada = $A = 2240 * 220 \text{ mm} = 492800 \text{ mm}^2$

$$F_4 = q_{V_{Lv}} * A = 0.000625 \frac{N}{mm^2} * 492800 \text{ mm}^2 = 308 \text{ N}$$

5) Calculamos F_5 . Fuerza resultante por las cargas del viento frontal – en chapa vertical

Para calcular esta fuerza necesitamos la carga producida por el viento frontal en paramentos verticales, que la hemos calculado en el apartado del cálculo de estructura, y el área que estimaremos donde actúa esa fuerza.

Carga de viento frontal — en paramentos verticales =
$$q_{V_{Fv}} = 0.000625 \frac{N}{mm^2}$$

Superficie de accion estimada = $A = 733 \text{ mm} * 716 \text{ mm} = 524828 \text{ mm}^2$

$$F_5 = q_{V_{Fv}} * A = 0.000625 \frac{N}{mm^2} * 524828 \text{ mm}^2 = 328.017 \text{ N}$$

6) Cálculo de las fuerzas totales

Con los resultados anteriores calcularemos las fuerzas totales.

$$F_A = F_4 + F_5 = 308 + 328.017 = 636.017 \text{ N}$$

$$F_B = F_1 + F_2 + F_3 = 443.52 + 472.34 + 157.44 = 1073.3 \text{ N}$$

Calculamos los esfuerzos. Para esto seguiremos el libro "Elementos de máquinas" de K.H Decker

1º Calcularemos la superficie del cordón de soldadura con los siguientes datos

El espesor máximo de la soldadura en costuras angulares según la norma es de a = 3 mm, en este caso la soldadura será de:

$$a = 3mm$$

l = longitud de soldadura = 40 mm

Superficie del cordón de soldadura =
$$\sum (a * l) = al + (a(2l + a)) = 3 * 40 + (3(2(40) + 3))$$

= 363 mm²

2º Calculamos el esfuerzo a tracción o compresión

$$\sigma_{z,d} = \frac{F}{\sum (a*l)} = \frac{F_B}{363} = \frac{1073.3 \text{ N}}{363 \text{ mm}^2} = 2.95 \text{ Mpa}$$

3º Calculamos el esfuerzo tangencial

$$\tau = \frac{F}{\sum (a*l)} = \frac{F_A/2}{363} = \frac{636.017/2 \text{ N}}{363 \text{ mm}^2} = 0.88 \text{ Mpa}$$

4º Calculamos el esfuerzo de flexión

$$\sigma_{\rm B} = \frac{\rm M}{\rm I_W} {\rm y}$$

Siendo M el momento creado por la carga F_A , I_W el momento de inercia de la superficie del cordon de soldadura e "y" la distancia entre el esfuerzo de flexión y el eje de gravedad de la soldadura.

Para calcular el momento que se transmite a la soldadura, supondremos que es una viga biempotrada con una carga puntual en el punto medio, por lo tanto:

$$M = \frac{PL}{8} = \frac{F_A L}{8} = \frac{636.017 \text{ N} * 2120 \text{ mm}}{8} = 168544.50 \text{ Nmm}$$

Calculamos I_W que es el momento de inercia de la superficie del cordón de soldadura. Para su determinación usaremos la siguiente ecuación.

$$a = 3 \text{ mm}$$

$$l = 40 \text{ mm}$$

$$y_1 = 40 + \frac{a}{2} = 41.5 \text{ mm}$$

$$I_W = \frac{a(2l+a)^3}{12} + lay_1^2 = \frac{3(2*40+3)^3}{12} + 40*3*42^2 = 354626.75 \text{mm}^4$$

$$y = 20 \text{ mm}$$

$$\sigma_B = \frac{M}{I_W}y = \frac{168544.50 \text{ Nmm}}{354626.75 \text{ mm}^4} * 20 \text{ mm} = 9.50 \text{ Mpa}$$

Calcularemos el esfuerzo normal resultante

$$\sigma = \sigma_B + \sigma_{z,d} = 9.50 + 2.95 = 12.45 \text{ Mpa}$$

Por último, calcularemos el esfuerzo comparativo σ_V que es el que al final tendremos que compararlo con el esfuerzo admisible.

$$\sigma_V = \sqrt{\sigma^2 + 2\tau^2} = \sqrt{12.45^2 + 2(0.88)^2} = 12.51 \text{ Mpa}$$

 σ_{adm} en una costura angular en la sección de la unión con esfuerzo comparativo es de 170 Mpa. Por lo tanto:

$$\sigma_{adm} > \sigma_{V}$$

170 Mpa > 12.51 Mpa

6 PERFIL TRASERO RECTANGULAR

Calcularemos todas las fuerzas a las que está sometida el perfil 5 rectangular Siendo:

 F_1 = Fuerza resultante por las cargas del viento lateral — en cubierta

 F_2 = Fuerza resultante por las cargas del viento frontal — en cubierta

 F_3 = Fuerza resultante por las cargas de nieve

 F_5 = Fuerza resultante por las cargas de viento lateral — vertical

 F_6 = Fuerza resultante por las cargas de viento frontal — vertical

1) Calculamos F₁. Fuerza resultante por las cargas del viento lateral – en cubierta

Para calcular esta fuerza necesitamos la carga producida por el viento lateral en cubierta, que la hemos calculado en el apartado del cálculo de estructura, y el área que estimaremos donde actúa esa fuerza.

Carga de viento lateral — cubierta =
$$q_{V_{Lc}} = 0.0009 \frac{N}{mm^2}$$

Superficie de accion estimada = $A = 2240 * 220 \text{ mm} = 492800 \text{ mm}^2$

$$F_1 = q_{V_{Lc}} * A = 0.0009 \frac{N}{mm^2} * 492800 \text{ mm}^2 = 443.52 \text{N}$$

2) Calculamos F2. Fuerza resultante por las cargas del viento frontal – en cubierta

Para calcular esta fuerza necesitamos la carga producida por el viento frontal en cubierta, que la hemos calculado en el apartado del cálculo de estructura, y el área que estimaremos donde actúa esa fuerza.

Carga de viento frontal — cubierta =
$$q_{V_{Fc}} = 0.0009 \frac{N}{mm^2}$$

Superficie de accion estimada = $A = 1466 \text{ mm} * 716 \text{ mm} = 1049656 \text{ mm}^2$

$$F_2 = q_{V_{Fc}} * A = 0.0009 \frac{N}{mm^2} * 1049656 \text{ mm}^2 = 944.69 \text{ N}$$

3) Calculamos F₃. Fuerza resultante por las cargas de nieve

Para calcular esta fuerza necesitamos la carga producida por la nieve, que la hemos calculado en el apartado del cálculo de estructura, y el área que estimaremos donde actúa esa fuerza.

Carga de nieve =
$$q_N = 0.0003 \frac{N}{mm^2}$$

Superficie de accion estimada = $A = 1466 \text{ mm} * 716 \text{ mm} = 1049656 \text{ mm}^2$

$$F_3 = q_N * A = 0.0003 \frac{N}{mm^2} * 1049656 mm^2 = 314.89 N$$

4) Calculamos F₄. Fuerza resultante por las cargas del viento lateral – en chapa vertical

Para calcular esta fuerza necesitamos la carga producida por el viento lateral en paramentos verticales, que la hemos calculado en el apartado del cálculo de estructura, y el área que estimaremos donde actúa esa fuerza.

Carga de viento lateral — en paramentos verticales =
$$q_{V_{Lv}} = 0.000625 \frac{N}{mm^2}$$

Superficie de accion estimada = $A = 2240 * 220 \text{ mm} = 492800 \text{ mm}^2$

$$F_4 = q_{V_{Lv}} * A = 0.000625 \frac{N}{mm^2} * 492800 \text{ mm}^2 = 308 \text{ N}$$

5) Calculamos F_5 . Fuerza resultante por las cargas del viento frontal – en chapa vertical

Para calcular esta fuerza necesitamos la carga producida por el viento frontal en paramentos verticales, que la hemos calculado en el apartado del cálculo de estructura, y el área que estimaremos donde actúa esa fuerza.

Carga de viento frontal — en paramentos verticales =
$$q_{V_{Fv}} = 0.000625 \ \frac{N}{mm^2}$$

Superficie de accion estimada = $A = 466 \text{ mm} * 716 \text{ mm} = 1049656 \text{ mm}^2$

$$F_5 = q_{V_{Fv}} * A = 0.000625 \frac{N}{mm^2} * 1049656 \text{ mm}^2 = 656.035 \text{ N}$$

6) Cálculo de las fuerzas totales

Con los resultados anteriores calcularemos las fuerzas totales.

$$F_A = F_1 + F_2 + F_3 = 443.52 + 44.69 + 314.89 = 1703.1 \text{ N}$$

 $F_B = F_4 + F_5 = 308 + 656.035 = 964.035 \text{ N}$

- Calculamos los esfuerzos. Para esto seguiremos el libro "Elementos de máquinas" de K.H Decker
- 1º Calcularemos la superficie del cordón de soldadura con los siguientes datos

El espesor máximo de la soldadura en costuras angulares según la norma es de $a=3 \,\mathrm{mm}$, en este caso la soldadura será de:

$$a = 3mm$$

Superficie del cordón de soldadura = $\sum (a * l) = 2al = 2 * (80 * 3) = 480 \text{ mm}^2$

2º Calculamos el esfuerzo a tracción o compresión

$$\sigma_{z,d} = \frac{F}{\Sigma(a*l)} = \frac{F_B}{480} = \frac{964.035 \text{ N}}{480 \text{ mm}^2} = 2.008 \text{ Mpa}$$

3º Calculamos el esfuerzo tangencial

$$\tau = \frac{F}{\Sigma (a * l)} = \frac{F_A/2}{480} = \frac{1703.1/2 \text{ N}}{480 \text{ mm}^2} = 1.77 \text{ Mpa}$$

4º Calculamos el esfuerzo de flexión

$$\sigma_{\rm B} = \frac{\rm M}{\rm I_W} {\rm y}$$

Siendo M el momento creado por la carga F_A , I_W el momento de inercia de la superficie del cordón de soldadura e "y" la distancia entre el esfuerzo de flexión y el eje de gravedad de la soldadura.

Para calcular el momento que se transmite a la soldadura, supondremos que es una viga biempotrada con una carga puntual en el punto medio, por lo tanto:

$$M = \frac{PL}{8} = \frac{F_A L}{8} = \frac{1703 \text{ N} * 1386 \text{ mm}}{8} = 295044.75 \text{ Nmm}$$

Calculamos I_W que es el momento de inercia de la superficie del cordón de soldadura. Para su determinación usaremos la siguiente ecuación.

$$a = 3 \text{ mm}$$

$$l = 80 \text{ mm}$$

$$y_1 = 20 + \frac{a}{2} = 21.5 \text{ mm}$$

$$I_W = 2aly_1^2 = 2 * 3 * 80 * 21.5^2 = 221880 \text{ mm}^4$$

$$y = 20 \text{ mm}$$

$$\sigma_B = \frac{M}{I_W} y = \frac{295044.75 \text{ Nmm}}{221880 \text{ mm}^4} * 20 \text{ mm} = 26.59 \text{ Mpa}$$

Calcularemos el esfuerzo normal resultante

$$\sigma = \sigma_B + \sigma_{z,d} = 26.59 + 2.008 = 28.598 \text{ Mpa}$$

Por último, calcularemos el esfuerzo comparativo σ_V que es el que al final tendremos que compararlo con el esfuerzo admisible.

$$\sigma_V = \sqrt{\sigma^2 + 2\tau^2} = \sqrt{28.598^2 + 2(1.77)^2} = 28.70 \text{ Mpa}$$

 σ_{adm} en una costura angular en la sección de la unión con esfuerzo comparativo es de 170 Mpa. Por lo tanto:

 $\label{eq:sigma_adm} \sigma_{adm} > \, \sigma_{V}$ $\label{eq:sigma} \textbf{170 Mpa} > \, \textbf{28.70 Mpa}$

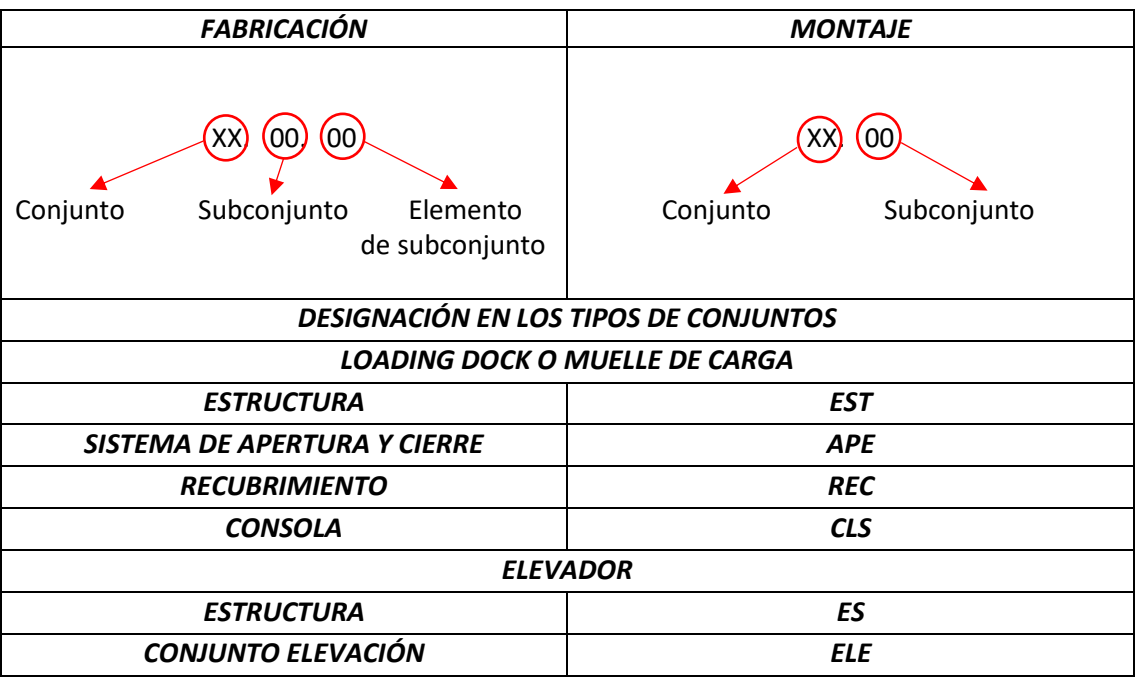
TABLA DE RESULTADOS

N.º DE	NOMBRE DEL ELEMENTO	ESFUERZO
ELEMENTO		COMPARATIVO
		$\sigma_V [MPa]$
1	TUBO TRASERO DE LA VIGA CENTRAL DE	55.20
	MECANISMOS	
2	TUBO CENTRAL DE LA VIGA CENTRAL DE	25.52
	MECANISMOS	
3	CASQUILLOS DE SEPARACIÓN	12.58
4	PERFIL CUADRADO HORIZONTAL	21.4
	(CABALLETE)	
5.1	PERFIL 1 CUADRADO LATERAL	0.32
5.2	PERFIL 2 CUADRADO LATERAL	10.48
5.3	PERFIL 3 CUADRADO LATERAL	1.9804
5.4	PERFIL 4 CUADRADO LATERAL	100.068
5.5	PERFIL 5 RECTANGULAR LATERAL	12.51
6	PERFIL TRASERO RECTANGULAR	28.70

PLANOS

2.1. PLANOS DE FABRICACIÓN DE PIEZAS Y DE MONTAJE DE CONJUNTOS

*Para la designación de los planos tanto del loading dock o muelle de carga como del elevador y los planos de fabricación de piezas y de montaje de conjuntos se detallan en la siguiente tabla:



FUENTE: TABLA PROPIA

^{*}Tendremos también planos de montaje de loading dock. Soldaduras y uniones atornilladas. Planos de montaje de elementos comerciales.

MONTAJE DE LOADING DOCK				
UNIONES SOLDADAS EST				
UNIONES ATORNILLADAS	EST			
MONTAJE DE ELEMENTOS COMERCIALES	сом			

FUENTE: TABLA PROPIA

2.1.1 PLANOS DEL LOADING DOCK

CONJUNTO/SUBCONJUNTO	N.º PLANO	ESCALA	HOJA
			PLANO
ESTRUCTURA			
Bastidor	EST.00.00		1
Placa de anclaje	EST.05.01	1:4	2
SISTEMA APERTURA Y CIERRE			
Plancha de viga central	APE.00.01	1:10	3
Doblado Protector de motor	APE.00.04	1:2	4
Desarrollo protector de motor	APE.00.04.01	1:2	5
	ESTRUCTURA Bastidor Placa de anclaje SISTEMA APERTURA Y CIERRE Plancha de viga central Doblado Protector de motor	ESTRUCTURA Bastidor EST.00.00 Placa de anclaje EST.05.01 SISTEMA APERTURA Y CIERRE Plancha de viga central APE.00.01 Doblado Protector de motor APE.00.04	ESTRUCTURA Bastidor EST.00.00 Placa de anclaje EST.05.01 1:4 SISTEMA APERTURA Y CIERRE Plancha de viga central APE.00.01 1:10 Doblado Protector de motor APE.00.04 1:2

2.2	Doblado de Campana	APE.01.01	0.2:1	6
	Desarrollo campana	APE.01.01.01	1:4	7
2.3	PUERTA			
	Costillas estructurales	APE.02.00	1:10	8
	Costillas laterales	APE.02.01	0.15:1	9
	Costilla superior	APE.02.02	0.3:1	10
	Costilla Inferior	APE.02.03	0.3:1	11
	Costillas intermedias	APE.02.04	1:2	12
	horizontales			
	Costillas intermedias verticales	APE.02.05	0.15:1	13
	Esquinas de refuerzo	APE.02.06	2:1	14
	Pieza para rueda	APE.02.07	2:1	15
	Chapa de cerramiento frontal	APE.02.08	0.1:1	16
	Chapa de cerramiento frontal	APE.02.08.01	0.1:1	16A
	sin doblar			
	Chapa de cerramiento	APE.02.09	0.1:1	17
	posterior			
	Chapa de cerramiento	APE.02.09.01	0.1:1	17A
	posterior sin doblar			
	Enganche de cadena	APE.02.10	1:1	18
	Pieza 1	APE.02.10.01	1:1	19
	Desarrollo Pieza 1	APE.02.10.010	1:1	20
	Pieza 2	APE.02.10.02	1:1	21
	Desarrollo Pieza 2	APE.02.10.020	1:1	22
	Pieza 3	APE.02.10.03	1:1	23
	Desarrollo pieza 3	APE.02.10.030	1:1	24
	Desarrollo de Placa para llaves	APE.02.11	1:2	25
	Doblado de placa para llaves	APE.02.11.01	1:2	26
2.4	LATERALES DE PUERTA			
	Costilla lateral	APE.03.01	0.15:1	27
	Costillas intermedias y superior	APE.03.02	1:2	28
	Costilla inferior	APE.03.03	1:2	29
	Esquinas de refuerzo	APE.03.04	2:1	30
	superiores			
	Esquinas de refuerzo inferiores	APE.03.05	2:1	31
	Chapa de cerramiento frontal	APE.03.06	0.1:1	32
	Chapa de cerramiento	APE.03.07	0.1:1	33
	posterior			
2.5	MARCOS			
	Marco 1	APE.04.01	0.2:1	34
	Marco 2	APE.04.02	0.15:1	35
0.0	Marco 3 (Simétrico al marco 2)	APE.04.03	0.15:1	36
2.6	ARCOS DE RODADURA	ADE 07 04	4.45	
	Arco superior	APE.05.01	1:10	37
	Arco inferior	APE.05.02	0.12:1	38
	Empalme de arcos	APE.05.03	1:3	39
	Desarrollo de pletina	APE.05.04.00	1:10	40
	Pletina	APE.05.04	1:15	41
3	RECUBRIMIENTO			

3.1	RECUBRIMIENTO LATERAL			
	Desarrollo Pletina superior	REC.00.01.00	1:10	42
	Pletina Superior	REC.00.01	1:10	43
	Desarrollo pletina inferior	REC.00.02.00	1:6	44
	Pletina Inferior	REC.00.02	1:10	45
	Plancha Rueda de Bici	REC.01	0.08:1	46
	Elemento 1	REC.01.01	3:2*	46A
	Elemento 2	REC.01.02	2.25:1*	46B
	Elemento 3	REC.01.03	3:2*	46C
	Elemento 4	REC.01.04	3:1*	46D
	Elemento 5	REC.01.05	3:1*	46E
	Elemento 6	REC.01.06	6:1*	46F
	Elemento 7	REC.01.07	2.25:1*	46G
	Elemento 8	REC.01.08	2:25*	46H
	Elemento 9	REC.01.09	4.5:1*	461
	Elemento 10	REC.01.10	4:1*	46J
	Elemento 11	REC.01.11	2:1*	46K
	Elemento 12	REC.01.12	3:1*	46L
	Marcos para cristal	REC.02	0.08:1	47
	Elemento 1	REC.02.01	2:1*	48
	Elemento 2	REC.02.02	2:1*	49
	Elemento 3	REC.02.03	8:1*	50
	Elemento 4	REC.02.04	2:1*	51
	Elemento 5	REC.02.05	2:1*	52
	Elemento 6	REC.02.06	2:1*	53
	Elemento 7	REC.02.07	3:2*	54
	Elemento 8	REC.02.08	8:1*	55
	Elemento 9	REC.02.09	3:2*	56
	Elemento 10	REC.02.10	4:1*	57
	Elemento 11	REC.02.11	2:1*	58
	Elemento 12	REC.02.12	4:1*	59
	Elemento 13	REC.02.13	8:1*	60
	Elemento 14	REC.02.14	3:1*	61
	Elemento 15	REC.02.15	6:1*	62
	Elemento 16	REC.02.16	5:1*	63
	Elemento 17	REC.02.17	12.5:1*	64
	Cristal	REC.03	0.08:1	65
	Elemento 1	REC.03.01	1:1*	66
	Elemento 2	REC.03.02	1:1*	67
	Elemento 3	REC.03.03	1:1*	68
	Elemento 4	REC.03.04	1:1*	69
	Embellecedor de abajo	REC.04.01	0.15:1	70
3.2	RECUBRIMIENTO SUPERIOR			
	Desarrollo Visera	REC.05.01.00	1:8	71
	Visera	REC.05.01	1:8	72
	Cristal	REC.05.02	1:15	73
3.3	RECUBRIMIENTO TRASERO		1	
	Chapa de cerramiento trasero	REC.06.01	1:20	74

	Chapa de cerramiento trasero inferior	REC.06.02	1:10	75
4	CONSOLA			
	Desarrollo de consola	CSL.01.00	1:9	76
	Doblado de consola	CLS.01.00.01	1:10	77
	Laterales consola	CSL.01.01	1:2	78
	Placa de ventana de	CSL.02.01	1:2	79
	información			
	Embellecedores	CSL.03.01	1:10	80
5	PISADERA			
	Pisadera	PIS.00.01	1:9	80A

FUENTE: ILUSTRACIÓN PROPIA

2.1.2 PLANOS DEL ELEVADOR

PUNTO	CONJUNTO/SUBCONJUNTO	N.º PLANO	ESCALA	HOJA PLANO
1	ESTRUCTURA			
1.1	Módulo de torre	ES.00	1:6	81
	Elemento 1	ES.00.01	1:4	82
	Elemento 2	ES.00.02	1:4	83
	Elemento 3	ES.00.03	1:2	84
	Elemento 4	ES.00.04	1:2	85
	Elemento 5	ES.00.05	1:3	86
	Elemento 6	ES.00.06	1:3	87
	Elemento 7	ES.00.07	2:1	88
	Elemento 8	ES.00.08	2:1	89
	Elemento 9	ES.00.09	2:1	90
1.2	Angular de unión de torre	ES.01.00	1:2	91
	Angular de unión a guías T	ES.01.01	1:2	92
1.3	Placa de coronación	ES.02.00	1:4	93
	Placa de anclaje	ES.02.01	1:4	94
2	CONJUNTO ELEVACIÓN			
2.1	CONJUNTO MOTOR O TRACTOR			
2.1.1	Soporte de motor	ELE.00	1:8	95
	Elemento principal	ELE.00.01	1:8	96
	Placa de soporte de motor	ELE.00.02	1:4	97
	Placas de apoyo	ELE.00.03	1:1	98
2.1.2	Eje de motor	ELE.01.01		99
	Chaveta	ELE.01.02		100
	Anillo de ubicación	ELE.01.03		101

^{*} En los montajes la "plancha de la rueda de bici" y de "marcos para el cristal" las cotas están a esa escala con respecto al dibujo del plano de montaje.

2.1.3	Angulares de apoyo de soporte	ELE.02.01	1:4	102
2.2	CONJUNTO TENSOR			
2.2	TENSOR			
2.2.1	Parte fija	ELE.03		103
2.2.1	Elemento 1	ELE.03.01	0.17:1	104
	Elemento 2	ELE.03.02	1:1	105
	Elemento 3	ELE.03.03	1:2	106
	Elemento 4	ELE.03.04	1:2	107
	Elemento 5	ELE.03.05	1:4	108
	Elemento 6	ELE.03.06	1:4	109
2.2.2	Parte móvil	ELE.04	2.7	110
	Elemento 1	ELE.04.00	1:2	111
	Elemento 2	ELE.04.01	1:2	112
2.2.3	Eje	ELE.05.01	1:2	113
2.2.3	Chaveta de eje	ELE.05.02	1.2	114
2.3	CONJUNTO ELEVADOR	LLLIOSIOZ		***
2.3.1	Bastidor de plataforma de	ELE.06		115
2.5.1	carga			113
	Elemento 1	ELE.06.01	1:4	116
	Elemento 2	ELE.06.02	1:8	117
	Elemento 3	ELE.06.03	1:4	118
	Elemento 4	ELE.06.04	1:4	119
	Elemento 5	ELE.06.05	1:4	120
	Elemento 6	ELE.06.06	1:4	121
	Elemento 7	ELE.06.07	1:2	122
	Elemento 8	ELE.06.08	1:2	123
	Elemento 9	ELE.06.09	1:8	124
2.3.2	Bastidor frontal	ELE.07	0.12:1	125
	Elemento 1	ELE.07.01	0.2:1	126
	Elemento 2	ELE.07.02	1:2	127
	Elemento 3	ELE.07.03	0.12:1	128
	Elemento 4	ELE.07.04	1:2	129
	Elemento 5	ELE.07.05	0.12:1	130
	Elemento 6	ELE.07.06	1:2	131
	Elemento 7	ELE.07.07	1:4	132
	Elemento 8	ELE.07.08	1:4	133
	Elemento 9	ELE.07.09	1:3	134
	Elemento 10	ELE.07.10	1:1	135
	Elemento 11	ELE.07.11	0.12:1	136
	Separador de grapas	ELE.07.12	1:1	137
	Grapas	ELE.07.13	1:1	138
2.3.3	Base de plataforma	ELE.08		139
	Elemento 1	ELE.08.01	0.17:1	140
	Elemento 2	ELE.08.02	1:2	141
	Elemento 3	ELE.08.03	1:2	142
	Elemento 4	ELE.08.04	1:2	143
	Chapa delantera	ELE.08.05	1:4	144
	Chapa Trasera	ELE.08.06	1:4	145

	Angular de apoyo	ELE.08.07	1:2	146
2.4	CONJUNTO CONTRAPESO			
2.4.1	Bastidor contrapeso	ELE.09	0.13:1	147
	Elemento 1	ELE.09.01	0.4:1	148
	Elemento 2	ELE.09.02	0.17:1	149
	Elemento 3	ELE.09.03	1:1	150
	Elemento 4	ELE.09.04	1:1	151
	Grapas	ELE.09.05	1:1	152
2.4.2	Pesos contrapeso	ELE.10	0.25:1	153

FUENTE: ILUSTRACIÓN PROPIA

2.2 PLANOS DE MONTAJE DE LOADING DOCK. UNIONES CON TORNILLERIA Y SOLDADURAS.

El montaje de loading dock se realizará en taller para su posterior traslado a obra. A continuación, detallamos la secuencia que se seguirá detallando cada uno de los puntos de montaje. En la siguiente tabla tendremos los planos realizados para el montaje con los planos de soldadura.

- 1) BASTIDOR
- 2) RECUBRIMIENTO LATERAL + ARCOS DE RODADURA
- 3) VIGA CENTRAL + PERFILES ESTRUCTURALES AUXILIARES
- 4) RECUBRIMIENTO TRASERO
- 5) CONSOLA
- 6) SISTEMA DE APERTURA Y CIERRE DE PUERTA + PUERTA + LATERALES + CAMPANA Y PROTECTOR DE MOTOR
- 7) RECUBRIMIENTO SUPERIOR

PLANOS DE MONTAJE DE LOADING DOCK Y SOLDADURAS

PUNTO	CONJUNTO/SUBCONJUNTO	N.º	ESCALA	HOJA
		PLANO		PLANO
1	BASTIDOR			
	Plano montaje perfil Bastidor	EST.03	1:15	1\$
	Plano montaje planta Bastidor	EST.04	1:18	25
	Montaje elementos del bastidor	EST.05	1:25	3S
	Soldaduras de bastidor	EST.06	1:25	45
2	RECUBRIMIENTO LATERAL + ARCOS DE			
	RODADURA			
	Soldaduras recubrimiento lateral	EST.07	1:15	5 S
	exterior			
	Soldaduras recubrimiento lateral	EST.08	1:15	6S
	interior			
	Bastidor + Recubrimiento lateral	EST.09	1:20	7 S
	Arcos de rodadura	EST.10	1:15	85
	Arcos de rodadura + Recubrimiento	EST.11	1:15	9 S
	lateral			

	_		
VIGA CENTRAL + PERFILES			
ESTRUCTURALES AUXILIARES			
Viga central	EST.12	1:8	10S
Caballete	EST.13	1:18	115
Viga central + perfiles estructurales	EST.14	1:18	12S
RECUBRIMIENTO TRASERO			
Recubrimiento trasero + puerta de	EST.15	1:15	135
mantenimiento 3D soldaduras			
CONSOLA			
Soldadura de consola	EST.16	1:6	14S
Consola al resto de elementos	EST.17	1:18	15S
SISTEMA DE APERTURA Y CIERRE			
Montaje de Puerta	APE.02	1:20	16S
Laterales	APE.03	1:10	17S
RECUBRIMIENTO SUPERIOR			
Recubrimiento Superior	EST.18	1:18	185
Soldadura al suelo	EST.19	1:18	18SA
	Viga central Caballete Viga central + perfiles estructurales RECUBRIMIENTO TRASERO Recubrimiento trasero + puerta de mantenimiento 3D soldaduras CONSOLA Soldadura de consola Consola al resto de elementos SISTEMA DE APERTURA Y CIERRE Montaje de Puerta Laterales RECUBRIMIENTO SUPERIOR Recubrimiento Superior	Viga central EST.12 Caballete EST.13 Viga central FST.13 Viga central FST.14 RECUBRIMIENTO TRASERO Recubrimiento trasero + puerta de mantenimiento 3D soldaduras CONSOLA Soldadura de consola EST.16 Consola al resto de elementos EST.17 SISTEMA DE APERTURA Y CIERRE Montaje de Puerta APE.02 Laterales APE.03 RECUBRIMIENTO SUPERIOR Recubrimiento Superior EST.18	Viga central EST.12 1:8 Caballete EST.13 1:18 Viga central + perfiles estructurales EST.14 1:18 RECUBRIMIENTO TRASERO Recubrimiento trasero + puerta de mantenimiento 3D soldaduras CONSOLA Soldadura de consola EST.16 1:6 Consola al resto de elementos EST.17 1:18 SISTEMA DE APERTURA Y CIERRE Montaje de Puerta APE.02 1:20 Laterales APE.03 1:10 RECUBRIMIENTO SUPERIOR Recubrimiento Superior EST.18 1:18

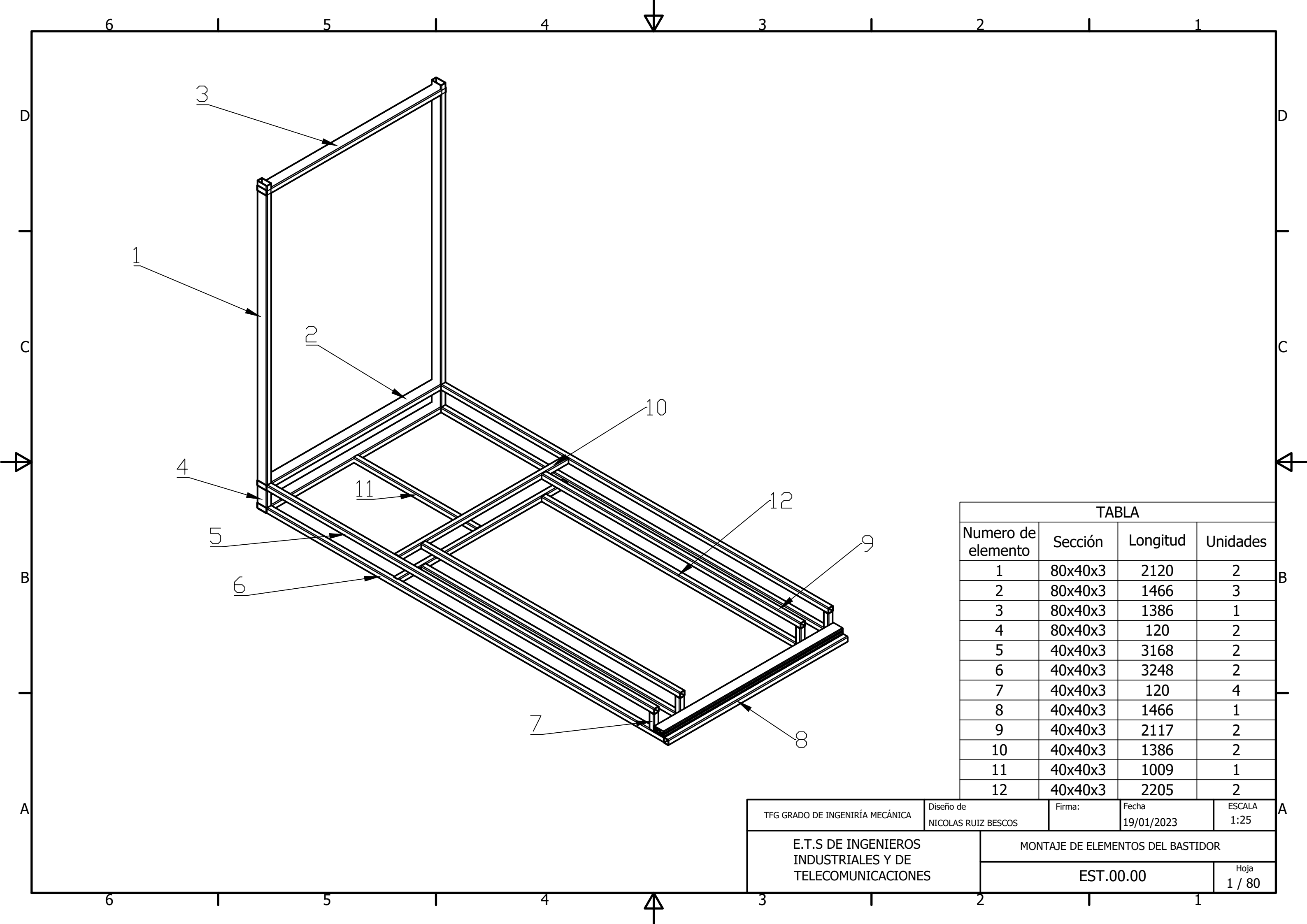
FUENTE: ILUSTRACIÓN PROPIA

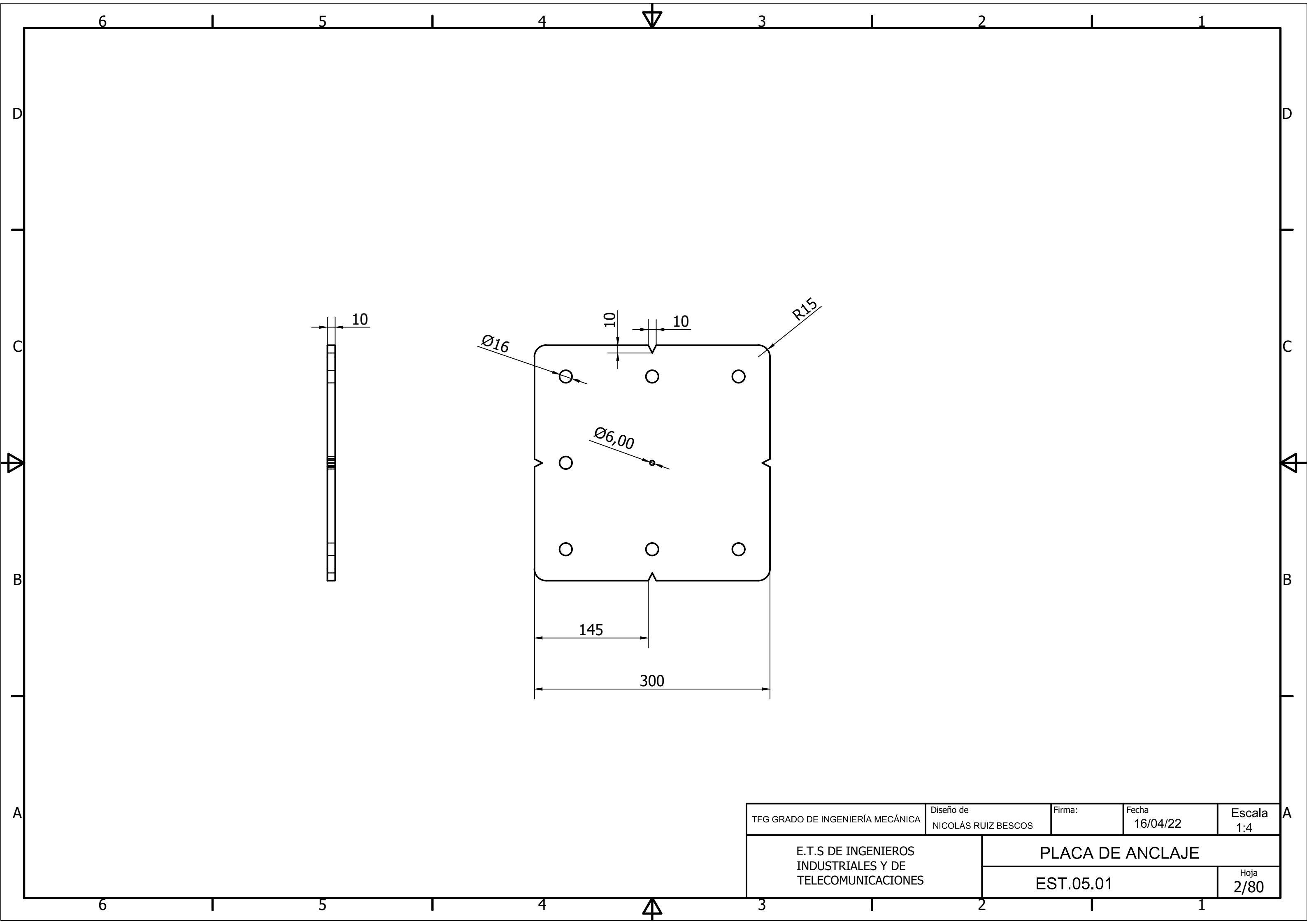
PLANOS DE UNIONES DE TORNILLERÍA

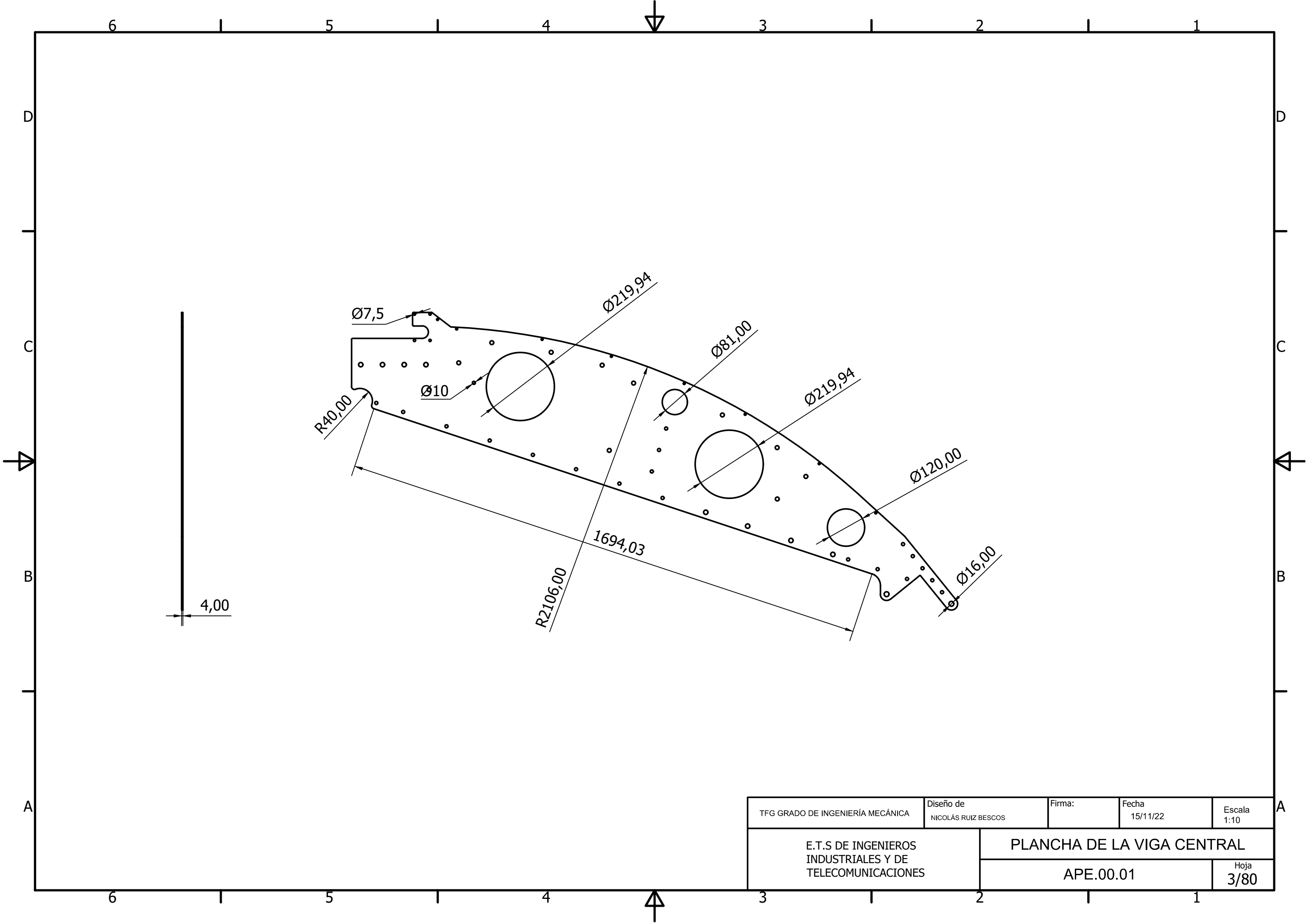
PUNTO	CONJUNTO/SUBCONJUNTO	N.º	ESCALA	HOJA
		PLANO		PLANO
1	TORNILLERIA LOADING DOCK (1)	EST.20	1:20	1T
2	TORNILLERIA LOADING DOCK (2)	EST.21	1:20	2T
3	TORNILLERIA TORRES	EST.22	1:16	3T
4	TORNILLERIA CONJUNTO TRACTOR	EST.23	1:5	4T
5	TORNILLERIA CONJUNTO TENSOR	EST.24	1:6	5T
6	TORNILLERIA CONJUNTO ELEVADOR	EST.25	1:12	6T
7	TORNILLERIA CONJUNTO CONTRAPESO	EST.26	1:8	7 T

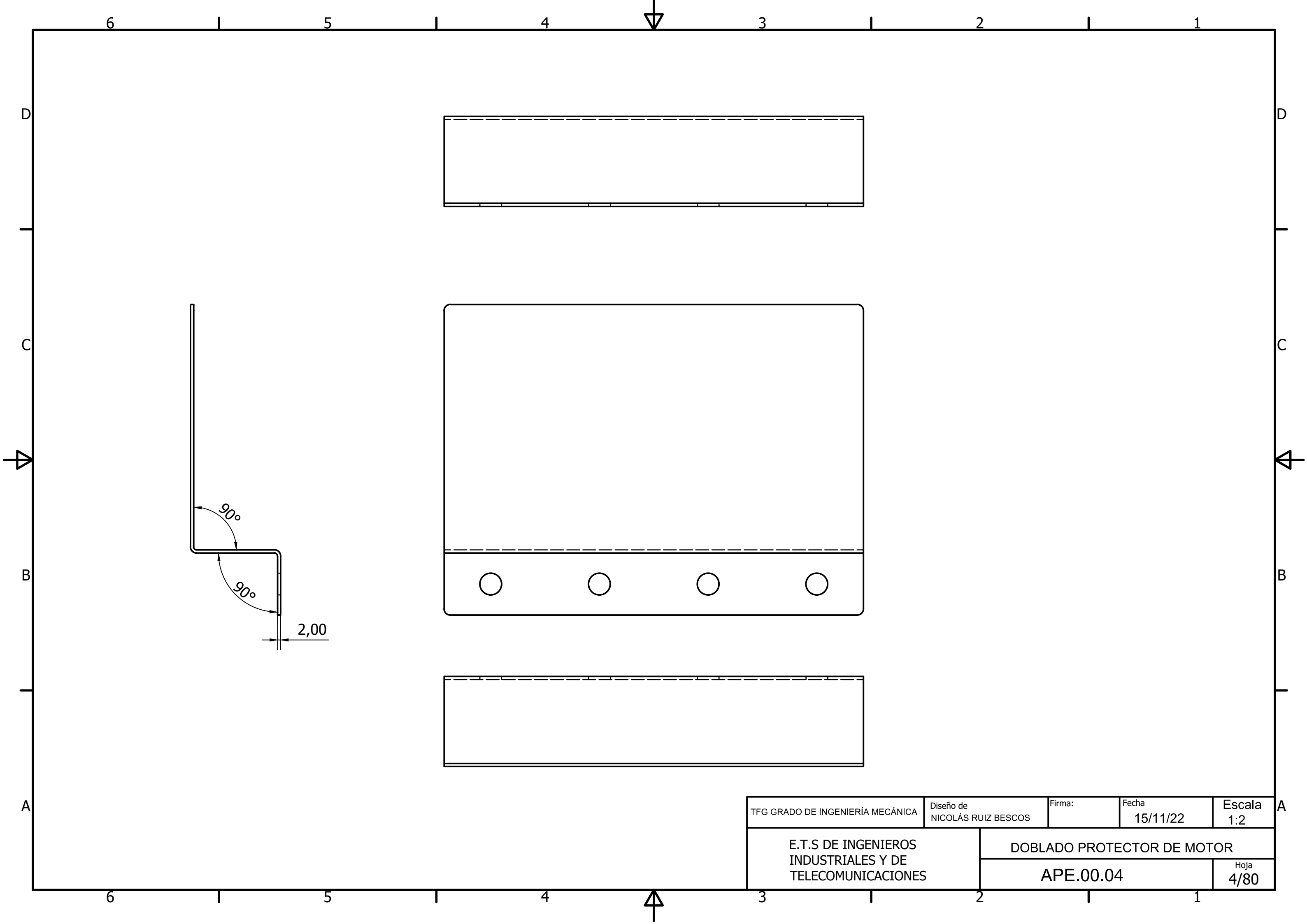
2.3 PLANOS DE MONTAJE DE ELEMENTOS COMERCIALES

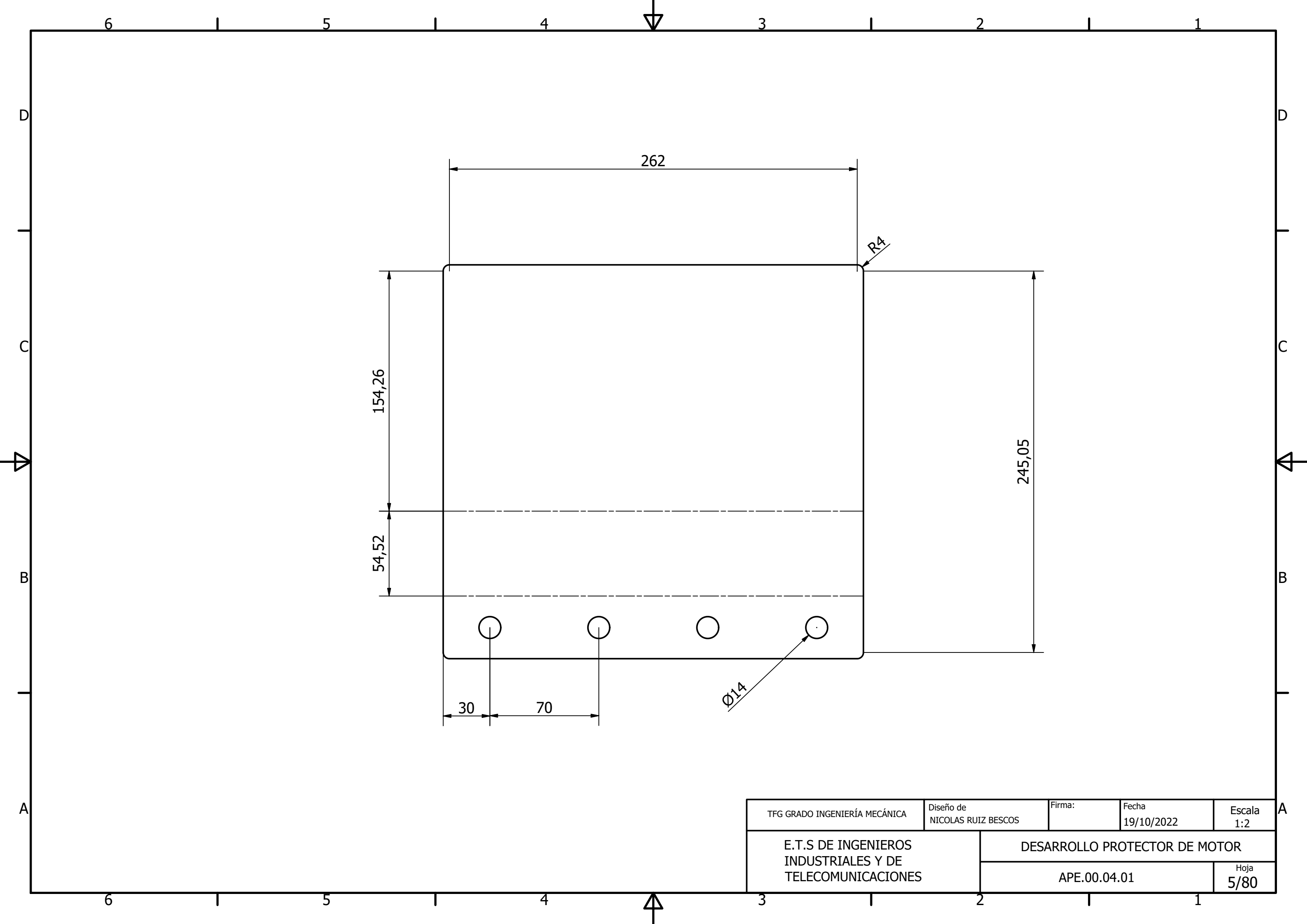
CONJUNTO	PLANO	ESCALA	HOJA PLANO
SISTEMA DE APERTURA Y CIERRE DE	COM.00.01	1:6	1C
PUERTA			
LLAVES DE SOLENOIDE Y FINAL DE	COM.00.02	1:1	2C
CARRERA			
SOLENOIDE Y FINAL DE CARRERA	COM.00.03	1:1	3C
RUEDAS DE RODADURA	COM.00.04	1:6	4C
RUEDAS TANGENCIALES	COM.00.05	2:1	5C
DISTANCIADORAS			

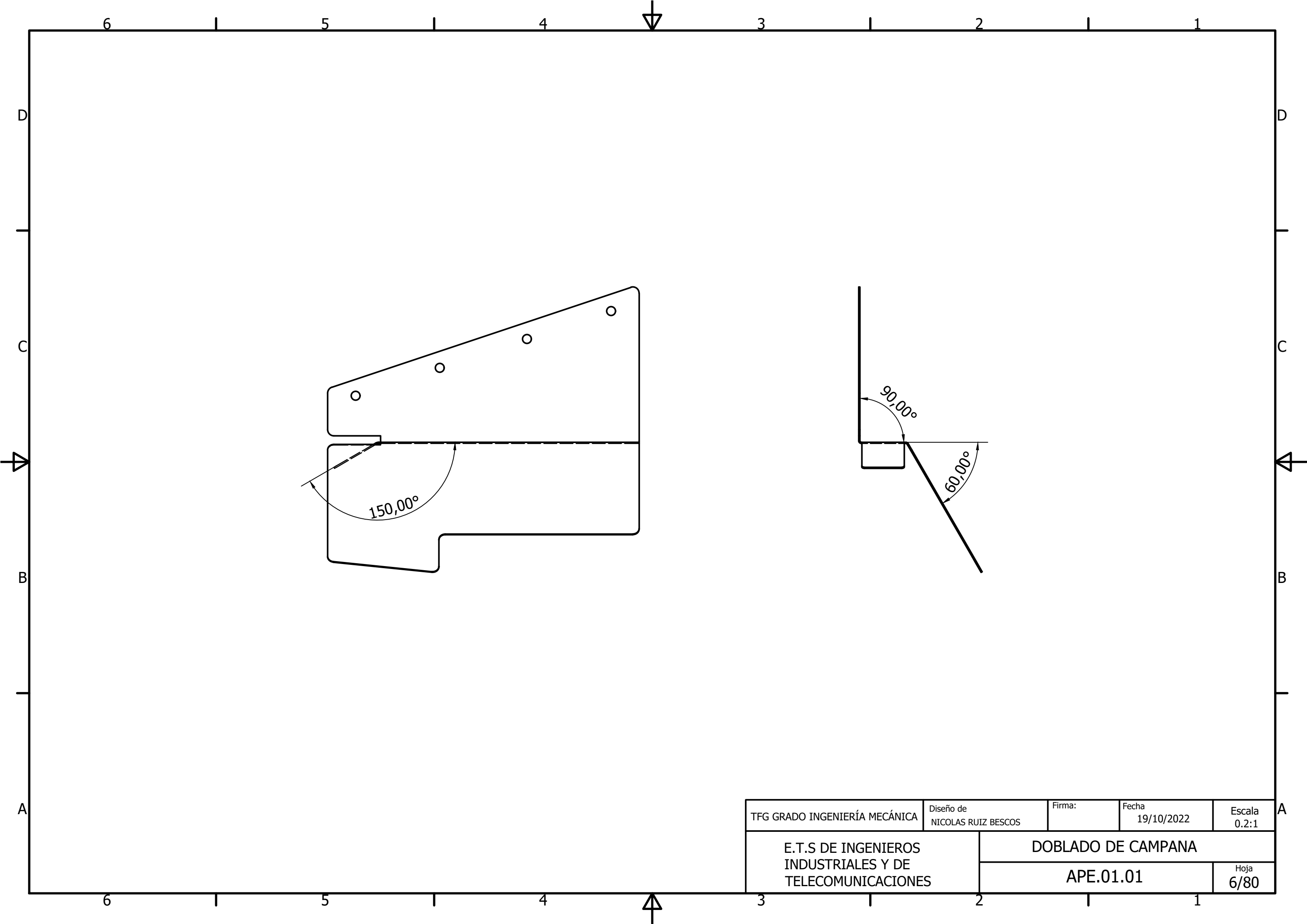


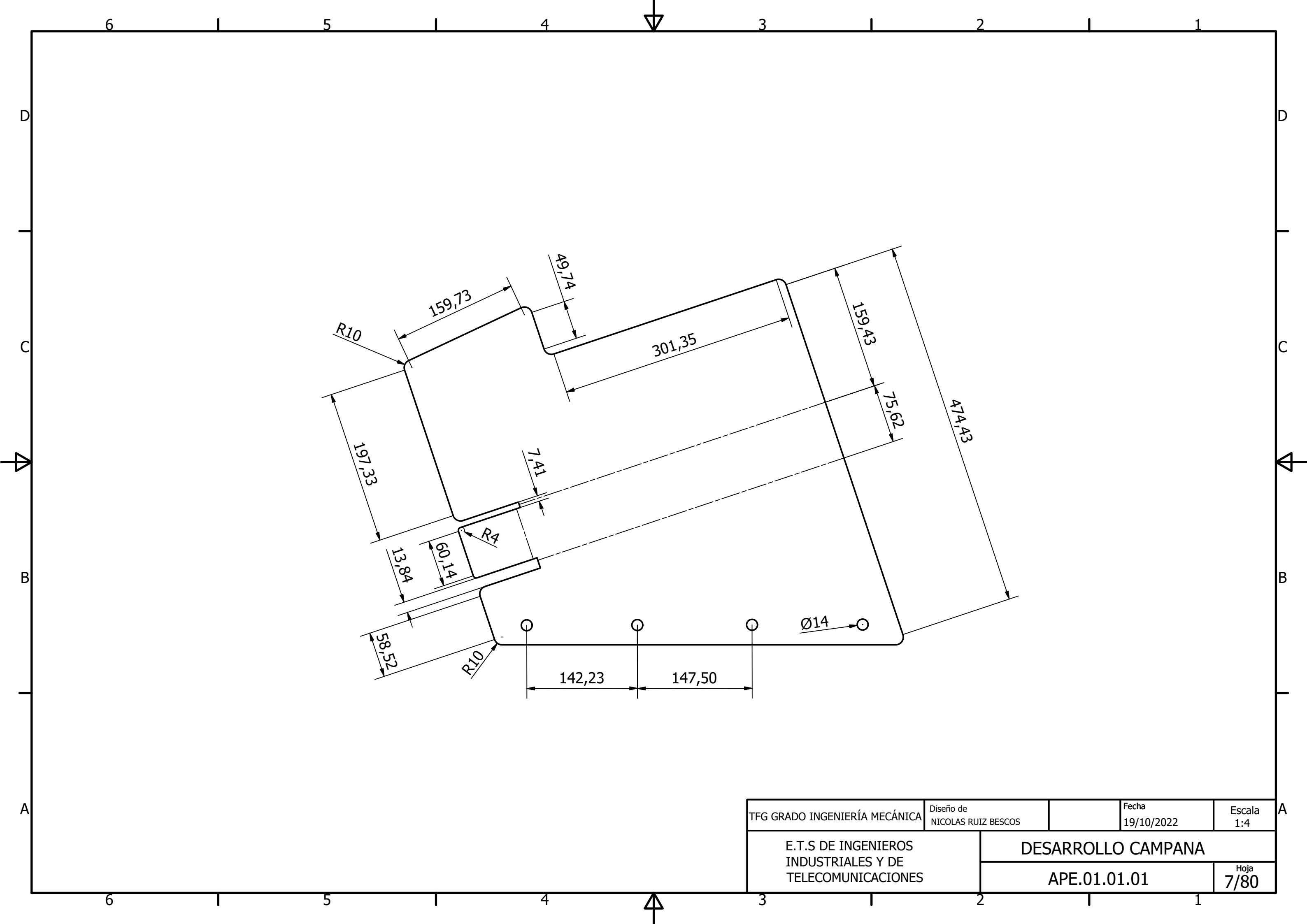


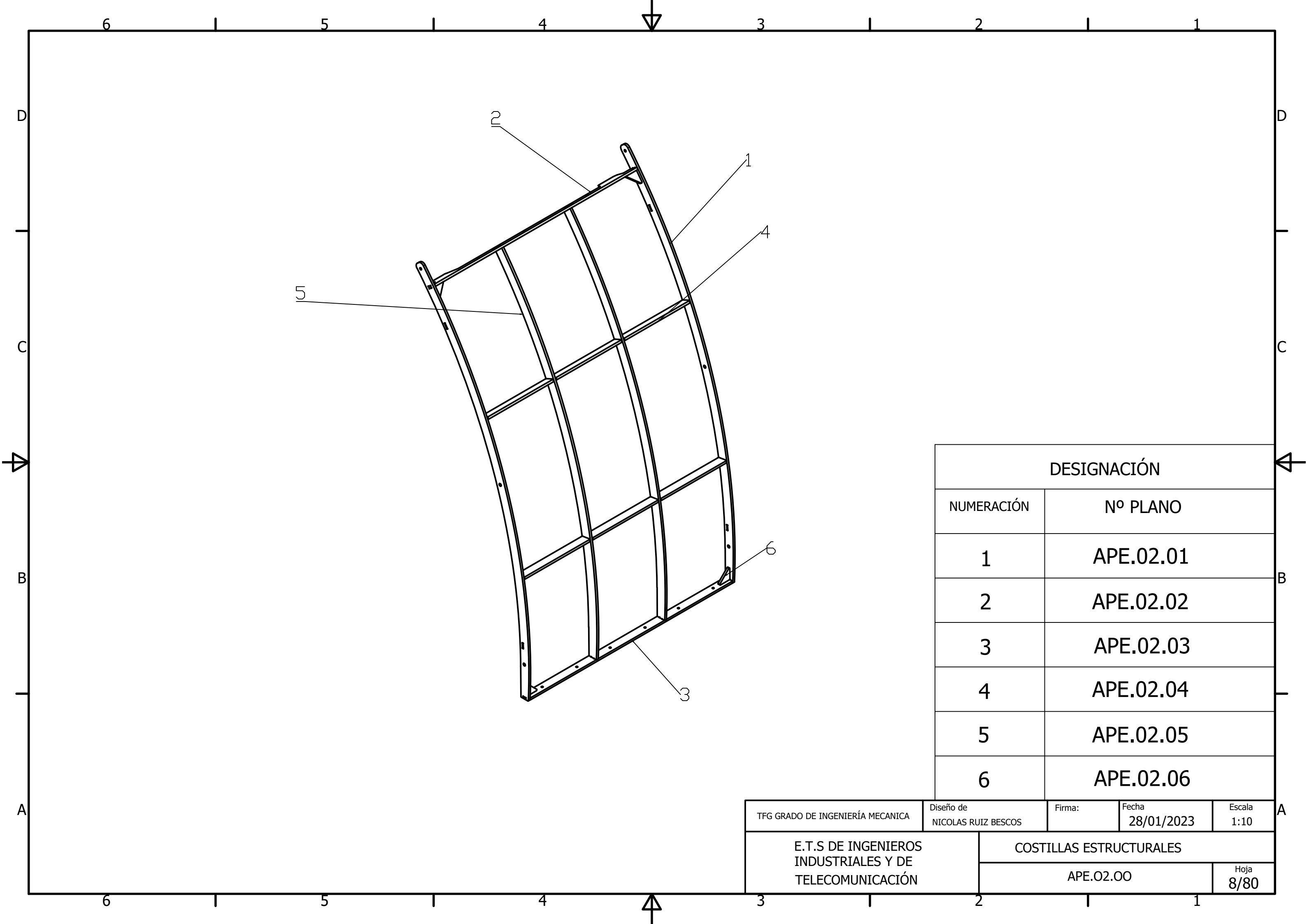


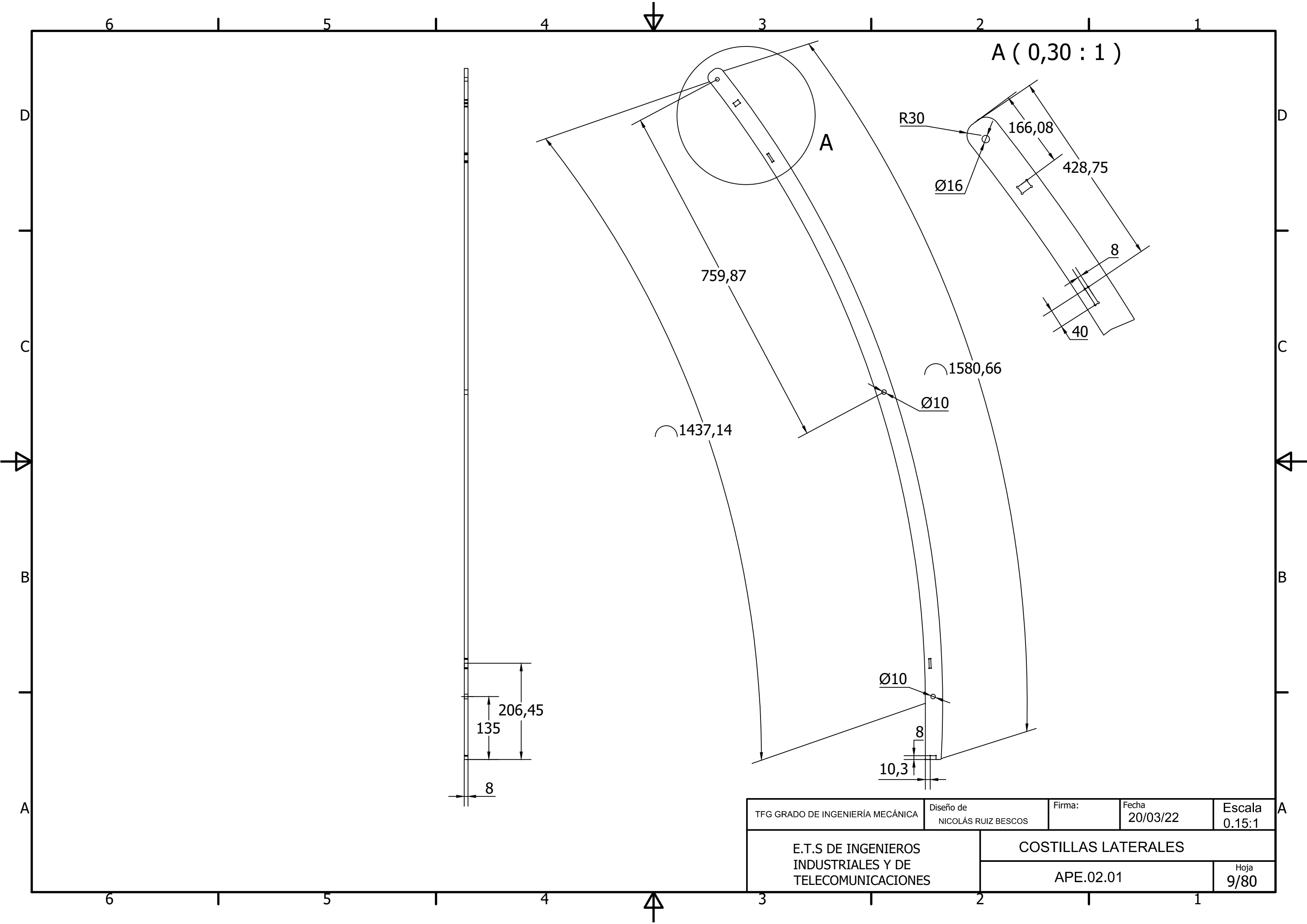


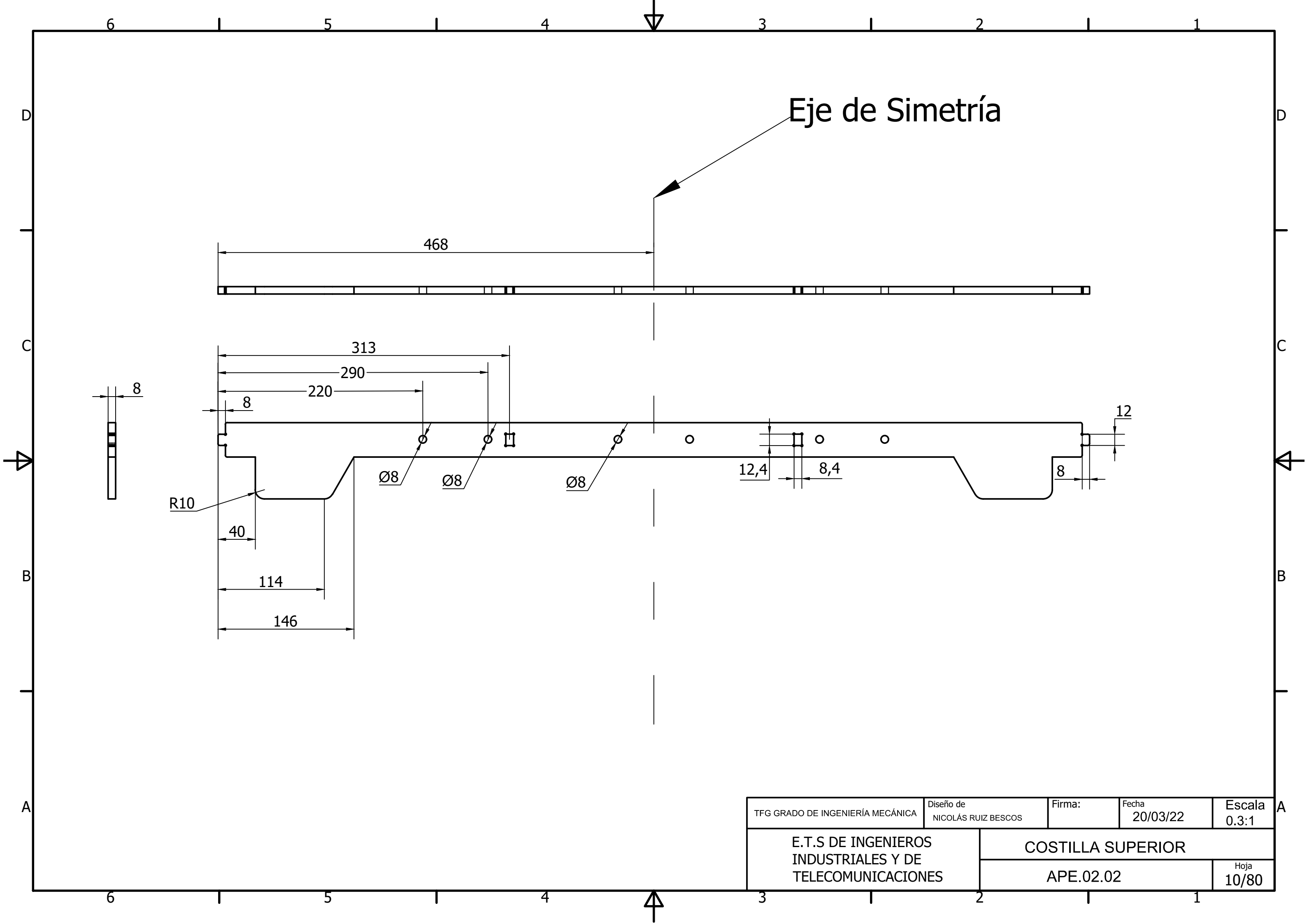


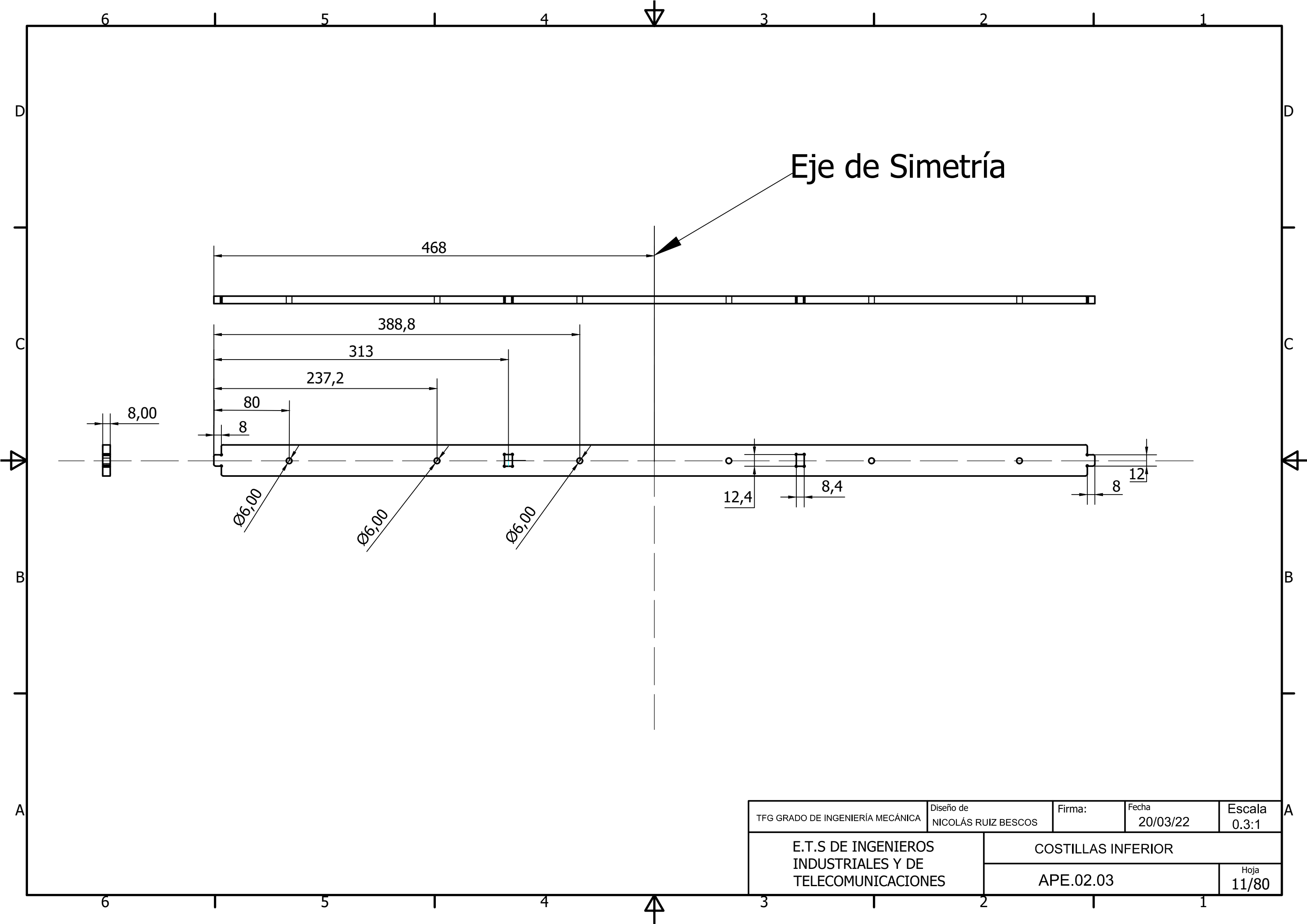


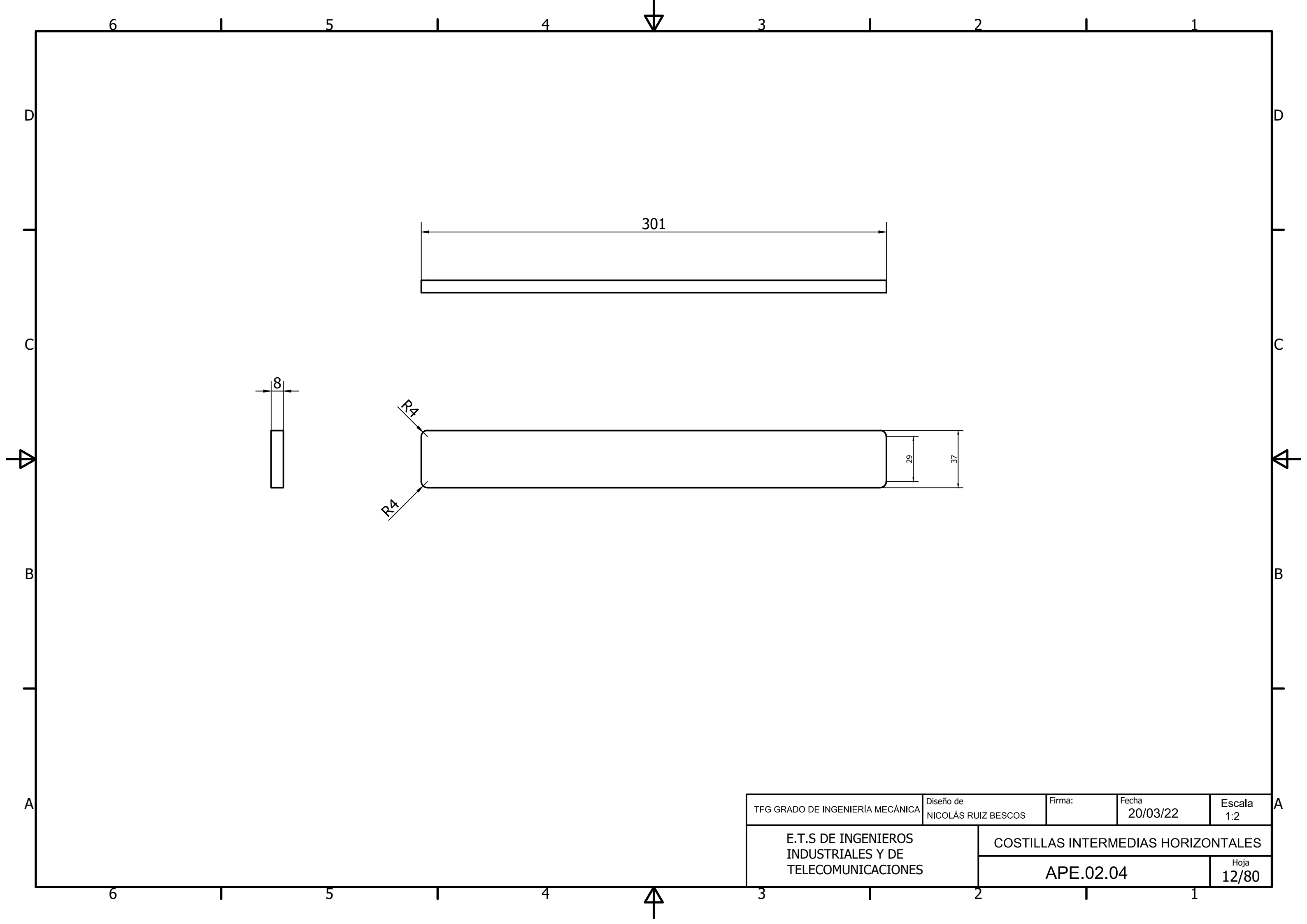


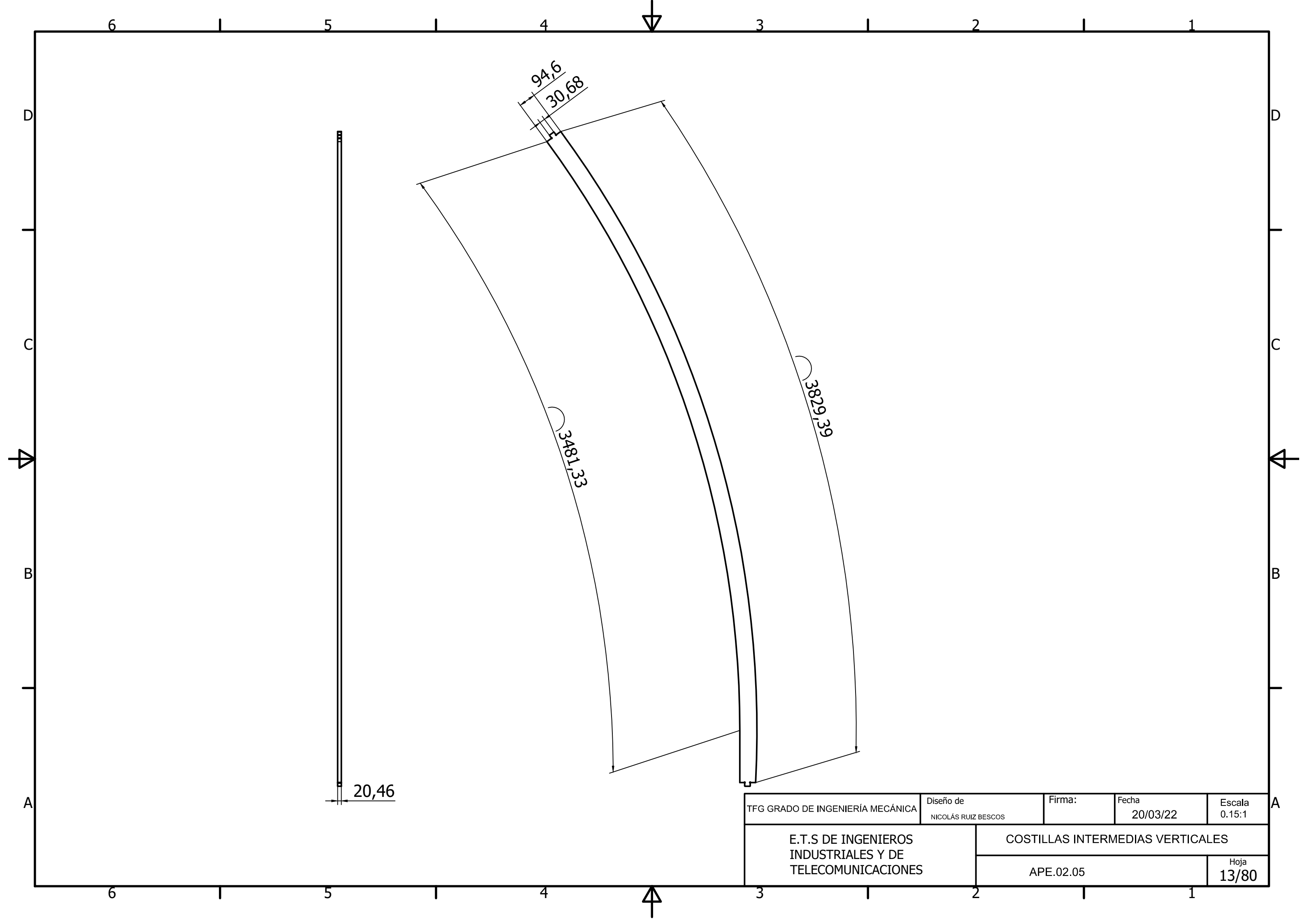


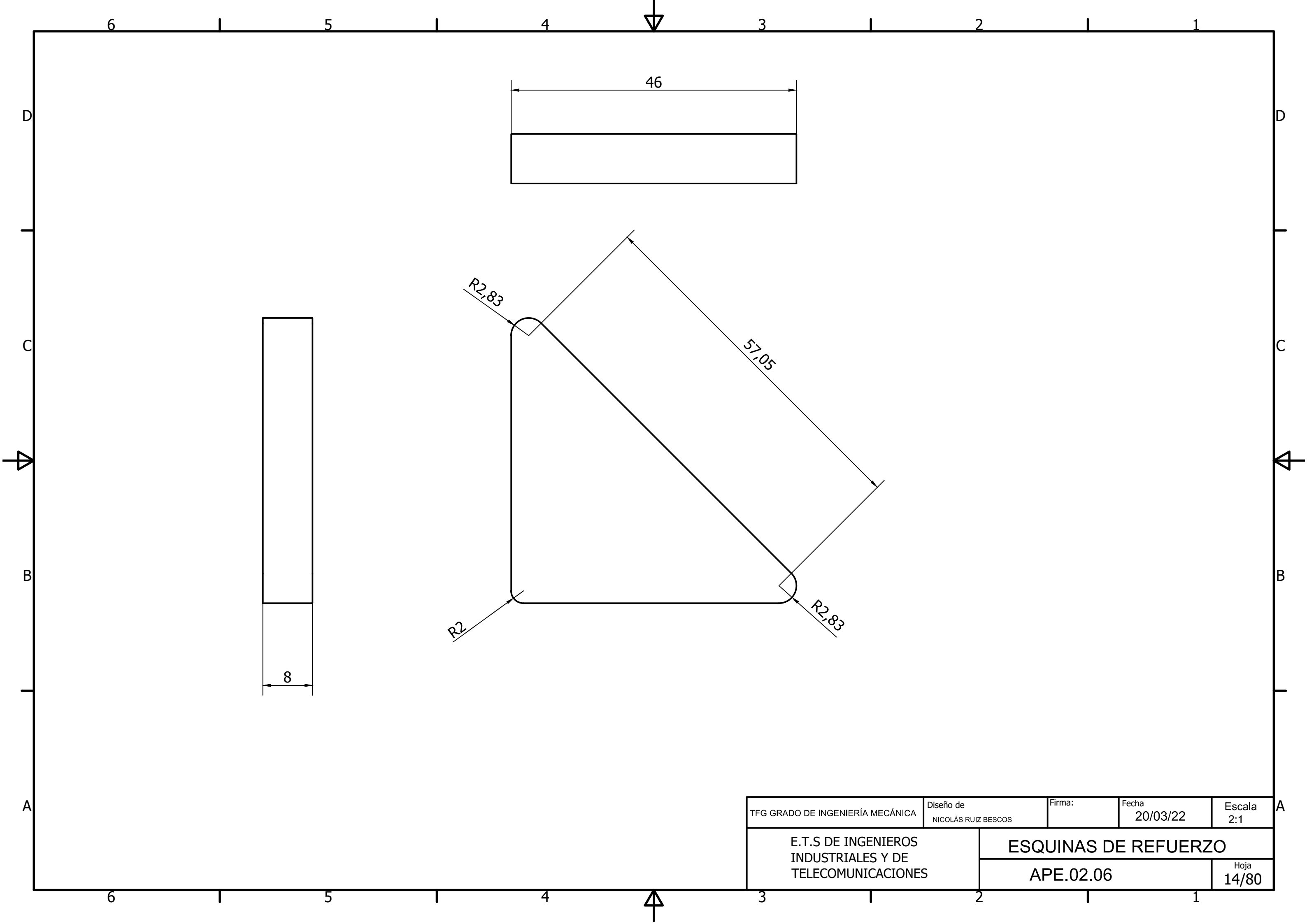


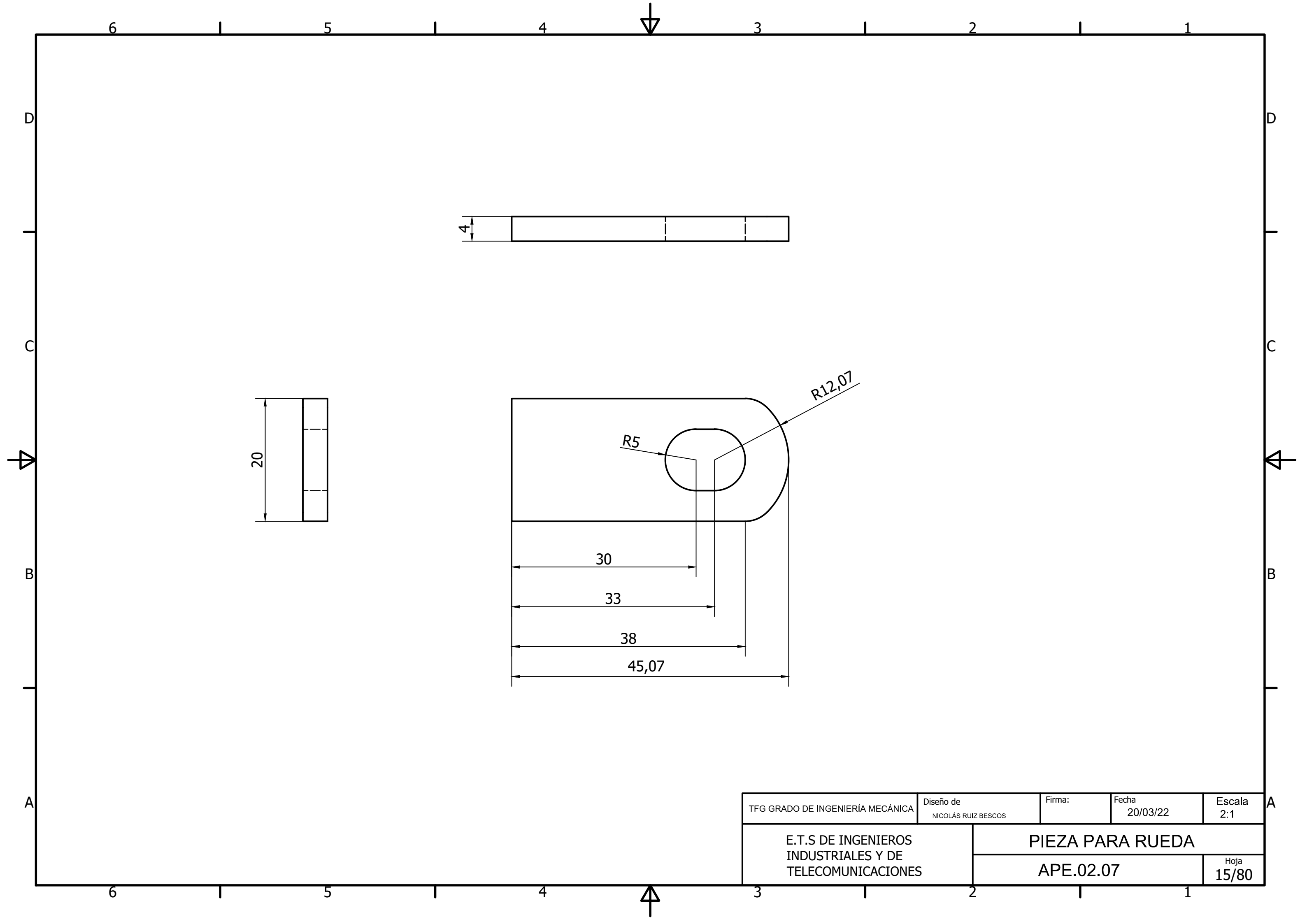


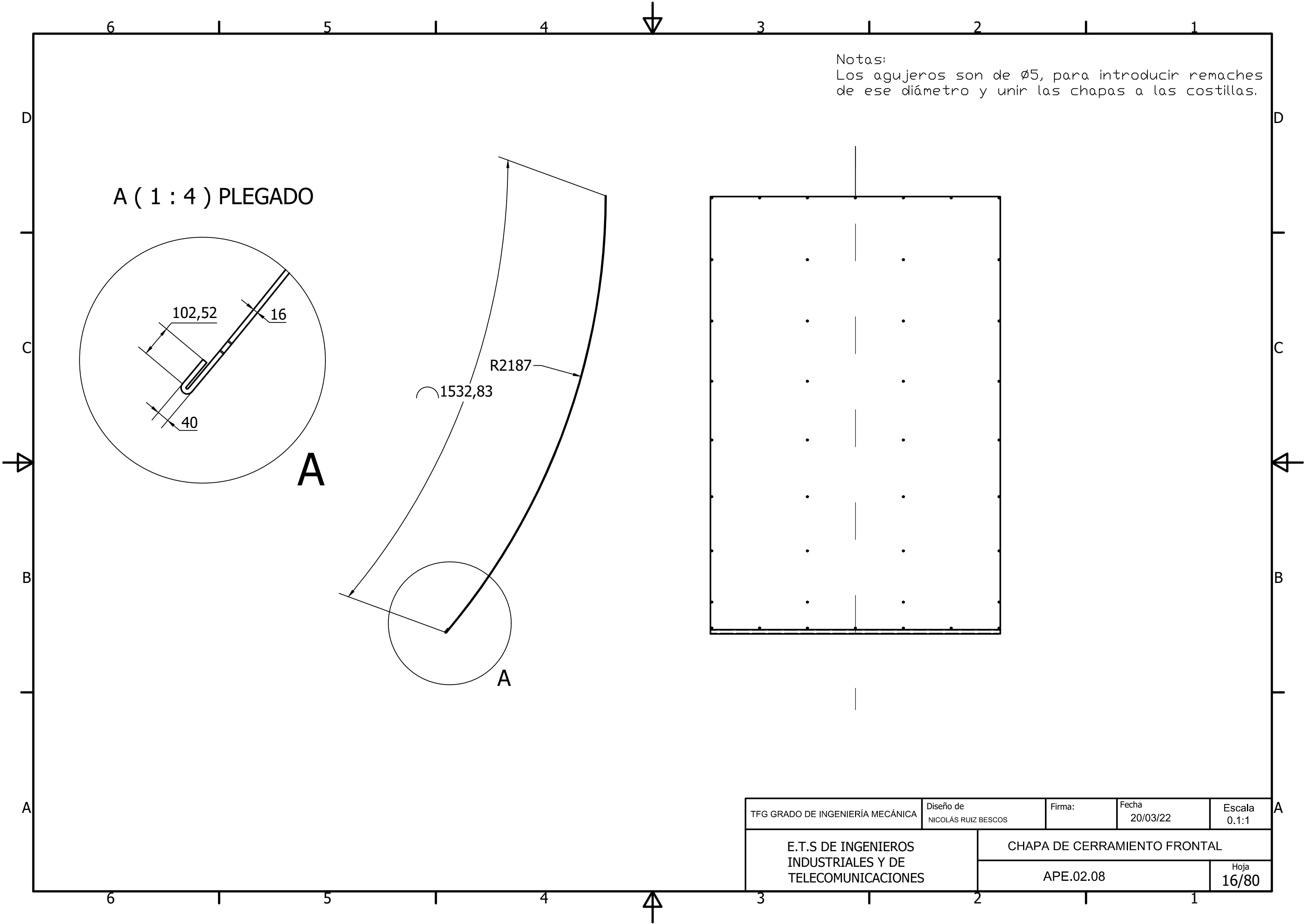


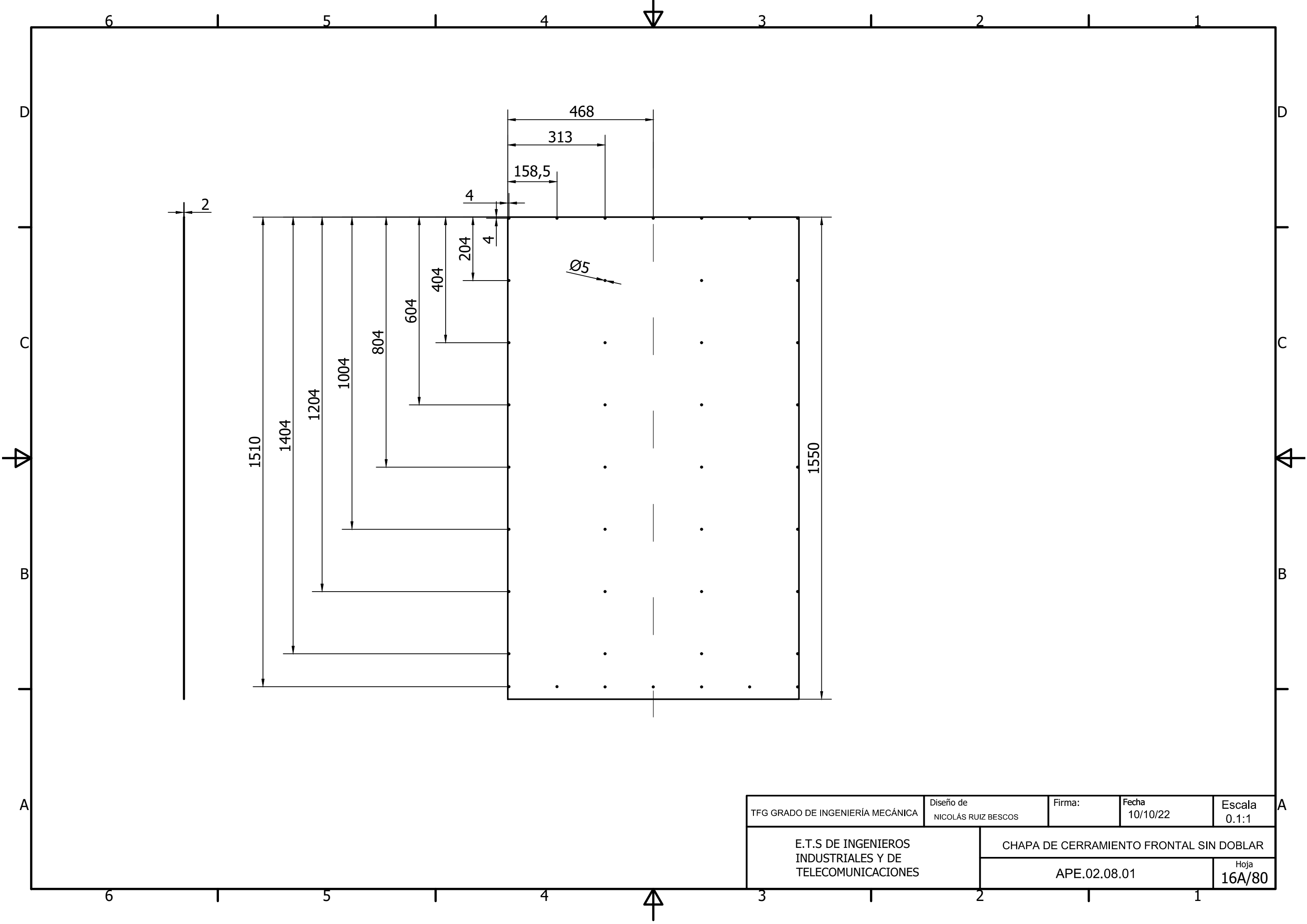


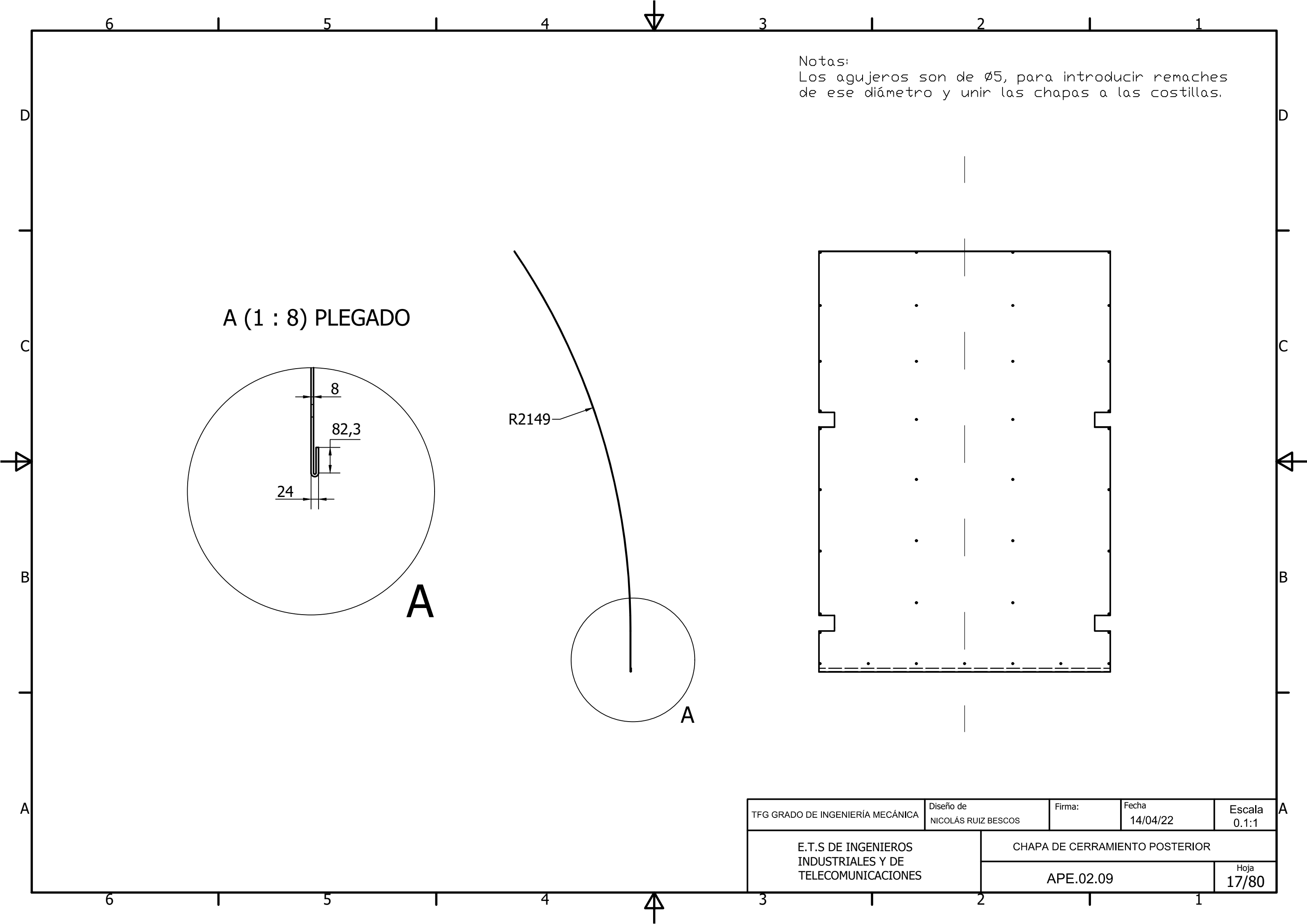


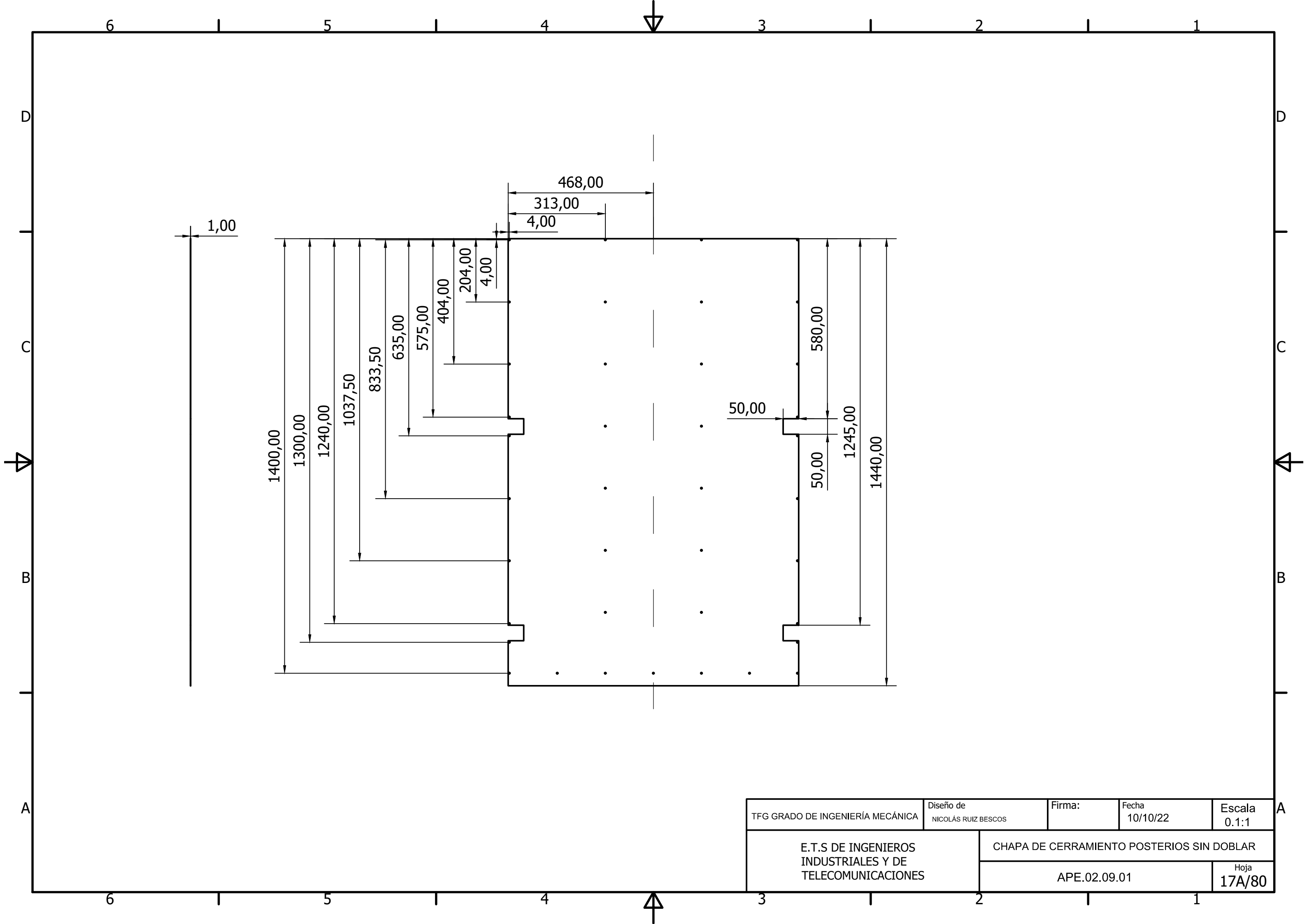


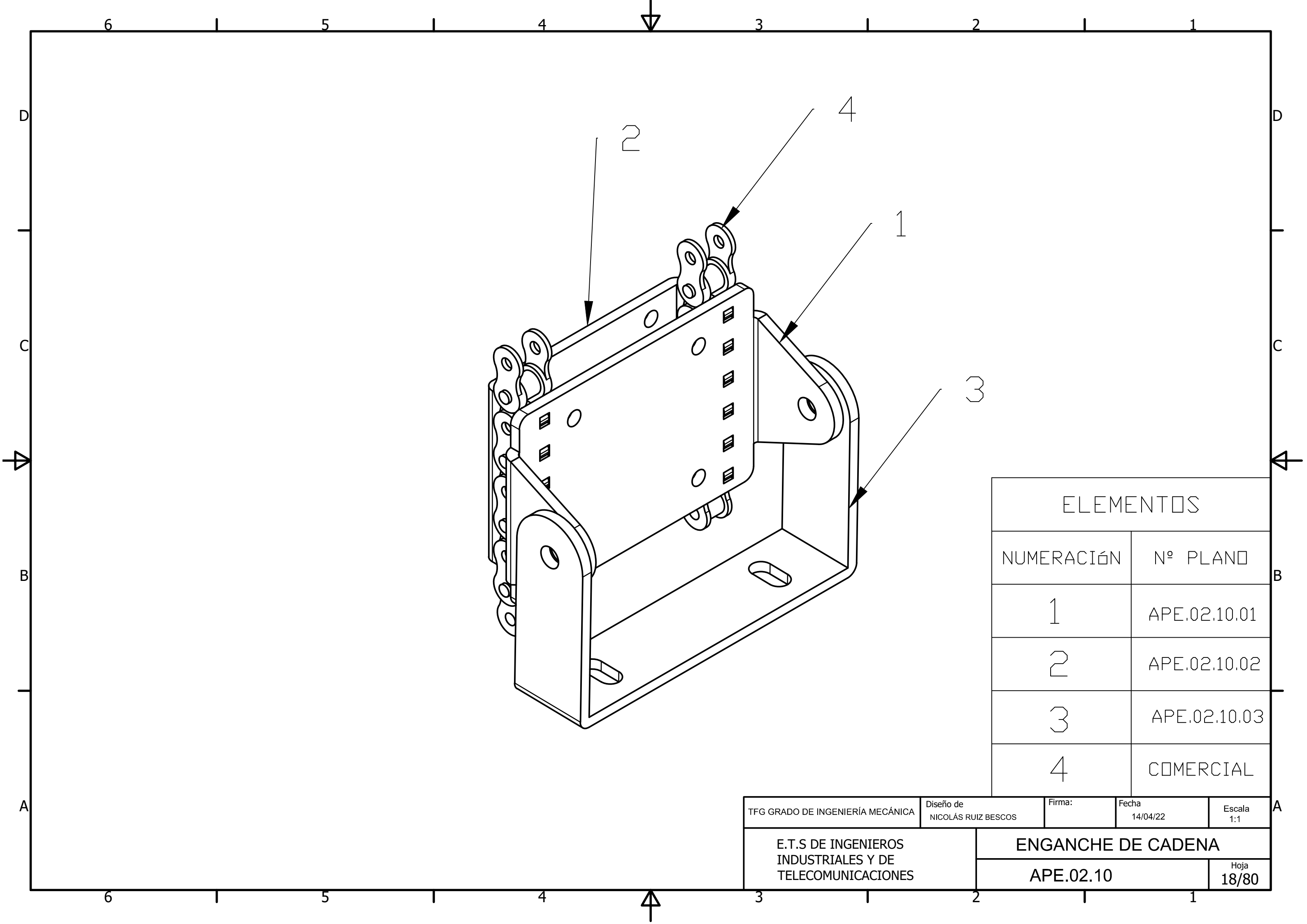


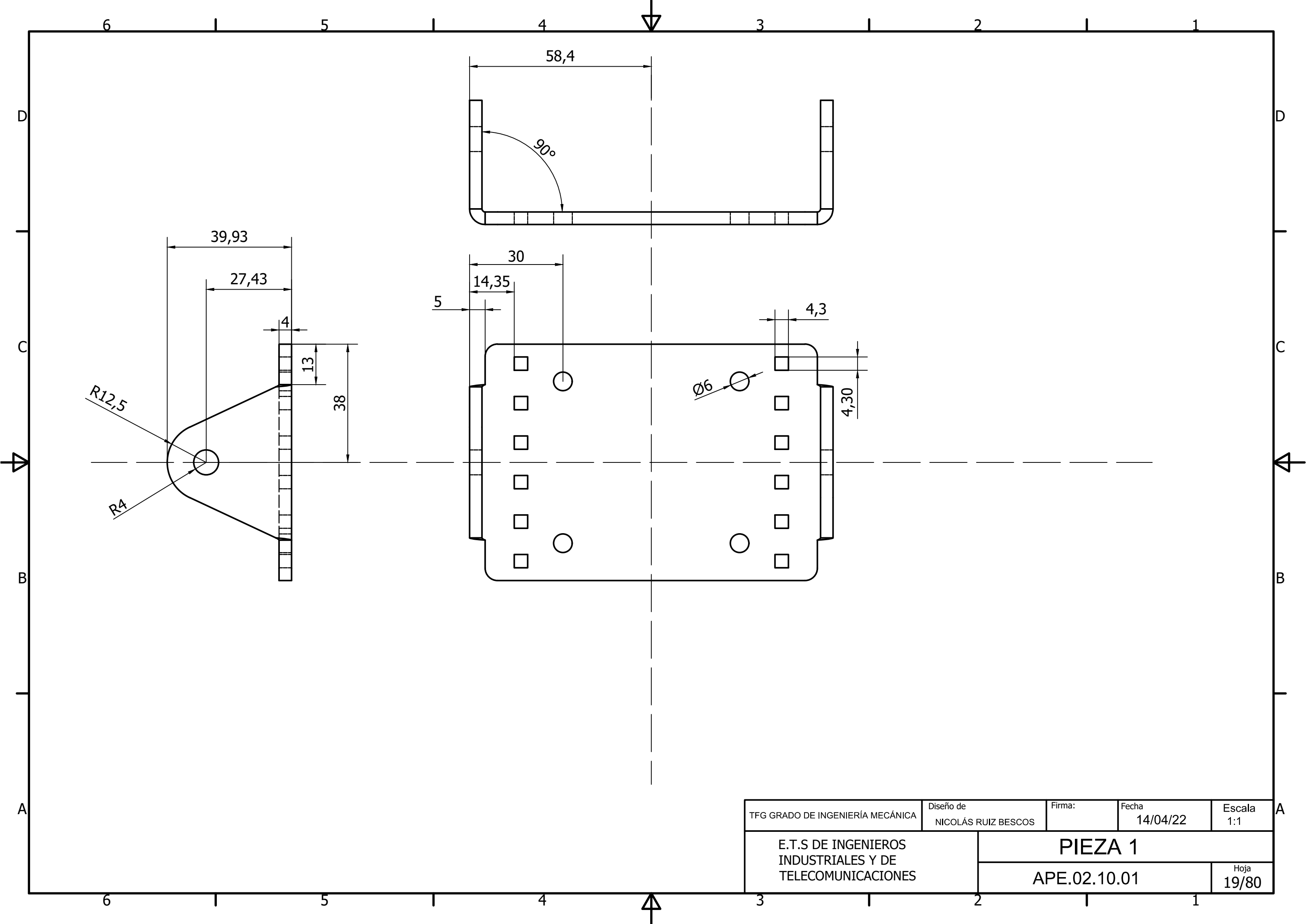


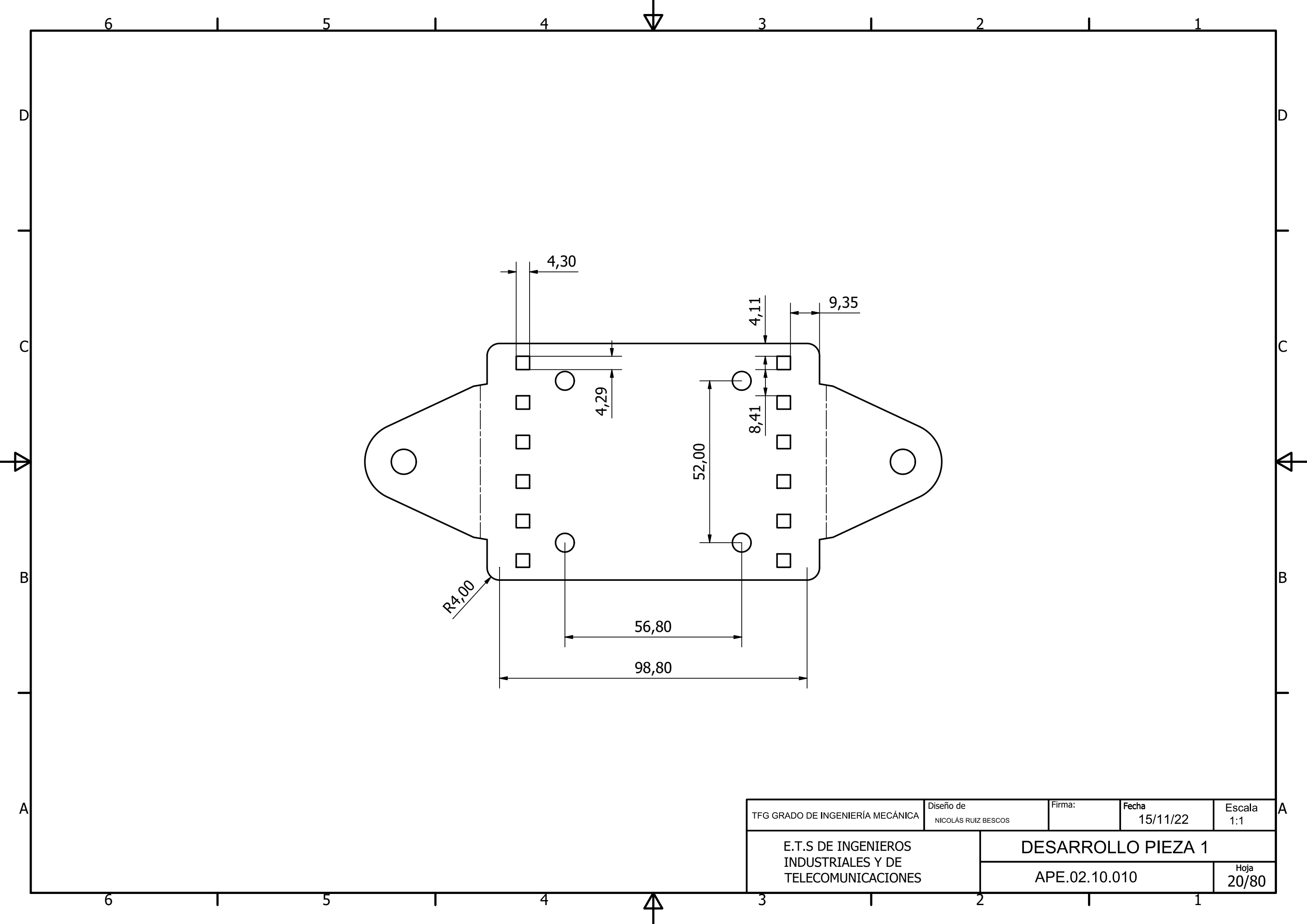


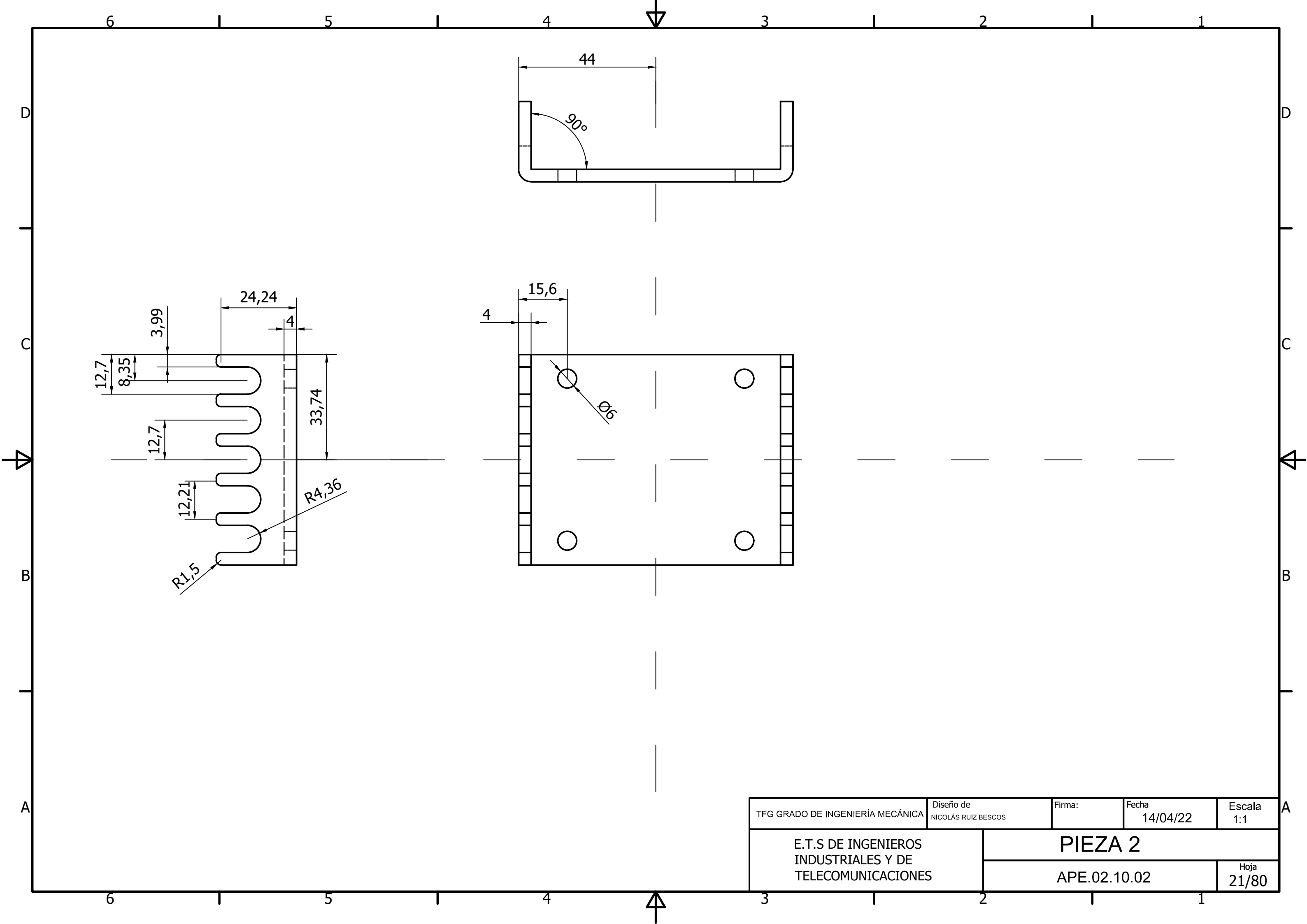


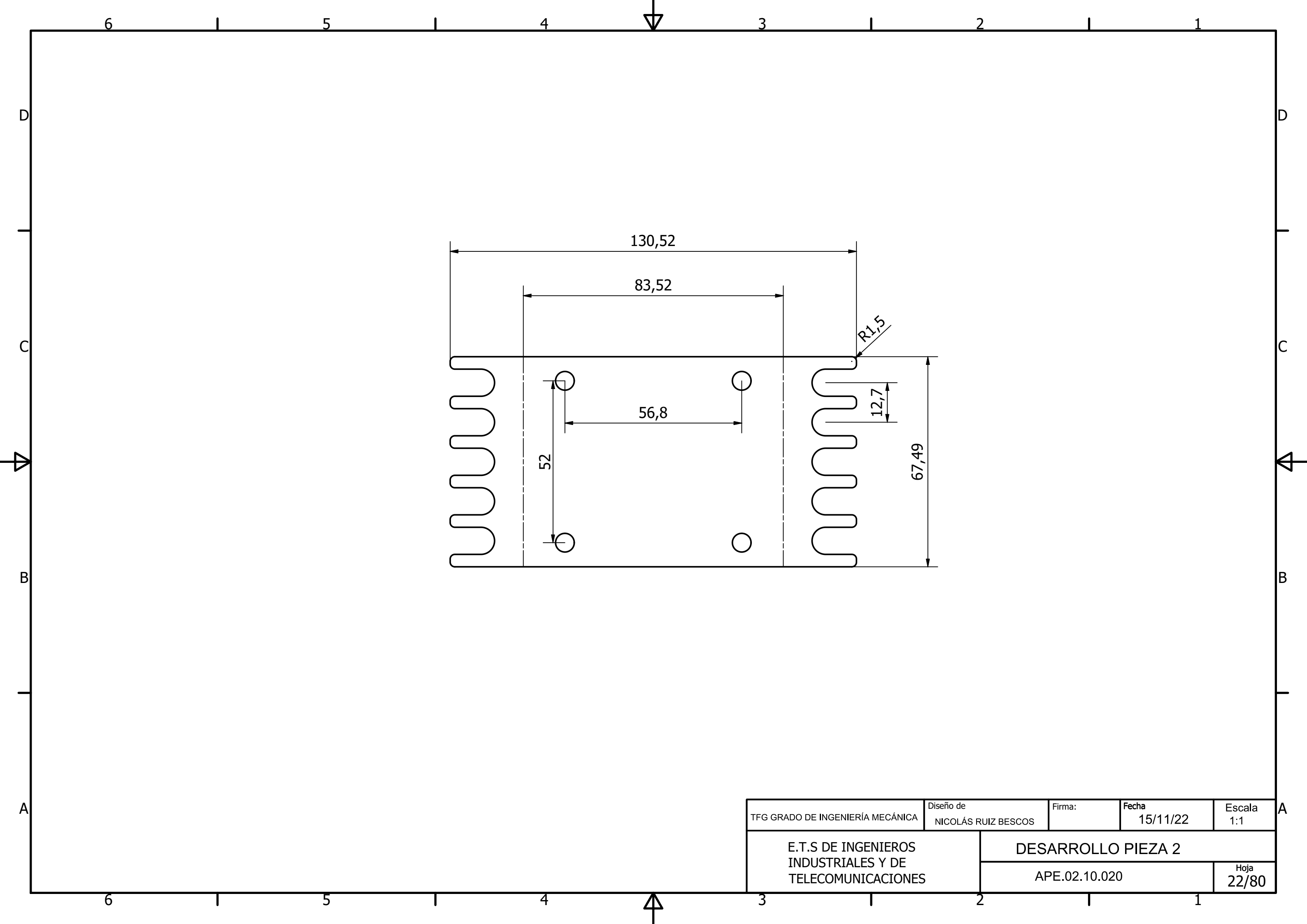


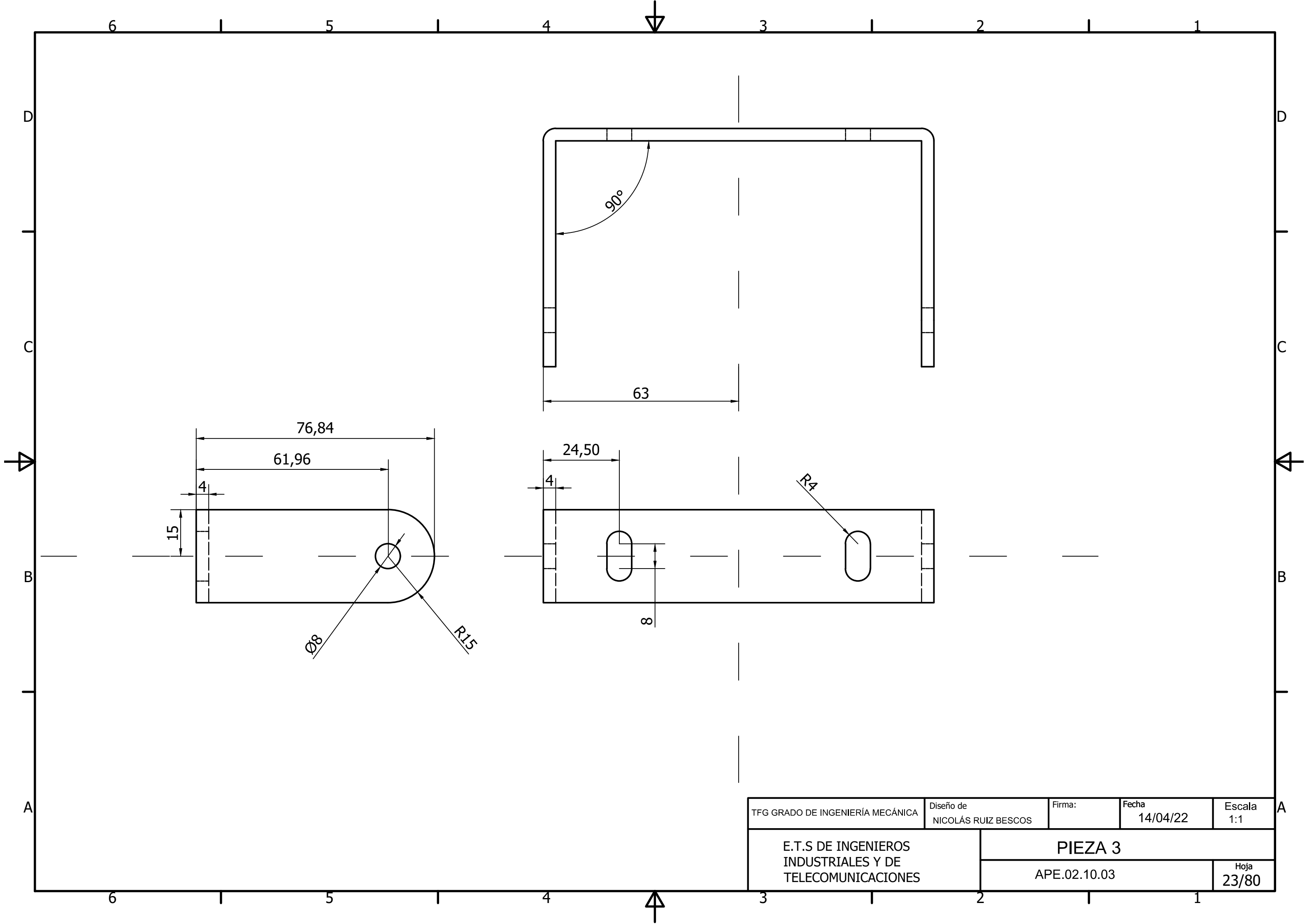


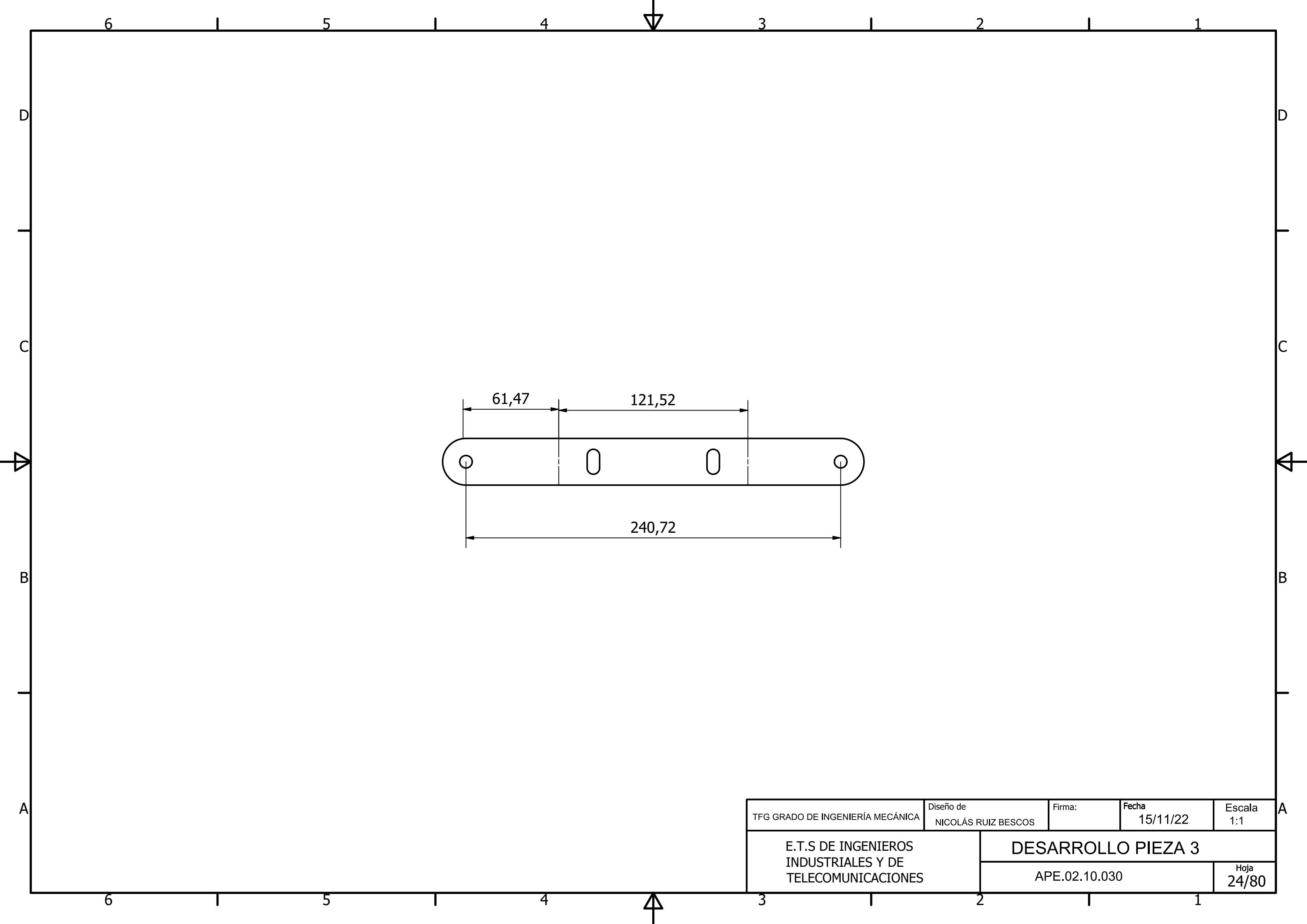


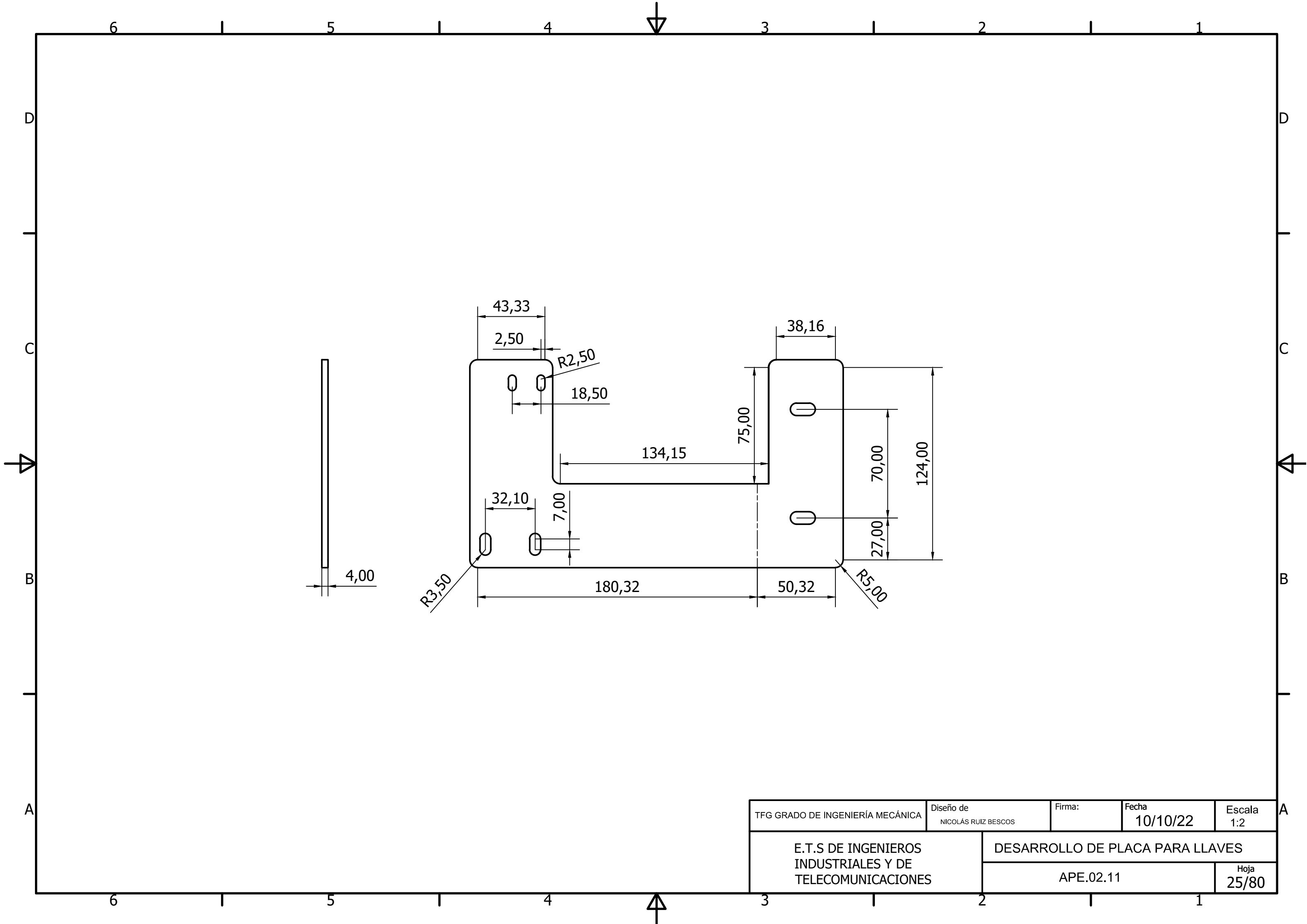


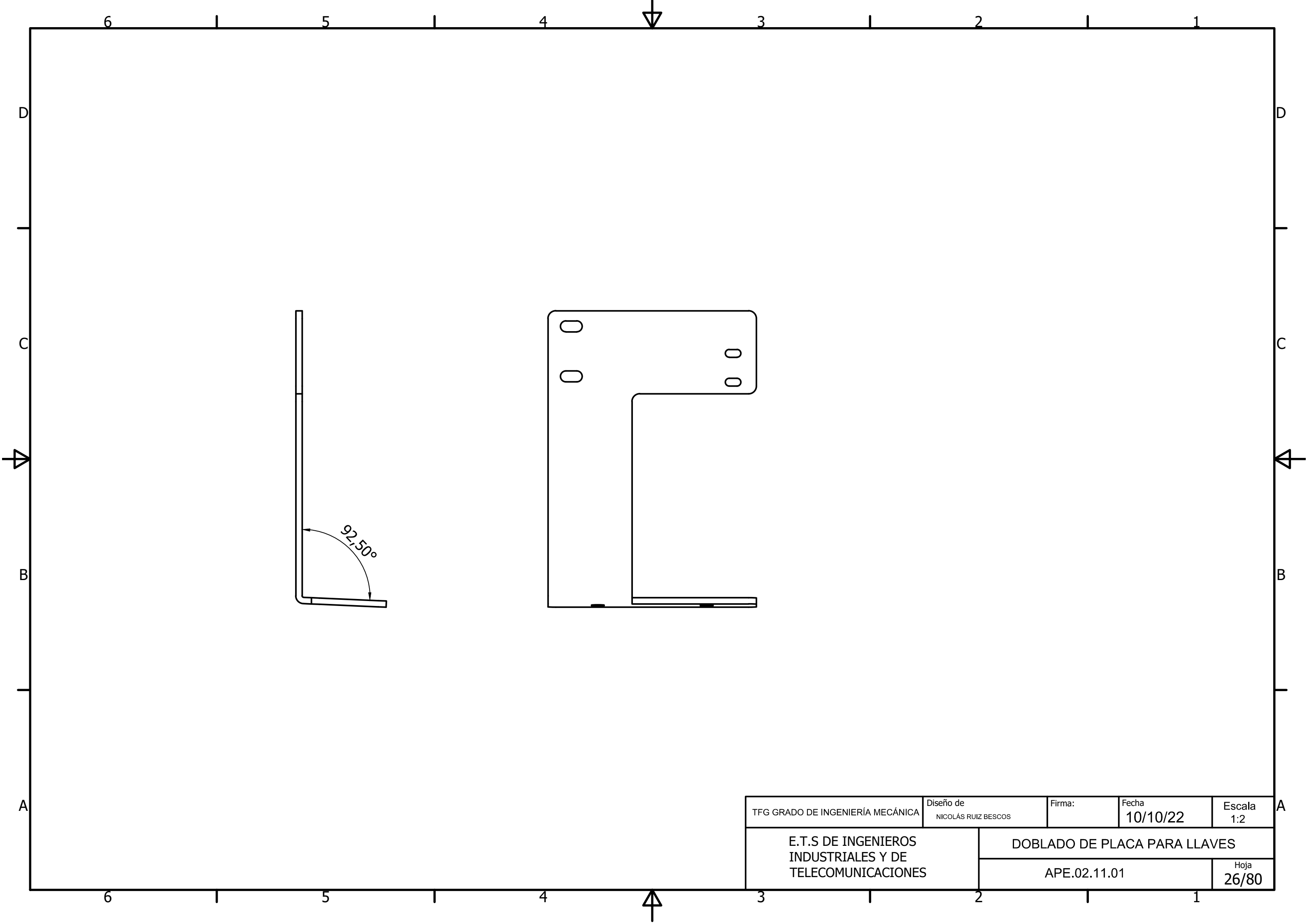


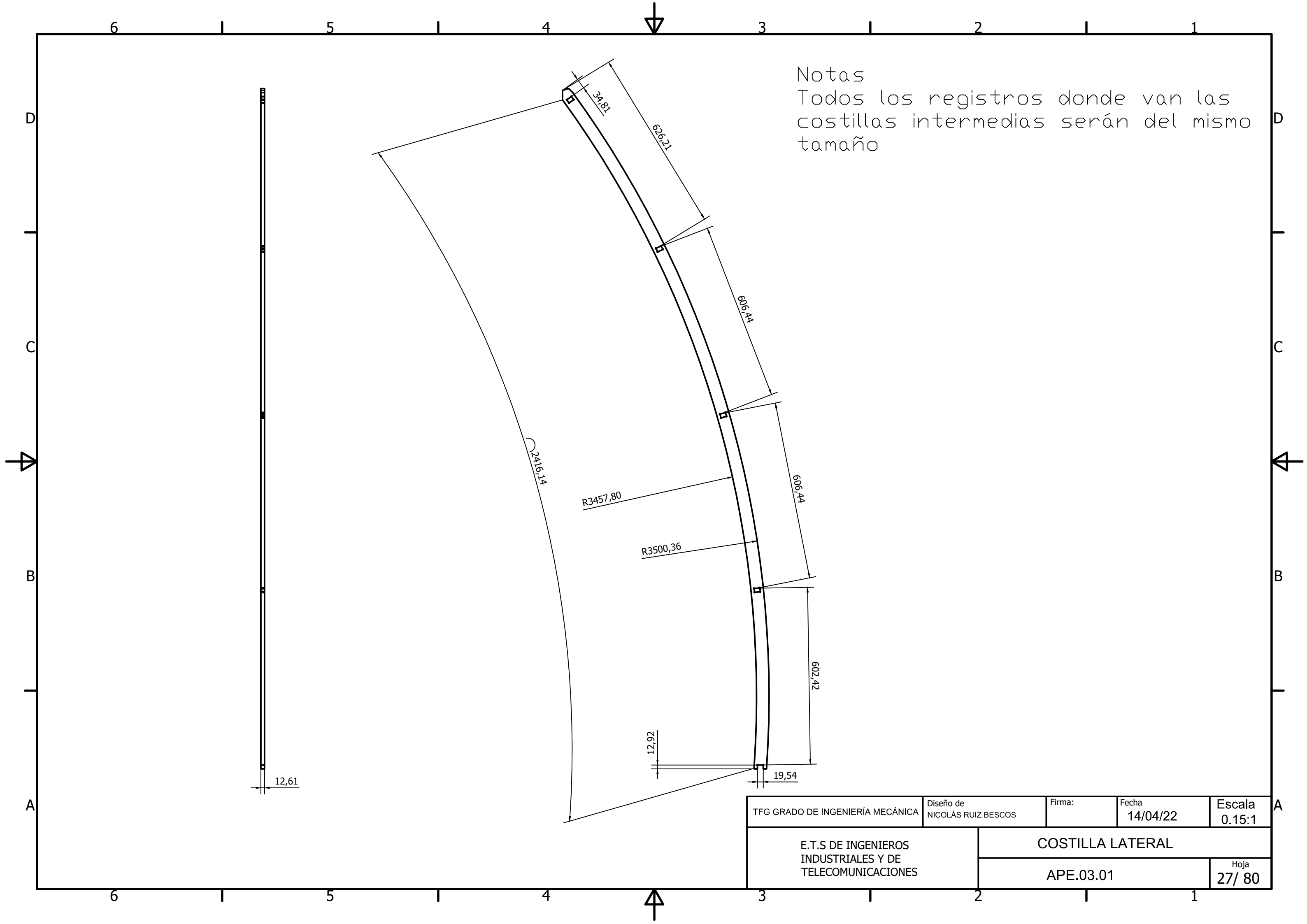


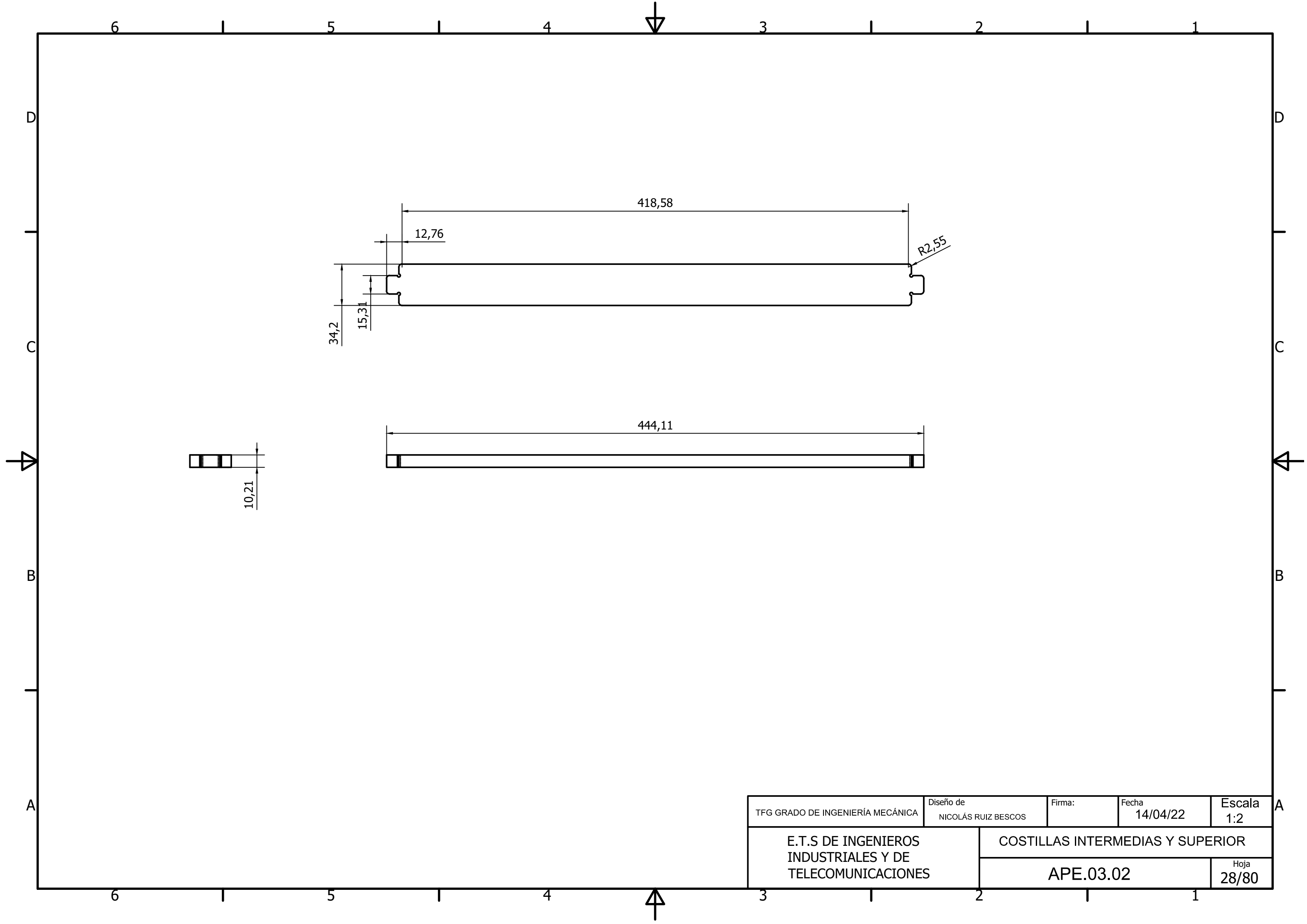


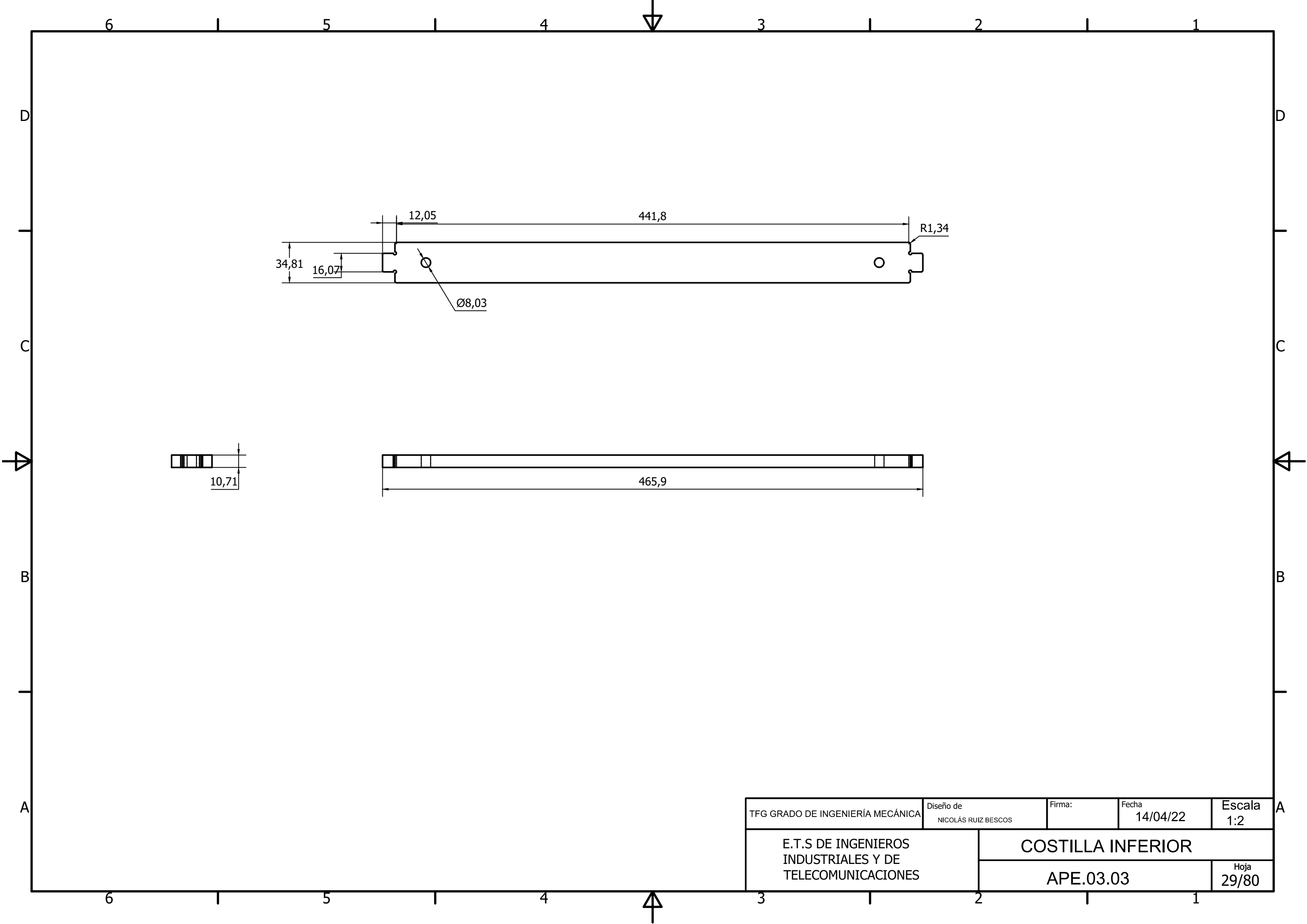


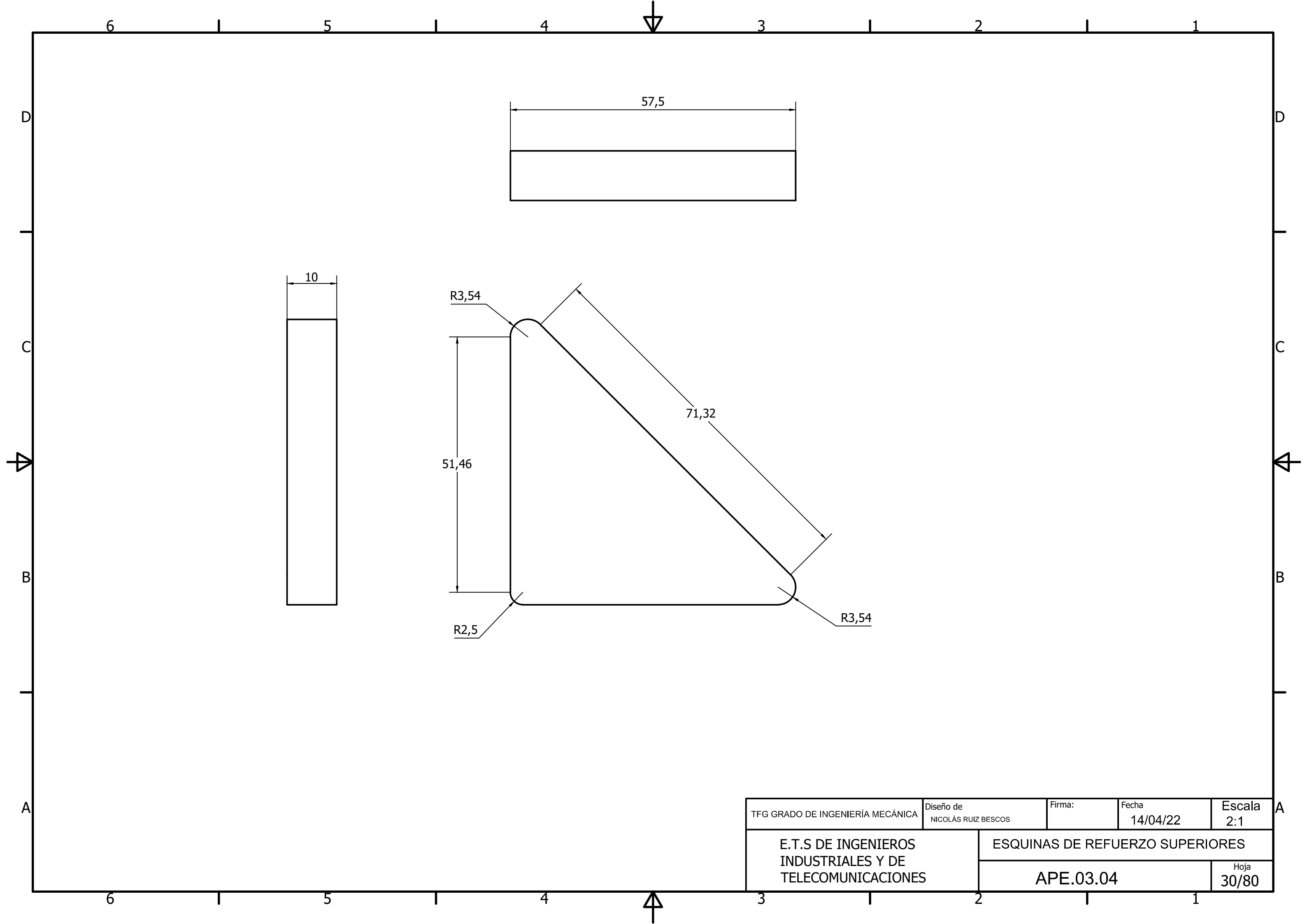


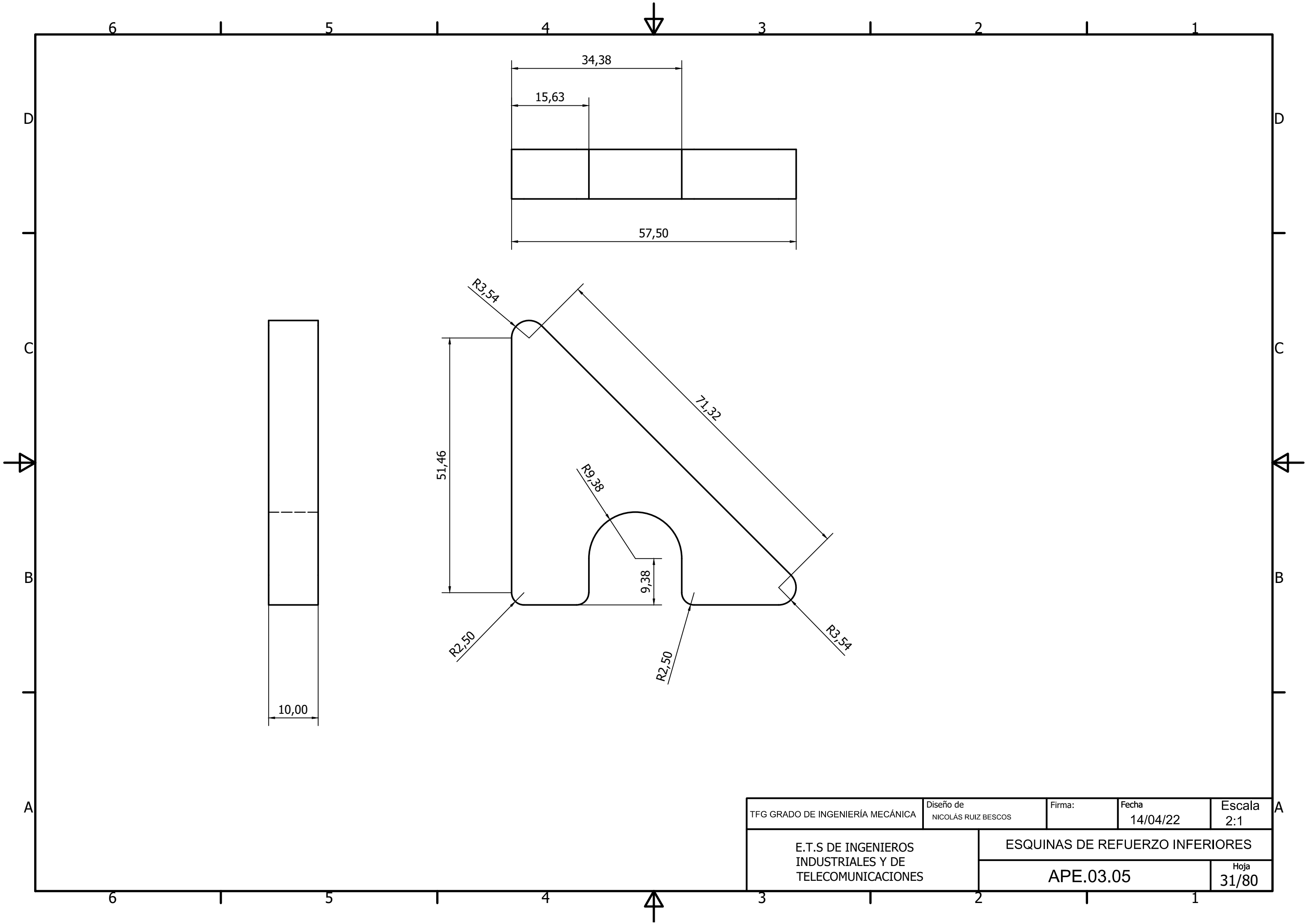


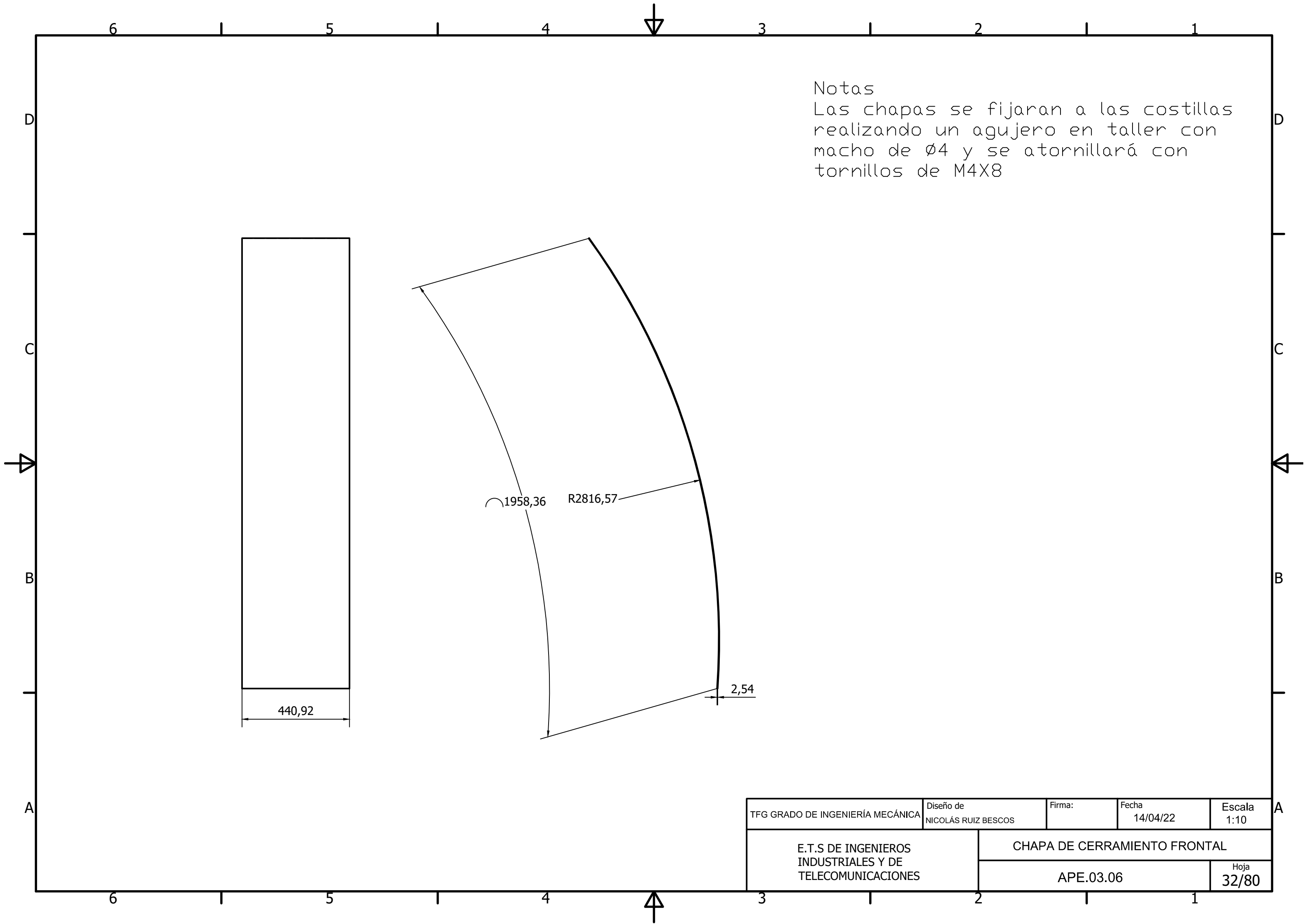


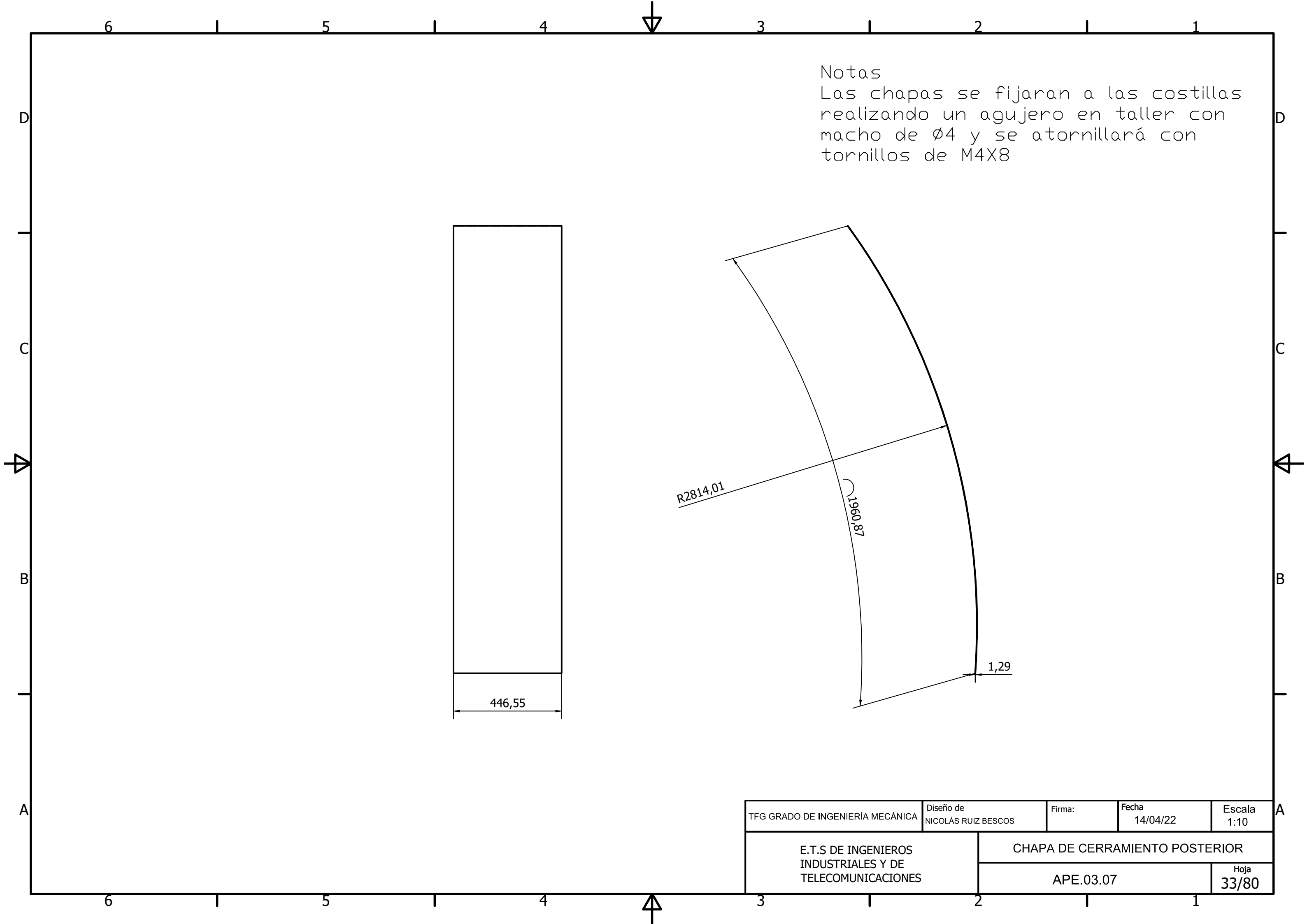


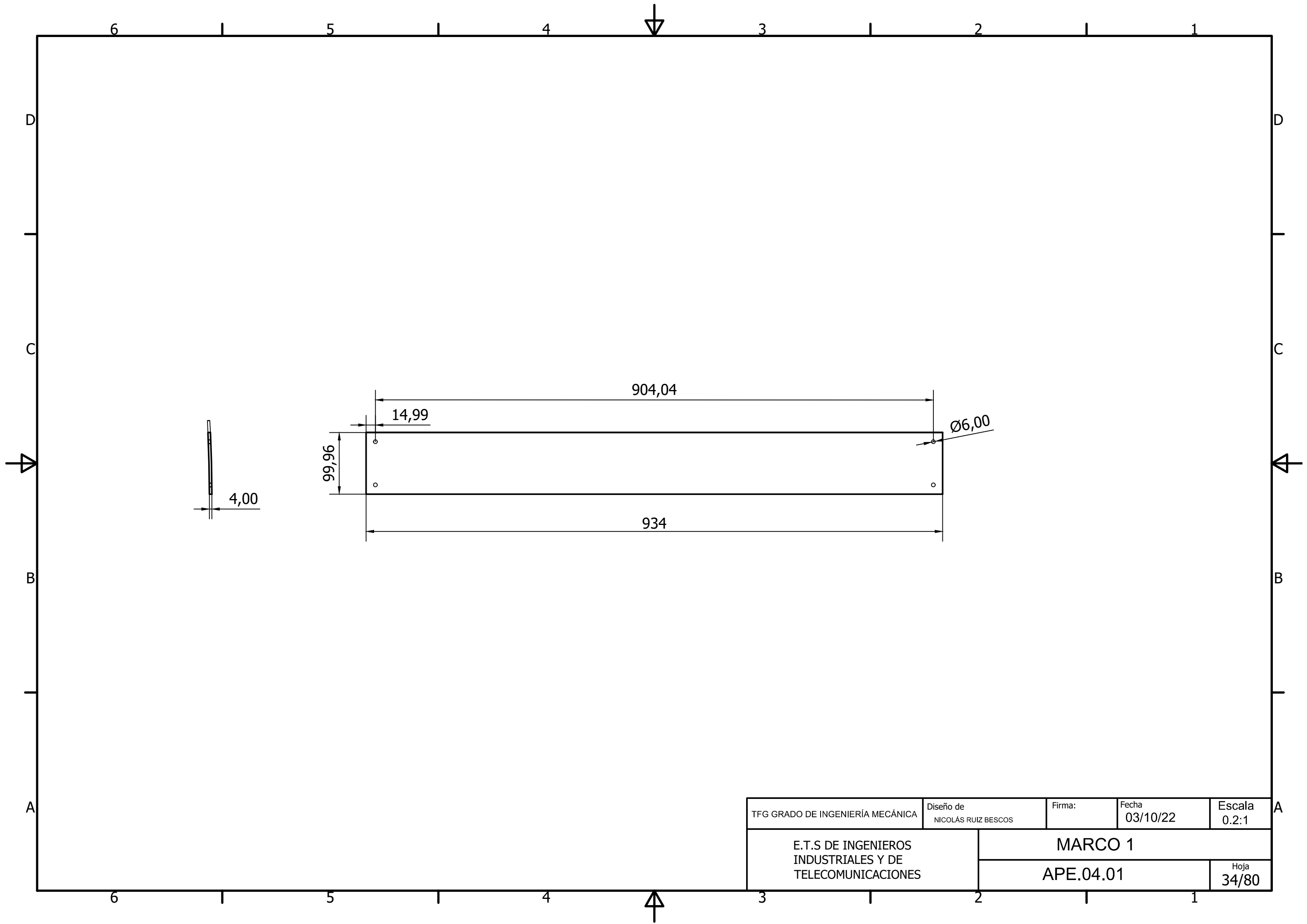


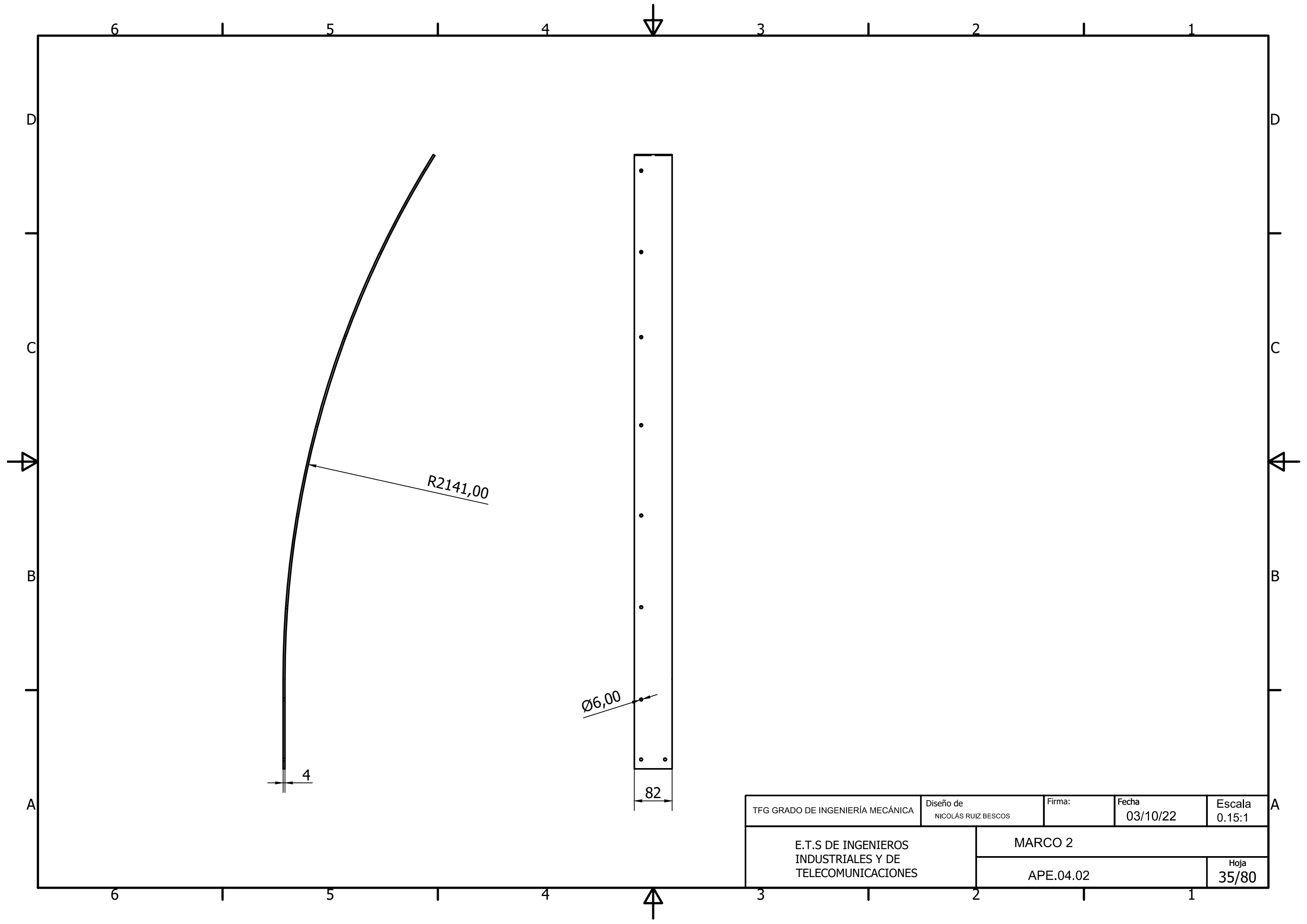


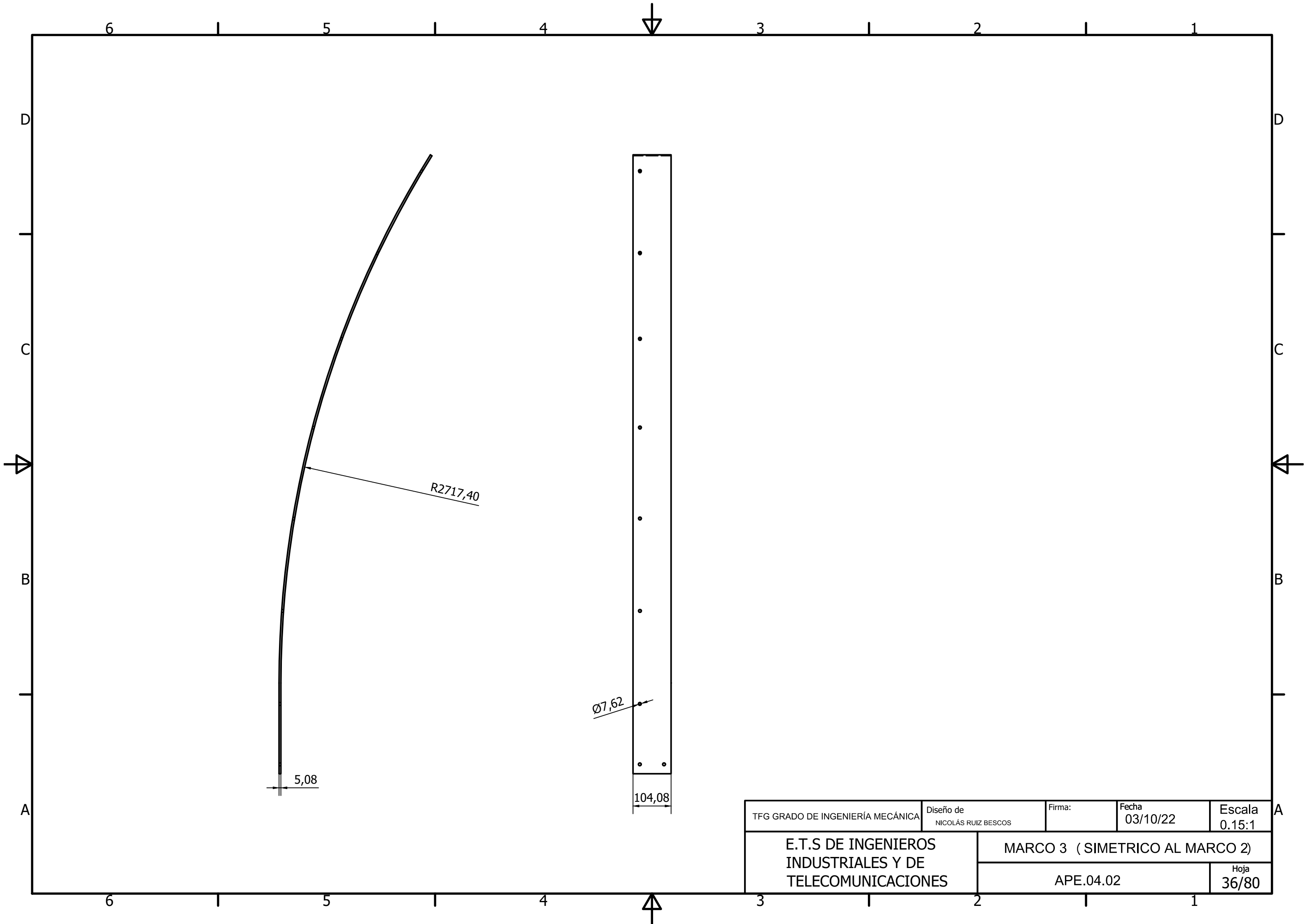


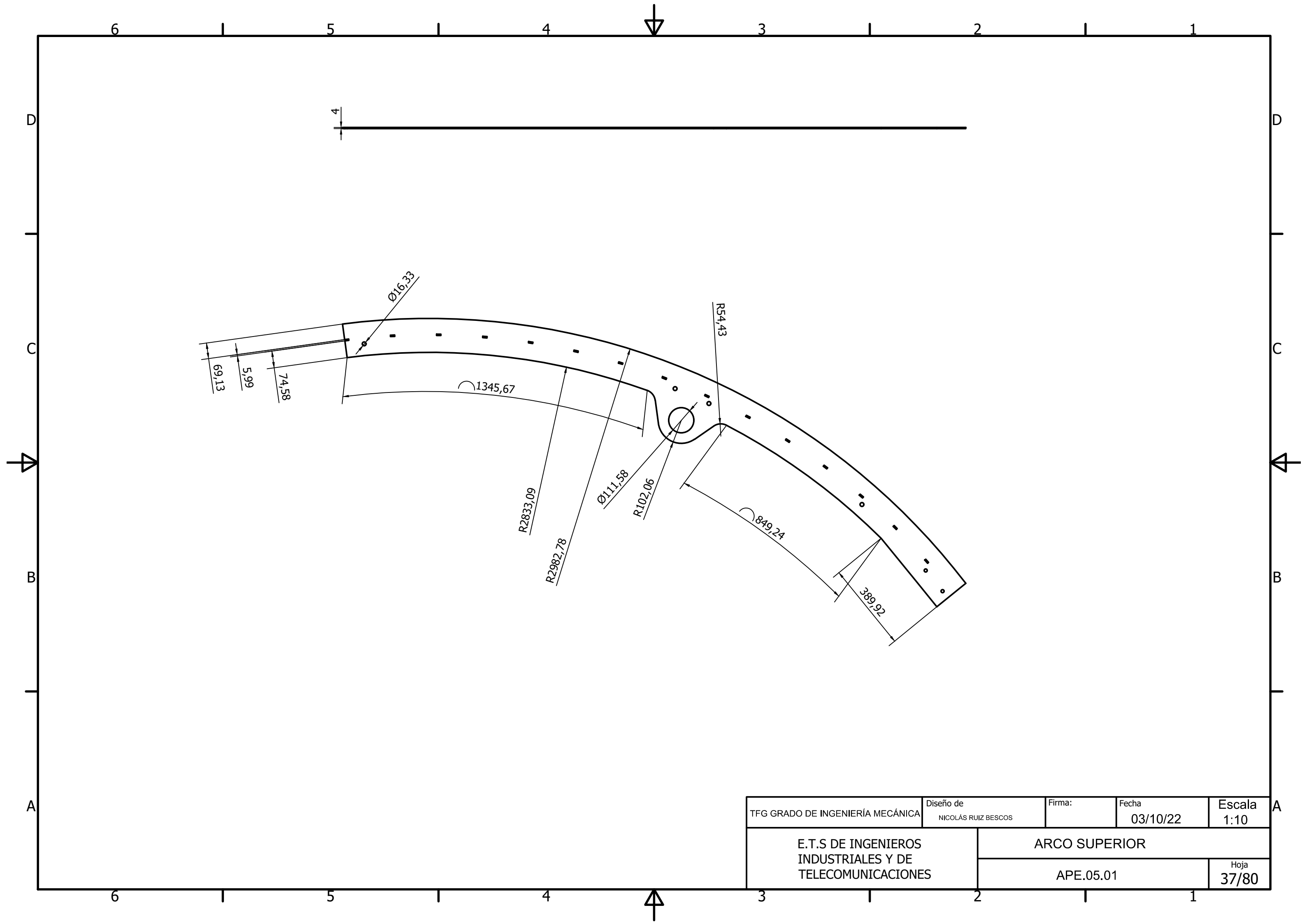


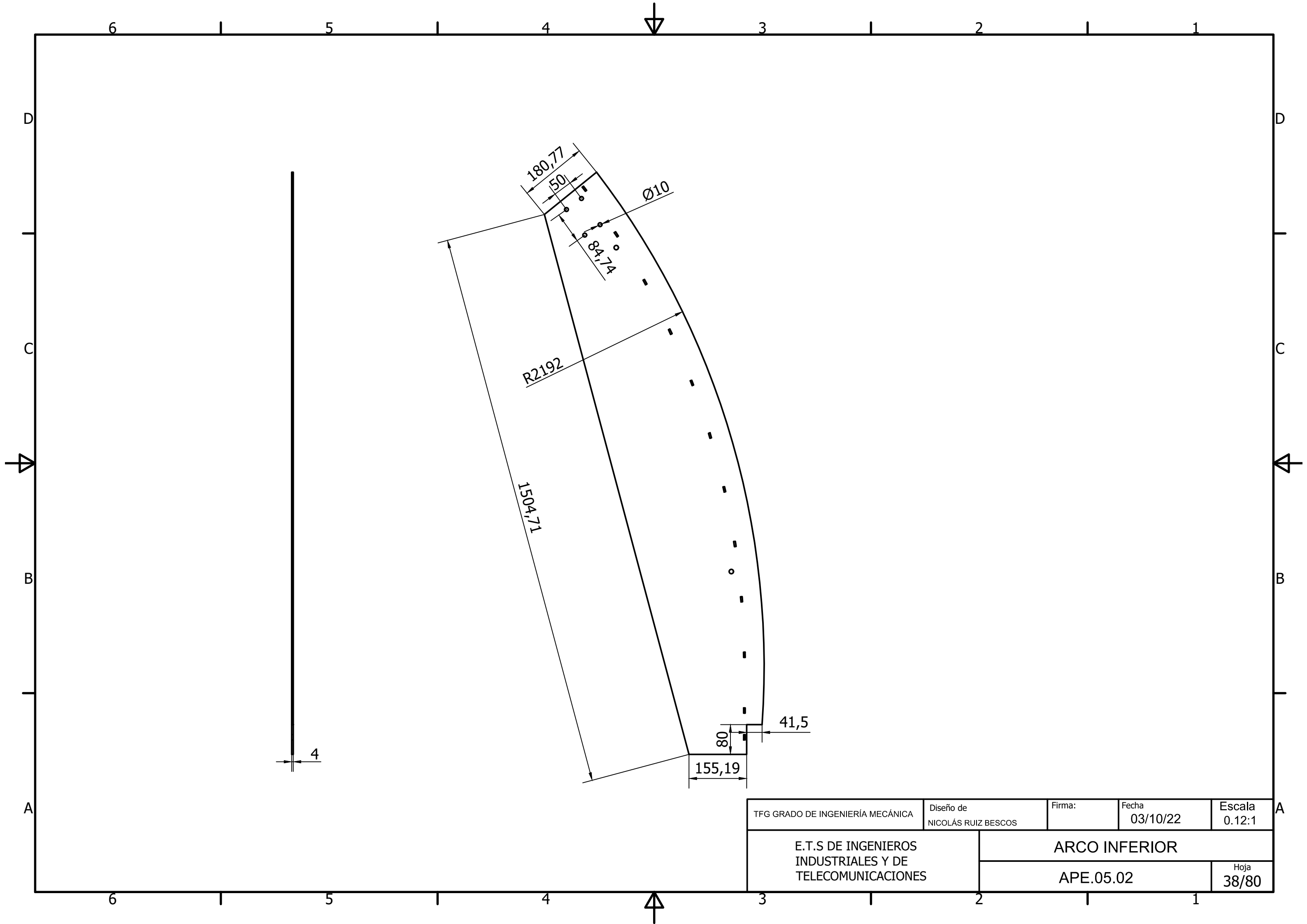


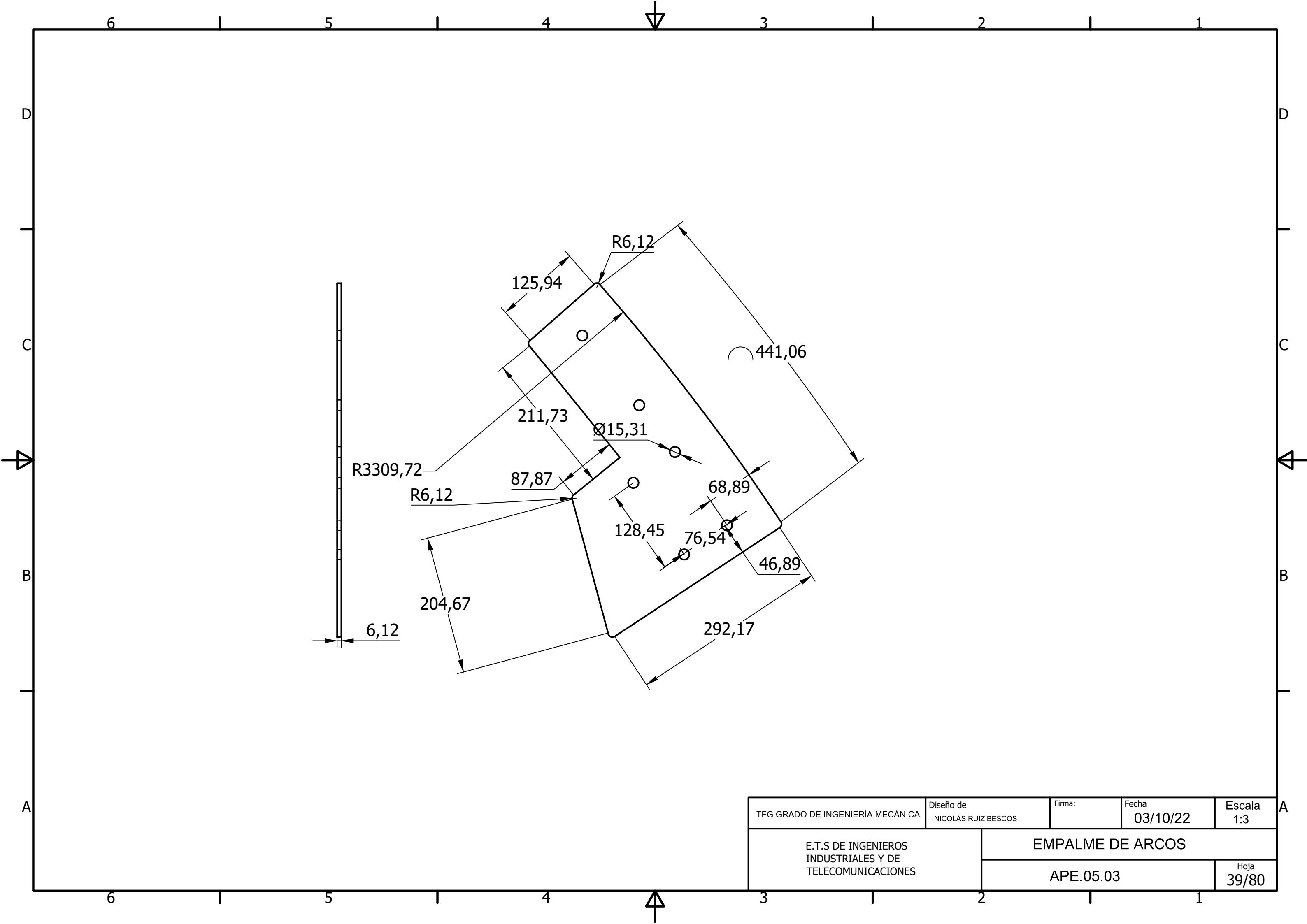


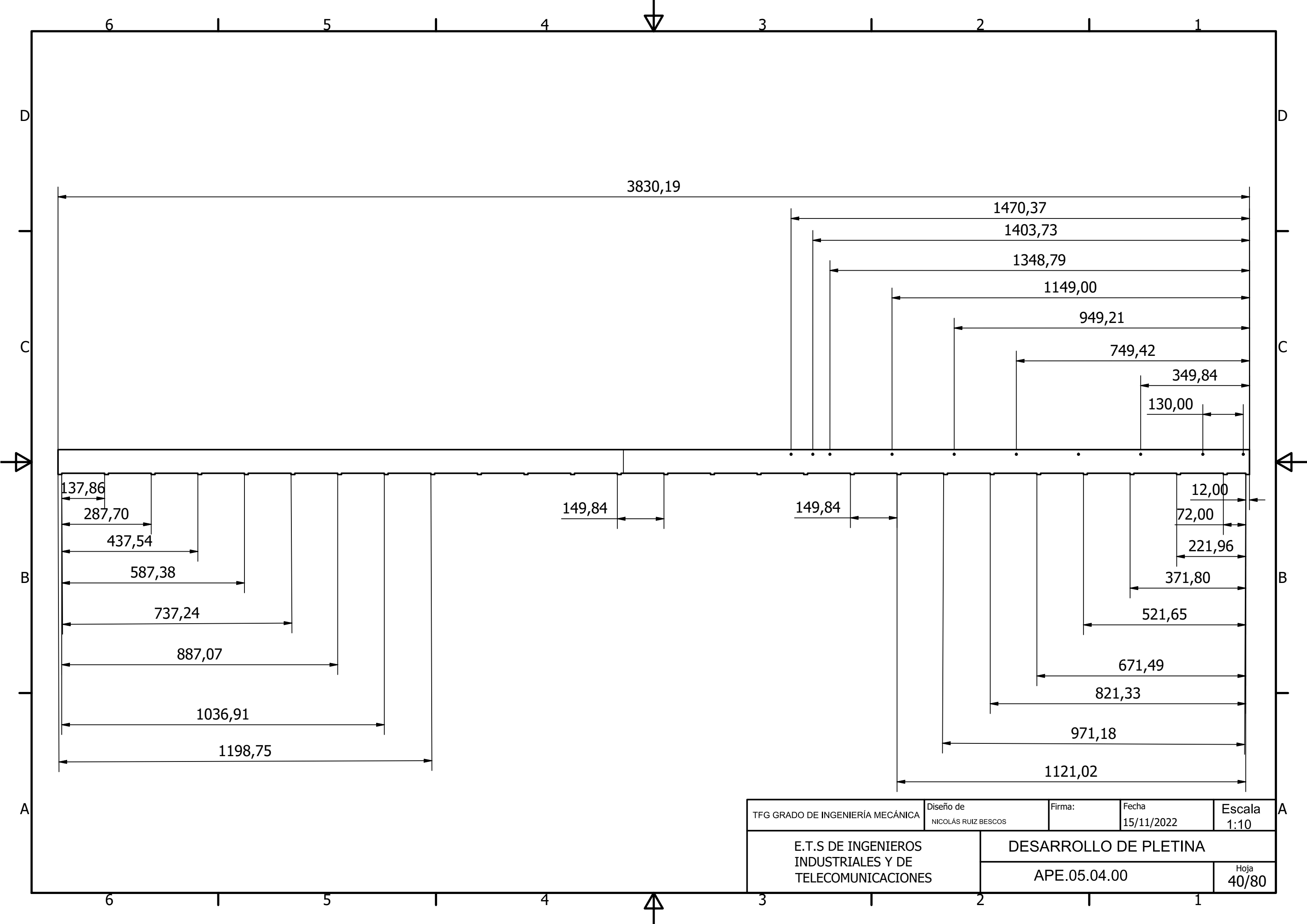


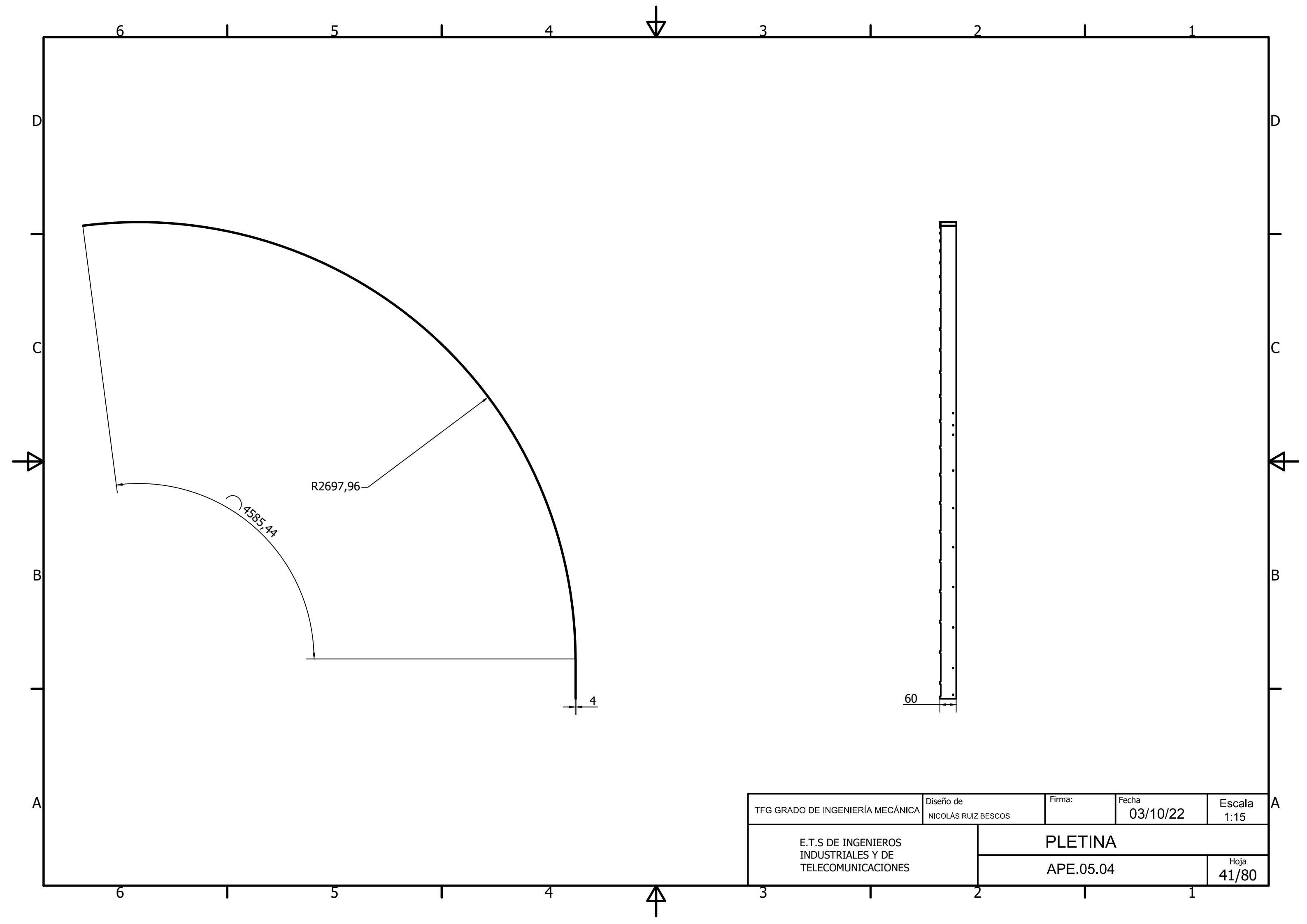


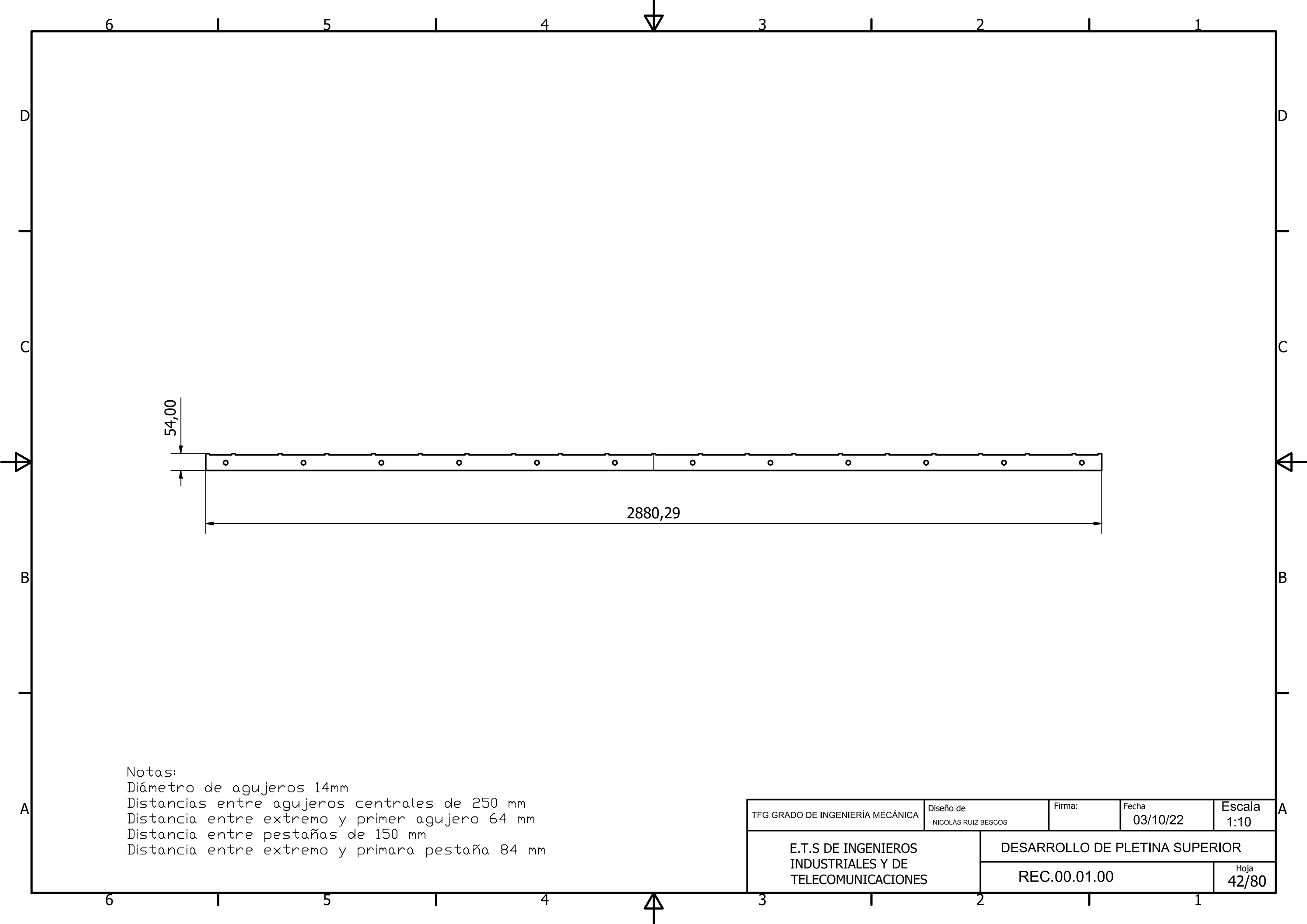


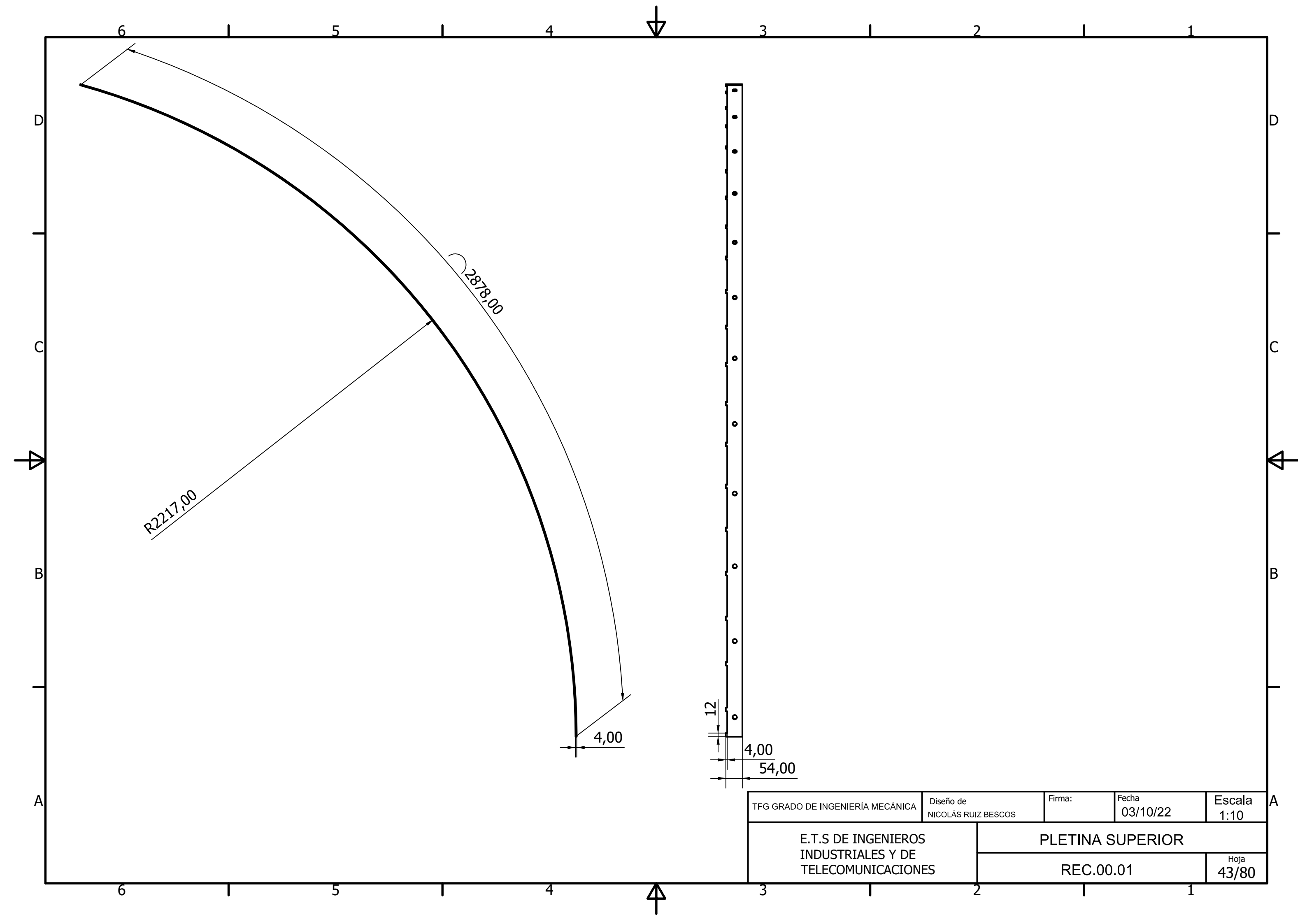


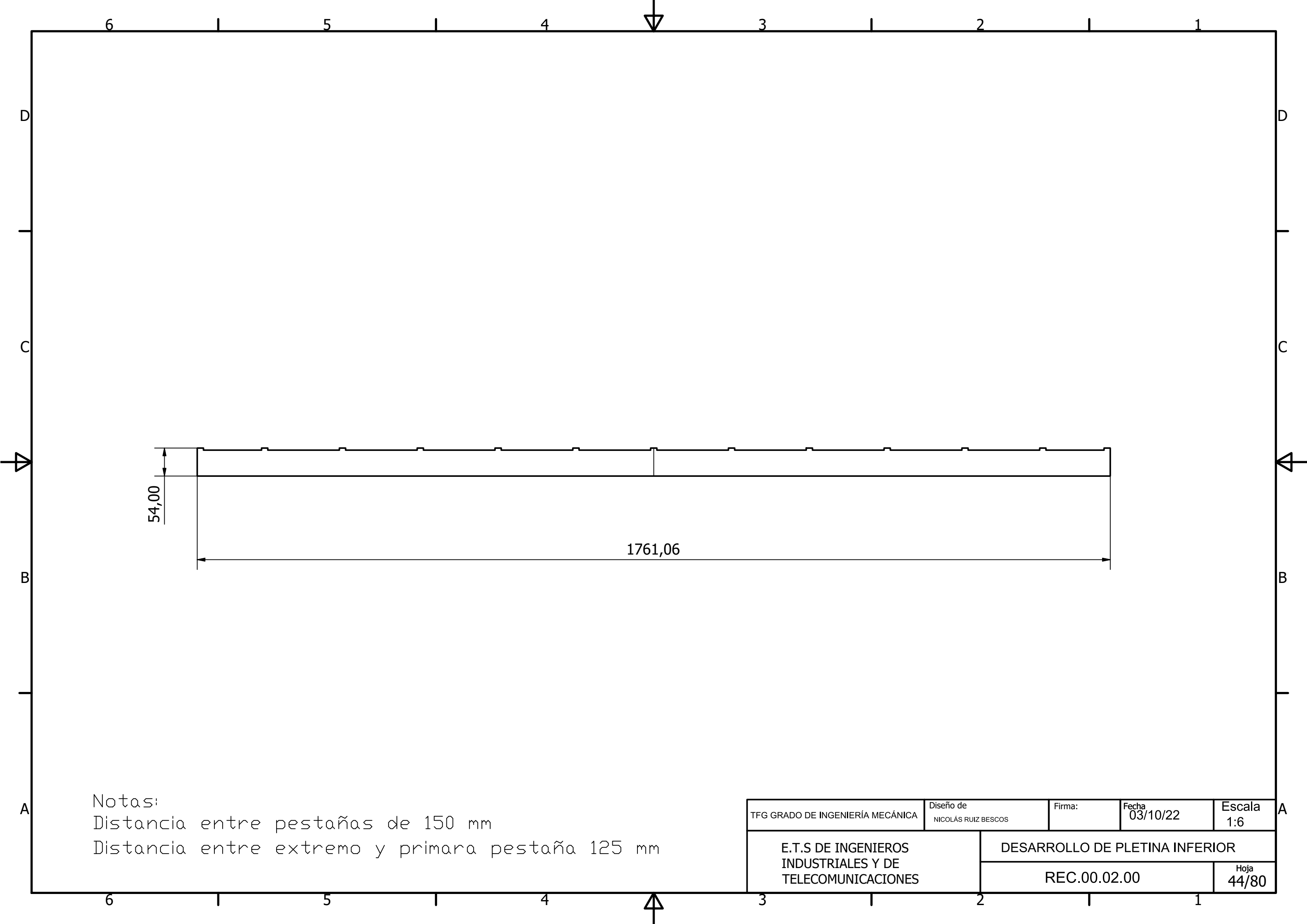


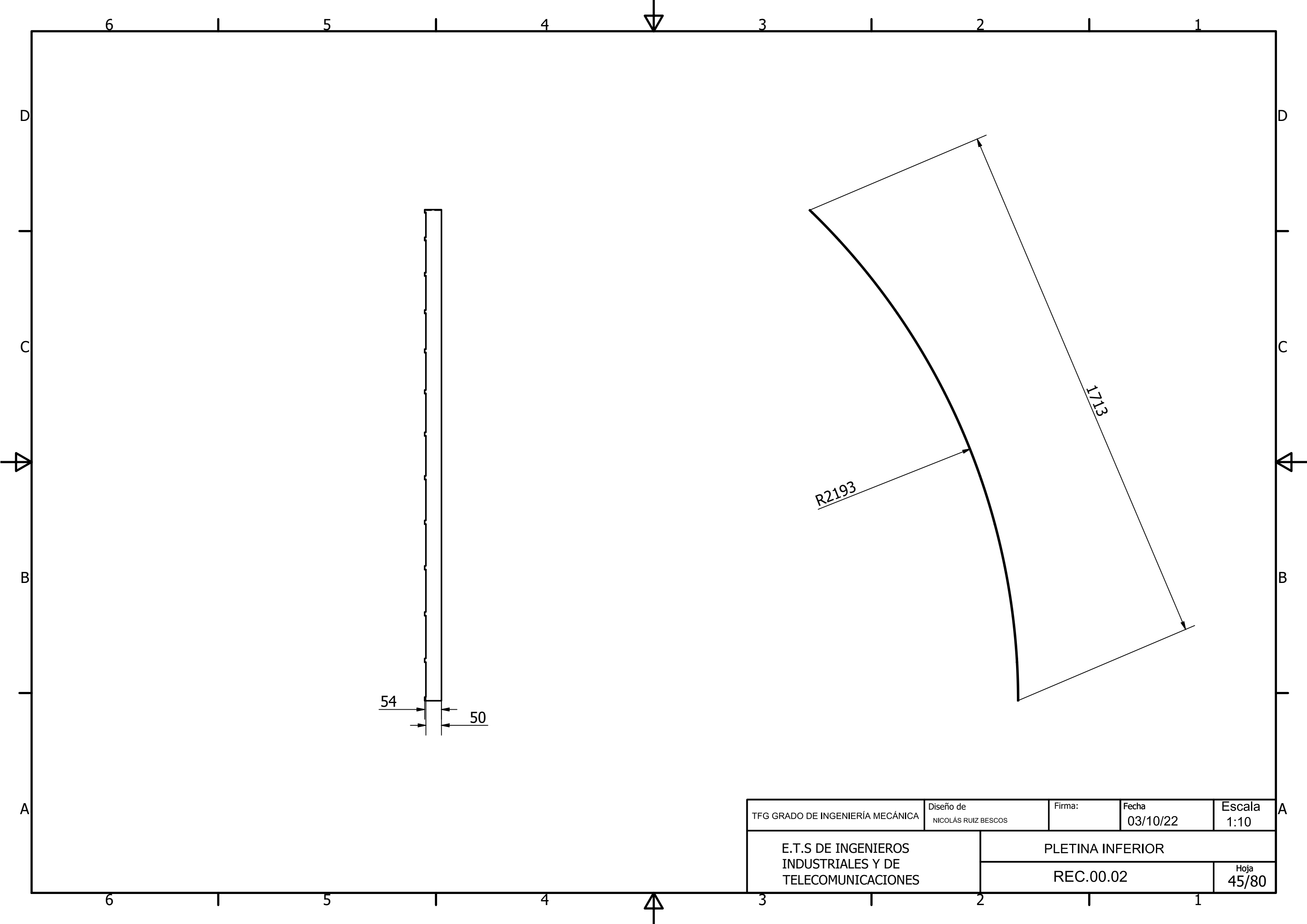


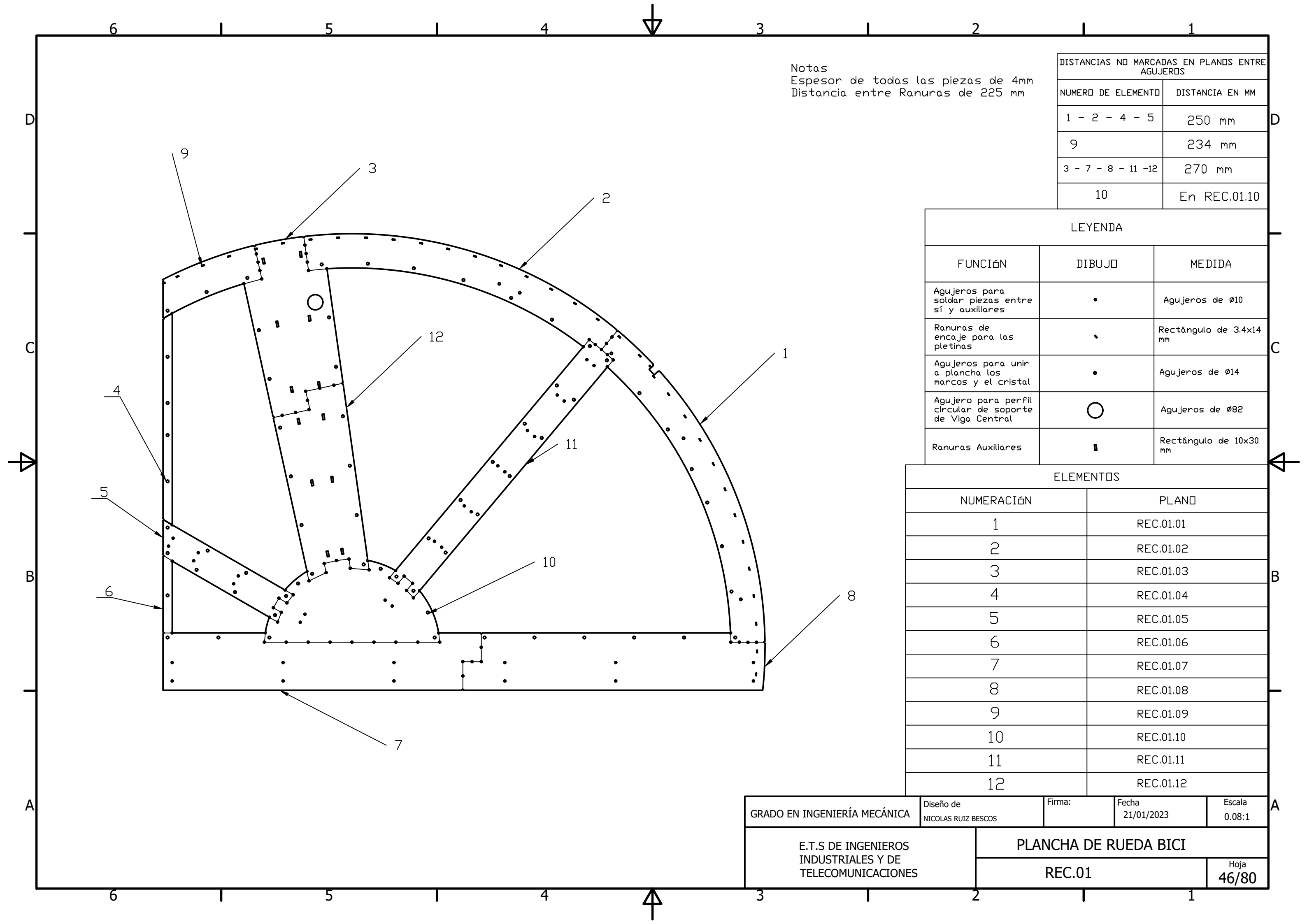


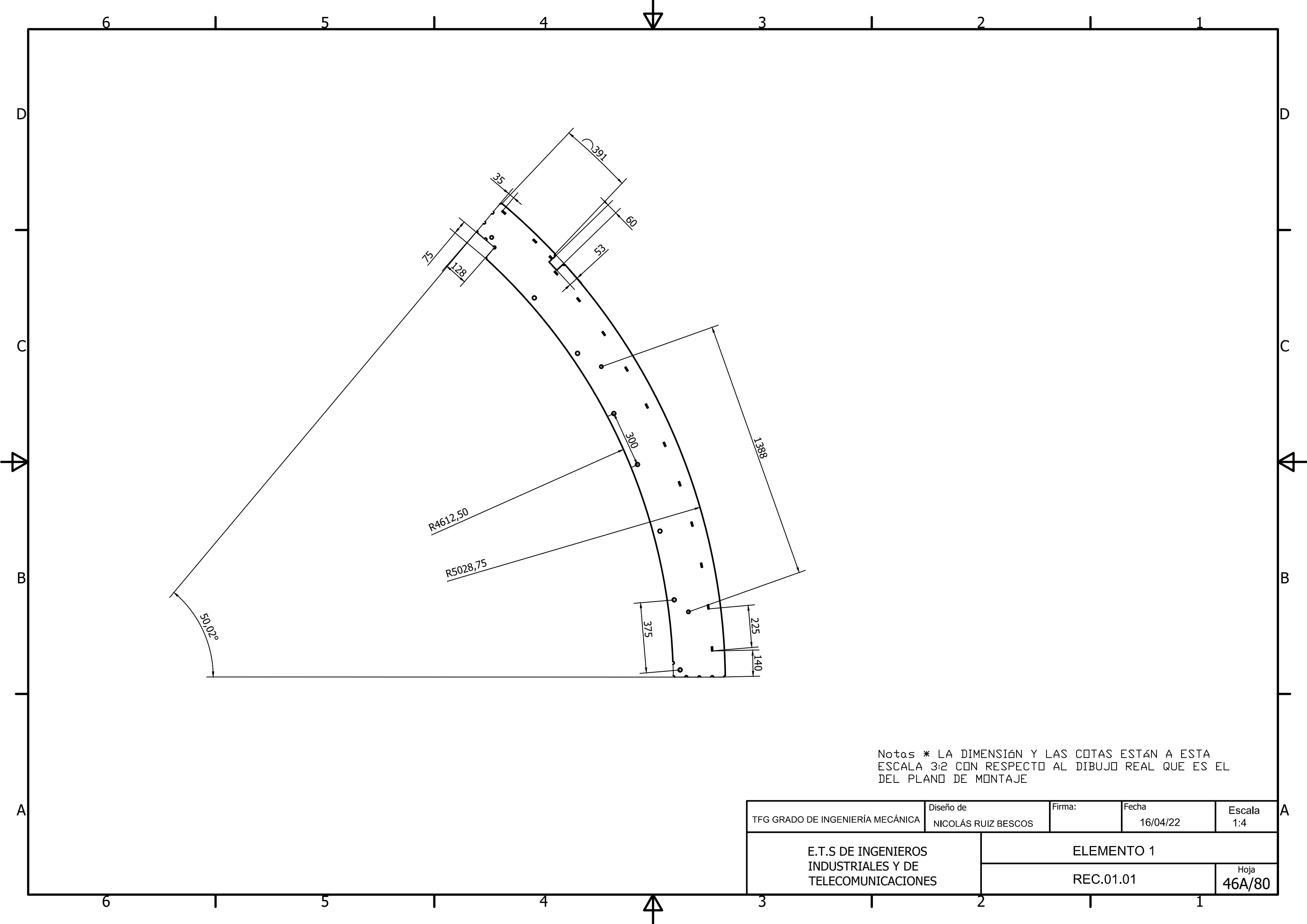


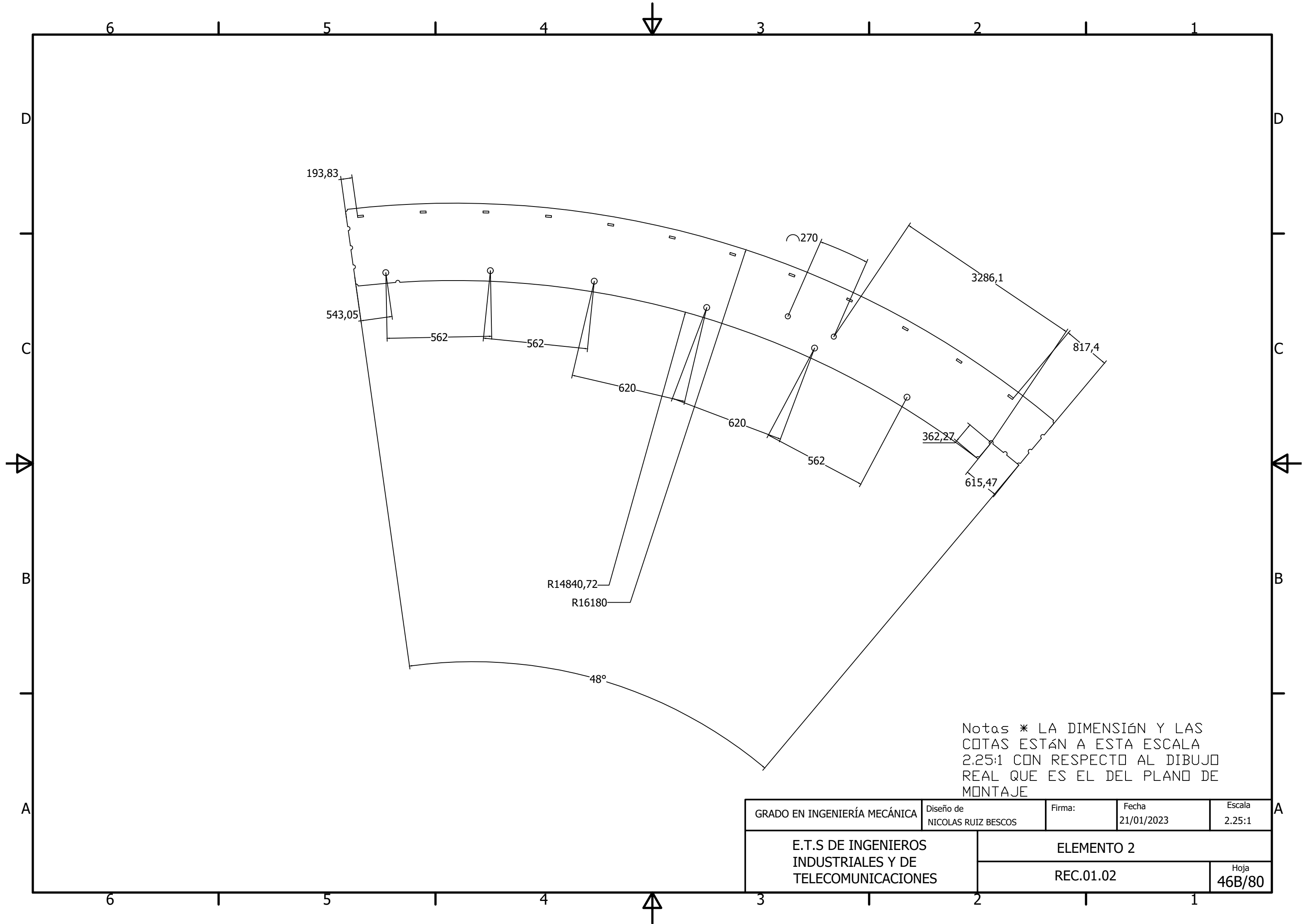


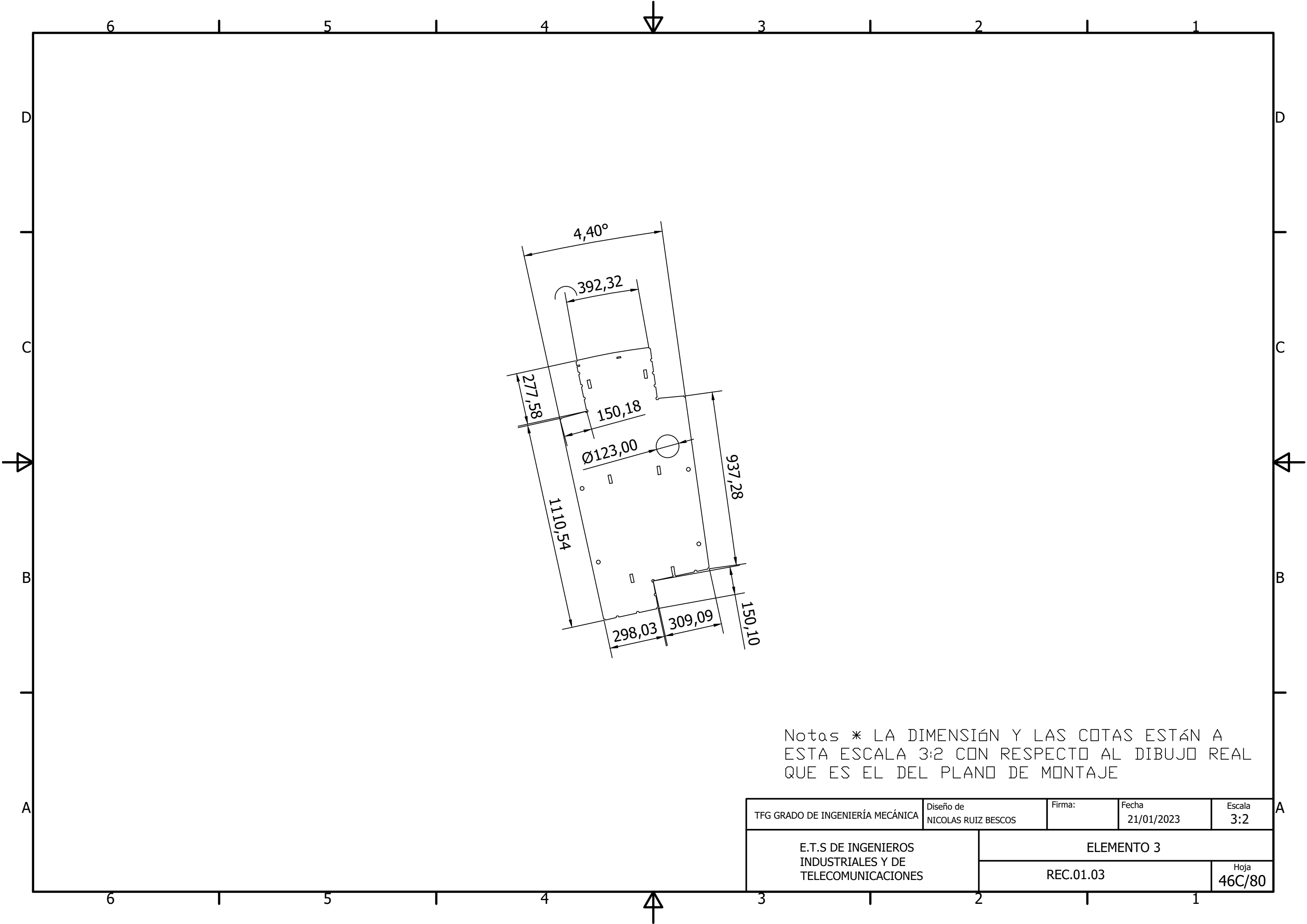


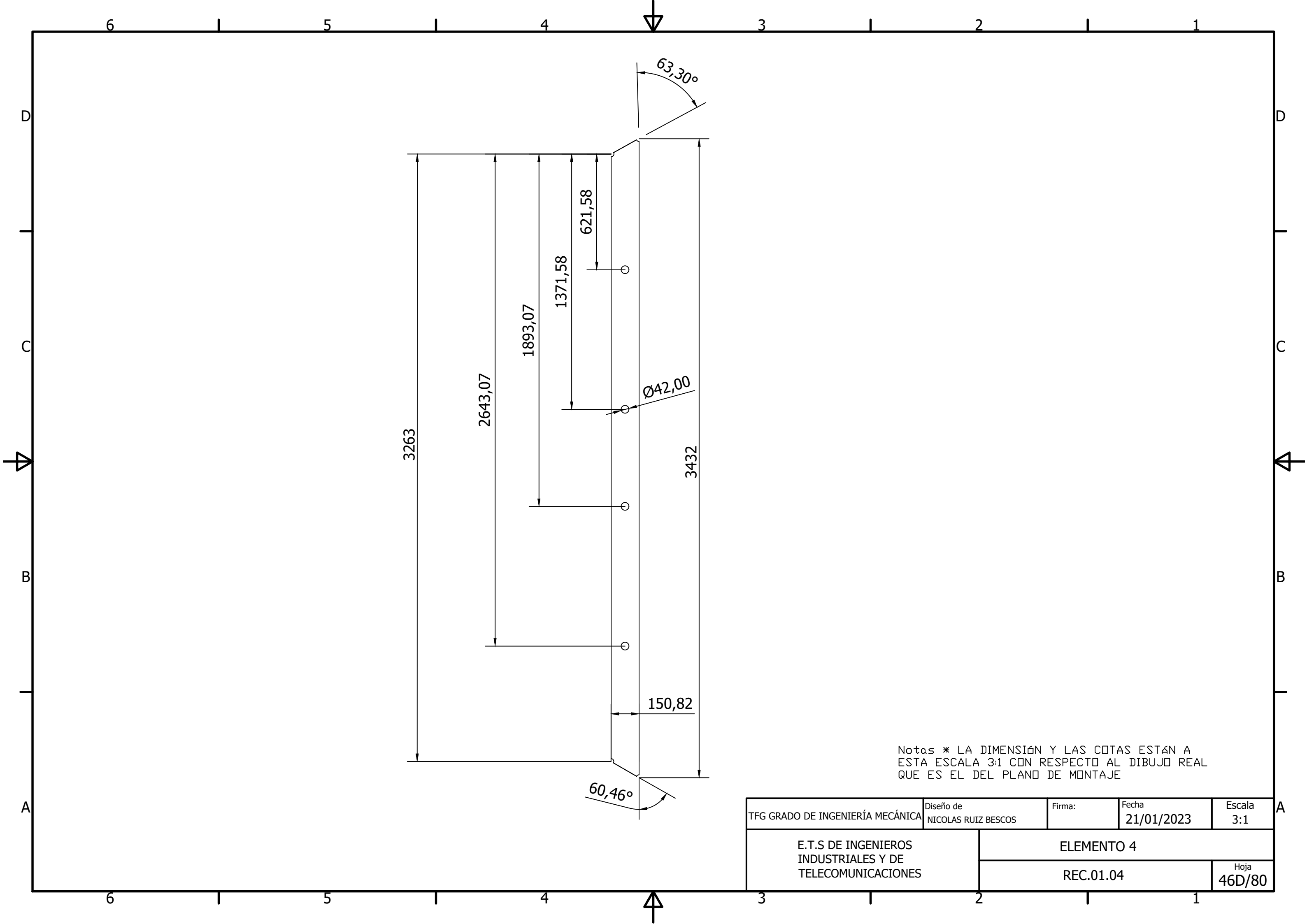


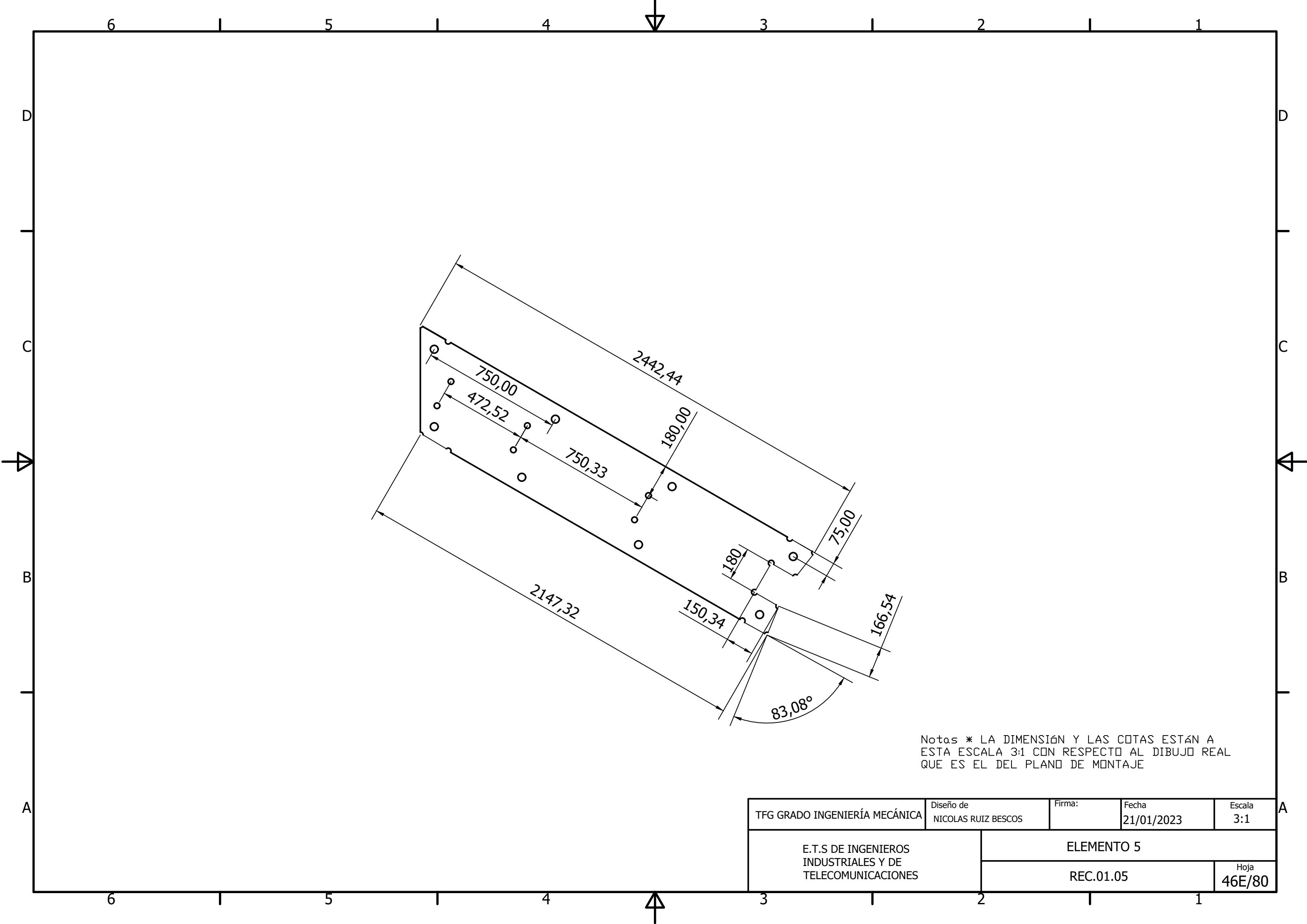


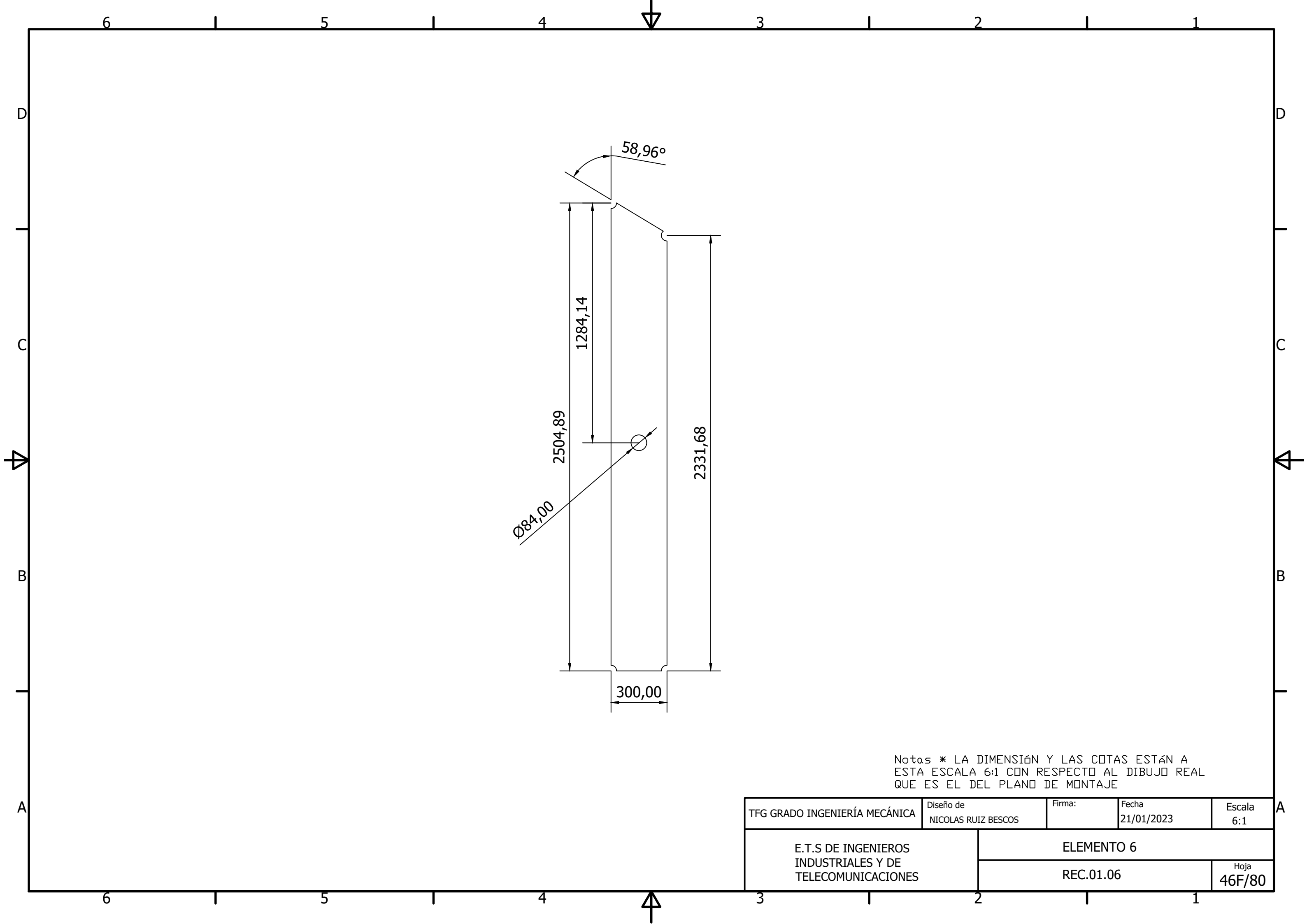


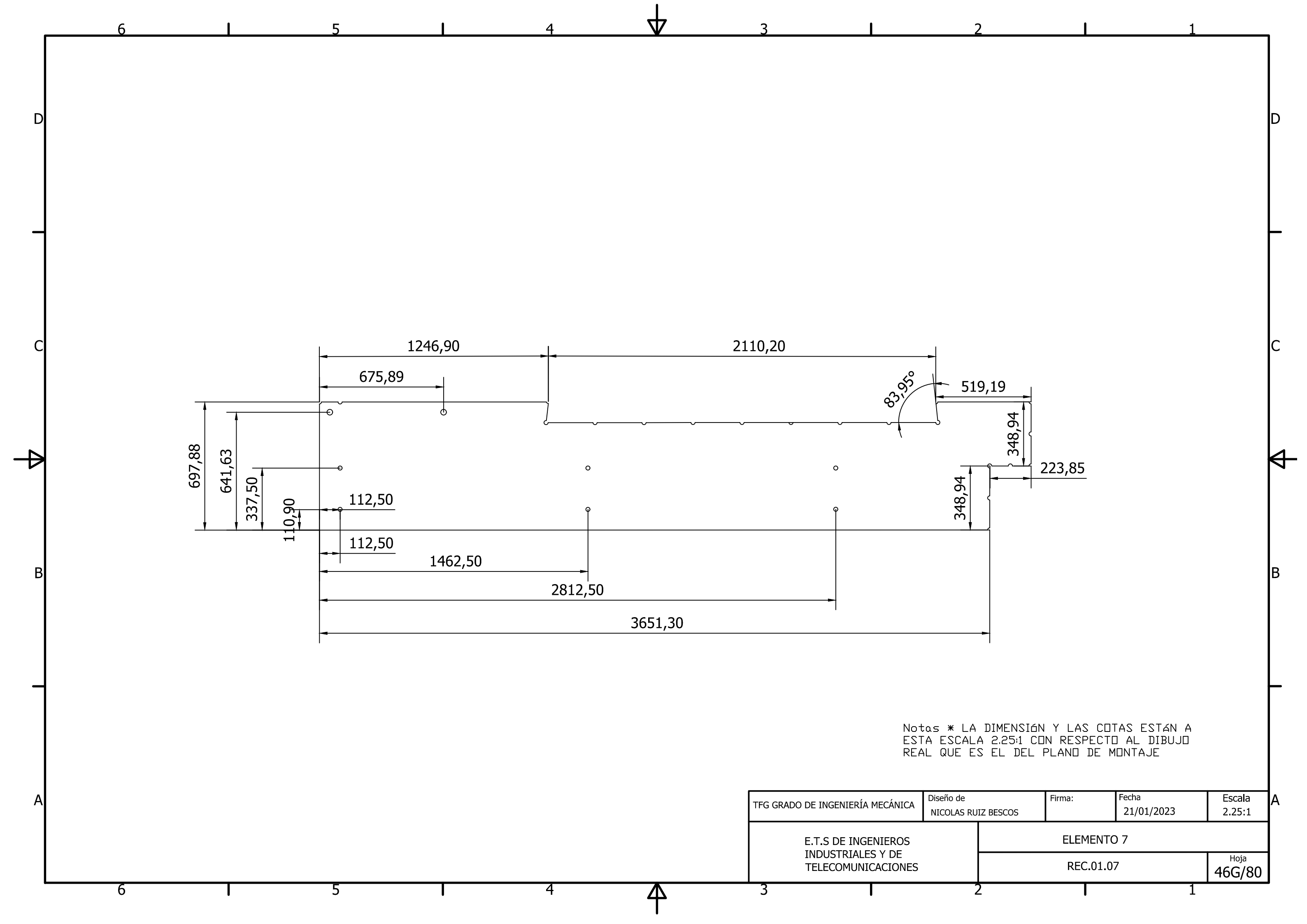


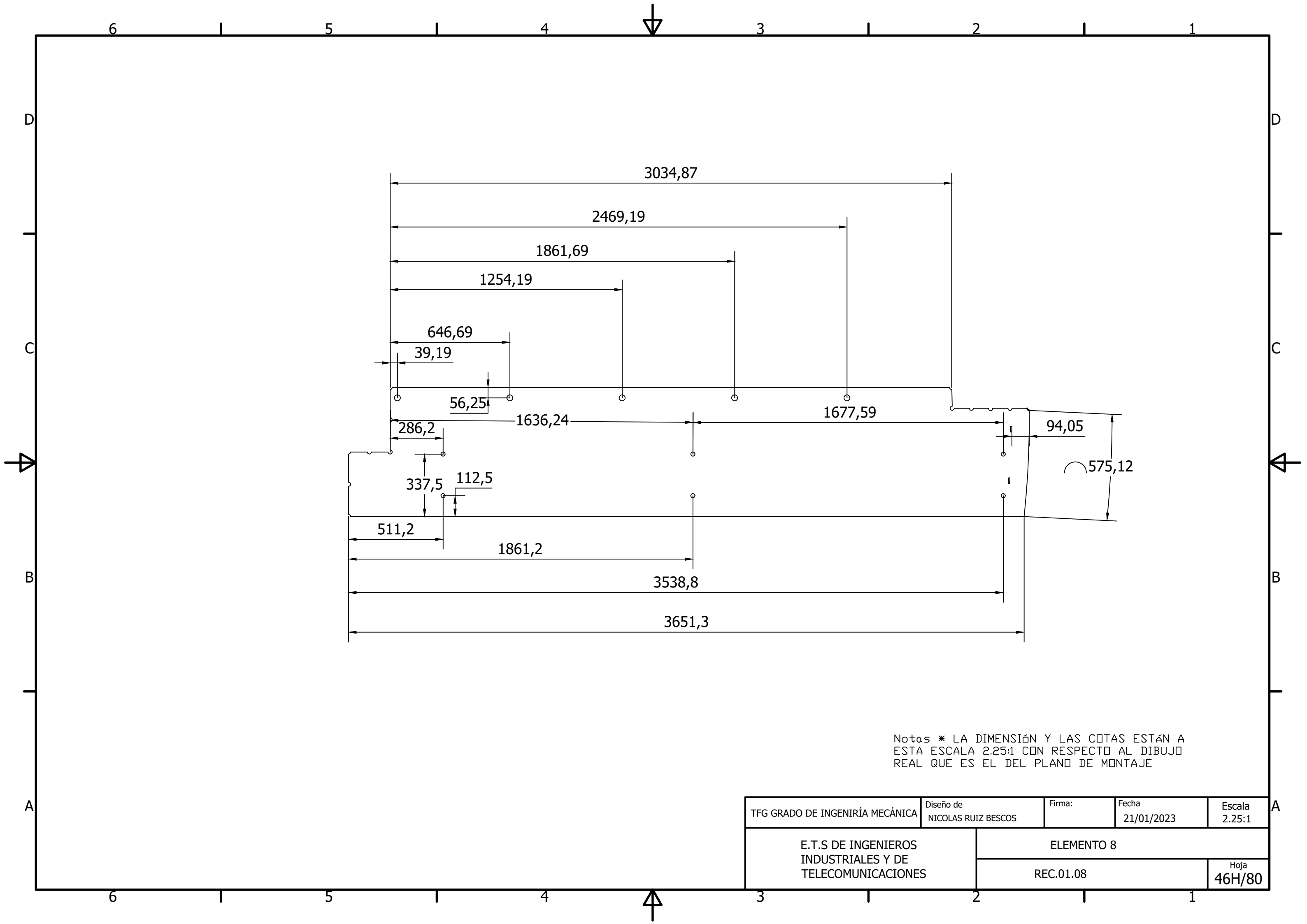


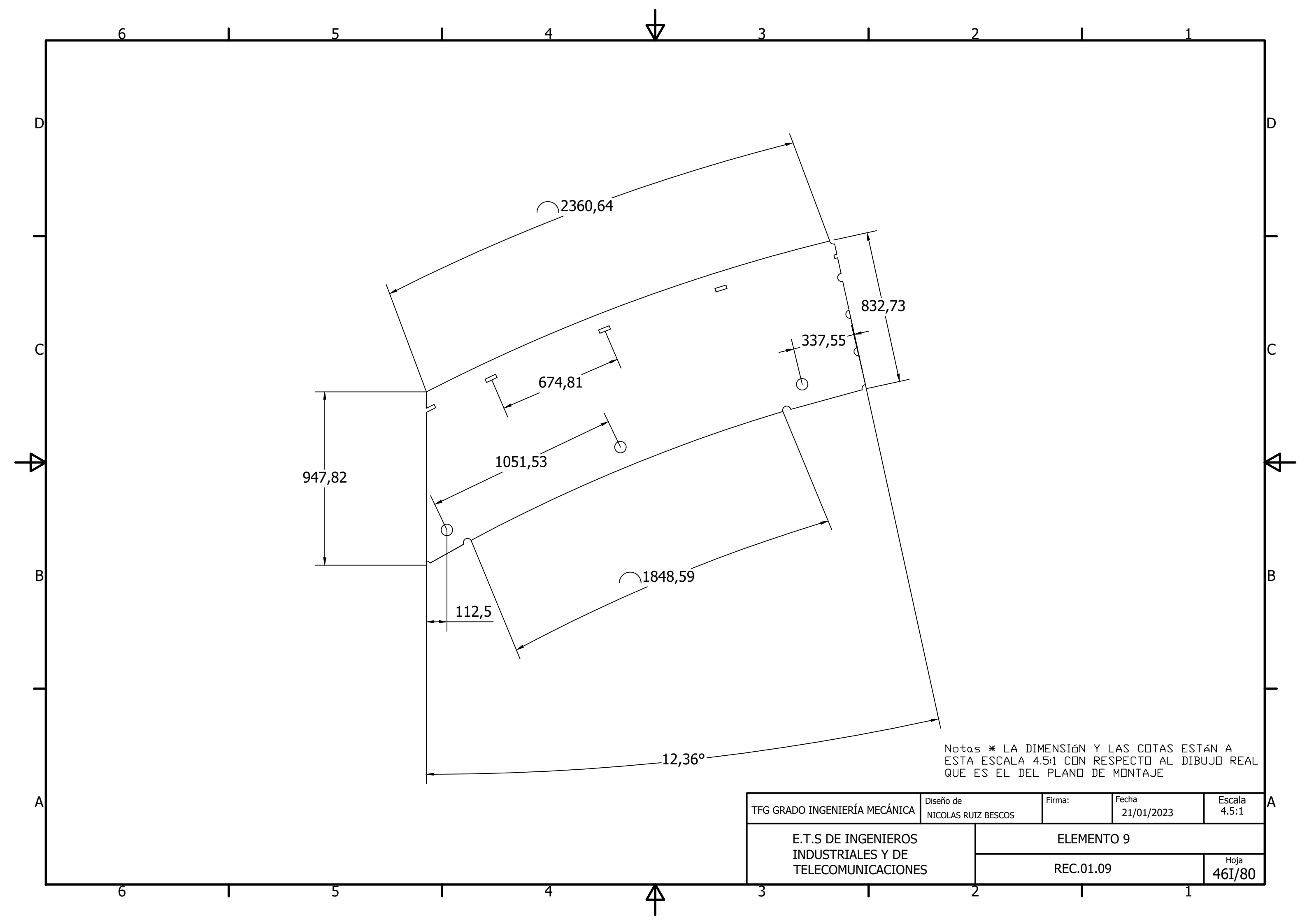


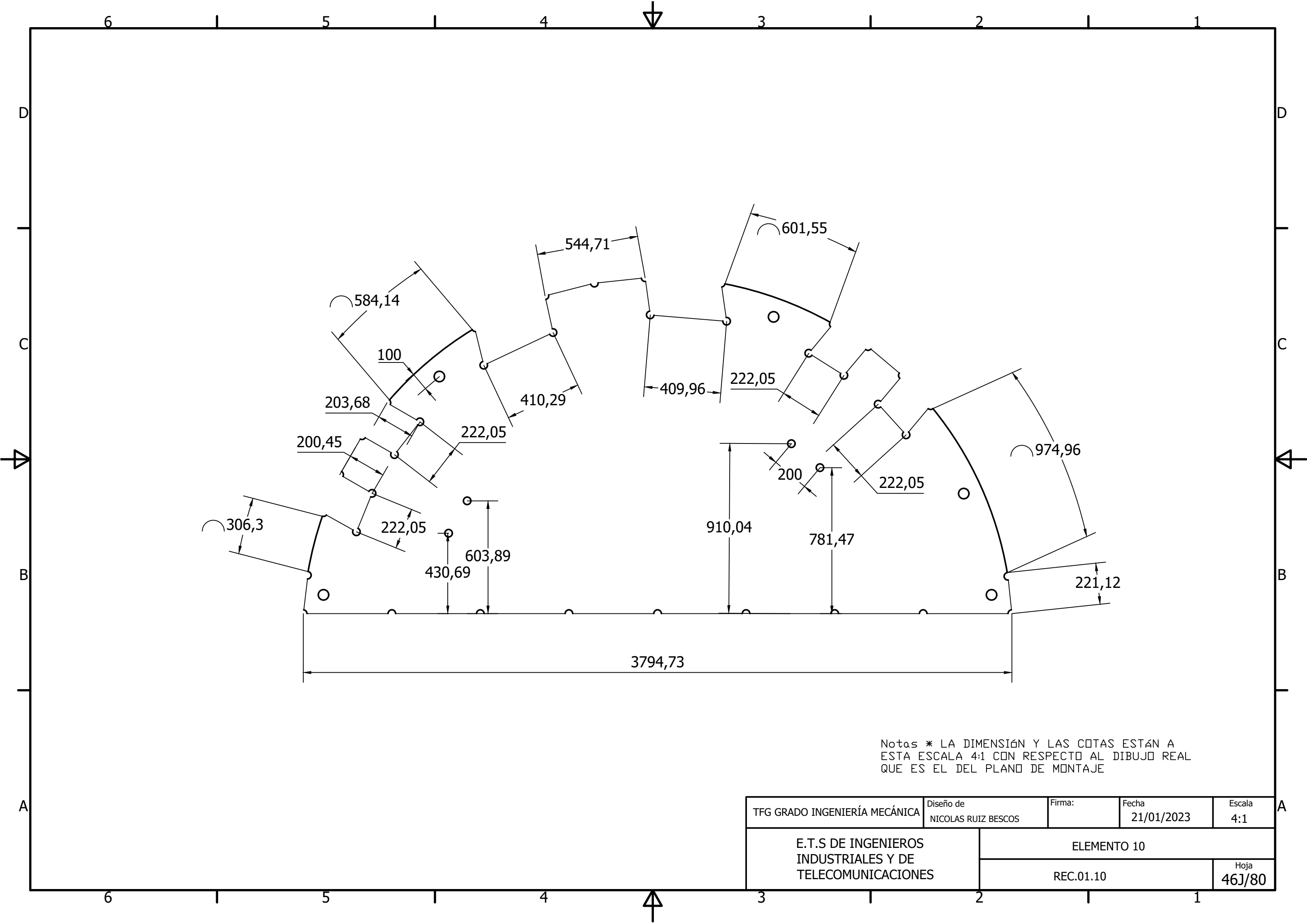


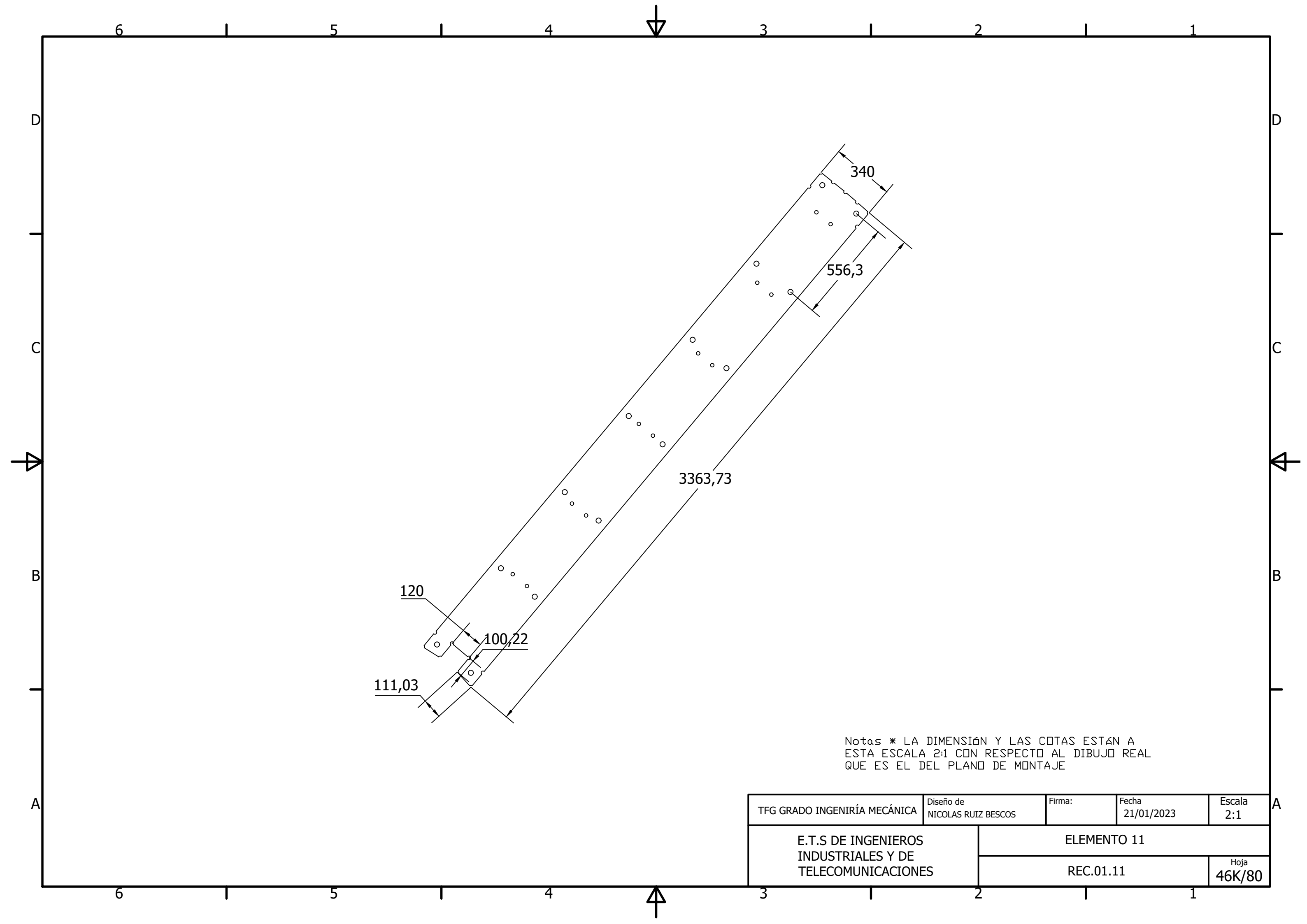


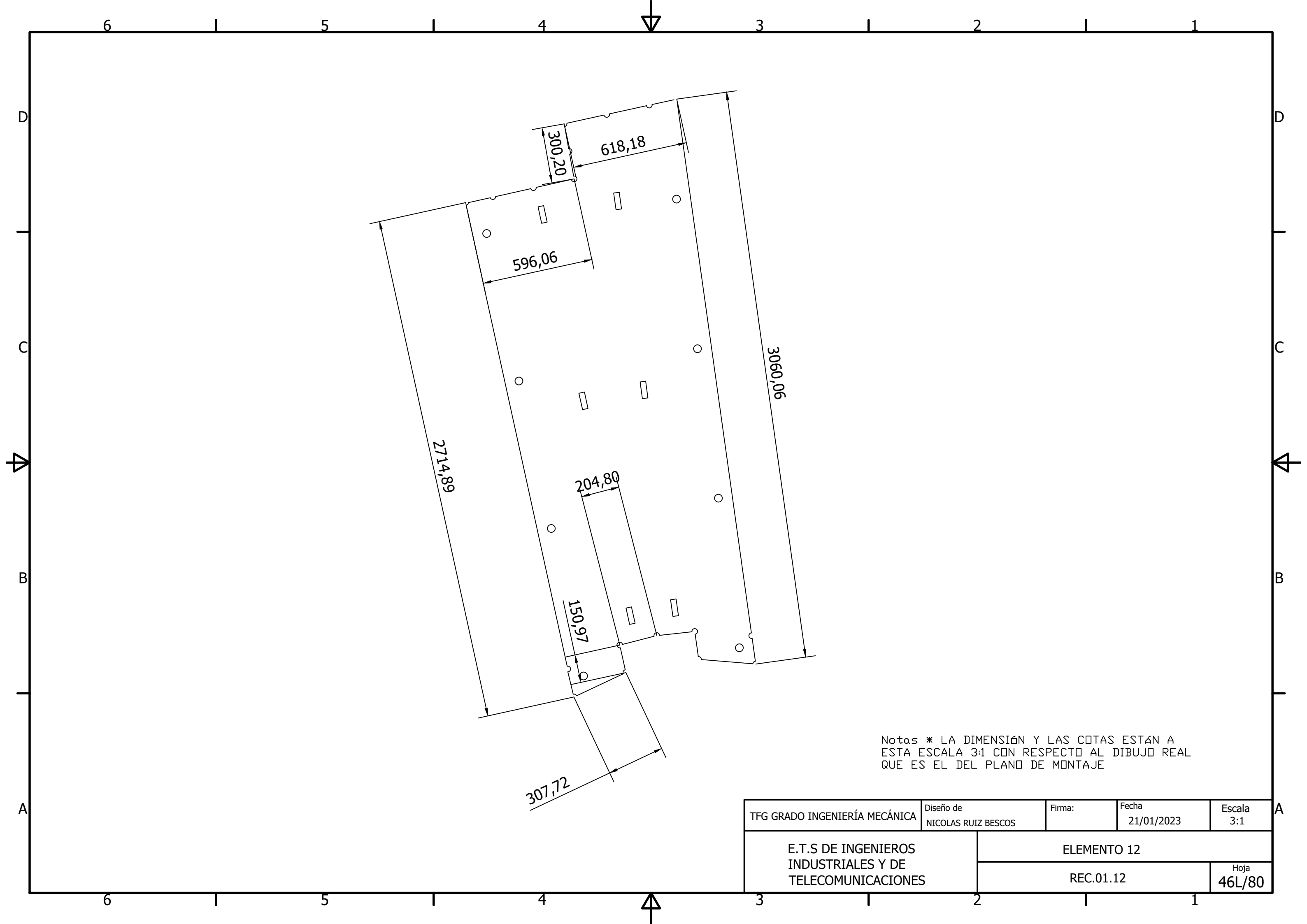


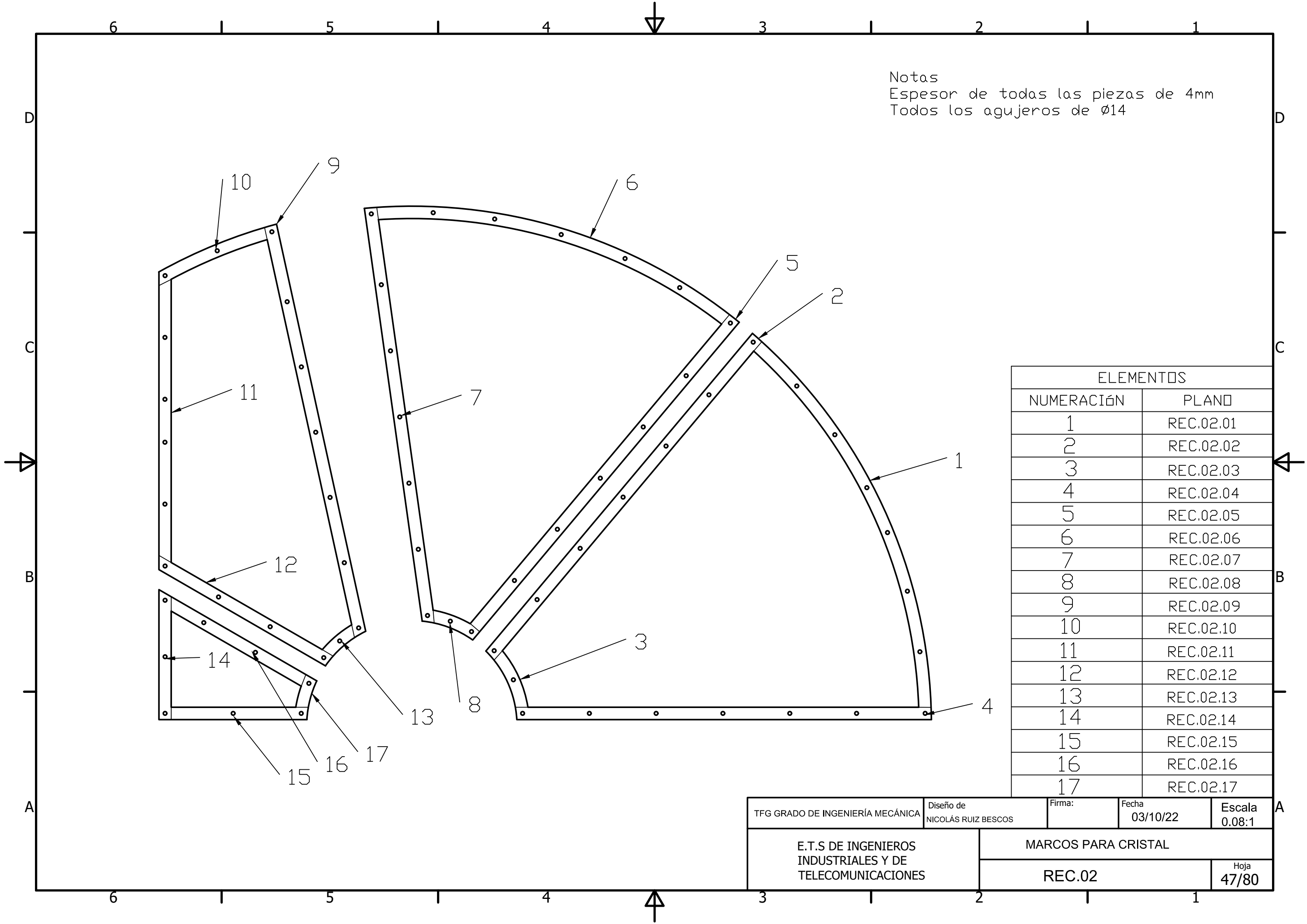


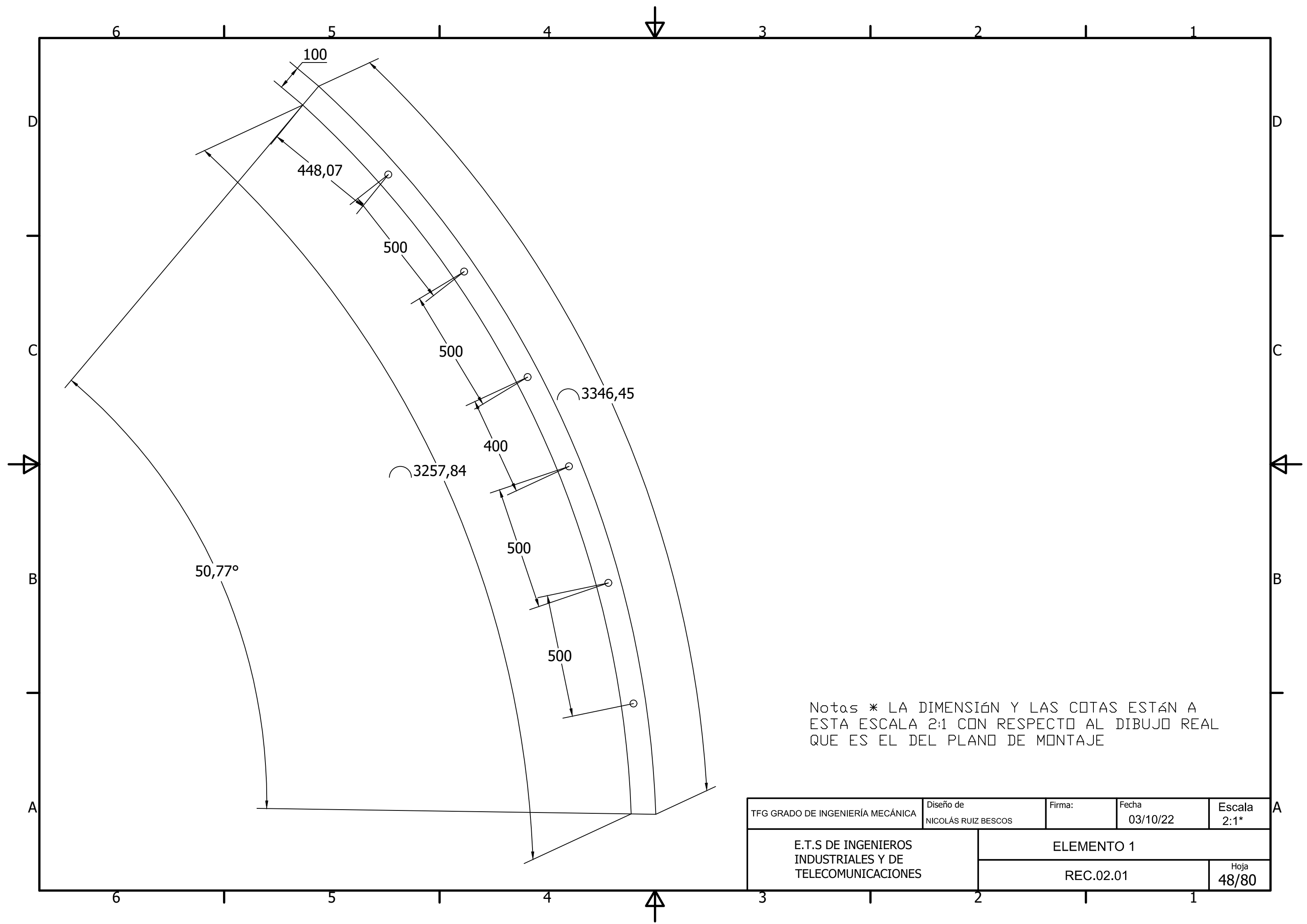


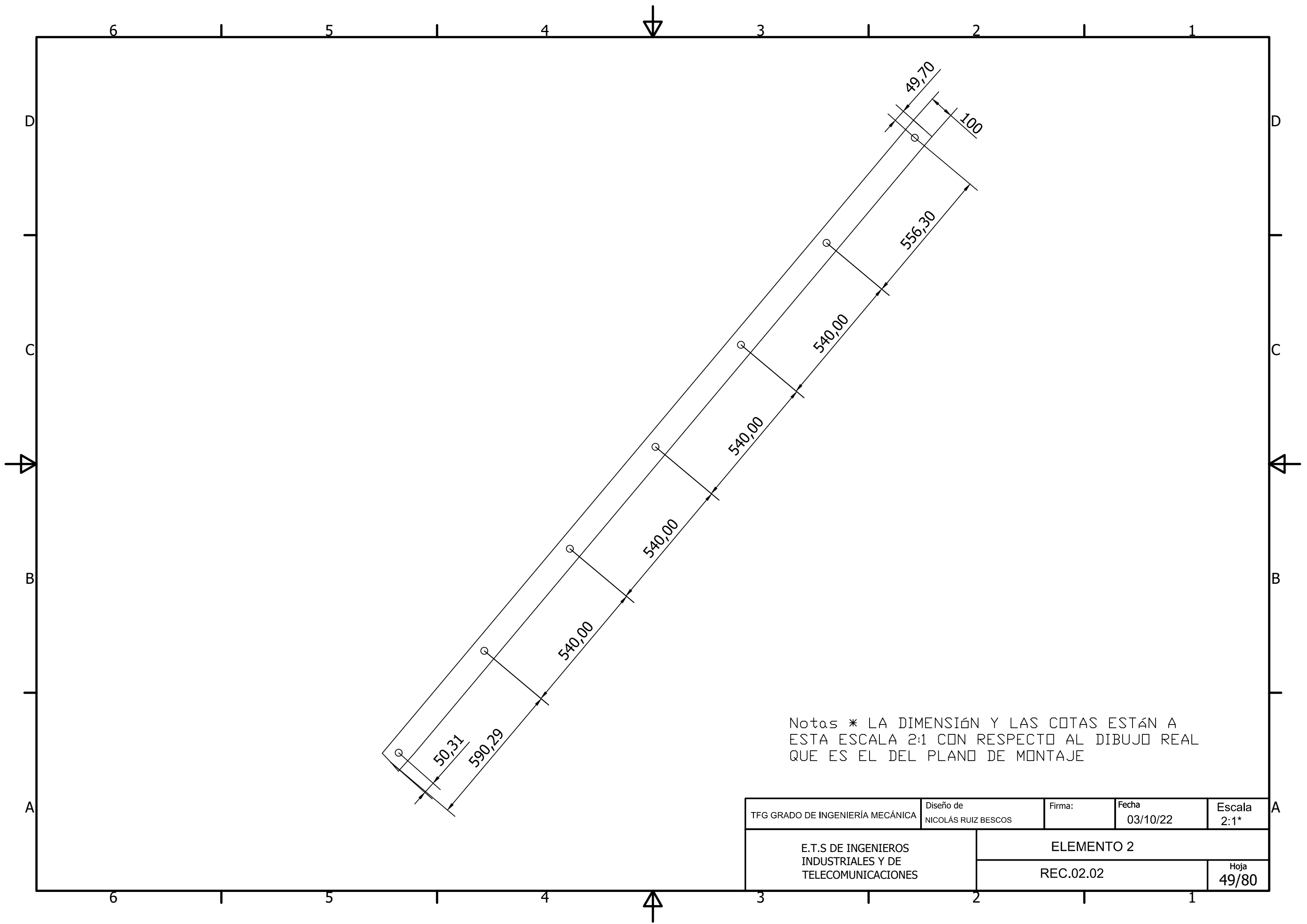


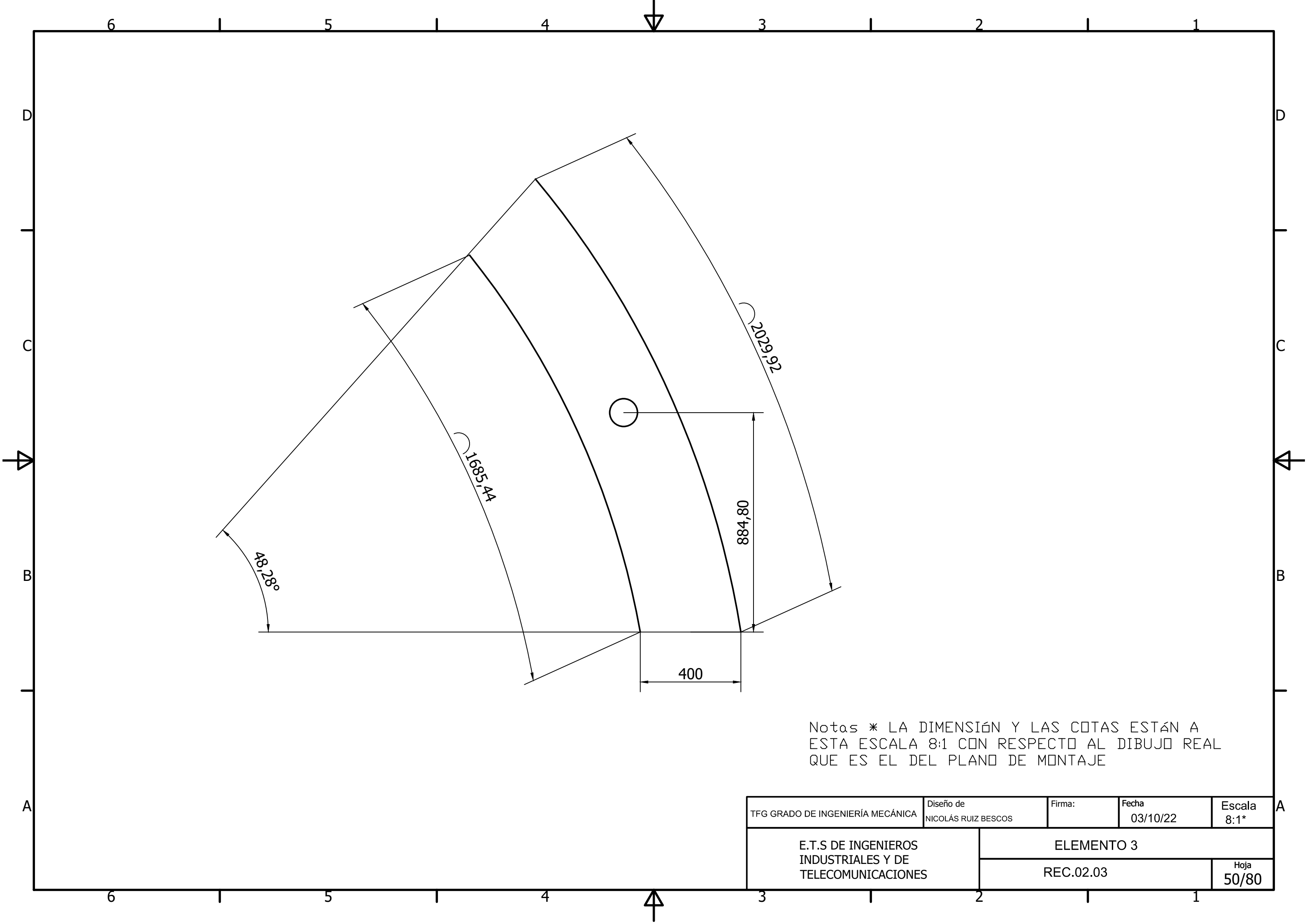


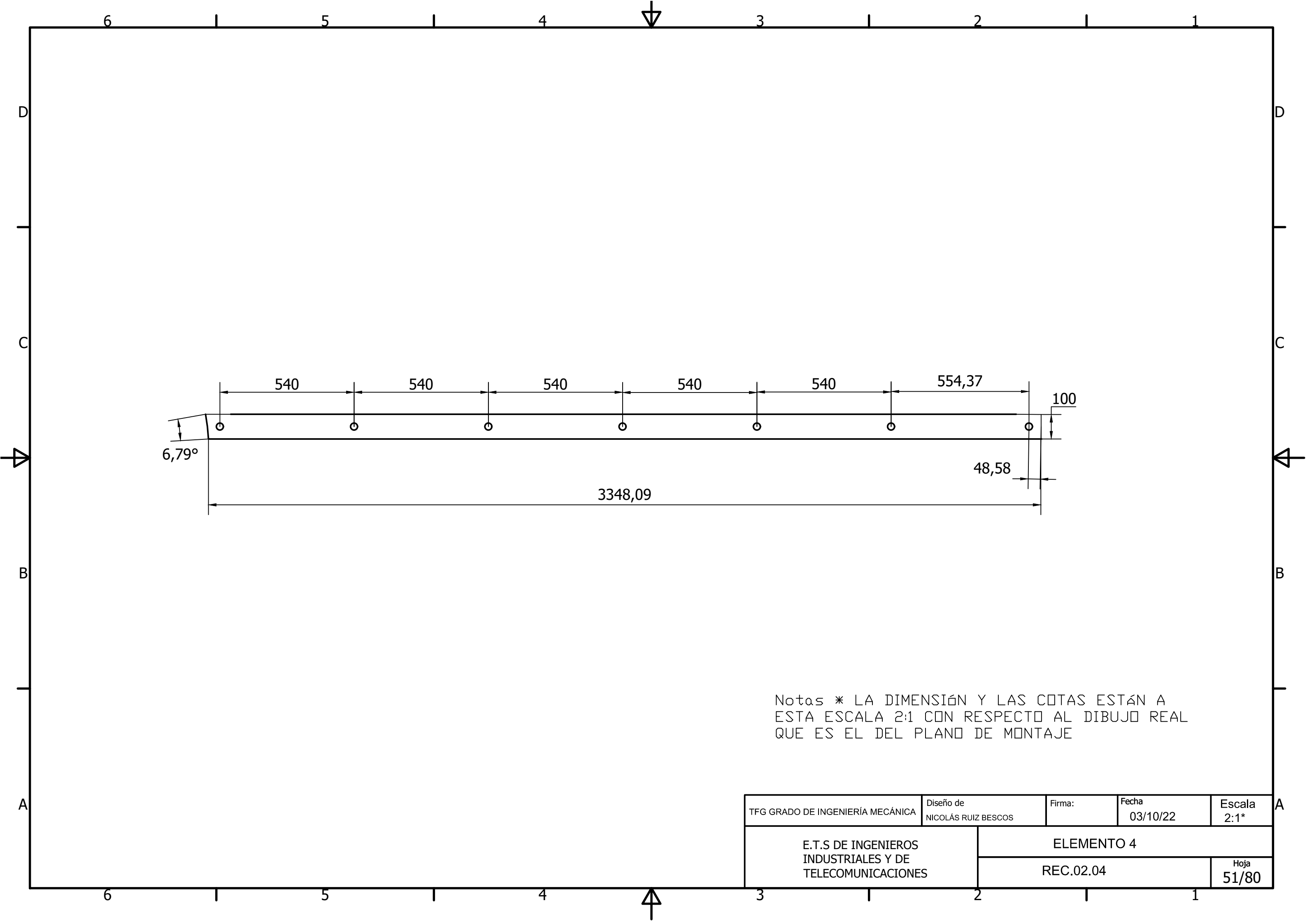


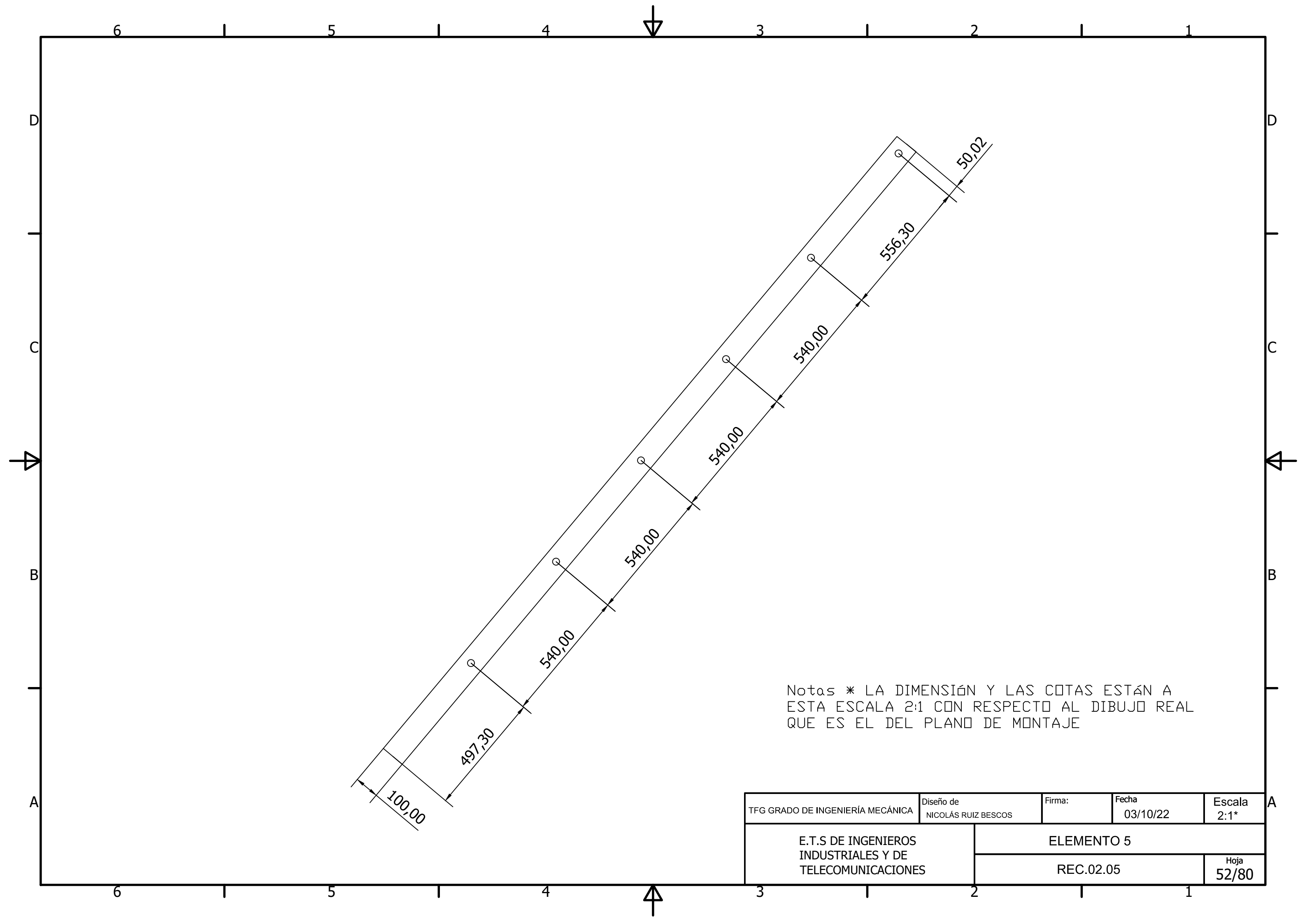


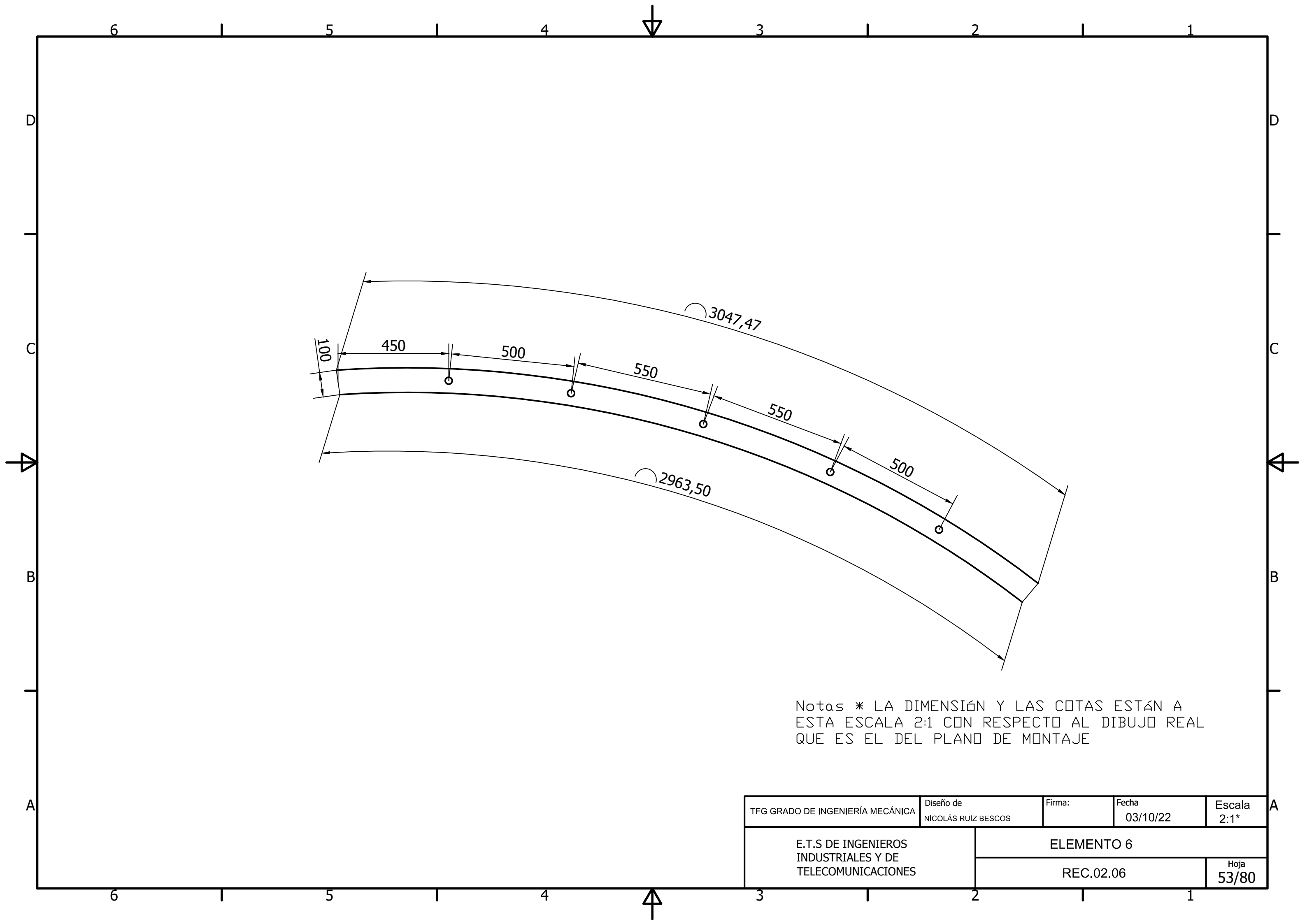


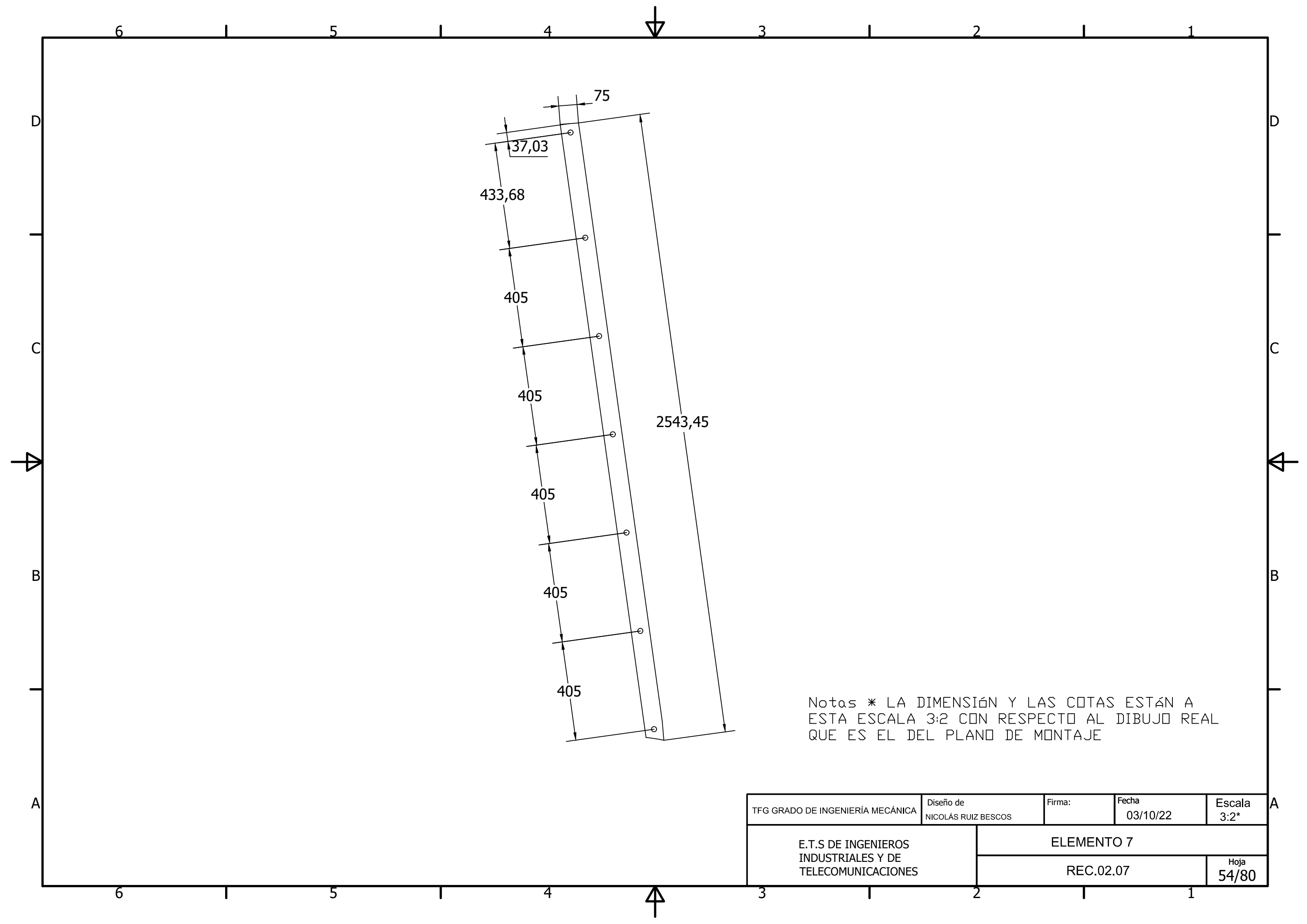


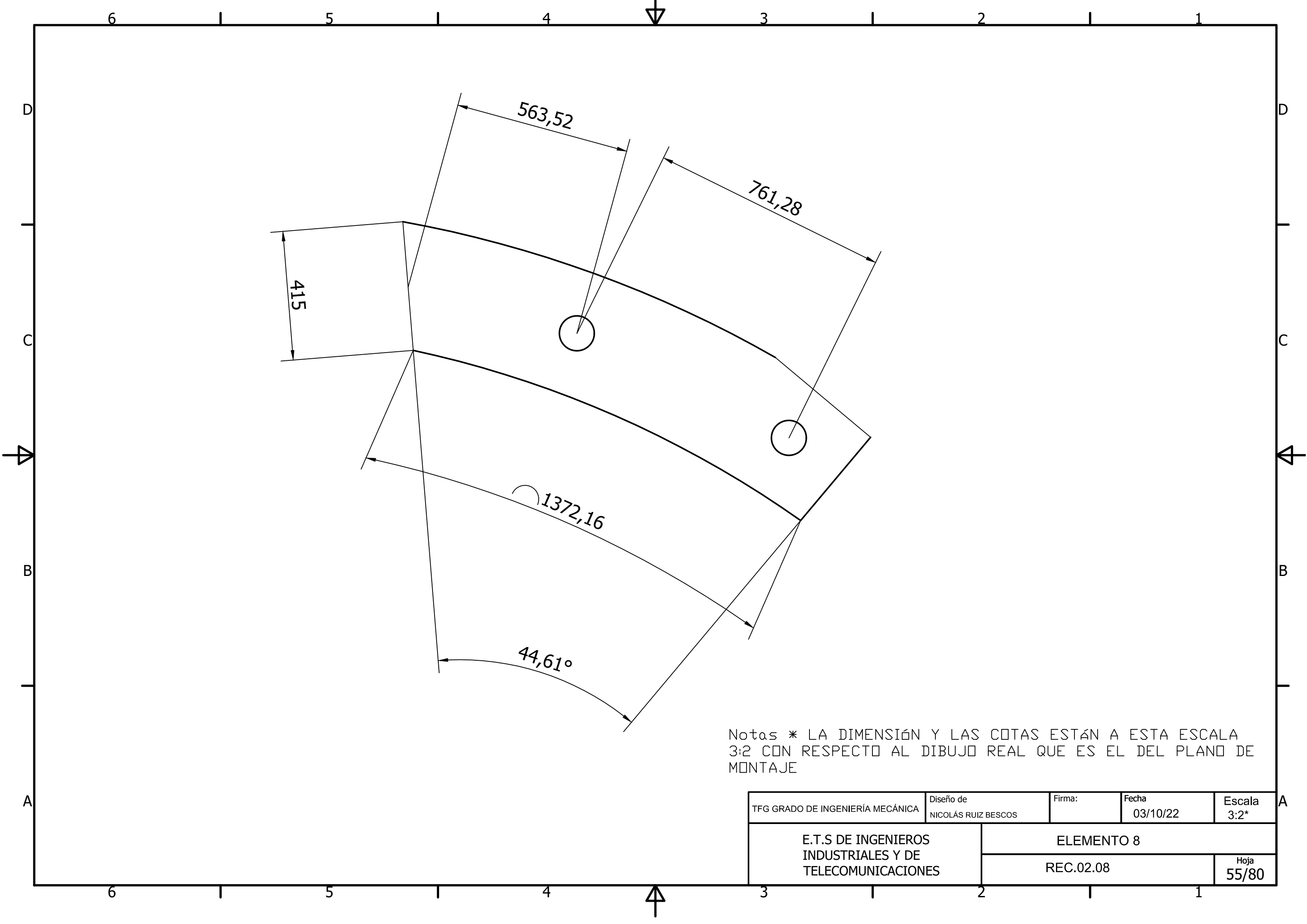


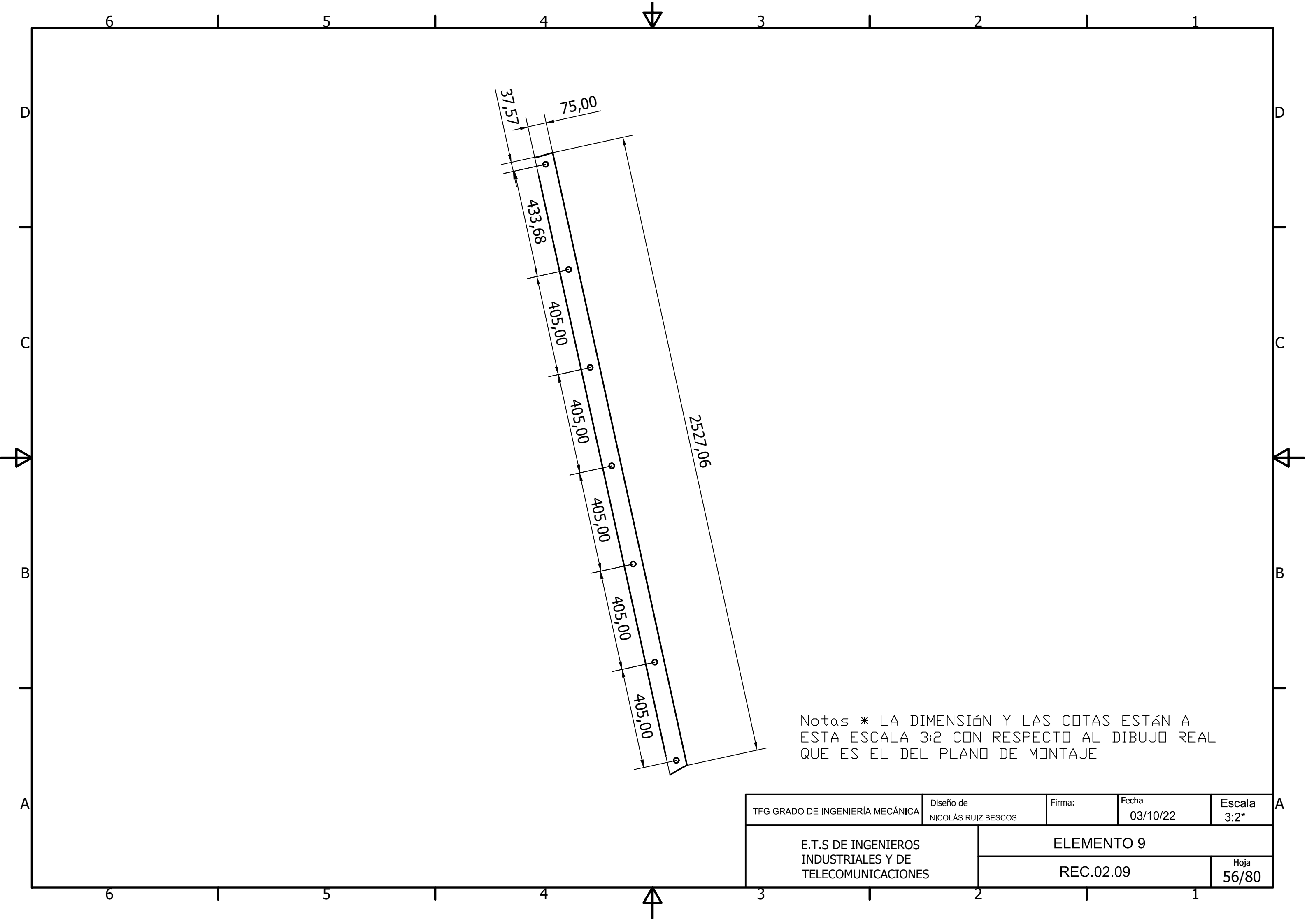


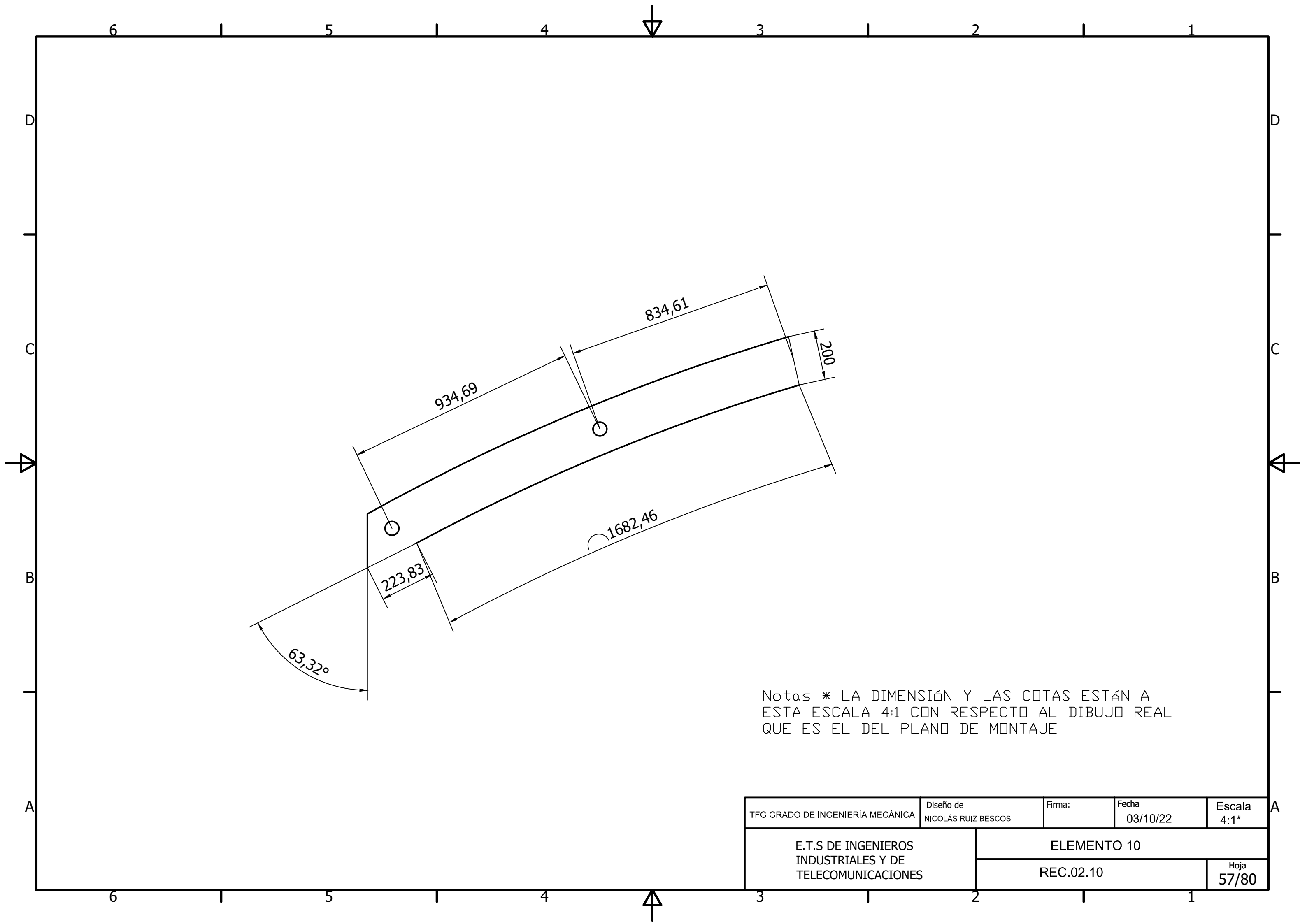


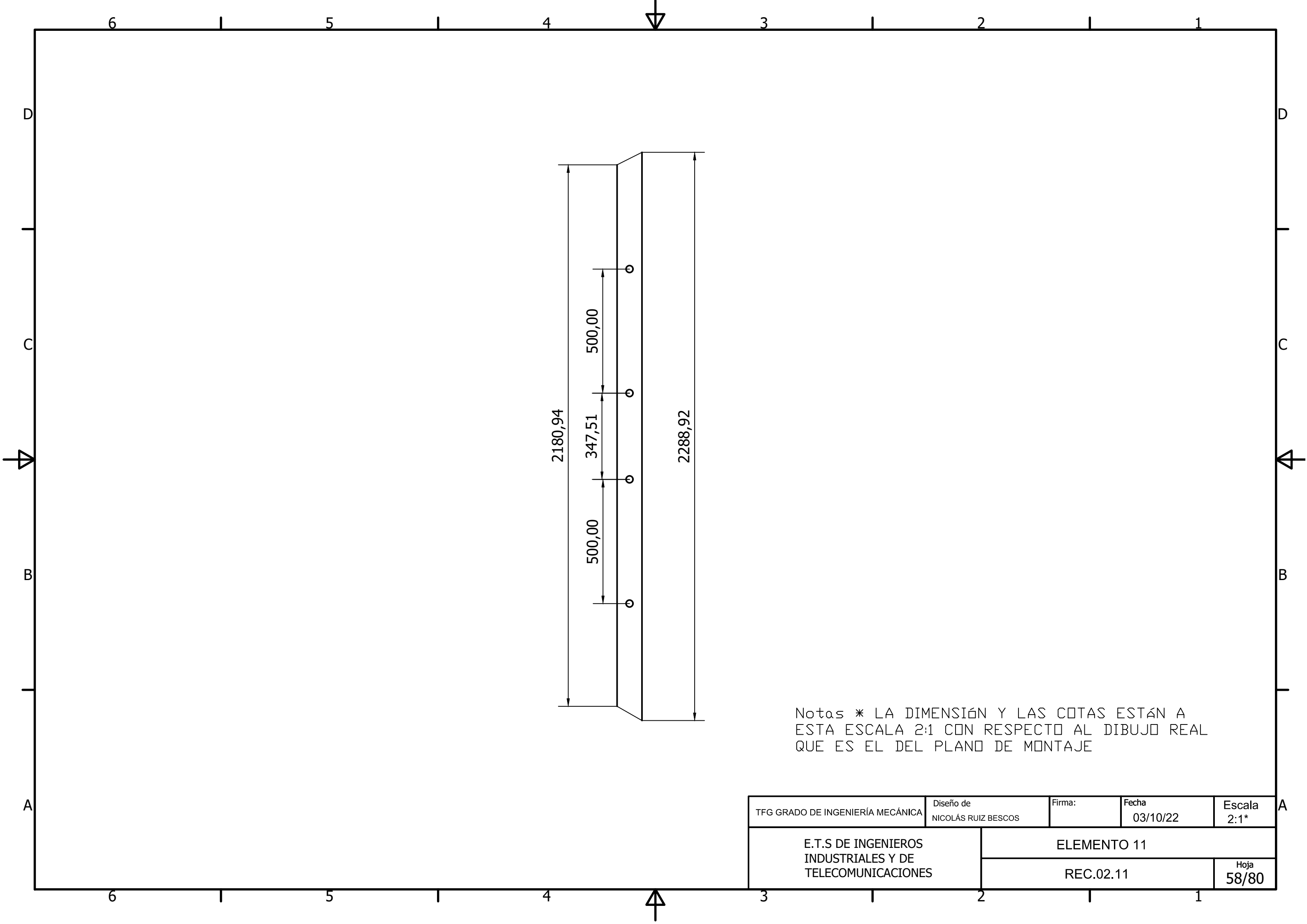


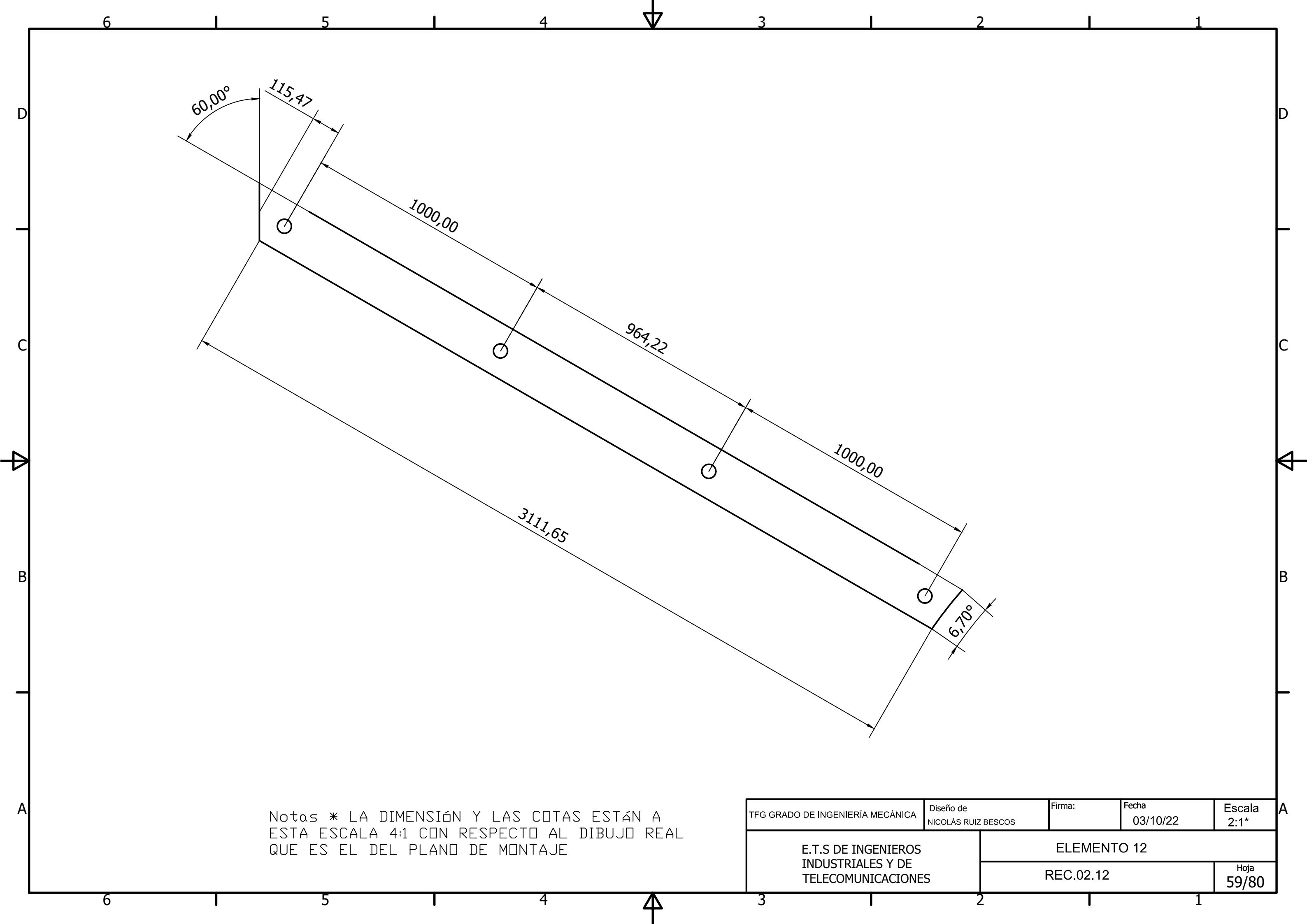


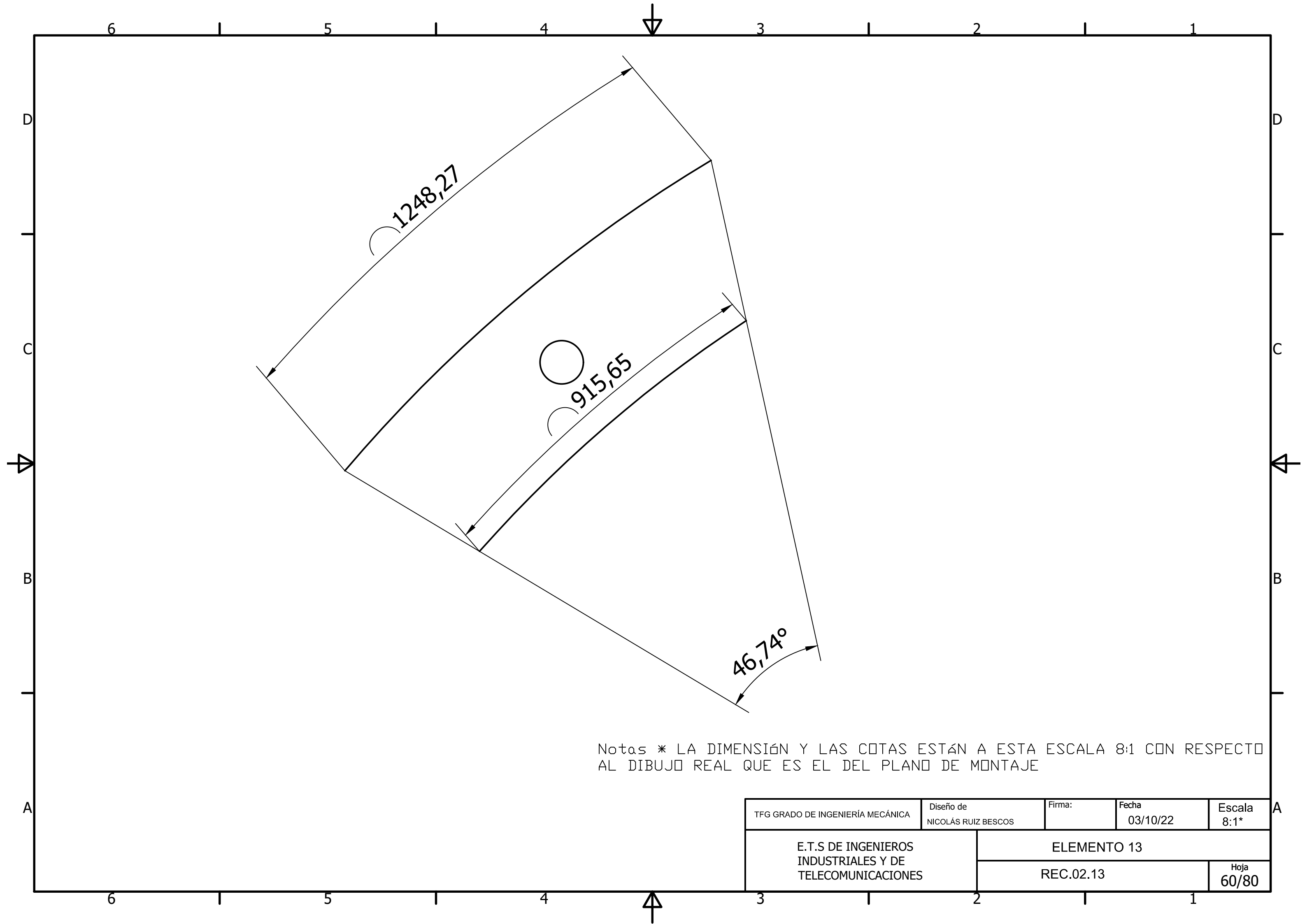


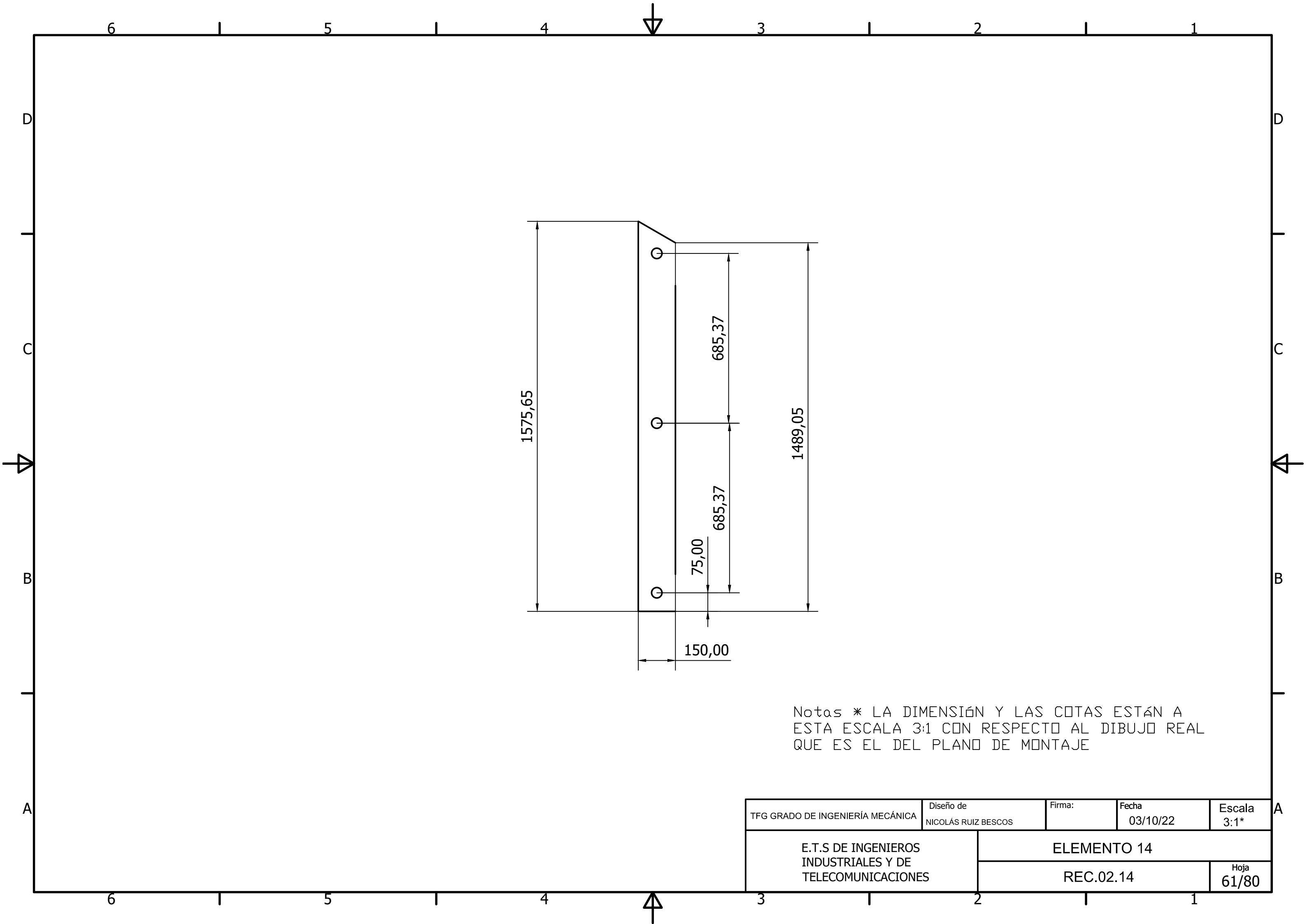


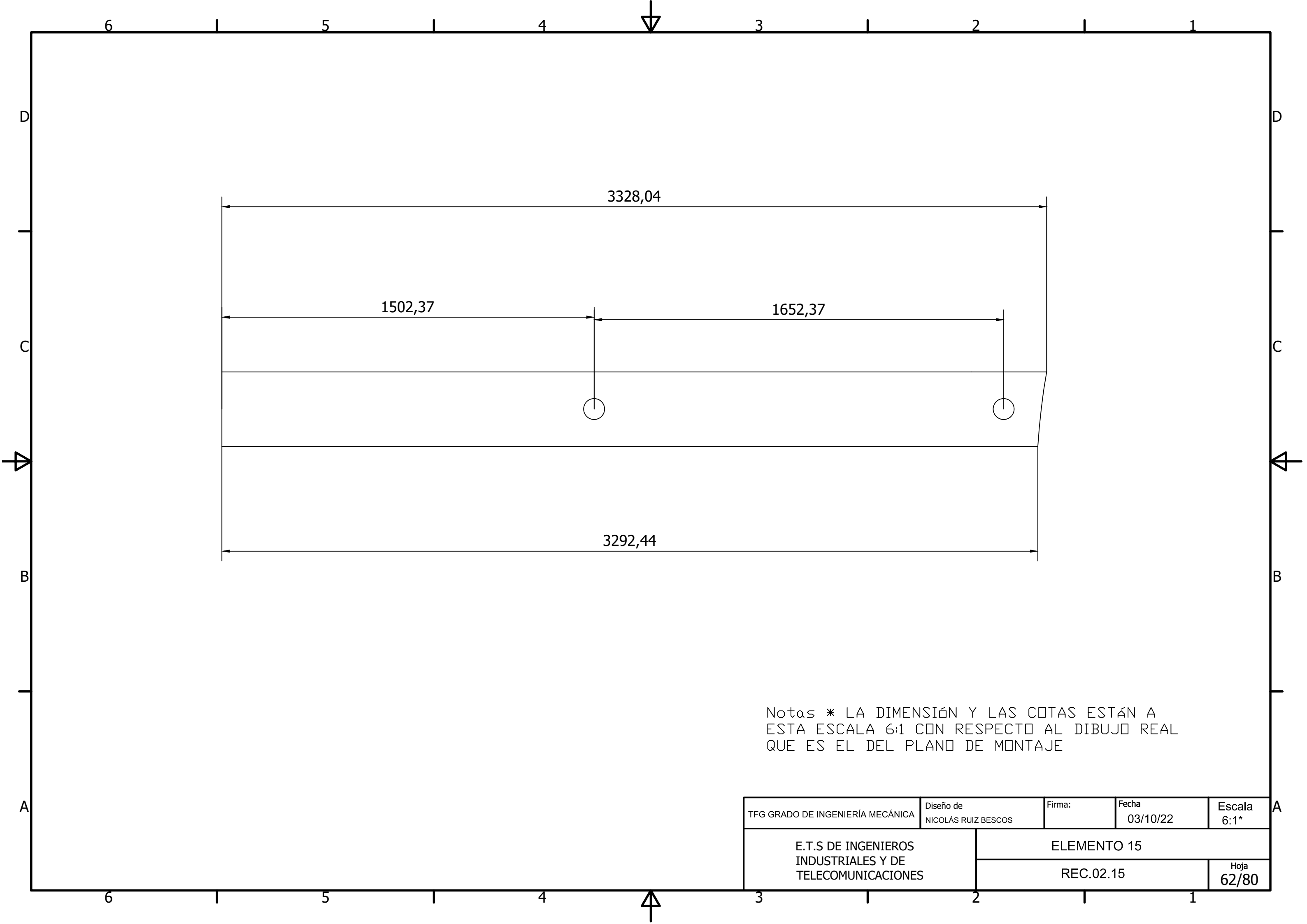


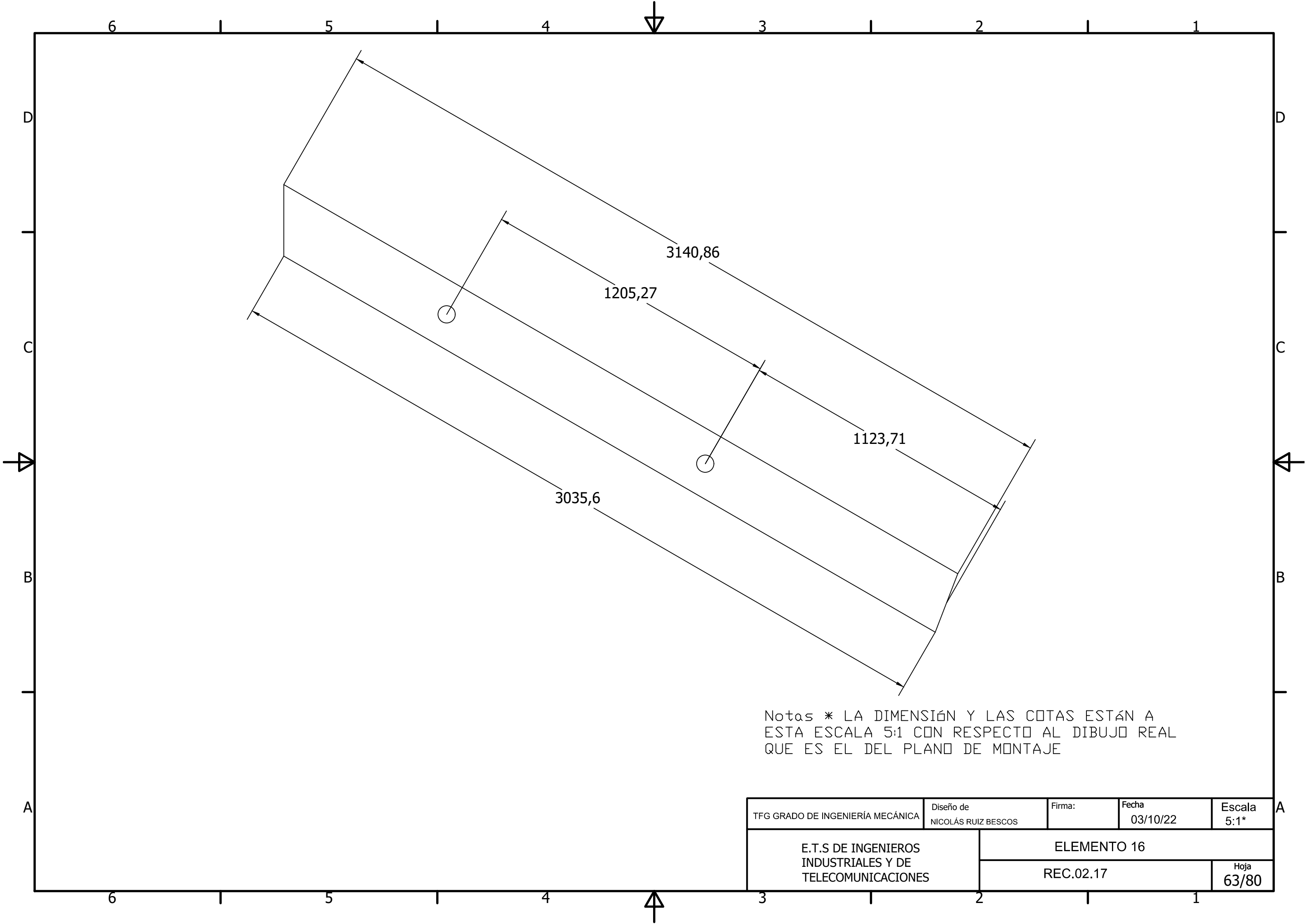


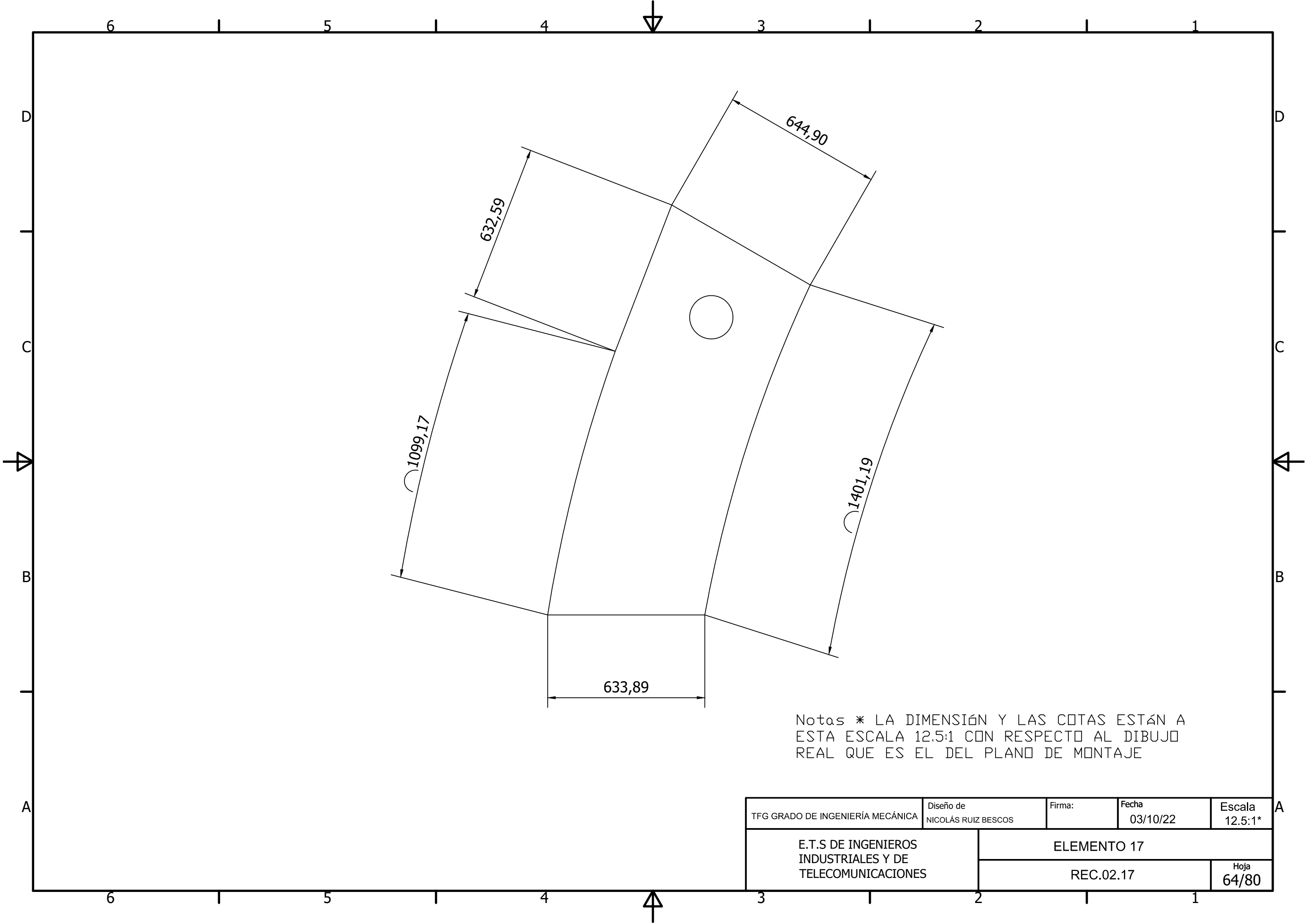


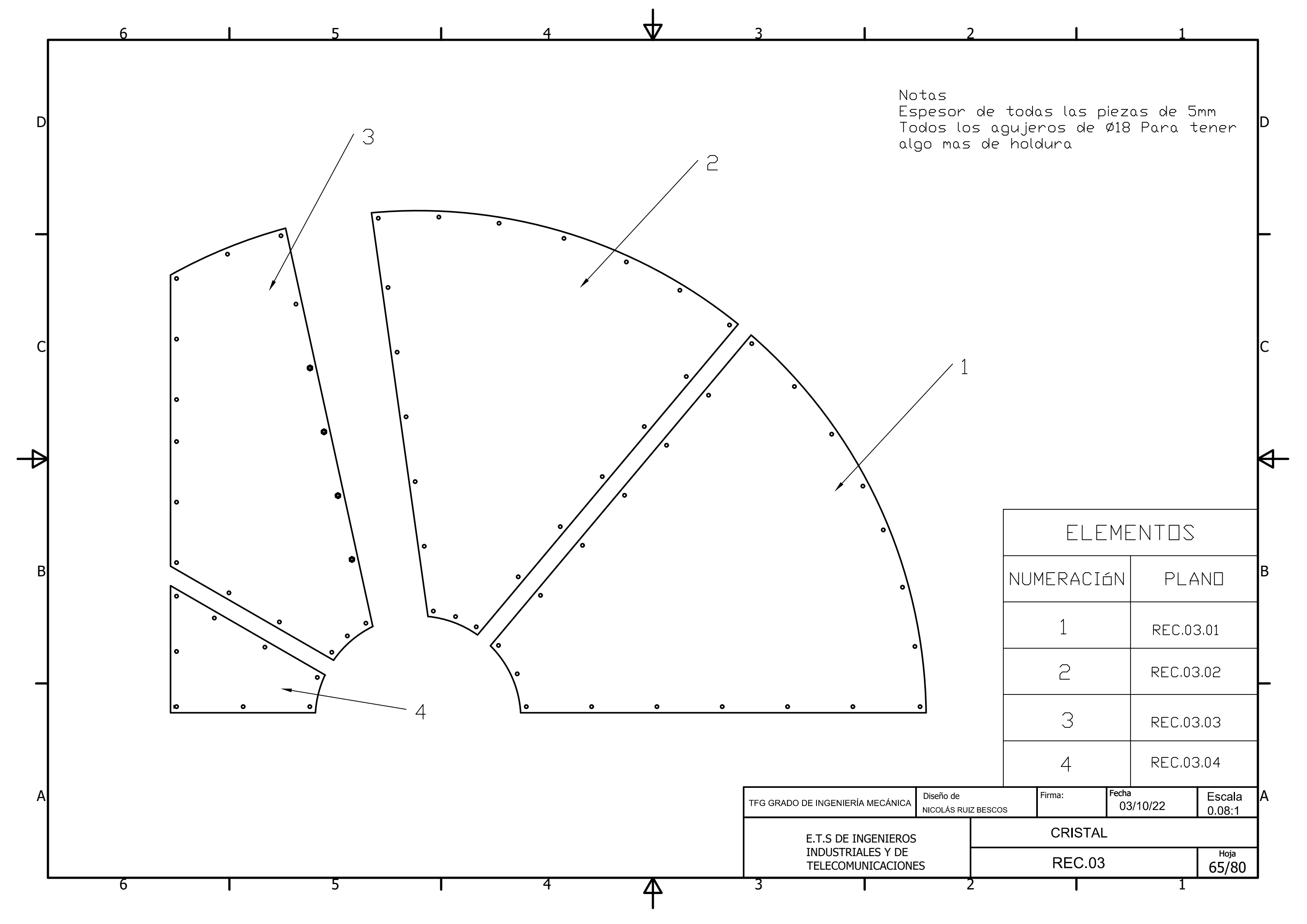


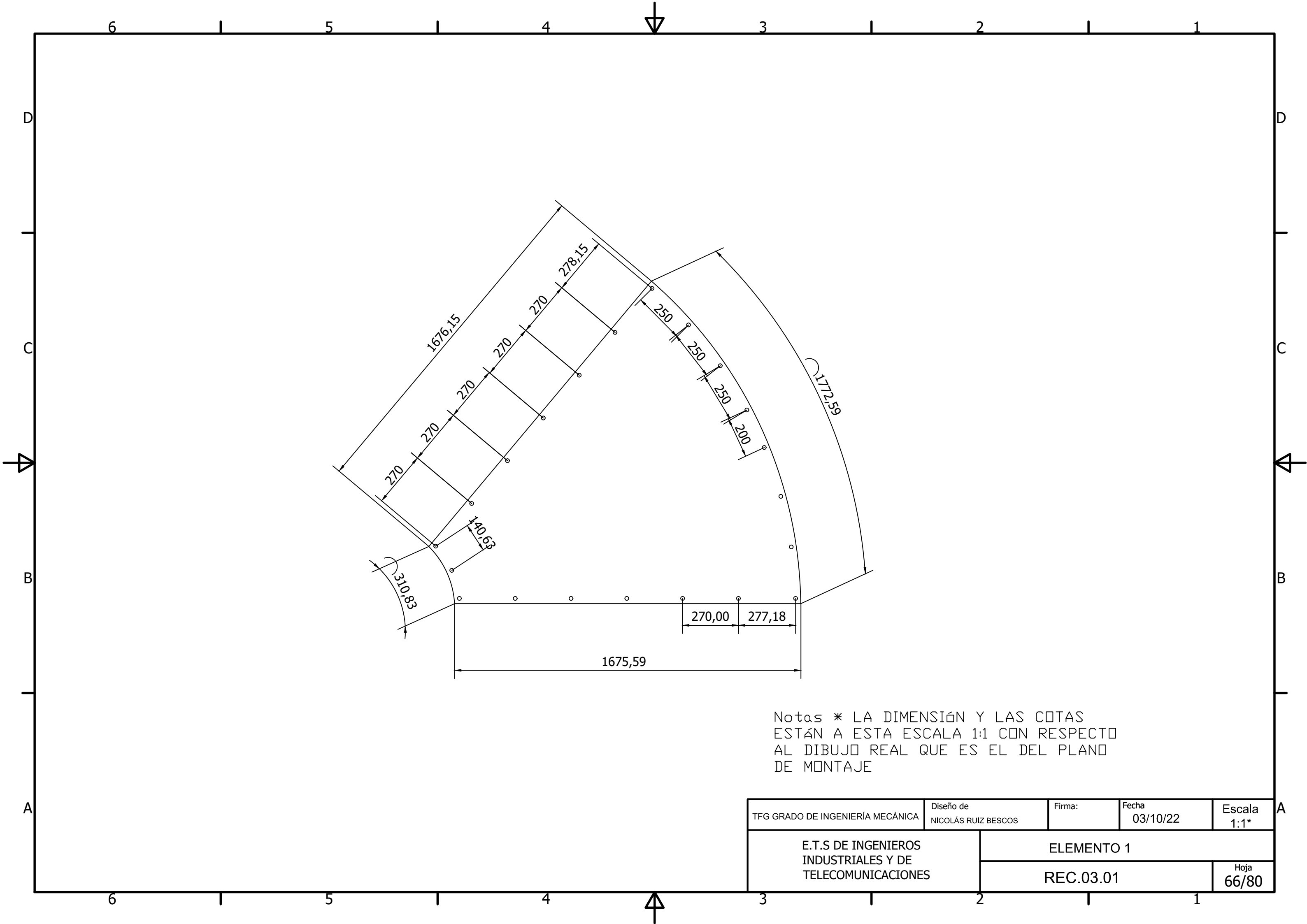


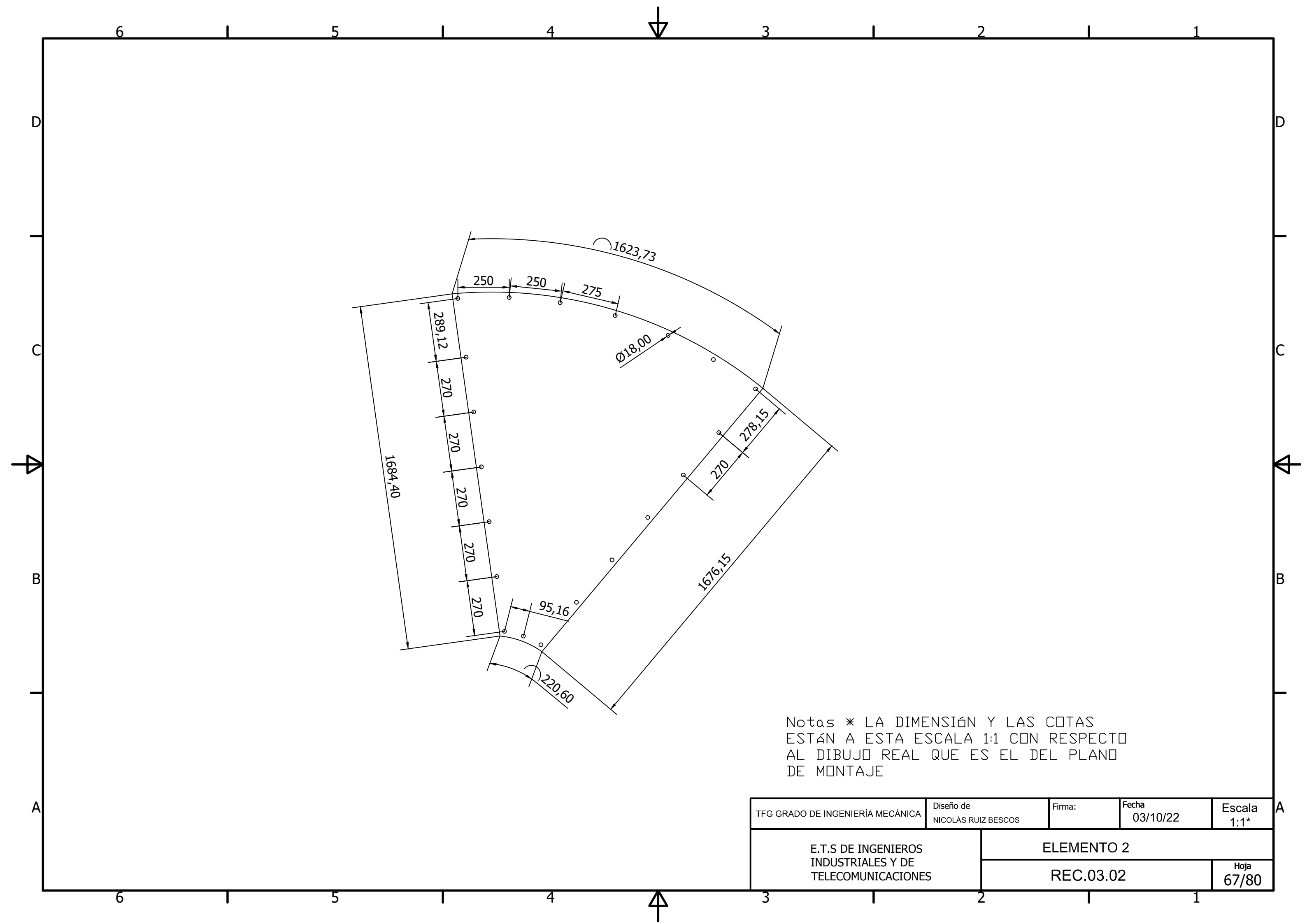


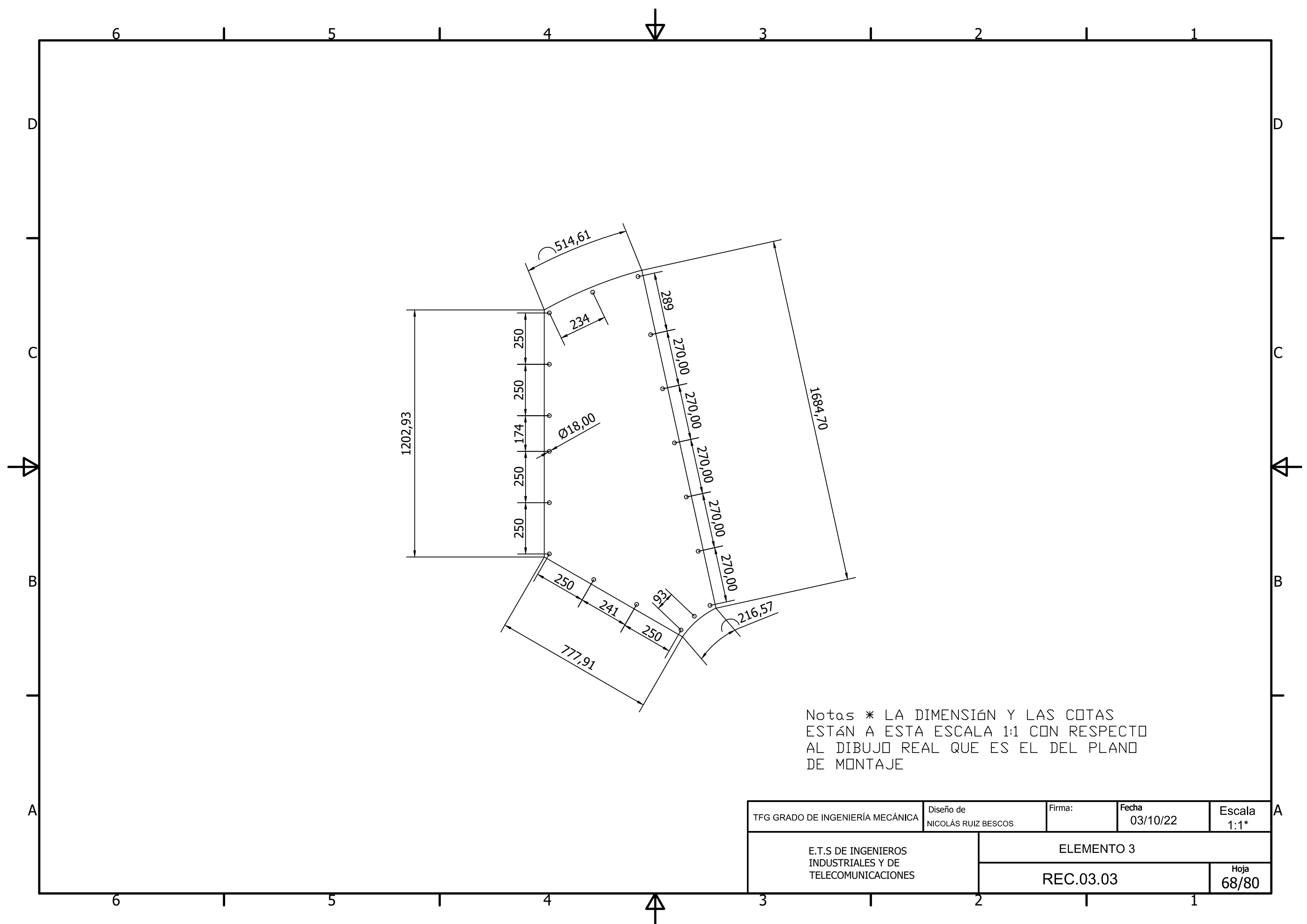


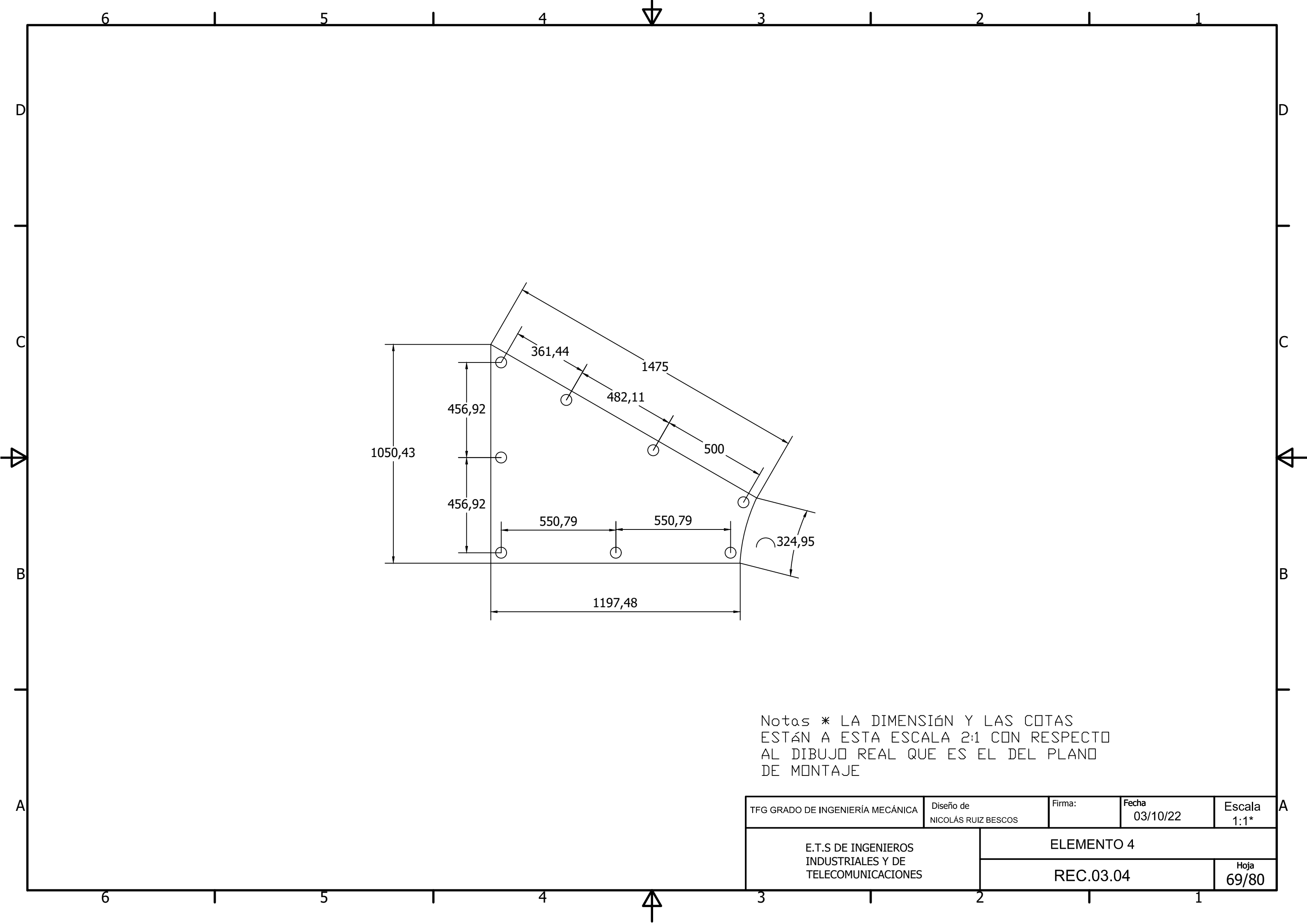


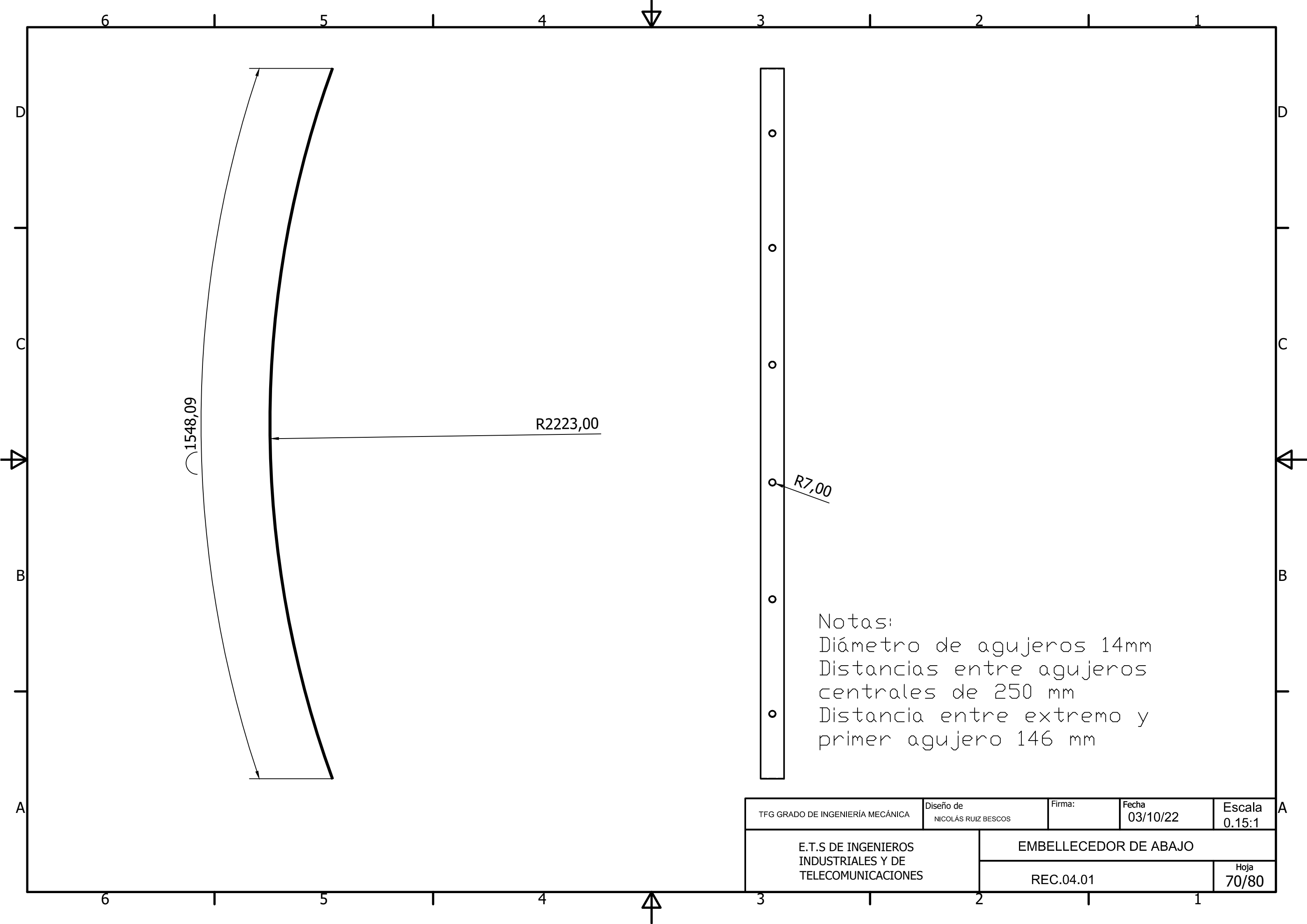


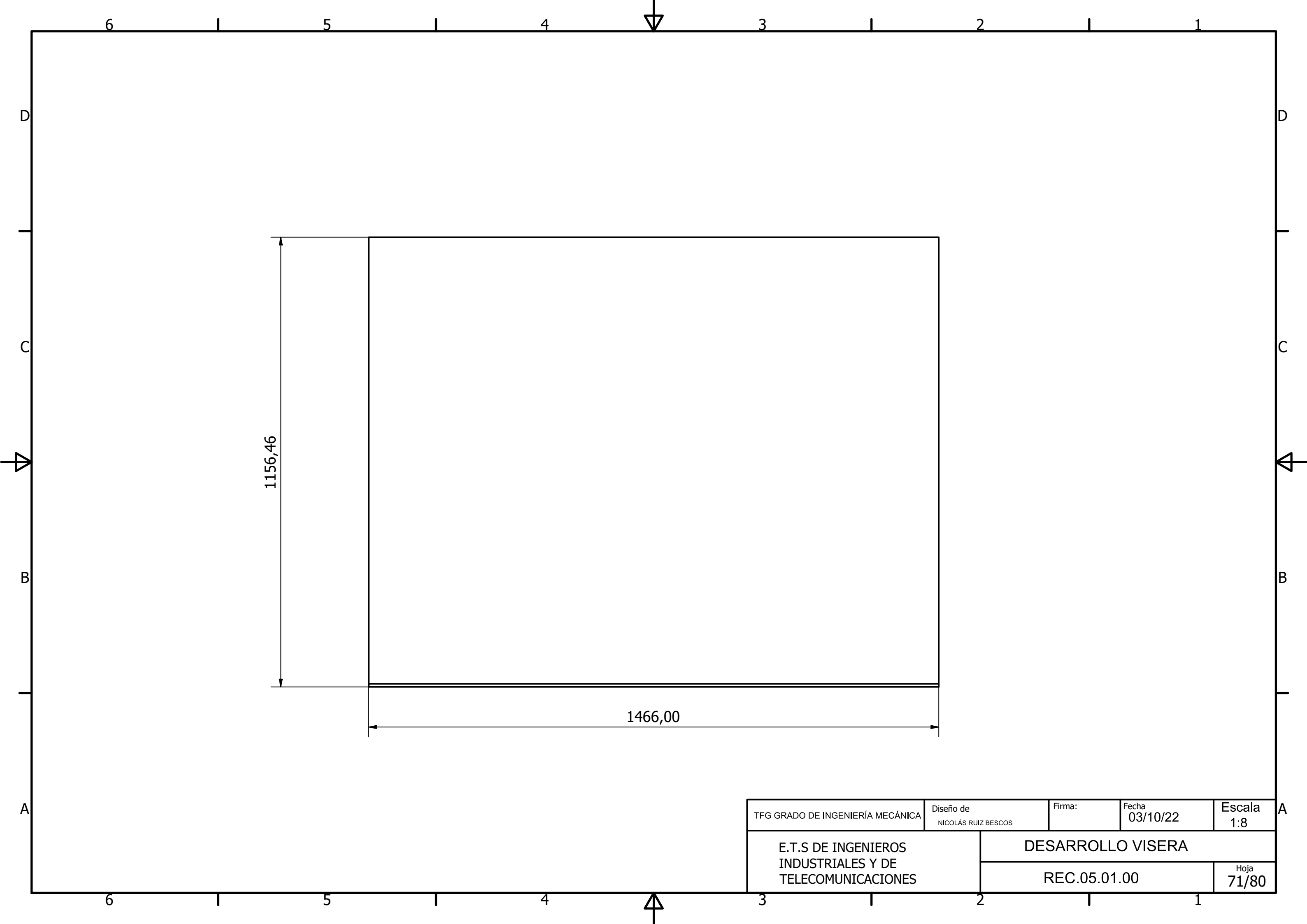


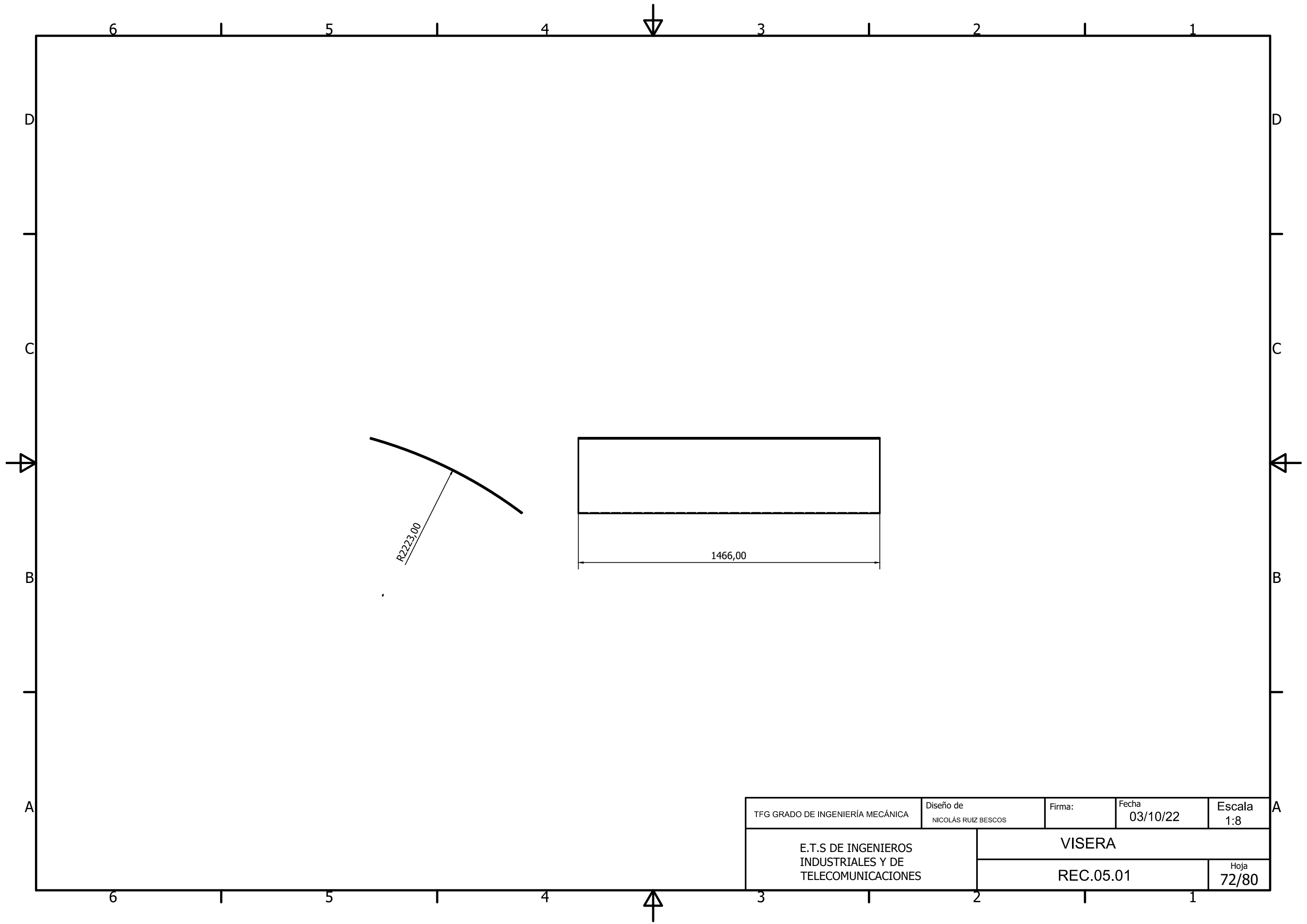


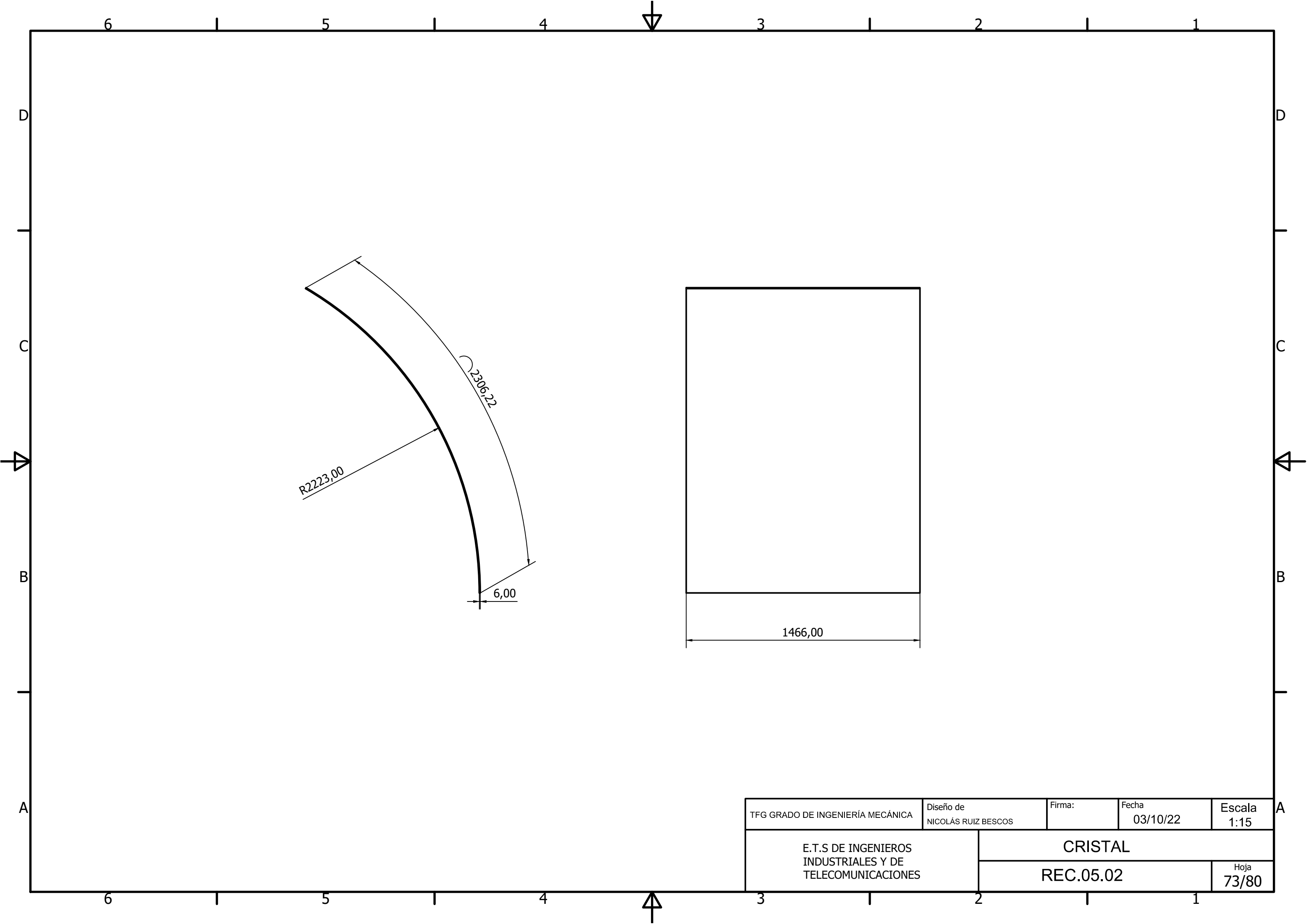


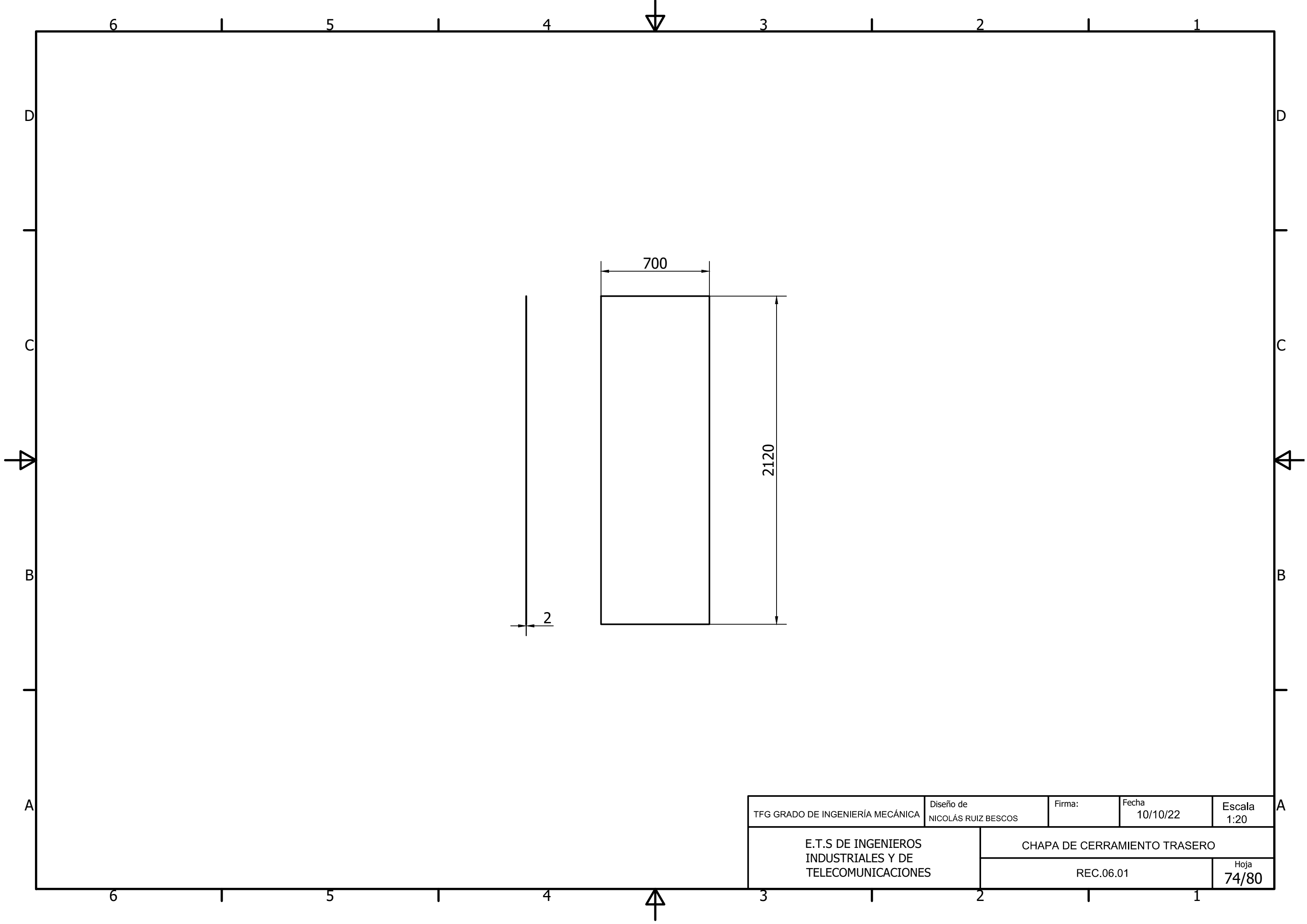


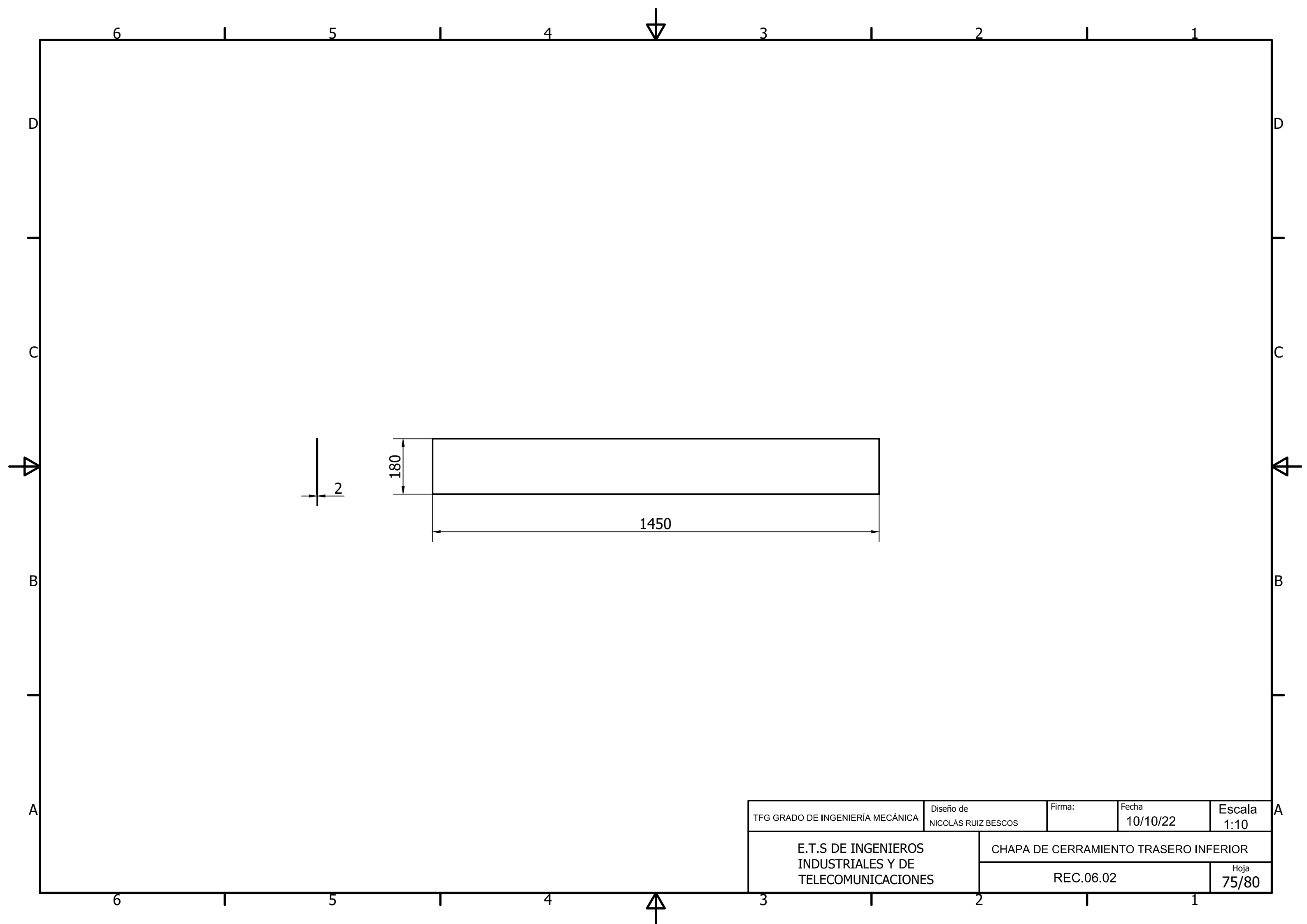


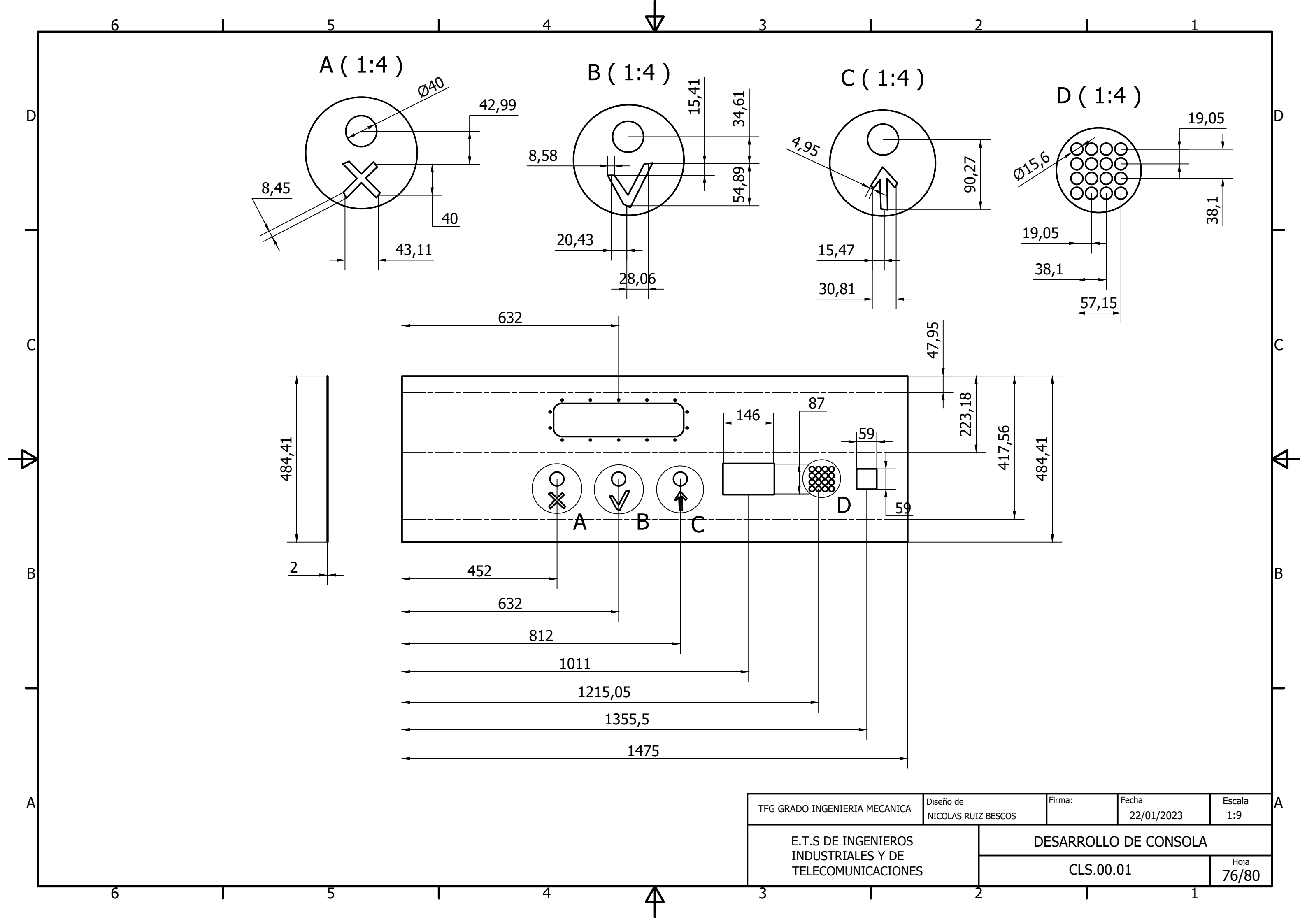


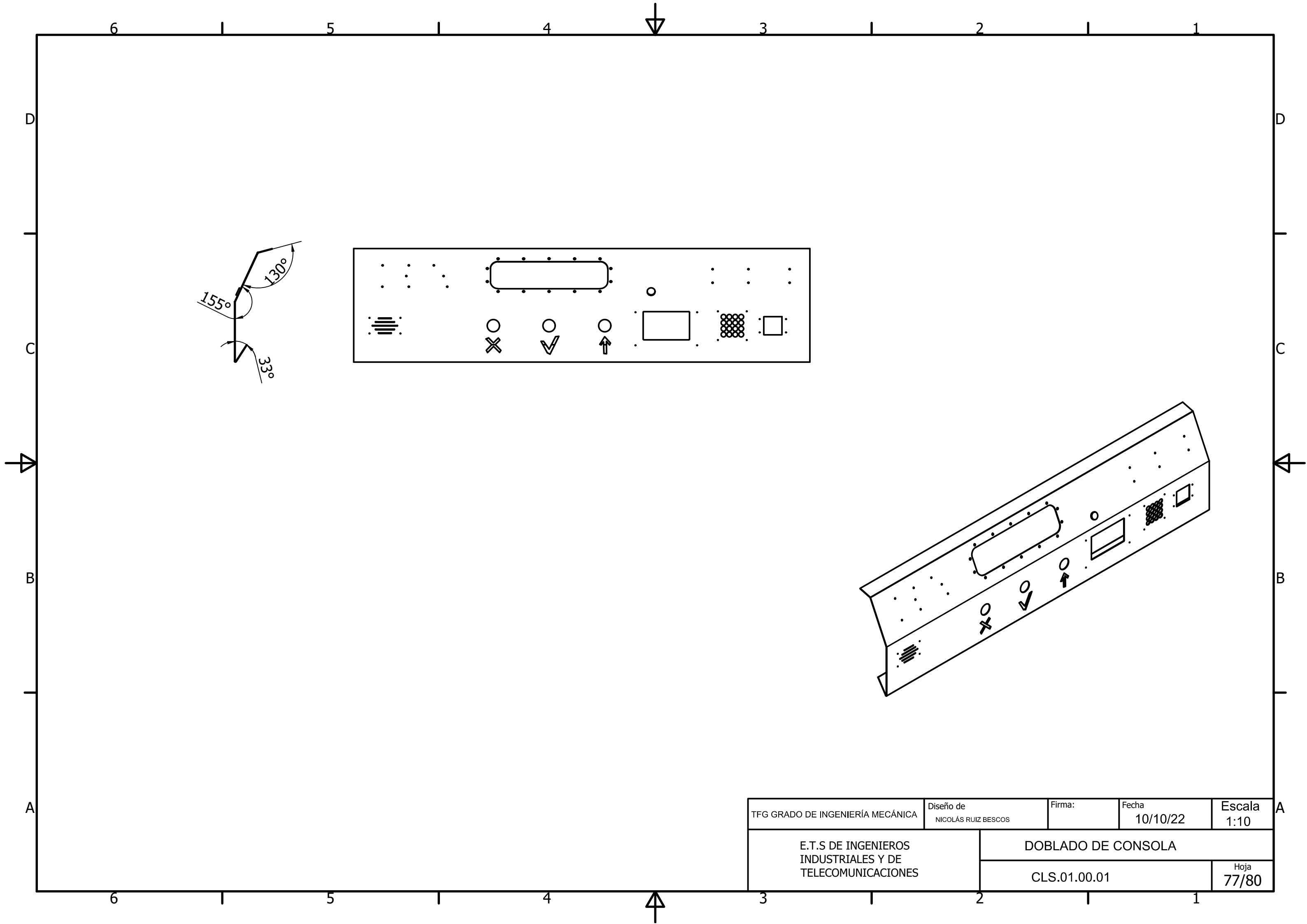


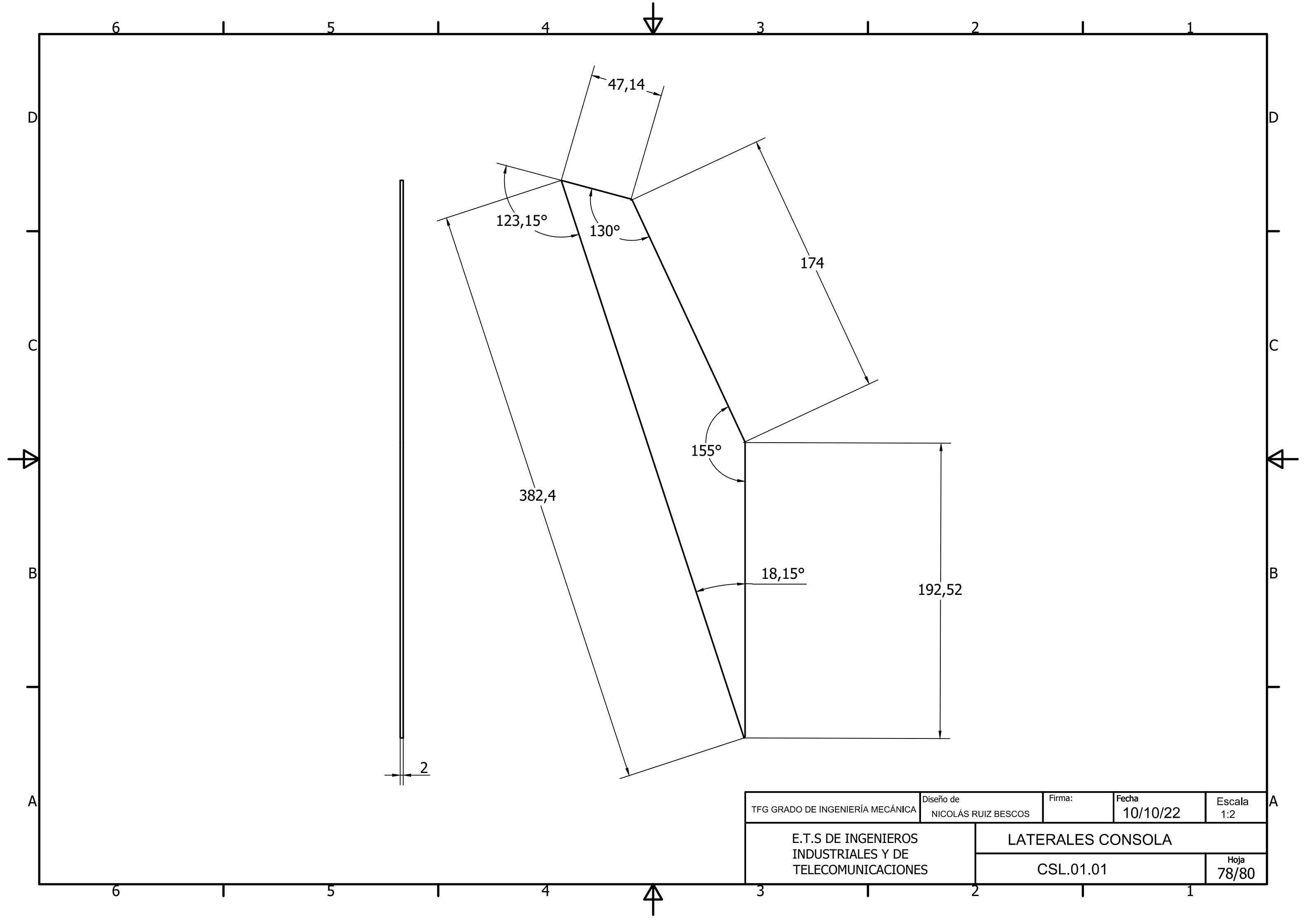


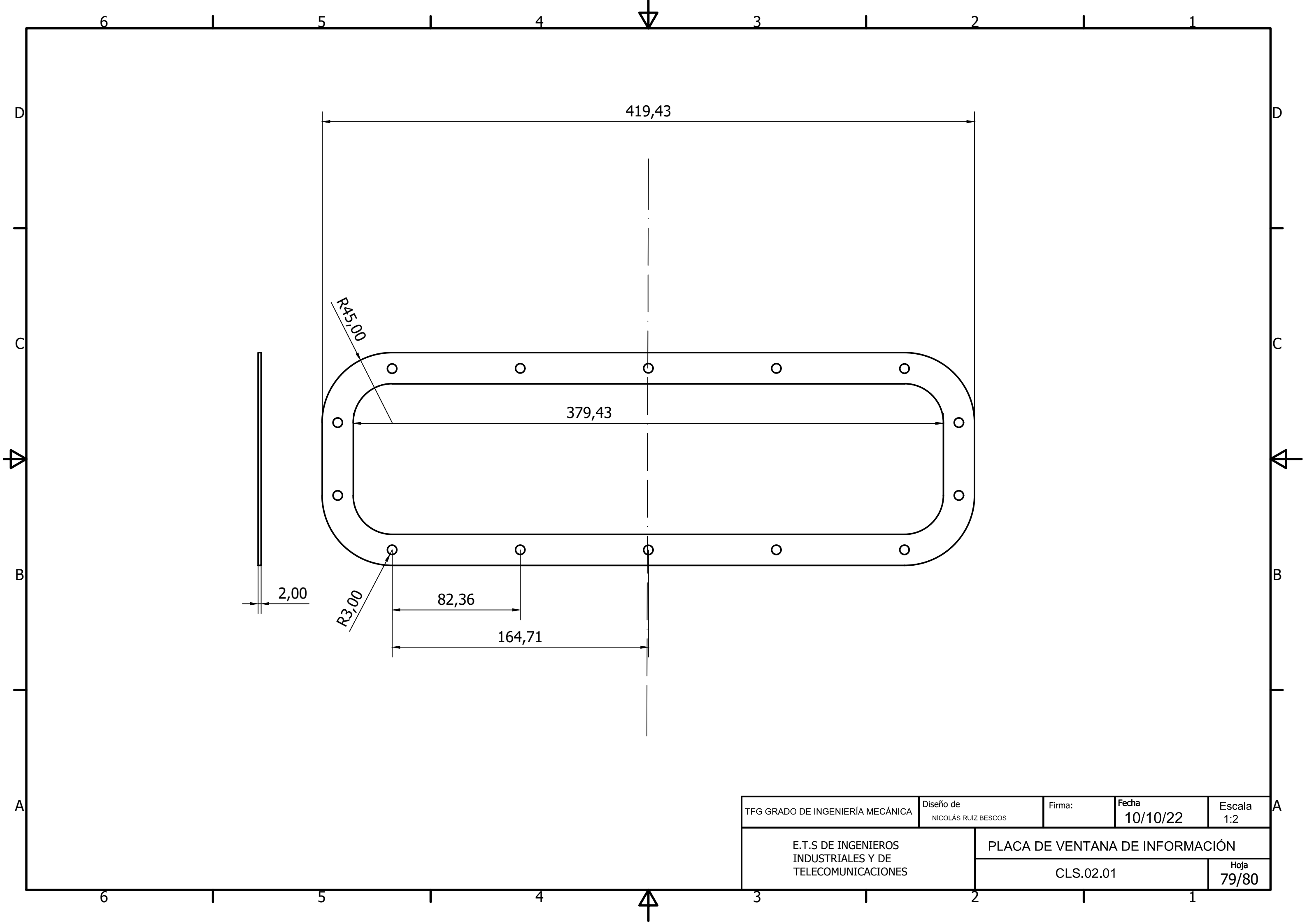


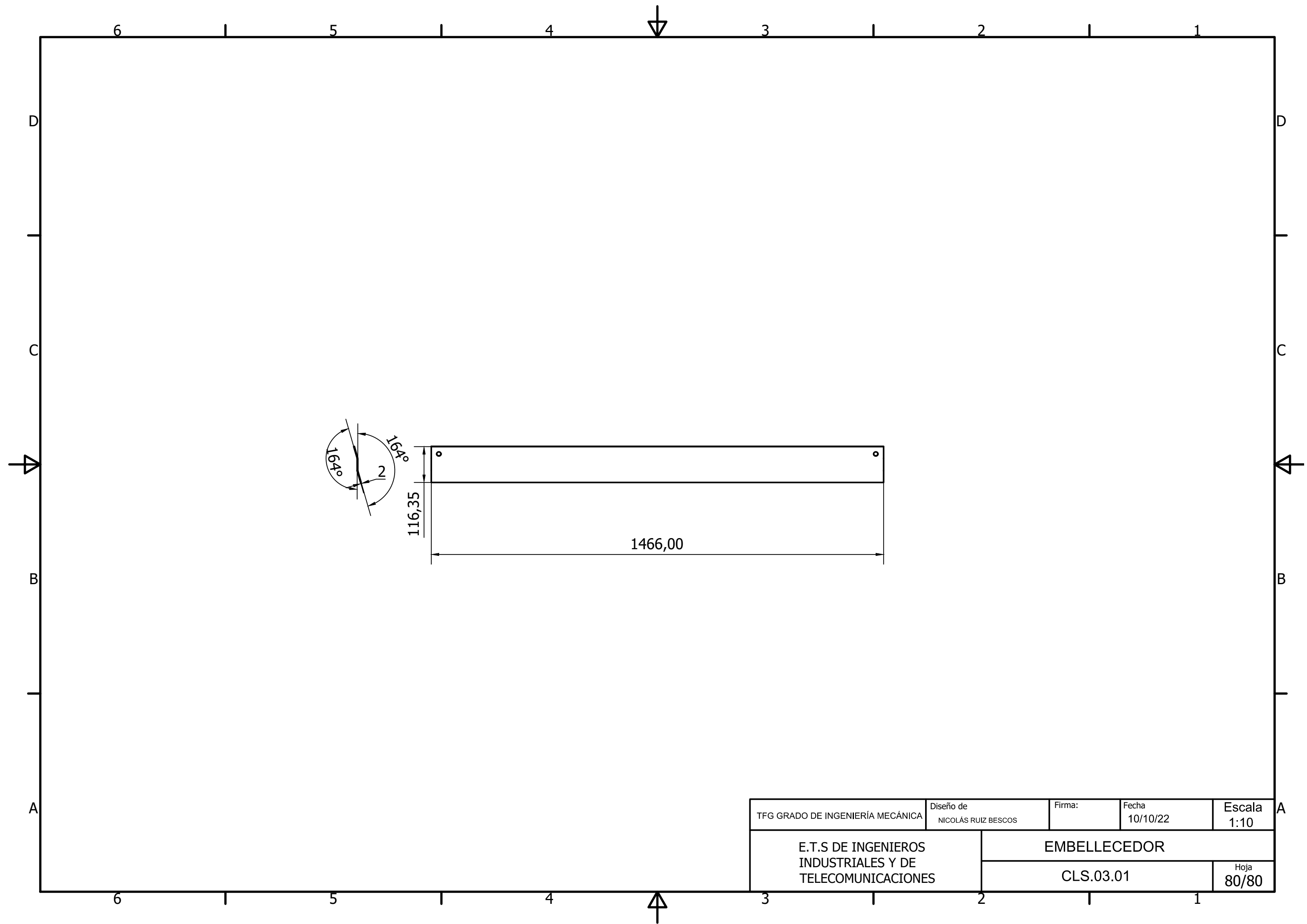


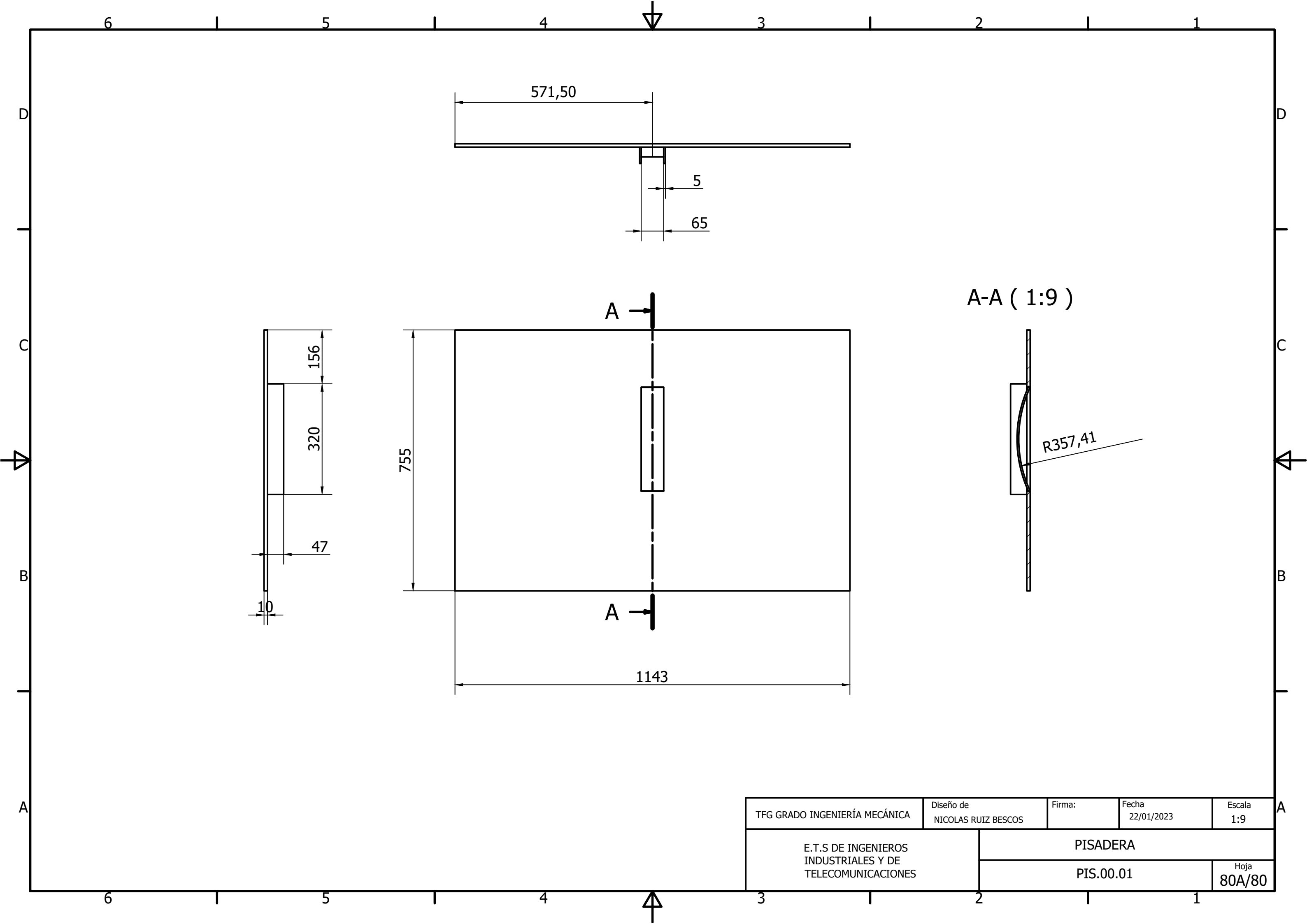


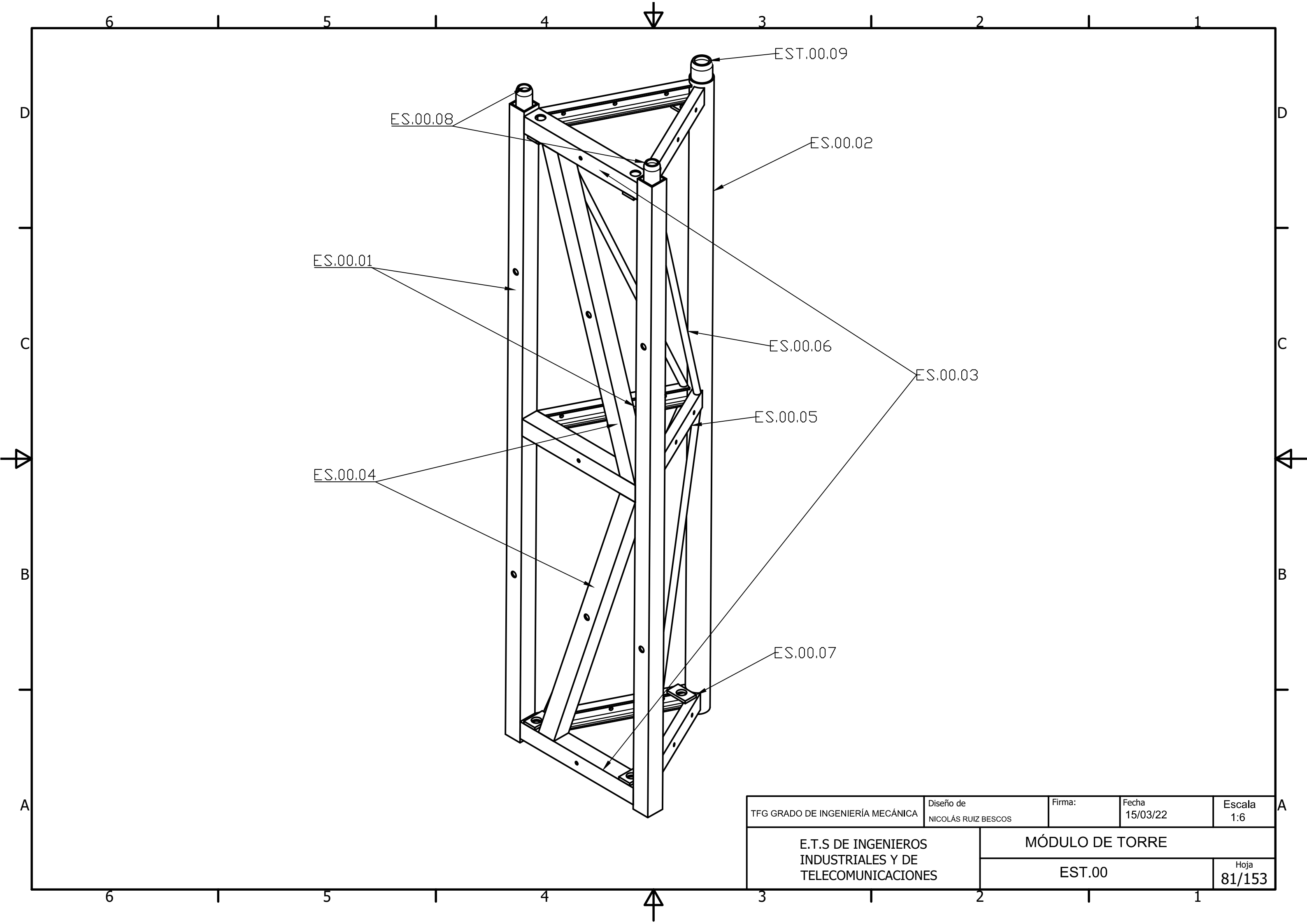


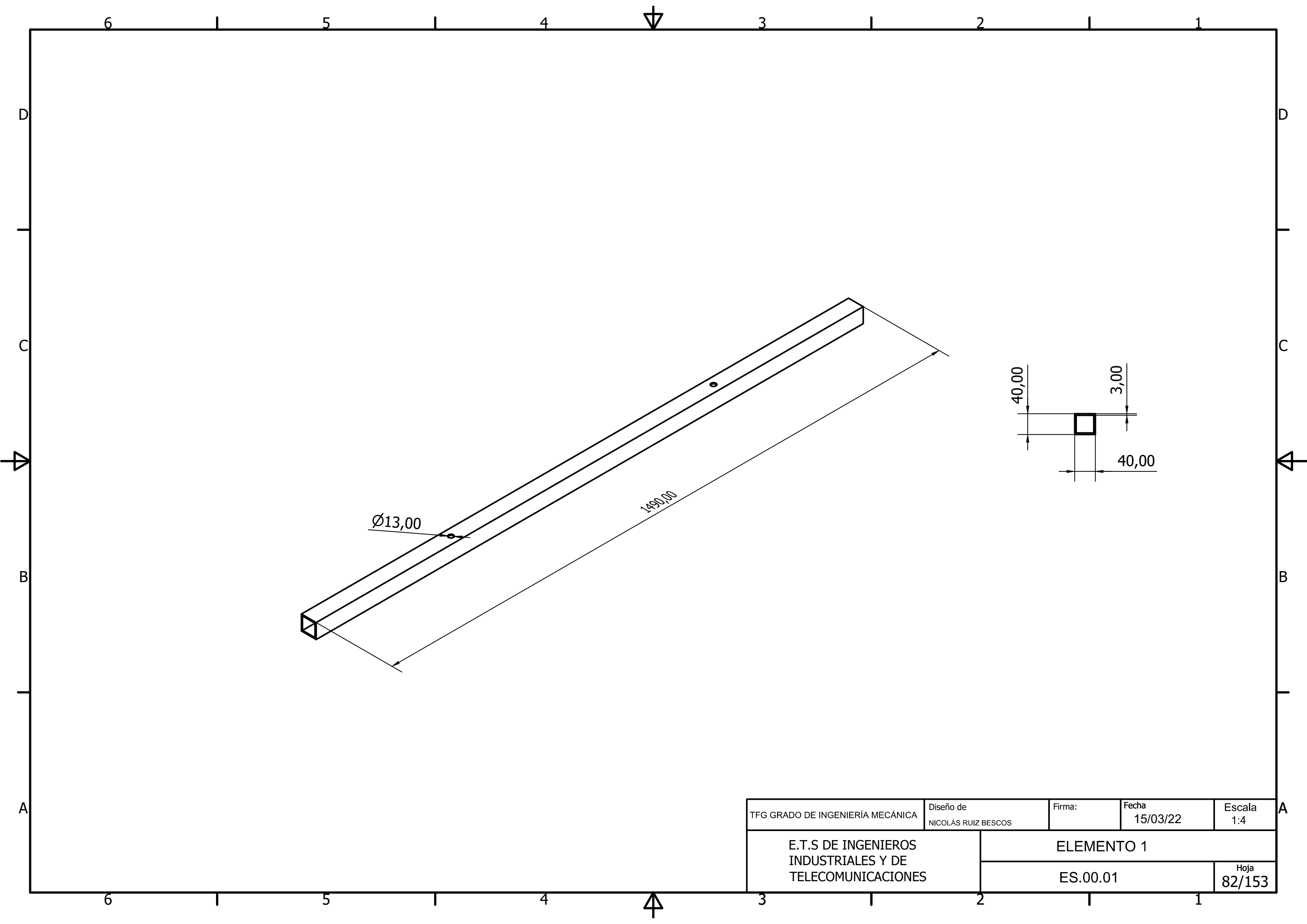


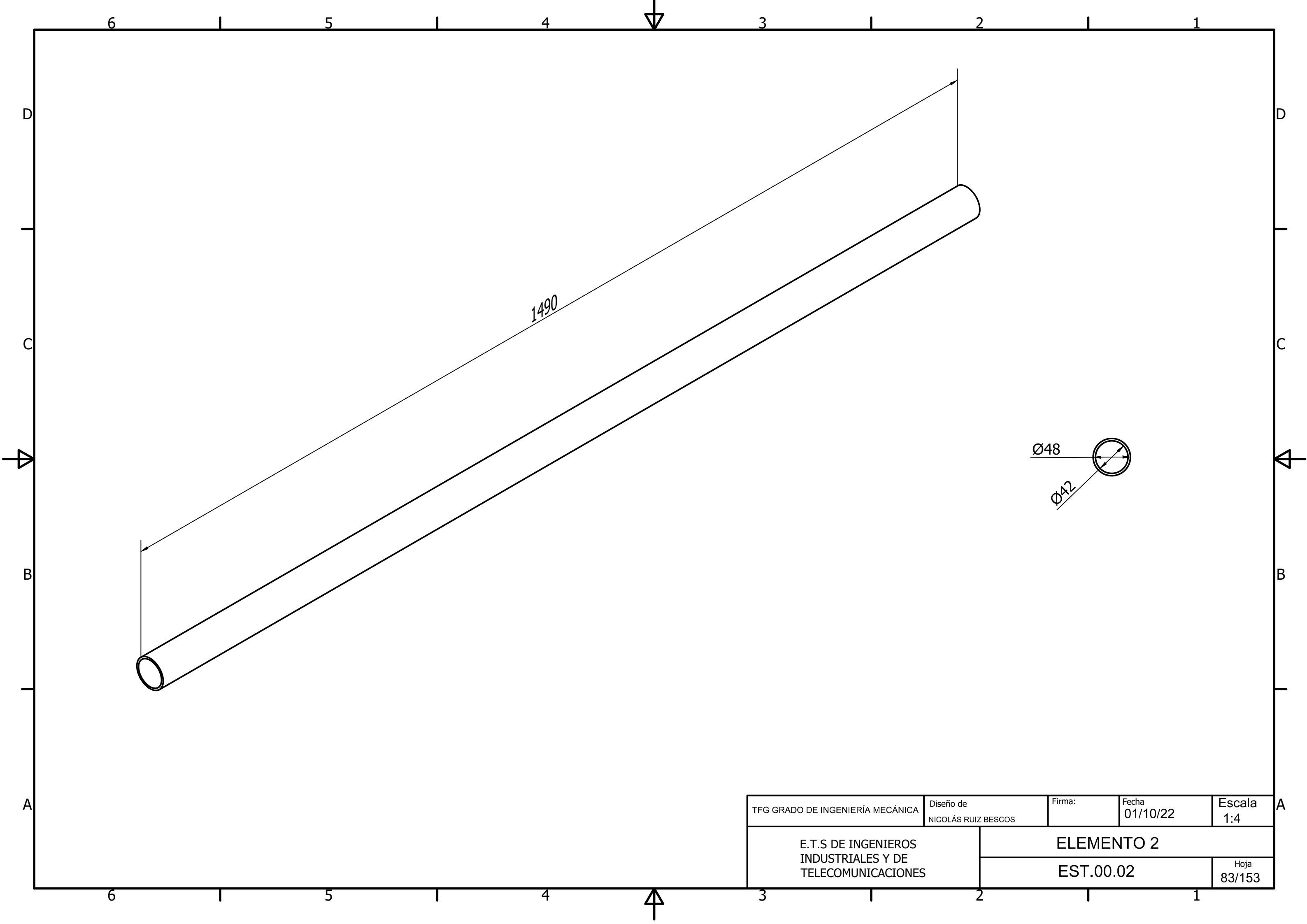


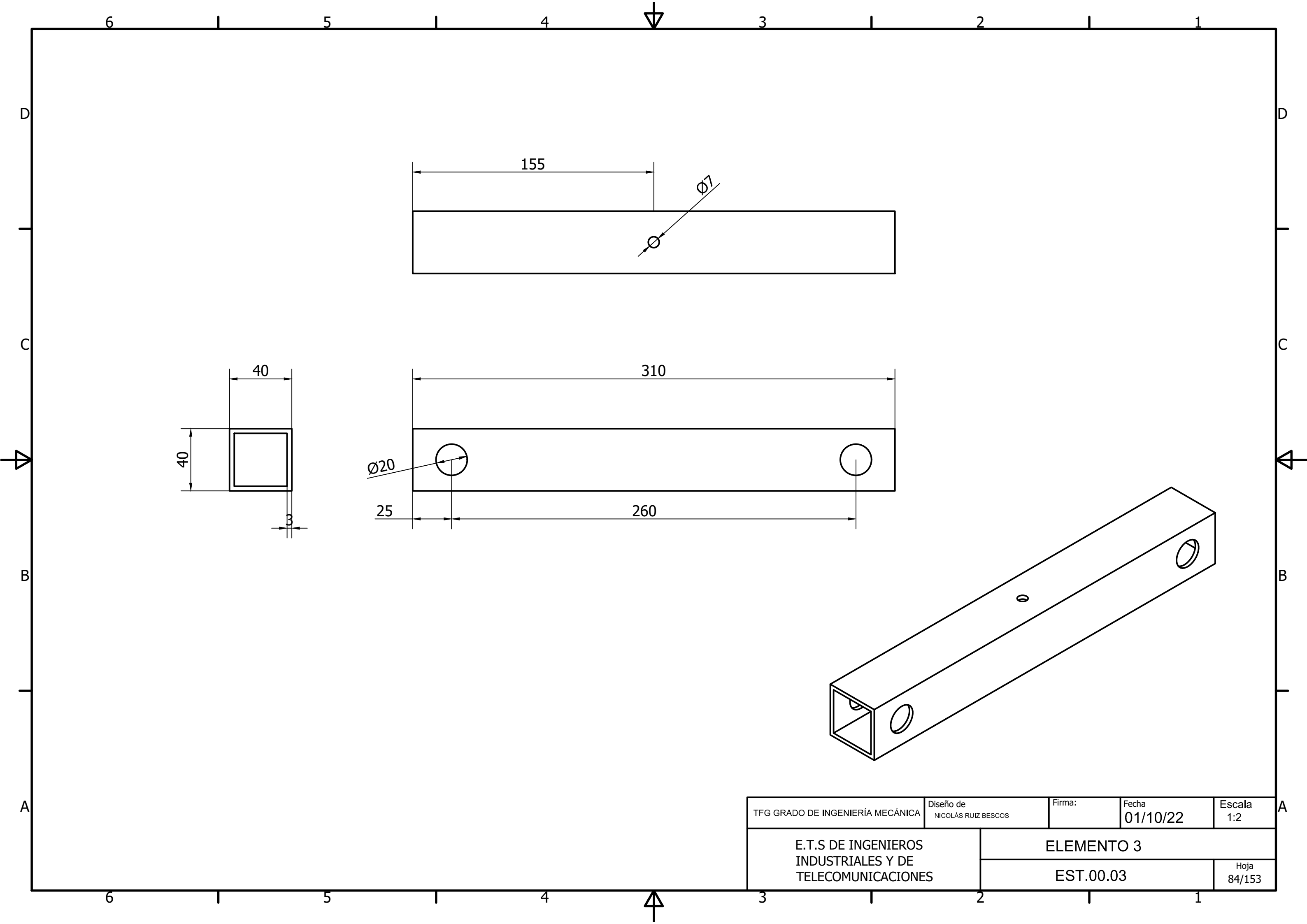


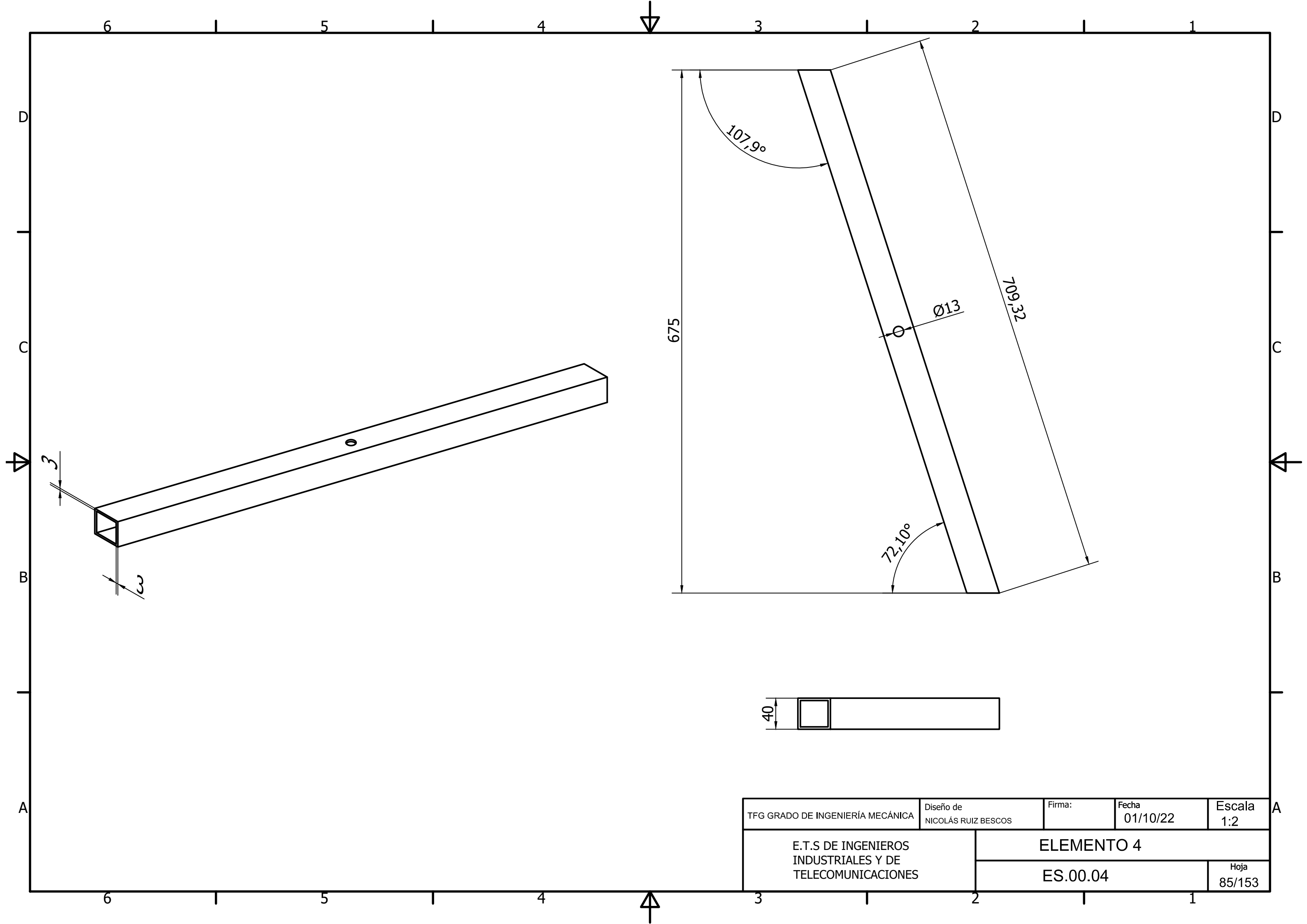


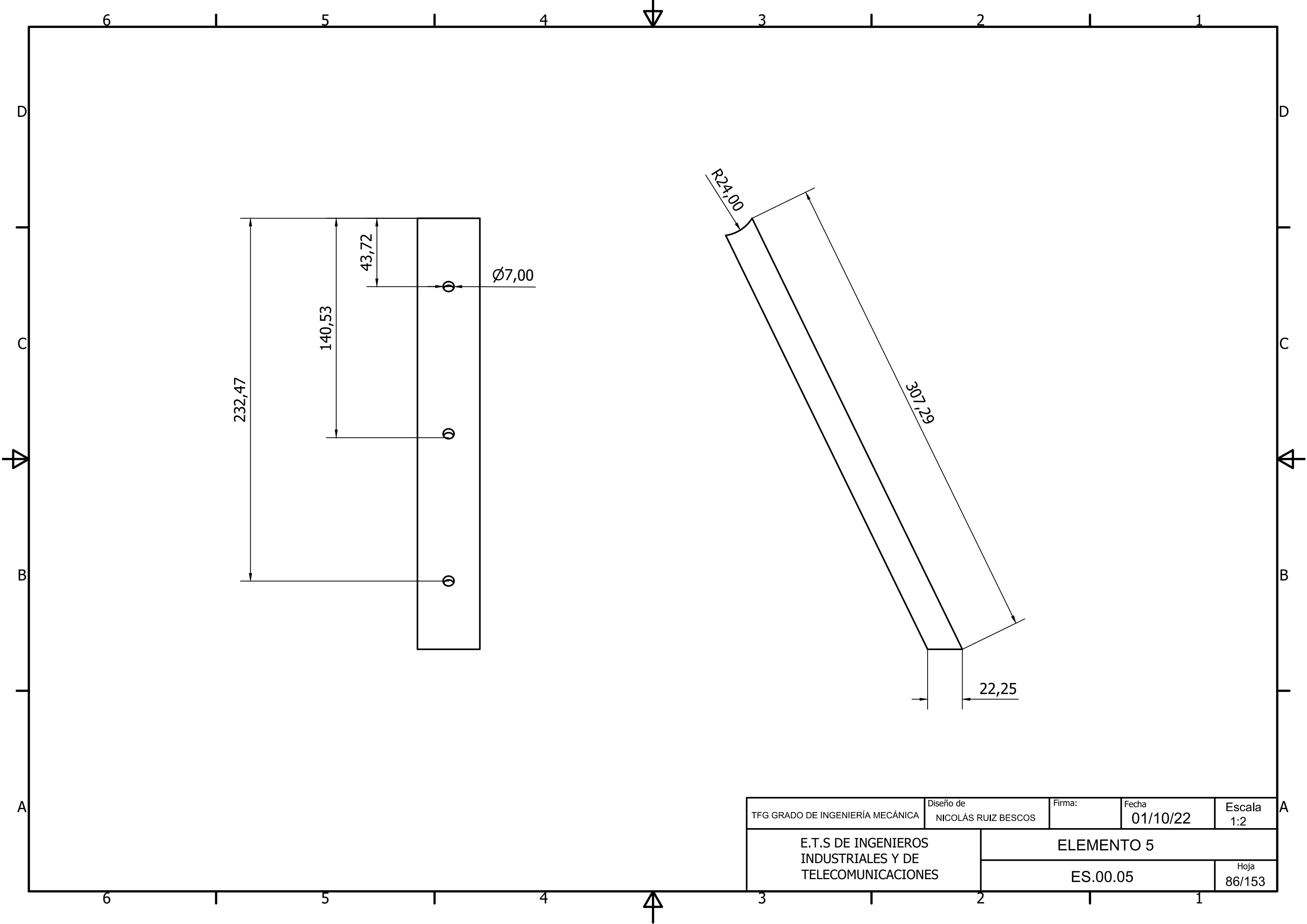


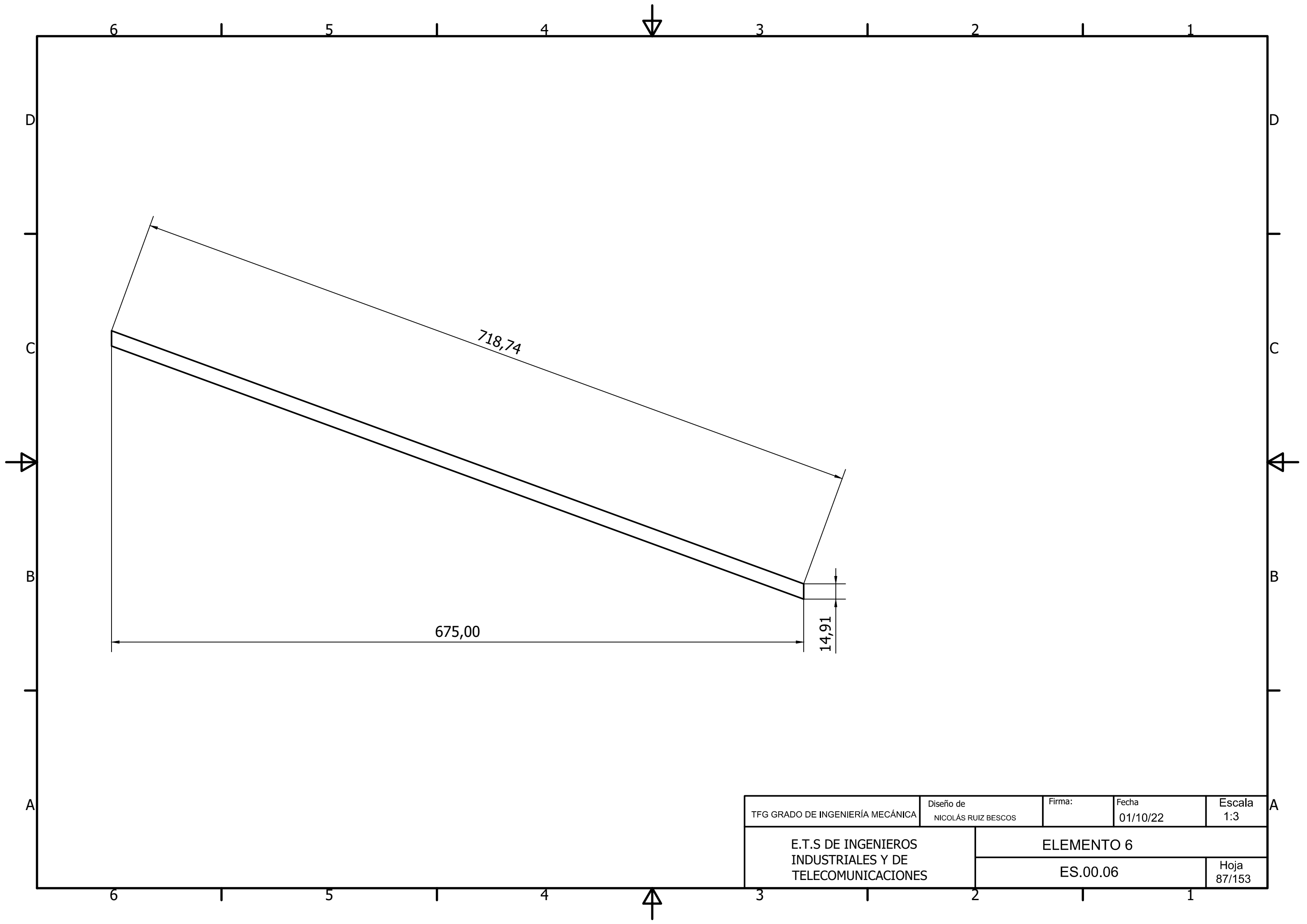


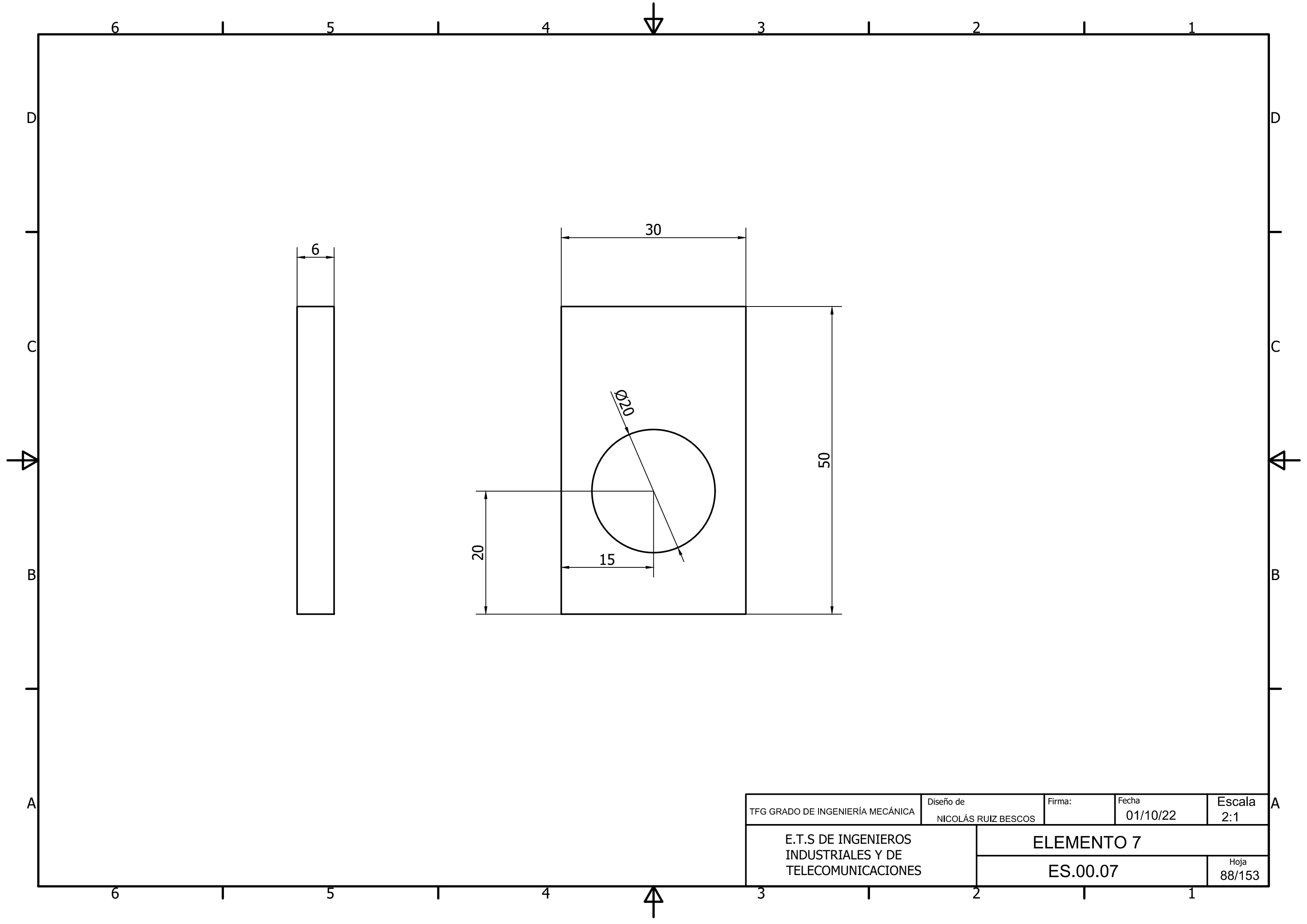


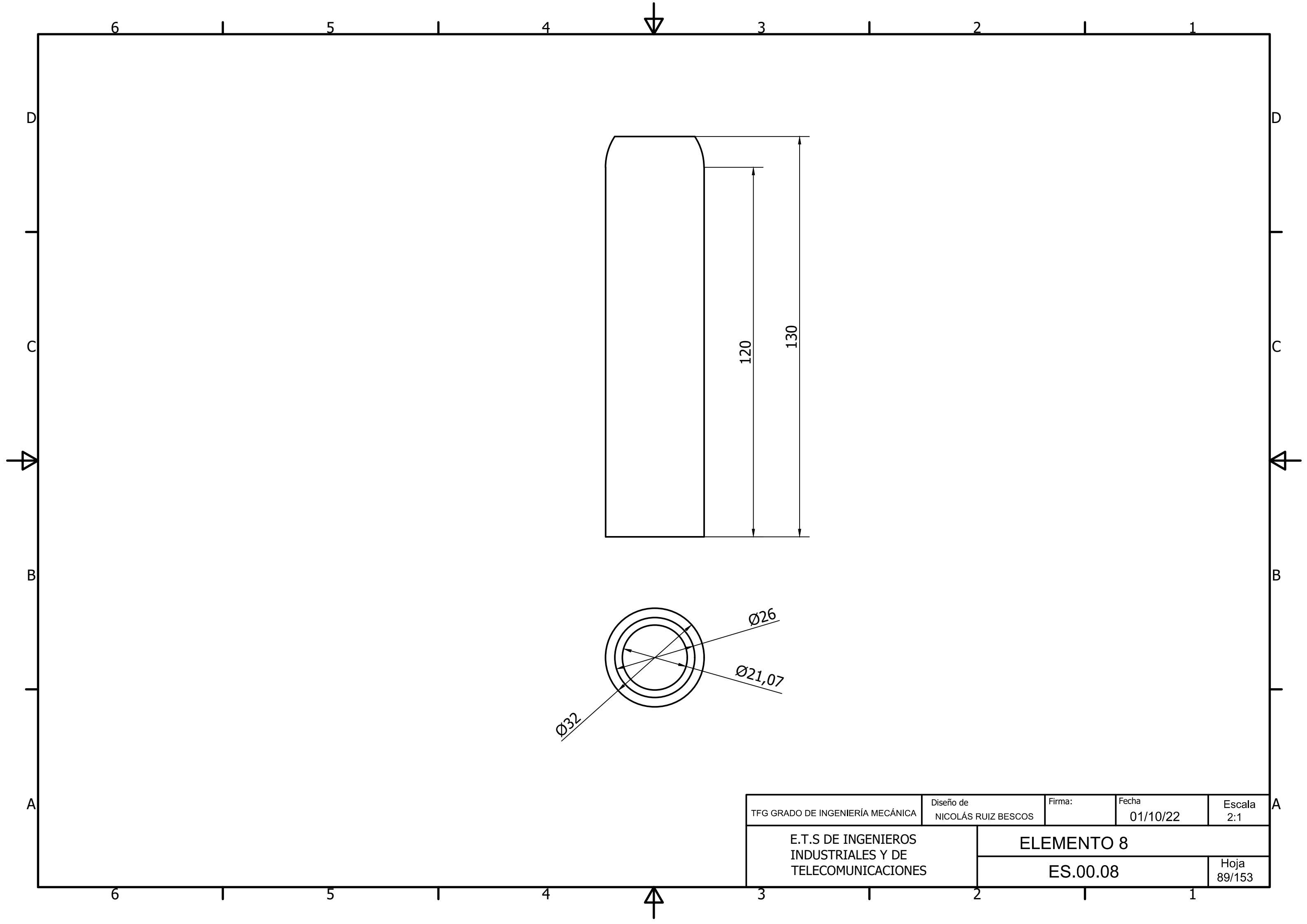


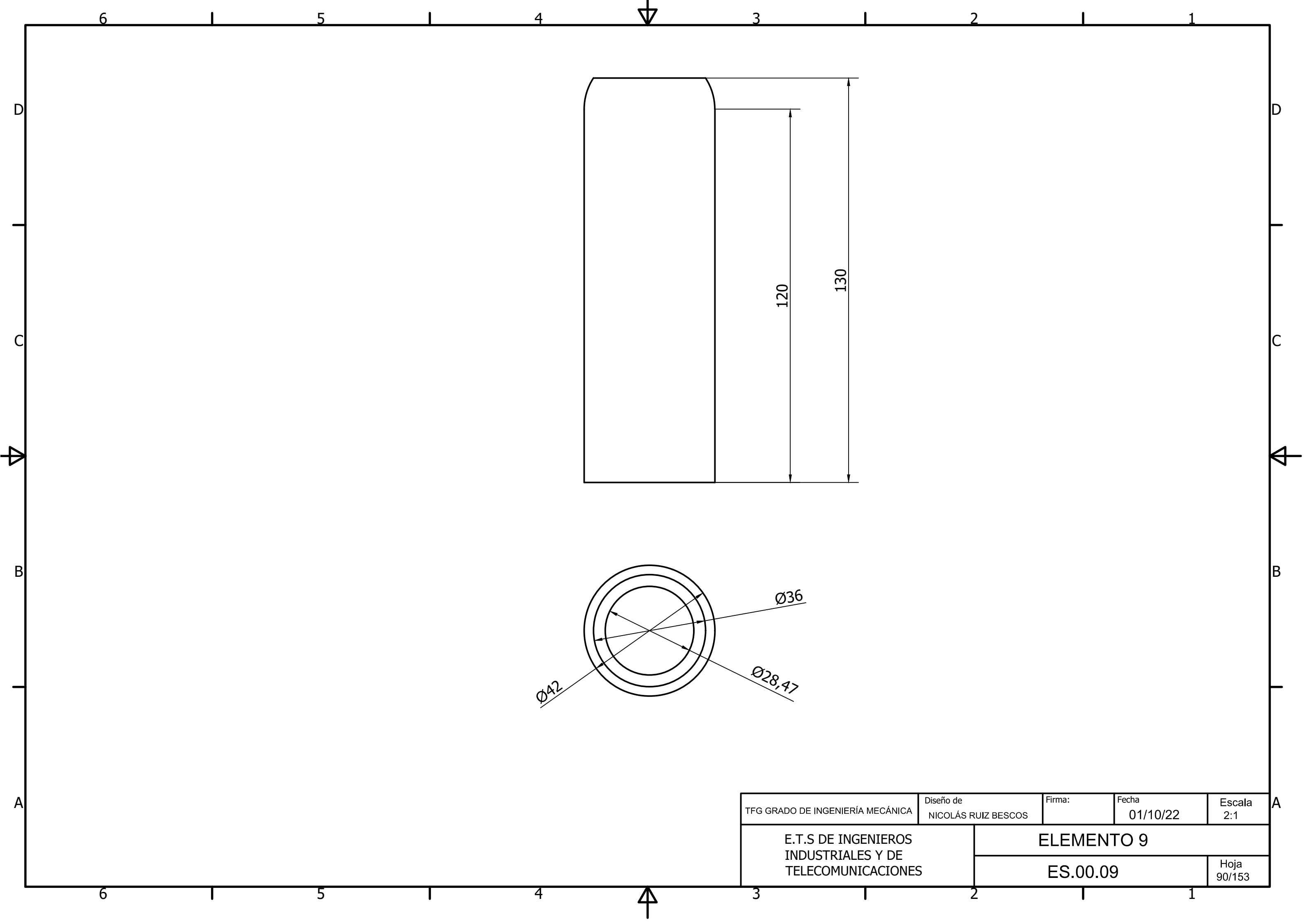


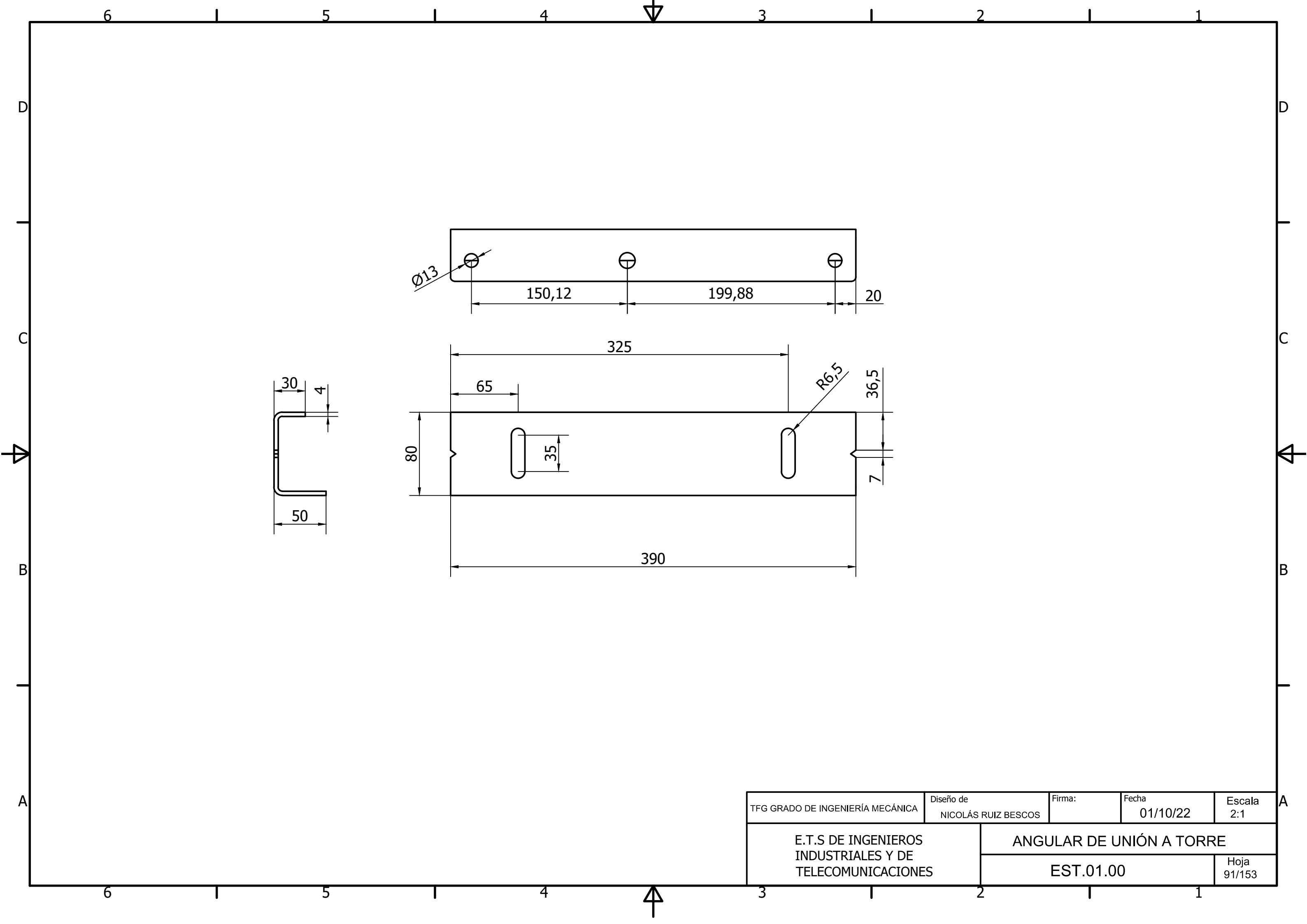


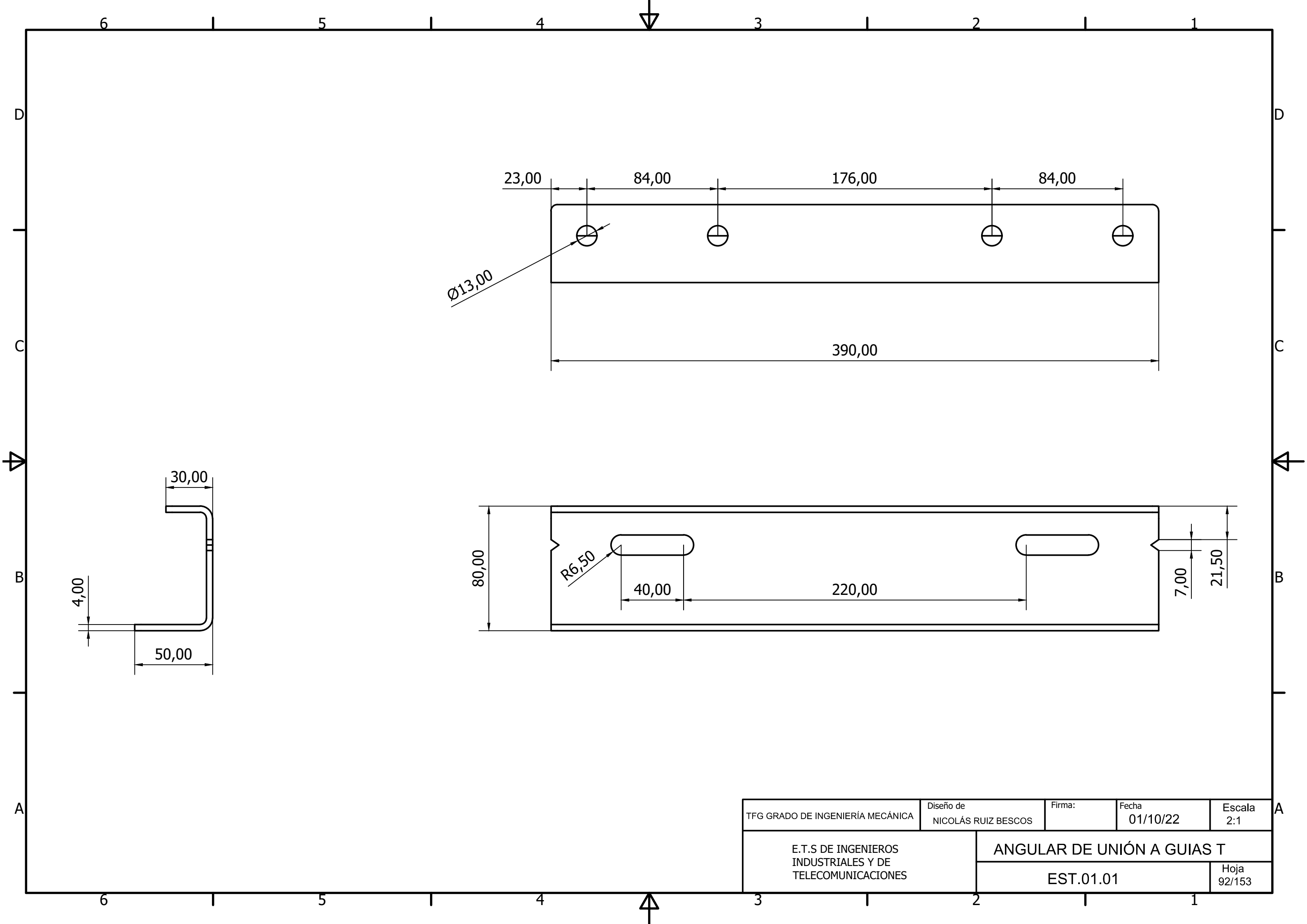


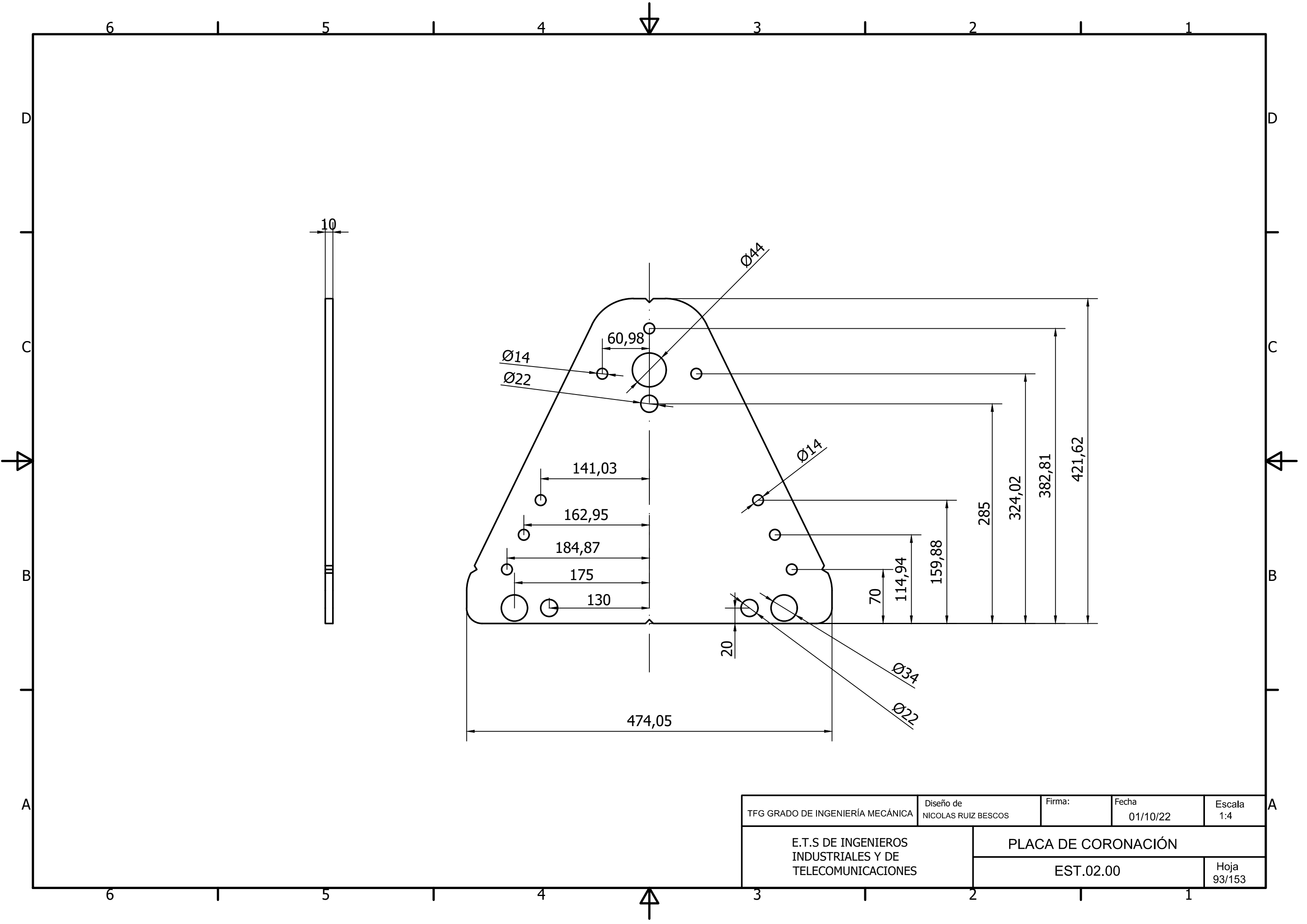


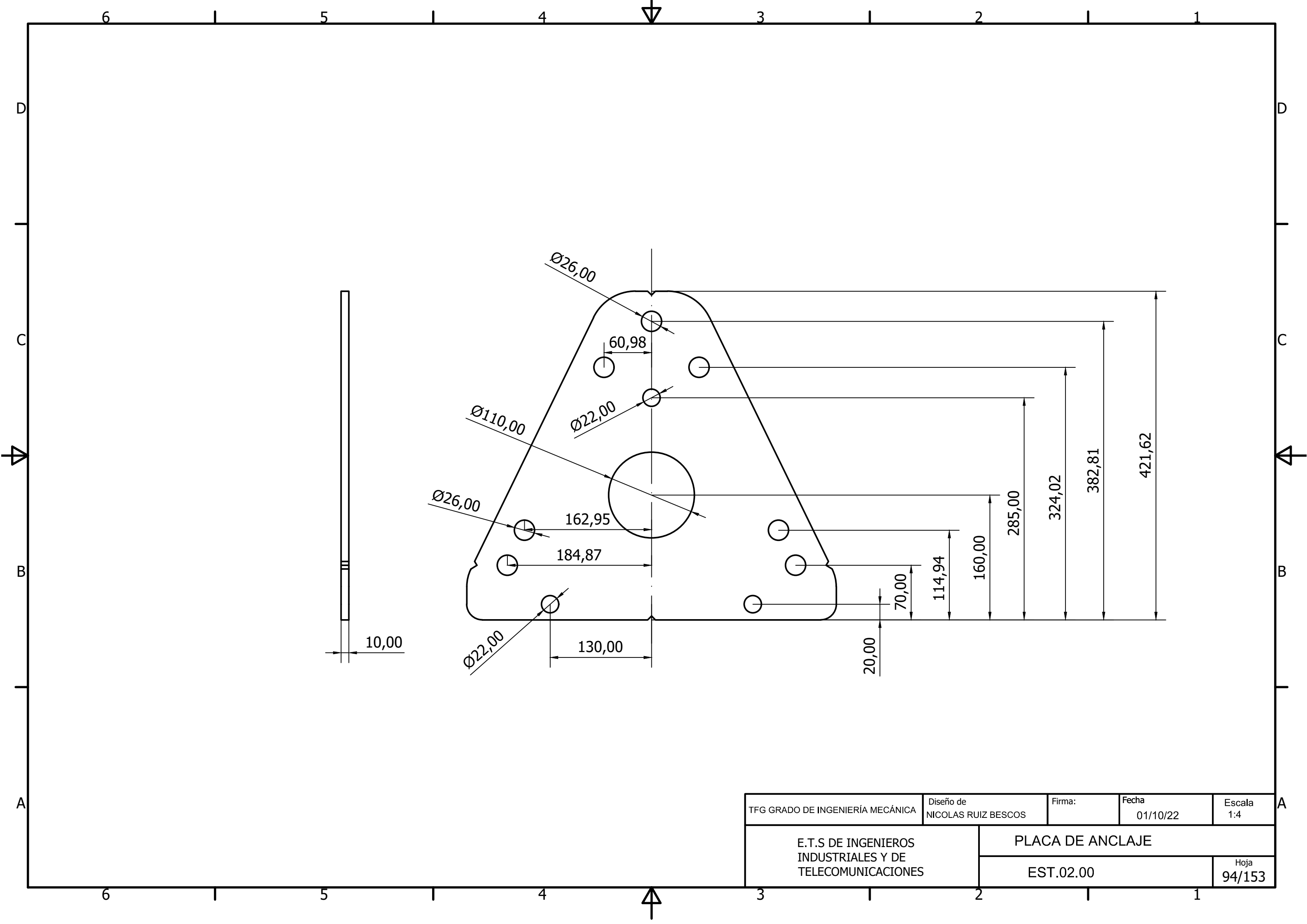


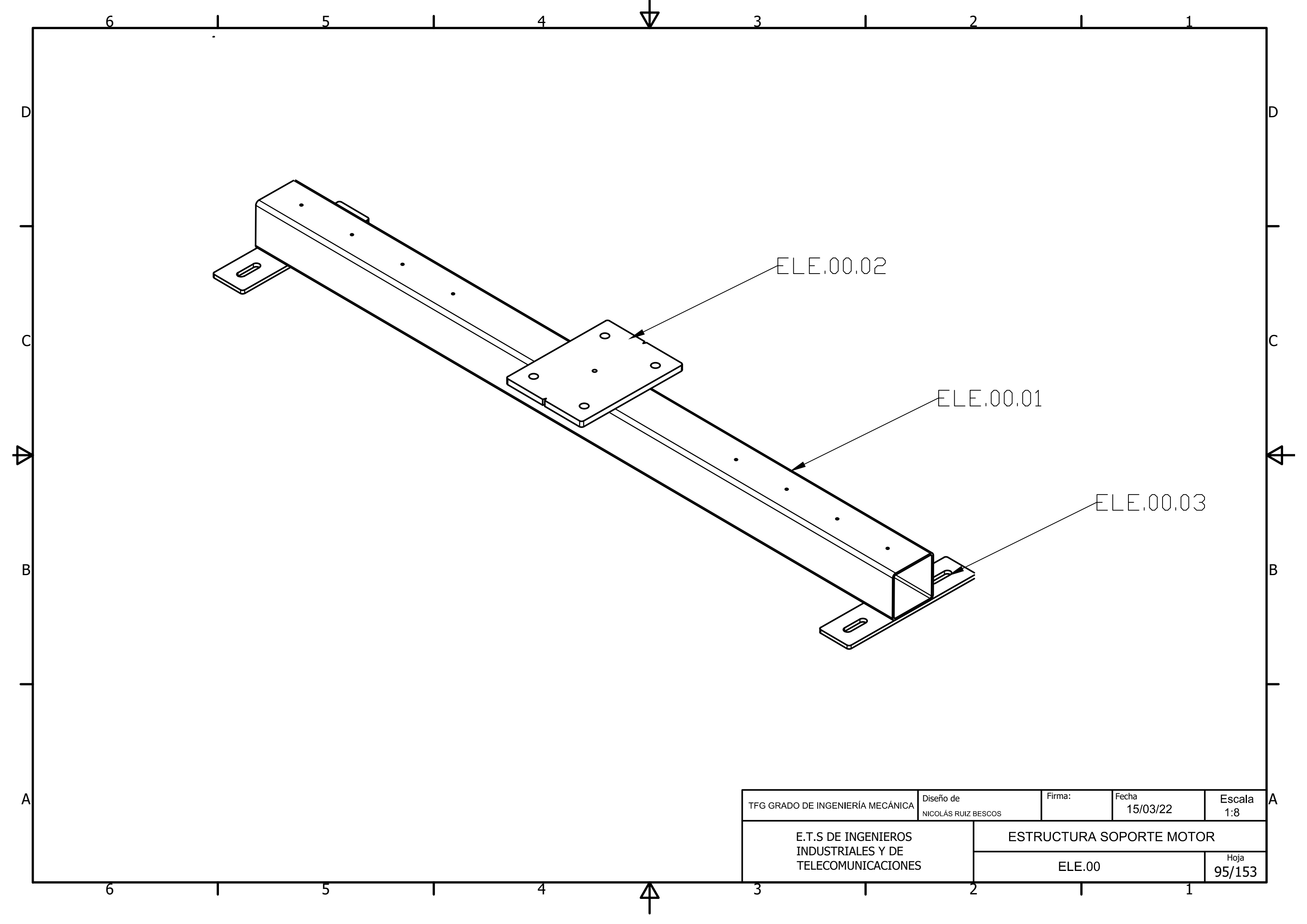


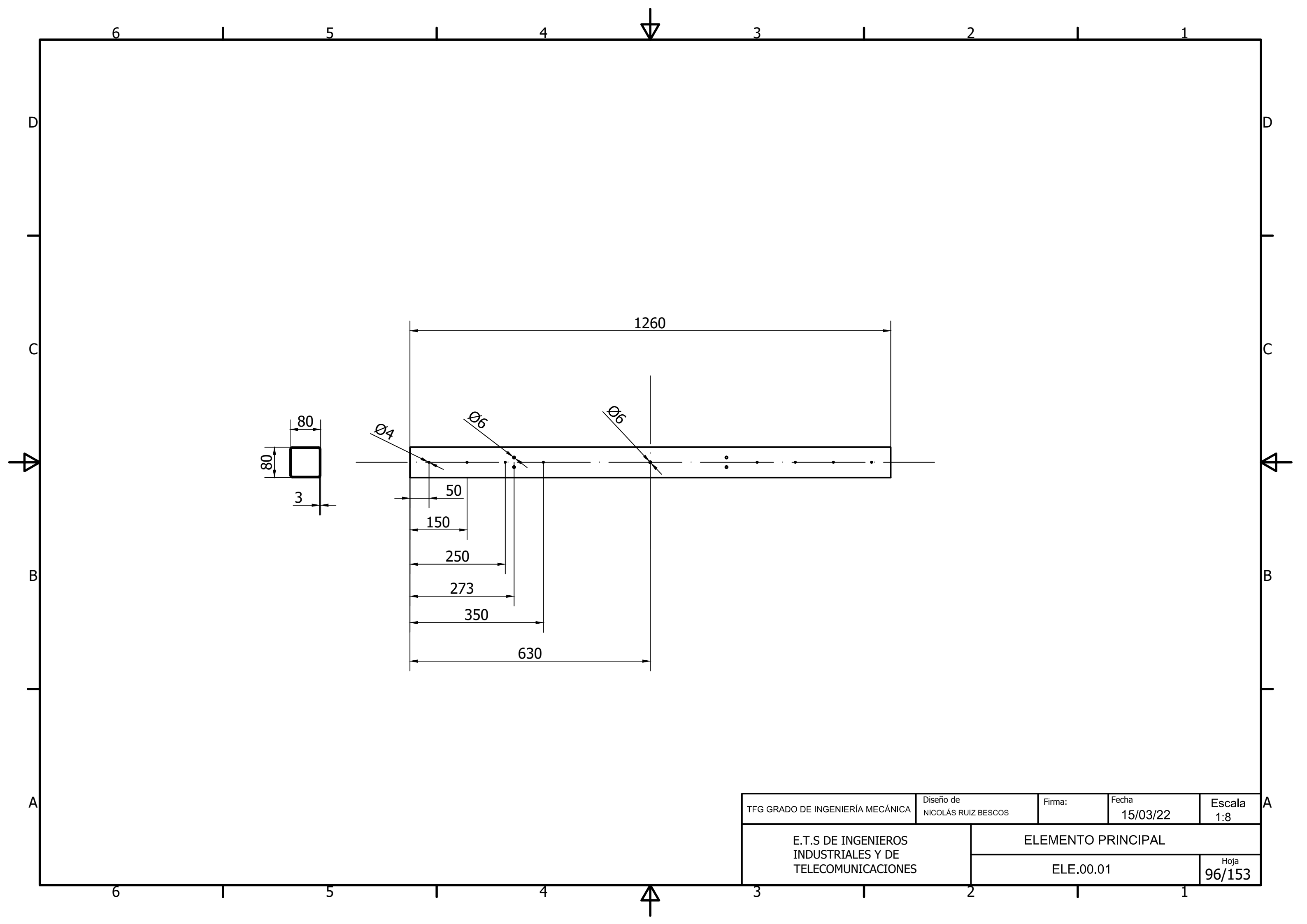


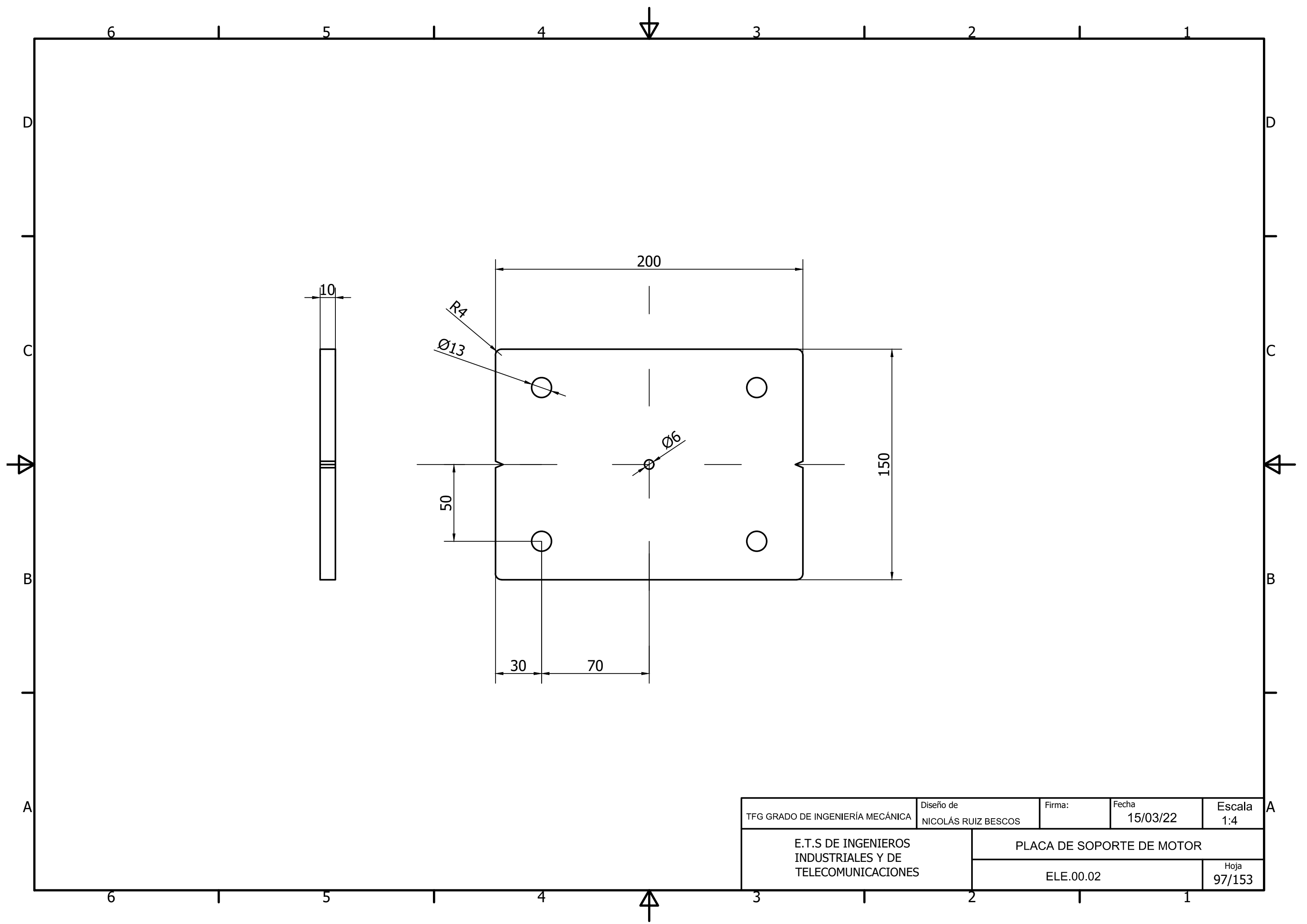


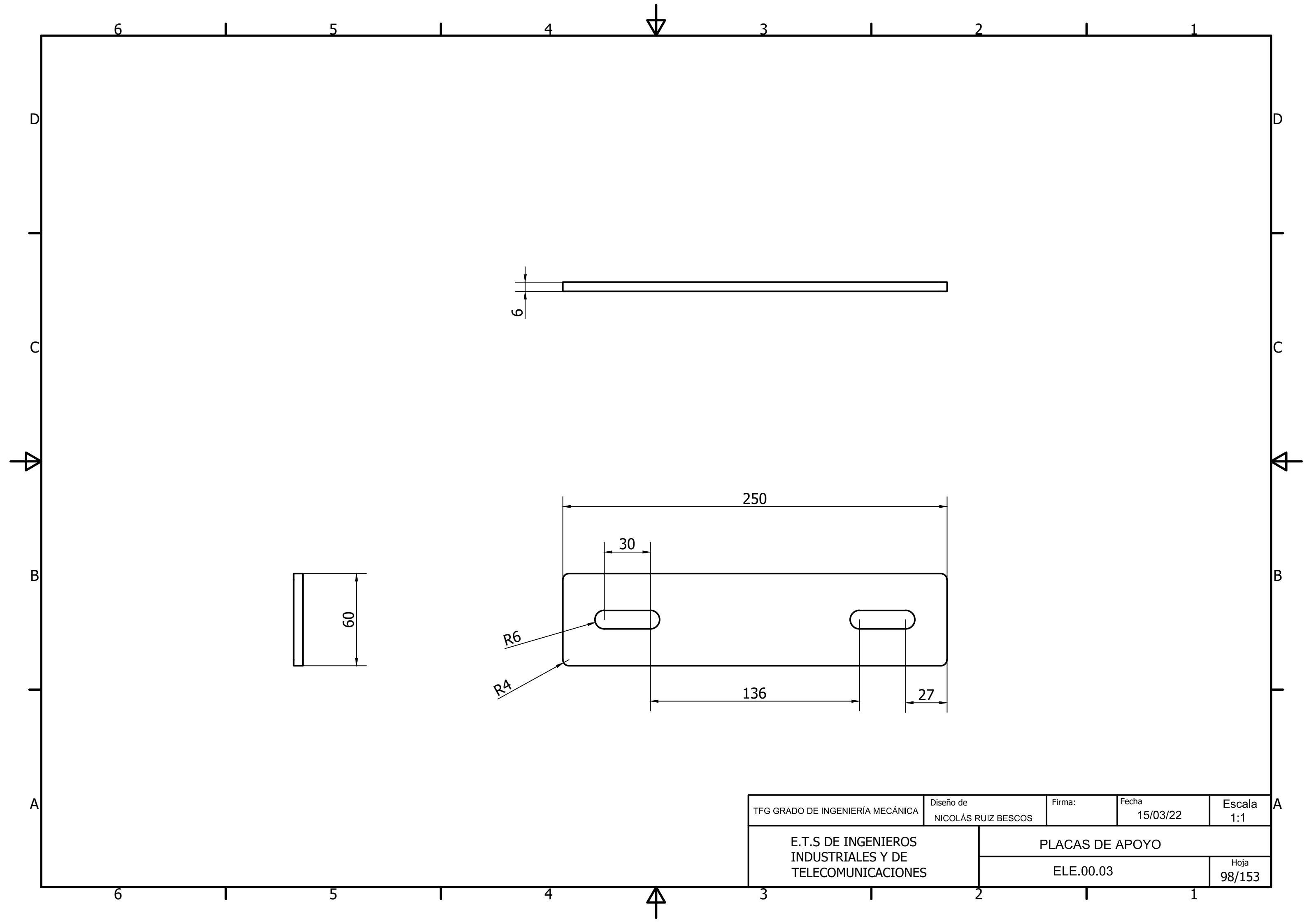


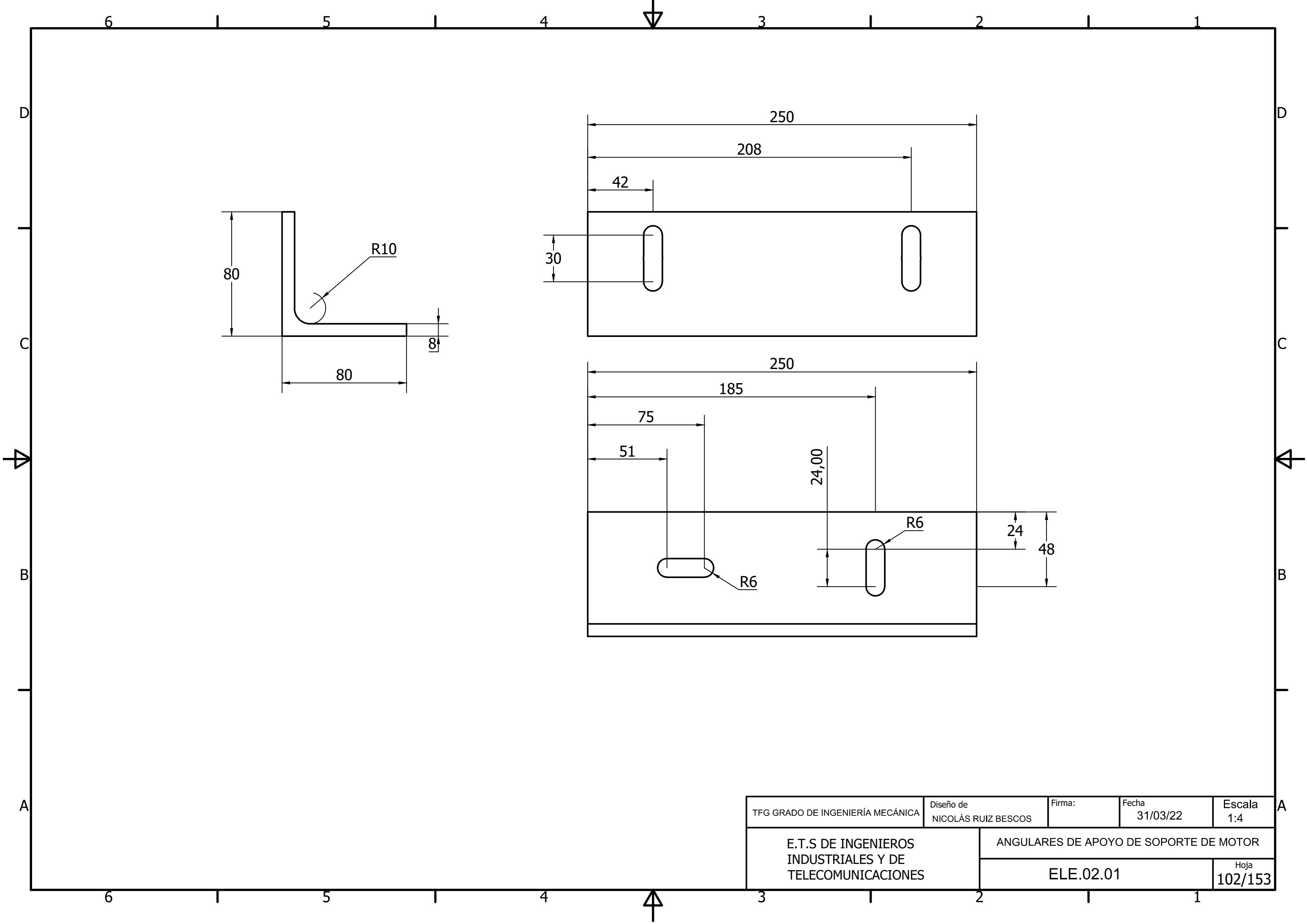


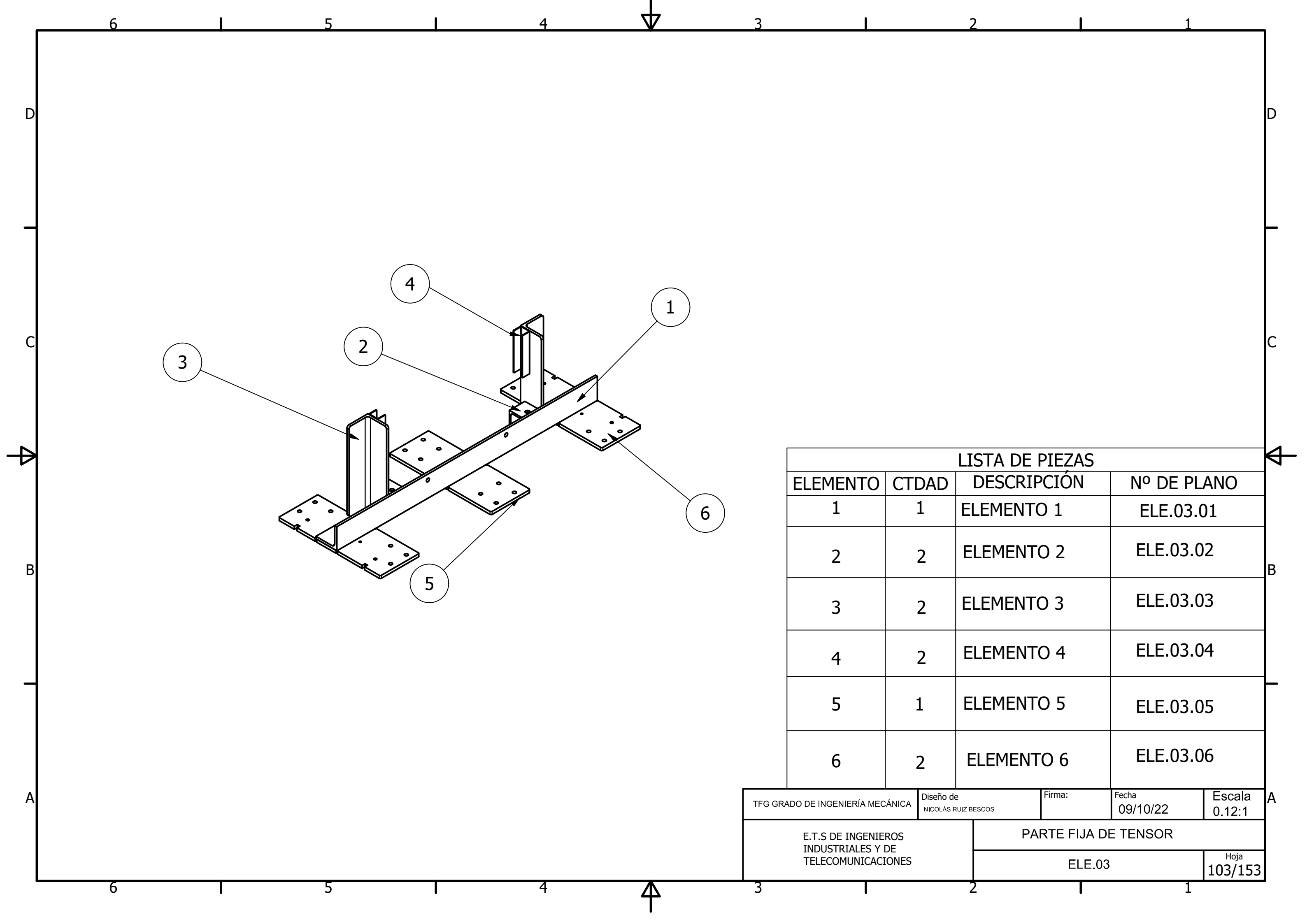


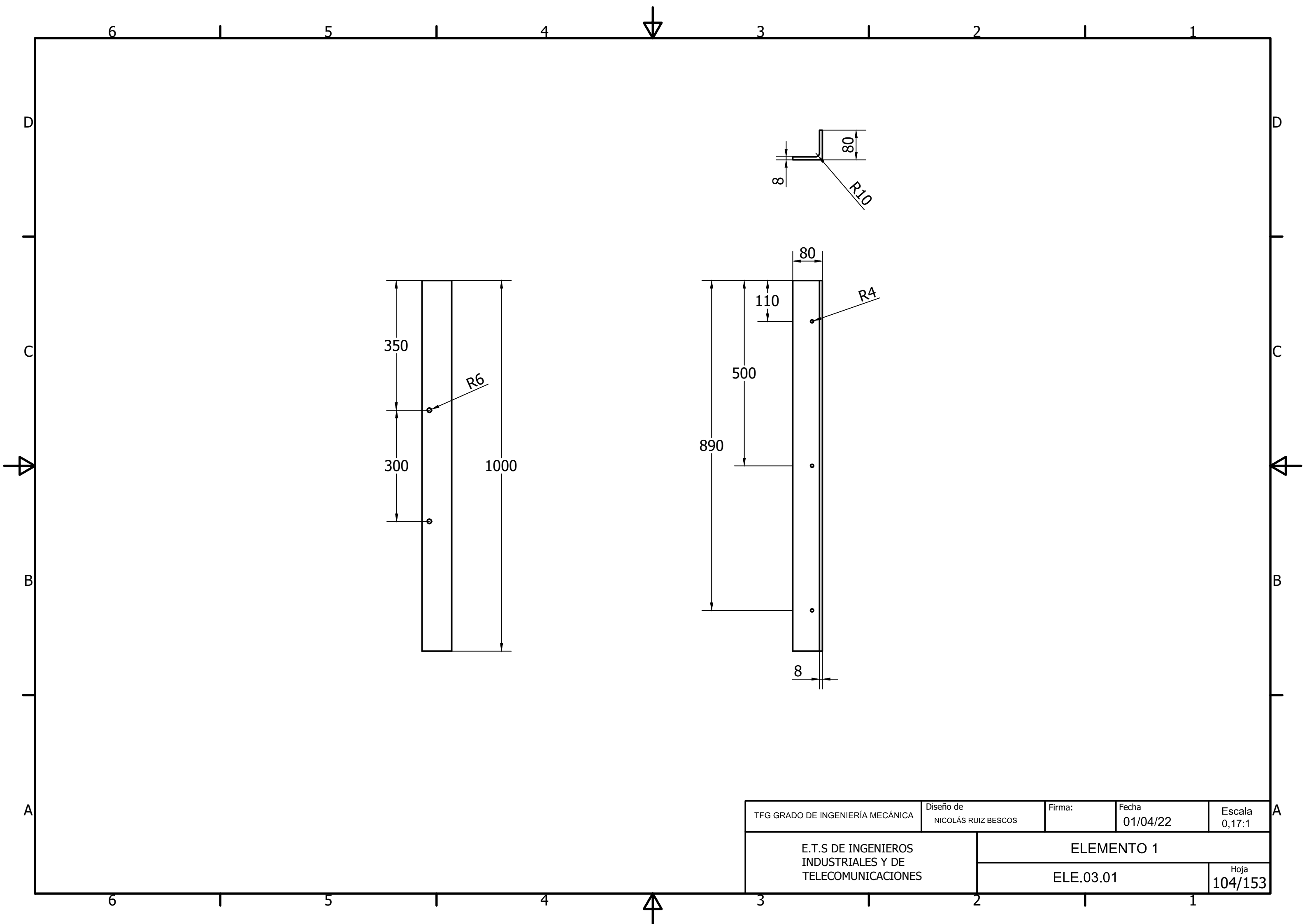


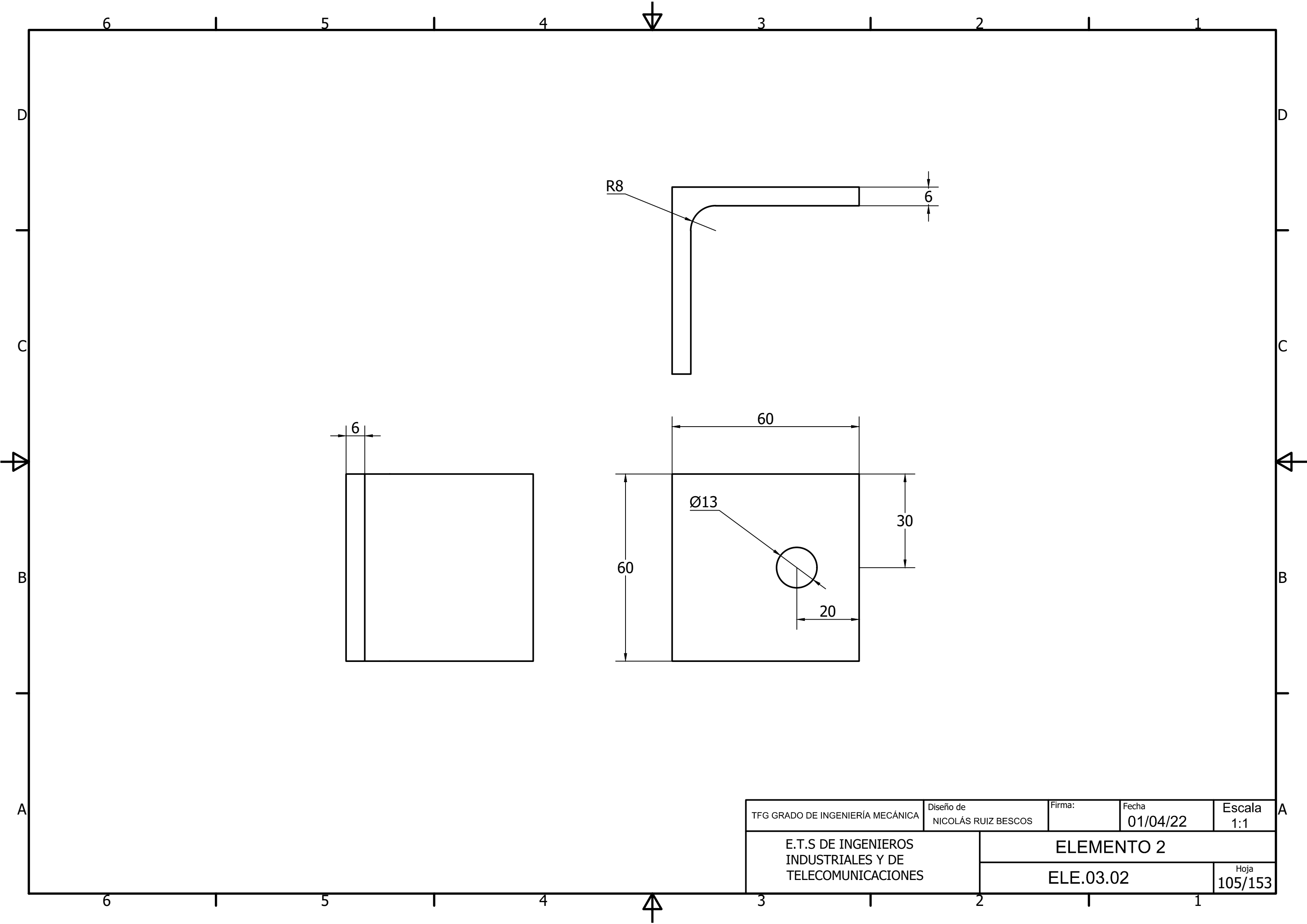


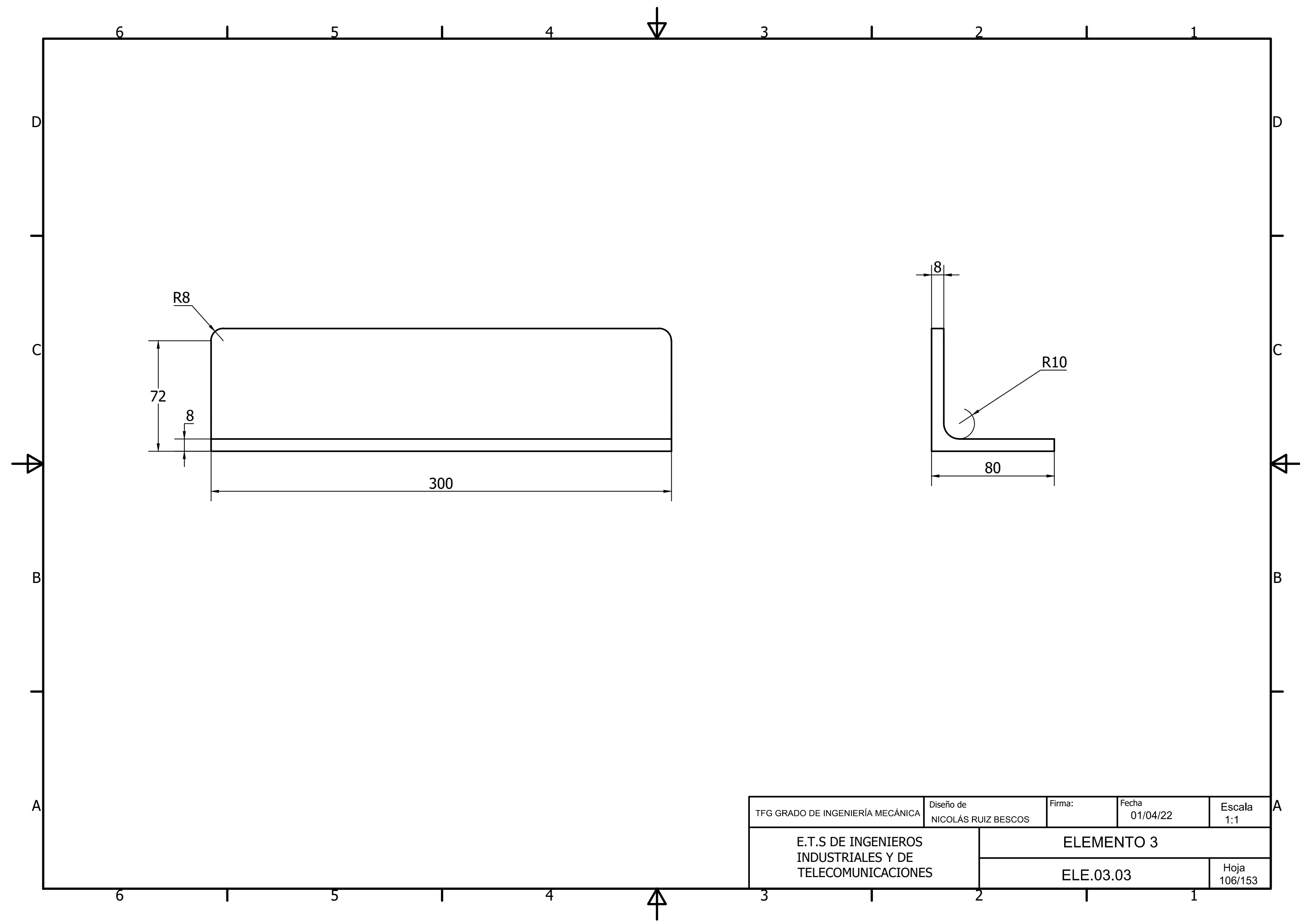


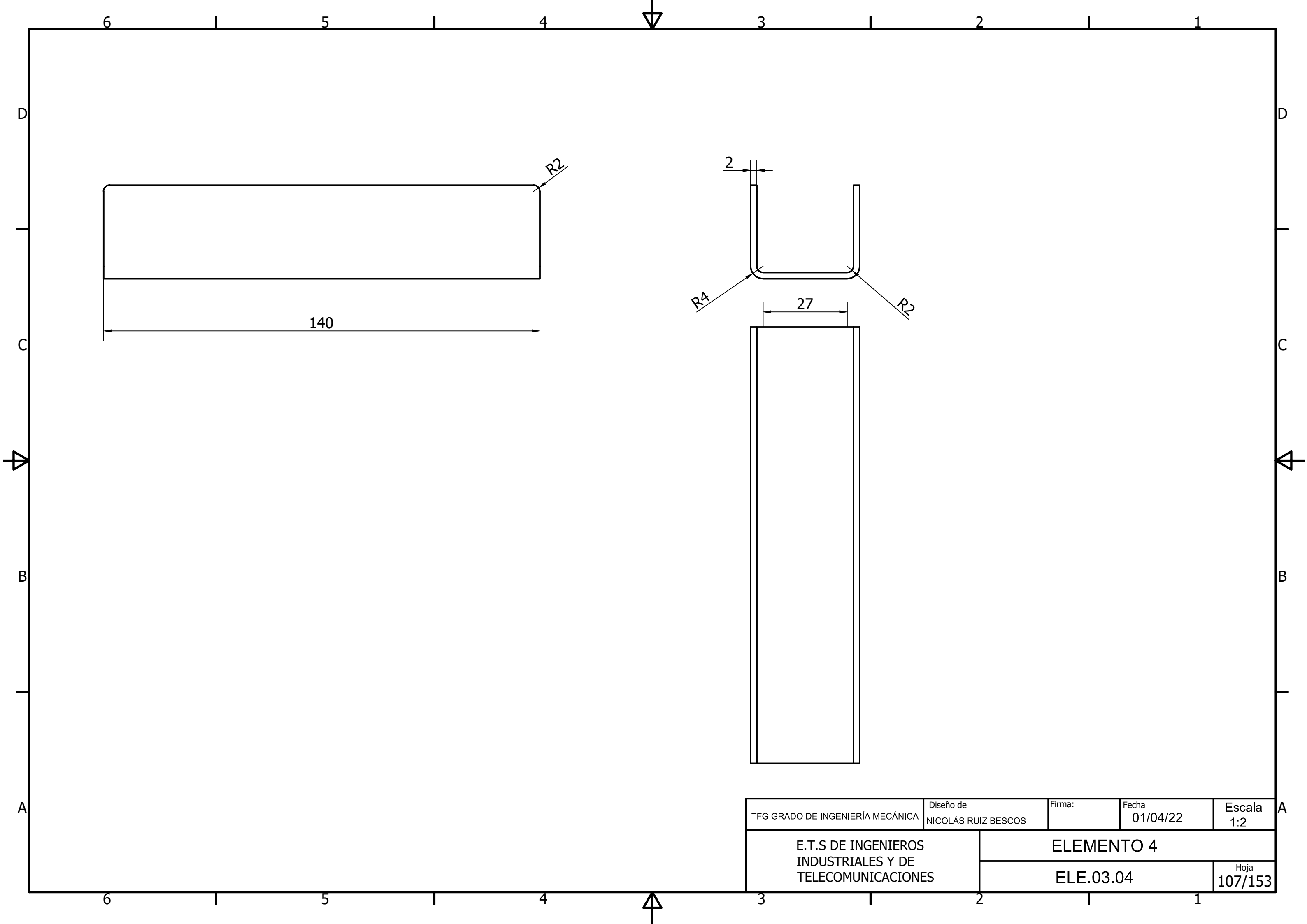


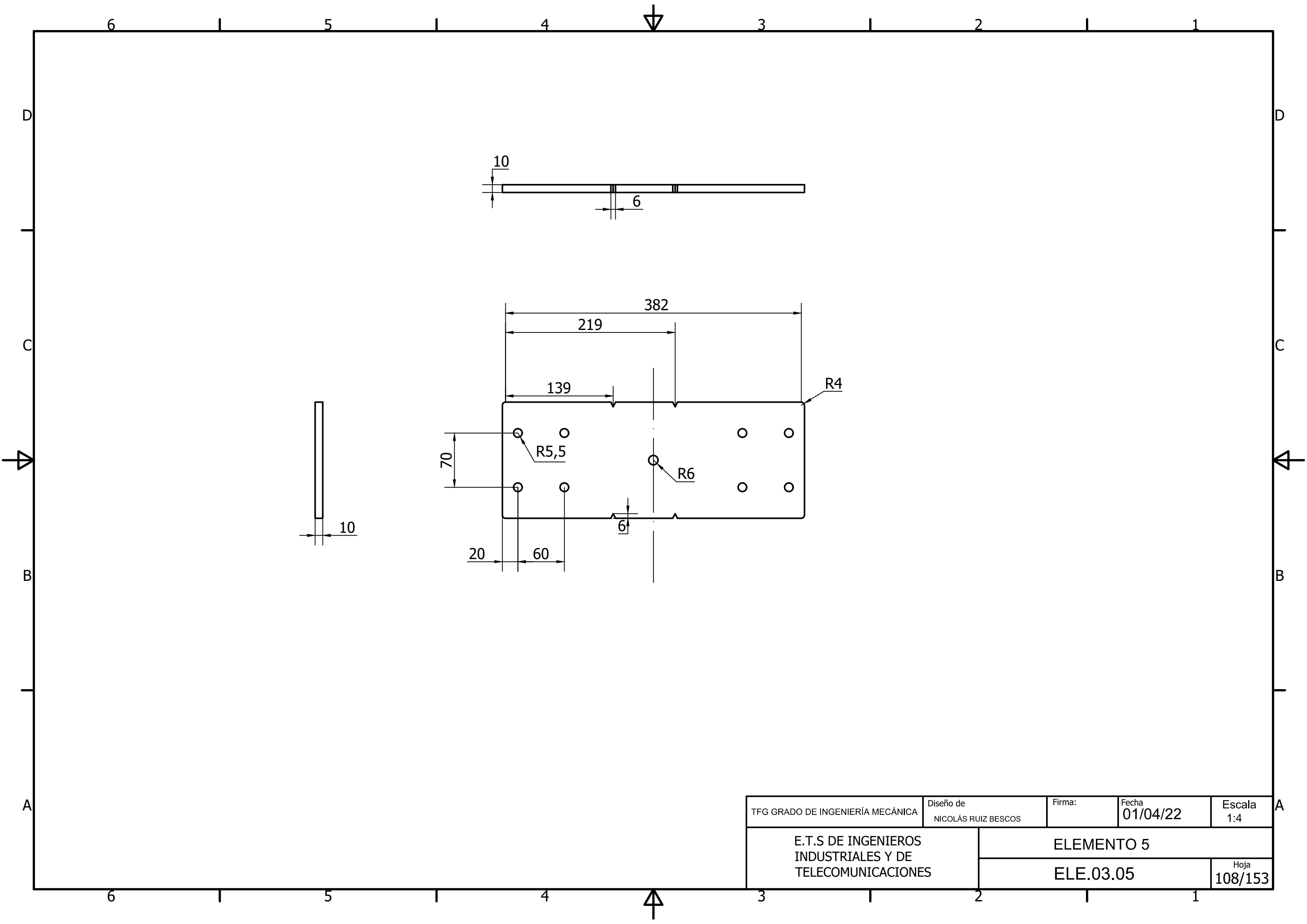


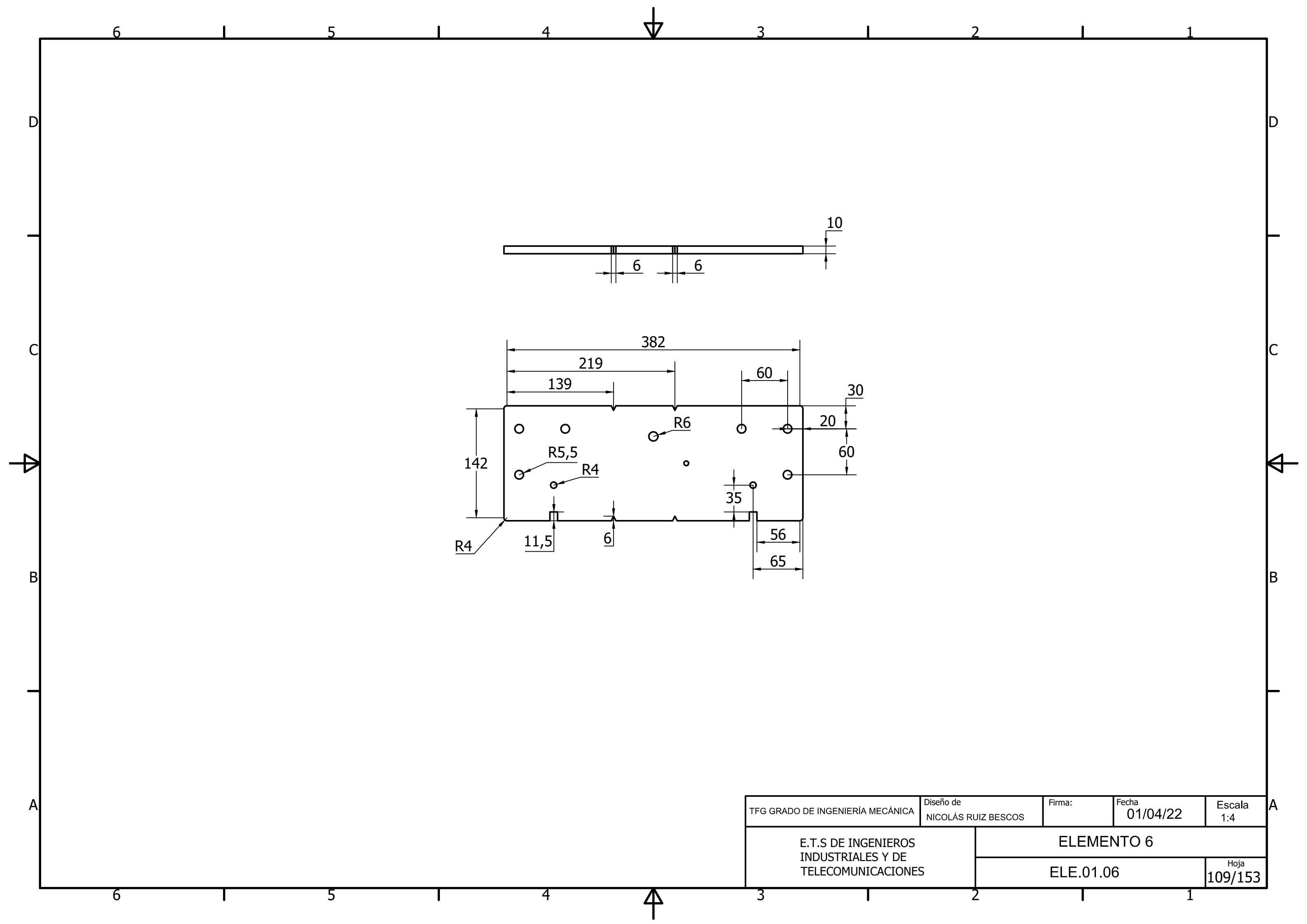


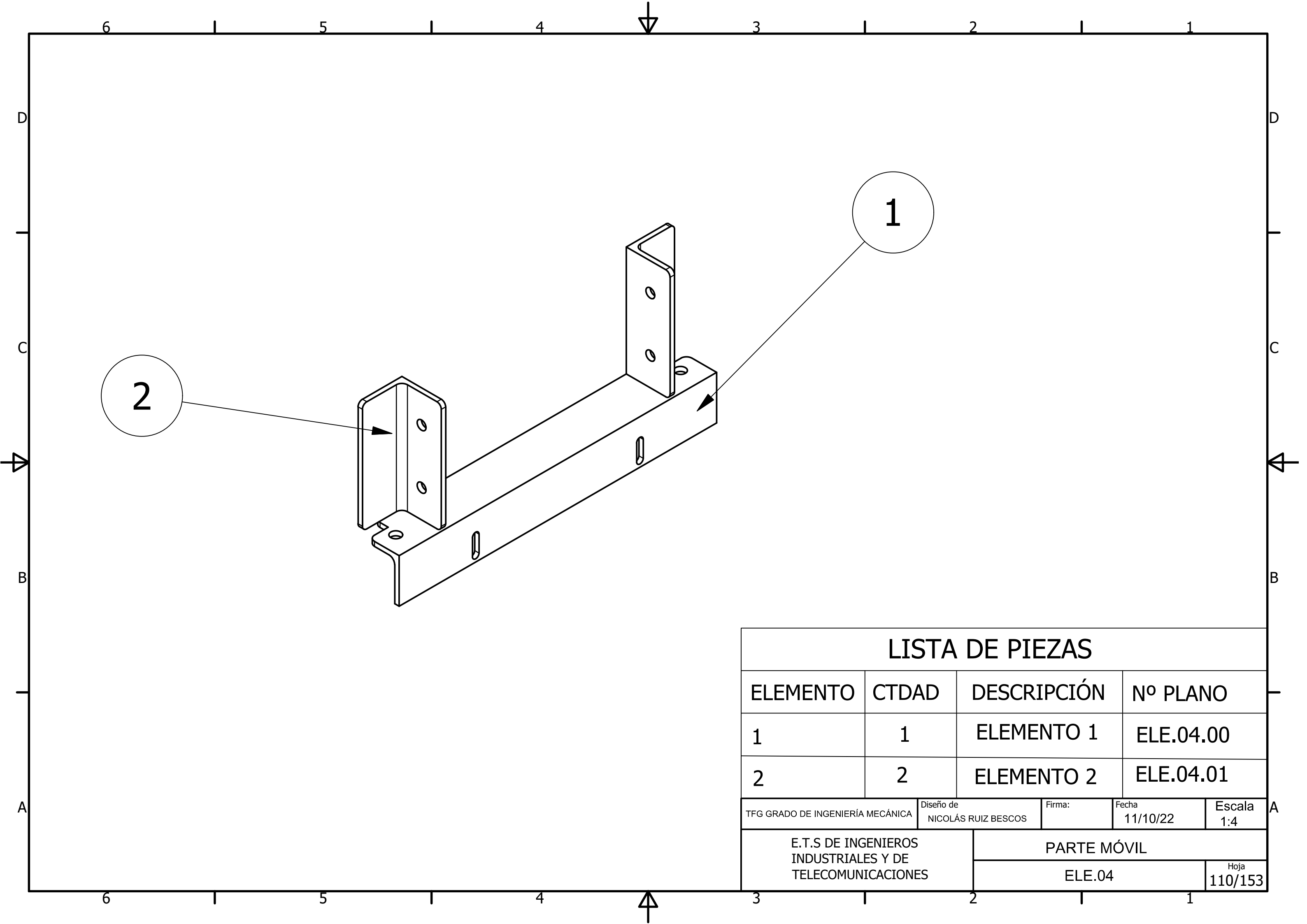


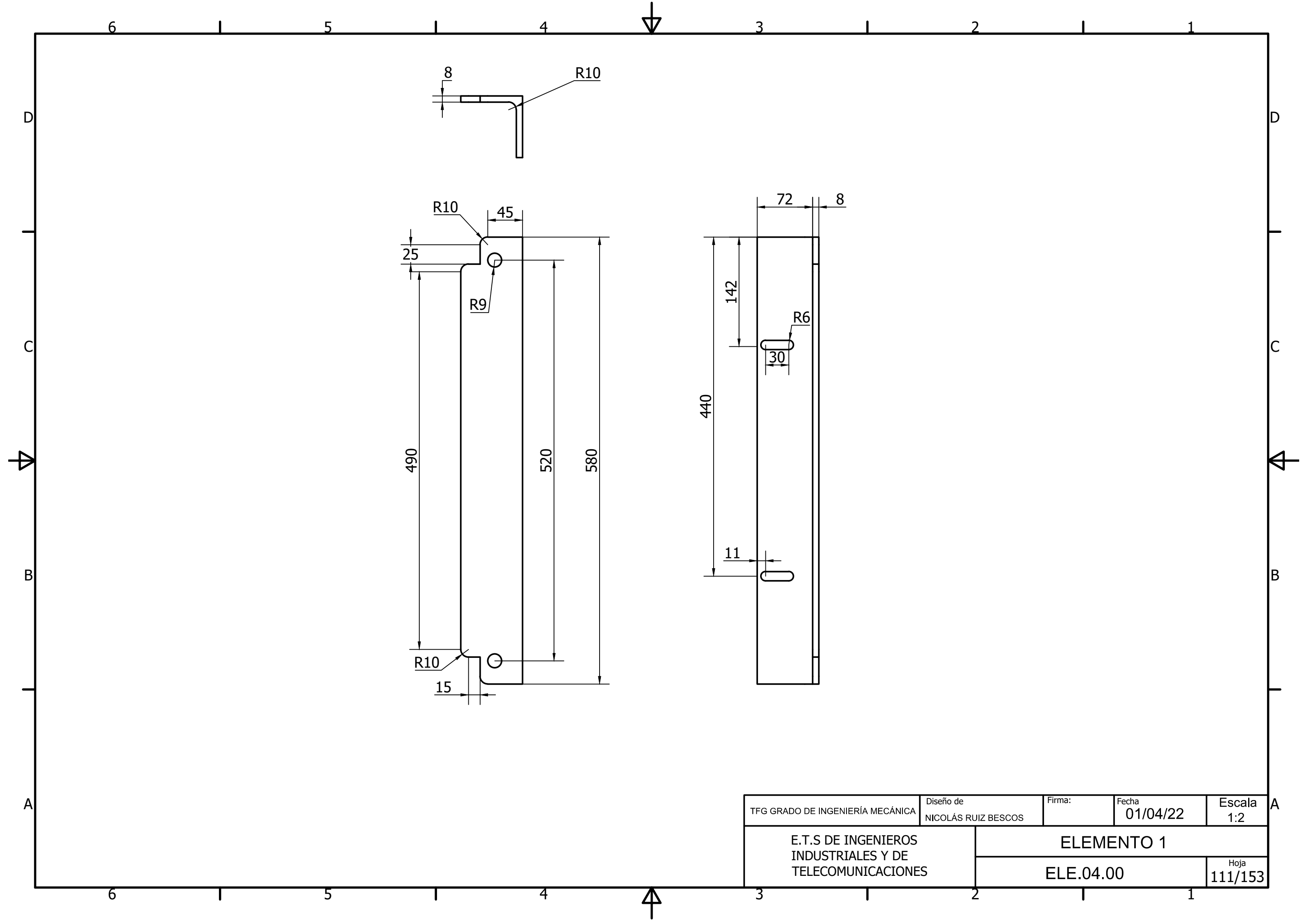


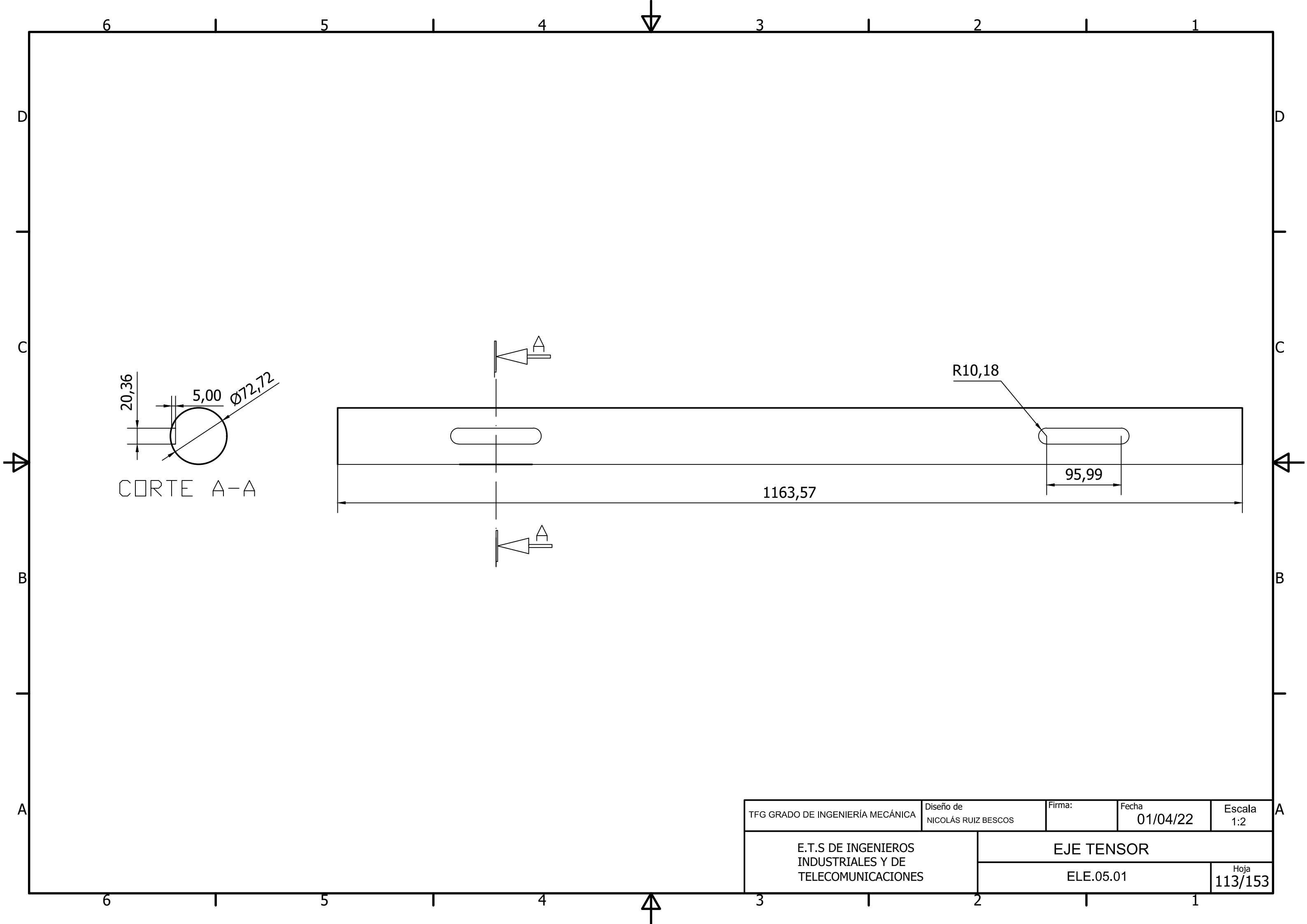


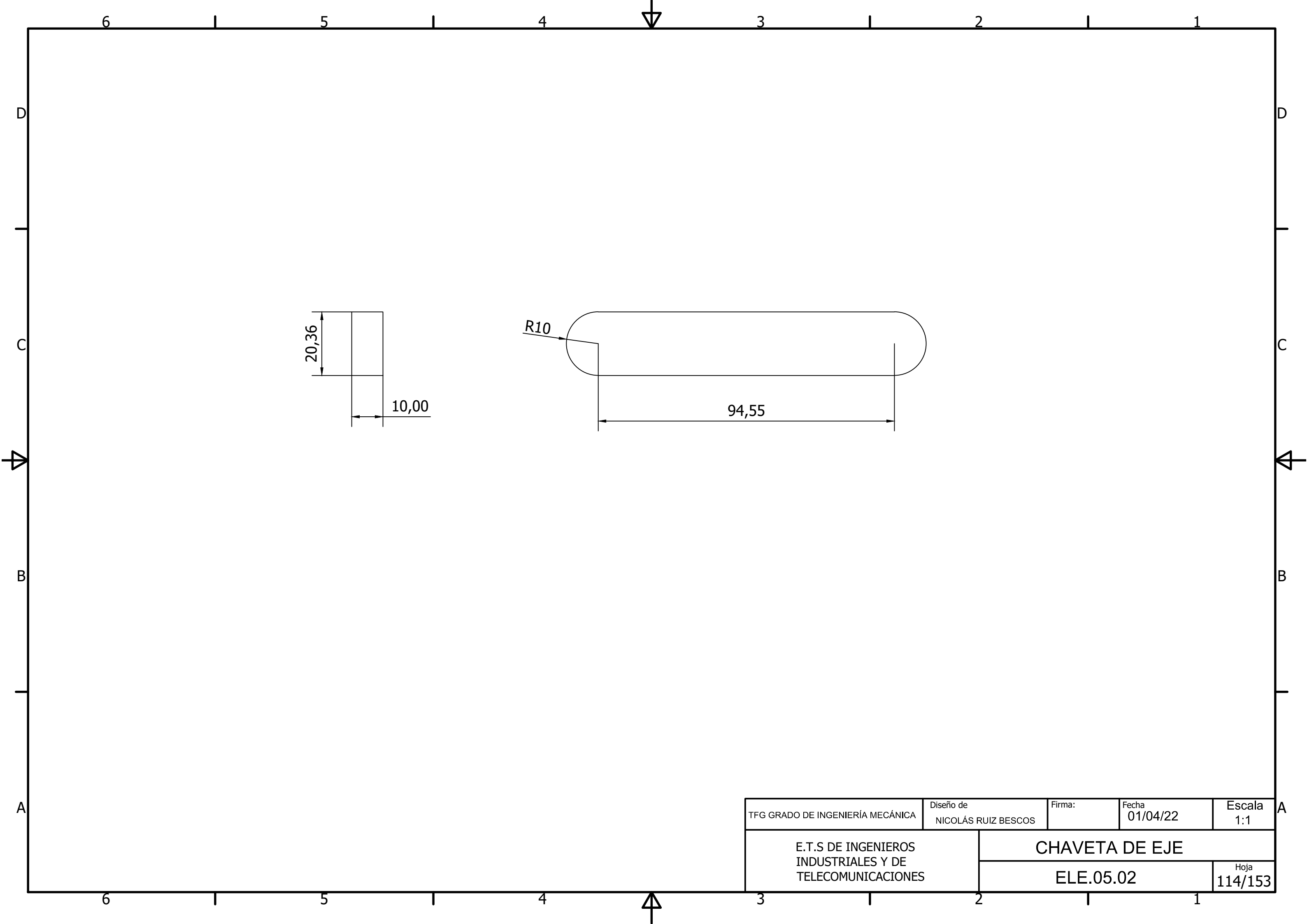


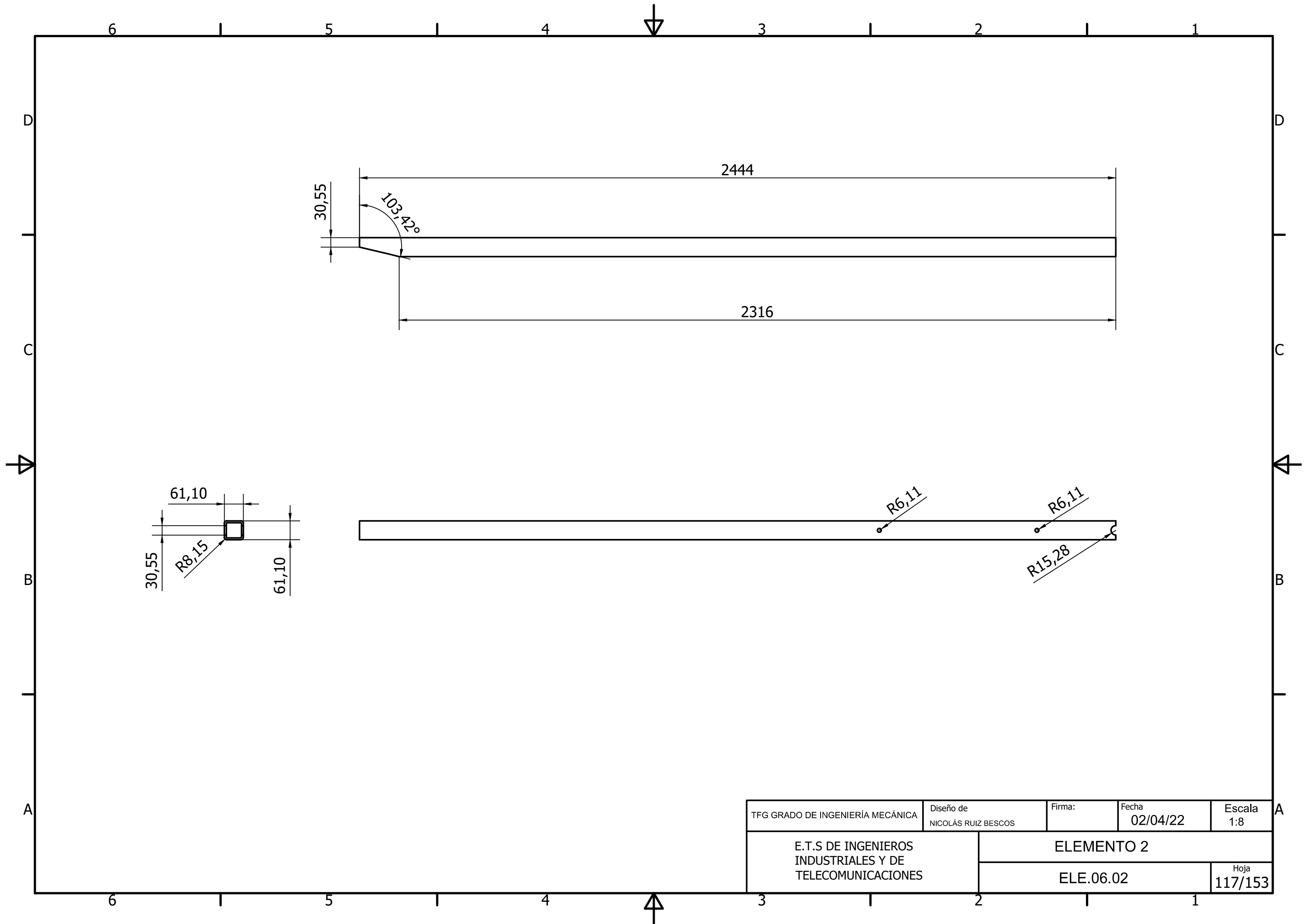


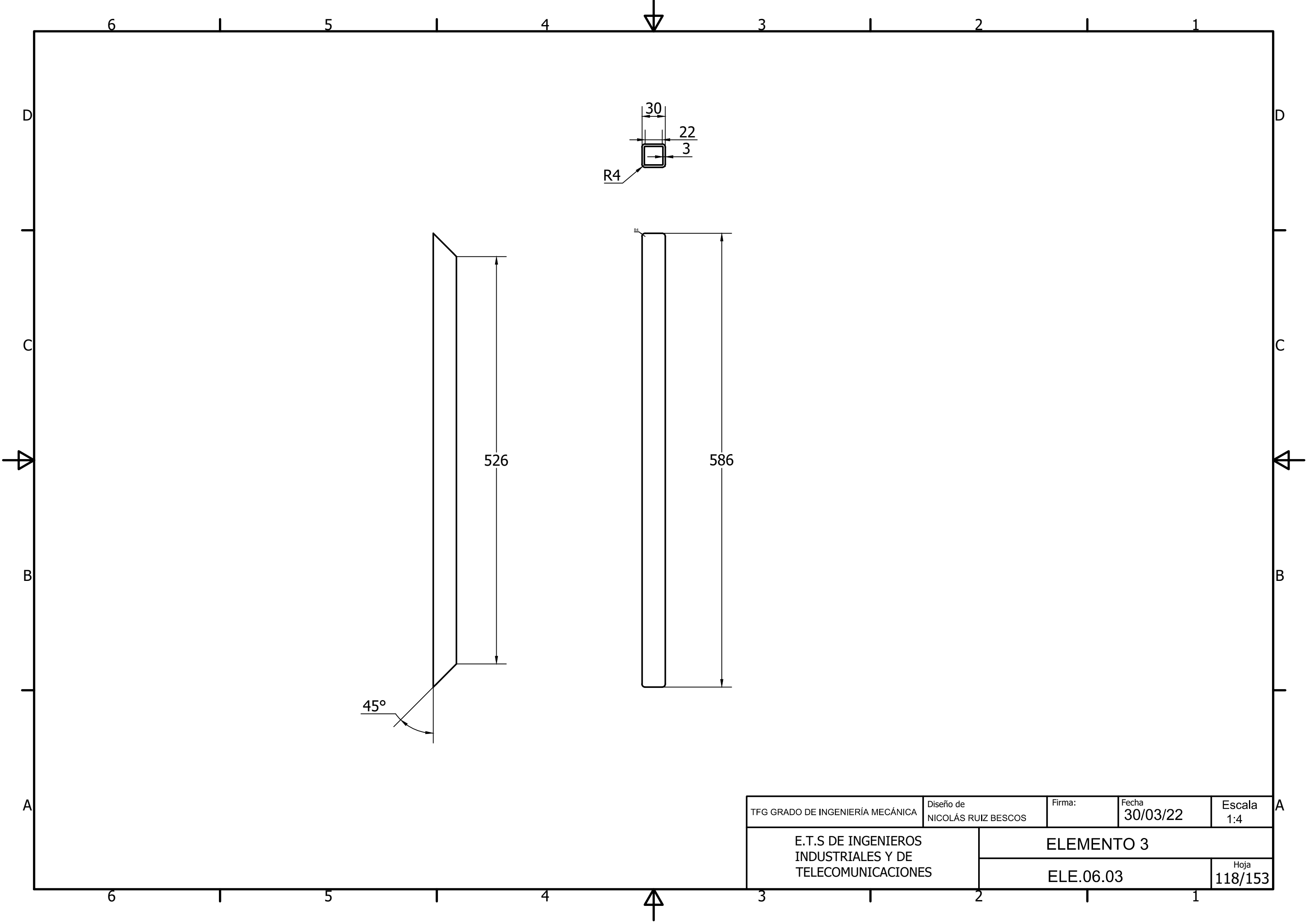


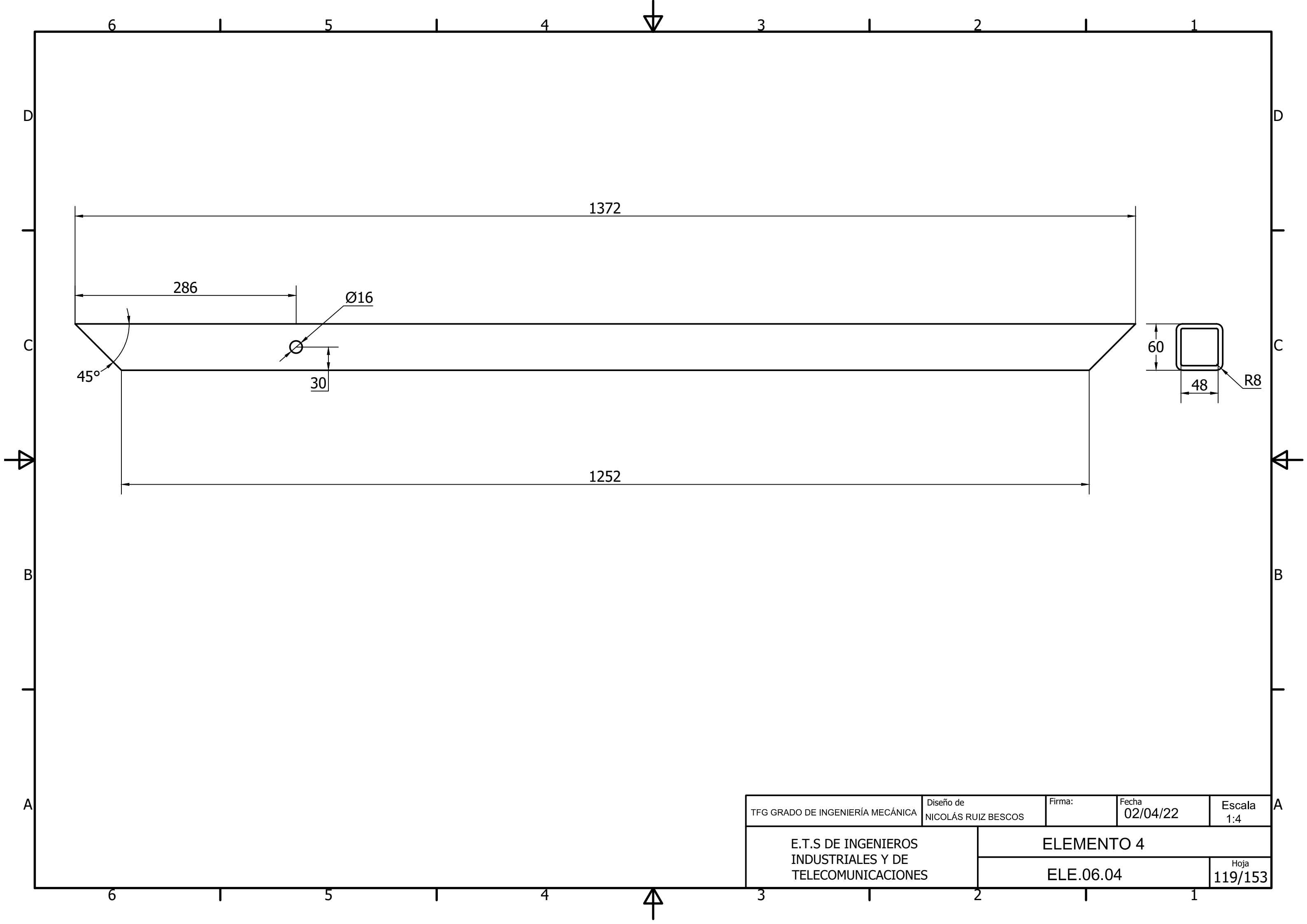


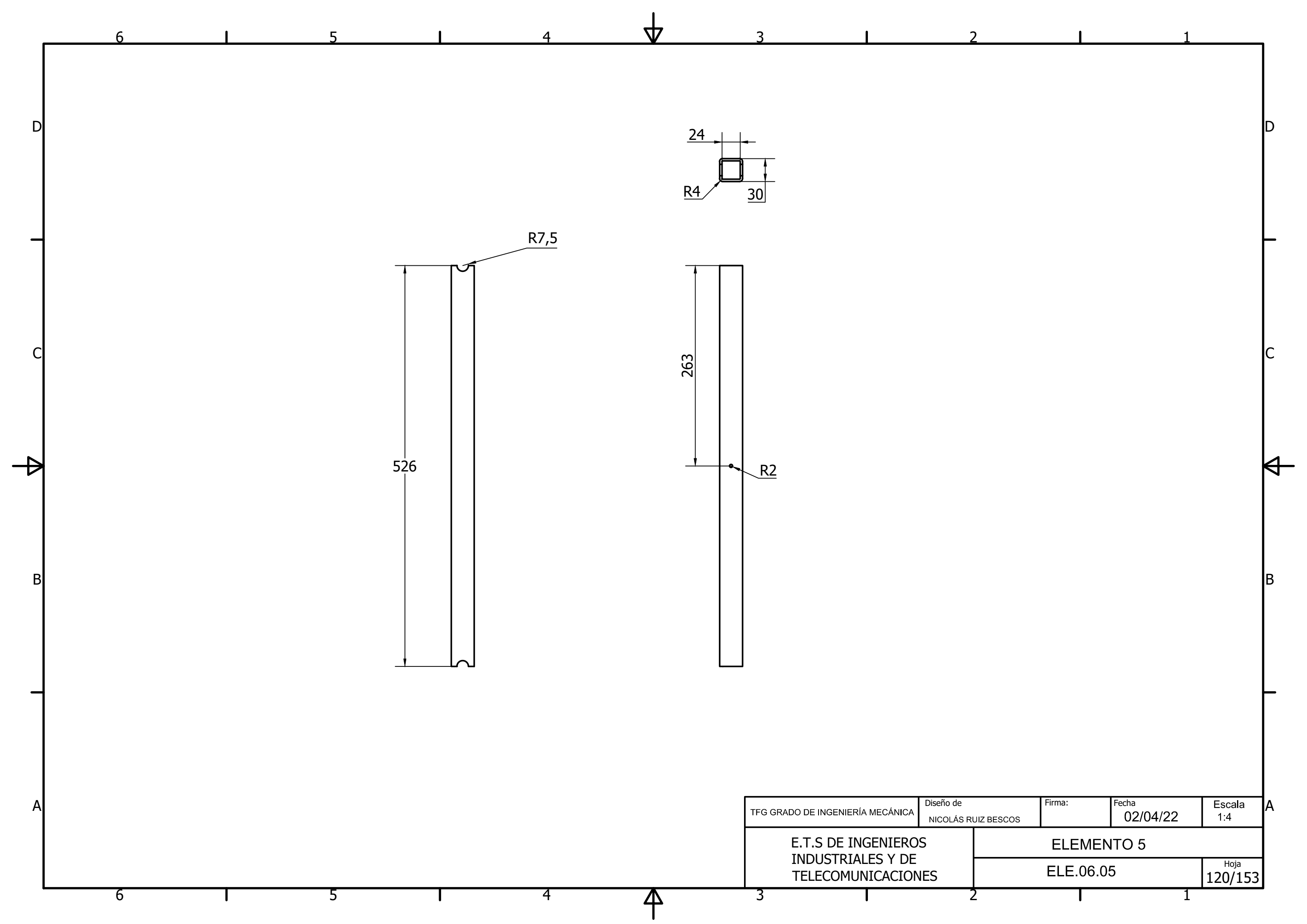


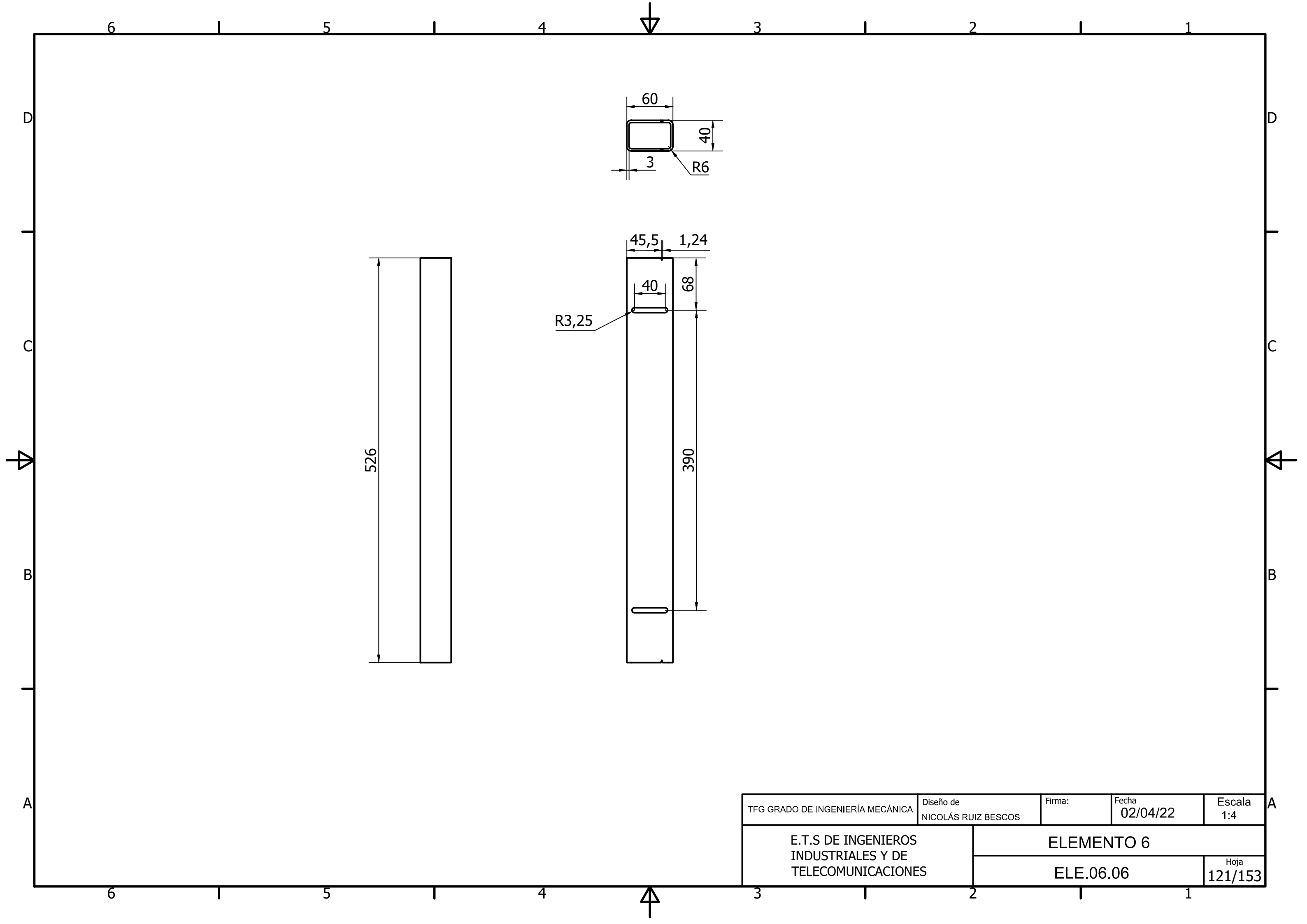


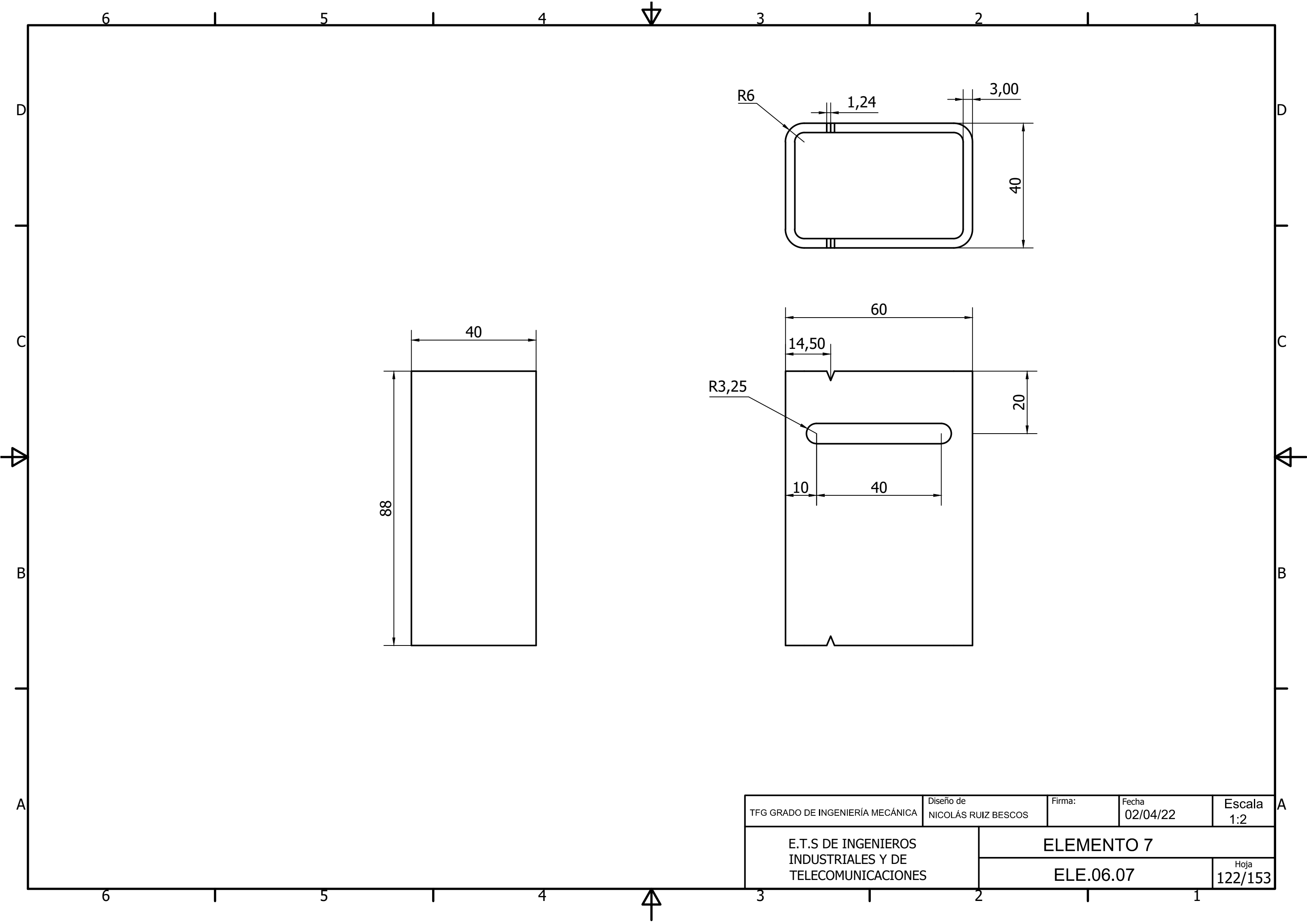


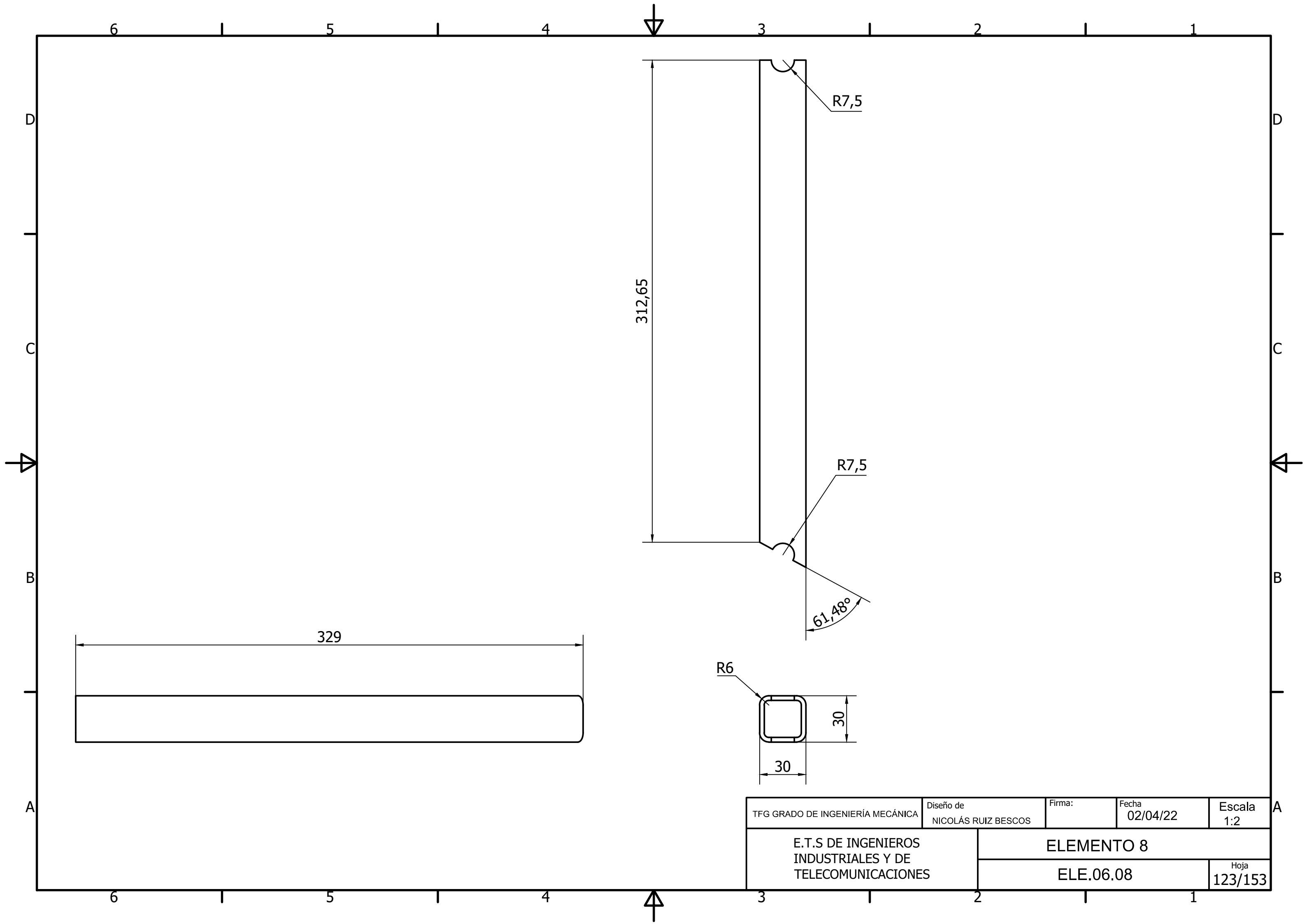


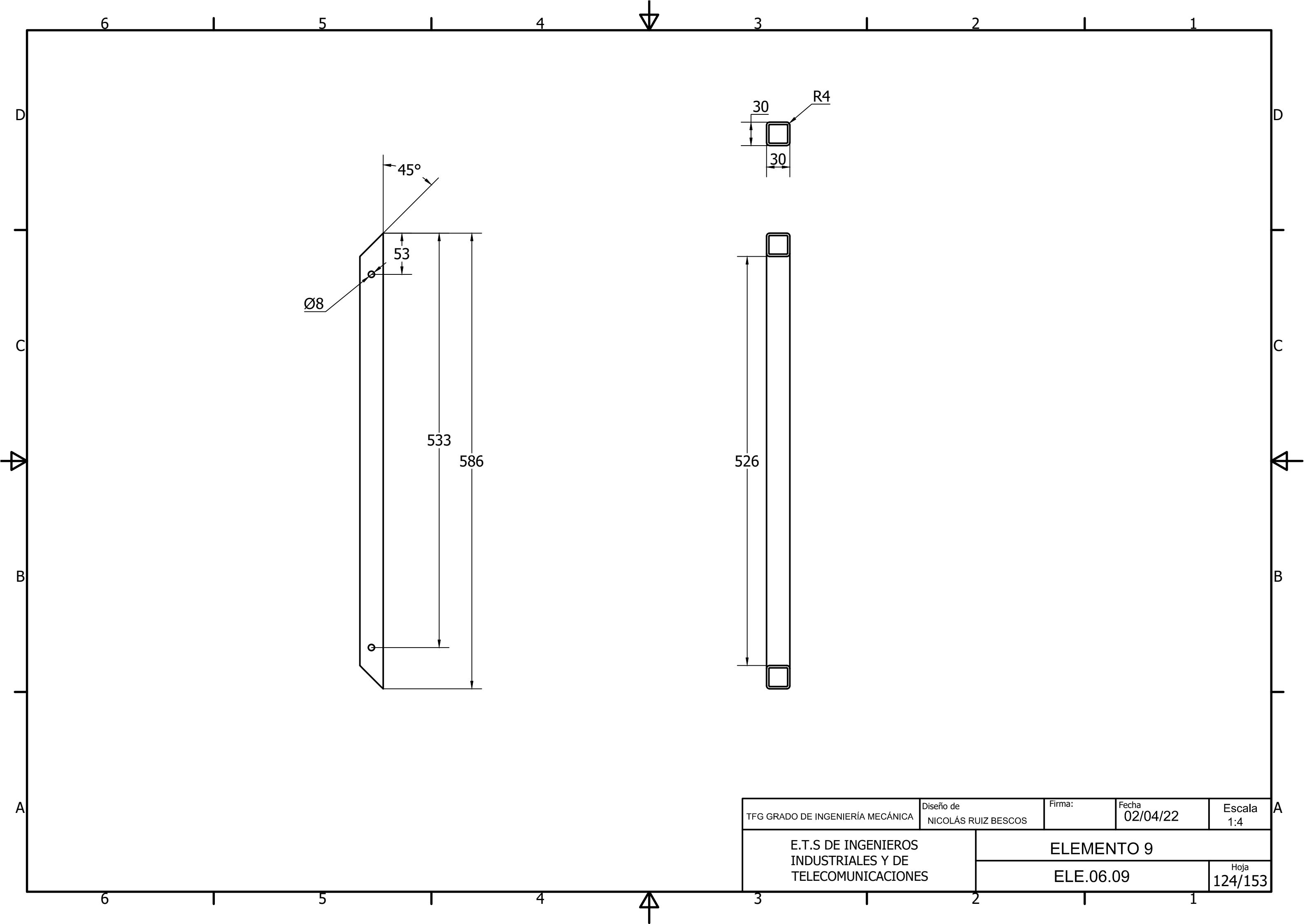


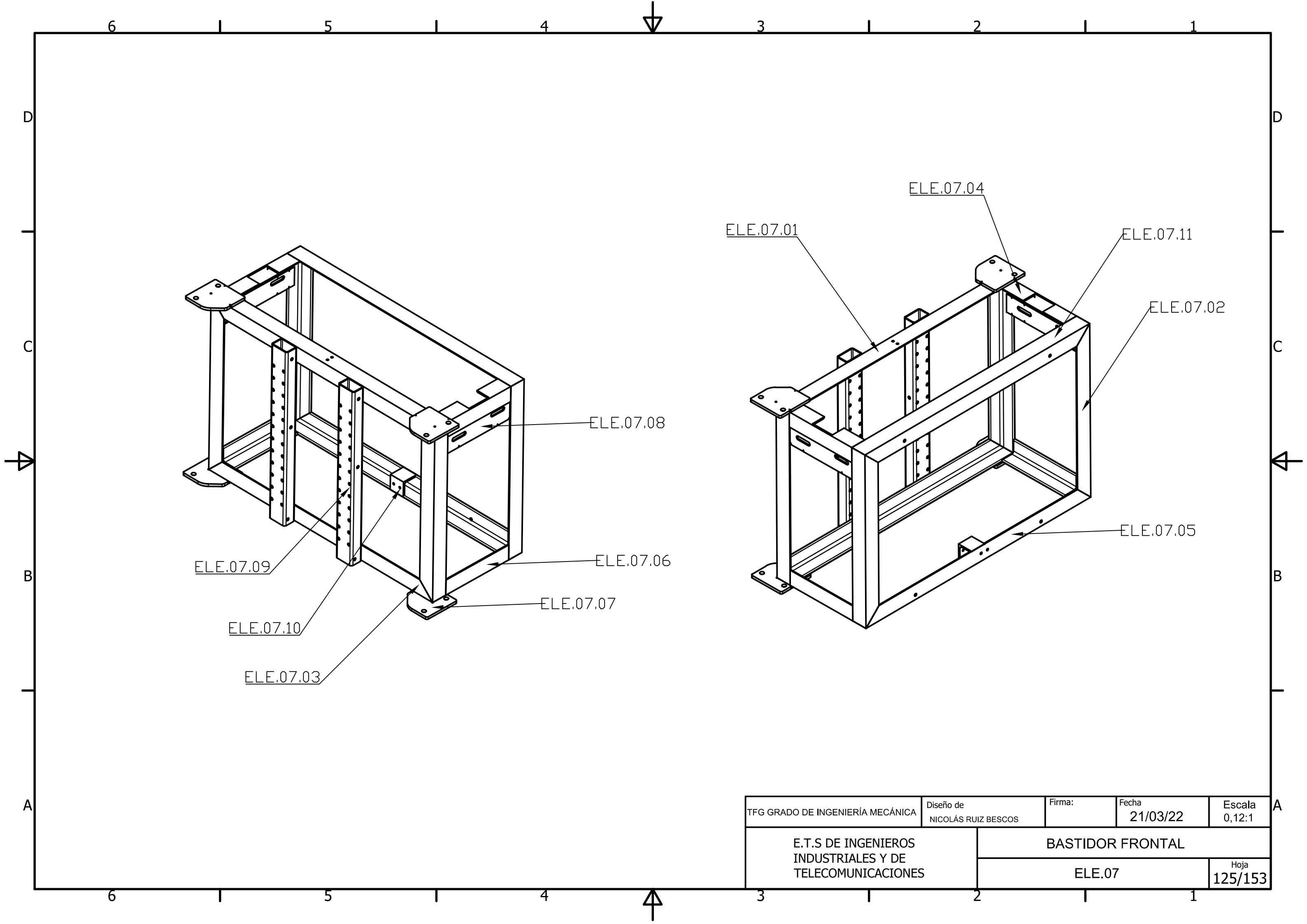


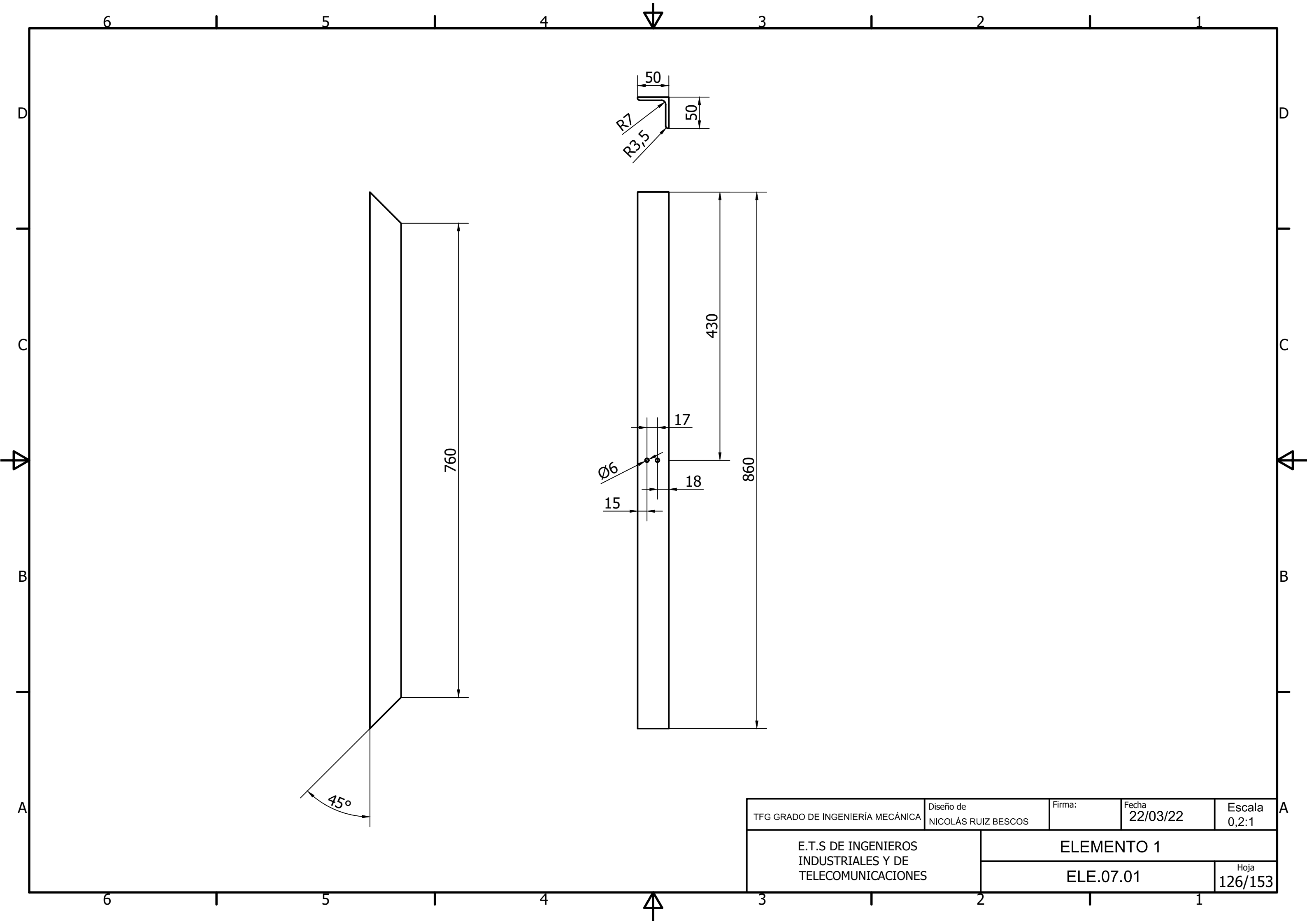


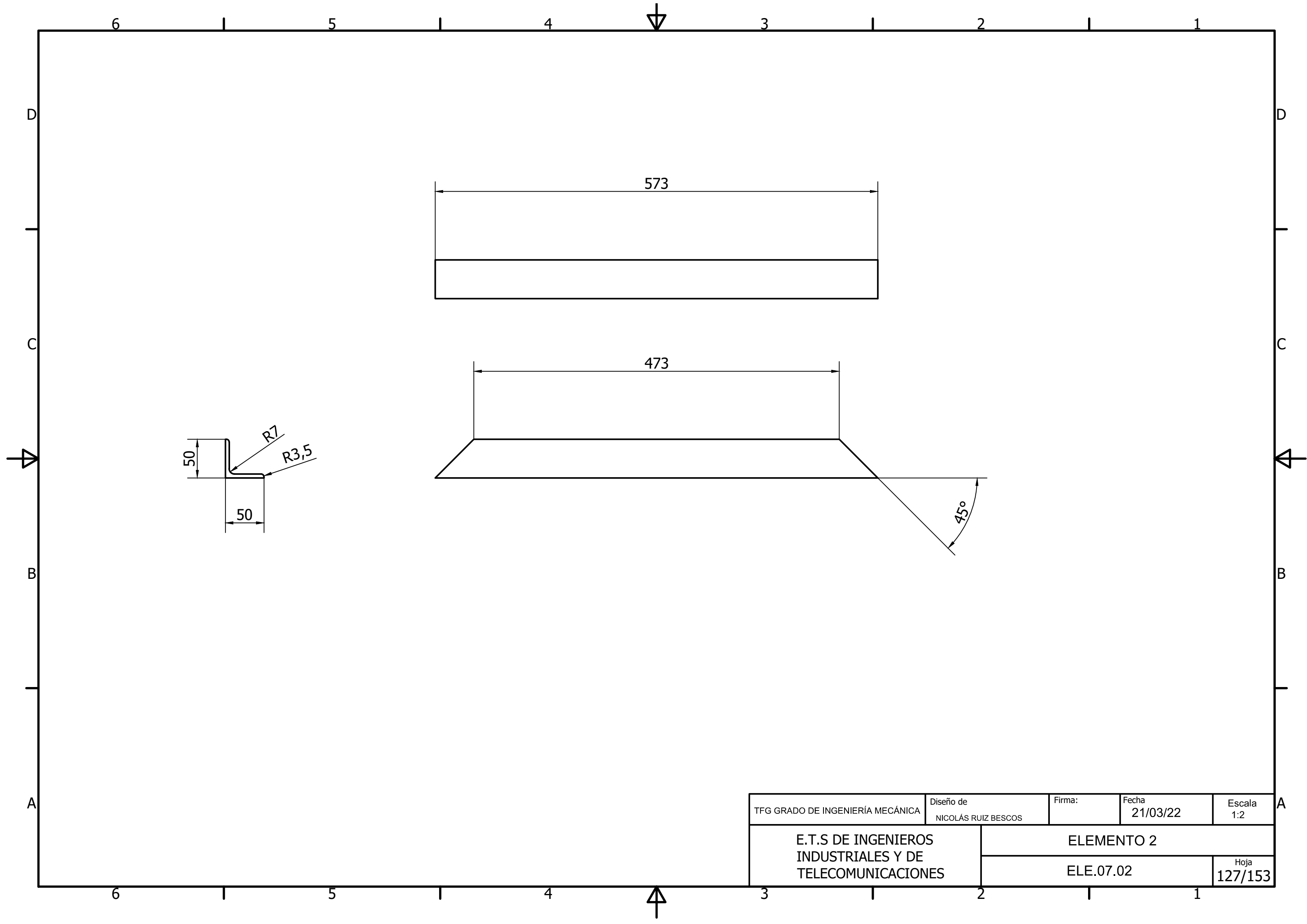


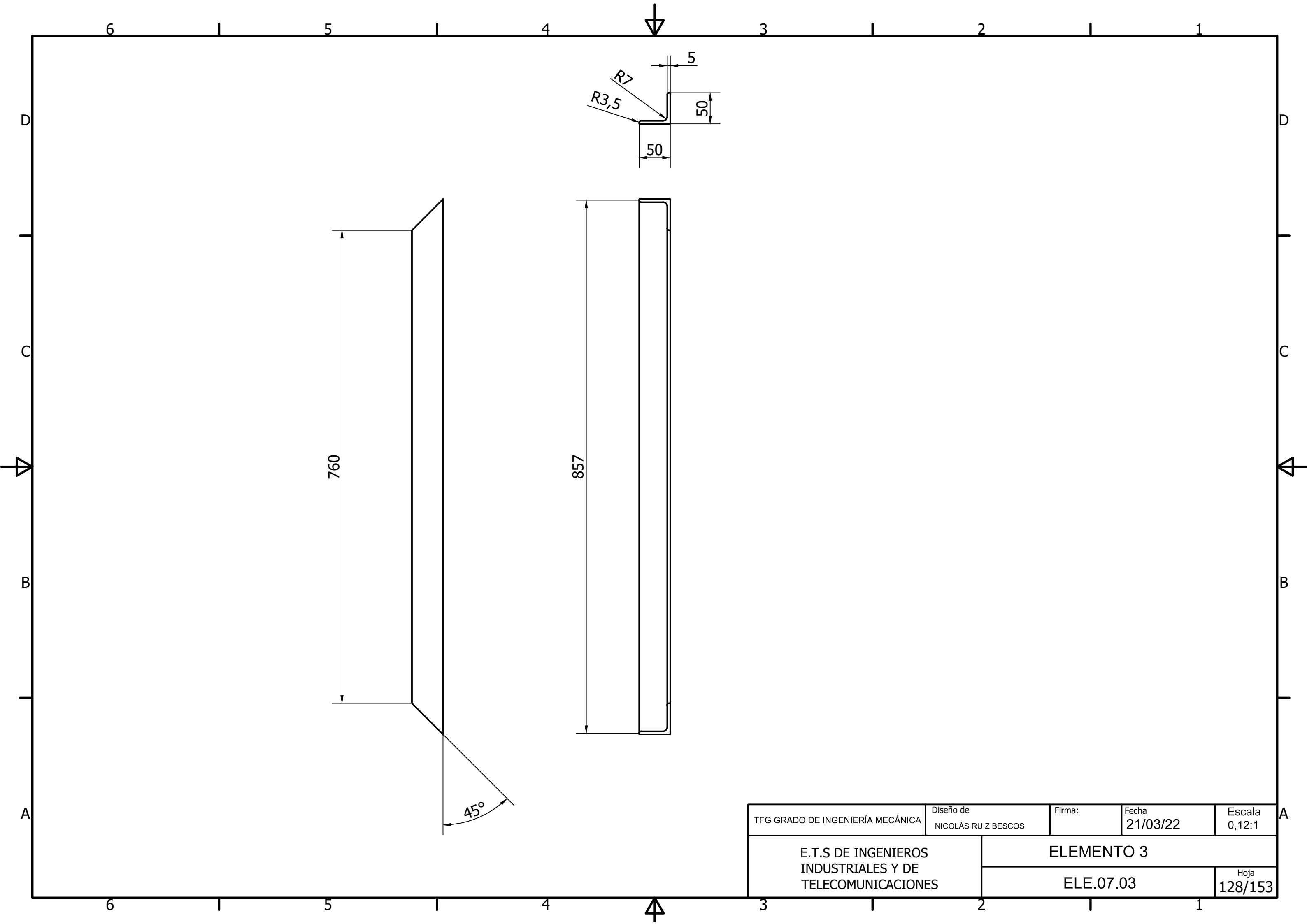


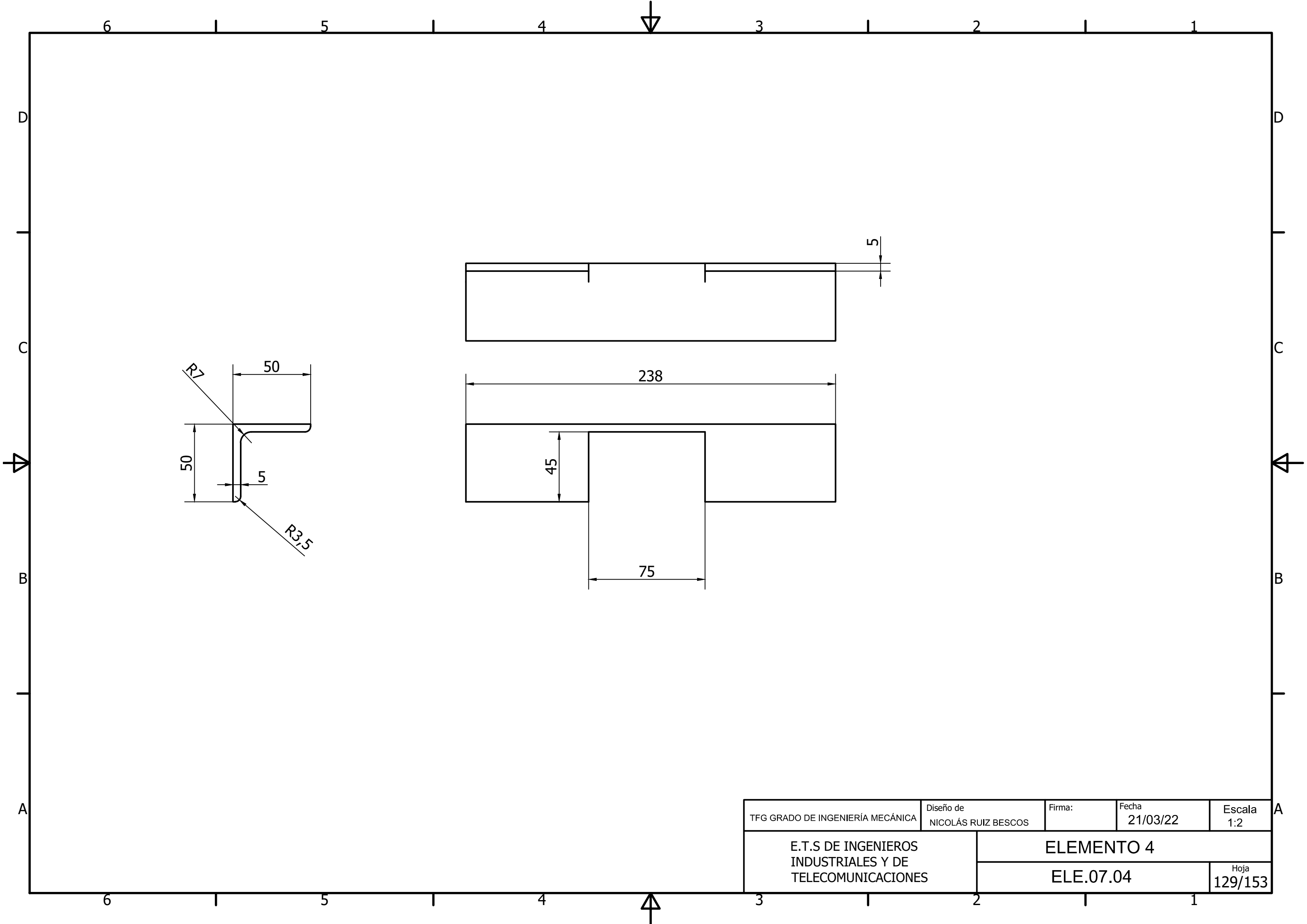


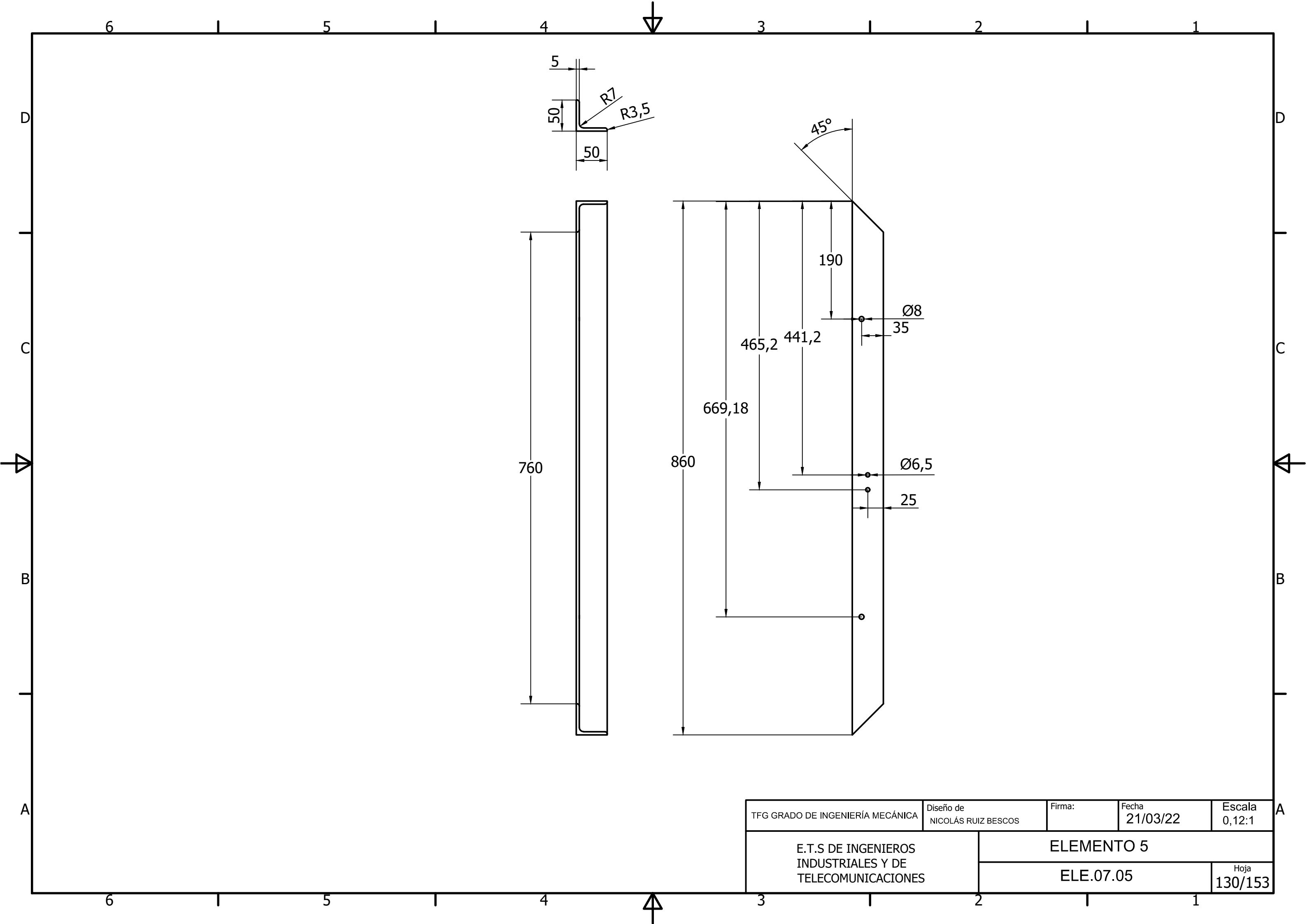


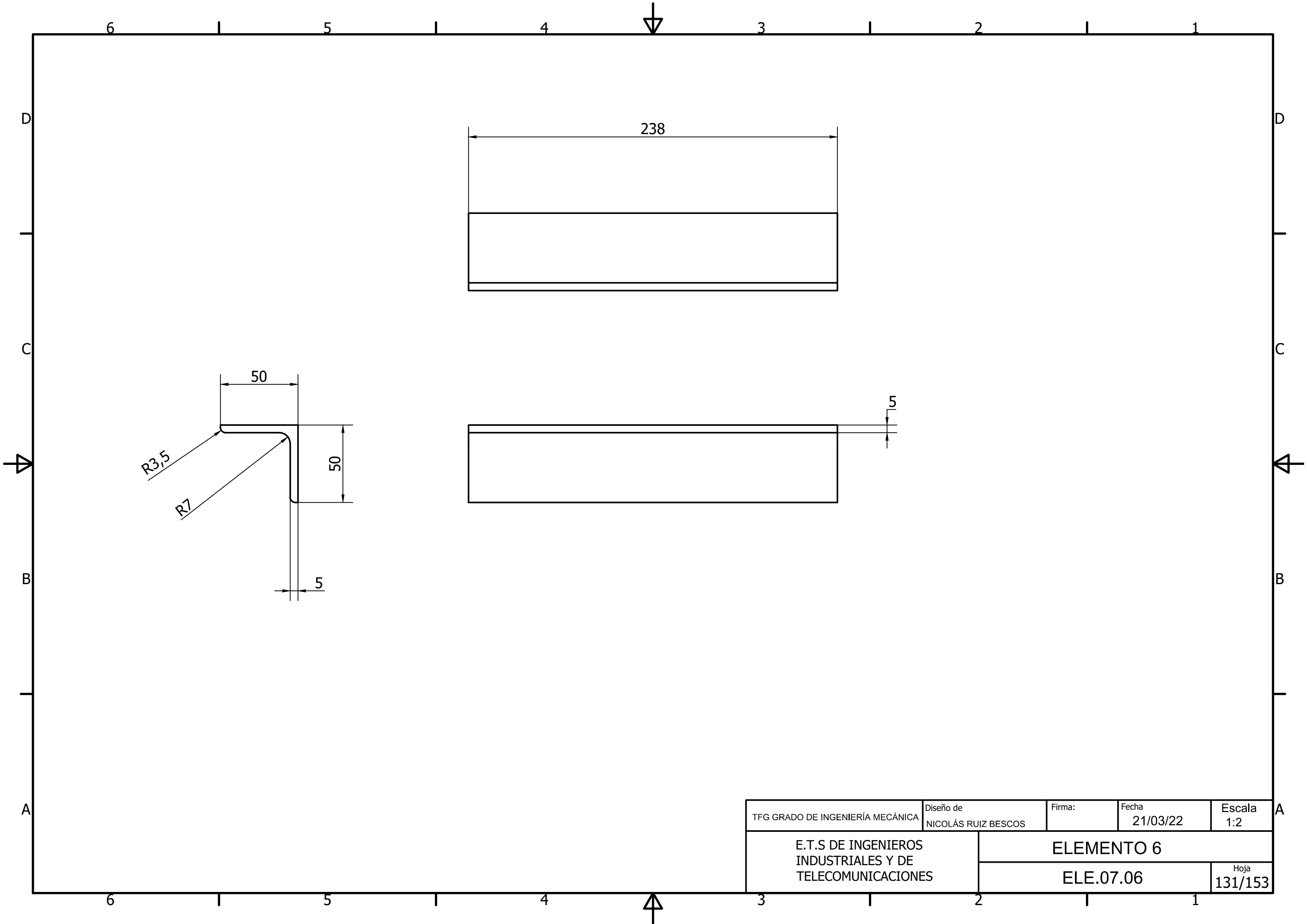


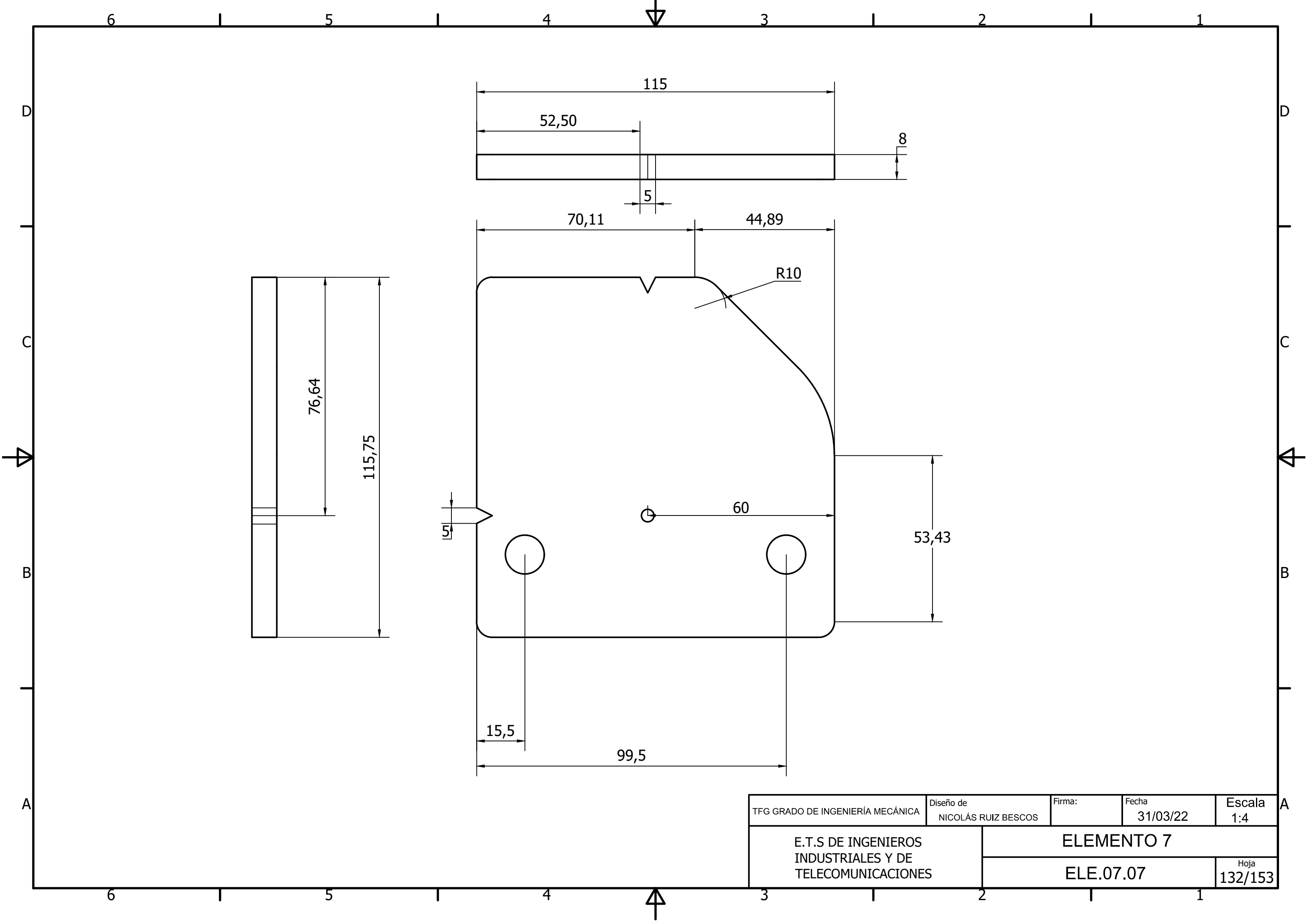


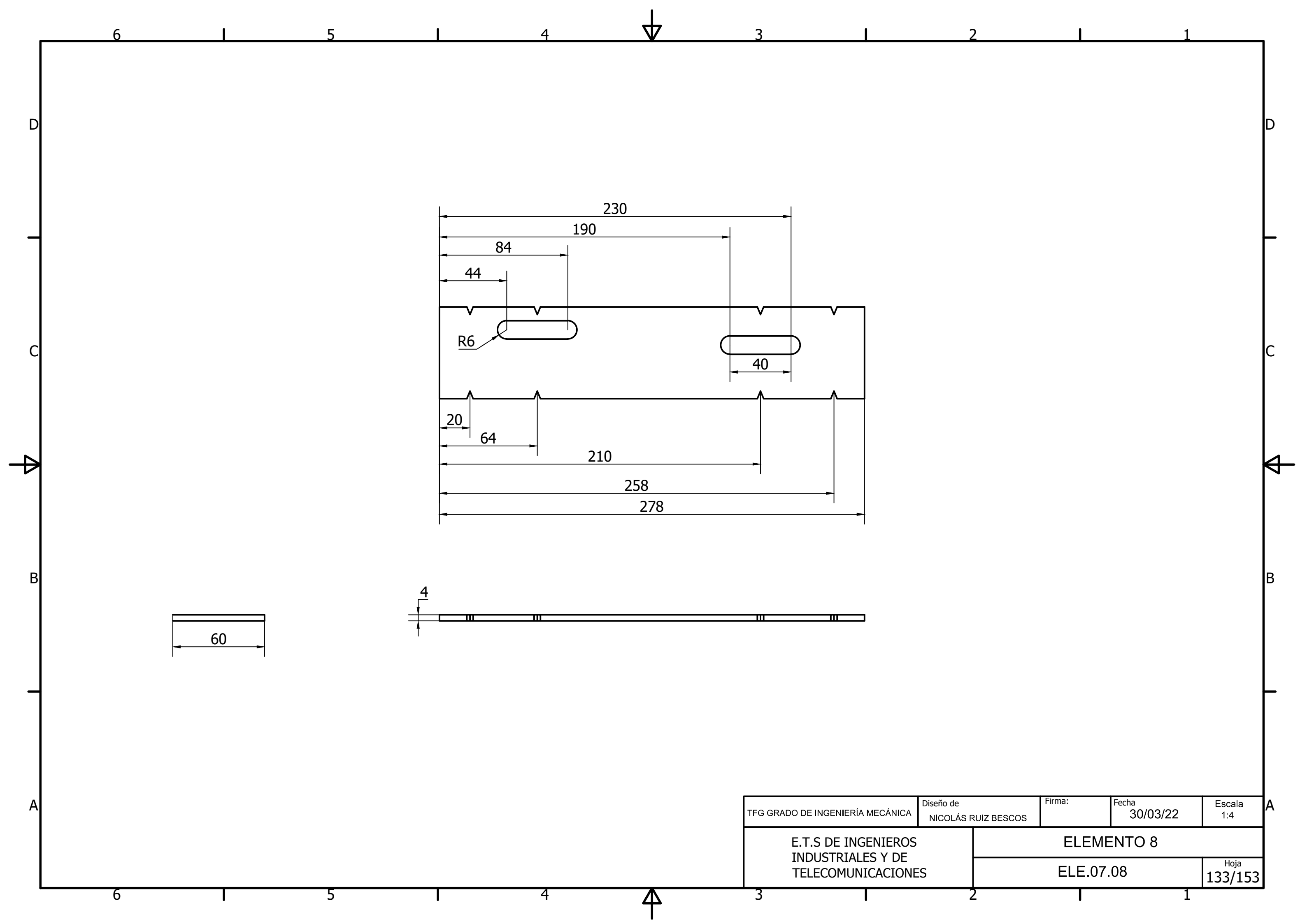


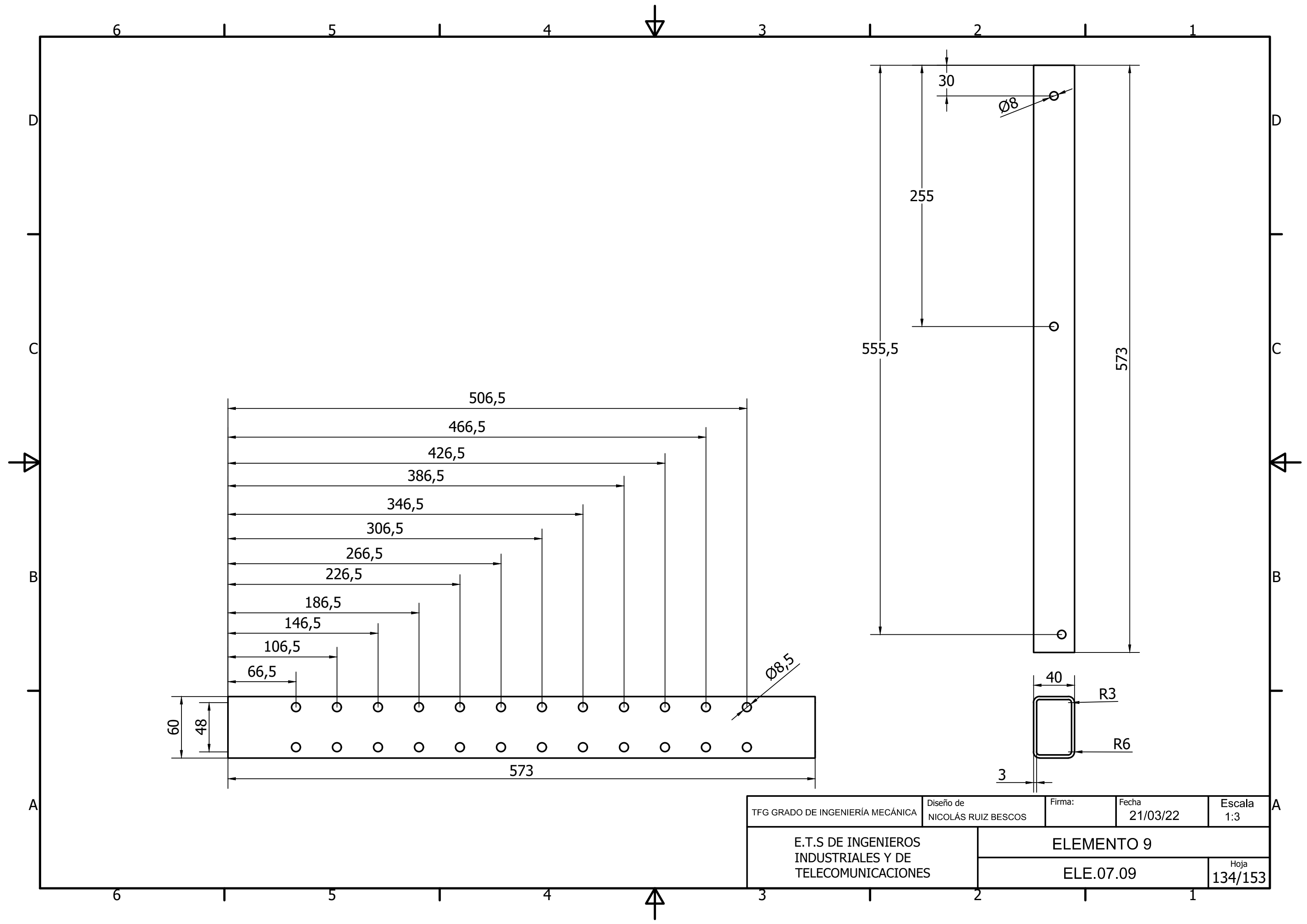


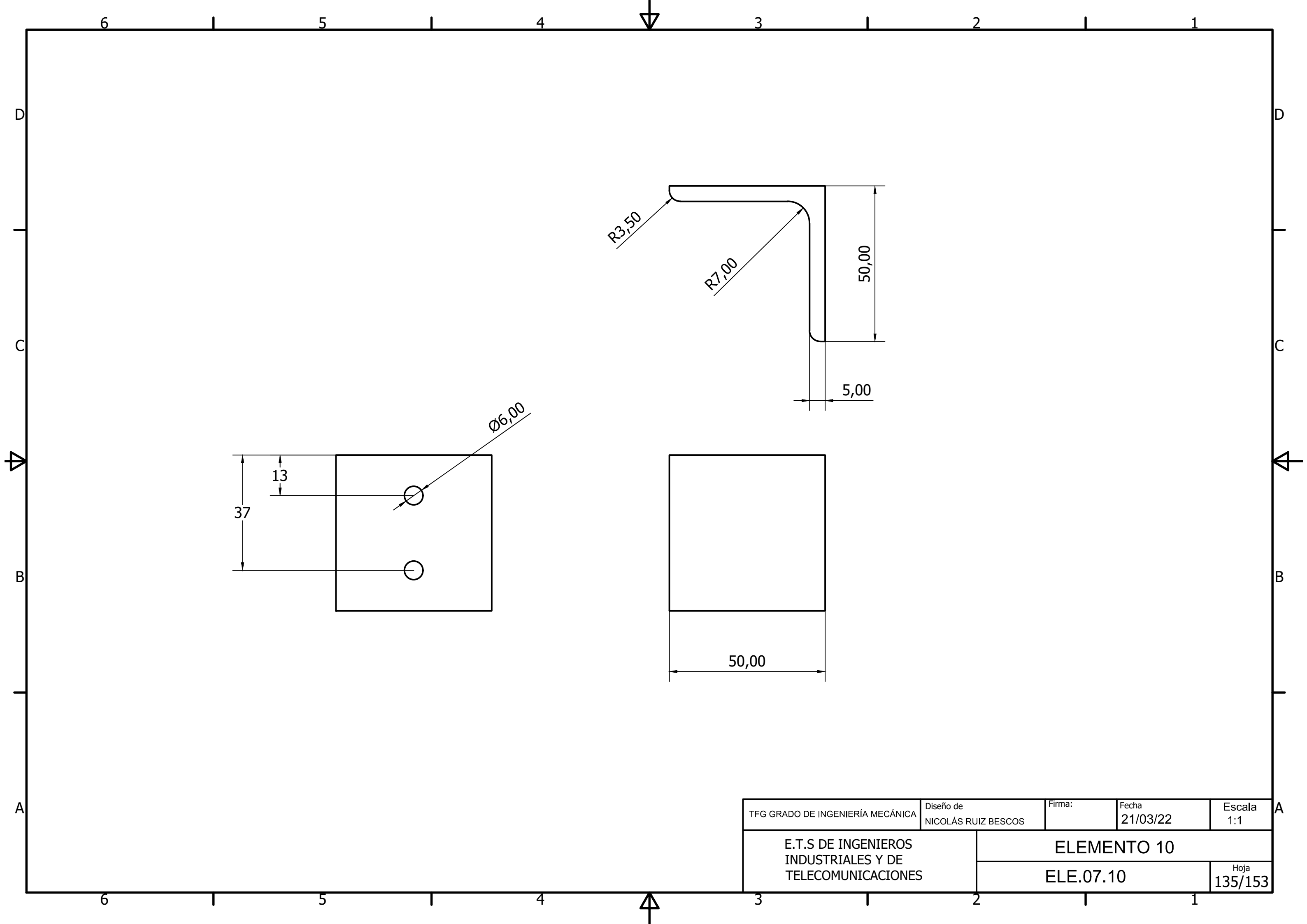


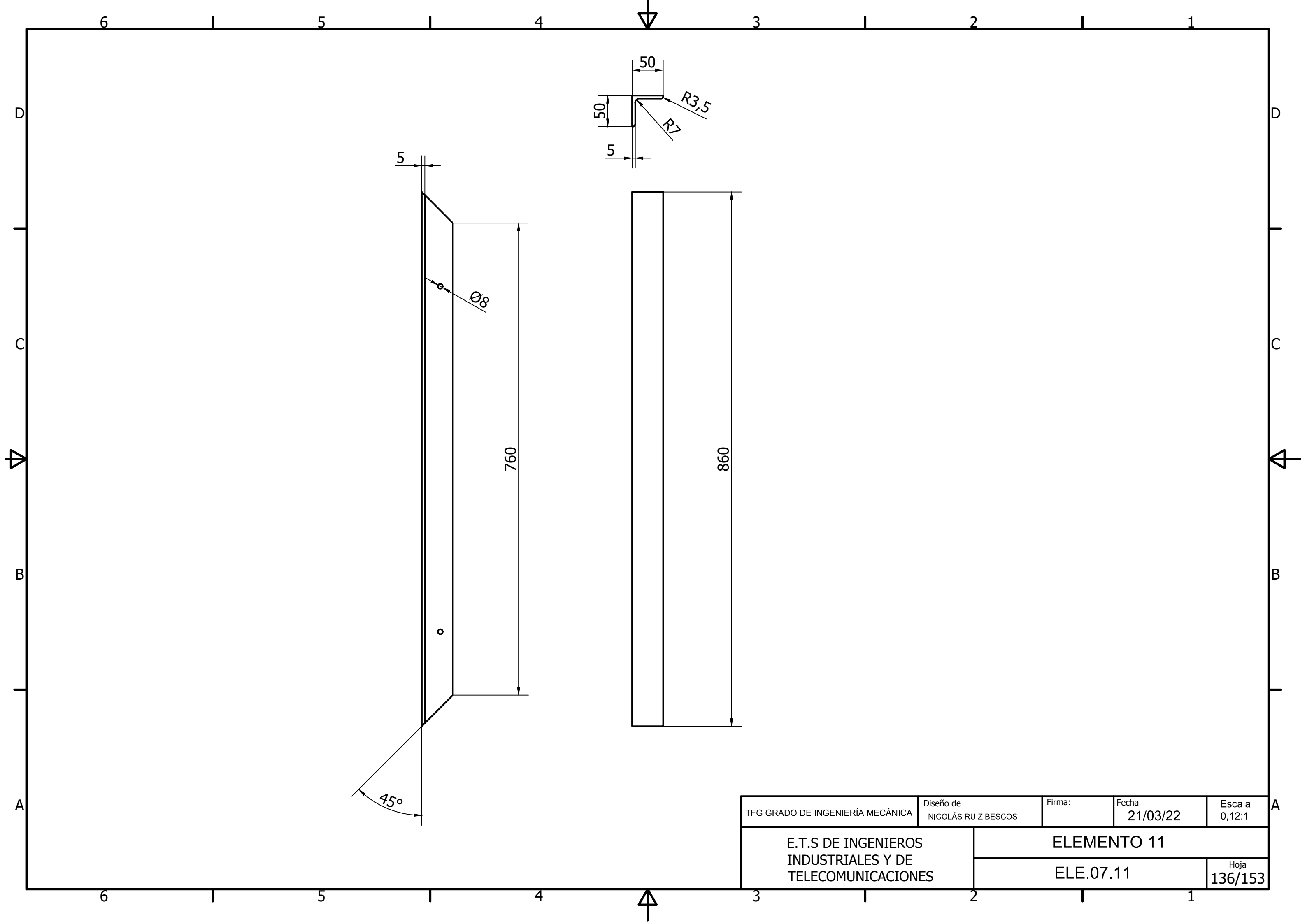


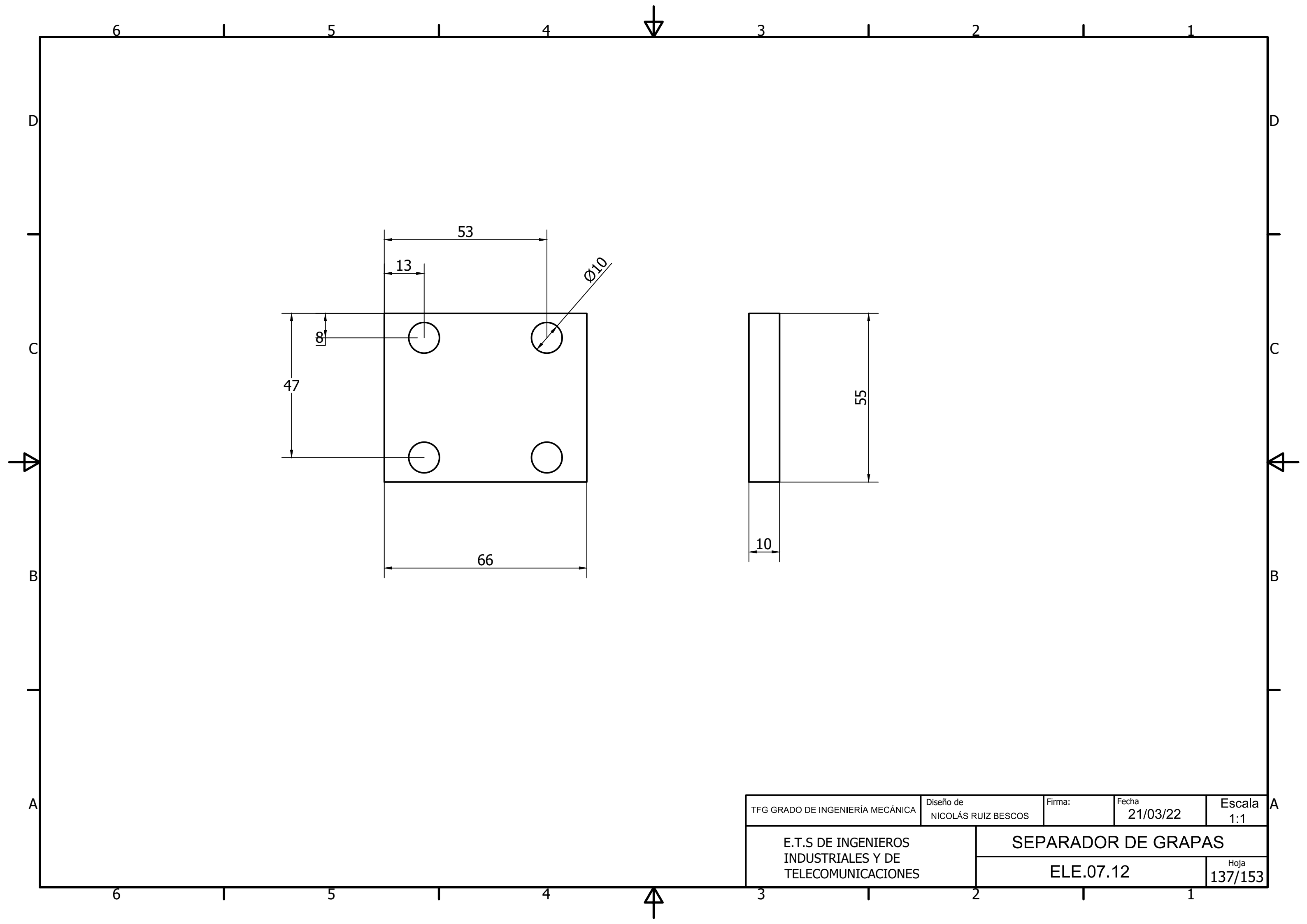


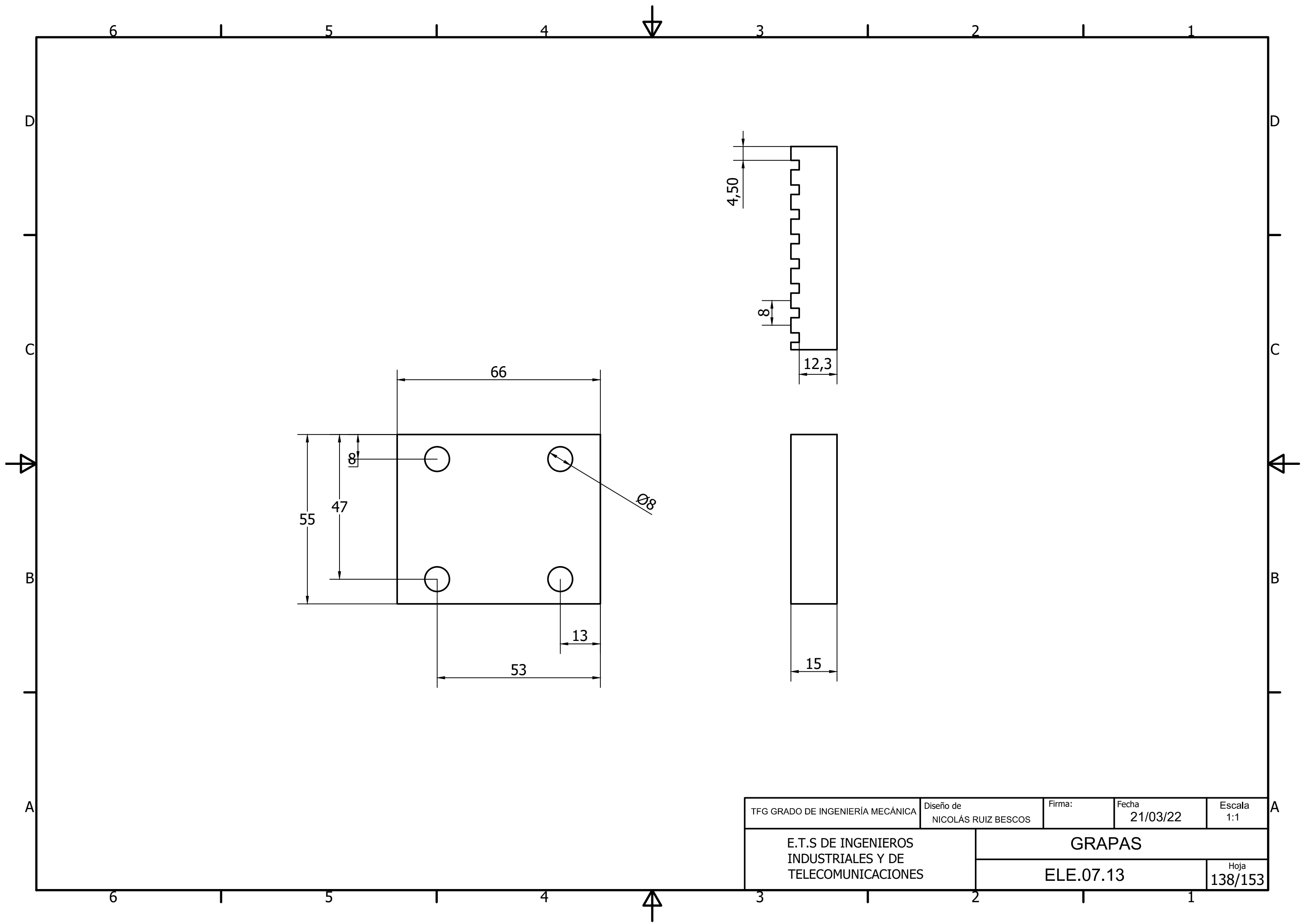


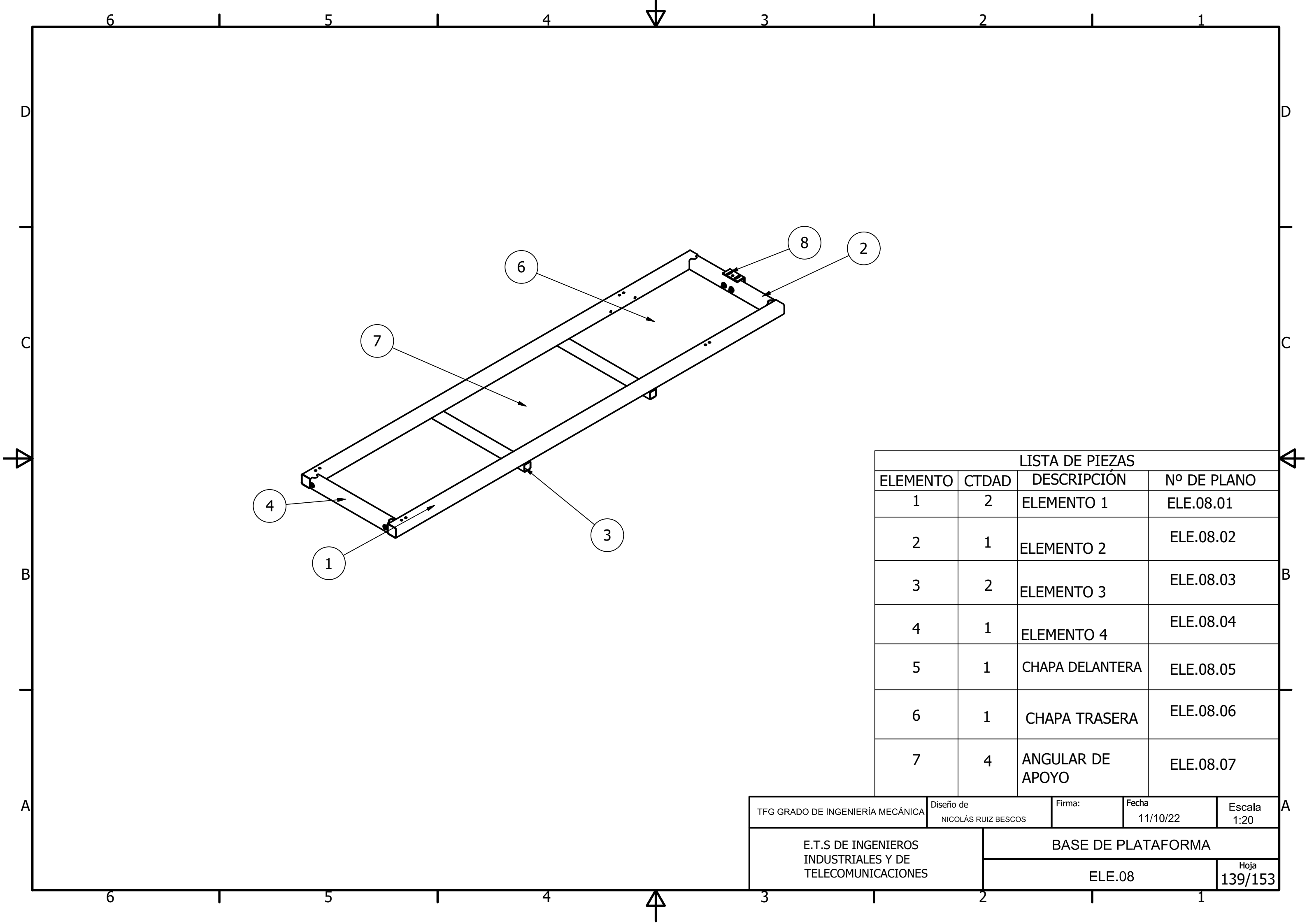


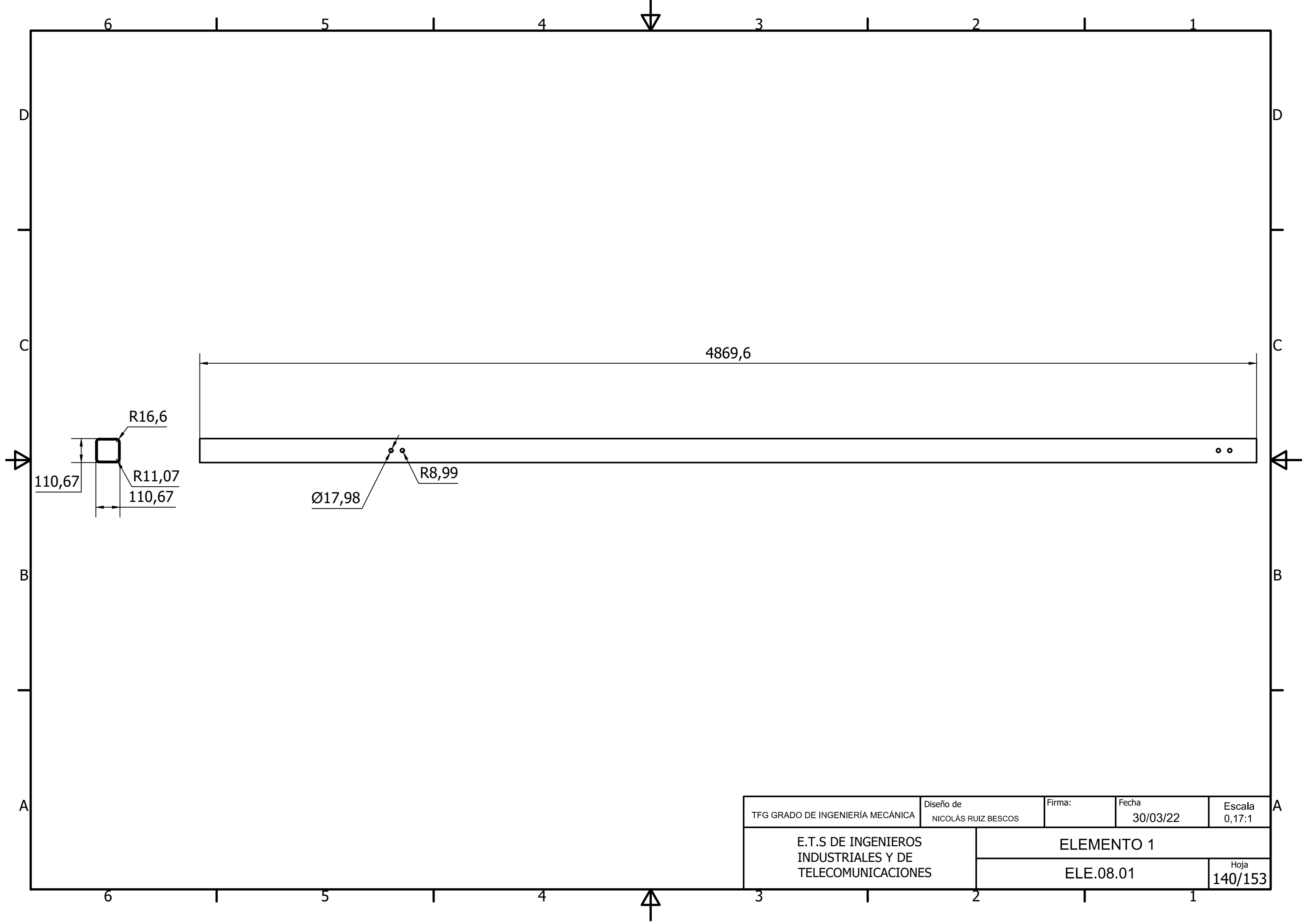


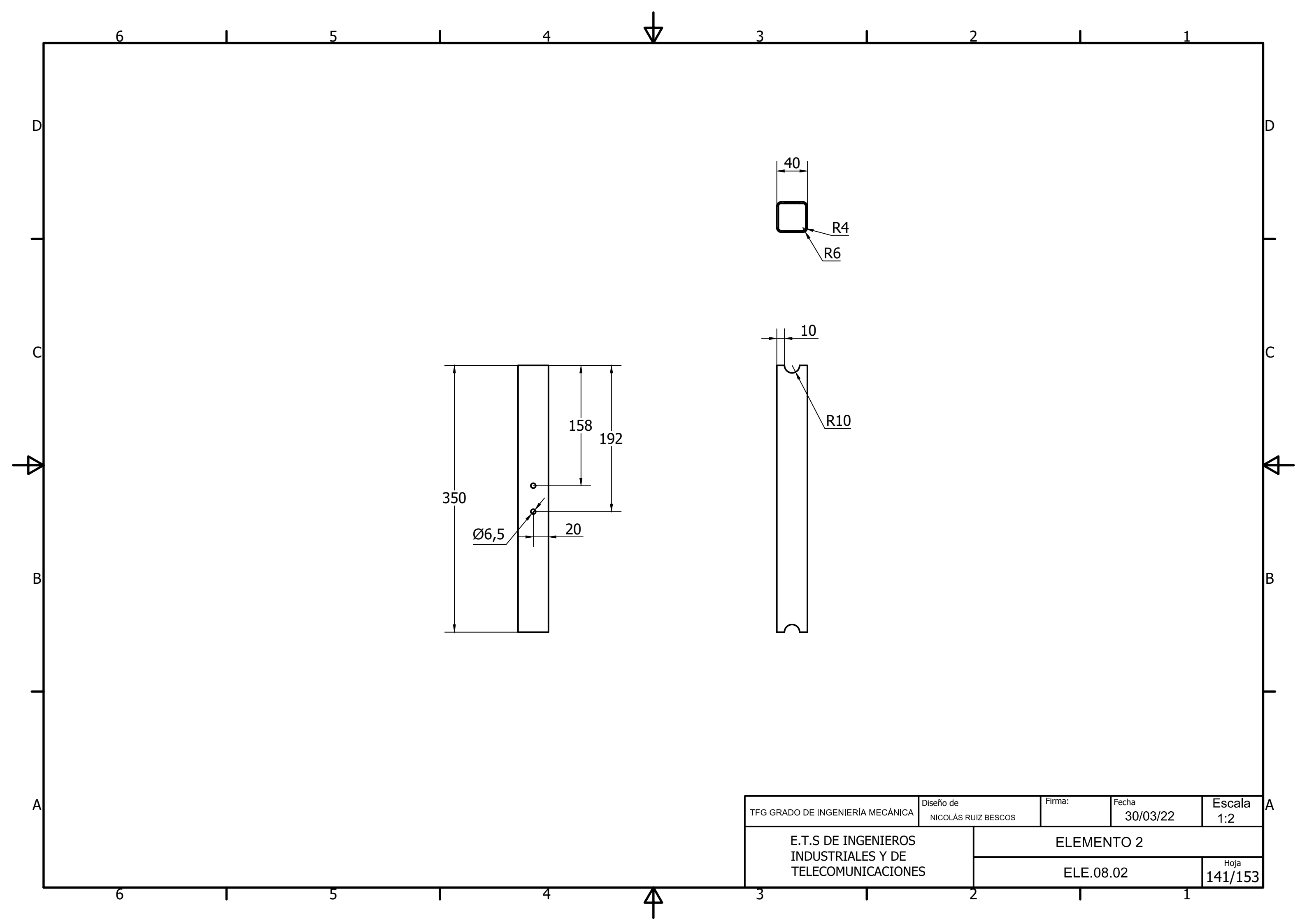


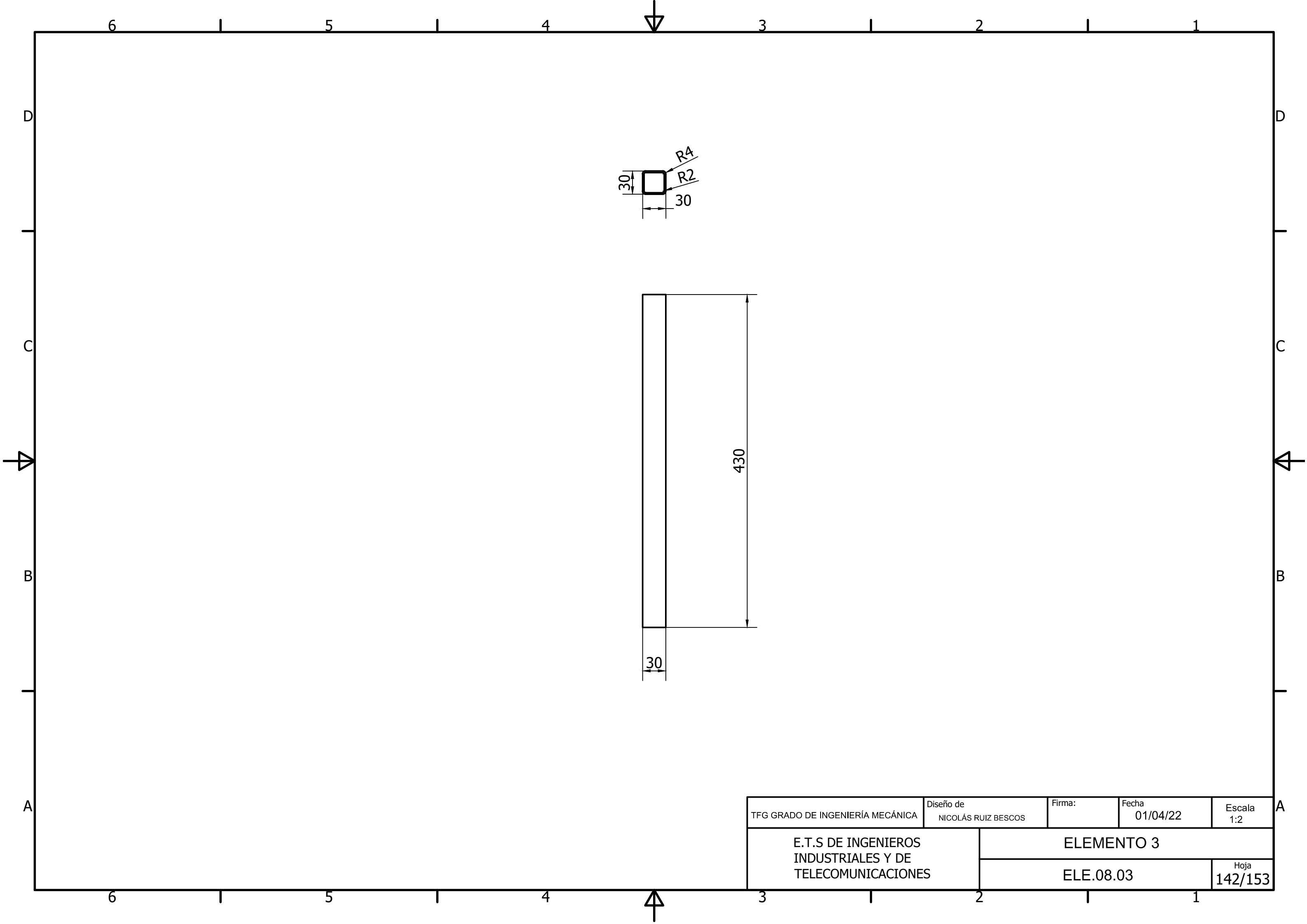


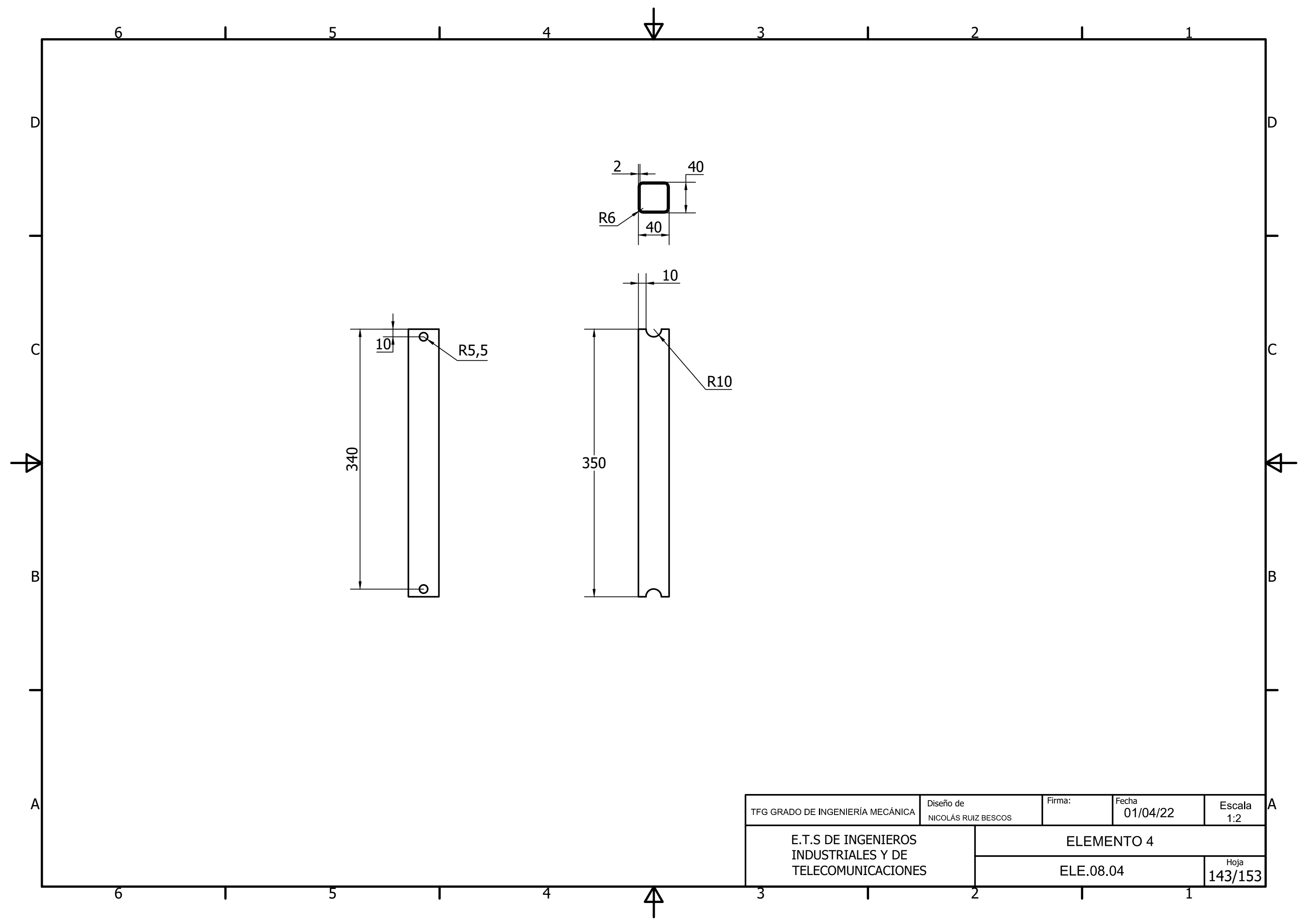


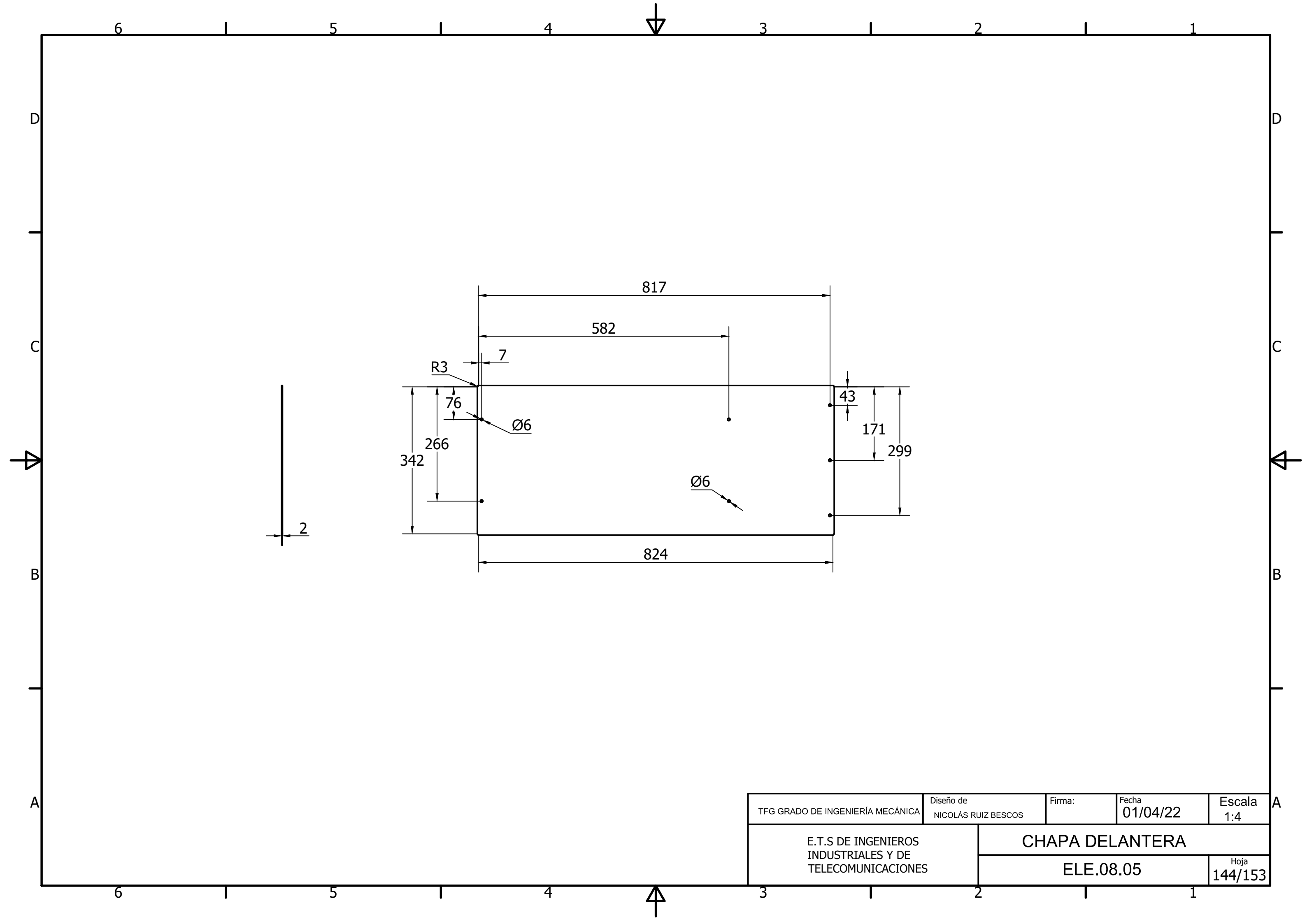


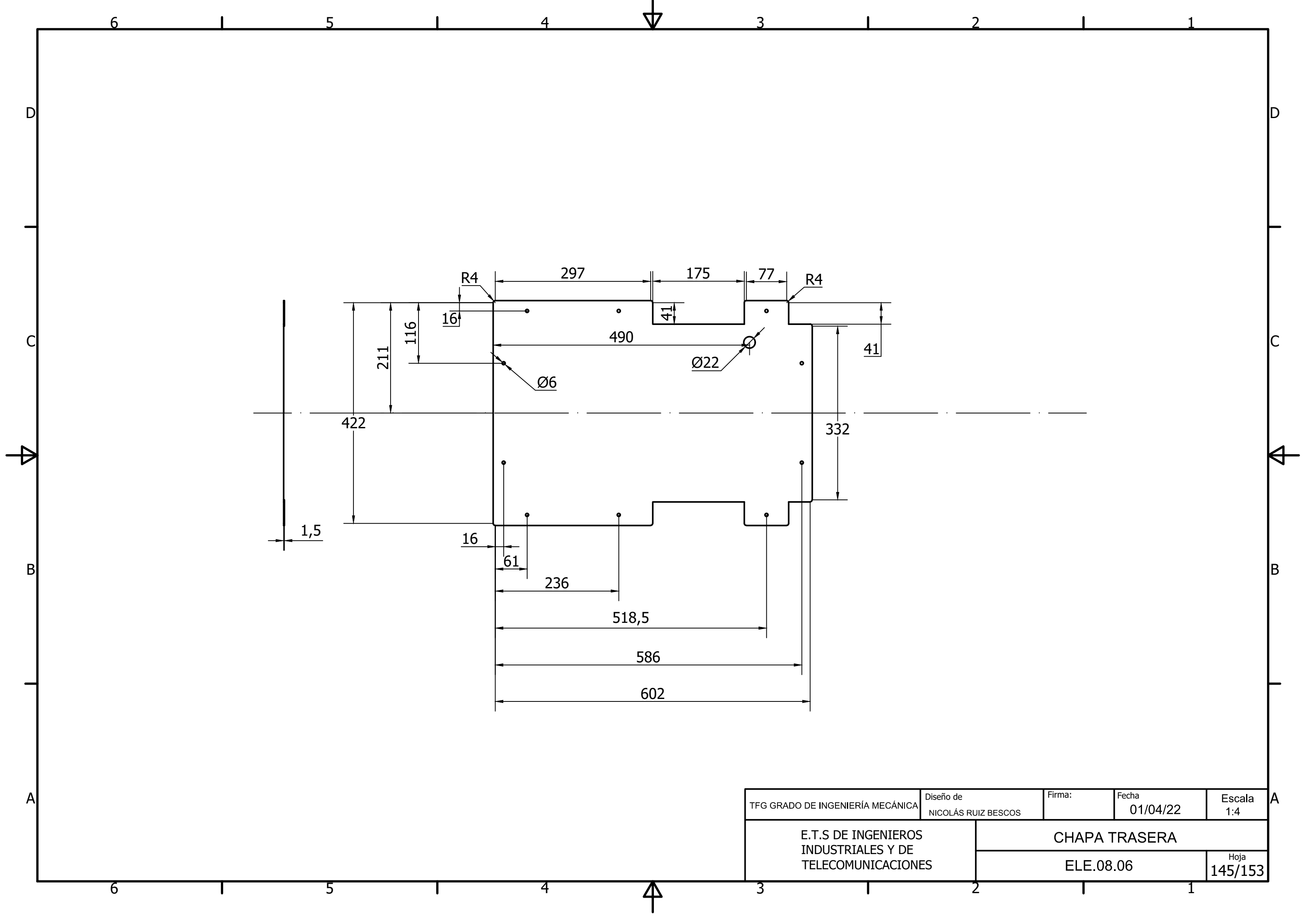


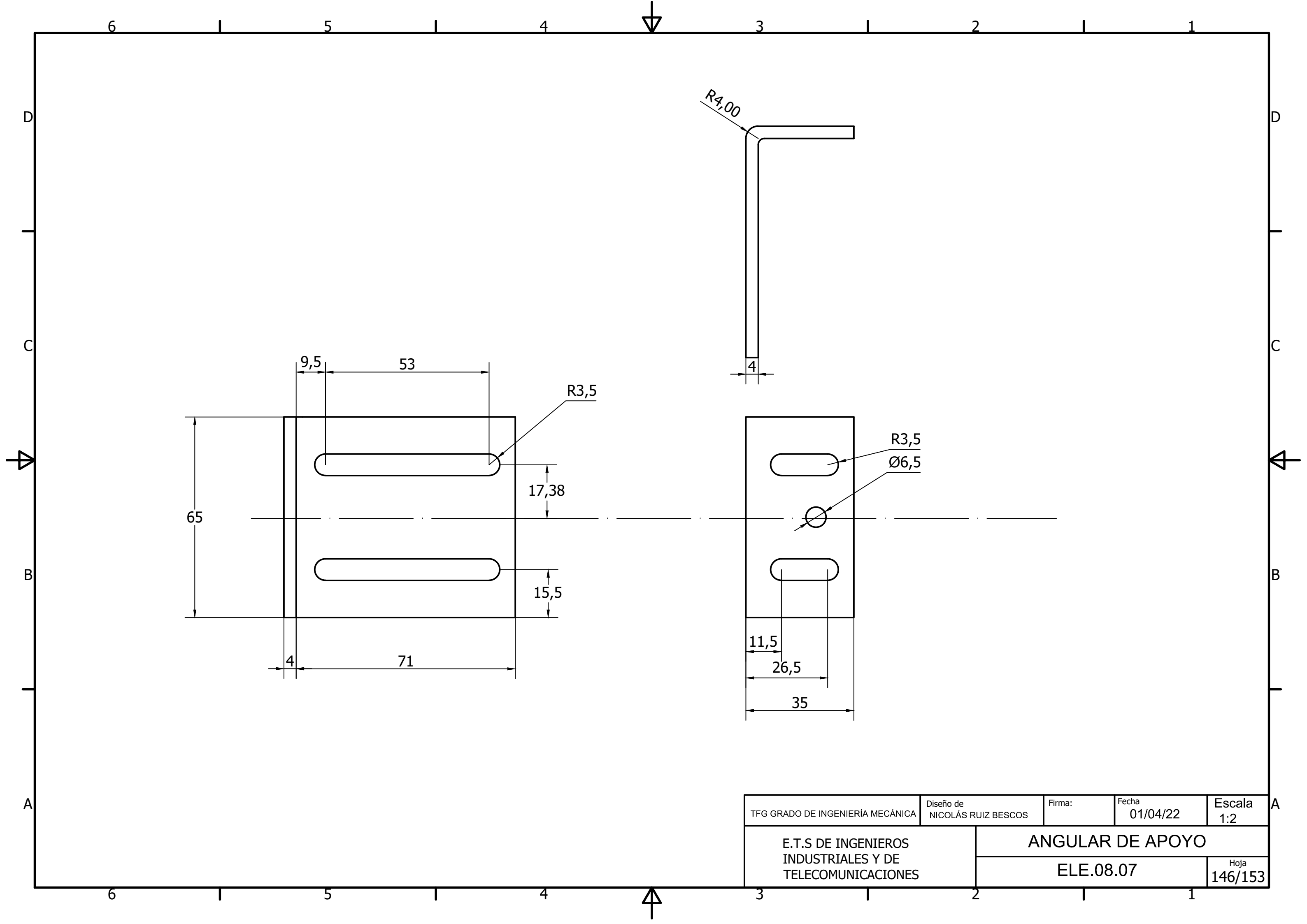


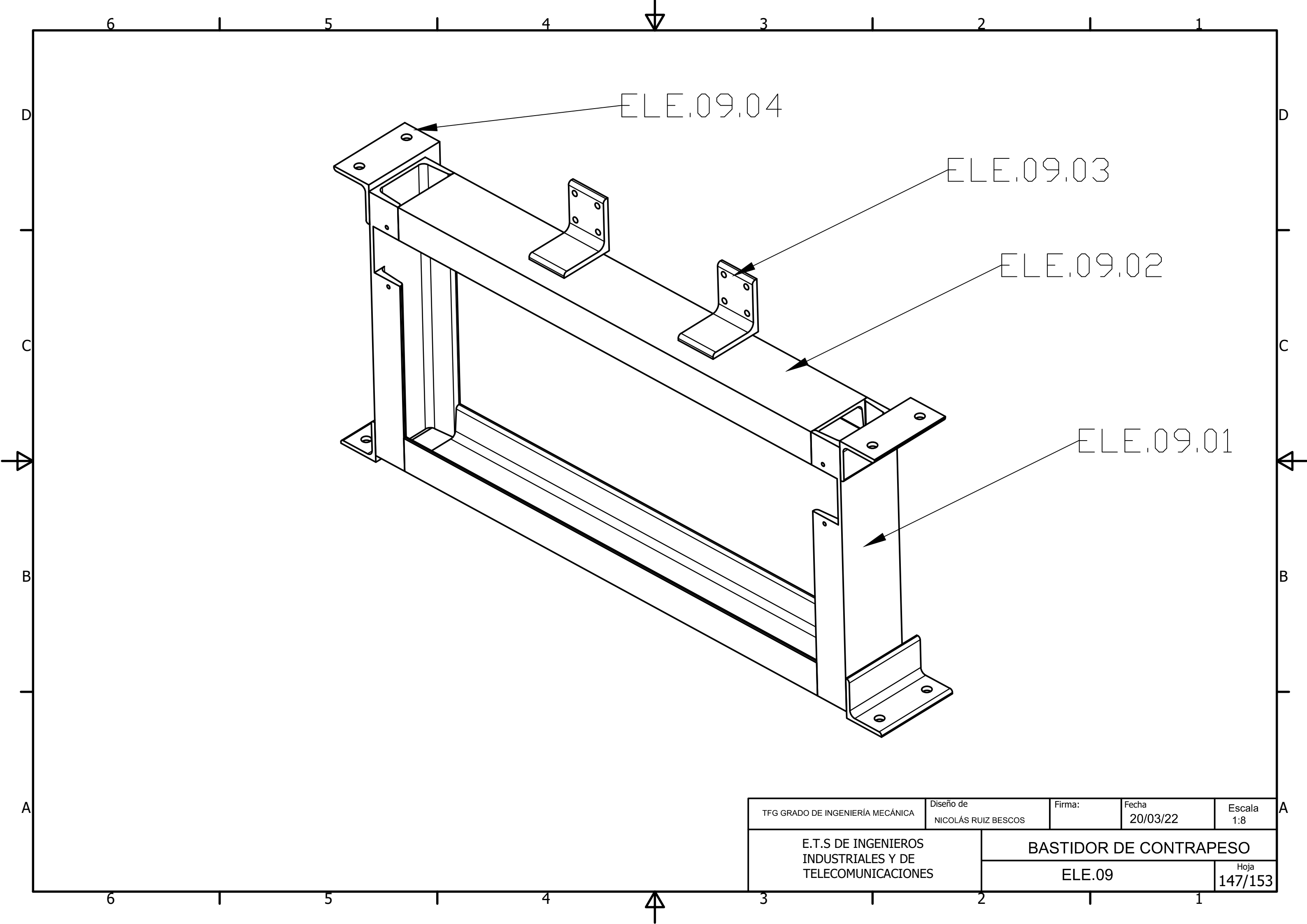


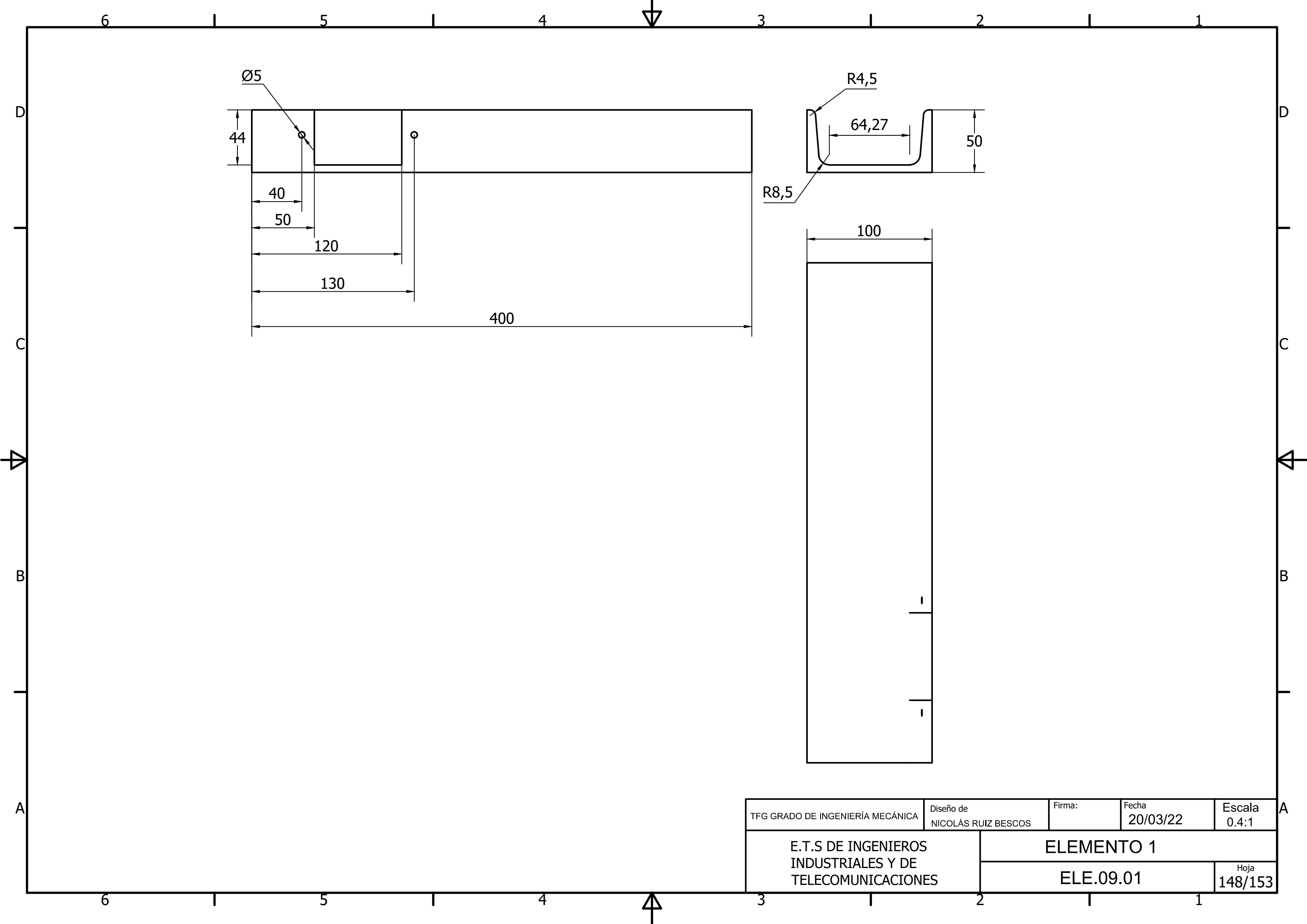


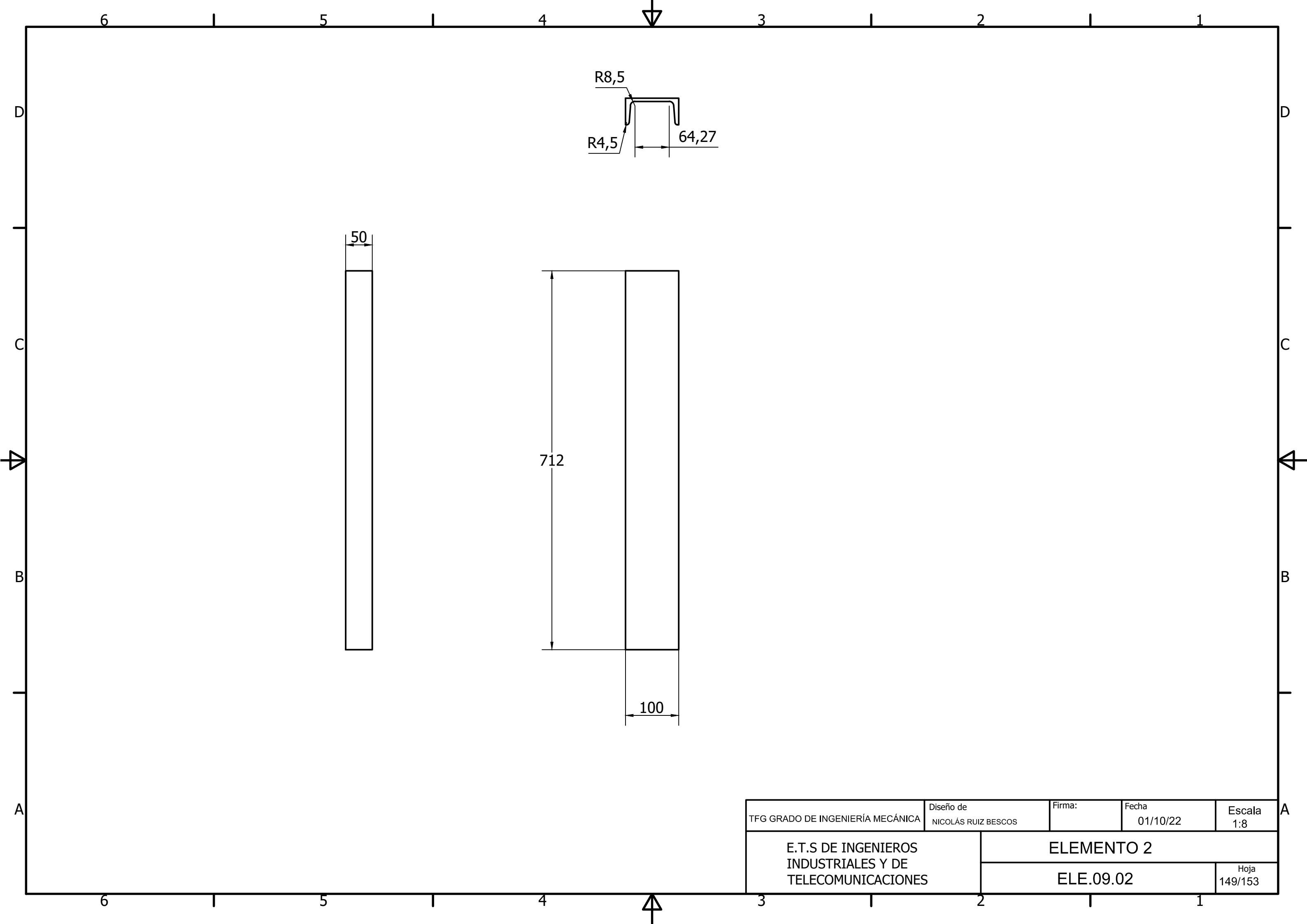


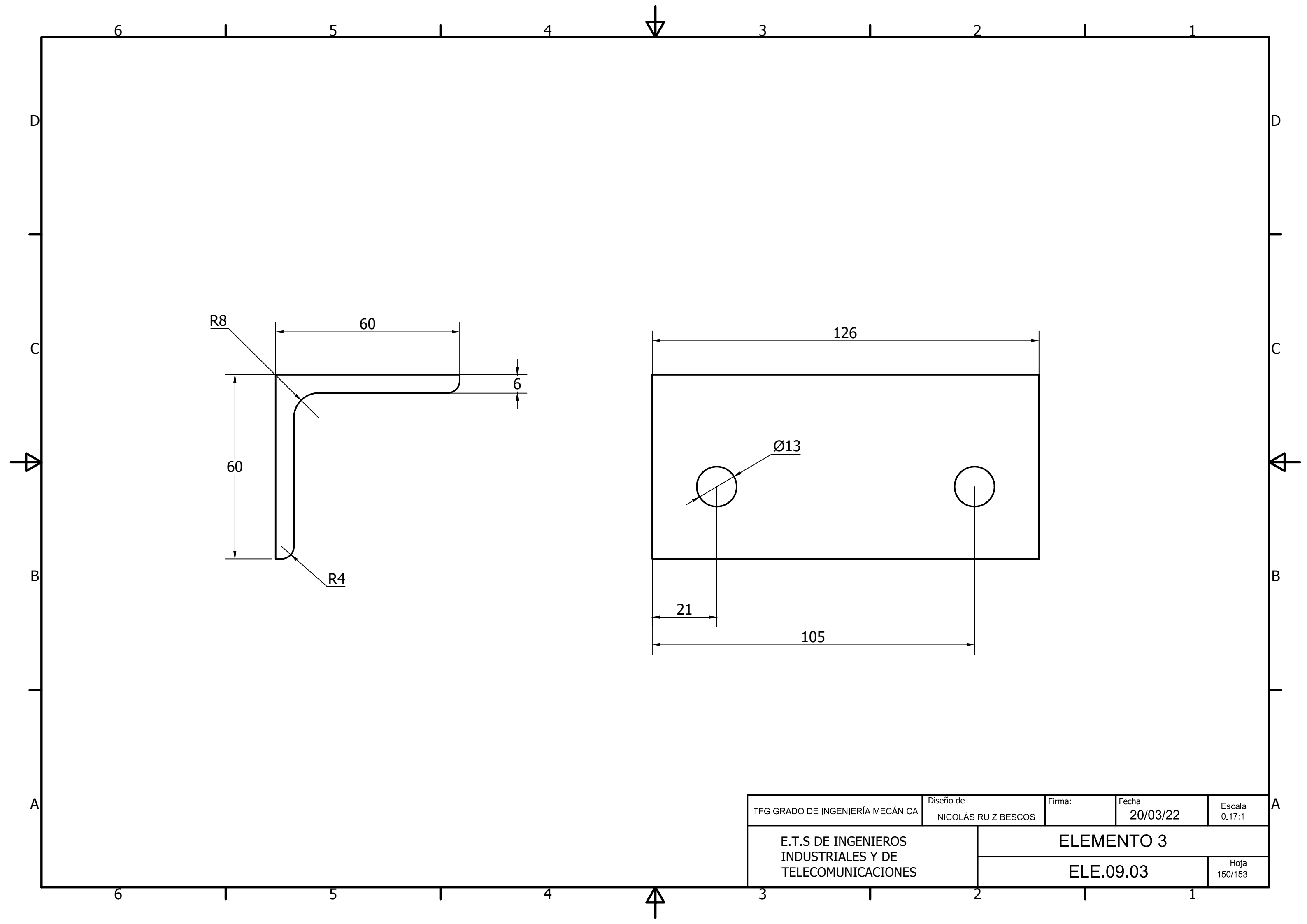


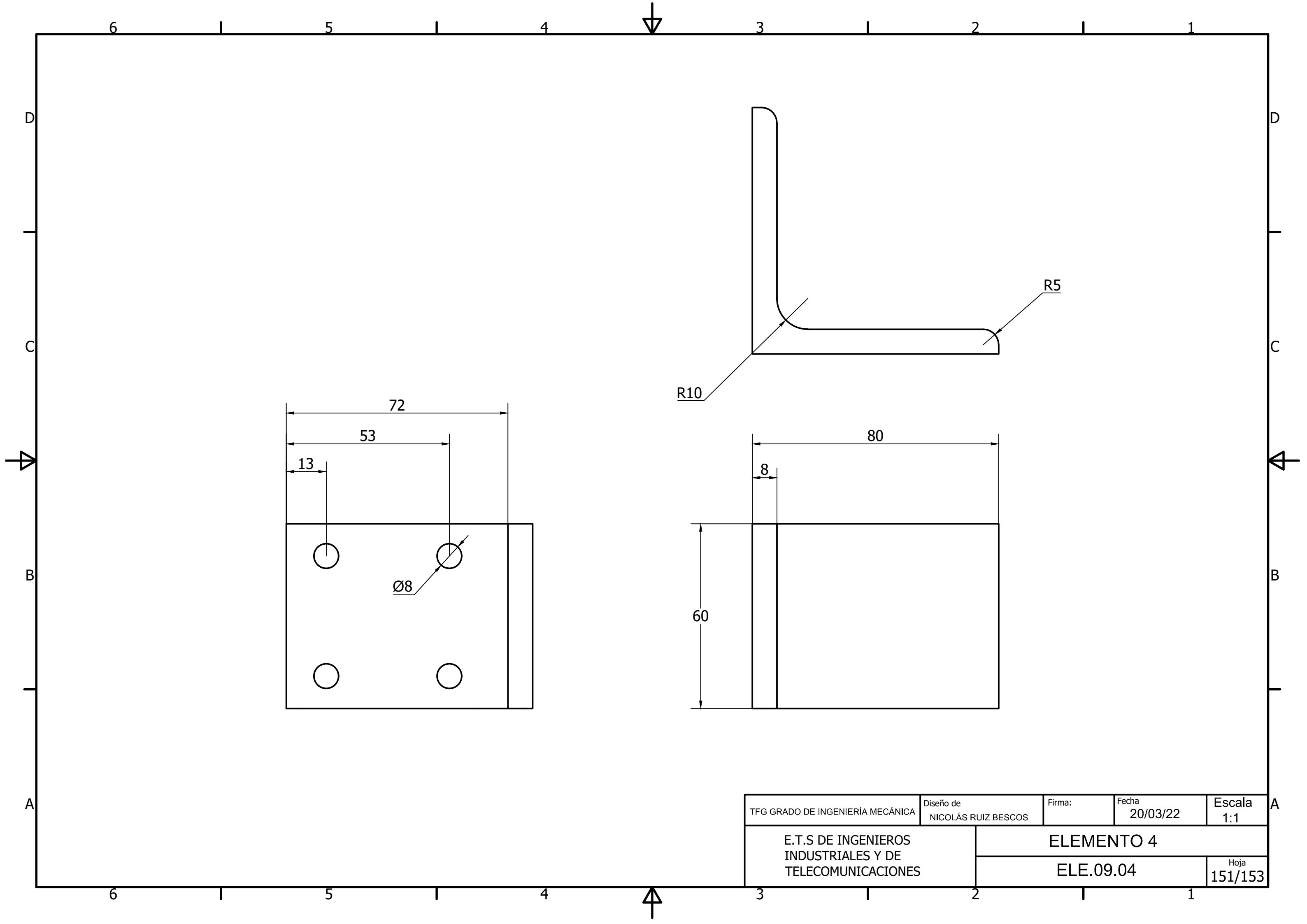


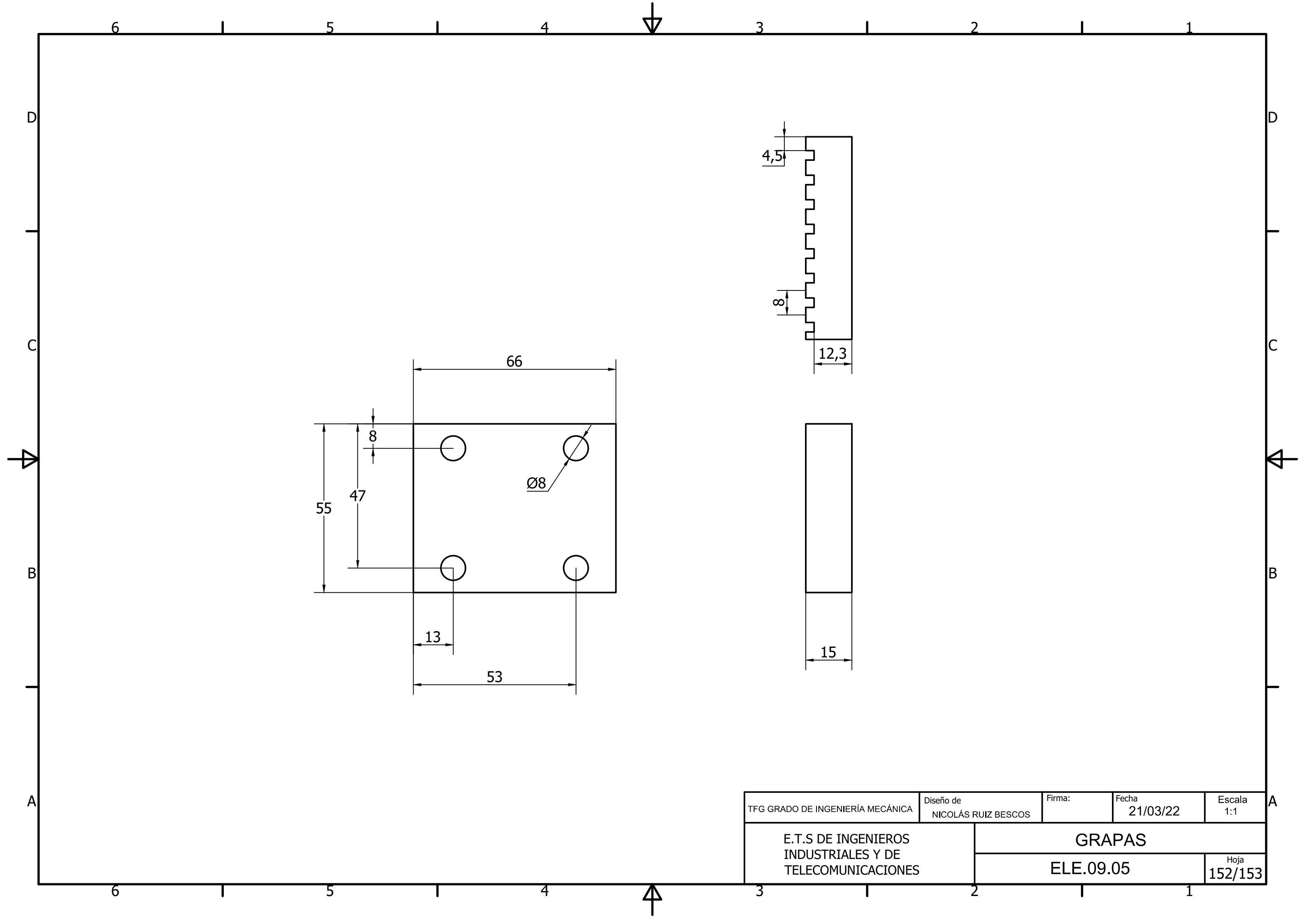


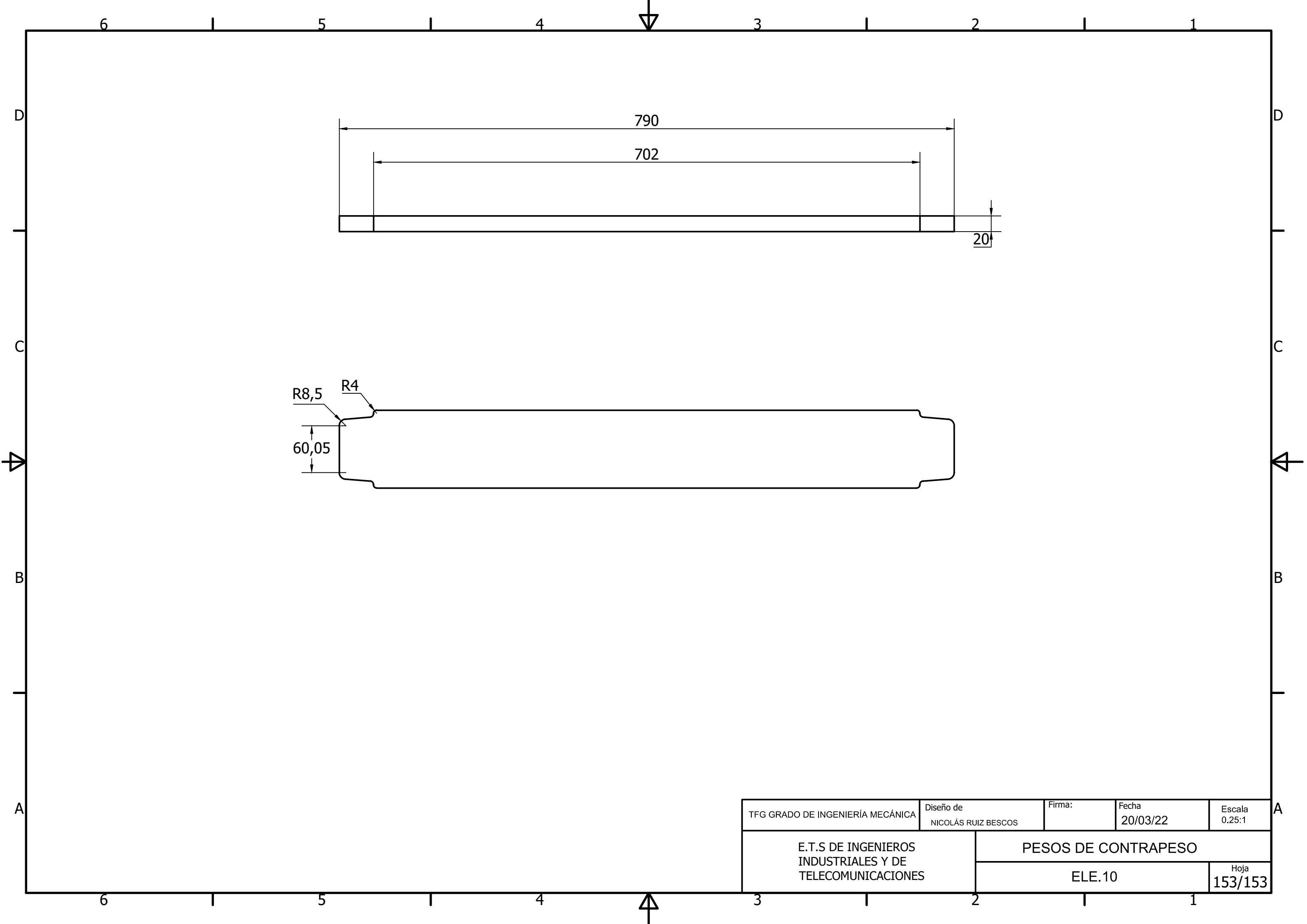


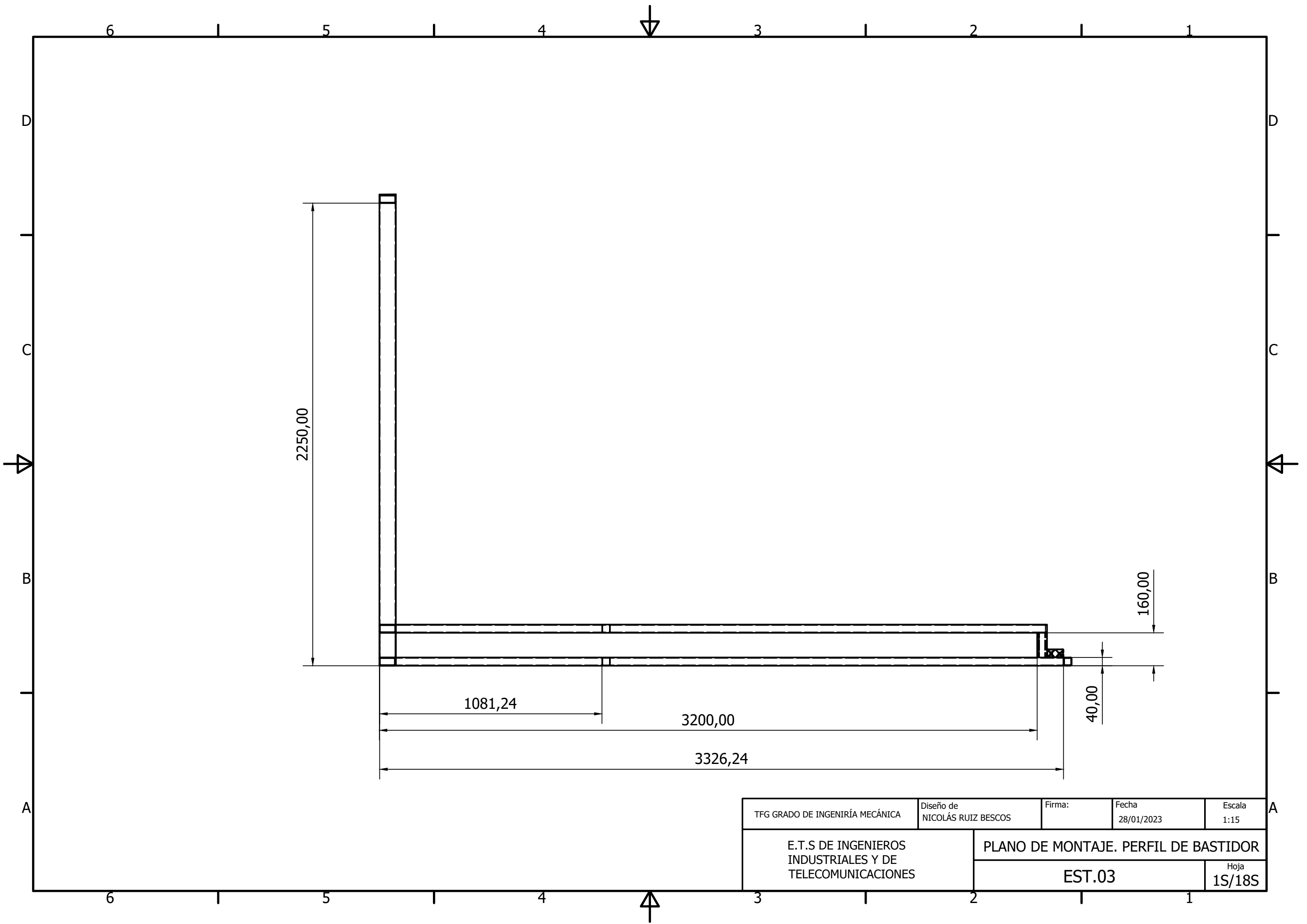


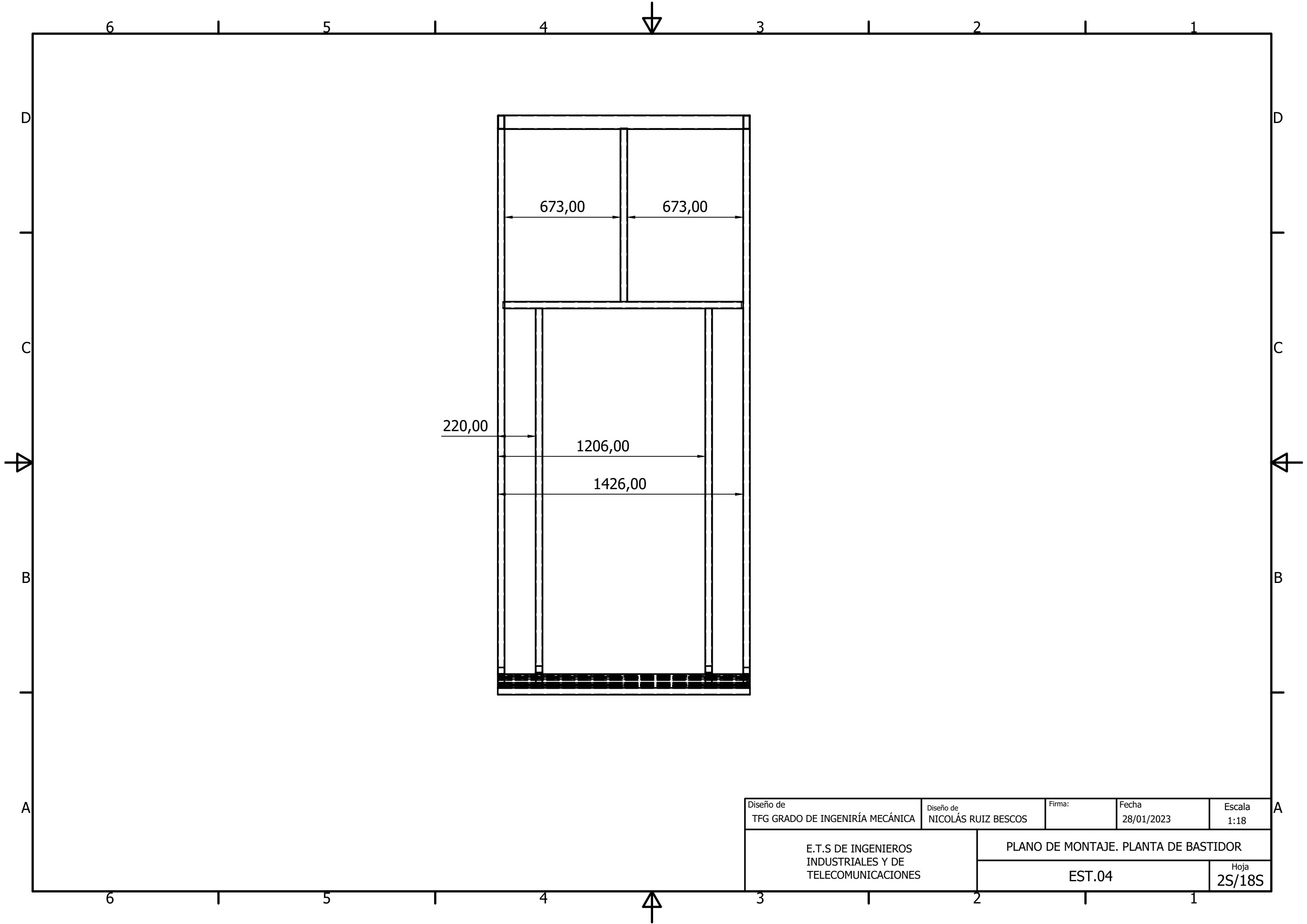


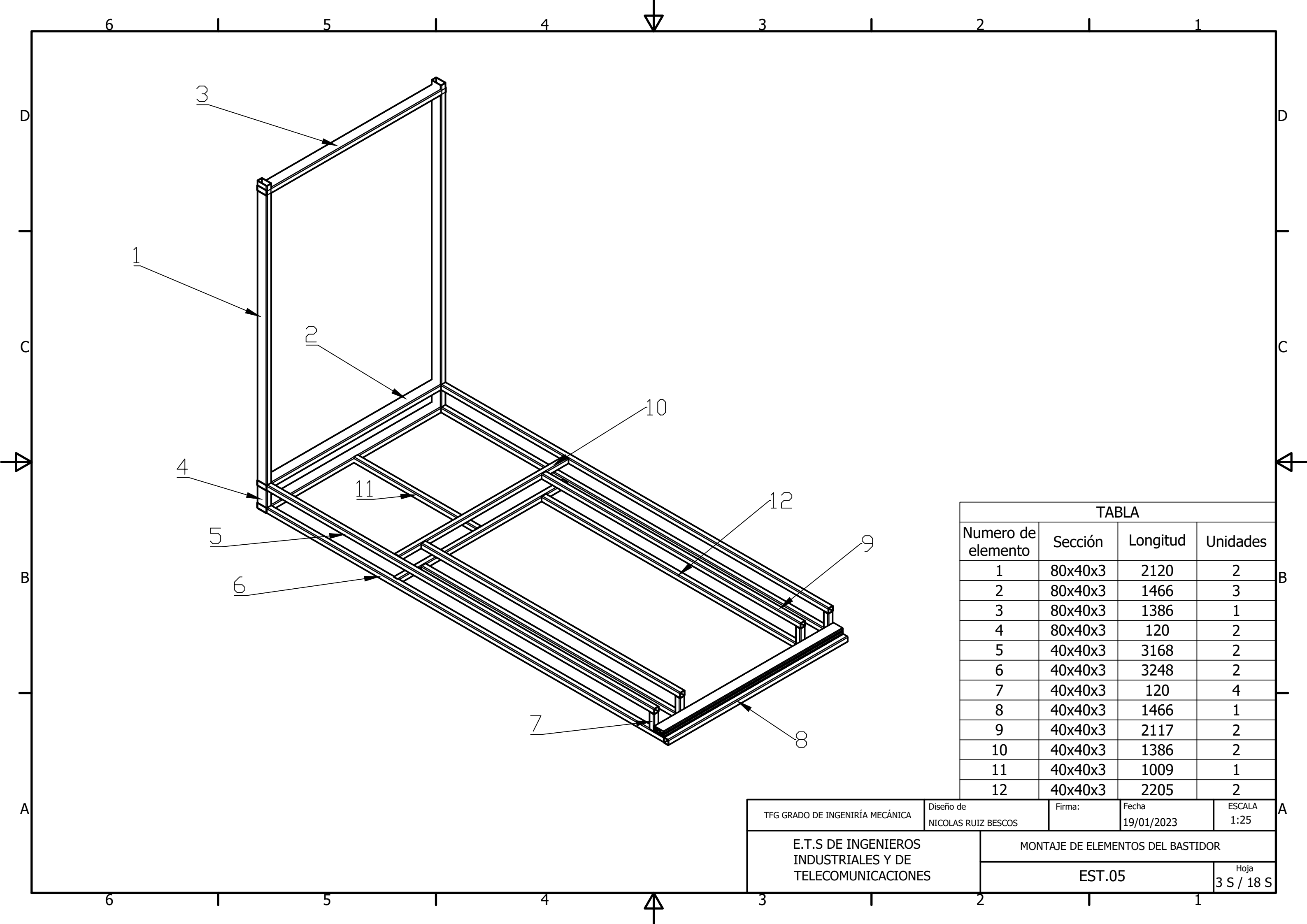


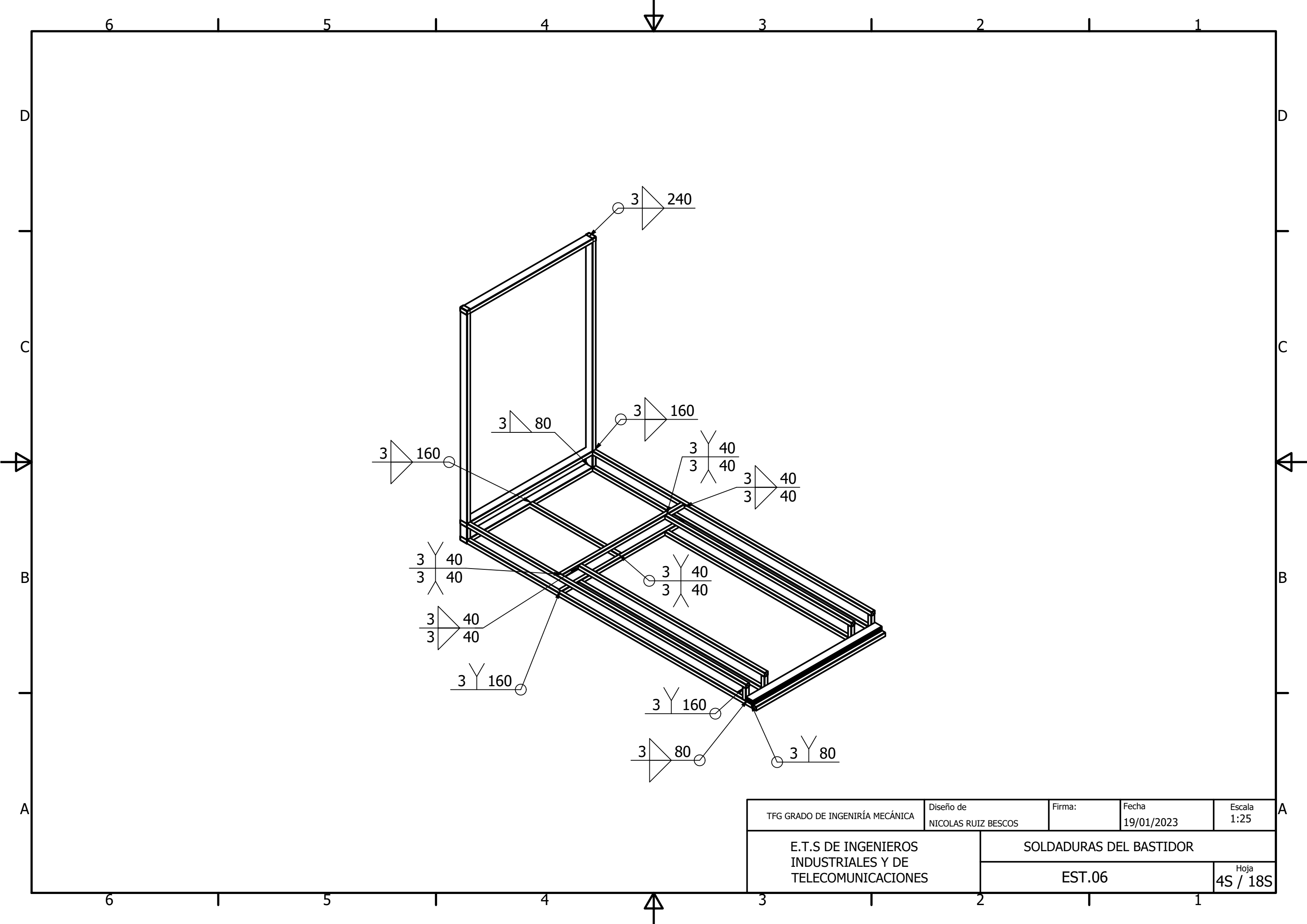


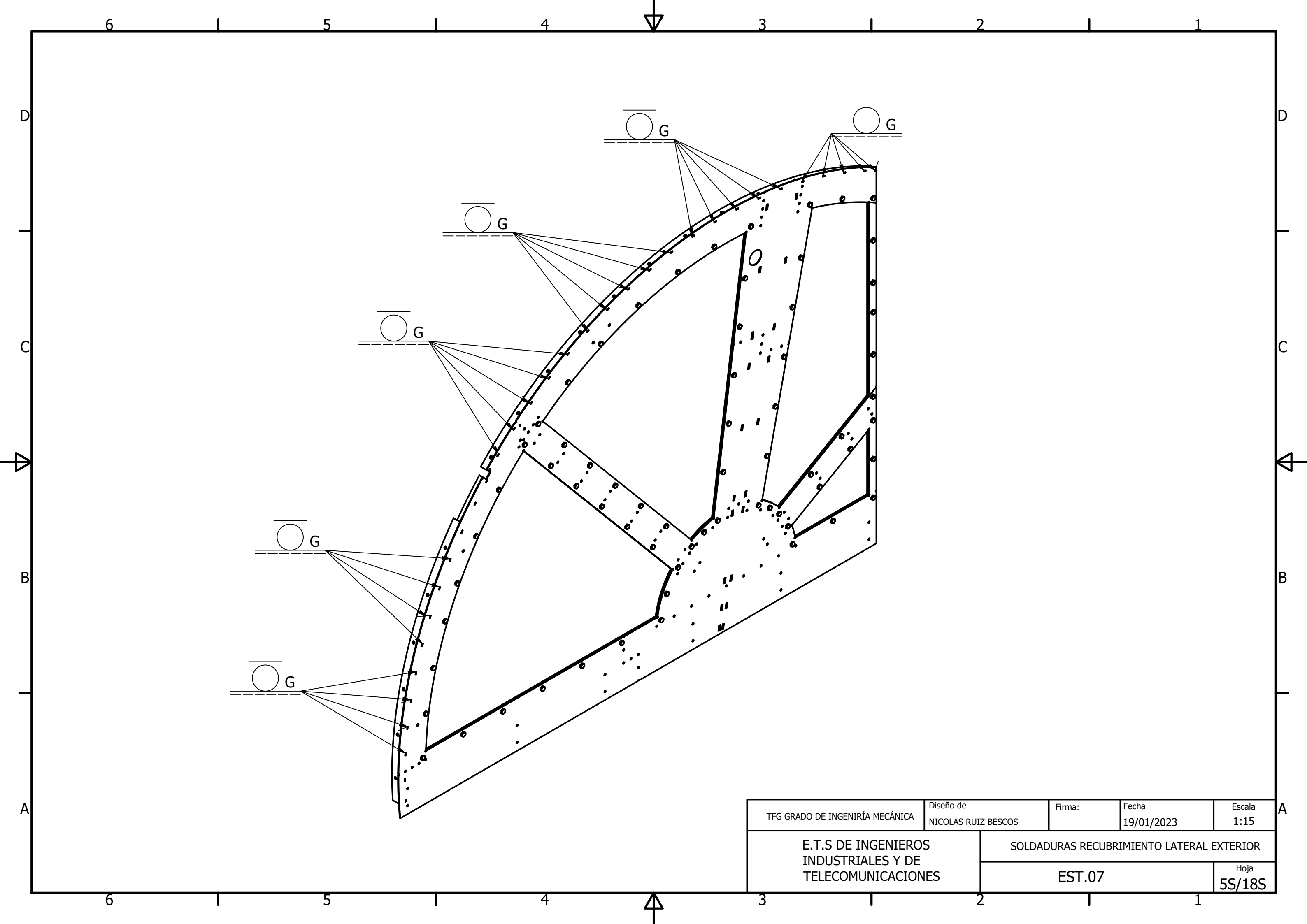


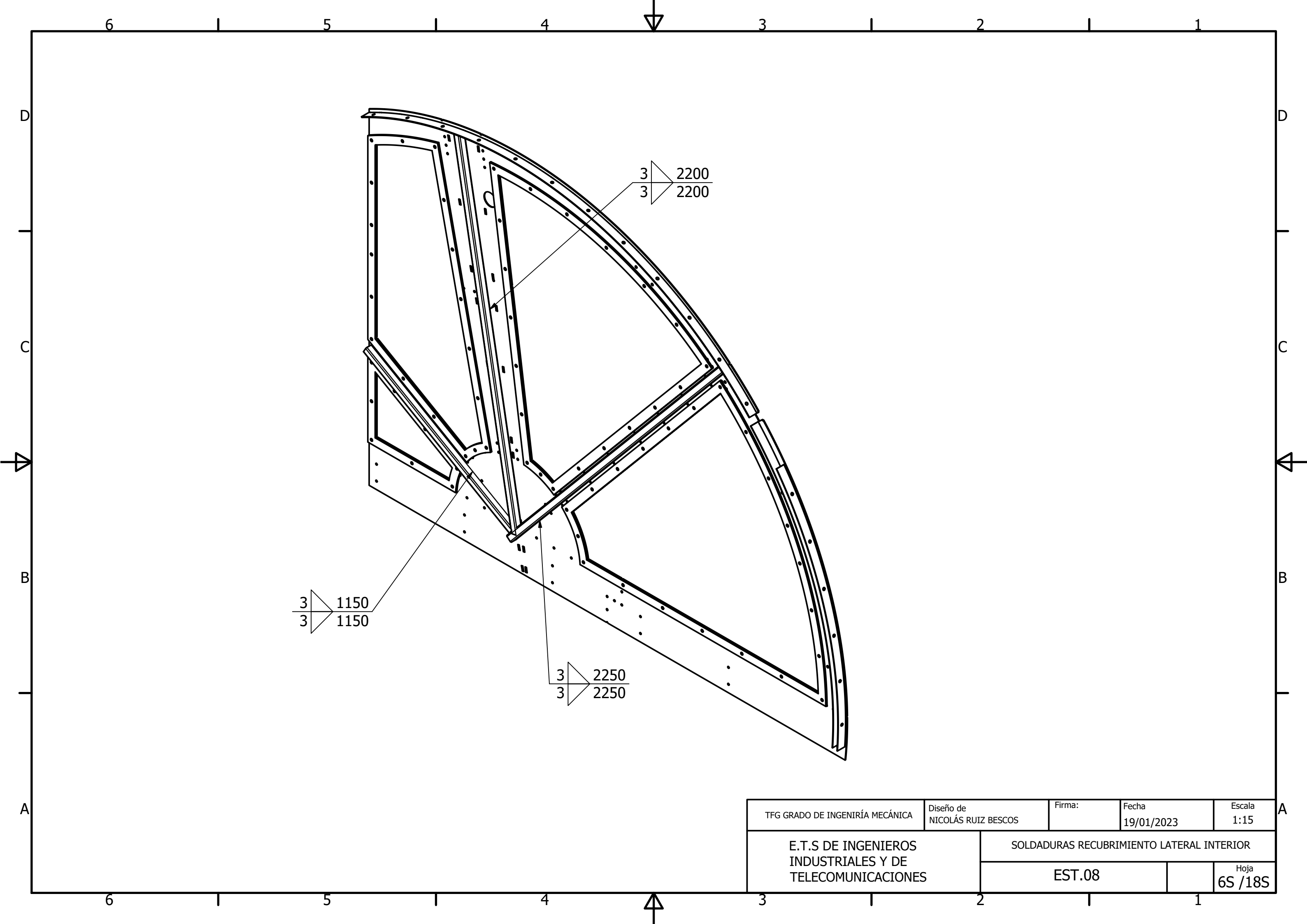


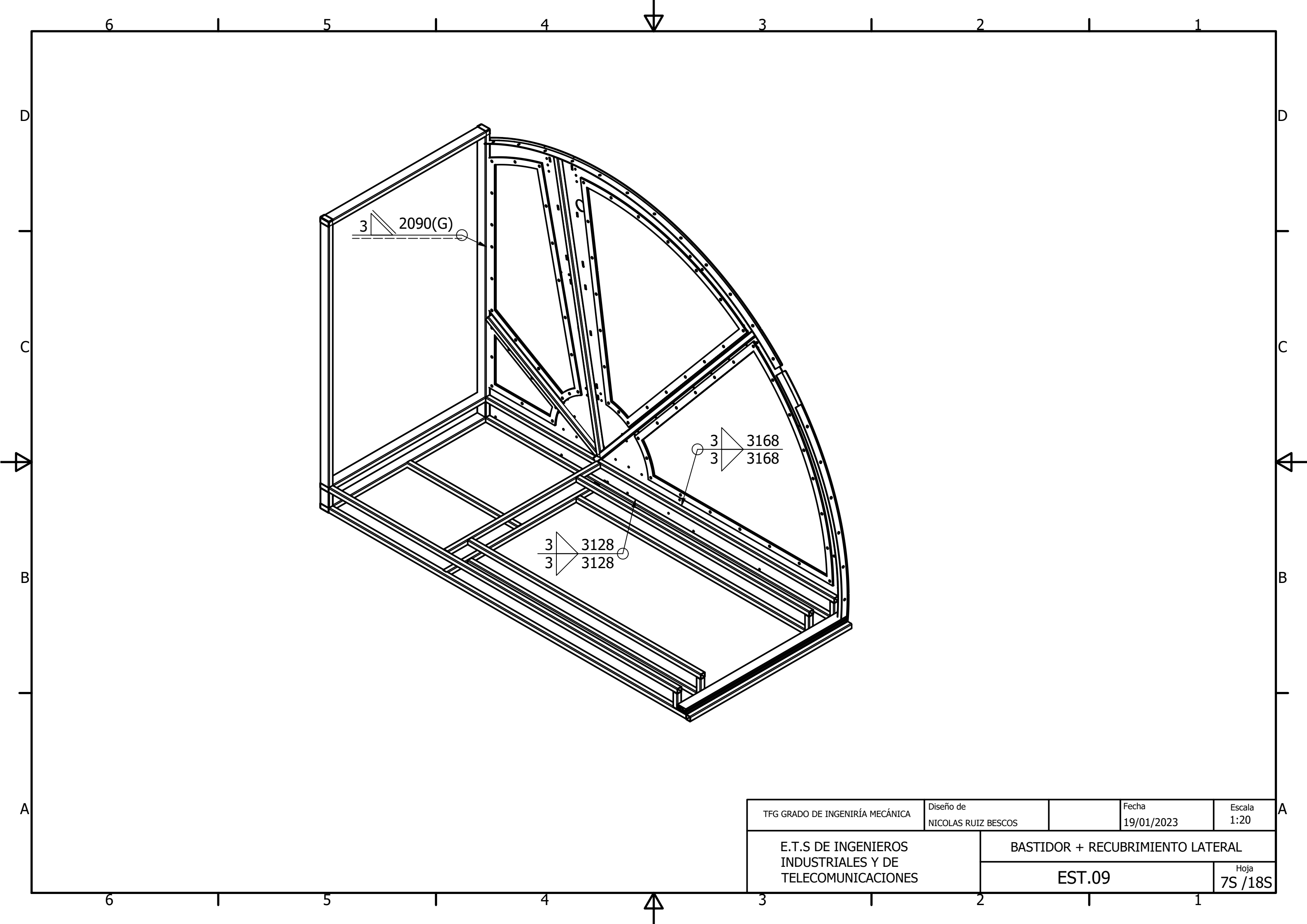


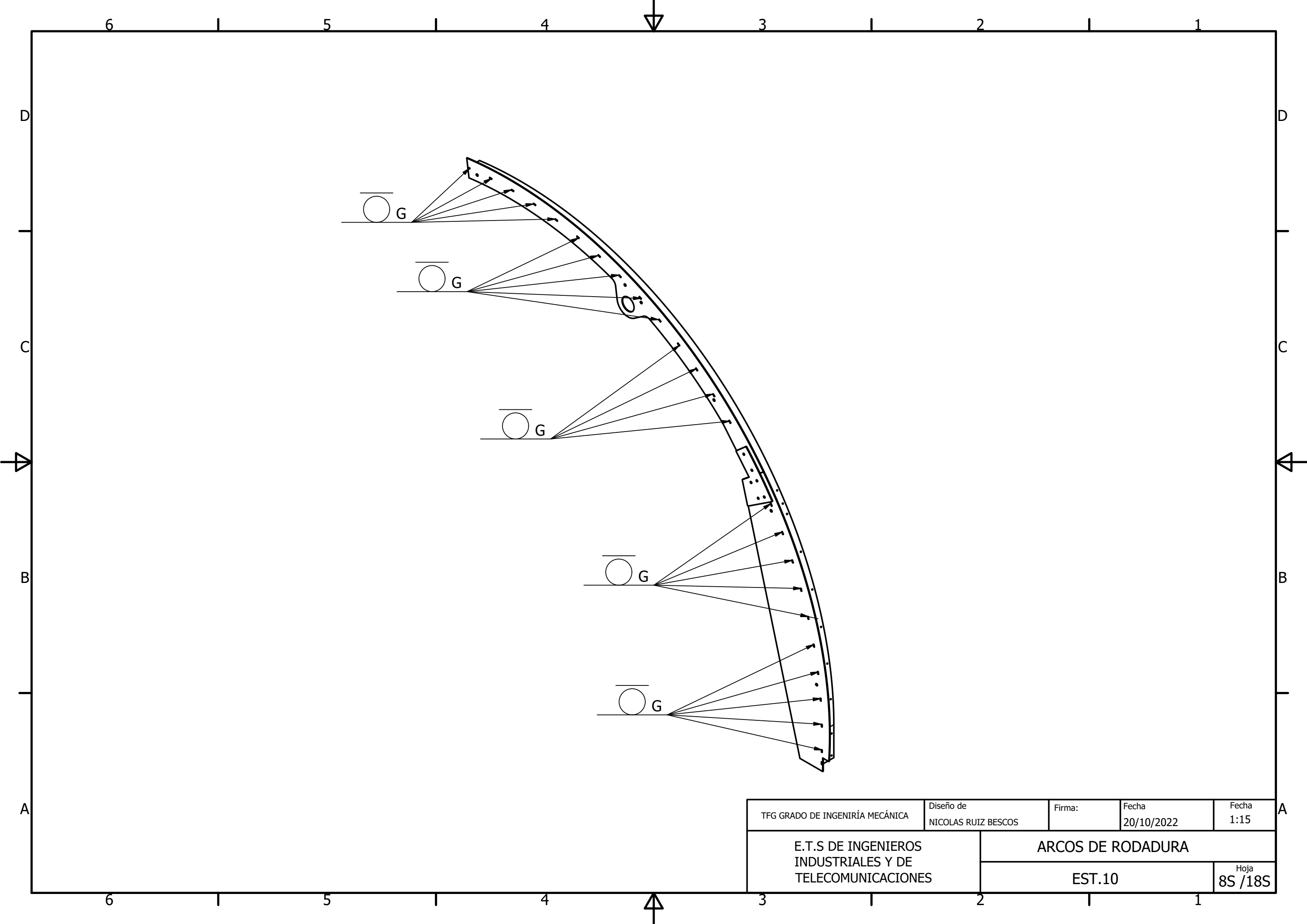


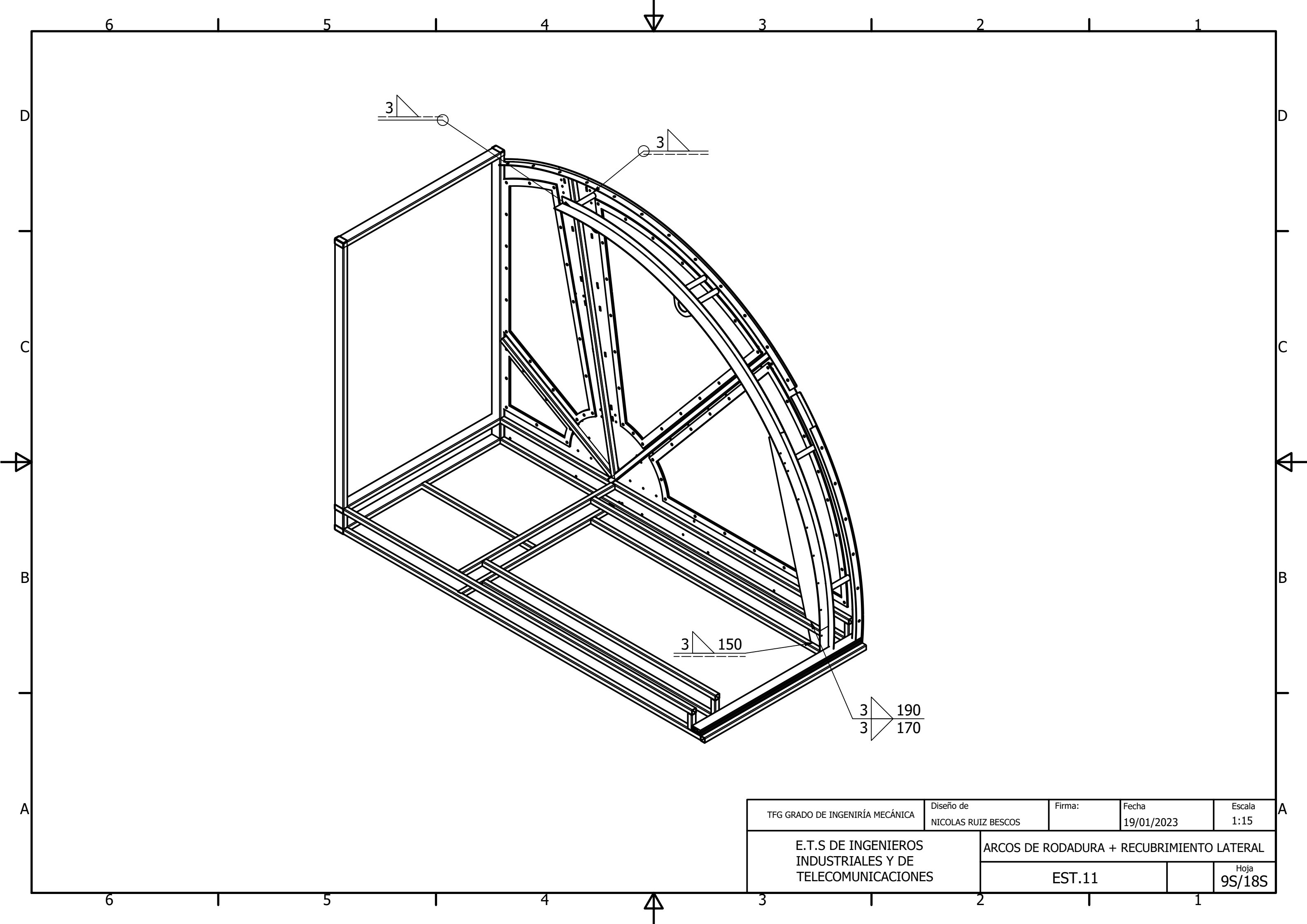


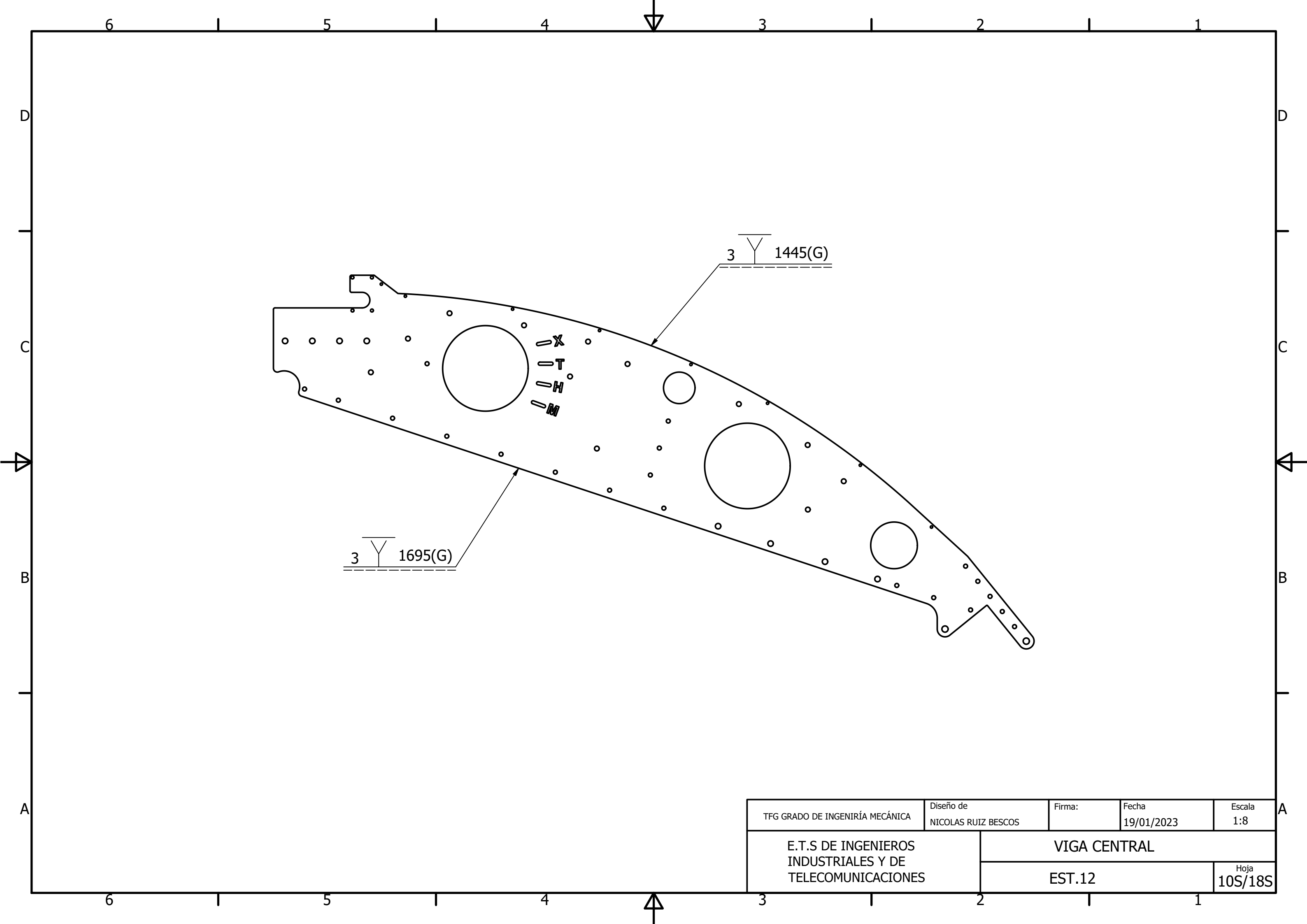


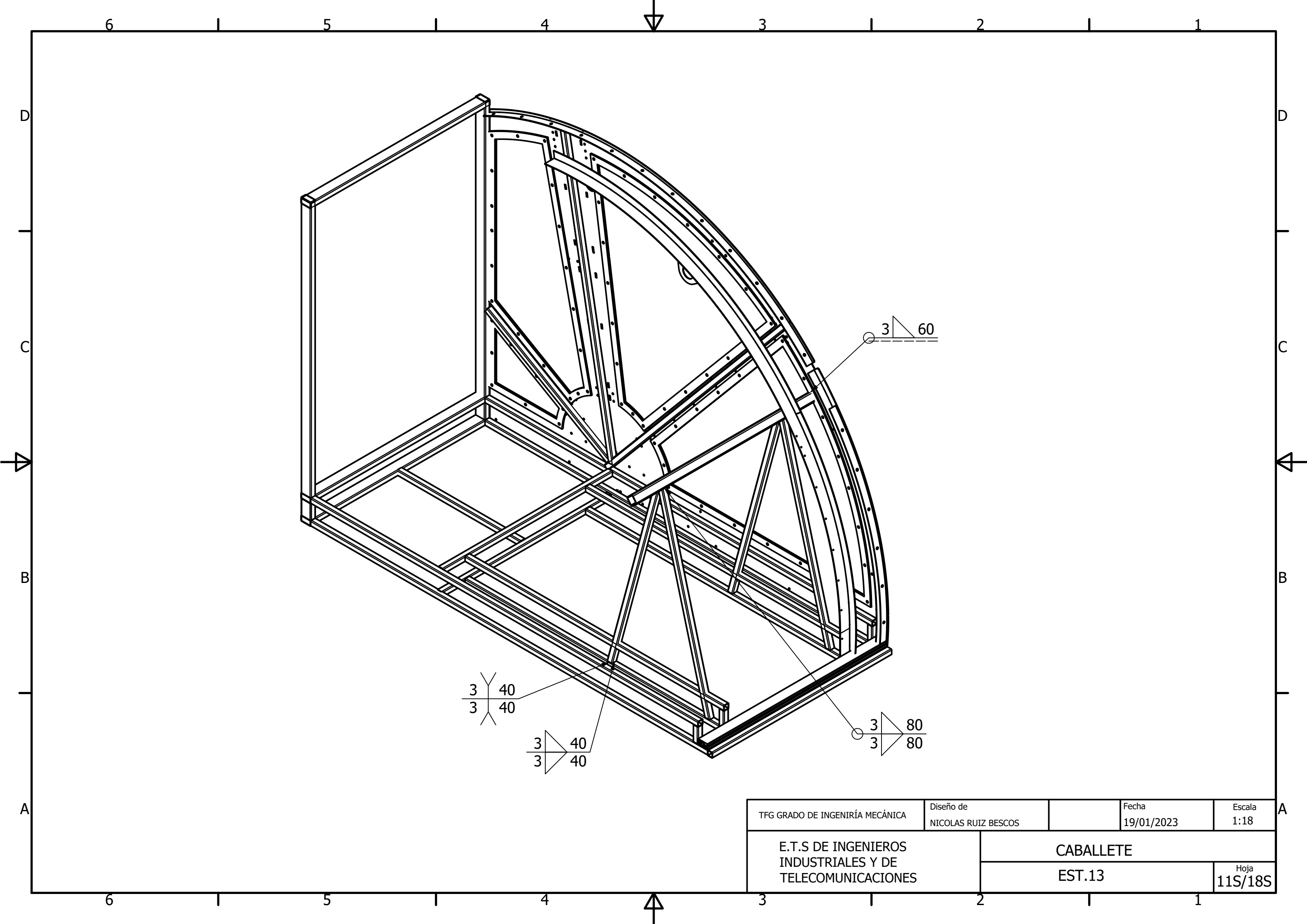


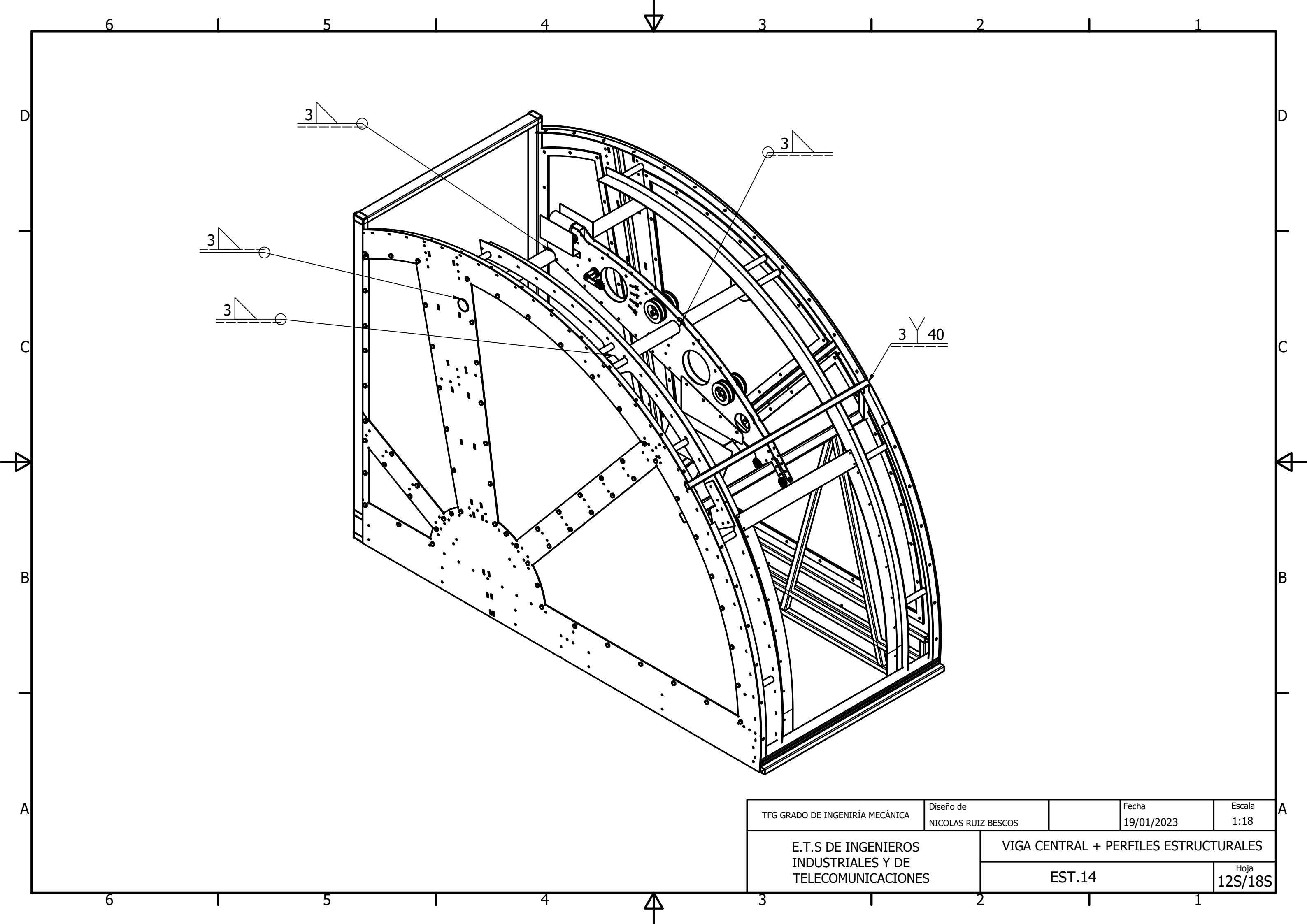


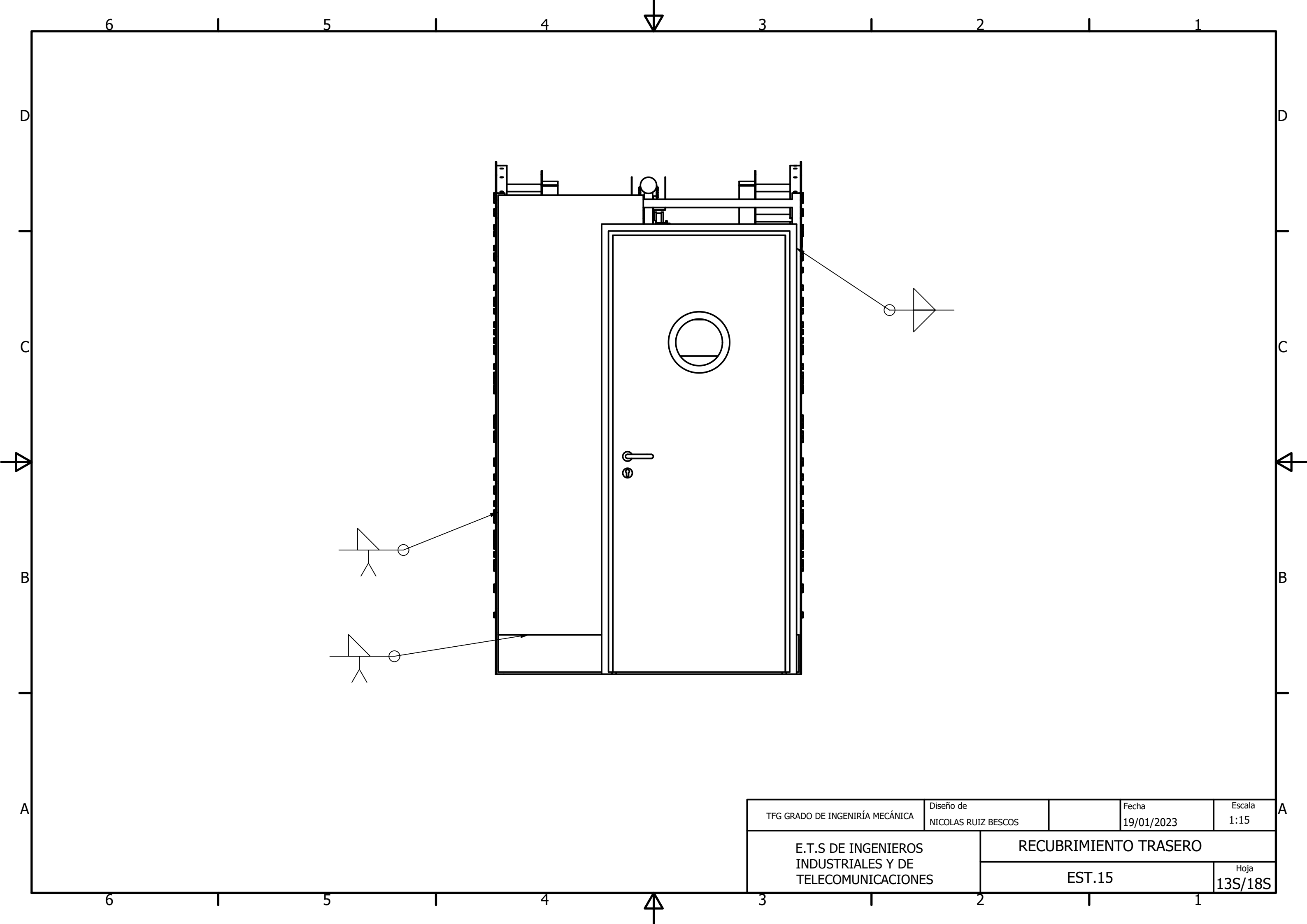


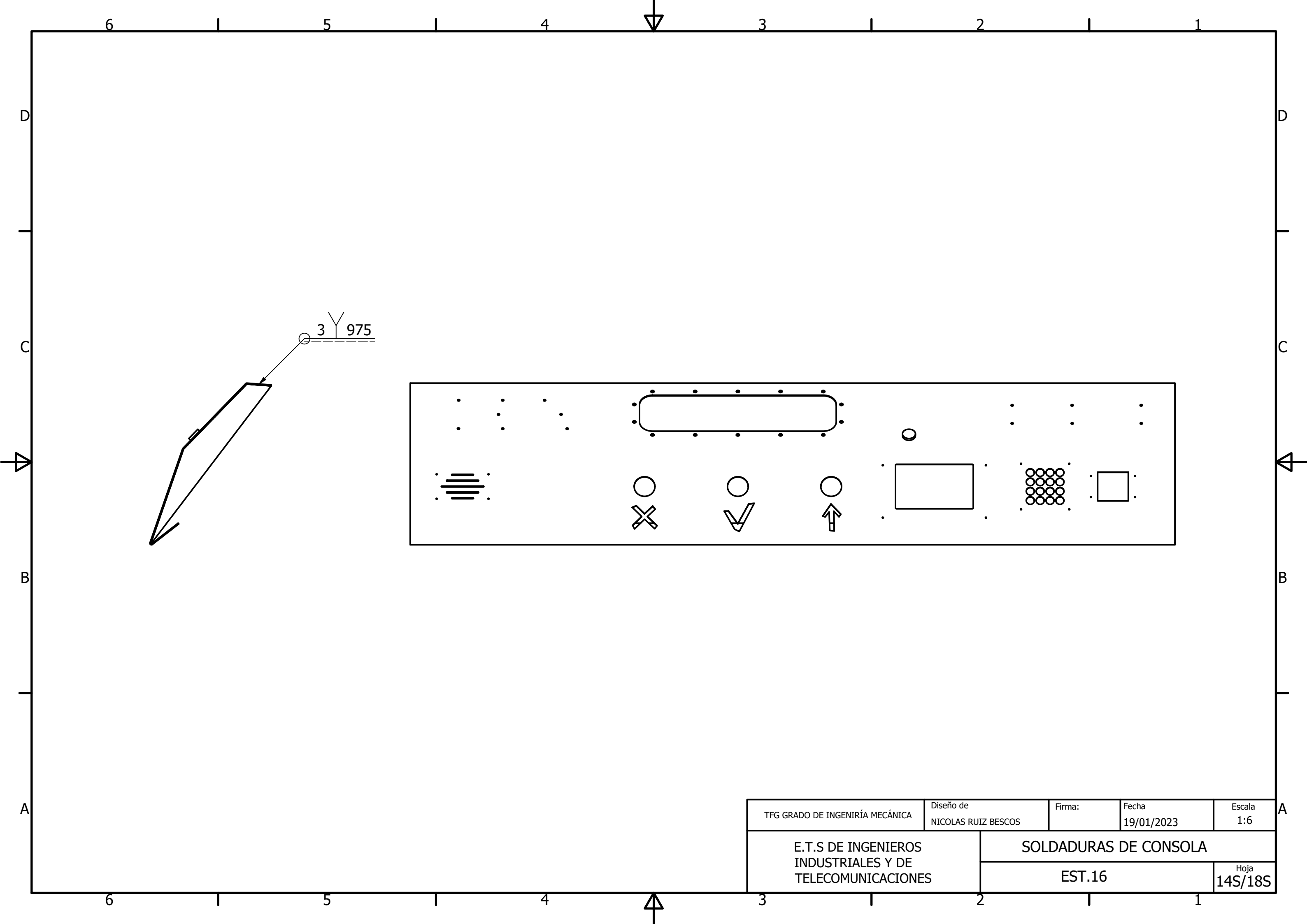


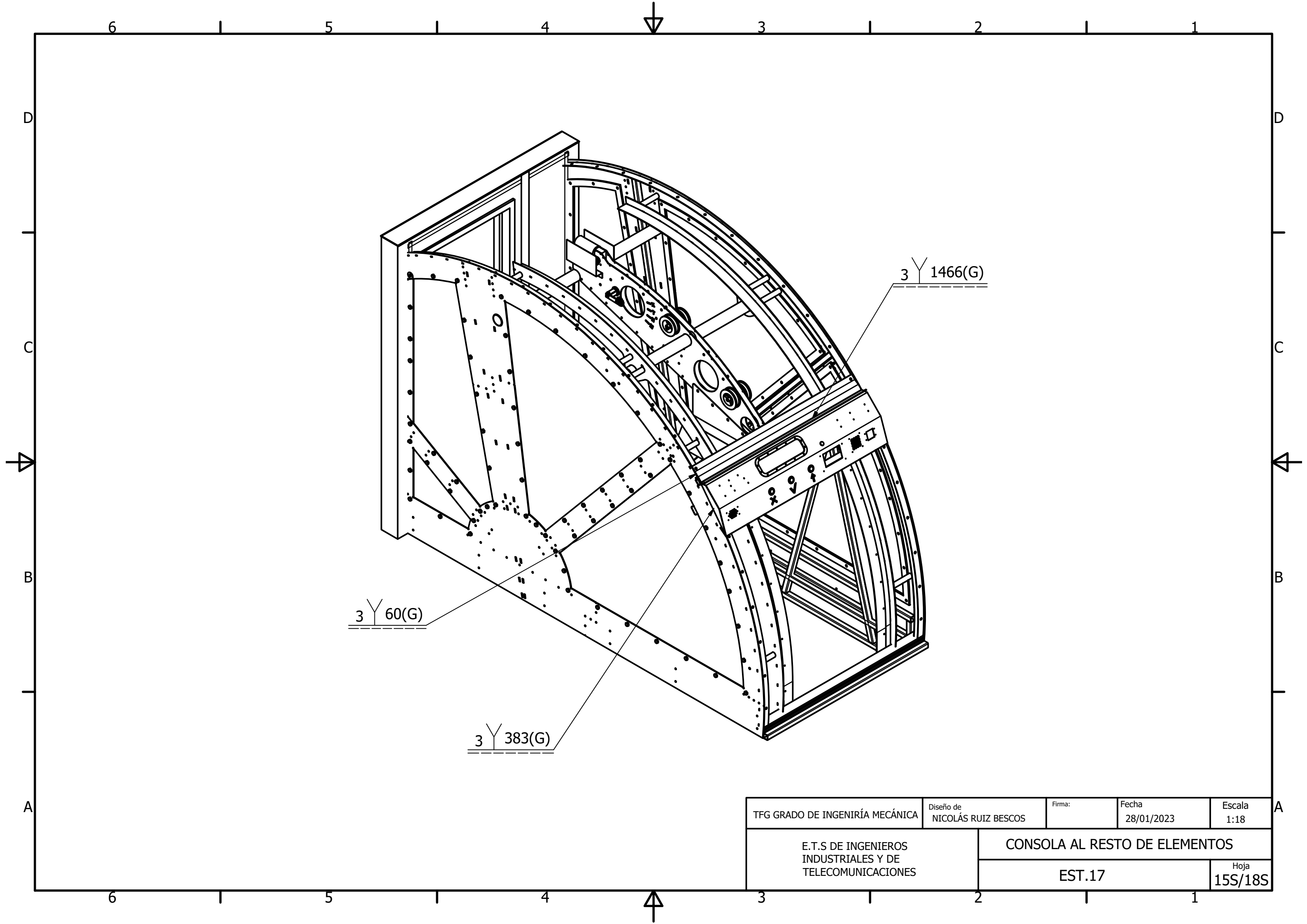


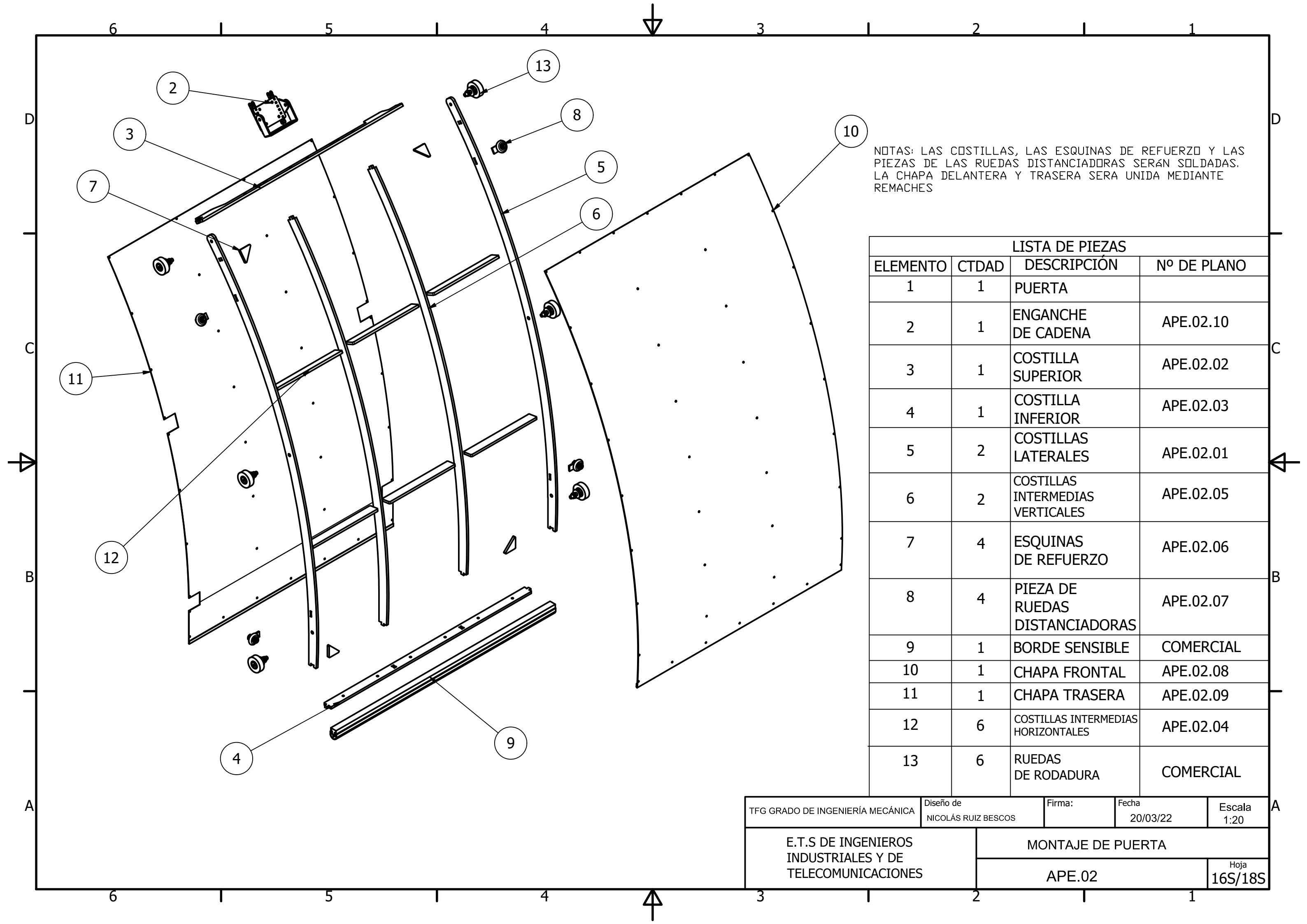


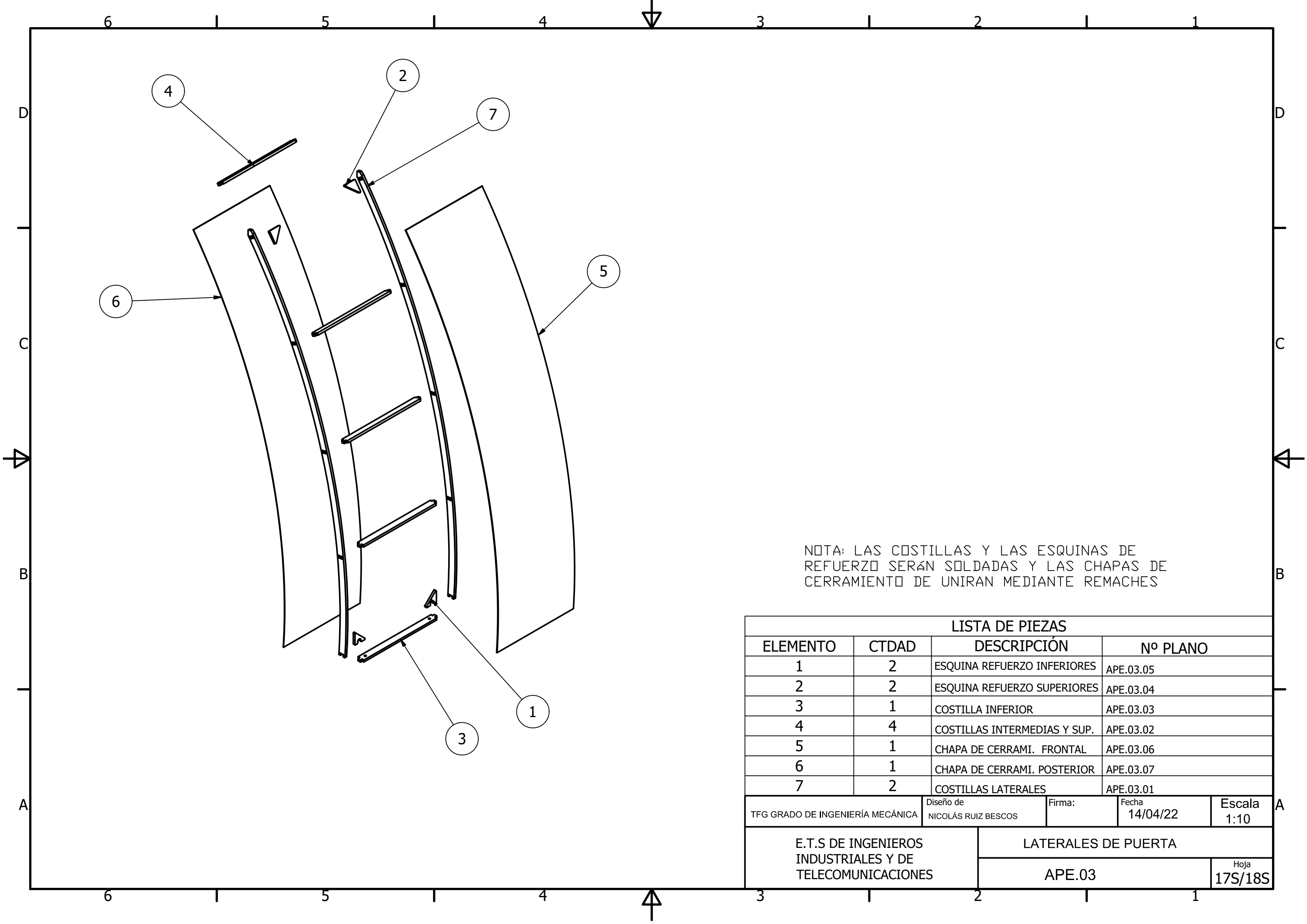


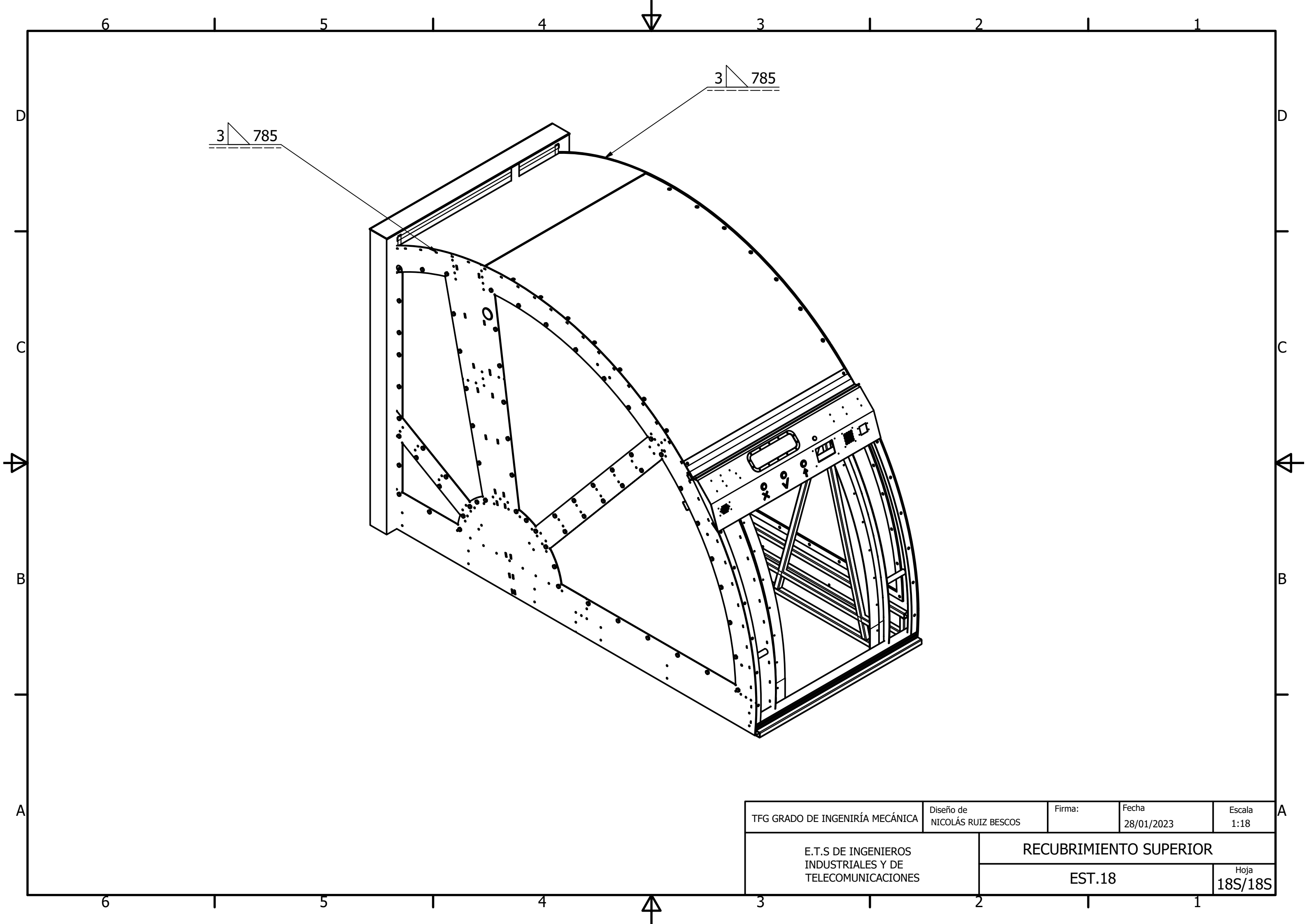


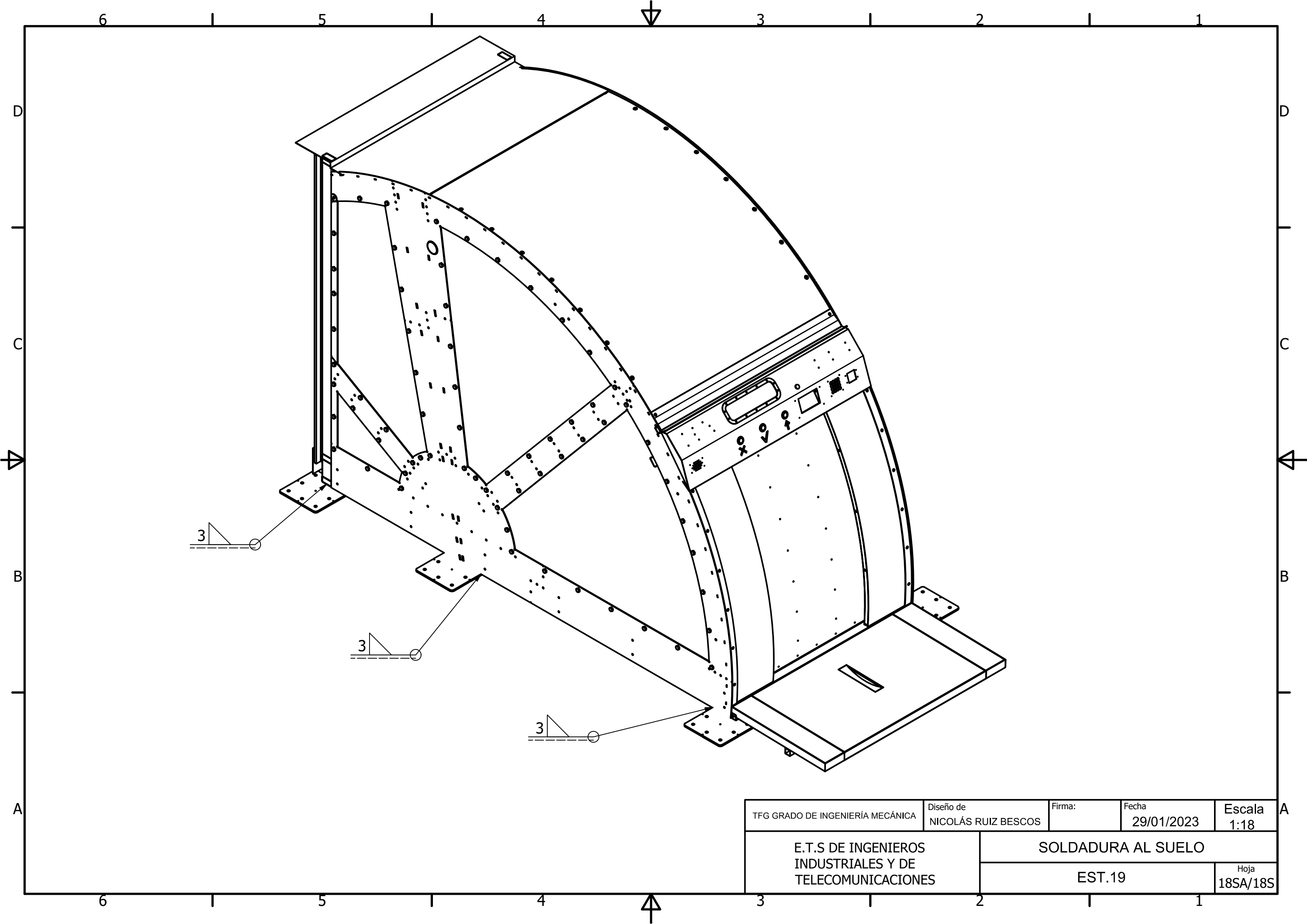


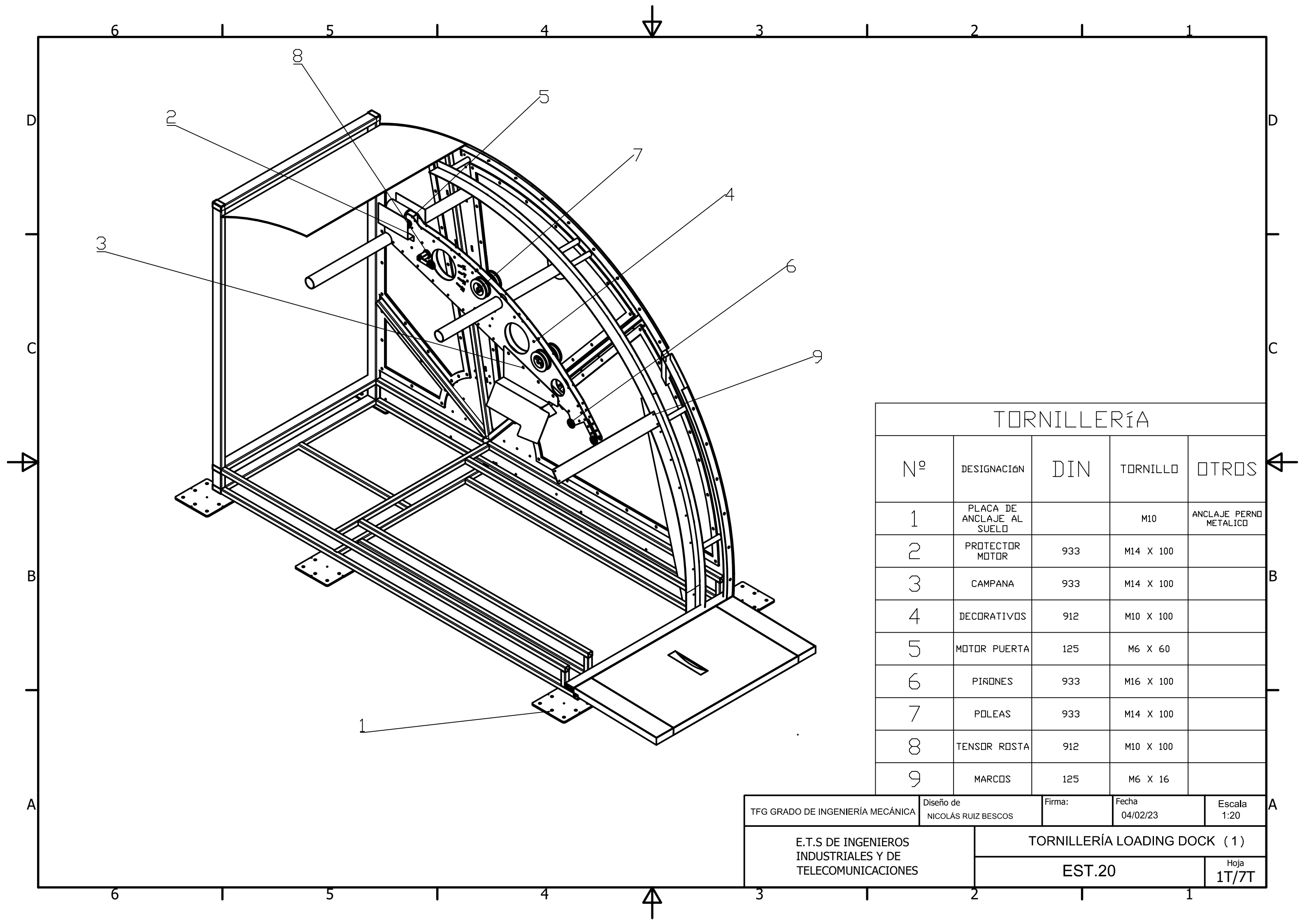


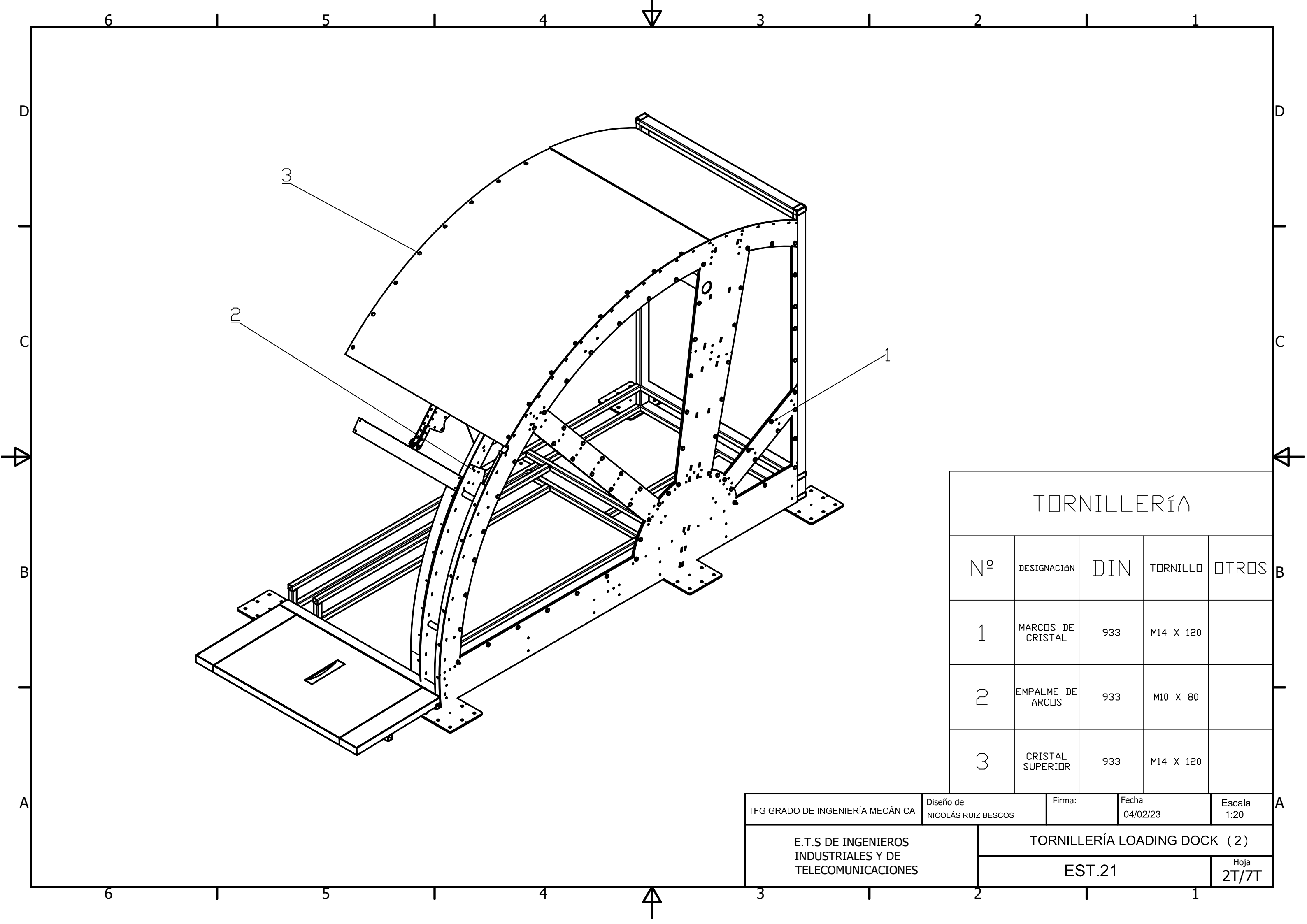


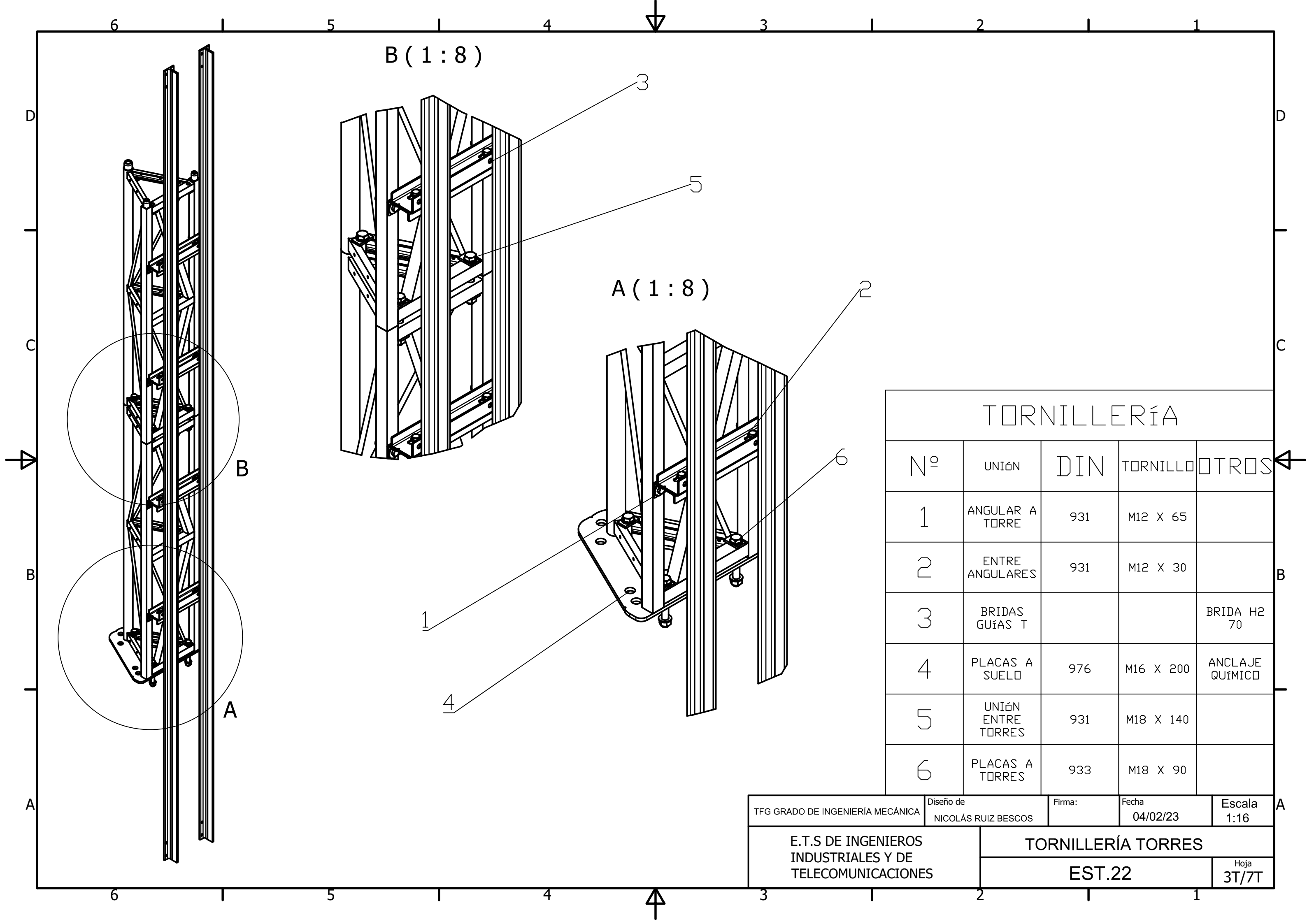


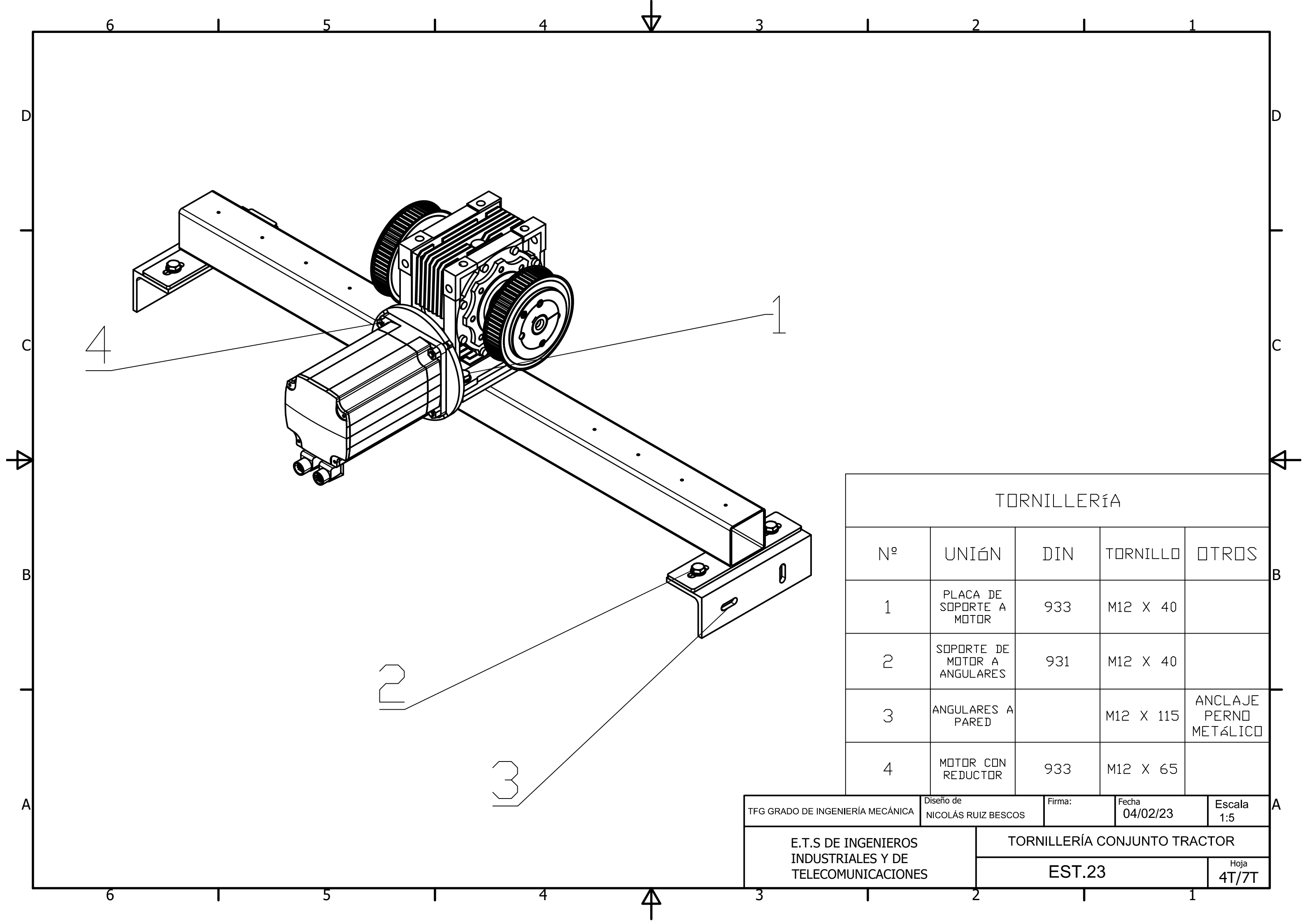


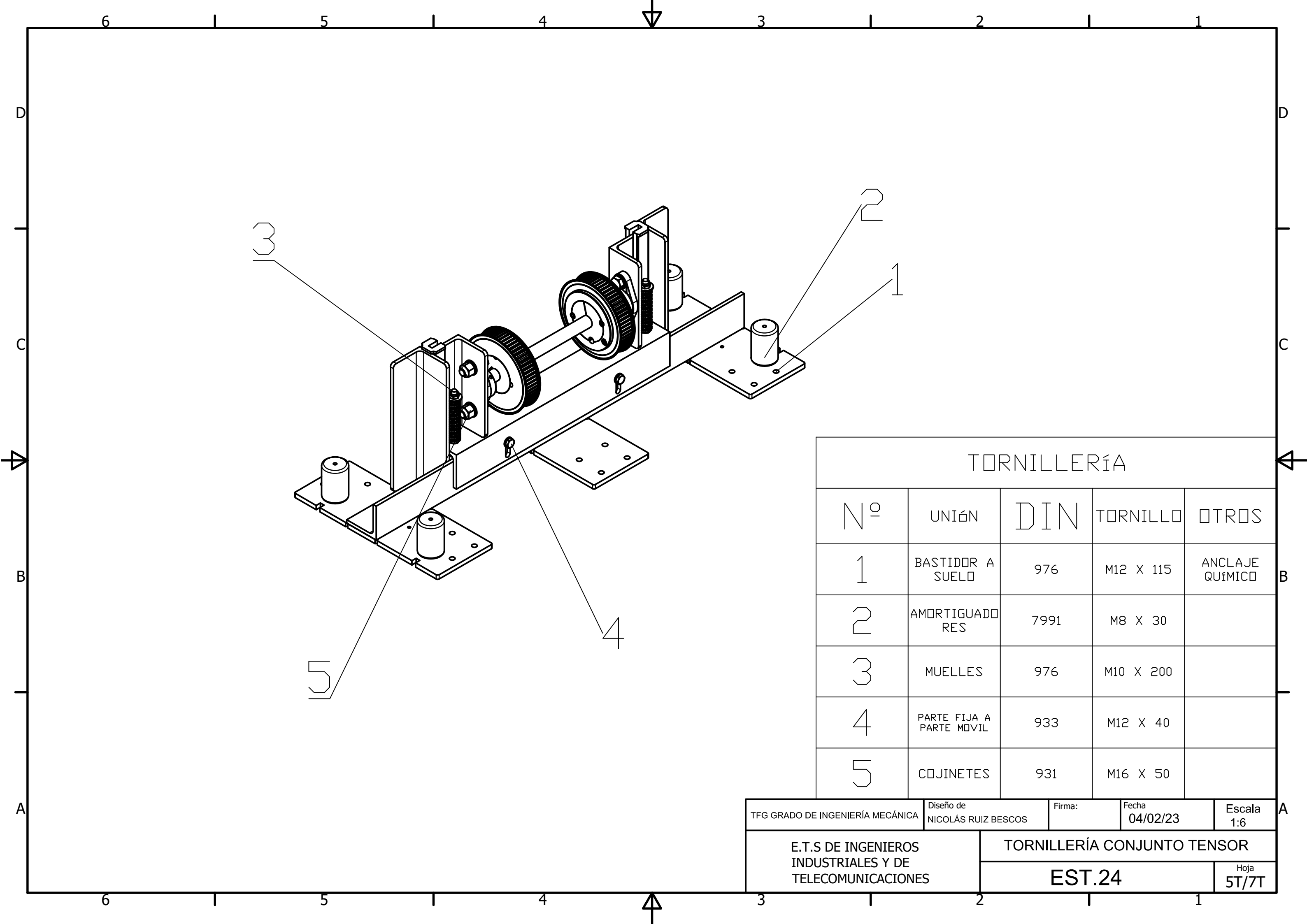


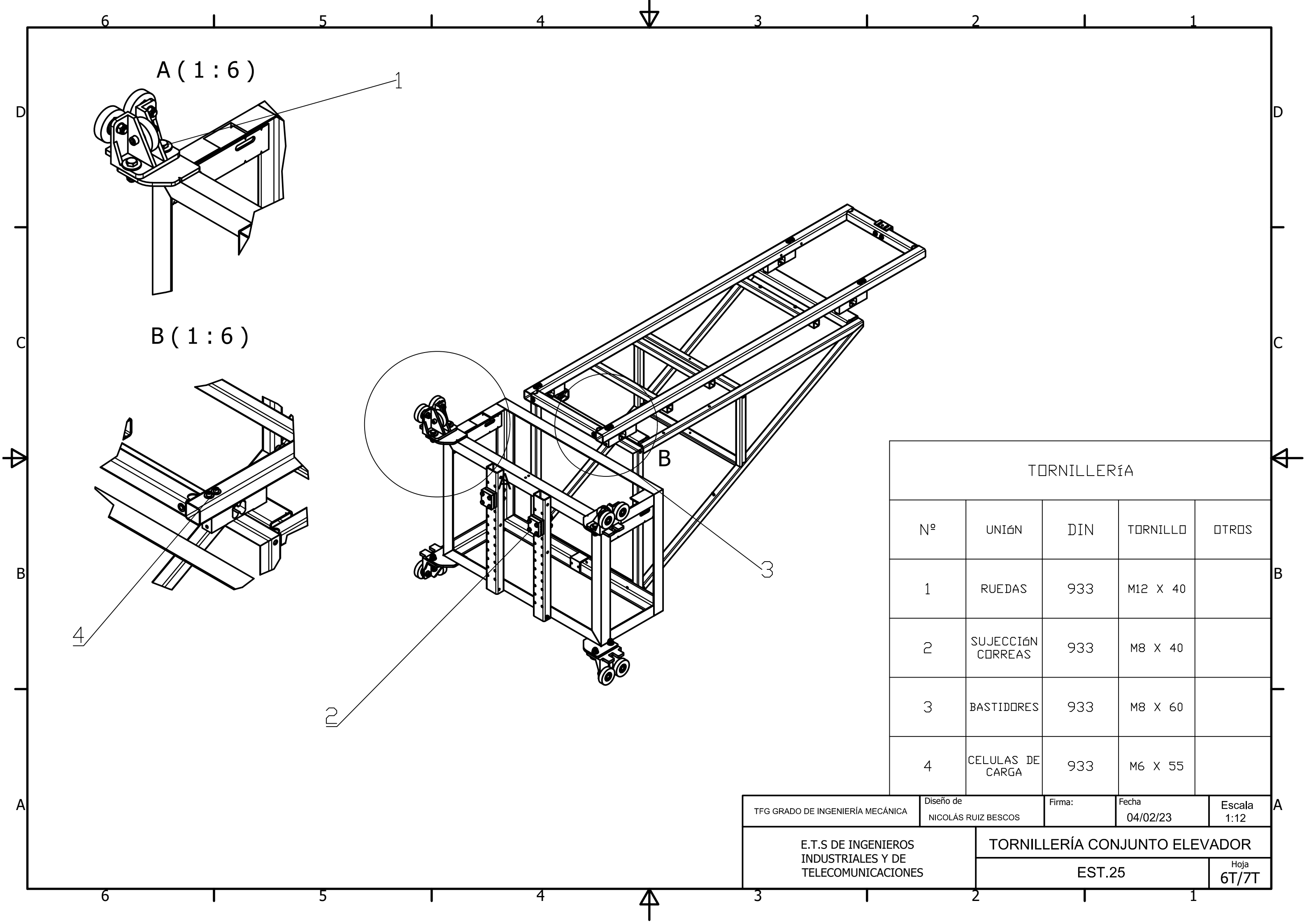


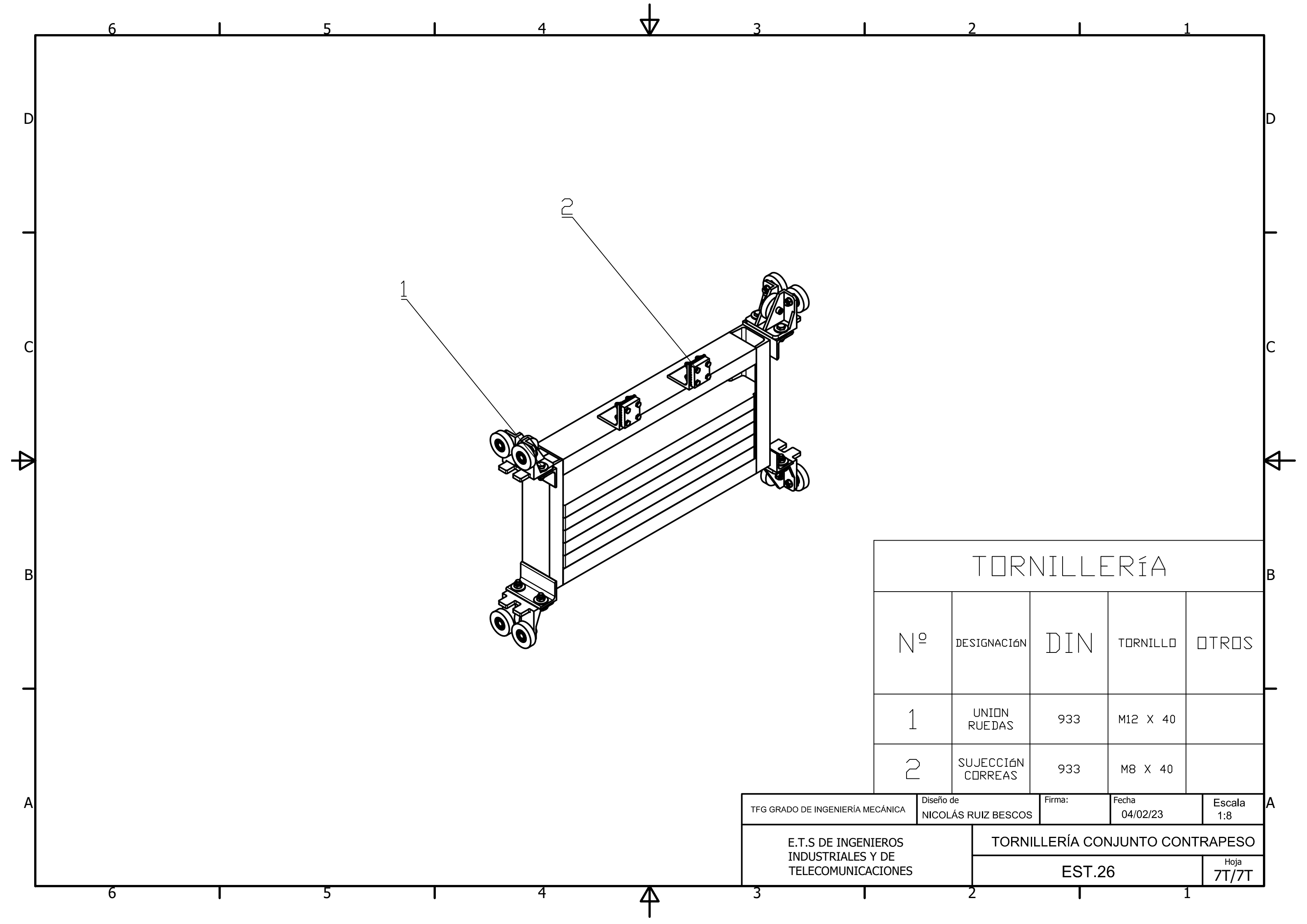


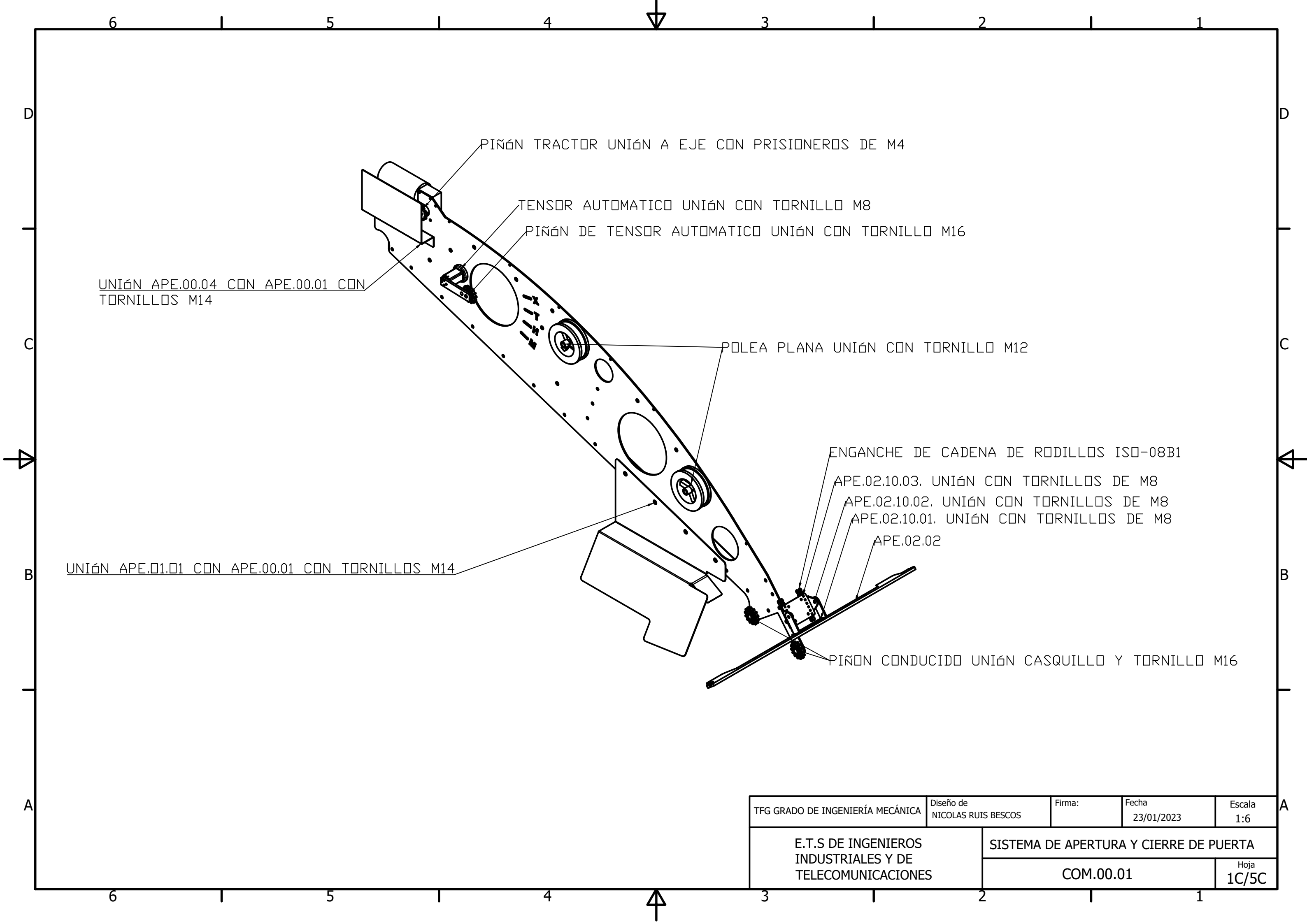


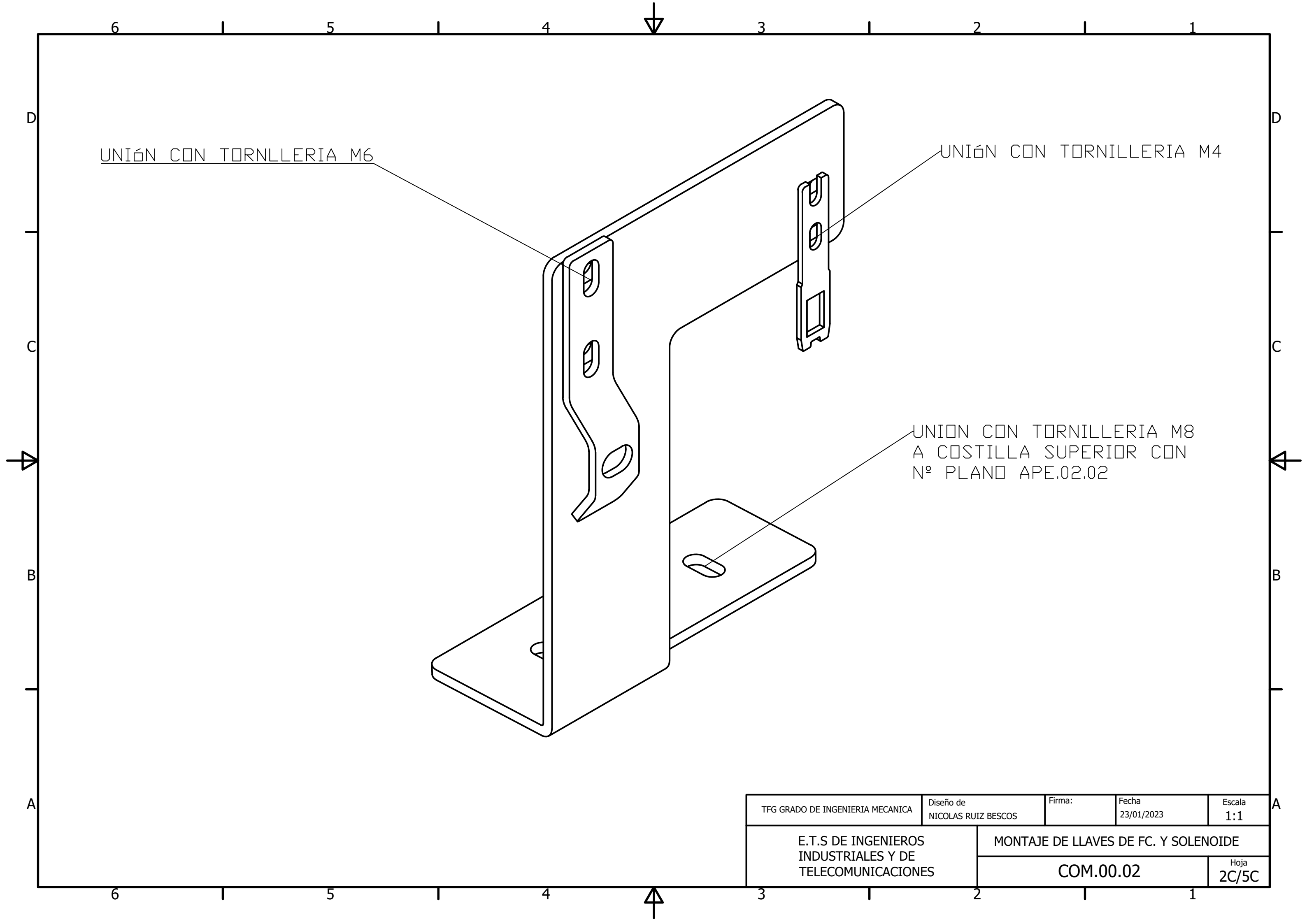


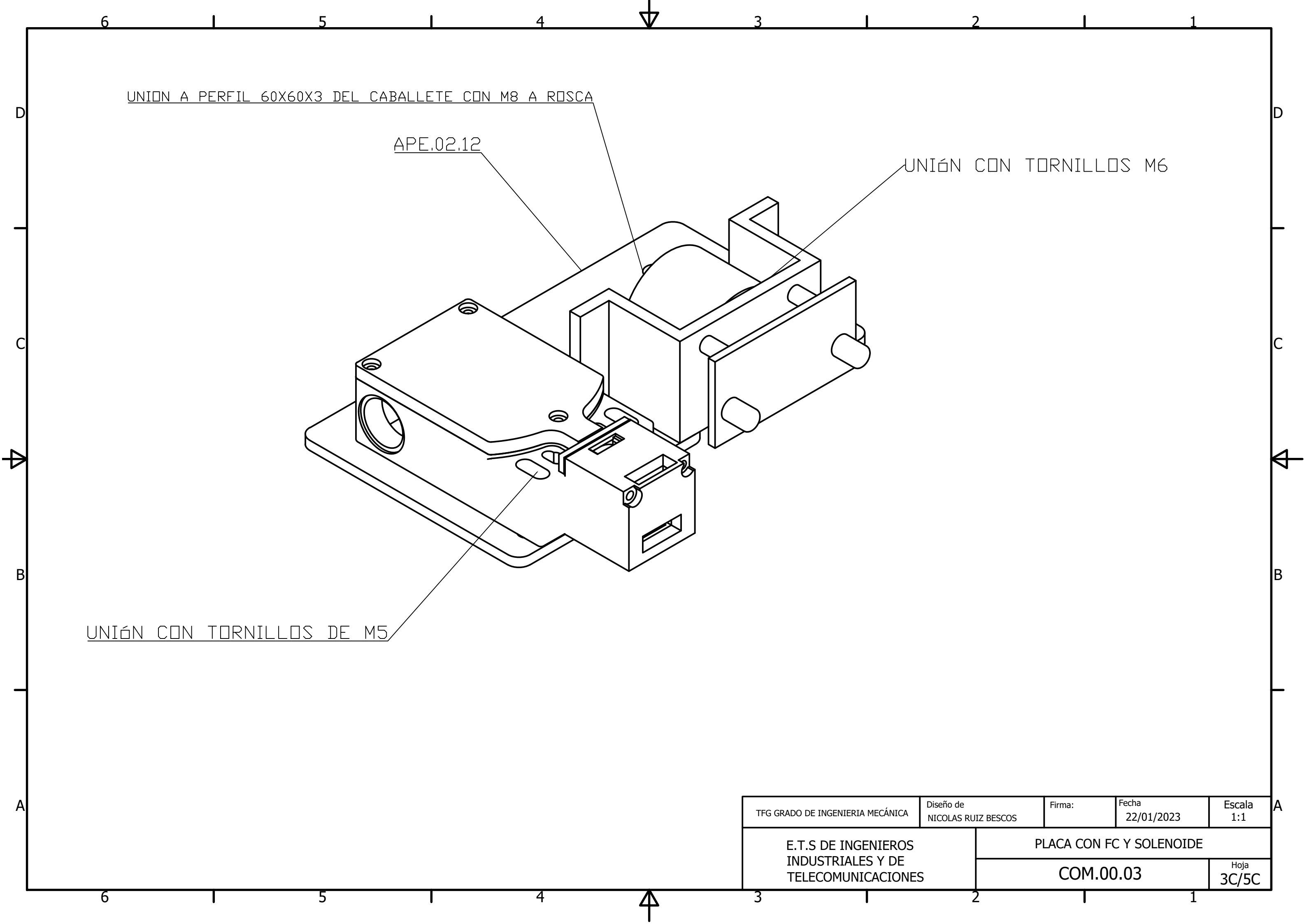


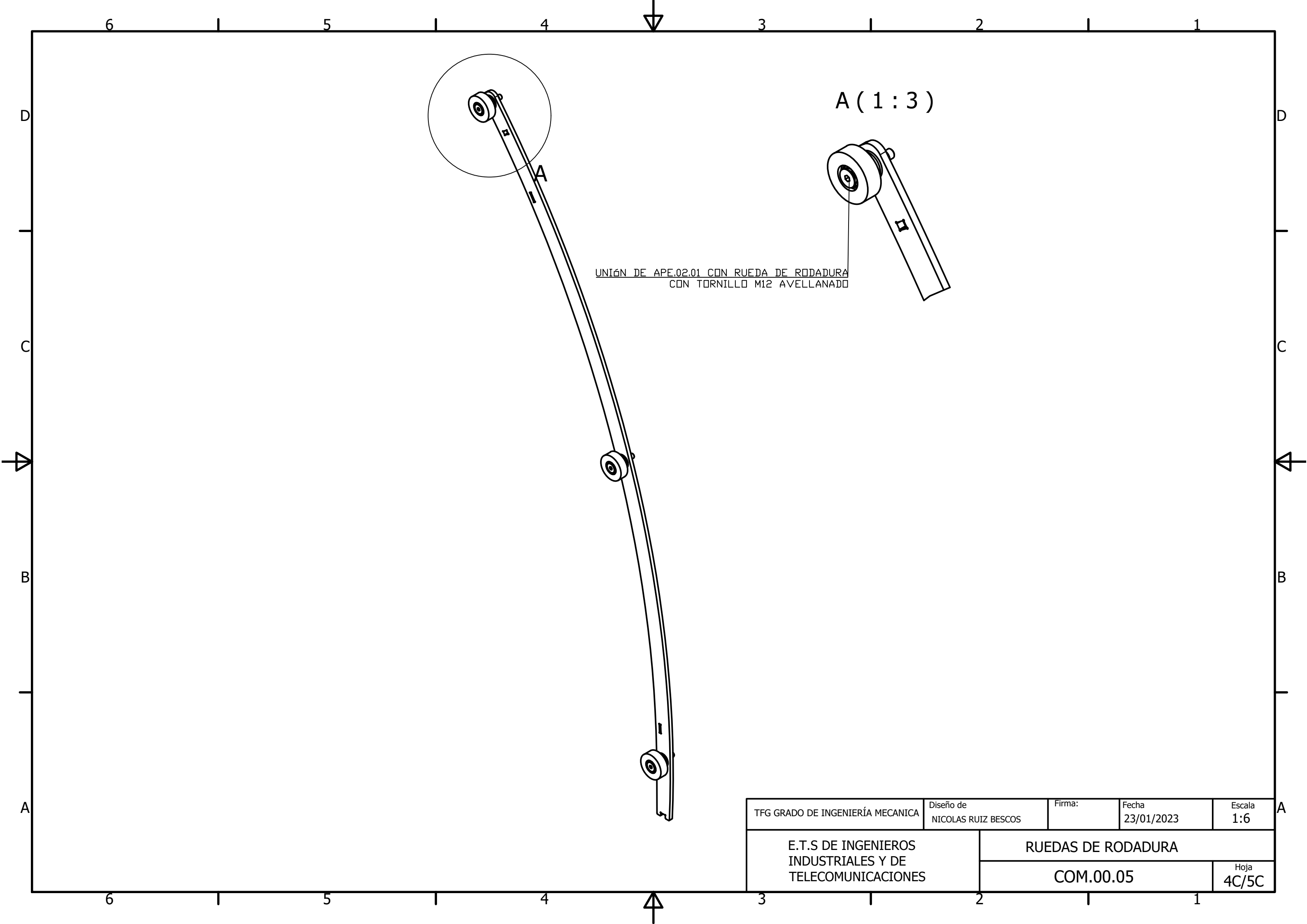


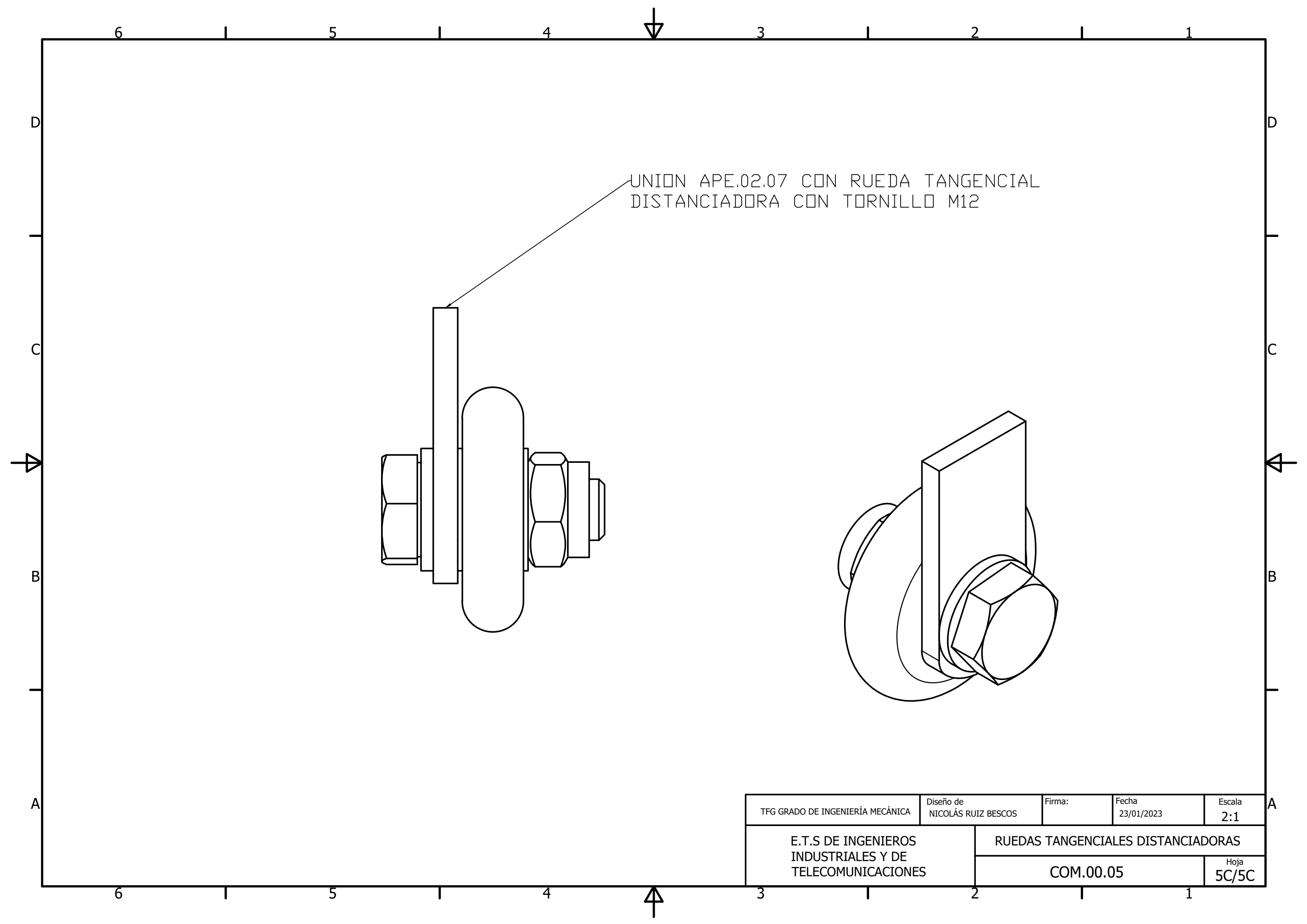












PLIEGO DE CONDICIONES

3.1 OBJETIVO Y AMBITO DE ESTE PLIEGO DE CONDICIONES

El objetivo de este pliego de condiciones es el de la definición de modo escrito las especificaciones técnicas del diseño.

3.2 VERIFICACIONES DE LOS MATERIALES

3.2.1 GARANTÍAS DE CALIDAD (MARCADO CE)

El Marcado CE es un símbolo que declara que el producto comercializado o que se va a comercializar, ha superado un procedimiento de evaluación, quedando definido como cualquier producto fabricado para su incorporación, como máquina, cumpliendo los siguientes requisitos esenciales:

- De Fabricación, como la resistencia mecánica y su estabilidad
- De Diseño
- Seguridad ante incendios.
- Seguridad de utilización y mantenimiento
- De Higiene, salud y medioambiente

El marcado CE de máquinas indica:

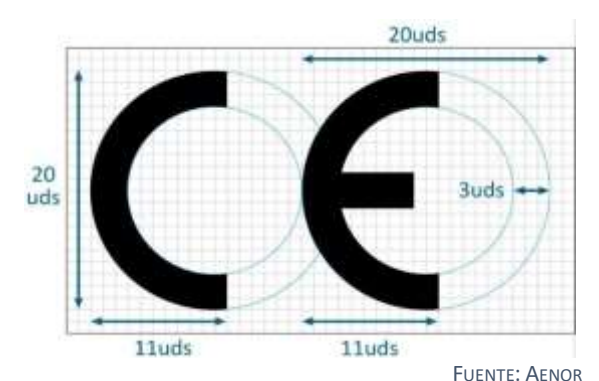
El significado del marcado CE es que la persona responsable de colocar un marcado en la maquina (fabricante) se hace responsable de la conformidad de la máquina, es decir que la máquina cumple, al menos con los requisitos que le impone la directiva.

Cada máquina llevará, de forma visible, legible e indeleble, como mínimo las siguientes indicaciones

- La razón social y la dirección completa del fabricante, y en su caso, de su representante autorizado.
- La designación de la máquina.
- El marcado CE
- La designación de la serie o del modelo
- El número de serie si existiera
- El año de fabricación, es decir, el año que finaliza el proceso de fabricación

Marcado de Conformidad:

El marcado de conformidad está compuesto por las iniciales "CE" y se muestra en la siguiente imagen.



En esta imagen se deberá:

- Se conservarán las proporciones, siendo la dimensión mínima vertical de 5mm
- En nuestro caso se colocará en la placa descriptiva
- Se colocará de forma visible, legible e indeleble
- Ir seguida del N.º de identificación del Organismo Notificado Involucrado en su caso
- Es el único marcado que indica que el producto cumple las Directivas de aplicación.
- Debe colocarse al final de la fase de control de producción
- Lo fijara el fabricante o su representante autorizado.
- Está prohibido colocar signos que puedan confundirse con el marcado "CE".

3.2.2 ACEROS DE CONSTRUCCIÓN

En nuestro proyecto hemos utilizado 3 tipos de aceros diferentes:

- Acero al carbono S355 (Aceros Estructurales no aleados)
- Acero Suave S275 (Aceros Estructurales no aleados)
- Acero Galvanizado (Productos de acero recubiertos)

3.2.2.1 Descripción y características

Estos son aceros que comprende un contenido de carbono, micro aleados y aceros de baja aleación destinados a fabricar construcciones unidas por soldadura, remaches o tornillos. Sus propiedades dependen del proceso de elaboración que de la composición química.

Las propiedades mecánicas más relevantes son el límite elástico, los valores mínimos de la energía de choque (Resiliencia) según la temperatura; mientras que las propiedades tecnológicas que inciden más:

- Precio
- Soldabilidad
- Resistencia a la corrosión
- La aptitud para el conformado en frio (Corte y Doblado)

3.2.2.2 Condiciones de suministro

• Se obtendrán los aceros laminados en caliente y las condiciones de suministro serán en chapas, tubos, pletinas, perfiles de distintas secciones cuadradas y rectangulares

3.2.2.3 Normativa y designaciones 3.2.2.3.1 PARA LOS ACERO S275 Y S355

- EN 10025-1/6:2006
- La información que debe solicitar el comprador comprende:
 - o Cantidad a suministrar; forma del producto y dimensiones
 - o Palabra acero, norma europea EN y designación simbólica o numérica
 - Designación del grado (EN 10025, según el valor de energía de flexión por choque). Símbolos adicionales para las aplicaciones particulares (EN 10025-2)
 - o Designación normalizada de un informe de ensayo, según EN 10204

EN 10025-2			S 275			(S:	355	
	jj	JR	JO	J2 ⁽²⁾	JR	JO	J2 ⁽²⁾	K2 ⁽²⁾
Designación numérica: EN 10	0027-2	1.0044	1.0143	1.0145	1.0045	1.0553	1.0577	1.0596
Composición química(1)								
Carbono C Manganeso Mn Silicio Si Fôsforo P Azufre S Nitrógeno N Cobre Cu	% % % %	≤0,24 ≤1,60 - ≤0,045 ≤0,045 ≤0,014 ≤0,060	≤0,21 ≤1,60 - ≤0,040 ≤0,040 ≤0,014 ≤0,060	≤0,21 ≤1,60 - ≤0,035 ≤0,035 - ≤0,060	≤0,27 ≤1,70 ≤0,60 ≤0,045 ≤0,045 ≤0,014 ≤0,060	≤0,23 ≤1,70 ≤0,60 ≤0,040 ≤0,040 ≤0,014 ≤0,060	≤0,23 ≤1,70 ≤0,60 ≤0,035 ≤0,035 ≤0,060	≤0,23 ≤1,70 ≤0,60 ≤0,035 ≤0,035 ≤0,060
Propiedades mecánicas ⁽²⁾								
Resistencia tracción t≤3 ⁽²⁾ 3 <t≤100 100<t≤250< td=""><td>MPa MPa MPa</td><td>430+580 410+560 380+540</td><td>430+580 410+560 380+540</td><td>430+580 410+560 380+540</td><td>510+680 470+630 450+600</td><td>510+680 470+630 450+600</td><td>510+680 470+630 450+600</td><td>510+680 470+630 450+600</td></t≤250<></t≤100 	MPa MPa MPa	430+580 410+560 380+540	430+580 410+560 380+540	430+580 410+560 380+540	510+680 470+630 450+600	510+680 470+630 450+600	510+680 470+630 450+600	510+680 470+630 450+600
Límite elástico t≤16 16 <t≤40 40<t≤100 100<t≤250< td=""><td>MPa MPa MPa MPa</td><td>≥275 ≥265 ≥235 ≥205</td><td>≥275 ≥265 ≥235 ≥205</td><td>≥275 ≥265 ≥235 ≥205</td><td>≥355 ≥345 ≥315 ≥275</td><td>≥355 ≥345 ≥315 ≥275</td><td>≥355 ≥345 ≥315 ≥275</td><td>≥355 ≥345 ≥315 ≥275</td></t≤250<></t≤100 </t≤40 	MPa MPa MPa MPa	≥275 ≥265 ≥235 ≥205	≥275 ≥265 ≥235 ≥205	≥275 ≥265 ≥235 ≥205	≥355 ≥345 ≥315 ≥275	≥355 ≥345 ≥315 ≥275	≥355 ≥345 ≥315 ≥275	≥355 ≥345 ≥315 ≥275
Alargamiento rotura ⁽³⁾ t≤3 3 <t≤100< td=""><td>% %</td><td>≥15/13 ≥21/19</td><td>≥15/13 ≥21/19</td><td>≥15/13 ≥21/19</td><td>≥14/12 ≥20/18</td><td>≥14/12 ≥20/18</td><td>≥14/12 ≥20/18</td><td>≥14/12 ≥20/18</td></t≤100<>	% %	≥15/13 ≥21/19	≥15/13 ≥21/19	≥15/13 ≥21/19	≥14/12 ≥20/18	≥14/12 ≥20/18	≥14/12 ≥20/18	≥14/12 ≥20/18
Flexión choque $KV^{(4)}$ 20°C 0°C -20°C	J J	≥27 -	_ ≥27	- ≥27	≥27 - -	- ≥27 -	- ≥27	- ≥40/33 ⁽⁴⁾
Propiedades tecnológicas		0.685	0,700	0.710		1000		
Coste Soldabilidad $t \le 40^{(2)}$ $40 < t \le 150$ $150 < t \le 250$ Estado desoxidación $t \le 40$ Conf. con rodillos $t \le 40$ Radio plegado $t \le 40$ $t \ge 40$ $t \le 40$ $t \le 40$ $t \le 40$ $t \ge 40$ $t \le 40$ $t \ge 40$	€/kg [1+5] % % - -	[5] ≤0,40 ≤0,42 ≤0,44 FN ≥1-1 ≥1-1 ≥1.5-1 ≥1,5-1/2-1 ≥2,4/2.5-1	[5] \$0,40 \$0,42 \$0,44 FN ≥1-t ≥1-t ≥1.5-t ≥1,3-t/1,3-t ≥1,5-t/2-t ≥2,4/2,5-t	[5] ≤0,40 ≤0,42 ≤0,44 FF ≥1,4 ≥1,5-1 ≥1,5-1 ≥1,5-12-1 ≥2,4/2,5-1	0,705 [4] ≤0,47 ≤0,47 ≤0,49 FN - - -	0,710 [4] ≤0,47 ≤0,47 ≤0,49 FN ≥1.4 ≥1.5-1 ≥1.5-1 ≥1.5-1/2-1 ≥2.4/2-5-1	0,720 [4] ≤0,47 ≤0,49 FF ≥1,5+ ≥1,5+ ≥1,5+02++ ≥1,5-02-+ ≥2,02,5+	0,730 [4] ≤0,47 ≤0,47 ≤0,49 FF ≥1.5t ≥1,5st ≥1,5st/2-st ≥2,4/2,5st/2-st
12 <t≤30 Resistencia corrosión</t≤30 	[1+5]	≥2,3·t/2,5·t [1]	≥2,3·t/2,5·t [1]	≥2,3·t/2,5·t [1]	- [1]	≥2,3·t/2,5·t [1]	≥2,3·t/2,5·t [1]	≥2,3·t/2,5·t

⁽¹⁾ Composición del producto

⁽²⁾ Espesores (t) en mm

⁽³⁾ Valores según las orientaciones longitudinal/transversal respecto a la dirección de laminación

⁽⁴⁾ Valores de resiliencia (energía de flexión por choque KV) para espesores g≤150 mm/150≤g≤400 mm, respectivamente (5) Método de desoxidación: FN, acero efervescente no permitido; FF, acero totalmente calmado; opcional, a elección del fabricante

⁽⁶⁾ Valores de radio de plegado para orientaciones longitudinal/transversal respecto a la dirección de laminación

3.2.2.3.2 PARA EL ACERO GALVANIZADO

 EN 10326:2004 Chapas y bandas de acero estructural recubiertas en continuo por inmersión en caliente. Condiciones técnicas de suministro. Sustituye: EN 10154:2002, EN 10214:1995 y EN 10215:1995

3.2.2.4 Preparación de los distintos elementos

Se utilizarán los siguientes tipos de mecanizaciones:

- Mecanizados sin contacto:
 - Corte con láser: Generalmente para todas las chapas de acero S275, pero también se usarán en otros elementos.
- Mecanizados con arrangue de viruta:
 - Este tipo de mecanizado para los diferentes perfiles, tubos, pletinas de acero S275 (Acero Suave) para la mayoría de las piezas no estructurales y el acero S355 (Acero Al carbono) para las piezas estructurales, se podrán realizar los siguientes mecanizados:
 - Taladrado
 - Roscado
 - Fresado
 - Torneado
 - Corte con disco
- Deformaciones en frio
 - Plegado o Doblado
- Para las piezas que están previstas que sean de acero galvanizado una vez mecanizadas se someterán al proceso de inmersión en caliente en un baño de Zn fundido (designación +Z).

3.2.2.5 Control de los distintos tipos de acero

Para los tres diferentes tipos de aceros, se tomarán varias muestras antes de realizar los montajes y realizaremos los siguientes ensayos:

- 1) Ensayo de Tracción (Se realiza según UNE EN 10002)
 - a. Limite Elástico
 - b. Tensión de rotura
 - c. Alargamiento en rotura
 - d. Módulo de elasticidad
 - e. Registro del diagrama carga-deformación
- 2) Ensayo de plegado (según UNE EN ISO 7438)
- 3) Ensayo de Resiliencia (según UNE 7475-1)
- 4) Ensayo de Soldabilidad

3.2.3 ALUMINIO TIPO 3003

3.2.3.1 Descripciones y características

El aluminio se trata de un metal no ferromagnético. Es el tercer elemento más común encontrado en la corteza terrestre. El aluminio y sus aleaciones destacan por su ligereza y resistencia a la corrosión, y por su buena conductividad eléctrica y térmica. Las propiedades del metal puro son bastante moderadas, pero aleados con otros elementos, mejoran notablemente. Si se toma la resistencia o la rigidez en relación con la densidad, los aluminios aventajan a los aceros en determinadas secciones. Estas cualidades, junto con la gran aptitud para el conformado, han convertido las aleaciones de aluminio en el segundo grupo de materiales metálicos más usados después de los férricos.

Las propiedades físicas y mecánicas de este material:

- Muy baja densidad 2,73g/cm³
- Moderada resistencia
- Buena soldabilidad
- Buena maleabilidad
- Buena resistencia a la corrosión

3.2.3.2 Condiciones y suministros

La baja temperatura de fusión facilita el moldeo de piezas complicadas (molde de arena, coquilla; por inyección se obtienen piezas de gran precisión dimensional). Su elevada ductilidad facilita el conformado por deformación plástica, en frio y en caliente, mediante laminación (chapas, barras), forja o extrusión (perfiles de formas complejas, eventuales con cavidades, difíciles de obtener con otros materiales.) La gran maquinabilidad a altas velocidades proporciona una productividad elevada, un abaratamiento de costes y el ahorro de energía.

3.2.3.3 Normativa y Designaciones

EN 755-1/2, productos extruidos

3.2.3.4 Preparación de distintos materiales

Se utilizarán los siguientes tipos de mecanizaciones:

- Mecanizados sin contacto:
 - Productos extruidos y su posterior corte con láser: Para la realización de las formas precisas provenientes de perfiles extruidos
 - Deformación en frio para las chapas de Aluminio

3.2.3.5 Control de distintos tipos de aluminio

El aluminio tendrá que ser sometido a los siguientes ensayos:

- 1) Ensayo de dureza: dureza Brinell
- 2) Ensayo de resistencia a la tracción
- 3) Ensayo de resistencia a la compresión, a la flexión, al corte y a torsión

3.2.4 POLI METACRILATO DE METILO (PMMA) O PLEXIGLÁS

3.2.4.1 Descripción y características

El Poli metacrilato de metilo (PMMA) o plexiglás es un polímero termoplástico altamente transparente, que se obtiene de la polimerización del monómero metilmetacrilato. Debido a su transparencia, estética y resistencia a los rasguños, el PMMA se puede considerar como una alternativa al cristal. También se puede llamar cristal acrílico. Es un polímero fuerte, teniendo resistencia a UV y altas propiedades contra impactos, pero ligero, con una densidad de 1,17-1,20 $\frac{gr}{cm^3}$ que posee una resistencia a la compresión entre 85 y 110 Mpa y una resistencia a la tracción entre 30 y 50 Mpa.

Las características principales:

- Propiedades ópticas excepcionales
- Rigidez y estabilidad dimensional
- Excelente resistencia a los rayos del sol (radiación ultravioleta) y al envejecimiento por las condiciones meteorológicas.
- Transparencia y acabado brillante
- Dureza y resistencia a los rasguños

3.2.4.2 Condiciones de suministro

La lamina de acrílico se obtiene de la polimerización del metacrilato de metilo y presentación más frecuente que se encuentra en la industria del plástico es en gránulos o en laminas. Los gránulos son para el proceso de inyección o extrusión y las láminas para termoformado o para mecanizado.

3.2.4.3 Normativa y designaciones

ISO 472:1999 Plásticos.

3.2.4.4 Preparación de los distintos materiales

- Polimerización en masa: Permite la fabricación de bloques y planchas
- Corte laser
- Mecanizados por arranque de viruta:
 - o Taladrado

3.2.4.5 Control de los distintos tipos de metacrilato

- 1) Ensayo de la determinación absorción de agua (Según ISO 62:1999)
- 2) Ensayo de la determinación de deflexión bajo carga (Según ISO 75-1/3:2004)
- 3) Ensayo de la determinación de las propiedades de flexión (ISO 178:2001)

4) Ensayo de la determinación de las propiedades al impacto Charpy

3.3 UNIONES

3.3.1 UNIONES SOLDADAS

Según el Real Decreto 87/1997, para la soldadura de estructuras metálicas pesadas se podrá realizar por uno o varios de los siguientes métodos:

- Soldadura con electrodos revestidos y arco TIG, elementos metálicos de aceros al carbono, inoxidables y aleados
- Soldadura con procedimientos MAG-MIG aceros al carbono, inoxidables y aluminio
- Soldadura de aluminio y aleaciones ligeras por el procedimiento TIG.

3.3.1.1 Prescripciones para soldaduras

En la ejecución de toda soldadura se seguirán las prescripciones generales que figuran a continuación:

Condiciones de las piezas a unir:

- No soldar en una zona en que el acero haya sufrido en frío una deformación longitudinal mayor que el 2,5 por 100, a menos que se haya realizado un tratamiento térmico adecuado.
- Antes del soldeo se limpiarán los bordes de unión, eliminando cuidadosamente toda la cascarilla, suciedad, y muy especialmente la grasa y la pintura. Además, estarán bien secas.

Condiciones para los electrodos:

- Se utilizarán electrodos en calidad estructural, apropiada a las condiciones de la unión y del soldeo y de las características mínimas siguientes:
 - Resistencia a la tracción
 - Alargamiento de rotura
 - Resistencia
- Serán admisibles electrodos de distintas calidades, según los casos y posiciones de soldeo. La simbología y descripción de estas cualidades figuran en la norma UNE 14.

3.3.1.2 Prescripciones para la soldadura en Aluminio

La soldadura de aluminio consiste en la unión de dos componentes metálicos fundiéndolos entre sí, siendo el material utilizado el aluminio. Este material requiere experiencia y precisión. Se necesita contar con el equipo y herramientas adecuadas. Para asegurar la calidad en la soldadura de aluminio hay que tener en cuenta:

- La selección de los equipos de soldadura
- Preparación de los metales base
- Aplicación de la técnica apropiada
- Inspección visual de las soldaduras

Es importante realizar una limpieza antes de soldar, eliminando suciedad, los restos, aceites, humedades y óxidos.

3.3.1.3 Deformaciones y tensiones residuales

En todo tipo de soldadura al experimentar un enfriamiento vamos a obtener tensiones residuales y deformaciones. Deberemos evitarlas al máximo para posteriormente no tener que realizar tratamientos térmicos o de vibración y así haciendo un aumento en los costes.

3.3.1.4 Control de soldadura

El control de una soldadura es una etapa extremadamente importante en la fabricación de las partes soldadas de la máquina. Se efectuará de las siguientes maneras:

- 1) Realizar una inspección visual de la preparación de los bordes
- 2) Control visual del aspecto del cordón
- 3) Control de calidad de las soldaduras (4% de los cordones existentes) por medio de inspección radiográfica o ultrasonidos.

3.3.2 UNIONES ATORNILLADAS

3.3.2.1 Calidades y Apriete de Tornillos

 A continuación, mostraremos una tabla con todos los pares de apriete para rosca métrica ISO necesarios para los tornillos de calidad de 8.8 que son los únicos que se utilizaran. También se mostrará la fuerza máxima que puede soportar esa métrica.

TORNILLOS NORMALIZADOS		CALIDAD 8.8 $R_m = 400 \frac{N}{mm^2}$		
		$R_e = 240$	$N/_{mm^2}$	
Diámetro Nominal	Paso	Cs [Nm]	Fo Maxi [N]	
M-6	1	9,7	8302	
M-8	1,25	24,5	15242	
M-10	1,5	48,4	24275	
M-12	1,75	84	35401	
M-14	2	133	48618	
M-16	2	209	66955	
M-18	2,5	286	81330	
M-20	2,5	406	104617	
M-22	2,5	588	130830	
M-24	3	699	150649	
M-27	3	1038	198491	
M-30	3,5	1408	241163	

*Pares de apriete máximo calculados con un R_e a 85% y un coeficiente Mu = Coeficiente de fricción: 0,15 (Coeficiente k= Coeficiente de rendimiento del par: 0,20) Calculados según FD E 25030

3.4 PINTURA

UNIDAD RNS010: ESMALTE SINTETICO, ACABADO HIERRO DE FORJA.

CARACTERISTICAS TÉCNICAS

- Formación de capa de esmalte sintético, acabado forja mate, sobre superficies de acero o hierro.
- Aplicación de dos manos de imprimación anticorrosiva, como fijador de superficie y protector antioxidante, con un espesor mínimo de 45 micras por mano. (rendimiento 0,141 l/m2) y dos manos de acabado con esmalte sintético a base de resinas alcídicas con un espesor mínimo de película seca de 30 micras por mano (0,075l/m2)
- Limpieza y preparación de la superficie a pintar, mediante medios manuales hasta dejarla exenta de grasas, antes de comenzar la aplicación de la 1ª mano de imprimación

NORMATIVA DE APLICACIÓN

NTE-RPP. Revestimientos: Pinturas

CRITERIOS DE MEDICIÓN DE PROYECTO

• Superficie medida en proyecto, sin descontar huecos, considerando la superficie que encierran, definida por sus dimensiones máximas, por una sola cara

CONDICIONES PREVIAS ANTES DE LA EJECUCIÓN

- Preparación y limpieza de la superficie soporte. Aplicación de dos manos de imprimación y dos manos de acabado
- Se protegerá frente al polvo durante el tiempo de secado y, posteriormente, frente a acciones químicas y mecánicas
- Se aplicará, con pincel, brocha, rodillo o soplete, dependiendo del lugar donde se tiene que aplicar. La dilución máxima en la aplicación con pincel, brocha o rodillo será de un 10% de solvente, para sopletes será de un 50%

ELEMENTOS EN DONDE SE APLICARÁ

Se aplicará en los siguientes elementos del loading dock o muelle de carga (con su numeración de plano correspondiente)

ELEMENTOS	N.º de plano
Estructura del bastidor	ES.00.00
Perfiles auxiliares	
Plancha de la viga central	APE.00.01
Protector del motor	APE.00.04
Campana	APE.01.01
Cerramiento frontal de los laterales de la puerta	APE.03.06
Cerramiento posterior de los laterales de la puerta	APE.03.07
Marcos superiores	APE.04.01
Marcos laterales	APE.04.02
Arcos superiores	APE.05.01
Arcos inferiores	APE.05.02
Empalme de arcos	APE.05.03
Pletinas superiores	REC.00.01
Pletinas inferiores	REC.00.02
Planchas de las ruedas de la bici	REC.01
Marcos para el cristal	REC.02
Embellecedores de abajo	REC.04.01
Visera	REC.05.01
Marcos de cristal superior	REC.05.03
Chapa de cerramiento trasero	REC.06.01
Chapa de cerramiento trasero inferior	REC.06.02
Consola	CLS.01.00
Laterales	CLS.01.01
Placa de información	CLS.02.01
Embellecedores	CLS.03.01

PRESUPUESTO

DESIGNACIÓN DE ELEMENTOS

PUNTO	CONJUNTO	SUBCONJUNTO	ELEMENTO
1.1	Estructura de muelle de		
	carga		
1.1.1		Bastidor	
1.1.2		Placas de anclaje	
1.1.3		Perfiles estructurales	
1.2	Sistema de apertura y cierre		
1.2.1		Plancha de viga central	
1.2.2		Pletina de cierre	
1.2.3		Barra separadora	
1.2.4		Protector de motor	
1.2.5		Campana	
1.2.6		Elementos comerciales	
1.2.6.1			Motor puerta
1.2.6.2			Piñones
1.2.6.3			Poleas
1.2.6.4			Tensor Rosta
1.2.6.5			Cadena de transmisión
1.3	Puerta	Castillas da altresiais	
1.3.1		Costillas de aluminio	Costillas laterales
1.3.1.1 1.3.1.2			
1.3.1.2			Costilla superior Costilla inferior
1.3.1.4			Costillas intermedias
1.5.1.4			horizontales
1.3.1.5			Costillas intermedias
1.0.1.0			verticales
1.3.1.6			Esquinas de refuerzo
1.3.2		Piezas especiales de	
		aluminio	
1.3.2.1			Piezas para ruedas
1.3.2.2			Enganche de cadena
			(1)
1.3.2.3			Enganche de cadena
			(2)
1.3.2.4			Enganche de cadena (3)
1.3.2.5			Placa para llaves
1.3.2.6			Placa final de carrera y solenoide
1.3.3		Chapa de cerramiento	
		frontal	
1.3.4		Chapa de cerramiento	
1.5 -		posterior	
1.3.5		Elementos comerciales	
1.3.5.1			Final de carrera de llave
1.3.5.2			Solenoide
1.3.5.3			Ruedas de rodadura

1.3.5.4			Ruedas tangenciales
			distanciadoras
1.3.5.5			Borde sensible
1.4	Laterales		
1.4.1		Costillas de aluminio	
1.4.1.1			Costillas laterales
1.4.1.2			Costillas intermedias y
			superior
1.4.1.3			Costilla inferior
1.4.1.4			Esquinas de refuerzo
			superiores
1.4.1.5			Esquinas de refuerzo
1.1.1.0			inferiores
1.4.2		Chapa de cerramiento	1110110100
1.7.2		frontal	
1.4.3		Chapa de cerramiento	
1.7.5		posterior	
1.5	Marcos	ρυσιστιοι	
1.5.1	IVIAICOS	Moroco	
		Marcos	NAS uses soon suis u
1.5.1.1			Marco superior
1.5.1.2			Marcos laterales
1.6	Arcos de rodadura		
1.6.1		Arcos de rodadura	
1.6.1.1			Arco superior
1.6.1.2			Arco inferior
1.6.1.3			Empalme de arcos
1.6.1.4			Pletina
1.7	Recubrimiento lateral		
1.7.1		Pletinas y planchas	
1.7.1.1			Pletina superior
1.7.1.2			Pletina inferior
1.7.1.3			Plancha de rueda de
			bici
1.7.1.4			Marcos para cristal
1.7.1.5			Embellecedor de abajo
1.7.2			Cristal
1.8	Recubrimiento superior		= = ===
1.8.1		Visera	
1.8.2		Cristal	
1.8.3		Marcos de cristal	
1.0.5		superior	
1.9	Recubrimiento trasero	Superior	
1.9.1	Lecaniiiiieiiio (199610	Change	
		Chapas	Chana do corremiente
1.9.1.1			Chapa de cerramiento
4.0.4.0			Chana da comenciante
1.9.1.2			Chapa de cerramiento
		<u> </u>	trasero inferior
		[C C C C C C C C C	
1.9.2		Elementos comerciales	D
		Elementos comerciales	Puerta de
1.9.2 1.9.2.1		Elementos comerciales	Puerta de mantenimiento
1.9.2	Consola	Elementos comerciales Consola	

1.10.2		Piezas de consola	
1.10.2.1			Laterales
1.10.2.2			Placa de ventana de información
1.10.2.3			Embellecedores
1.10.3		Elementos comerciales	
1.10.3.1			PC User
1.10.3.2			Teclado
1.10.3.3			Pulsadores
			retroiluminados
1.10.3.4			Lector rfid
1.11	Tiempo de corte laser		
1.12	Material		
1.13	Tornillería		
1.14	Trabajos en taller		
1.15	Elementos a pintar		•

PUNTO	CONJUNTO	SUBCONJUNTO	ELEMENTO
2.1	Estructura		
2.1.1		Módulo de torre	
2.1.2		Angulares	
2.1.2.1			Angulares de unión a
			torre
2.1.2.2			Angulares de unión a
			guías T
2.1.3		Placas	•
2.1.3.1			Placas de coronación
2.1.3.2			Placas de anclaje
2.1.4		Elementos comerciales	•
2.1.4.1			Guías T
2.1.4.2			Placas de unión de
			guías T
2.2	Conjunto motor		-
2.2.1	,	Soporte de motor	
2.2.2		Eje de motor	
2.2.3		Angulares de soporte	
2.2.4		Elementos comerciales	
2.2.4.1			Servo motor
2.2.4.2			Reductor
2.2.4.3			Poleas dentadas
2.2.4.4			Tuper lock
2.2.4.5			Correa dentada
2.3	Conjunto tensor		
2.3.1	,	Bastidor	
2.3.1.1			Parte fija
2.3.1.2			Parte móvil
2.3.2		Eje	
2.3.3		Elementos comerciales	
2.3.3.1			Poleas dentadas
2.3.3.2			Taper lock
2.3.3.3			Cojinetes

0.0.0.4			Darden dans
2.3.3.4			Deslizaderas
2.3.3.5			Muelles
2.3.3.6			Amortiguadores
2.4	Conjunto elevador		
2.4.1		Elevador	
2.4.1.1			Bastidor de plataforma
			de carga
2.4.1.2			Bastidor frontal
2.4.1.3			Base de plataforma
2.4.2		Conjunto grapas	•
2.4.2.1			Separador de grapas
2.4.2.2			Grapas
2.4.3		Chapas	
2.4.3.1			Chapa delantera
2.4.3.2			Chapa trasera
2.4.4		Elementos comerciales	•
2.4.4.1			Angular de apoyo
2.4.4.2			Ruedas triples
2.4.4.3			Células de carga
2.5	Conjunto contrapeso		
2.5.1		Bastidor de contrapeso	
2.5.2		Grapas	
2.5.3		Pesos de contrapeso	
2.5.4		Elementos comerciales	
2.5.4.1			Ruedas triples
2.6	Tiempos de corte laser		
2.7	Materiales de elementos		
2.8	Tornillería		
2.9	Trabajos en taller		

1 MEDICIÓN

MUELLE DE CARGA

1.1 ESTRUCTURA

1.1.1 BASTIDOR

N.º De	scripción		Medición	
1.1.1 Ac	ero estructural S35	55 JR de diferentes secc	ones	
Sección	Largo[m]	Unidades	Parcial	Subtotal
80x40x3	2,120	2	4,240	
80x40x3	1,466	3	4,398	
80x40x3	1,386	1	1,386	
80x40x3	0,120	2	0,240	
				10,264
40x40x3	3,168	2	6,336	
40x40x3	3,248	2	6,856	
40x40x3	0,120	4	0,480	
40x40x3	1,466	1	1,466	
40x40x3	2,117	2	4,234	
40x40x3	1,386	2	2,772	
40x40x3	1,009	1	1,009	
40x40x3	2,205	2	4,410	
				27,563
1.1.2 Pieza Ac	ero galvanizado re	alizada con corte laser d	e 10 mm de esp	oesor
Nombre		Unidades a f	abricar	Subtotal
		Unidades a f	abricar	Subtotal 6
Placas de anclaje	ero estructural S35			
Placas de anclaje	ero estructural S35 Sección	6	ones	6
Placas de anclaje 1.1.3 Ac Nombre	Sección	6 55 JR de diferentes secc	ones	6
Placas de anclaje 1.1.3 Ac Nombre Tubo trasero de viga centra	Sección	6 55 JR de diferentes secc Largo [m] Unidades	ones Parcial	6
Placas de anclaje 1.1.3 Ac Nombre Tubo trasero de viga centra	Sección	6 55 JR de diferentes secci Largo [m] Unidades 1,474 1	ones Parcial 1,474	
Placas de anclaje 1.1.3 Ac	Sección	6 55 JR de diferentes secci Largo [m] Unidades 1,474 1	ones Parcial 1,474	6 Subtotal
Placas de anclaje 1.1.3 Ac Nombre Tubo trasero de viga centra Tubo central de viga centra	Sección I 80x3 I 80x3 40x30x3	6 55 JR de diferentes secci Largo [m] Unidades 1,474 1 1,134 1	ones Parcial 1,474 1.134	Subtotal

1.2 SISTEMA DE APERTURA Y CIERRE

N.º	Descripción	Medición
1.2.1 Pieza	Acero S275 realizada en corte laser de 4 mm de espesor	
Nombre	Unidades a fabricar	Subtotal
Plancha de viga central	2	2

1.2.2 Pieza	Pletina de Acero S27	Pletina de Acero S275 con 4 mm de espesor			
Nombre	Sección[mm2]	Largo [m]	Unidades	Subtotal	
Pletina de cierre	40x4	1.652	1	1.652	
1.2.3 Pieza	Acero estructural S3	55 JR			
Sección	Largo[m]	Unid	ades	Subtotal	
40x40x3	1.694	1		1.694	
1.2.4 Pieza	Acero S275 realizado	o a corte laser de	2 mm de espesor y p	olegado	
Nombre		Unidades a fa	abricar	Subtotal	
Protector de motor		2		2	
1.2.5 Pieza	Acero S275 realizado	o a corte laser de	2 mm de espesor y բ	olegado	
Nombre		Unidades a fa	abricar	Subtotal	
Campana		2		2	
1.2.6 Elementos co	merciales				
Nombre		Unid	ades	Subtotal	
Motor de compuerta Piñones Poleas		1 8 4		1 8 4	
Tensor Rosta Cadena de transmisió	n (m)	2 4. 09 1	l	2 8.182	

1.3 PUERTA

N.º	Descripcion	Medición
1.3.1 Piezas	Aluminio 3003 cortado en laser con espesor d	e 8 mm
Nombre	Unidades a fabricar	Subtotal
Costillas laterales	2	2
Costilla superior	1	1
Costilla inferior	1	1
Cos. inter. Horizontales	6	6
Cos. Inter. Verticales	2	2
Esquinas de refuerzo	4	4

1.3.2	Piezas	Aluminio 3003 cortado en laser con espesor de 4 mm					
Nombre)	Tiempo de corte (unidad)	Unidades a fabricar	Subtotal			
Piezas p	oara rue	das	4	4			

Enganche cadena (1) Enganche cadena (2) Enganche cadena (3) Placa para llaves			1 1 1 1	1 1 1 1
1.3.3 Piezas	Chapa de Ace	ero S275 de espe	esor de 2 mm	
Nombre	Largo[m]	Ancho[m]	Unidades a fabricar	
Cerramiento frontal	1,560	0,936	1	
1.3.4 Piezas	Chapa de Ace	ero S275 de espe	esor de 1 mm	
Nombre	Largo[m]	Ancho[m]	Unidades a fabricar	
Cerramiento Posterior	1,560	0,936	1	
1.3.5 Elementos con	nerciales			
Nombre			Unidades	Subtotal
Final de carrera de llav Solenoide Ruedas de rodadura Ruedas tangenciales Borde Sensible	e		1 1 6 4	1 1 6 4

1.4 LATERALES

N.º	Descripción	Medición			
1.4.1 Piezas Aluminio 3003 cortado en laser con espesor de 8 mm					
Nombre		Unid	ades a fabricar	Subtotal	
Costillas laterales			4	4	
Cos. Intermedia y supe	rior		8	8	
Costilla inferior			2	2	
Esquinas refuerzo supe	erior		4	4	
Esquinas refuerzo infer			4	4	
1.4.2 Piezas Nombre	Chapa de Ac Largo[m]	ero S275 de espe Ancho[m]	esor de 2 mm Unidades a fabrica		
Cerramiento frontal	1,546	0,348	2		
1.4.3 Piezas	Chapa de Acero S275 de espesor de 1 mm				
Nombre	Largo[m]	Ancho[m]	Unidades a fabrica		
Cerramiento Posterior	1,546	0,348	2		

1.5 MARCOS

1.5.1 Piezas	Piezas Chapa de Acero S275 de espesor de 4 mm con Perforaciones				
Nombre	Largo[m]	Ancho[m]	Unidades a fabrica	_	
Marco Superior	0,934	0.1	1		
Marco latoral		0.083	2		

1.6 ARCOS DE RODADURA

1.6.1 Pieza Ad	ero S275 realizado a corte laser de 4 mm de espesor	r
Nombre	Unidades a fabricar	Subtotal
Arco superior	2	2
Arco inferior	2	2
Empalme de arcos	2	2
Pletina	2	2

1.7 RECUBRIMIENTO LATERAL

Nombre	Unidades a fabricar	Subtotal
Pletina superior	2	2
Pletina inferior	2	2
Plancha rueda de bici	2	2
Marcos para el cristal	2	2
Embellecedor de abajo	2	2

1.7.2 Pieza Metacrilato realizado a corte laser de 5 mm de espesor					
Nombre	Unidades a fabricar	Subtotal			
Cristal	2	2			

1.8 RECUBRIMIENTO SUPERIOR

1.8.1 Pieza	Chapa de Acero S275 de espesor de 4 mm				
Nombre	Largo[m]	Ancho[m]	Unidades a fabricar		
Visera	1,466	0,830	1		
1.8.2 Pieza	Plancha de metacrilato realizada a corte laser de 6 mm				
Nombre	Largo[m]	Ancho[m]	Unidades a fabrica		
Cristal superior	2,36	1,466	1		
1.8.3 Pieza	Acero S275 r	ealizado a corte l	aser de 4 mm de espesor		
Nombre		Unidades a fabricar		Subtotal	
Marcos de cristal sup.			2	1	

1.9 RECUBRIMIENTO TRASERO

1.9.1 Pieza Chapa de Acero S275 de espesor de 6 mm				
Nombre	Unidades a fabrica	Subtotal		
Chapa de cerramiento				
trasero	1	1		
Chapa de cerramiento				
Trasero inferior	1	1		
1.9.2 Elementos comerciales				
Nombre	Unidades	Subtotal		
Puerta de mantenimiento	1	1		

1.10 CONSOLA		
1.10.1 Pieza Acero S27	5 realizado a corte laser de 6 mm de espesor	y plegado
Nombre	Unidades a fabricar	Subtotal
Consola	1	1
1.10.2 Pieza Acero S275	5 realizado a corte laser de 4 mm de espesor	
Nombre	Unidades a fabricar	Subtotal
Laterales	2	2
Placa de información	1	1
Embellecedores	2	1
1.10.3 Elementos comerciales		
Nombre	Unidades	Subtotal
Pc User	1	1
Teclado	1	1
Pulsadores retroiluminados	3	3
Lector rfid	1	1

1.11 TIEMPOS DE CORTE LASER DE ELEMENTOS

*Al tiempo parcial se le sumara 2 minutos por el tiempo de preparación de los materiales.

Material	Piezas	Tiempo de corte [s]	Unidades	Parcial [s]	Subtotal [min]
Acero S275					
	1.1.2 Placas de anclaje	60	6	480	
	1.2.1 Plancha de viga central	300	2	720	
	1.2.4 Protector motor	120	2	360	
	1.2.5 Campana	120	2	360	
	1.6.1 Arco superior	240	2	600	
	Arco inferior	240	2	600	
	Empalme de arcos	120	2	360	
	Pletina	60	1	240	
	1.8.2 Marcos cristal superior	180	2	300	
	1.10.1 Consola	360	1	600	

	1.10.2 Laterales	60	2	240	
	Placa de información	120	1	240	
	Embellecedores	60	1	180	
					88 min
Aluminio			_		
	1.3.1 Costillas laterales	120	4	360	
	Costilla superior	120	1	240	
	Costilla inferior	60	1	180	
	Costilla interm. Horizontal	60	6	480	
	Costilla interm. Vertical	60	2	240	
	Esquinas de refuerzo	30	4	240	
	1.3.2 Piezas para ruedas	30	4	240	
	Enganche cadena (1)	120	1	240	
	Enganche cadena (2)	120	1	240	
	Enganche cadena (3)	120	1	240	
	Placa para llaves	60	1	180	
	1.4.1 Costillas laterales	120	4	600	
	Costillas interm. Y superior	60	8	600	
	Costilla inferior	60	2	240	
	Esquinas refuerzo superior	30	4	240	
	Esquinas de refuerzo inferior	30	4	240	
					80 min
Metacrilato					
	1.7.2 Cristal	480	2	1080	
	1.8.2 Cristal superior	180	1	360	
					24 min

1.12 MATERIAL DE ELEMENTOS MUELLE DE CARGA

Material	Densidad [g/cm3]	Elemento U	Inidades	Volumen [cm3]	Parcial Subtotal [Kg] [Kg]
Acero S275	7.84	1.2.1 Plancha viga central	2	7996.8	125.38982
		1.2.4 Protector motor	2	148.96	2.33569
		1.2.5 Campana	1	581.76	9.12199
		1.3.3 Cerramiento frontal	1	2920.32	22.89530
		1.3.4 Cerramiento posterior	2	1460.16	11.44765
		1.4.2 Cerramiento frontal	2	1085.76	17.02471
		1.4.3 Cerramiento posterior	1	542.88	8.51235
		1.5.1 Marco superior	1	373.6	2.92902
		Marco lateral	2	306.352	4.80359
		1.6.1 Arco Superior	2	7609.056	119.30999
		Arco inferior	2	4468.32	70.06325
		Empalme de arcos	2	360	5.6448
		Pletina	2	1161.6	18.21388
		1.7.1 Pletina superior	2	342	5.36256
		Pletina inferior	2	622.08	9.75421
		Plancha rueda de bici	2	35060.304	549.74556
		Marcos para el cristal	2	35060.304	549.74556
		Embellecedor de abajo	2	13522.834	212.03098
		1.8.1 Visera	1	4867.12	38.19822
		1.8.3 Marcos del cristal super 1.9.1 Chapa cerramiento	ior 2	622.08	9.75421
		Trasero Chapa cerramiento	1	2968	23.26912
		trasero inferior	1	522	4.09248
		1.10.1 Consola	1	1427.8	11.19395
		1.10.2 Laterales	2	85.432	1.33957
		Placa de información	1	122.67	0.96173
		Embellecedores	1	351.84	2.75842

1835.85 Material Densidad Elemento Unidades Volumen **Parcial Subtotal** [g/cm3] [cm3] [Kg] [Kg] Aluminio 3003 2.73 1.3.1 Costillas laterales 2 6320 34.50 1.58 Costilla superior 1 579.07 Costilla inferior 1 322.56 0.88 **Costillas intermedias** Horizontales 6 89.09 1.46 **Costillas intermedias** 2 4661.31 25.45 **Verticales** Esquinas de refuerzo 4 18.43 0.20 1.3.2 Piezas para ruedas 4 3.6 0.03 Enganche cadena (1) 88.9 0.24 Enganche cadena (2) 66.24 1 0.18 Enganche cadena (3) 65.56 1 0.17 Placa para llaves 130.68 0.35 1.4.1 Costillas laterales 6320 4 69.01 Costilla intermedia y Superior 8 579.07 12.64 Costilla inferior 322.56 1.76 2 Esquina de refuerzo Superior 4 18.43 0.2 Esquina de refuerzo 4 Inferior 18.43 0.2 148.90 Material Densidad **Elemento** Unidades Volumen **Parcial Subtotal** [g/cm3] [cm3] [Kg] [Kg] Metacrilato 2 35060.30 82.74 1.18 1.7.2 Cristal

1

20283.57

23.93

106.67

1.13 TORNILLERIA

Ubicación	Unión	Tipo	Métrica	Longitud	Parcial
1.1 Estructura					
	Placa de anclaje al suelo	Taco mecánico	12	200	24
1.2 Apertura y	cierre				
	Viga central con protector motor	Tornillo	14	100	4
	Viga central con campana	Tornillo	14	100	4
	Decorativos	Tornillo	10	100	25
	Motor compuerta a viga central	Tornillo	6	60	4
	Piñones a viga central	Tornillo	16	100	2
	Poleas a viga central (soldados)	Tornillo	14	100	4
	Tensor rosta a viga central	Tornillo	10	100	1
1.3 Puerta					
	Ruedas tangenciales a pieza para rueda	Avellanado	6		
	Enganche de cadena a costilla superior	Gota	8	16	2
	Placa para llaves a costilla superior Final de carrera a placa para llaves Solenoide a placa para llaves	Gota	8	16	2
	Ruedas de rodadura a perfiles laterales	Avellanado	10	25	6
	Chapa delantera a costillas	Remaches	5	16	42
	Chapa trasera a costillas	Remaches	5	16	42

1.8.2 Cristal superior

1.5 Marcos	Marcos a arcos de rodadura	Avellanado	6	16	22
1.6 Arcos de re	odadura				
	Empalme de arcos	Tornillo	10	16	12
1.7 Recubrimie	nto lateral				
	Plancha rueda de bici con marcos y cristal	Tornillo	18	24	136
1.8 Recubrimie	nto Superior				
	Cristal con marcos de cristal	Tornillo	18	24	24
Ubicación	Unión	Tipo	Métrica	1	Parcial
1.2 Apertura y	cierre				
	Viga central con protector motor	Arandela	14		8
	Viga central con campana	Tuerca normal Arandela	14 14		4 8
	Decorativos	Tuerca normal Arandela	14 10		4 50
	Motor compuerta a viga central	Tuerca normal Arandela	10 6		25 8
	Piñones a viga central	Tuerca freno	6		4
	Poleas a viga central (soldados)	Arandela Tuerca freno	14 14		8 4
1.3 Puerta	Ruedas tangenciales a pieza para rueda				
	Enganche de cadena a costilla superior	Tuerca freno	8		2
	Placa para llaves a costilla superior	Tuerca freno	8		2
	Final de carrera a placa para llaves				
	Solenoide a placa para llaves				
	Ruedas de rodadura a perfiles laterales	Arandela Tuerca freno	10 10		12 6
1.6 Marcos	Marcos a arcos de rodadura	Tuerca freno	6		22
1.7 Arcos de re	odadura				
	Empalme de arcos	Arandela Tuerca freno	10 10		24 12
1.8 Recubrimie	nto lateral				
	Plancha rueda de bici con marcos y cristal	Arandela	18		272

_	_		
Tuerca	normal	18	136

1.9 Recubrimiento Superior

Cristal con marcos de cristal Arandela 18 48 Tuerca normal 18 24

1.14 TRABAJOS EN TALLER

Operario	Proceso	Parcial [horas]	Subtotal [horas]
Soldador	1) Bastidor	10	
Soluadoi	2) Recubrimiento lateral +	10	
	Arcos de rodadura	10	
	3) Viga central + perfiles auxiliares	10	
	4) Recubrimiento trasero	6	
	5) Consola	4	
	6) Apertura y cierre + Puerta + laterales	4	
	Campana + protector motor	•	
	7) Recubrimiento superior	4	
			48
Soldador de			
aluminio	6) Puerta + laterales	12	12
Operario 1			
Operario 2	1) Bastidor	6	
•	2) Recubrimiento lateral +		
	Arcos de rodadura	8	
	3) Viga central + perfiles auxiliares	12	
	4) Recubrimiento trasero	8	
	5) Consola	6	
	6) Apertura y cierre + Puerta + laterales	12	
	Campana + protector motor		
	7) Recubrimiento superior	6	
			116
Oficial de 1ª F	Pintor		40
Ayudante de	Pintor		40

1.15 ELEMENTOS A PINTAR

Elementos	Unidades	Superficie unitaria [cm2]	Superficie [m2]	Litros total protector (0.141l/m2)	Litros total esmalte (0.075l/m2)
1.1.1 Estructura bastidor		-		,	,
80x40		24006.33	2.4006	0.3384	0.18
40x40		44100.8	4.41	0.6218	0.3307
1.1.3 Perfiles estructurales					
80x3		13107.808	1.3107	1.3107	0.1848
40x30		2052.4	0.2052	0.0289	0.0153
60x60		3518.4	0.3518	0.0496	0.0263
40x40		9600	0.96	0.1353	0.072
1.2.1 Plancha de la viga central	2	19992	1.9992	0.2818	0.1499
1.2.4 Protector de motor	2	744.2	0.1489	0.021	0.0111
1.2.5 Campana	2	2908.8	0.5817	0.082	0.0436
1.4.2 Cerramiento frontal	2	5428.8	1.0857	0.153	0.0814

1.4.3 Cerramiento posterior	2	5428.8	1.0857	0.153	0.0814
1.5.1 Marco superior	2	934	0.0934	0.1868	0.0140
Marco lateral	2	765.88	0.1531	0.0215	0.0114
1.6.1 Arco superior	2	19022.64	3.8045	0.5364	0.2853
Arco inferior	2	11170.8	2.2341	0.3150	0.1675
Empalme de arcos	2	900	0.18	0.0253	0.0135
1.7.1 Pletina superior	2	855	0.171	0.0241	0.0128
Pletina inferior	2	1555.2	0.3114	0.0438	0.0233
Plancha de rueda de bici	2	87650.76	17.5301	2.4717	1.3147
Marcos para el cristal	2	87650.76	17.5301	2.4717	1.3147
Embellecedor de abajo	2	33805.96	6.7611	0.9533	0.5070
1.8.1 Visera	1	12167.8	1.2167	0.1715	0.0912
1.8.3 Marcos de cristal superior	2	1555.2	0.311	0.0438	0.0233
1.9.1 Chapa de cerr. Trasero	1	14840	1.484	0.2092	0.1113
Chapa cerr. Trasero inf.	1	2610	0.261	0.0368	0.0195
1.10.1 Consola	1	7138	0.7139	0.1006	0.0535
1.10.2 Laterales	1	427.16	0.0854	0.012	0.0064
Placa de información	1	613.35	0.0613	0.0086	0.0046
Embellecedores	1	1759.2	0.1759	0.0248	0.0131
				9.5225 I	5.0652 I

1.16 INSTALACIÓN

Operario	Parcial [horas] Subtotal [horas]
Montador 1	24 24
Montador 2	24 24
Montador 3	24 24
Ingeniero	24 24
	96

ELEVADOR

2.1 ESTRUCTURA

*En este apartado como nuestro sistema es modular los niveles de los módulos de torre dependerá del almacenamiento que tengamos cada módulo de torre será un nivel de almacenamiento entonces finalmente tendremos 3 presupuestos diferentes dependiendo del almacenamiento.

N.º Descripción		Medición		
2.1.1	Elemento soldado de acero galvanizado			
Nombre	Peso [Kg]	*Niveles	Unidades a fabrica	r Total Peso
Módulo de torre	40.1	2	4	160.4
		4	8	320.8
		6	12	481.2
		8	16	641.6
2.1.2 Pieza	Acero galvan	izado realizado	o a corte laser de 4 m	m de espesor
Nombre	Peso	[Kg] *Nivele	s Tiempo de corte	Unidades Total Peso

Angular de unión a torre	1.2	2	12	14.4	
-		4	20	24	
		6	28	33.6	
		8	36	43.2	
Angular de unión a guías T	1.5	2	12	18	
		4	20	80	
		6	28	42	
		8	36	54	

2.1.3 Pieza	Acero galvanizado en caliente con corte laser de 10 mm de espesor			
lombre	Peso [Kg]	Unidades	Total Peso	
Placas de anclaje	8	2	16	
Placas de coronación	7.2	2	14.4	

2.1.4 Elementos comerciales Nombre *Niveles de Almacenamiento Unidades Subtotal Guías T (5m) 2 4 4 8 6 12 8 16 Placas de unión 2 0 4 4 6 8 8 12

2.2 CONJUNTO MOTOR

N.º	Descripción	Medición		
2.2.1	Elemento soldado de	acero galvanizado en caliente		
Nombre	Peso [Kg]	Unidades a fabricar	Total Peso	
Soporte de motor	12.7	1	12.7	
2.2.2				
Nombre		Unidades a fabricar	Subtotal	
Eje de motor		1	1	
2.2.3	Acero galvanizado en	caliente con corte laser de 10mm de	espesor	
Nombre	Peso [Kg]	Unidades a fabricar	Total Peso	
Angular	2.4	2	4.8	

2.2.4 Elementos comerciales

Nombre	m	Unidades	Subtotal
Servomotor		1	1
Reductor		1	1
Poleas dentadas		2	2
Tuperlock		2	2
Correa dentada(m)			
2 niveles	7.508	2	15.017
4 niveles	15.017	2	30.034
6 niveles	22.524	2	45.048
8 niveles	30.032	2	60.064

2.3 CONJUNTO TENSOR

2.3.1	Elemento sol	dado de acero (galvanizado en caliente	
Nombre	Peso [Kg]	Tiempo	Unidades a fabricar	Total Peso
Parte Fija	23		1	23
Parte Móvil	12		1	12
2.3.2	Elemento de	acero mecaniza	ndo con alta calidad	
Nombre			Unidades a fabricar	Subtotal
Eje de tensor			1	1
2.3.3 Elementos o	omerciales			
Nombre			Unidades	Subtotal
Poleas dentadas			2	2
Tuperlock			2	2
Cojinetes			2	2
Deslizaderas			2	2
Muelles			2	2
Amortiguadores			4	4

2.4 CONJUNTO ELEVADOR

2.4.1 Elemento soldado de acero galvanizado en caliente						
Nombre	Peso [Kg] Unidades a fabricar		Total	Peso		
Bastidor de plataforma d	le carga 45	1	45			
Bastidor Frontal	31	1	31			
Base de plataforma	12	1	12			
2.4.2	Piezas de aluminio cortad	as en laser de 10 mm de espesor				
Nombre		Unidades a fabricar	Subtotal	·		
Separador de grapas		2	2			
Grapas		2	2			

2.4.3 Pieza	Chapa de Acero S275 de espesor de 2 mm de espesor cortada en laser		
Nombre	Unidades a fabricar	Subtotal	
Chapa delantera	1	1	
Chapa trasera	1	1	

Nombre	Unidades	Subtotal
Angular de apoyo	1	1
Ruedas triples o rodaderas	4	4
Células de carga	4	4

2.5 CONJUNTO CONTRAPESO

2.5.1 Elementos soldado de acero galvanizado en caliente					
Nombre	Peso [Kg]	Tiempo	Unidades a fabricar	Total	Pesc
Bastidor de contrapeso	30		1	30	
2.5.2 Pie	zas de aluminio co	ortadas en la	ser de 10 mm de espesor		
Nombre	Unidades a fabricar			Subtotal	
Grapas		2		2	
2.5.3 Pie	700 do 20070 \$275	oortodoo on	lacar do 20 mm do canac		
Nombre		lades a fabri	laser de 20 mm de espes car	Subtotal	
Pesos de contrapeso		10		10	
2.5.4 Elementos comercia	ales				
Nombre		l	Jnidades	Subtotal	
Ruedas triples o rodaderas		4	l .	4	

2.6 TIEMPOS DE CORTE LASER DE ELEMENTOS

*Al tiempo parcial se le sumara 2 minutos por el tiempo de preparación de los materiales.

Material	Piezas	Tiempo de corte [s]	Unidades	Parcial [s]	Subtotal [min]
Acero S275					
	2.1.1 Modulo de torre (2 niveles)	780	4	3240	
	Módulo de torre (4 Niveles)	780	8	6360	
	Módulo de torre (6 Niveles)	780	12	9480	

	Módulo de torre (8 Niveles)	780	16	12600
	2.1.2 Angulares unión a torre (2 niv.)	120	12	1560
	Angulares unión a torre (4 niv.)	120	20	2520
	Angulares unión a torre (6 niv.)	120	28	3480
	Angulares unión a torre (8 niv.)	120	36	4440
	Angular de unión a guía (2 niv.)	120	12	1560
	Angular de unión a guía (4 niv.)	120	20	2520
	Angular de unión a guía (6 niv.)	120	28	3480
	Angular de unión a guía (8 niv.)	120	36	4440
	2.1.3 Placas de anclaje	120	2	360
	Placas de coronación	120	2	360
	2.2.1 Soporte motor	600	1	720
	2.2.3 Angular	120	2	360
	2.3.1 Parte fija de tensor	600	1	720
	Parte móvil de tensor	480	1	600
	2.4.1 Bastidor de plataforma de carga	900	1	1020
	Bastidor frontal	900	1	1020
	Base de plataforma	900	1	1020
	2.4.3 Chapa delantera	60	1	180
	Chapa trasera	60	1	180
	2.5.1 Bastidor de contrapeso	480	1	180
		Para 2 niveles		225 min
		Para 4 niveles		309 min
		Para 6 niveles		393 min
		Para 8 niveles		477 min
Aluminio 3003				
	2.4.2 Separador de grapas	60	2	240
	Grapas	60	2	240
	2.5.2 Grapas	60	2	240
				12 min

2.7 MATERIAL DE ELEMENTOS

Material	Elemento	Unidades	Parcia [Kg]	l Subtotal [Kg]
S275 +				
Galvanizado	2.1.1 Modulo de torre (2 niveles)	4	40.1	160.4
	Módulo de torre (4 niveles)	8	40.1	320.8
	Módulo de torre (6 niveles)	12	40.1	481.2
	Módulo de torre (8 niveles)	16	40.1	641.6
	2.1.2 Angular de unión a torre (2 niveles)	12	1.2	14.4
	Angular de unión a torre (4 niveles)	20	1.2	24
	Angular de unión a torre (6 niveles)	28	1.2	33.6
	Angular de unión a torre (8 niveles)	36	1.2	43.2
	Angular de unión a guías T (2 niveles)	12	1.5	18
	Angular de unión a guías T (4 niveles)	20	1.5	30
	Angular de unión a guías T (6 Niveles)	28	1.5	42
	Angular de unión a guías T (8 niveles)	36	1.5	54
	2.1.3 Placas de anclaje	2	8	16
	Placas de coronación	2	7.2	14.4
	2.1.4 Soporte de motor	1	12.7	12.7
	2.2.3 Angular de soporte	2	4.8	9.6
	2.3.1 Parte fija de tensor	1	23	23
	2.3.2 Parte móvil de tensor	1	12	12
	2.4.1 Bastidor de plataforma de carga	1	45	45
	Bastidor frontal	1	31	31
	Base de plataforma	1	12	12
	2.5.1 Bastidor de contrapeso	1	30	30
	2.5.1 Bastidor de contrapeso	1		

Para 2 niveles 398.5 Kg Para 4 niveles 580.5 Kg

				762.5 Kg 944.5 Kg	
Densidad [g/cm3]	Elemento	Unidades	Volumen [cm3]	Parcial S [Kg]	ubtotal [Kg]
7.84	2.4.3 Chapa delantera	1	563.61	4.42	
	Chapa trasera	1	409.2	3.20	
	2.5.3 Pesos de contrapeso	10	1580	123.872	
	•			1	31.5
Densidad	Elemento	Unidades	Volumen	Parcial S	ubtotal
[g/cm3]			[cm3]	[Kg]	[Kg]
03 2.73	2.4.2 Separador de grapas	2	36.6	0.191	
	Grapas	2	54.45	0.297	
	2.4.3 Grapas	2	54.45	0.297	
	[g/cm3] 7.84 Densidad	[g/cm3] 7.84 2.4.3 Chapa delantera Chapa trasera 2.5.3 Pesos de contrapeso Densidad [g/cm3] Densidad [g/cm3] 2.4.2 Separador de grapas Grapas	Densidad Elemento Unidades [g/cm3] 7.84 2.4.3 Chapa delantera 1 Chapa trasera 1 2.5.3 Pesos de contrapeso 10 Densidad Elemento Unidades [g/cm3] 03 2.73 2.4.2 Separador de grapas 2 Grapas 2	[g/cm3] [cm3] 7.84 2.4.3 Chapa delantera 1 563.61 Chapa trasera 1 409.2 2.5.3 Pesos de contrapeso 10 1580 Densidad Elemento Unidades Volumen [g/cm3] 03 2.73 2.4.2 Separador de grapas 2 36.6 Grapas 2 54.45	Densidad Elemento Unidades Volumen [Kg]

0.793

2.8 TORNILLERIA

Ubicación	Unión	Tipo	Métrica	Longitud	Parcia
2.1 Estructura					
	Placa de anclaje al suelo	Taco químico	16	200	6
	Placa de anclaje con módulo de torre	Tornillo	18	90	6
	Entre módulos de torre	Tornillo	18	140	48
	Angulares a módulos de torre	Tornillo	12	65	96
	Entre angulares	Tornillo	12	30	64
	Angular a guía T	Bridas	10		224
	Placa coronación a techo	Taco mecánico	12		6
2.2 Conjunto Me	otor				
	Placa de soporte a servomotor	Tornillo	12	40	4
	Soporte de motor a angulares	Tornillo	12	40	4
	Servomotor a motor	Tornillo	10	40	4
2.3 Conjunto Te	ensor				
	Parte fija del bastidor al suelo	Tacos mecánico	12	115	8
	Amortiguadores a parte fija	Allen Avellan.	8	30	4
	Muelles a parte móvil	Varilla roscada	10	200	2
	Parte fija a parte móvil de bastidor	Tornillo	12	40	2
	Cojinetes a parte fija	Tornillo	16	50	4
2.4 Conjunto El	evador				
	Ruedas triples a bastidor de elevador	Tornillo	12	80	8
	Sujeción de correas	Tornillo	8	80	8
	Bastidor plataforma de carga con frontal	Tornillo	8	60	4
	Base plataforma a células de carga	Tornillo	6	55	8
2.5 Conjunto Co	ontrapeso				
	Ruedas triples a bastidor de contrapeso	Tornillo	12	40	8
	Sujeción de correas	Tornillo	8	40	8
Ubicación	Unión	Tipo	Métrica	P	arcial

2.1 Estructura				
	Placa de anclaje al suelo	Arandela ancha	16	12
		Tuerca	16	12
	Placa de anclaje con módulo de torre	Arandela	18	12
		Tuerca	18	12
	Entre módulos de torre	Arandela	18	96
		Tuerca	-	48
	Angulares a módulos de torre	Arandela ancha	12	192
		Tuerca freno		96
	Entre angulares	Arandela	12	128
		Tuerca freno		64
	Placa coronación a techo	Arandela ancha	12	12
		Tuerca	12	6
2.2 Conjunto M	otor			
	Placa de soporte a servomotor	Arandela	12	8
		Tuerca	12	4
	Soporte de motor a angulares	Arandela	12	8
		Tuerca	12	4
	Servomotor con reductor	Arandela	10	8
		Tuerca	10	4
2.3 Conjunto Te	ensor			
	Parte fija del bastidor al suelo	Arandela ancha	12	16
	-	Tuerca	12	8
	Muelles a parte móvil	Arandela ancha	10	2
	•	Arandela	10	2
		Tuerca	10	6
		Tuerca freno	10	4
	Parte fija a parte móvil de bastidor	Arandela	12	4
	,	Tuerca freno	16	4
	Cojinetes a parte fija	Arandela	16	8
	,,	Tuerca freno	16	4
2.4 Conjunto El	evador			
	Ruedas triples a bastidor de elevador	Arandela	12	16
		Tuerca	12	8
	Sujeción de correas	Arandela	8	8
		Tuerca freno	8	8
	Bastidor plataforma de carga con frontal	Arandela	8	8
	-	Tuerca freno	8	8
	Base plataforma a células de carga	Arandela	6	8
2.5 Conjunto Co	ontrapeso			
	Ruedas triples a bastidor de contrapeso	Arandela ancha	12	16
	and an included an analysis of the contraduction and the contraduc	Tuerca freno	12	8
	Sujeción de correas	Arandela	8	8
	,	Tuerca freno	8	8

2.9 TRABAJOS EN TALLER

Operario	Elemento	Unidades	Parcial [horas]	Subtotal [horas]
Soldador	2.1.1 Modulo de torre (2 niveles)	4	3	12
	Módulo de torre (4 niveles)	8	3	24
	Módulo de torre (6 niveles)	12	3	36
	Módulo de torre (8 niveles)	16	3	48

2.2.1 Soporte de motor	1	2	2
2.3.1 Parte fija de tensor	1	1	1
Parte móvil de tensor	1	1	1
2.4.1 Bastidor de plataforma de carga	1	3	3
Bastidor frontal	1	3	3
Base de plataforma	1	2	2
	* 2 Niveles		24h
	* 4 Niveles		36h
	* 6 Niveles		48h
	* 8 Niveles		60h

2.10 INSTALACIÓN

Operario	Parcial [horas] S	ubtotal [horas]
Montador 1		
Montador 2		
Montador 3		
(2 niveles)	24	72
(4 niveles)	48	144
(6 niveles)	72	216
(8 niveles)	100	300
Ingeniero		
(2 niveles)	24	24
(4 niveles)	48	48
(6 niveles)	72	72
(8 niveles)	100	100

3 PRESUPUESTO DE EJECUCIÓN MATERIAL

3.1 TORNILLERÍA

* Todos los tornillos tendrán una calidad de 8.8 y serán cincados

Métrica	Tipo	Longitud[mm]	Medición	Precio[€/unidad	d] Total[€]
5	remaches	14	84	0.1115	9.366
6	tornillo	60	4	0.0964	0.3856
		55	8	0.0868	0.6944
	Avellanado	16	22	0.0486	1.0692
	Arandela		16	0.0024	0.0384
	Tuerca		4	0.0111	0.0444
	Tuerca freno		22	0.0156	0.3432
8	tornillo 80	8	0.2340	1.8720	
		60	4	0.1667	0.6668
		40	8	0.1343	1.0744
	Tornillo (gota)	16	4	0.1054	0.4216
	Avellanado	30	4	0.1168	0.4672
	Arandela	•	24	0.0149	0.3576
	Tuerca		12	0.0247	0.2964
	Tuerca freno		12	0.0321	0.2304
	ruerca ireno		12	0.0321	0.3632
10	tornillo	100	26	0.4268	11.0968
		40	4	0.2213	0.8852
		16	12	0.1407	1.6884
	Avellanado	25	6	0.1078	0.6468
	Varilla roscada	200	2	0.2546	0.5092
	Arandela		84	0.0223	1.8732
	Arandela ancha		2	0.0726	0.1452
	Tuerca		35	0.0519	1.8165
	Tuerca freno		22	0.0708	1.5576
12	varilla roscada	200	24	0.3546	8.5104
	Taco mecánico	115	12	4.0593	48.711
	Tornillo	80	8	0.4889	3.9112
		65	96	0.3195	30.672
		40	18	0.3171	5.7078
		30	64	0.2689	17.2096
	Arandela		152	0.0243	3.6936
	Arandela ancha		240	0.1349	32.376
	Tuerca		12	0.0813	0.9756
	Tuerca freno		190	0.1094	20.786
14	tornillo	200	4	1.0411	4.1644
1-7	COLLINIO	100	8	0.8347	6.6776
	Arandela	100	6 24	0.0832	1.9968
	Tuerca		12	0.0632 0.1145	1.3740
16	vorillo recesso	200	6	1 0257	6 1540
16	varilla roscada	200	6	1.0257	6.1542
	Tornillo	100	2	1.2770	2.5540
		50	4	0.7117	2.8468
	Arandela ancha Tuerca		12 12	0.2436 0.1463	2.9232
18	tornillo	140	48	3.5244	169.171
		90	6	2.8052	16.8312
		24	160	0.7751	124.016
	Arandela		428	0.0704	30.1312
				0.0.0.	••••

3.2 PRECIO DE MATERIALES DE ELEMENTOS

Apartado	Material	Peso subtotal [Kg]	Precio [€/Kg]	Precio parcial total [€]	Total [€]
MUELLE DE CARGA	S275	1835.85	1.6	2937.36	
ELEVADOR	S275	131.5	1.6	210.4	
					3147.76€
MUELLE DE CARGA	Aluminio 3003	148.90	1.8	268.02	
ELEVADOR	Aluminio 3003	0.793	1.8	1.43	
					269.45€
MUELLE DE CARGA	Metacrilato	106.67	25	2666.75	
					2666.75€

Apartado	Material	Peso [Kg]	Precio [€/Kg]	Galvanizado [€/Kg]	Precio parcial [€]	Total [€]
MUELLE DE CARGA	S275 (galvanizado)	60	1.6	0.50	126	126
ELEVADOR	S275 (galvanizado)					
	2 niveles	398.5	1.6	0.50	836.85	836.85
	4 niveles	580.5	1.6	0.50	1219.05	1219.05
	6 niveles	762.5	1.6	0.50	1601.25	1601.25
	8 niveles	944.5	1.6	0.50	1983.45	1983.45
			* 2	Niveles		962.85€
			* 4	Niveles	1	345.05€
			* 6	Niveles	1	727.25€
			* 8	Niveles	2	2109.45€

Precio total de los materiales para los distintos niveles

3.3 PRECIO DE CORTE LASER DE MATERIALES

Apartado	Material	Tiempo subtotal [min]	Precio [€/min]	Precio parcial tota [€]	l Total [€]
MUELLE DE CARGA	S275	88	1.8	158.4	
ELEVADOR	S 275				
	2 niveles	225	1.8	405	
	4 niveles	309	1.8	556.2	
	6 niveles	393	1.8	707.4	
	8 niveles	477	1.8	858.6	
		* 2	Niveles		563.4€
		* 4	Niveles		714.6€
		* 6	Niveles		865.8€
		* 8	Niveles		1017€

² niveles = 3147.76 + 269.45 + 2666.75 + 962.85 = 7046.81 € 4 niveles = 3147.76 + 269.45 + 2666.75 + 1345.05 = 7429.01 €

⁶ niveles = 3147.76 + 269.45 + 2666.75 + 1727.25 = 7811.21€

⁸ niveles = 3147.76 + 269.45 + 2666.75 + 2109.45 = 8193.41€

MUELLE DE CARGA ELEVADOR	Aluminio 3003 Aluminio 3003	80 12	2.3 184 2.3 27.6	
				211.6€
MUELLE DE CARGA	Metacrilato	24	1.5	36€

Precio total de los materiales para los distintos niveles

2 niveles = 563.4 + 211.6 + 36 = 811€

4 niveles = 714.6 + 211.6 + 36 = 962.2€

6 niveles = 865.8 + 211.6 + 36 = 1113.4€

8 niveles = 1017 + 211.6 + 36 = 1264.6€

3.4 TRABAJOS EN TALLER

Apartado	Operario Ho	ras subtotal	Precio [€/h]	Precio parcial [€]	total
MUELLE DE CARGA	Soldador	48	11	528	
ELEVADOR (2 niveles)		24	11	264	
(4 niveles)		36	11	396	
(6 Niveles)		48	11	528	
(8 Niveles)		60	11	660	
			* 2 Nivele: * 4 Nivele: * 6 Nivele: * 8 Nivele:	S S	792€ 924€ 1056€ 1188€
MUELLE DE CARGA	Soldador				
	Aluminio	48	12	576	576€
MUELLE DE CARGA	Operarios	116	10.77	1249.32	1249.32€
MUELLE DE CARGA	Oficial 1 ^a pint Ayudante pin		17.24 16.13	689.6 645.5	689.6€ 645.2€

Precio total de los trabajos en taller para los distintos niveles

3.5 PINTURA

Litros total protector	Litros total de esmalte	Precio protector [€/l]	Precio esmalte [€/l]	Precio total
9.5225		4.80		45.71
	5.0652		16.78	85

130.71 €

3.6 OTROS APARTADOS

² Niveles = 792 + 576 + 1249.32 + 689.6 + 645.2 = 3945.12€

⁴ niveles = 924 + 576 + 1249.32 + 689.6 + 645.2= 4084.12€

⁶ niveles = 1056 + 576 + 1249.32 + 689.6 + 645.2 = 4216.12€

⁸ Niveles = 1188 + 576 + 1249.32 + 689.6 + 645.2 = 4348.12

Apartado	Sección [mm2]	Longitud Subtotal [m]	Precio [€/m]	Total
1.1.1 Bastidor	80x40x3	10.264	14.62	150.06
	40x40x3	27.563	7.47	205.90
1.1.3 Perfiles	80x3	2.608	13.45	35.08
	40x30x3	1.466	7.06	10.35
	60x60x3	1.466	18.51	27.14
	40x40x3	6	7.47	44.92
1.2.2 Pletina de cierre	40x4	1.652	6.05	9.99
1.2.3 Perfil de viga	40x40x3	1.694	7.47	12.65

495.99€

3.7 ELEMENTOS COMERCIALES

Elemento Comercial	Unidades	Precio [€]	Total
1.2.6.1 Motor de puerta	1	1600	1600
1.2.6.2 Piñones	8	80	640
1.2.6.3 Poleas	4	80	320
1.2.6.4 Tensor rosta	2	150	300
1.2.6.5 Cadena de rodillos [m]	- 8.182	10.5	85.91
1.3.5.1 Final de carrera de llave	1	22.72	22.72
1.3.5.2 Solenoide	1	169.26	169.26
1.3.5.3 Ruedas de rodadura	6	7	42
1.3.5.4 Ruedas tangenciales	4	5.5	22
1.3.5.5 Borde sensible	1	50	50
1.9.2.1 Puerta de mantenimiento	1	75	75
1.10.3.1 PC User	1	109.9	109.9
1.10.3.2 Teclado	1	183.79	183.79
1.10.3.3 Pulsadores retroalimenta	ados 3	18.5	55.5
1.10.3.4 Lector rfid	1	52.5	52.5
2.1.4.1 Guías T (5m)			
(2 Niveles)	4	35	140
(4 Niveles)	8	35	280
(6 Niveles)	12	35	420
(8 Niveles)	16	35	560
2.1.4.2 Placas de unión guías T			
(2 Niveles)	0	6.5	0
(4 Niveles)	4	6.5	26
(6 Niveles)	8	6.5	52
(8 Niveles)	12	6.5	78
2.2.4.1 Servo Motor	1	1294.78	1294.78
2.2.4.2 Reductor	1	151.2	151.2
2.2.4.3 Poleas dentadas	4	73.26	293.04
2.2.4.4 Tuper lock	4	16.68	66.72
2.2.4.5 Correa dentada [m]			
(2 niveles)	15.017	25.65	385.18
(4 Niveles)	30.034	25.65	770.38
(6 Niveles)	45.048	25.65	1155.48
(8 Niveles)	60.064	25.65	1540.64
2.3.3.3 Cojinetes	2	32.04	64.08
2.3.3.4 Deslizaderas	2	16.5	33
2.3.3.5 Muelles	2	13	26
2.3.3.6 Amortiguadores	4	16	64
2.4.4.1 Angular de apoyo	1	13	13
2.4.4.2 Ruedas triples o rodadera	ıs 8	58.5	468
2.4.4.3 Células de carga	4	32	128
		* 2 Niveles	6855.58
		* 4 Niveles	7406.78
		* 6 Niveles	8263.88

* 8 Niveles 9287.04

3.8 INSTALACIÓN

Apartado	Operario	Horas subtotal	Precio [€/h]	Precio parcial [€]	total
MUELLE DE CARGA	Montador	72	11	792	792
	Ingeniero	24	15.90	381.6	381.6
ELEVADOR	Ū				
(2 niveles)	Montador	72	11	792	792
(4 niveles)	Montador	144	11	1854	1584
(6 niveles)	Montador	216	11	2376	2376
(8 niveles)	Montador	300	11	3300	3300
(2 niveles)	Ingeniero	24	15.90	381.9	381.9
(4 niveles)	Ingeniero	48	15.90	763.2	763.2
(6 niveles)	Ingeniero	72	15.90	1144.8	1144.8
(8 niveles)	Ingeniero	100	15.90	1590	1590
,	_		* 2 Nivele:	S	2347.5
			* 4 Nivele:	S	3520.8
			* 6 Niveles	S	4694
			* 8 Nivele	S	6063.6

RESUMEN DE PRESUPUESTO DE EJECUCIÓN POR CONTRATA

Máquina de elevación de 2 niveles

Capitulo	Importe
COSTE DE MATERIALES	
3.1 Tornillería	603,66
3.2 Materiales	7046,81
3.5 Pintura	130,71
3.6 Otros apartados	495,99
3.7 Elementos comerciales	6855.58
	15132.75 €
Capitulo	Importe
MANOS DE OBRAS DIRECTAS	
3.3 Corte laser de los elementos	811
3.4 Trabajos en taller	3945,12
3.8 Instalación	2347.5
	7103.62 €
Capitulo	Importe
Coste de materiales	15132.75
Manos de obra directas	7103.62
Mano de obra indirecta y costes de puestos de trabajo	10000
•	3

^{*}Para realizar el resumen tendremos en cuenta que los COSTES DE LOS MATERIALES serán la suma de los puntos 3.1 Tornillería, 3.2 materiales, 3.5 Pintura, 3.6 Otros apartados y 3.7 Elementos comerciales.

^{*}La MANO DE OBRA DIRECTA será la suma de los puntos 3.3 Corte laser de los elementos, 3.4 Trabajo en taller, 3.8 Instalación.

^{*}La MANO DE OBRA INDIRECTA y los COSTES DE PUESTO DE TRABAJO.

^{*}Se realizara el presupuesto final para una maquina de dos niveles y después se añadirá el extra para maquinas de 4, 6 y 8 niveles.

Presupuesto de ejecución material (P.E.M)	32236.37 €
13% de gastos generales (G.E)	4190.73
6% de beneficio industrial (B.I)	1934.19
Presupuesto de ejecución por contrata	
(P.E.C = P.E.M + G.E + B.I)	38361.29
21% IVA	8055.88
Presupuesto de ejecución por contrata con IVA (P.E.C = P.E.M + G.E + B.I + I.V.A)	46417.16

Asciende el presupuesto de ejecución por contrata con I.V.A., para una máquina de dos niveles, a la expresada cantidad de CUARENTA Y SEIS MIL CUATROCIENTOS DIECISIETE EUROS CON DIECISEIS CENTIMOS.

PRESUPUESTO FINAL

١.	Presupuesto por contrata	46417.16
2.	Redacción del proyecto	10000
3.	Tramitación de licencias	3200

El presupuesto final de una máquina de dos niveles incluyendo gastos de redacción de proyecto y licencias asciende a CINCUENTA Y SEIS MIL SEISCIENTOS DIECISIETE EUROS CON DIECISEIS CENTIMOS.

*A continuación se muestra en una tabla el incremento que supondría en una maquina de 4, 6 y 8 niveles. Cada dos niveles tendrá un coste adicional de 6546.49 €

N	^o de niveles de la	Incremento al presupuesto	Presupuesto total
	maquina	final [€]	[€]
	4 niveles	6546.49	66163.65
	6 niveles	13092.99	<i>7</i> 2710.15
	8 niveles	19639.49	79256.65